
SonoSite Edge II

SonoSite SII

User Guide Errata

Manufacturer

FUJIFILM SonoSite, Inc.
21919 30th Drive SE
Bothell, WA 98021 USA
T: 1-888-482-9449 or
1-425-951-1200
F: 1-425-951-1201

EC Authorized Representative

FUJIFILM SonoSite B.V.
Joop Geesinkweg 140
1114 AB Amsterdam,
The Netherlands

Australia Sponsor

FUJIFILM SonoSite Australasia Pty Ltd
114 Old Pittwater Road
BROOKVALE, NSW, 2100
Australia

Caution

United States federal law restricts this device to sale by or on the order of a physician.

SonoSite, the SonoSite logo, SonoSite Edge, and SonoSite SII are trademarks and registered trademarks of FUJIFILM SonoSite, Inc. in various jurisdictions. FUJIFILM is a registered trademark of FUJIFILM Corporation. Value from Innovation is a trademark of FUJIFILM Holdings America Corporation.

All other trademarks are the property of their respective owners.

Part number: P27224-02

Publication date: June 2019

Copyright © 2019 FUJIFILM SonoSite, Inc. All rights reserved.



SonoSite Edge II and SonoSite SII User Guide

Errata

Introduction	2
Document conventions	2
Getting Help	2
Getting Help (SonoSite Edge II)	3
Getting Started	3
Intended uses	3
System Setup	3
Connectivity settings (SonoSite SII)	3
Connectivity setup (SonoSite Edge II)	3
Network Status settings	4
Imaging	4
Imaging modes and exams available by transducer (SonoSite SII)	4
Measurements and Calculations (SonoSite SII)	4
General calculations	4
Measurement References (SonoSite SII)	5
Measurement accuracy	6
Measurement publications and terminology	6
Cleaning and Disinfecting	7
Safety	7
Clinical safety	7
Electromagnetic compatibility	7
Wireless transmission	9
Wireless USB Dongle (Panda)	9
Wireless and Security Module (Laird)	9
Labeling symbols	20
Specifications	27
Supported transducers (SonoSite SII)	27
Standards	28
Electromechanical safety standards	28
Acoustic output	29
ALARA principle	29
Applying the ALARA principle	29
Direct controls	29
Output display	30
Related guidance documents	30
Acoustic output measurement	30
Terms used in the acoustic output tables	89
Glossary (SonoSite Edge II)	90

Introduction

Document conventions

The document follows these conventions:

- ▶ A **WARNING** describes precautions necessary to prevent injury or loss of life.
- ▶ A **Caution** describes precautions necessary to protect the products.
- ▶ A **Note** provides supplemental information.
- ▶ Numbered and lettered steps must be performed in a specific order.
- ▶ Bulleted lists present information in list format but do not imply a sequence.
- ▶ Single-step procedures begin with ❖.

For a description of labeling symbols that appear on the product, see "Labeling Symbols" in the user guide.

Getting Help

For technical support, please contact FUJIFILM SonoSite as follows:

Phone (U.S. or Canada)	+1-877-657-8118
Phone (outside U.S. or Canada)	+1-425-951-1330, or call your local representative
Fax	+1-425-951-6700
Email	ffss-service@fujifilm.com
Web	www.sonosite.com
Europe Service Center	Main: +31 20 751 2020 English support: +44 14 6234 1151 French support: +33 1 8288 0702 German support: +49 69 8088 4030 Italian support: +39 02 9475 3655 Spanish support: +34 91 123 8451
Asia Service Center	+65 6380-5581

Printed in the U.S.

Getting Help (SonoSite Edge II)

The following has been corrected in the SonoSite Edge II system user guide; the revision will be made in the next update.

Email

ffss-service@fujifilm.com

Getting Started

The following content was either not included or incorrect in the SonoSite Edge II and SonoSite SII system user guides; the revisions will be made in the next update.

Intended uses

Prostate imaging applications

You can assess the prostate and surrounding anatomical structures for the presence or absence of pathology.

Superficial imaging applications

You can assess the breast, thyroid, testicle, lymph nodes, hernias, musculoskeletal structures, soft tissue structures, spine, ophthalmic structures, and surrounding anatomical structures for the presence or absence of pathology. You can use the system to provide ultrasound guidance for biopsy and drainage procedures, vascular line placement, and peripheral nerve blocks.

System Setup

Connectivity settings (SonoSite SII)

All references to PDAS should be changed to SiteLink in the SonoSite SII system user guide; the revision will be made in the next update.

Connectivity setup (SonoSite Edge II)

The following reference has been updated in the SonoSite Edge II system user guide; the revision will be made in the next update.

To enable wireless connection

- ❖ See *Setting Up a Network Connection*.

Network Status settings

If your Network Status screen displays a failed wireless device message, your network password may be expired. Make sure that you have an updated network password before connecting your wireless device.

Imaging

The C8x transducer is needle guide-capable on both the SonoSite Edge II and SonoSite SII systems.

Imaging modes and exams available by transducer (SonoSite SII)

The following footnotes were missing from **Table 4-5. Imaging modes and exams available by transducer** in the SonoSite SII system user guide; the revision will be made in the next update.

^aExam type abbreviations are as follows: Abd = Abdomen, Art = Arterial, Bre = Breast, Crd = Cardiac, Gyn = Gynecology, Msk = Musculoskeletal, Neo = Neonatal, Nrv = Nerve, OB = Obstetrical, Oph = Ophthalmic, Pro = Prostate, SmP = Small Parts, Spn = Spine, Sup = Superficial, Ven = Venous.

^bThe optimization settings for 2D are Res, Gen, and Pen.

^cThe optimization settings for CPD and Color are low, medium, and high (flow sensitivity) with a range of PRF settings for Color depending on the setting selected.

Measurements and Calculations (SonoSite SII)

General calculations

Volume calculation


- WARNINGS**
- ▶ To avoid incorrect calculations, verify that the patient information, date, and time settings are accurate.
 - ▶ To avoid misdiagnosis or harming the patient outcome, start a new patient form before starting a new patient exam and performing calculations. Starting a new patient form clears the previous patient's data. The previous patient's data will be combined with the current patient if the form is not first cleared.

The volume calculation involves three 2D distance measurements: D1, D2, and D3. After all measurements are saved, the result appears on-screen and in the patient report.

The volume calculation is available in the following exam types: Abdomen, Arterial, Breast, Gynecological, Musculoskeletal, Nerve, Small Parts, Venous, and Superficial.

To calculate volume

Do the following for each image you need to measure:

- 1 On a frozen 2D image, tap **Calcs**.
- 2 Do the following for each measurement you need to take:
 - a From the calculations menu, under **Volume**, select the measurement name.
If **Volume** is not available in a Gyn exam, select **Gyn** and then select **Volume**.
 - b Using the touchpad or the touchscreen, position the calipers
 - c Tap **Save Calc** to save the calculation.
A check mark appears next to the saved measurement.
- 3 To save a picture of the finished calculation, tap .
- 4 Tap **Back** to exit the calculation.

Measurement References (SonoSite SII)

The following information was not included in the SonoSite SII system user guide; the revision will be made in the next update.

Measurement accuracy

Table 1: M Mode Measurement and Calculation Accuracy and Range

M Mode Measurement Accuracy and Range	System Tolerance	Accuracy By	Test Method	Range
Distance	< +/- 2% plus 1% of full scale ^a	Acquisition	Phantom ^b	0–26 cm
Time	< +/- 2% plus 1% of full scale ^c	Acquisition	Phantom ^d	0.01–10 sec
Heart Rate	< +/- 2% plus (Full Scale ^c * Heart Rate/100)%	Acquisition	Phantom ^d	5–923 bpm

^aFull scale for distance implies the maximum depth of the image.

^bAn RMI 413a model phantom with 0.7 dB/cm MHz attenuation was used.

^cFull scale for time implies the total time displayed on the scrolling graphic image.

^dFUJIFILM SonoSite special test equipment was used.

Measurement publications and terminology

General references

Hip Angle/d:D Ratio

Morin, C., Harcke, H., MacEwen, G. "The Infant Hip: Real-Time US Assessment of Acetabular Development." *Radiology* 177: p.673-677, December 1985.

Percent Area Reduction

Zwiebel W.J., J.A. Zagzebski, A.B. Crummy, et al. "Correlation of peak Doppler frequency with lumen narrowing in carotid stenosis." *Stroke*, 3: (1982), p.386-391.

$$\% \text{ Area Reduction} = [1 - A2(\text{cm}^2)/A1(\text{cm}^2)] * 100$$

where: A1 = original area of the vessel in square cm
A2 = reduced area of the vessel in square cm

Percent Diameter Reduction

Handa, Nobuo et al., "Echo-Doppler Velocimeter in the Diagnosis of Hypertensive Patients: The Renal Artery Doppler Technique," *Ultrasound in Medicine and Biology*, 12:12 (1986), p.945-952.

$$\% \text{ Diameter Reduction} = [1 - D2(\text{cm})/D1(\text{cm})] * 100$$

where: D1 = original diameter of the vessel in cm
D2 = reduced diameter of the vessel in cm

Cleaning and Disinfecting

The following website was corrected in the SonoSite Edge II and SonoSite SII user guides; the revision will be made in the next update.

www.sonosite.com/products/transducers

The following footnote was updated in the cleaning and disinfecting tables.

Refer to the cleaners and disinfection tool available at www.sonosite.com/support/cleaners-disinfectants for a more complete list of approved cleaners and disinfectants.

Safety

Clinical safety

The following warning has been updated in the SonoSite Edge II and SonoSite SII user guides; the revision will be made in the next update.

WARNING

FUJIFILM SonoSite does not recommend the use of high-frequency (HF) electromedical devices in proximity to its systems. FUJIFILM SonoSite equipment has not been validated for use with HF electrosurgical devices or procedures. Use of HF electrosurgical devices in proximity to its systems may lead to abnormal system behavior or shutdown of the system.

To avoid the risk of a burn hazard, do not use the transducer with HF surgical equipment. Such a hazard may occur in the event of a defect in the HF surgical neutral electrode connection.

Electromagnetic compatibility

The ultrasound system has been tested and found to comply with the electromagnetic compatibility (EMC) limits for medical devices to IEC 60601-1-2:2007 and IEC 60601-1-2:2014. The ultrasound system is suitable for use in the professional healthcare facility environment. Active HF surgical equipment causes high electromagnetic disturbances which may interfere with the ultrasound system operation. The ultrasound system should not be operated inside an RF-shielded room where magnetic resonance imagery is present,

because it produces high electromagnetic disturbances which may interfere with the ultrasound system operation. These limits are designed to provide reasonable protection against harmful interference in a typical medical installation.

Cautions

- ▶ Medical electrical equipment requires special precautions regarding EMC and must be installed and operated according to these instructions. Portable RF communications equipment (including peripherals, such as antenna cables and external antennas) should be used no closer than 30 cm (12 inches) to any part of the ultrasound system, including cables specified by FUJIFILM SonoSite. Portable and mobile RF communications equipment can affect the ultrasound system. Electromagnetic interference (EMI) from other equipment or interference sources could result in performance disruption of the ultrasound system. Evidence of disruption may include image degradation or distortion, erratic readings, equipment ceasing to operate, or other incorrect functioning. If this occurs, survey the site to determine the source of disruption, and take the following actions to eliminate the source(s).
 - ▶ Turn equipment in the vicinity off and on to isolate disruptive equipment.
 - ▶ Relocate or re-orient interfering equipment.
 - ▶ Increase distance between interfering equipment and your ultrasound system.
 - ▶ Manage use of frequencies close to ultrasound system frequencies.
 - ▶ Remove devices that are highly susceptible to EMI.
 - ▶ Lower power from internal sources within facility control (such as paging systems).
 - ▶ Label devices susceptible to EMI.
 - ▶ Educate clinical staff to recognize potential EMI-related problems.
 - ▶ Eliminate or reduce EMI with technical solutions (such as shielding).
 - ▶ Restrict use of personal communicators (cell phones, computers) in areas with devices susceptible to EMI.
 - ▶ Share relevant EMI information with others, particularly when evaluating new equipment purchases which may generate EMI.
 - ▶ Purchase medical devices that comply with IEC 60601-1-2 EMC Standards.
- ▶ Do not stack other equipment on the ultrasound system or use other equipment in close proximity and adjacent to the ultrasound system. If stacking or using other equipment in close proximity is unavoidable, then you must observe the system to verify normal operation.

Note

The emissions characteristics of the SonoSite Edge II and SII ultrasound systems make it suitable for use in industrial areas and hospitals (CISPR 11 class A). If it is used in a residential environment (for which CISPR 11 class B is normally required), the ultrasound system might not offer adequate protection to radio-frequency communication services. It may be necessary to take mitigation measures, such as relocating or reorienting the equipment.

Wireless transmission

The SonoSite Edge II and SII ultrasound systems implement two wireless solutions.

- ▶ Wireless USB Dongle (Panda) is a small wireless adapter that plugs into the USB port on the:
 - ▶ Right side of the Edge II ultrasound system.
 - ▶ Upper back of the SII ultrasound system.
- ▶ Wireless and Security Module (Laird) is a module that mounts on the:
 - ▶ Lid of the Edge II ultrasound system and then plugs into the system with a right-angled USB cord
 - ▶ Transducer holder arm of the SII ultrasound system and then plugs into the system with a 12 inch USB cord

Refer to the information below for the transmission information for each one.

Wireless USB Dongle (Panda)

The Wireless USB Dongle uses the Industrial, Scientific, and Medical (ISM) frequency bands from 2.412 to 2.4835 GHz, depending on your country's regulation. The dongle implements the following methods of transmission:

- ▶ IEEE 802.11b with Direct Sequence Spread Spectrum (DSSS) at 19 dBm: Peak rate 54 Mbps, Peak throughput: 27 Mbps
- ▶ IEEE 802.11g with Orthogonal Frequency Division Multiplexing (OFDM) at 16 dBm: Peak rate 54 Mbps, Peak throughput: 27 Mbps
- ▶ IEEE 802.11n with Orthogonal Frequency Division Multiplexing (OFDM) at 15 dBm:
 - ▶ 1T1R. Peak rate: 150 Mbps, Peak throughput: 90 Mbps
 - ▶ 1T2R. Peak rate: 300 Mbps, Peak throughput: Rx 160 Mbps
 - ▶ 2T2R. Peak rate: 300 Mbps, Peak throughput: Rx 260 Mbps

Wireless and Security Module (Laird)

The Wireless and Security Module uses the Industrial, Scientific, and Medical (ISM) frequency bands from 1.400 to 2.4835 GHz, and from 5.100 to 5.800 GHz. The module implements four different methods of transmission:

- ▶ IEEE 802.11a with Orthogonal Frequency Division Multiplexing (OFDM) at 11 dBm \pm 2 dBm @ 54 Mbps
- ▶ IEEE 802.11b with Direct Sequence Spread Spectrum (DSSS) at 16 dBm \pm 2.0 dBm @ 11 Mbps
- ▶ IEEE 802.11g with Orthogonal Frequency Division Multiplexing (OFDM) at 13 dBm \pm 2.0 dBm @ 54 Mbps
- ▶ IEEE 802.11n with Orthogonal Frequency Division Multiplexing (OFDM) at 12 dBm \pm 2.0 dBm (802.11gn) @ MCS7

Compatible accessories and peripherals (SonoSite Edge II)

FUJIFILM SonoSite has tested the SonoSite Edge II ultrasound system with the following accessories and peripherals and has demonstrated compliance to the requirements of IEC 60601-1-2:2007 and IEC 60601-1-2:2014.

You may use these FUJIFILM SonoSite accessories and third-party peripherals with the SonoSite Edge II ultrasound system.

WARNINGS

- ▶ Use of the accessories with medical systems other than the Edge ultrasound system may result in increased emissions or decreased immunity of the medical system.
- ▶ Use of accessories other than those specified may result in increased emissions or decreased immunity of the ultrasound system.
- ▶ The ultrasound system should not be used in a domestic establishment or connected to the public mains network.

Table 2: Accessories and peripherals compatible with Edge II ultrasound system

Description	Maximum Cable Length
C8x transducer	6.0 ft/1.8 m
C11x transducer	6.0 ft/1.8 m
C35x transducer	5.5 ft/1.7 m
rC60xi transducer standard/armored	5.5 ft/1.7 m
HFL38xi transducer standard/armored	5.5 ft/1.7 m
HFL50x transducer	5.7 ft/1.7 m
HSL25x transducer	7.5 ft/2.3 m
ICTx transducer	5.5 ft/1.7 m
L25x transducer standard/armored	7.5 ft/2.3 m
L38xi transducer standard/armored	5.5 ft/1.7 m

Table 2: Accessories and peripherals compatible with Edge II ultrasound system (continued)

Description	Maximum Cable Length
L52x transducer ^a	7.9 ft/2.4 m
P10x transducer	6.0 ft/1.8 m
rP19x transducer standard/armored	6.0 ft/1.8 m
TEExi transducer	7.2 ft/2.2 m
Bar code scanner	4.8 ft/1.5 m
Battery for PowerPack	—
Battery Pack	—
Battery PowerPack	—
Black & white printer	—
Black & white printer power cable	3.3 ft/1 m
Color printer	—
Color printer power cable	3.3 ft/1 m
Color printer video cable	6 ft/1.8 m
ECG lead wires	24 in/0.6 m
ECG module	5.8 ft/1.8 m
ECG slave cable	8 ft/2.4 m
SonoSite Edge II Dock	—
SonoSite Edge II Stand	—
Footswitch	9.8 ft/3 m
Petite mouse	6 ft /1.8 m
Power cord (system)	10 ft/3 m
Power supply with DC cable	6.8 ft/2 m
Power supply AC cable	39 in/1 m
PowerPark	—
Triple Transducer Connect	—

Table 2: Accessories and peripherals compatible with Edge II ultrasound system (continued)

Description	Maximum Cable Length
USB wireless adapter	—
<p>For transducers, the maximum cable length is measured between the strain reliefs. The stated length do not include the lengths of cable in the following locations: underneath the strain reliefs, inside the transducer enclosure, and inside the transducer connector.</p> <p>^aThe L52x transducer is for veterinary use only.</p>	

Compatible accessories and peripherals (SonoSite SII)

FUJIFILM SonoSite has tested the SonoSite SII Ultrasound System with the following accessories and peripherals and has demonstrated compliance to the requirements of IEC 60601-1-2:2007 and IEC 60601-1-2:2014.

You may use these FUJIFILM SonoSite accessories and third-party peripherals with the SonoSite SII ultrasound system.

WARNINGS

- ▶ Use of the accessories with medical systems other than the SonoSite SII ultrasound system may result in increased emissions or decreased immunity of the medical system.
- ▶ Use of accessories other than those specified may result in increased emissions or decreased immunity of the ultrasound system.

Table 3: Accessories and peripherals compatible with SonoSite SII ultrasound system

Description	Maximum Cable Length
C8x transducer	6.0 ft/1.8 m
C11x transducer	6.0 ft/1.8 m
C35x transducer	5.5 ft/1.7 m
rC60xi transducer standard/armored	5.5 ft/1.7 m
HFL38xi transducer standard/armored	5.5 ft/1.7 m
HFL50x transducer	5.7 ft/1.7 m
HSL25x transducer	7.5 ft/2.3 m
ICTx transducer	5.5 ft/1.7 m

Table 3: Accessories and peripherals compatible with SonoSite SII ultrasound system

Description	Maximum Cable Length
L25x transducer standard/armored	7.5 ft/2.3 m
L38xi transducer standard/armored	5.5 ft/1.7 m
L52x transducer	7.9 ft/2.4 m
P10x transducer	6.0 ft/1.8 m
rP19x transducer standard/armored	6.0 ft/1.8 m
Bar code scanner	4.8 ft/1.5 m
Battery for PowerPack	—
Battery Pack	—
Battery PowerPack	—
Black & white printer	—
Black & white printer power cable	3.3 ft/1 m
Black & white printer control cable	6.0 ft/1.8 m
Black & white printer video cable	6.2 ft/1.9 m
Footswitch	9.8 ft/3 m
Footswitch USB extension cable	6.5 ft/2 m
SonoSite SII Stand	—
Power cord (system)	10 ft/3 m
Power supply with DC cable	6.8 ft/2 m
Power supply AC cable	39 in/1 m
PowerPark	—
USB wireless adapter	—
USB memory drive	—

For transducers, the maximum cable length is measured between the strain reliefs. The stated length do not include the lengths of cable in the following locations: underneath the strain reliefs, inside the transducer enclosure, and inside the transducer connector.

Manufacturer's declaration

The tables in this section document the intended use environment and EMC compliance levels of the system. For maximum performance, ensure that the system is used in the environments described in this table.

The system is intended for use in the electromagnetic environment specified below.

Table 4: Manufacturer's Declaration - Electromagnetic Emissions per IEC 60601-1-2:2007 and IEC 60601-1-2:2014

Emissions Test	Compliance	Electromagnetic Environment
RF emissions CISPR 11	Group 1	The Edge II and SII ultrasound systems use RF energy only for their internal functions. Therefore, their RF emissions are very low and are not likely to cause any interference in nearby electronic equipment.
RF emissions CISPR 11	Class A	The Edge II and SII ultrasound systems are suitable for use in all establishments other than domestic and those directly connected to the public low-voltage power supply network which supplies buildings used for domestic purposes.
Harmonic emissions IEC 61000-3-2	Class A	
Voltage fluctuations/flicker emissions IEC 61000-3-3	Complies	

The system is intended for use in the electromagnetic environment specified below.

Table 5: Manufacturer's Declaration - Electromagnetic Immunity per IEC 60601-1-2:2007

Immunity Test	IEC 60601 Test Level	Compliance Level	Electromagnetic Environment
Electrostatic Discharge (ESD) IEC 61000-4-2	± 2.0KV, ± 4.0KV, ± 6.0KV contact ± 2.0KV, ± 4.0KV, ± 8.0KV air	± 2.0KV, ± 4.0KV, ± 6.0KV contact ± 2.0KV, ± 4.0KV, ± 8.0KV air	Floors should be wood, concrete or ceramic tile. If floors are covered with synthetic material, the relative humidity should be at least 30%.
Electrical fast Transient burst IEC 61000-4-4	± 2KV on the mains ± 1KV on signal lines	± 2KV on the mains ± 1KV on signal lines	Mains power quality should be that of a typical commercial or hospital environment.

Table 5: Manufacturer's Declaration - Electromagnetic Immunity per IEC 60601-1-2:2007

Immunity Test	IEC 60601 Test Level	Compliance Level	Electromagnetic Environment
Surge IEC 61000-4-5	± 1KV line(s) to line(s) ± 2KV line(s) to earth	± 1KV line(s) to line(s) ± 2KV line(s) to earth	Mains power quality should be that of a typical commercial or hospital environment.
Voltage dips, short interruptions and voltage variations on power supply input lines IEC 61000-4-11	<5% U_T (>95% dip in U_T) for 0.5 cycle 40% U_T (60% dip in U_T) for 5 cycles 70% U_T (30% dip in U_T) for 25 cycles <5% U_T (>95% dip in U_T) for 5s	<5% U_T (>95% dip in U_T) for 0.5 cycle 40% U_T (60% dip in U_T) for 5 cycles 70% U_T (30% dip in U_T) for 25 cycles <5% U_T (>95% dip in U_T) for 5s	Mains power quality should be that of a typical commercial or hospital environment. If the user of the FUJIFILM SonoSite ultrasound system requires continued operation during power mains interruptions, it is recommended that the FUJIFILM SonoSite ultrasound system be powered from an uninterruptible power supply or a battery.
Power Frequency Magnetic Field IEC 61000-4-8	3 A/m	3 A/m	If image distortion occurs, it may be necessary to position the FUJIFILM SonoSite ultrasound system further from sources of power frequency magnetic fields or to install magnetic shielding. The power frequency magnetic field should be measured in the Intended installation location to assure that it is sufficiently low.
Conducted RF IEC 61000-4-6	3 Vrms 150 kHz to 80 MHz	3 Vrms	Portable and mobile RF communications equipment should be used no closer to any part of the FUJIFILM SonoSite ultrasound system including cables, than the recommended separation distance calculated from the equation applicable to the frequency of the transmitter. Recommended Separation Distance $d = 1.2 \sqrt{P}$

Table 5: Manufacturer’s Declaration – Electromagnetic Immunity per IEC 60601-1-2:2007


Immunity Test	IEC 60601 Test Level	Compliance Level	Electromagnetic Environment
Radiated RF IEC 61000-4-3	3 V/m 80 MHz to 2.5 GHz	3 V/m 80 MHz to 2.5 GHz	<p>$d = 1.2 \sqrt{P}$ 80 MHz to 800 MHz $d = 2.3 \sqrt{P}$ 800 MHz to 2.5 GHz Where P is the maximum output power rating of the transmitter in watts (10) according to the transmitter manufacturer and it is the recommended separation distance in meters (m).</p> <p>Field strengths from fixed RF transmitters, as determined by an electromagnetic site survey^a, should be less than the compliance level in each frequency range^b. Interference may occur in the vicinity of equipment marked with the following symbol:</p>  <p>(IEC 60417 No. 417-IEC-5140: “Source of non-ionizing radiation”)</p>
Note	<p>U_T is the AC mains voltage prior to application of the test level. At 80 MHz and 800 MHz, the higher frequency range applies. These guidelines may not apply in all situations. Electromagnetic propagation is affected by absorption and reflection from structures, objects and people.</p>		
<p>a. Field strengths from fixed transmitters such as base stations for radio (cellular/cordless) telephones and land mobile radios, amateur radio, AM and FM radio broadcast and TV broadcast cannot be predicted theoretically with accuracy. To assess the electromagnetic environment due to fixed RF transmitters, an electromagnetic site survey should be considered. If the measured field strength in the location in which the FUJIFILM SonoSite ultrasound system is used exceeds the applicable RF compliance level above, the FUJIFILM SonoSite ultrasound system should be observed to verify normal operation. If abnormal performance is observed, additional measures may be necessary, such as re-orienting or relocating the FUJIFILM SonoSite ultrasound system.</p> <p>b. Over the frequency range 150 kHz to 80 MHz, field strengths should be less than 3 V/m.</p>			

Table 6: Manufacturer's Declaration - Electromagnetic Immunity per IEC 60601-1-2:2014

Immunity Test	IEC 60601 Test Level	Compliance Level	Electromagnetic Environment
Electrostatic Discharge (ESD) IEC 61000-4-2	$\pm 8.0\text{KV}$, contact $\pm 2.0\text{KV}$, $\pm 4.0\text{KV}$, $\pm 8.0\text{KV}$ air, $\pm 15\text{KV}$	$\pm 8.0\text{KV}$, $\pm 4.0\text{KV}$, $\pm 8.0\text{KV}$ air, $\pm 15\text{KV}$	Floors should be wood, concrete or ceramic tile. If floors are covered with synthetic material, the relative humidity should be at least 30%.
Electrical fast Transient burst IEC 61000-4-4	$\pm 2\text{KV}$ on the mains $\pm 1\text{KV}$ on signal lines	$\pm 2\text{KV}$ on the mains $\pm 1\text{KV}$ on signal lines	Mains power quality should be that of a typical commercial or hospital environment.
Surge IEC 61000-4-5	$\pm 1\text{KV}$ line(s) to line(s) $\pm 2\text{KV}$ line(s) to earth	$\pm 1\text{KV}$ line(s) to line(s) $\pm 2\text{KV}$ line(s) to earth	Mains power quality should be that of a typical commercial or hospital environment.
Voltage dips, short interruptions and voltage variations on power supply input lines IEC 61000-4-11	0% U_T for 0.5 cycle 0% U_T for 5 cycles 70% U_T (30% dip in U_T) for 500 msec <5% U_T (>95% dip in U_T) for 5s	0% U_T for 0.5 cycle 0% U_T for 5 cycles 70% U_T (30% dip in U_T) for 500 msec <5% U_T (>95% dip in U_T) for 5s	Mains power quality should be that of a typical commercial or hospital environment. If the user of the FUJIFILM SonoSite ultrasound system requires continued operation during power mains interruptions, it is recommended that the FUJIFILM SonoSite ultrasound system be powered from an uninterruptible power supply or a battery.
Power Frequency Magnetic Field IEC 61000-4-8	30 A/m	30 A/m	If image distortion occurs, it may be necessary to position the FUJIFILM SonoSite ultrasound system further from sources of power frequency magnetic fields or to install magnetic shielding. The power frequency magnetic field should be measured in the Intended installation location to assure that it is sufficiently low.

Table 6: Manufacturer’s Declaration – Electromagnetic Immunity per IEC 60601-1-2:2014


Immunity Test	IEC 60601 Test Level	Compliance Level	Electromagnetic Environment
Conducted RF IEC 61000-4-6	3 Vrms 150 kHz to 80 MHz 6 Vrms in ISM bands	3 Vrms 6 Vrms in ISM bands	Portable and mobile RF communications equipment should be used no closer to any part of the FUJIFILM SonoSite ultrasound system including cables, than the recommended separation distance calculated from the equation applicable to the frequency of the transmitter. Recommended Separation Distance $d = 1.2 \sqrt{P}$
Radiated RF IEC 61000-4-3	3 V/m 80 MHz to 2.7 GHz	3 V/m 80 MHz to 2.7 GHz	$d = 1.2 \sqrt{P}$ 80 MHz to 800 MHz $d = 2.3 \sqrt{P}$ 800 MHz to 2.5 GHz Where P is the maximum output power rating of the transmitter in watts (10) according to the transmitter manufacturer and it is the recommended separation distance in meters (m). Field strengths from fixed RF transmitters, as determined by an electromagnetic site survey ^a , should be less than the compliance level in each frequency range ^b . Interference may occur in the vicinity of equipment marked with the following symbol:  (IEC 60417 No. 417-IEC-5140: “Source of non-ionizing radiation”)
Proximity fields from wireless communications equipment	Per 60601-1-2:2014 Table 9	Per 60601-1-2:2014 Table 9	

Table 6: Manufacturer's Declaration - Electromagnetic Immunity per IEC 60601-1-2:2014

Immunity Test	IEC 60601 Test Level	Compliance Level	Electromagnetic Environment
Note	<p>U_T is the AC mains voltage prior to application of the test level. At 80 MHz and 800 MHz, the higher frequency range applies. These guidelines may not apply in all situations. Electromagnetic propagation is affected by absorption and reflection from structures, objects and people.</p>		
	<p>a. Field strengths from fixed transmitters such as base stations for radio (cellular/cordless) telephones and land mobile radios, amateur radio, AM and FM radio broadcast and TV broadcast cannot be predicted theoretically with accuracy. To assess the electromagnetic environment due to fixed RF transmitters, an electromagnetic site survey should be considered. If the measured field strength in the location in which the FUJIFILM SonoSite ultrasound system is used exceeds the applicable RF compliance level above, the FUJIFILM SonoSite ultrasound system should be observed to verify normal operation. If abnormal performance is observed, additional measures may be necessary, such as re-orienting or relocating the FUJIFILM SonoSite ultrasound system.</p> <p>b. Over the frequency range 150 kHz to 80 MHz, field strengths should be less than 3 V/m.</p>		

FCC Caution: This equipment has been tested and found to comply with the limits for a Class A digital device, pursuant to part 15 of the FCC rules. These limits are designed to provide reasonable protection against harmful interference when the equipment is operated in a commercial environment. This equipment generates, uses, and can radiate radio frequency energy and, if not installed and used in accordance with the instruction manual, may cause harmful interference to radio communications. Operation of this equipment in a residential area is likely to cause harmful interference in which case the user will be required to correct the interference at his own expense.

Compatible accessories and peripherals

The following warning was added to the SonoSite Edge II and SonoSite SII user guides; the revision will be made in the next update.

WARNING

If peripherals are connected to the system, ensure that the system and peripherals are connected to the same AC Mains branch circuit.

Labeling symbols

Table 7: Standards labeling symbols




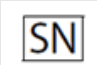
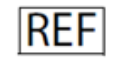
Symbol	Title	Standards development organization	Reference number	Description
	Manufacturer	ISO 15223-1:2016 Medical devices – symbols to be used with medical device labels, labelling, and information to be supplied – Part 1: General requirements	5.1.1	Indicates the medical device manufacturer, as EU directives 90/385/EEC, 93/42/EEC and 98/79/EC
	Non-ionizing electromagnetic radiation	IEC 60601-1-2:2007 Medical Electrical Equipment Part 1-2: General requirements for basic safety and essential performance – collateral standard: electromagnetic compatibility	5.1.1	Indicates generally elevated, potentially hazardous levels of non-ionizing radiation, or to indicate equipment or systems e.g., in the medical electrical area that include RF transmitters or that intentionally apply RF electromagnetic energy for diagnosis or treatment
	European community authorized representative	ISO 15223-1 Medical devices - symbols to be used with medical device labels, labelling and information to be supplied.	5.1.2	Indicates the Authorized representative in the European Community
	Serial number	ISO 15223-1:2016 Medical devices – symbols to be used with medical device labels, labelling, and information to be supplied – Part 1: General requirements	5.1.7	Indicates the manufacturer's serial number so that a specific medical device can be identified
	Catalog number	ISO 15223-1:2016 Medical devices – symbols to be used with medical device labels, labelling, and information to be supplied – Part 1: General requirements	5.1.6	Indicates the manufacturer's catalog number so that the medical device can be identified

Table 7: Standards labeling symbols (continued)




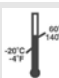


Symbol	Title	Standards development organization	Reference number	Description
	Caution	ISO 15223-1:2016 Medical devices – symbols to be used with medical device labels, labeling, and information to be supplied – Part 1: General requirements	5.4.4	Indicates the need for the user to consult the instructions for use for important cautionary information such as warnings and precautions, that cannot for a variety of reasons, be presented on the medical device itself
	Fragile handle with care	ISO 15223-1:2016 Medical devices – symbols to be used with medical device labels, labelling, and information to be supplied – Part 1: General requirements	5.3.1	Indicates a medical device that can be broken or damaged if not handled carefully
	Keep dry	ISO 15223-1:2016 Medical devices – symbols to be used with medical device labels, labelling, and information to be supplied – Part 1: General requirements	5.3.4	.Indicates a medical device that needs to be protected from moisture
	Temperature limit	ISO 15223-1:2016 Medical devices – symbols to be used with medical device labels, labelling, and information to be supplied – Part 1: General requirements	5.3.7	Indicates the temperature limits to which the medical device can be safely exposed
	Atmospheric pressure limitations	ISO 15223-1:2016 Medical devices – symbols to be used with medical device labels, labelling, and information to be supplied – Part 1: General requirements	5.3.9	Indicates the range of atmospheric pressure to which the medical device can be safely exposed
	Humidity limitation	ISO 15223-1:2016 Medical devices – symbols to be used with medical device labels, labelling, and information to be supplied – Part 1: General requirements	5.3.8	Indicates the range of humidity to which the medical device can be safely exposed

Table 7: Standards labeling symbols (continued)







Symbol	Title	Standards development organization	Reference number	Description
IPX7	Degree of ingress protection provided by enclosure	IEC 60601-1 Medical electrical equipment Part 1: General requirements for basic safety and essential performance	D.3	Protected against the effects of temporary immersion
	Refer to instruction manual/booklet	IEC 60601-1 Medical electrical equipment Part 1: General requirements for basic safety and essential performance	D.2-10	Follow instructions for use (used in accordance with IEC 60601-1)
	Consult instructions for use	ISO 15223-1:2016 Medical devices – symbols to be used with medical device labels, labelling, and information to be supplied – Part 1: General requirements	5.4.3	Indicates the need for the user to consult the instructions for use
	Alternating current	ISO 7000 / IEC 60417 Graphical symbols for use on equipment	5032	Indicates on the rating plate, that the equipment is suitable for alternating current only, in order to identify appropriate terminals
	CE marking	Council Directive 93/42/EEC	Article 17 Annex XII	Signifies European Technical Conformity
	Conformité Européenne Notified Body Reference No.: 2797	Council Directive 93/42/EEC	Article 17 Annex XII	Indicates European technical conformity and identification of notified body responsible for implementation of the procedures set out in Annexes II, IV, V, and VI.
	Dangerous voltage	ISO 7000 / IEC 60417 Graphical symbols for use on equipment	5036	Indicates hazards arising from dangerous voltage

Table 7: Standards labeling symbols (continued)








Symbol	Title	Standards development organization	Reference number	Description
	Stacking limit by number	ISO 7000 / IEC 60417 Graphical symbols for use on equipment	2403	Indicates that the items are not to be vertically stacked higher than the specified number of items
	Caution hot	ISO 7000 / IEC 60417 Graphical symbols for use on equipment	5041	Indicates that the marked item can be hot and should not be touched without taking care
	Caution, static magnetic field hazard	ISO 7000 / IEC 60417 Graphical symbols for use on equipment	6204	Identifies areas with potentially hazardous static magnetic fields and forces in an installation
	Type BF applied parts	IEC 60601-1 Medical electrical equipment Part 1: General requirements for basic safety and essential performance	D.2-10	Identifies type BF applied part complying with IEC 60601-1
	Defibrillation-proof type CF applied part	IEC 60601-1 Medical electrical equipment Part 1: General requirements for basic safety and essential performance	D.1-27	Identifies a defibrillation-proof type CF applied part complying with IEC 60601-1
	Electrostatic sensitive device	IEC 60417:2002 Graphical Symbols For Use On Equipment	5134	Indicates packages containing electrostatic sensitive devices, or identifies a device or a connector that has not been tested for immunity to electrostatic discharge
	Regulatory Compliance Mark (RCM)	AS/NZS3820	—	Indicates C-Tick-Regulatory Compliance Mark for Australia and New Zealand Device complies with relevant Australian and New Zealand regulations for electronic devices.

Table 7: Standards labeling symbols (continued)









Symbol	Title	Standards development organization	Reference number	Description
	Batch code, date code, or lot code type of control number	ISO 15223-1 Medical devices - Symbols to be used with medical device labels, labelling and information to be supplied - Part 1: General Requirements	5.1.5	Indicates manufacturer's batch code so that the batch or lot can be identified
	Biological risk	ISO 7010 - Graphical symbols -- Safety colors and safety signs	W009	To warn of biological Hazard
	INMETRO Safety Symbols	—	—	Indicates Brazil - Accredited certification body by the National Institute of Metrology Standardization and Industrial Quality (INMETRO)
	Canadian Standard Association Certification Mark	—	—	CSA certification mark signifying that the product complies with the applicable CSA and ANSI/UL requirements and is authorized for use in Canada and the US.
	Recycle: Electronic Equipment	BS EN 50419:2016 Marking of Electrical and Electronic Equipment in accordance with Directive 2012/19/EU (WEEE).	Annex IX	Do Not Throw in Trash
	Corrugated recycle	—	—	Shipping box is made of corrugated cardboard and should be recycled accordingly
	Date of manufacture	ISO 7000- Graphical symbols for Use on Equipment	5.1.3	To indicate the date on which a product was manufactured
	Direct current (DC)	—	—	—

Table 7: Standards labeling symbols (continued)



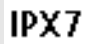
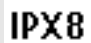




Symbol	Title	Standards development organization	Reference number	Description
	21 Part 15	Federal Communications Commission (FCC) Declaration of conformity	Federal Communications Commission	FCC-Tested to Federal Communications Commission requirements Device complies with relevant FCC regulations for electronic devices
GEL	Gel	—	—	—
	Resy- Recycling Symbol	—	—	Paper recycle
	Degree of Ingress Protection Provided by Enclosure	IEC 60601-1 Medical Electrical Equipment Part 1: General requirements for basic safety and essential performance	D.3	Protected against the effects of temporary immersion in water. Submersible Protected against the effects of temporary immersion.
	Degree of Ingress Protection Provided by Enclosure	IEC 60601-1 Medical Electrical Equipment Part 1: General requirements for basic safety and essential performance	D.3	Protected against the effects of temporary immersion in water. Water-Tight Equipment Protected against the effects of extended immersion
	—	—	—	Indicates handle with care
	—	—	—	Indicates follow manufacturer's instructions for disinfecting time
	—	—	—	Indicates disinfect transducer
	Maximum weight load	IEC 60601-1 Medical Electrical Equipment Part 1: General requirements for basic safety and essential performance	7.2.21	Indicates total weight of the equipment, including the safe working load

Table 7: Standards labeling symbols (continued)










Symbol	Title	Standards development organization	Reference number	Description
	Underwriters Laboratories Certification Mark	—	—	Certification mark for electrical shock, fire, and mechanical hazards only
	UL Product Certification.	—	—	The product or company has successfully met stringent standards for product safety.
	China Pollution Control (10)	ISO 7000:2014 Graphical symbols for use on equipment	1135	Pollution Control Logo. (Applies to all parts/products listed in the China RoHS disclosure table. May not appear on the exterior of some parts/products because of space limitations.)
	China Compulsory Certificate mark ("CCC Mark"). Compulsory safety mark for compliance to Chinese national standards for many products sold in the People's Republic of China.	—	—	—
	Sterilized using ethylene oxide	ISO 15223-1 Medical devices - Symbols to be used with medical device labels, labeling and information to be supplied - Part 1: General Requirements	5.2.3	Indicates a medical device that has been sterilized using ethylene oxide

Table 7: Standards labeling symbols (continued)

Symbol	Title	Standards development organization	Reference number	Description
	Sterilized using irradiation	ISO 15223-1 Medical devices - Symbols to be used with medical device labels, labeling and information to be supplied - Part 1: General Requirements	5.2.4	Indicates a medical device that has been sterilized using irradiation
	(SII only) Catalog number	ISO 15223-1:2016 Medical Devices - Symbols To Be Used With Medical Device Labels, Labeling, And Information To Be Supplied - Part 1: General Requirements	5.1.6	Indicates the manufacturer's Catalogue number so that the medical device can be identified.
	(SII only) Dangerous voltage	ISO 7000 / IEC 60417 Graphical symbols for use on equipment	5036	Indicates hazards arising from dangerous voltage
	(SII only) For indoor use only	ISO 7000 / IEC 60417 Graphical symbols for use on equipment	5957	Identifies electrical equipment designed primarily for indoor use

Specifications

Supported transducers (SonoSite SII)

The following redundant section was removed from the SonoSite SII user guide. The same information is present in Table 9-2 of the user guide; the revision will be made in the next update.

Table 8: Supported transducers

Description	Maximum Cable Length
C11x transducer	6.0 ft/1.8 m
rC60xi transducer standard/armored	5.5 ft/1.7 m
HFL38xi transducer standard/armored	5.5 ft/1.7 m

For transducers, the maximum cable length is measured between the strain reliefs. The stated length does not include the lengths of cable in the following locations: underneath the strain reliefs, inside the transducer enclosure, and inside the transducer connector.

Description	Maximum Cable Length
HFL50x transducer	5.5 ft/1.7 m
HSL25x transducer	8.0 ft/2.4 m
ICTx transducer	5.5 ft/1.7 m
L25x transducer	7.5 ft/2.3 m
L38xi transducer standard/armored	5.5 ft/1.7 m
L52x transducer	7.9 ft/2.4 m
P10x transducer	6.0 ft/1.8 m
rP19x transducer standard/armored	6.0 ft/1.8 m

For transducers, the maximum cable length is measured between the strain reliefs. The stated length does not include the lengths of cable in the following locations: underneath the strain reliefs, inside the transducer enclosure, and inside the transducer connector.

Standards

Electromechanical safety standards

Table 9: Electromechanical safety standards

Standard	Description
ANSI/AAMI ES60601-1:2005/(R) 2012, and A1:2012	Medical electrical equipment, Part 1: General requirements for basic safety and essential performance (Consolidated Edition 3.1)
CAN/CSA C22.2 No. 60601-1:2014 (Edition 3.1)	Medical electrical equipment - Part 1: General Requirements for Basic Safety and Essential Performance
IEC 60601-1:2012 (Edition 3.1)	Medical electrical equipment - Part 1: General Requirements for Basic Safety and Essential Performance
IEC 60601-2-37:2015	Medical Electrical Equipment - Part 2-37: Particular requirements for the basic safety and essential performance of ultrasonic medical diagnostic and monitoring equipment
IEC 60601-1-6:2013	Medical Electrical Equipment, Part 1-6: General requirements for basic safety and essential performance - Collateral Standard: Usability
JIS T0601-1:2012 (3rd Edition)	Japanese Industrial Standard, Medical electrical equipment - Part 1: General requirements for basic safety and essential performance

Acoustic output

ALARA principle

Applying the ALARA principle

The system imaging mode selected by the qualified ultrasound user is determined by the diagnostic information required. 2D imaging provides anatomical information; CPD imaging provides information about the energy or amplitude strength of the Doppler signal over time at a given anatomical location and is used for detecting the presence of blood flow; Color imaging provides information about the energy or amplitude strength of the Doppler signal over time at a given anatomical location and is used for detecting the presence, velocity, and direction of blood flow; Tissue Harmonic Imaging (THI) uses higher received frequencies to reduce clutter, artifact, and improve resolution on the 2D image. Understanding the nature of the imaging mode used allows the qualified ultrasound user to apply the ALARA principle.

Prudent use of ultrasound requires that patient exposure to ultrasound be limited to the lowest ultrasound output for the shortest time necessary to achieve acceptable diagnostic results. Decisions that support prudent use are based on the type of patient, exam type, patient history, ease or difficulty of obtaining diagnostically useful information, and potential localized heating of the patient due to transducer surface temperature.

The system has been designed to ensure that temperature at the face of the transducer will not exceed the limits established in IEC 60601-2-37: Particular requirement for the safety of ultrasound medical diagnostic and monitoring equipment. See **“Transducer surface temperature rise”** on page 10-9. In the event of a device malfunction, there are redundant controls that limit transducer power. This is accomplished by an electrical design that limits both power supply current and voltage to the transducer.

The sonographer uses the system controls to adjust image quality and limit ultrasound output. The system controls are divided into three categories relative to output: controls that directly affect output, controls that indirectly affect output, and receiver controls.

Direct controls

The system does not exceed a spatial peak temporal average intensity (ISPTA) of 720 mW/cm^2 for all imaging modes. (For either the Ophthalmic or Orbital exam, the acoustic output is limited to the following values: ISPTA does not exceed 50 mW/cm^2 ; TI does not exceed 1.0, and MI does not exceed 0.23.) The mechanical index (MI) and thermal index (TI) may exceed values greater than 1.0 on some transducers in some imaging modes. One may monitor the MI and TI values and adjust the controls to reduce these values. See **“Guidelines for reducing MI and TI”** on page 10-3. Additionally, one means for meeting the ALARA principle is to set the MI or TI values to a low index value and then modifying this level until a satisfactory image or Doppler mode is obtained. For more information on MI and TI, refer to Medical Ultrasound Safety, AIUM (a copy is included with each system) and IEC 60601-2-37 Annex “Guidance on the interpretation of TI and MI to be used to inform the operator.”

Output display

Related guidance documents

Information for Manufacturers Seeking Marketing Clearance of Diagnostic Ultrasound Systems and Transducers, FDA, 2008.

Medical Ultrasound Safety, American Institute of Ultrasound in Medicine (AIUM), 2014. (A copy is included with each system.)

Acoustic Output Measurement Standard for Diagnostic Ultrasound Equipment, NEMA UD2-2004.

IEC 60601-2-37: 2015, Particular requirements for the basic safety and essential performance of ultrasonic diagnostic and monitoring equipment.

Transducer surface temperature rise

Table 10-4 and Table 10-5 list the measured surface temperature rise from ambient ($23^{\circ}\text{C} \pm 3^{\circ}\text{C}$) of transducers used on the ultrasound system. The temperatures were measured in accordance with IEC 60601-2-37 with controls and settings positioned to give maximum temperatures.

Acoustic output measurement

Since the initial use of diagnostic ultrasound, the possible human biological effects (bioeffects) from ultrasound exposure have been studied by various scientific and medical institutions. In October 1987, the American Institute of Ultrasound in Medicine (AIUM) ratified a report from its Bioeffects Committee (Bioeffects Considerations for the Safety of Diagnostic Ultrasound, *J Ultrasound Med.*, Sept. 1988: Vol. 7, No. 9 Supplement). The report, sometimes referred to as *the Stowe Report*, reviewed available data on possible effects of ultrasound exposure. Another report, *Bioeffects and Safety of Diagnostic Ultrasound*, dated January 28, 1993, provides more current information.

The acoustic output for this ultrasound system has been measured and calculated in accordance with “Acoustic Output Measurement Standard for Diagnostic Ultrasound Equipment” (NEMA UD2-2004) and IEC 60601-2-37: 2015, Particular requirements for the basic safety and essential performance of ultrasonic diagnostic and monitoring equipment.

Acoustic output tables

The format of the acoustic output tables has been updated.

Transducer model: C8x Operating mode: 2D	33
Transducer model: C8x Operating mode: M mode	34
Transducer model: C8x Operating mode: Color/CPD	35
Transducer model: C8x Operating mode: PW Doppler	36

Transducer model: C11x Operating mode: PW Doppler	37
Transducer model: C35x Operating mode: 2D	38
Transducer model: C35x Operating mode: PW Doppler	39
Transducer model: HFL38xi (Ophthalmic use) Operating mode: 2D	40
Transducer model: HFL38xi (Ophthalmic use) Operating mode: M mode	41
Transducer model: HFL38xi (Ophthalmic use) Operating mode: Color/CPD	42
Transducer model: HFL38xi (Ophthalmic use) Operating mode: PW Doppler	43
Transducer model: HFL38xi Operating mode: 2D	44
Transducer model: HFL38xi Operating mode: M mode	45
Transducer model: HFL38xi Operating mode: Color/CPD	46
Transducer model: HFL38xi Operating mode: PW Doppler	47
Transducer model: HFL50x Operating mode: 2D	48
Transducer model: HFL50x Operating mode: M mode	49
Transducer model: HFL50x Operating mode: Color	50
Transducer model: HFL50x Operating mode: PW Doppler	51
Transducer model: HSL25x (Ophthalmic use) Operating mode: 2D	52
Transducer model: HSL25x (Ophthalmic use) Operating mode: M mode	53
Transducer model: HSL25x (Ophthalmic use) Operating mode: Color/CPD	54
Transducer model: HSL25x (Ophthalmic use) Operating mode: PW Doppler	55
Transducer model: HSL25x Operating mode: 2D	56
Transducer model: HSL25x Operating mode: Color/CPD	57
Transducer model: HSL25x Operating mode: PW Doppler	58
Transducer model: ICTx Operating mode: PW Doppler	59
Transducer model: L25x (Ophthalmic use) Operating mode: 2D	60
Transducer model: L25x (Ophthalmic use) Operating mode: M mode	61
Transducer model: L25x (Ophthalmic use) Operating mode: Color/CPD	62
Transducer model: L25x (Ophthalmic use) Operating mode: PW Doppler	63
Transducer model: L25x Operating mode: 2D	64
Transducer model: L25x Operating mode: Color/CPD	65
Transducer model: L25x Operating mode: PW Doppler	66
Transducer model: L38xi Operating mode: 2D	67
Transducer model: L38xi Operating mode: M mode	68
Transducer model: L38xi Operating mode: Color/CPD	69
Transducer model: L38xi Operating mode: PW Doppler	70
Transducer model: P10x Operating mode: Color	71
Transducer model: P10x Operating mode: CW Doppler	72
Transducer model: P10x Operating mode: PW Doppler	73
Transducer model: rC60xi Operating mode: 2D	74
Transducer model: rC60xi Operating mode: M mode	75
Transducer model: rC60xi Operating mode: Color/CPD	76
Transducer model: rC60xi Operating mode: PW Doppler	77
Transducer model: rP19x (Orbital use) Operating mode: 2D	78
Transducer model: rP19x (Orbital use) Operating mode: M mode	79
Transducer model: rP19x (Orbital use) Operating mode: Color/CPD	80
Transducer model: rP19x (Orbital use) Operating mode: PW Doppler	81
Transducer model: rP19x Operating mode: 2D	82
Transducer model: rP19x Operating mode: M mode	83

Transducer model: rP19x Operating mode: Color/CPD	84
Transducer model: rP19x Operating mode: CW Doppler	85
Transducer model: rP19x Operating mode: PW Doppler	86
Transducer model: TEExi Operating mode: CW Doppler	87
Transducer model: TEExi Operating mode: PW Doppler	88

Table 10: Transducer model: C8x Operating mode: 2D

Index label		MI	TIS		TIB		TIC
			At surface	Below surface	At surface	Below surface	At surface
Maximum index value		1.1	(a)		(a)		(b)
Index component value			#	#	#	#	
Acoustic parameters	$p_{r,\alpha}$ at z_{MI} (MPa)	2.48					
	P (mW)		#		#		#
	P_{1x1} (mW)		#		#		
	z_s (cm)			—			
	z_b (cm)					—	
	z_{MI} (cm)	1.2					
	$z_{pii,\alpha}$ (cm)	1.2					
	f_{awf} (MHz)	5.53	#		#		#
Other information	pr (Hz)	9524					
	srr (Hz)	18.6					
	n_{pps}	1					
	$I_{pa,\alpha}$ at $z_{pii,\alpha}$ (W/cm^2)	264					
	$I_{spta,\alpha}$ at $z_{pii,\alpha}$ or $z_{sii,\alpha}$ (mW/cm^2)	18.3					
	I_{spta} at z_{pii} or z_{sii} (mW/cm^2)	25.6					
	p_r at z_{pii} (MPa)	3.11					
Operating controls	Exam type	Pro					
	Optimization	Pen					
	Depth (cm)	2.5–3.2					
	MB	Off					

(a) This index is not required for this operating mode; value is <1.

(b) This transducer is not intended for transcranial or neonatal cephalic uses.

No data are reported for this operating condition since the global maximum index value is not reported for the reason listed. (Reference global maximum index value line.)

— Data are not applicable for this transducer/mode.

Table 11: Transducer model: C8x Operating mode: M mode

Index label		MI	TIS		TIB		TIC
			At surface	Below surface	At surface	Below surface	At surface
Maximum index value		1.3	(a)		(a)		(b)
Index component value			#	#	#	#	
Acoustic parameters	$p_{r,\alpha}$ at z_{MI} (MPa)	2.91					
	P (mW)		#		#		#
	P_{1x1} (mW)		#		#		
	z_s (cm)			#			
	z_b (cm)					#	
	z_{MI} (cm)	1.1					
	$z_{pii,\alpha}$ (cm)	1.1					
	f_{awf} (MHz)	5.07	#		#		#
Other information	pr (Hz)	800					
	srr (Hz)	—					
	n_{pps}	1					
	$I_{pa,\alpha}$ at $z_{pii,\alpha}$ (W/cm^2)	433					
	$I_{spta,\alpha}$ at $z_{pii,\alpha}$ or $z_{sii,\alpha}$ (mW/cm^2)	149					
	I_{spta} at z_{pii} or z_{sii} (mW/cm^2)	226					
Operating controls	p_r at z_{pii} (MPa)	3.57					
	Exam type	Pro					
	Optimization	Pen					
	Depth (cm)	4.2					

(a) This index is not required for this operating mode; value is <1.

(b) This transducer is not intended for transcranial or neonatal cephalic uses.

No data are reported for this operating condition since the global maximum index value is not reported for the reason listed. (Reference global maximum index value line.)

— Data are not applicable for this transducer/mode.

Table 12: Transducer model: C8x Operating mode: Color/CPD

Index label		MI	TIS		TIB		TIC
			At surface	Below surface	At surface	Below surface	At surface
Maximum index value		1.2	(a)		(a)		(b)
Index component value			#	#	#	#	
Acoustic parameters	$p_{r,\alpha}$ at z_{MI} (MPa)	2.68					
	P (mW)		#		#		#
	$P_{1 \times 1}$ (mW)		#		#		
	z_s (cm)			—			
	z_b (cm)					—	
	z_{MI} (cm)	0.8					
	$z_{pii,\alpha}$ (cm)	0.8					
	f_{awf} (MHz)	4.82	#		#		#
Other information	p_{rr} (Hz)	2548					
	s_{rr} (Hz)	26					
	n_{pps}	12					
	$I_{pa,\alpha}$ at $z_{pii,\alpha}$ (W/cm^2)	381					
	$I_{spta,\alpha}$ at $z_{pii,\alpha}$ or $z_{sij,\alpha}$ (mW/cm^2)	132					
	I_{spta} at z_{pii} or z_{sij} (mW/cm^2)	176					
	p_r at z_{pii} (MPa)	3.1					
Operating controls	Exam type	Pro					
	Mode	CVD					
	2D optimization/depth (cm)	Pen/1.5–1.9					
	Color optimization/PRF (Hz)	High/any					
	Color box position/size	Narrow/any					

(a) This index is not required for this operating mode; value is <1.

(b) This transducer is not intended for transcranial or neonatal cephalic uses.

No data are reported for this operating condition since the global maximum index value is not reported for the reason listed. (Reference global maximum index value line.)

— Data are not applicable for this transducer/mode.

Table 13: Transducer model: C8x Operating mode: PW Doppler

Index label		MI	TIS		TIB		TIC
			At surface	Below surface	At surface	Below surface	At surface
Maximum index value		1.0	(a)		1.4		(b)
Index component value			#	#	0.5	1.4	
Acoustic parameters	$p_{r,\alpha}$ at z_{MI} (MPa)	2.28					
	P (mW)		#		23.1		#
	P_{1x1} (mW)		#		23.1		
	z_s (cm)			#			
	z_b (cm)					1.0	
	z_{MI} (cm)	1.8					
	$z_{pii,\alpha}$ (cm)	1.8					
	f_{awf} (MHz)	4.80		#	4.80		#
Other information	pr (Hz)	1008					
	srr (Hz)	—					
	n_{pps}	1					
	$I_{pa,\alpha}$ at $z_{pii,\alpha}$ (W/cm^2)	263					
	$I_{spta,\alpha}$ at $z_{pii,\alpha}$ or $z_{sii,\alpha}$ (mW/cm^2)	334					
	I_{spta} at z_{pii} or z_{sii} (mW/cm^2)	616					
p_r at z_{pii} (MPa)	3.1						
Operating controls	Exam type	Pro			Pro		
	Sample volume size (mm)	1			1		
	Sample volume position	Zone 4			Zone 4		
	PRF (Hz)	1008			1008		

(a) This index is not required for this operating mode; value is <1.

(b) This transducer is not intended for transcranial or neonatal cephalic uses.

No data are reported for this operating condition since the global maximum index value is not reported for the reason listed. (Reference global maximum index value line.)

— Data are not applicable for this transducer/mode.

Table 14: Transducer model: C11x Operating mode: PW Doppler

Index label	MI	TIS		TIB		TIC
		At surface	Below surface	At surface	Below surface	At surface
Maximum index value	(a)	(a)		1.5		1.1
Index component value		#	#	0.5	1.5	
Acoustic parameters	$p_{r,\alpha}$ at z_{MI} (MPa)	#				
	P (mW)		#	24.6		21.7
	P_{1x1} (mW)		#	24.6		
	z_s (cm)		#			
	z_b (cm)				1.7	
	z_{MI} (cm)	#				
	$z_{pii,\alpha}$ (cm)	#				
Other information	f_{awf} (MHz)	#	#	4.37		4.36
	pr_r (Hz)	#				
	srr (Hz)	#				
	η_{pps}	#				
	$I_{pa,\alpha}$ at $z_{pii,\alpha}$ (W/cm^2)	#				
	$I_{spta,\alpha}$ at $z_{pii,\alpha}$ or $z_{sii,\alpha}$ (mW/cm^2)	#				
	I_{spta} at z_{pii} or z_{sii} (mW/cm^2)	#				
Operating controls	p_r at z_{pii} (MPa)	#				
	Exam type			Nrv		Nrv
	Sample volume size (mm)			1		7
	Sample volume position			Zone 1		Zone 0
	PRF (Hz)			10417		6250

(a) This index is not required for this operating mode; value is <1.

(b) This transducer is not intended for transcranial or neonatal cephalic uses.

No data are reported for this operating condition since the global maximum index value is not reported for the reason listed. (Reference global maximum index value line.)

— Data are not applicable for this transducer/mode.

Table 15: Transducer model: C35x Operating mode: 2D

Index label		MI	TIS		TIB		TIC
			At surface	Below surface	At surface	Below surface	At surface
Maximum index value		1.0	(a)		(a)		(b)
Index component value			#	#	#	#	
Acoustic parameters	$p_{r,\alpha}$ at z_{MI} (MPa)	1.8					
	P (mW)		#		#		#
	P_{1x1} (mW)		#		#		
	z_s (cm)			—			
	z_b (cm)					—	
	z_{MI} (cm)	3.3					
	$z_{pii,\alpha}$ (cm)	3.3					
	f_{awf} (MHz)	3.45	#		#		#
Other information	pr (Hz)	1021					
	srr (Hz)	7.98					
	η_{pps}	1					
	$I_{pa,\alpha}$ at $z_{pii,\alpha}$ (W/cm^2)	250					
	$I_{spta,\alpha}$ at $z_{pii,\alpha}$ or $z_{sii,\alpha}$ (mW/cm^2)	8.6					
	I_{spta} at z_{pii} or z_{sii} (mW/cm^2)	16.5					
Operating controls	p_r at z_{pii} (MPa)	2.61					
	Exam type	Msk					
	Optimization	Res					
	Depth (cm)	8.3					
	MB	N/A					

(a) This index is not required for this operating mode; value is <1.

(b) This transducer is not intended for transcranial or neonatal cephalic uses.

No data are reported for this operating condition since the global maximum index value is not reported for the reason listed. (Reference global maximum index value line.)

— Data are not applicable for this transducer/mode.

Table 16: Transducer model: C35x Operating mode: PW Doppler

Index label	MI	TIS		TIB		TIC
		At surface	Below surface	At surface	Below surface	At surface
Maximum index value	(a)	1.5		2.6		(b)
Index component value		1.5	1.0	1.0	2.6	
Acoustic parameters	$p_{r,\alpha}$ at z_{MI} (MPa)	#				
	P (mW)		72.8	47.1		#
	P_{1x1} (mW)		71.1	47.1		
	z_s (cm)			1.4		
	z_b (cm)				0.50	
	z_{MI} (cm)	#				
	$z_{pii,\alpha}$ (cm)	#				
Other information	f_{awf} (MHz)	#	4.35	4.37		#
	pr_r (Hz)	#				
	srr (Hz)	#				
	η_{pps}	#				
	$I_{pa,\alpha}$ at $z_{pii,\alpha}$ (W/cm^2)	#				
	$I_{spta,\alpha}$ at $z_{pii,\alpha}$ or $z_{sii,\alpha}$ (mW/cm^2)	#				
	I_{spta} at z_{pii} or z_{sii} (mW/cm^2)	#				
Operating controls	p_r at z_{pii} (MPa)	#				
	Exam type		Spine		Spine	
	Sample volume size (mm)		2		1	
	Sample volume position		Zone 5		Zone 0	
			6250		15625	

(a) This index is not required for this operating mode; value is <1.

(b) This transducer is not intended for transcranial or neonatal cephalic uses.

No data are reported for this operating condition since the global maximum index value is not reported for the reason listed. (Reference global maximum index value line.)

— Data are not applicable for this transducer/mode.

Table 17: Transducer model: HFL38xi (Ophthalmic use) Operating mode: 2D

Index label		MI	TIS		TIB		TIC
			At surface	Below surface	At surface	Below surface	At surface
Maximum index value		0.17	0.007		0.007		(b)
Index component value			0.007	0.007	0.007	0.007	
Acoustic parameters	$p_{r,\alpha}$ at z_{MI} (MPa)	0.43					
	P (mW)		0.77		0.77		#
	$P_{1 \times 1}$ (mW)		0.21		0.21		
	z_s (cm)			—			
	z_b (cm)					—	
	z_{MI} (cm)	2.1					
	$z_{pii,\alpha}$ (cm)	2.1					
	f_{awf} (MHz)	6.59	6.75		6.75		#
Other information	pr (Hz)	11339					
	srr (Hz)	19.7					
	n_{pps}	3					
	$I_{pa,\alpha}$ at $z_{pii,\alpha}$ (W/cm^2)	11.4					
	$I_{spta,\alpha}$ at $z_{pii,\alpha}$ or $z_{sii,\alpha}$ (mW/cm^2)	0.8					
	I_{spta} at z_{pii} or z_{sii} (mW/cm^2)	1.3					
p_r at z_{pii} (MPa)	0.7						
Operating controls	Exam type	Oph	Oph		Oph		
	Optimization	Pen	Res		Res		
	Depth (cm)	4.9	4.9		4.9		
	MB	On	On		On		

(a) This index is not required for this operating mode; value is <1.

(b) This transducer is not intended for transcranial or neonatal cephalic uses.

No data are reported for this operating condition since the global maximum index value is not reported for the reason listed. (Reference global maximum index value line.)

— Data are not applicable for this transducer/mode.

Table 18: Transducer model: HFL38xi (Ophthalmic use) Operating mode: M mode

Index label		MI	TIS		TIB		TIC
			At surface	Below surface	At surface	Below surface	At surface
Maximum index value		0.17	0.003		0.004		(b)
Index component value			0.003	0.002	0.002	0.004	
Acoustic parameters	$p_{r,\alpha}$ at z_{MI} (MPa)	0.44					
	P (mW)		0.087		0.064		#
	P_{1x1} (mW)		0.087		0.064		
	z_s (cm)			0.9			
	z_b (cm)					1.10	
	z_{MI} (cm)	1.0					
	$z_{pii,\alpha}$ (cm)	1.0					
Other information	f_{awf} (MHz)	6.58	6.86		6.78		#
	pr (Hz)	800					
	srr (Hz)	—					
	η_{pps}	1					
	$I_{pa,\alpha}$ at $z_{pii,\alpha}$ (W/cm^2)	10.3					
	$I_{spta,\alpha}$ at $z_{pii,\alpha}$ or $z_{sii,\alpha}$ (mW/cm^2)	1.0					
	I_{spta} at z_{pii} or z_{sii} (mW/cm^2)	1.7					
Operating controls	p_r at z_{pii} (MPa)	0.55					
	Exam type	Oph	Oph		Oph		
	Optimization	Pen	Res		Res		
	Depth (cm)	1.5	6.0		4.0		

(a) This index is not required for this operating mode; value is <1 .

(b) This transducer is not intended for transcranial or neonatal cephalic uses.

No data are reported for this operating condition since the global maximum index value is not reported for the reason listed. (Reference global maximum index value line.)

— Data are not applicable for this transducer/mode.

Table 19: Transducer model: HFL38xi (Ophthalmic use) Operating mode: Color/CPD

Index label		MI	TIS		TIB		TIC
			At surface	Below surface	At surface	Below surface	At surface
Maximum index value		0.17	0.02		0.02		(b)
Index component value			0.02	0.02	0.02	0.02	
Acoustic parameters	$p_{r,\alpha}$ at z_{MI} (MPa)	0.39					
	P (mW)		1.11		1.11		#
	P_{1x1} (mW)		0.75		0.75		
	z_s (cm)			—			
	z_b (cm)					—	
	z_{MI} (cm)	0.9					
	$z_{pii,\alpha}$ (cm)	0.9					
	f_{awf} (MHz)	5.34	5.37		5.37		#
Other information	prr (Hz)	4537					
	srr (Hz)	13.5					
	n_{pps}	13					
	$I_{pa,\alpha}$ at $z_{pii,\alpha}$ (W/cm^2)	5.5					
	$I_{spta,\alpha}$ at $z_{pii,\alpha}$ or $z_{sii,\alpha}$ (mW/cm^2)	1.3					
	I_{spta} at z_{pii} or z_{sii} (mW/cm^2)	2.1					
p_r at z_{pii} (MPa)	0.46						
Operating controls	Exam type	Oph	Oph		Oph		
	Mode	CVD	CVD		CVD		
	2D optimization/depth (cm)	Pen/1.5	Pen/4.9		Pen/4.9		
	Color optimization/PRF (Hz)	High/7813	High/6944		High/6944		
	Color box position/size	Bottom/small	Def/narrow		Def/narrow		

(a) This index is not required for this operating mode; value is <1.

(b) This transducer is not intended for transcranial or neonatal cephalic uses.

No data are reported for this operating condition since the global maximum index value is not reported for the reason listed. (Reference global maximum index value line.)

— Data are not applicable for this transducer/mode.

Table 20: Transducer model: HFL38xi (Ophthalmic use) Operating mode: PW Doppler

Index label		MI	TIS		TIB		TIC
			At surface	Below surface	At surface	Below surface	At surface
Maximum index value		0.18	0.09		0.17		(b)
Index component value			0.09	0.06	0.09	0.17	
Acoustic parameters	$p_{r,\alpha}$ at z_{MI} (MPa)	0.41					
	P (mW)		3.56		3.56		#
	P_{1x1} (mW)		3.56		3.56		
	z_s (cm)			1.1			
	z_b (cm)					1.64	
	z_{MI} (cm)	0.9					
	$z_{pii,\alpha}$ (cm)	0.9					
Other information	f_{awf} (MHz)	5.34	5.33		5.33		#
	pr (Hz)	1302					
	srr (Hz)	—					
	n_{pps}	1					
	$I_{pa,\alpha}$ at $z_{pii,\alpha}$ (W/cm^2)	6.6					
	$I_{spta,\alpha}$ at $z_{pii,\alpha}$ or $z_{sii,\alpha}$ (mW/cm^2)	10.9					
	I_{spta} at z_{pii} or z_{sii} (mW/cm^2)	15.0					
p_r at z_{pii} (MPa)	0.48						
Operating controls	Exam type	Oph	Oph		Oph		
	Sample volume size (mm)	1	10		10		
	Sample volume position	Zone 1	Zone 7		Zone 7		
	PRF (Hz)	1302	10417		10417		

(a) This index is not required for this operating mode; value is <1.

(b) This transducer is not intended for transcranial or neonatal cephalic uses.

No data are reported for this operating condition since the global maximum index value is not reported for the reason listed. (Reference global maximum index value line.)

— Data are not applicable for this transducer/mode.

Table 21: Transducer model: HFL38xi Operating mode: 2D

Index label		MI	TIS		TIB		TIC
			At surface	Below surface	At surface	Below surface	At surface
Maximum index value		1.3	(a)		(a)		(b)
Index component value			#	#	#	#	
Acoustic parameters	$p_{r,\alpha}$ at z_{MI} (MPa)	3.05					
	P (mW)		#		#		#
	P_{1x1} (mW)		#		#		
	z_s (cm)			—			
	z_b (cm)					—	
	z_{MI} (cm)	1.2					
	$z_{pii,\alpha}$ (cm)	1.2					
	f_{awf} (MHz)	5.36	#		#		#
Other information	pr (Hz)	2127					
	srr (Hz)	11.1					
	n_{pps}	1					
	$I_{pa,\alpha}$ at $z_{pii,\alpha}$ (W/cm ²)	494					
	$I_{spta,\alpha}$ at $z_{pii,\alpha}$ or $z_{sii,\alpha}$ (mW/cm ²)	13.3					
	I_{spta} at z_{pii} or z_{sii} (mW/cm ²)	19.4					
	p_r at z_{pii} (MPa)	3.81					
Operating controls	Exam type	Ven					
	Optimization	Res					
	Depth (cm)	3.3					
	MB	N/A					
	Needle vision	On					

(a) This index is not required for this operating mode; value is <1.

(b) This transducer is not intended for transcranial or neonatal cephalic uses.

No data are reported for this operating condition since the global maximum index value is not reported for the reason listed. (Reference global maximum index value line.)

— Data are not applicable for this transducer/mode.

Table 22: Transducer model: HFL38xi Operating mode: M mode

Index label		MI	TIS		TIB		TIC
			At surface	Below surface	At surface	Below surface	At surface
Maximum index value		1.12	(a)		(a)		(b)
Index component value			#	#	#	#	
Acoustic parameters	$p_{r,\alpha}$ at z_{MI} (MPa)	3.14					
	P (mW)		#		#		#
	P_{1x1} (mW)		#		#		
	z_s (cm)			#			
	z_b (cm)					#	
	z_{MI} (cm)	1.4					
	$z_{pii,\alpha}$ (cm)	1.4					
Other information	f_{awf} (MHz)	6.75	#		#		#
	pr_r (Hz)	1600					
	srr (Hz)	—					
	η_{pps}	1					
	$I_{pa,\alpha}$ at $z_{pii,\alpha}$ (W/cm^2)	388					
	$I_{spta,\alpha}$ at $z_{pii,\alpha}$ or $z_{sii,\alpha}$ (mW/cm^2)	163.2					
	I_{spta} at z_{pii} or z_{sii} (mW/cm^2)	333.3					
Operating controls	p_r at z_{pii} (MPa)	4.35					
	Exam type	Nrv					
	Optimization	Pen					
	Depth (cm)	4.0					

(a) This index is not required for this operating mode; value is <1 .

(b) This transducer is not intended for transcranial or neonatal cephalic uses.

No data are reported for this operating condition since the global maximum index value is not reported for the reason listed. (Reference global maximum index value line.)

— Data are not applicable for this transducer/mode.

Table 23: Transducer model: HFL38xi Operating mode: Color/CPD

Index label		MI	TIS		TIB		TIC
			At surface	Below surface	At surface	Below surface	At surface
Maximum index value		1.3	(a)		(a)		(b)
Index component value			#	#	#	#	
Acoustic parameters	$p_{r,\alpha}$ at z_{MI} (MPa)	3.05					
	P (mW)		#		#		#
	$P_{1 \times 1}$ (mW)		#		#		
	z_s (cm)			—			
	z_b (cm)					—	
	z_{MI} (cm)	1.2					
	$z_{pii,\alpha}$ (cm)	1.2					
	f_{awf} (MHz)	5.36	#		#		#
Other information	pr_r (Hz)	2223					
	srr (Hz)	3.3					
	n_{pps}	14					
	$I_{pa,\alpha}$ at $z_{pii,\alpha}$ (W/cm^2)	494					
	$I_{spta,\alpha}$ at $z_{pii,\alpha}$ or $z_{sii,\alpha}$ (mW/cm^2)	27.4					
	I_{spta} at z_{pii} or z_{sii} (mW/cm^2)	40.1					
	p_r at z_{pii} (MPa)	3.81					
Operating controls	Exam type	SmP					
	Mode	CVD					
	2D optimization/depth (cm)	Res/3.3					
	Color optimization/PRF (Hz)	Low/401					
	Color box position/size	Def/def					

(a) This index is not required for this operating mode; value is <1.

(b) This transducer is not intended for transcranial or neonatal cephalic uses.

No data are reported for this operating condition since the global maximum index value is not reported for the reason listed. (Reference global maximum index value line.)

— Data are not applicable for this transducer/mode.

Table 24: Transducer model: HFL38xi Operating mode: PW Doppler

Index label		MI	TIS		TIB		TIC
			At surface	Below surface	At surface	Below surface	At surface
Maximum index value		1.2	1.1		2.2		(b)
Index component value			1.1	0.8	1.1	2.2	
Acoustic parameters	$p_{r,\alpha}$ at z_{MI} (MPa)	2.69					
	P (mW)		47.7		47.7		#
	P_{1x1} (mW)		47.7		47.7		
	z_s (cm)			1.1			
	z_b (cm)					1.10	
	z_{MI} (cm)	1.0					
	$z_{pii,\alpha}$ (cm)	1.0					
Other information	f_{awf} (MHz)	5.34	4.86		4.86		#
	pr_r (Hz)	1008					
	srr (Hz)	—					
	η_{pps}	1					
	$I_{pa,\alpha}$ at $z_{pii,\alpha}$ (W/cm^2)	308					
	$I_{spta,\alpha}$ at $z_{pii,\alpha}$ or $z_{sii,\alpha}$ (mW/cm^2)	102.8					
	I_{spta} at z_{pii} or z_{sii} (mW/cm^2)	210.0					
Operating controls	p_r at z_{pii} (MPa)	3.23					
	Exam type	Nrv	Art		Art		
	Sample volume size (mm)	1	1		1		
	Sample volume position	Zone 3	Zone 7		Zone 7		
	PRF (Hz)	1008	3125		3125		

(a) This index is not required for this operating mode; value is <1.

(b) This transducer is not intended for transcranial or neonatal cephalic uses.

No data are reported for this operating condition since the global maximum index value is not reported for the reason listed. (Reference global maximum index value line.)

— Data are not applicable for this transducer/mode.

Table 25: Transducer model: HFL50x Operating mode: 2D

Index label		MI	TIS		TIB		TIC
			At surface	Below surface	At surface	Below surface	At surface
Maximum index value		1.3	(a)		(a)		(b)
Index component value			#	#	#	#	
Acoustic parameters	$p_{r,\alpha}$ at z_{MI} (MPa)	3.051					
	P (mW)		#		#		#
	P_{1x1} (mW)		#		#		
	z_s (cm)			—			
	z_b (cm)					—	
	z_{MI} (cm)	1.2					
	$z_{pii,\alpha}$ (cm)	1.2					
	f_{awf} (MHz)	5.36	#		#		#
Other information	pr (Hz)	2733					
	srr (Hz)	7.2					
	η_{pps}	1					
	$I_{pa,\alpha}$ at $z_{pii,\alpha}$ (W/cm^2)	493					
	$I_{spta,\alpha}$ at $z_{pii,\alpha}$ or $z_{sii,\alpha}$ (mW/cm^2)	8.6					
	I_{spta} at z_{pii} or z_{sii} (mW/cm^2)	12.6					
p_r at z_{pii} (MPa)	3.81						
Operating controls	Exam type	Any					
	Optimization	Any					
	Depth (cm)	3.3					
	Mbe	On					

(a) This index is not required for this operating mode; value is <1.

(b) This transducer is not intended for transcranial or neonatal cephalic uses.

No data are reported for this operating condition since the global maximum index value is not reported for the reason listed. (Reference global maximum index value line.)

— Data are not applicable for this transducer/mode.

Table 26: Transducer model: HFL50x Operating mode: M mode

Index label		MI	TIS		TIB		TIC
			At surface	Below surface	At surface	Below surface	At surface
Maximum index value		1.2	(a)		(a)		(b)
Index component value			#	#	#	#	
Acoustic parameters	$p_{r,\alpha}$ at z_{MI} (MPa)	3.14					
	P (mW)		#		#		#
	P_{1x1} (mW)		#		#		
	z_s (cm)			#			
	z_b (cm)					#	
	z_{MI} (cm)	1.4					
	$z_{pii,\alpha}$ (cm)	1.4					
Other information	f_{awf} (MHz)	6.75	#		#		#
	pr_r (Hz)	1600					
	srr (Hz)	—					
	η_{pps}	1					
	$I_{pa,\alpha}$ at $z_{pii,\alpha}$ (W/cm^2)	388					
	$I_{spta,\alpha}$ at $z_{pii,\alpha}$ or $z_{sii,\alpha}$ (mW/cm^2)	163.2					
	I_{spta} at z_{pii} or z_{sii} (mW/cm^2)	333.3					
Operating controls	p_r at z_{pii} (MPa)	4.35					
	Exam type	Any					
	Optimization	Pen					
	Depth (cm)	4					

(a) This index is not required for this operating mode; value is <1 .

(b) This transducer is not intended for transcranial or neonatal cephalic uses.

No data are reported for this operating condition since the global maximum index value is not reported for the reason listed. (Reference global maximum index value line.)

— Data are not applicable for this transducer/mode.

Table 27: Transducer model: HFL50x Operating mode: Color

Index label		MI	TIS		TIB		TIC
			At surface	Below surface	At surface	Below surface	At surface
Maximum index value		1.3	(a)		(a)		(b)
Index component value			#	#	#	#	
Acoustic parameters	$p_{r,\alpha}$ at z_{MI} (MPa)	3.05					
	P (mW)		#		#		#
	$P_{1 \times 1}$ (mW)		#		#		
	z_s (cm)			—			
	z_b (cm)					—	
	z_{MI} (cm)	1.2					
	$z_{pii,\alpha}$ (cm)	1.2					
	f_{awf} (MHz)	5.36	#		#		#
Other information	pr_r (Hz)	8233					
	srr (Hz)	3.2					
	n_{pps}	14					
	$I_{pa,\alpha}$ at $z_{pii,\alpha}$ (W/cm^2)	494					
	$I_{spta,\alpha}$ at $z_{pii,\alpha}$ or $z_{sii,\alpha}$ (mW/cm^2)	26.8					
	I_{spta} at z_{pii} or z_{sii} (mW/cm^2)	39.2					
	p_r at z_{pii} (MPa)	3.81					
Operating controls	Exam type	Any					
	Mode	Any					
	Optimization/depth (cm)	Low/3.3					
	PRF (Hz)	Any					

(a) This index is not required for this operating mode; value is <1.

(b) This transducer is not intended for transcranial or neonatal cephalic uses.

No data are reported for this operating condition since the global maximum index value is not reported for the reason listed. (Reference global maximum index value line.)

— Data are not applicable for this transducer/mode.

Table 28: Transducer model: HFL50x Operating mode: PW Doppler

Index label		MI	TIS		TIB		TIC
			At surface	Below surface	At surface	Below surface	At surface
Maximum index value		1.2	1.1		1.9		(b)
Index component value			1.1	0.7	1.1	1.9	
Acoustic parameters	$p_{r,\alpha}$ at z_{MI} (MPa)	2.69					
	P (mW)		42.6		42.6		#
	P_{1x1} (mW)		42.6		42.6		
	z_s (cm)			1.1			
	z_b (cm)					1.10	
	z_{MI} (cm)	1.0					
	$z_{pii,\alpha}$ (cm)	1.0					
Other information	f_{awf} (MHz)	5.34	5.34		5.34		#
	pr (Hz)	1008					
	srr (Hz)	—					
	n_{pps}	1					
	$I_{pa,\alpha}$ at $z_{pii,\alpha}$ (W/cm^2)	308					
	$I_{spta,\alpha}$ at $z_{pii,\alpha}$ or $z_{sii,\alpha}$ (mW/cm^2)	399.6					
	I_{spta} at z_{pii} or z_{sii} (mW/cm^2)	599.8					
Operating controls	p_r at z_{pii} (MPa)	3.23					
	Exam type	Any	Any		Any		
	Sample volume size (mm)	1	1		1		
	Sample volume position	Zone 3	Zone 7		Zone 7		
	PRF (Hz)	1008	1563–3125		1563–3125		

(a) This index is not required for this operating mode; value is <1.

(b) This transducer is not intended for transcranial or neonatal cephalic uses.

No data are reported for this operating condition since the global maximum index value is not reported for the reason listed. (Reference global maximum index value line.)

— Data are not applicable for this transducer/mode.

Table 29: Transducer model: HSL25x (Ophthalmic use) Operating mode: 2D

Index label		MI	TIS		TIB		TIC
			At surface	Below surface	At surface	Below surface	At surface
Maximum index value		0.17	0.02		0.02		(b)
Index component value			0.02	0.02	0.02	0.02	
Acoustic parameters	$p_{r,\alpha}$ at z_{MI} (MPa)	0.47					
	P (mW)		1.62		1.62		#
	P_{1x1} (mW)		0.70		0.70		
	z_s (cm)			—			
	z_b (cm)					—	
	z_{MI} (cm)	0.8					
	$z_{pii,\alpha}$ (cm)	0.8					
	f_{awf} (MHz)	7.65	6.97		6.97		#
Other information	pr (Hz)	12580					
	srr (Hz)	12.3					
	n_{pps}	4					
	$I_{pa,\alpha}$ at $z_{pii,\alpha}$ (W/cm^2)	13.4					
	$I_{spta,\alpha}$ at $z_{pii,\alpha}$ or $z_{sii,\alpha}$ (mW/cm^2)	0.6					
	I_{spta} at z_{pii} or z_{sii} (mW/cm^2)	1.0					
	p_r at z_{pii} (MPa)	0.58					
Operating controls	Exam type	Oph	Oph		Oph		
	Optimization	Res	Pen		Pen		
	Depth (cm)	1.9	4.3		4.3		
	MB	On	On		On		

(a) This index is not required for this operating mode; value is <1.

(b) This transducer is not intended for transcranial or neonatal cephalic uses.

No data are reported for this operating condition since the global maximum index value is not reported for the reason listed. (Reference global maximum index value line.)

— Data are not applicable for this transducer/mode.

Table 30: Transducer model: HSL25x (Ophthalmic use) Operating mode: M mode

Index label		MI	TIS		TIB		TIC
			At surface	Below surface	At surface	Below surface	At surface
Maximum index value		0.17	0.01		0.02		(b)
Index component value			0.010	0.009	0.013	0.020	
Acoustic parameters	$p_{r,\alpha}$ at z_{MI} (MPa)	0.47					
	P (mW)		0.45		0.45		#
	P_{1x1} (mW)		0.45		0.45		
	z_s (cm)			0.9			
	z_b (cm)					0.85	
	z_{MI} (cm)	1.0					
	$z_{pii,\alpha}$ (cm)	1.0					
	f_{awf} (MHz)	7.59	6.25		6.25		#
Other information	pr (Hz)	1600					
	srr (Hz)	—					
	η_{pps}	1					
	$I_{pa,\alpha}$ at $z_{pii,\alpha}$ (W/cm^2)	14.9					
	$I_{spta,\alpha}$ at $z_{pii,\alpha}$ or $z_{sii,\alpha}$ (mW/cm^2)	2.3					
	I_{spta} at z_{pii} or z_{sii} (mW/cm^2)	4.0					
	p_r at z_{pii} (MPa)	0.61					
Operating controls	Exam type	Oph	Oph		Oph		
	Optimization	Res	Pen		Pen		
	Depth (cm)	1.9	4.3		4.3		

(a) This index is not required for this operating mode; value is <1 .

(b) This transducer is not intended for transcranial or neonatal cephalic uses.

No data are reported for this operating condition since the global maximum index value is not reported for the reason listed. (Reference global maximum index value line.)

— Data are not applicable for this transducer/mode.

Table 31: Transducer model: HSL25x (Ophthalmic use) Operating mode: Color/CPD

Index label		MI	TIS		TIB		TIC
			At surface	Below surface	At surface	Below surface	At surface
Maximum index value		0.17	0.06		0.06		(b)
Index component value			0.06	0.06	0.06	0.06	
Acoustic parameters	$p_{r,\alpha}$ at z_{MI} (MPa)	0.42					
	P (mW)		2.9		2.9		#
	$P_{1 \times 1}$ (mW)		1.9		1.9		
	z_s (cm)			—			
	z_b (cm)					—	
	z_{MI} (cm)	0.7					
	$z_{pii,\alpha}$ (cm)	0.7					
	f_{awf} (MHz)	6.11	6.10		6.10		#
Other information	p_{rr} (Hz)	3096					
	s_{rr} (Hz)	8.1					
	n_{pps}	14					
	$I_{pa,\alpha}$ at $z_{pii,\alpha}$ (W/cm^2)	7.5					
	$I_{spta,\alpha}$ at $z_{pii,\alpha}$ or $z_{sii,\alpha}$ (mW/cm^2)	1.1					
	I_{spta} at z_{pii} or z_{sii} (mW/cm^2)	1.6					
	p_r at z_{pii} (MPa)	0.49					
Operating controls	Exam type	Oph	Oph		Oph		
	Mode	CVD	CVD		CVD		
	2D optimization/depth (cm)	Pen/1.9	Pen/5.1		Pen/5.1		
	Color optimization/PRF (Hz)	Low/401	Med/4167		Med/4167		
	Color box position/size	Def/def	Top/short-wide		Top/short-wide		

(a) This index is not required for this operating mode; value is <1.

(b) This transducer is not intended for transcranial or neonatal cephalic uses.

No data are reported for this operating condition since the global maximum index value is not reported for the reason listed. (Reference global maximum index value line.)

— Data are not applicable for this transducer/mode.

Table 32: Transducer model: HSL25x (Ophthalmic use) Operating mode: PW Doppler

Index label		MI	TIS		TIB		TIC
			At surface	Below surface	At surface	Below surface	At surface
Maximum index value		0.18	0.12		0.21		(b)
Index component value			0.12	0.08	0.12	0.21	
Acoustic parameters	$p_{r,\alpha}$ at z_{MI} (MPa)	0.44					
	P (mW)		4.0		4.0		#
	P_{1x1} (mW)		4.0		4.0		
	z_s (cm)			0.9			
	z_b (cm)					0.80	
	z_{MI} (cm)	1.2					
	$z_{pii,\alpha}$ (cm)	1.2					
Other information	f_{awf} (MHz)	6.03	6.03		6.03		#
	pr (Hz)	1953					
	srr (Hz)	—					
	η_{pps}	1					
	$I_{pa,\alpha}$ at $z_{pii,\alpha}$ (W/cm^2)	7.4					
	$I_{spta,\alpha}$ at $z_{pii,\alpha}$ or $z_{sii,\alpha}$ (mW/cm^2)	18.4					
	I_{spta} at z_{pii} or z_{sii} (mW/cm^2)	44.9					
p_r at z_{pii} (MPa)	0.56						
Operating controls	Exam type	Oph	Oph		Oph		
	Sample volume size (mm)	1	1		1		
	Sample volume position	Zone 7	Zone 7		Zone 7		
	PRF (Hz)	1953	5208		5208		

(a) This index is not required for this operating mode; value is <1.

(b) This transducer is not intended for transcranial or neonatal cephalic uses.

No data are reported for this operating condition since the global maximum index value is not reported for the reason listed. (Reference global maximum index value line.)

— Data are not applicable for this transducer/mode.

Table 33: Transducer model: HSL25x Operating mode: 2D

Index label		MI	TIS		TIB		TIC
			At surface	Below surface	At surface	Below surface	At surface
Maximum index value		1.2	(a)		(a)		(b)
Index component value			#	#	#	#	
Acoustic parameters	$p_{r,\alpha}$ at z_{MI} (MPa)	2.87					
	P (mW)		#		#		#
	$P_{1 \times 1}$ (mW)		#		#		
	z_s (cm)			—			
	z_b (cm)					—	
	z_{MI} (cm)	0.8					
	$z_{pii,\alpha}$ (cm)	0.8					
	f_{awf} (MHz)	6.11	#		#		#
Other information	pr (Hz)	1061					
	srr (Hz)	13.0					
	n_{pps}	1					
	$I_{pa,\alpha}$ at $z_{pii,\alpha}$ (W/cm^2)	478					
	$I_{spta,\alpha}$ at $z_{pii,\alpha}$ or $z_{sii,\alpha}$ (mW/cm^2)	12.2					
	I_{spta} at z_{pii} or z_{sii} (mW/cm^2)	16.4					
	p_r at z_{pii} (MPa)	3.39					
Operating controls	Exam type	Nrv/Msk/ Ven/Art					
	Optimization	Any					
	Depth (cm)	1.9–2.2					
	Mbe	On					

(a) This index is not required for this operating mode; value is < 1.

(b) This transducer is not intended for transcranial or neonatal cephalic uses.

No data are reported for this operating condition since the global maximum index value is not reported for the reason listed. (Reference global maximum index value line.)

— Data are not applicable for this transducer/mode.

Table 34: Transducer model: HSL25x Operating mode: Color/CPD

Index label	MI	TIS		TIB		TIC
		At surface	Below surface	At surface	Below surface	At surface
Maximum index value	1.0	(a)		(a)		(b)
Index component value		#	#	#	#	
Acoustic parameters	$p_{r,\alpha}$ at z_{MI} (MPa)	2.35				
	P (mW)		#	#		#
	$P_{1 \times 1}$ (mW)		#	#		
	z_s (cm)			—		
	z_b (cm)				—	
	z_{MI} (cm)	0.8				
	$z_{pii,\alpha}$ (cm)	0.8				
	f_{awf} (MHz)	6.11	#		#	
Other information	p_{rr} (Hz)	3079				
	s_{rr} (Hz)	8.0				
	n_{pps}	14				
	$I_{pa,\alpha}$ at $z_{pii,\alpha}$ (W/cm^2)	276				
	$I_{spta,\alpha}$ at $z_{pii,\alpha}$ or $z_{sii,\alpha}$ (mW/cm^2)	47.6				
	I_{spta} at z_{pii} or z_{sii} (mW/cm^2)	63.9				
	p_r at z_{pii} (MPa)	2.78				
Operating controls	Exam type	Sup				
	Mode	CVD				
	2D optimization/depth (cm)	Pen/3.1				
	Color optimization/PRF (Hz)	Low/401				
	Color box position/size	Def/def				

(a) This index is not required for this operating mode; value is <1.

(b) This transducer is not intended for transcranial or neonatal cephalic uses.

No data are reported for this operating condition since the global maximum index value is not reported for the reason listed. (Reference global maximum index value line.)

— Data are not applicable for this transducer/mode.

Table 35: Transducer model: HSL25x Operating mode: PW Doppler

Index label		MI	TIS		TIB		TIC
			At surface	Below surface	At surface	Below surface	At surface
Maximum index value		(a)	(a)		1.5		(b)
Index component value			#	#	0.8	1.5	
Acoustic parameters	$p_{r,\alpha}$ at z_{MI} (MPa)	#					
	P (mW)		#		28.1		#
	P_{1x1} (mW)		#		28.1		
	z_s (cm)			#			
	z_b (cm)					0.75	
	z_{MI} (cm)	#					
	$z_{pii,\alpha}$ (cm)	#					
	f_{awf} (MHz)	#	#		6.00		#
Other information	pr (Hz)	#					
	srr (Hz)	#					
	n_{pps}	#					
	$I_{pa,\alpha}$ at $z_{pii,\alpha}$ (W/cm^2)	#					
	$I_{spta,\alpha}$ at $z_{pii,\alpha}$ or $z_{sii,\alpha}$ (mW/cm^2)	#					
	I_{spta} at z_{pii} or z_{sii} (mW/cm^2)	#					
p_r at z_{pii} (MPa)	#						
Operating controls	Exam type				Nrv		
	Sample volume size (mm)				8		
	Sample volume position				Zone 7		
	PRF (Hz)				1953		

(a) This index is not required for this operating mode; value is <1.

(b) This transducer is not intended for transcranial or neonatal cephalic uses.

No data are reported for this operating condition since the global maximum index value is not reported for the reason listed. (Reference global maximum index value line.)

— Data are not applicable for this transducer/mode.

Table 36: Transducer model: ICTx Operating mode: PW Doppler

Index label		MI	TIS		TIB		TIC
			At surface	Below surface	At surface	Below surface	At surface
Maximum index value		(a)	(a)		1.2		(b)
Index component value			#	#	0.3	1.2	
Acoustic parameters	$p_{r,\alpha}$ at z_{MI} (MPa)	#					
	P (mW)		#		16.3		#
	P_{1x1} (mW)		#		16.3		
	z_s (cm)			#			
	z_b (cm)					1.60	
	z_{MI} (cm)	#					
	$z_{pii,\alpha}$ (cm)	#					
Other information	f_{awf} (MHz)	#	#		4.36		#
	pr_r (Hz)	#					
	srr (Hz)	#					
	η_{pps}	#					
	$I_{pa,\alpha}$ at $z_{pii,\alpha}$ (W/cm^2)	#					
	$I_{spta,\alpha}$ at $z_{pii,\alpha}$ or $z_{sii,\alpha}$ (mW/cm^2)	#					
	I_{spta} at z_{pii} or z_{sii} (mW/cm^2)	#					
Operating controls	p_r at z_{pii} (MPa)	#					
	Exam type				Any		
	Sample volume size (mm)				3		
	Sample volume position				Zone 1		
	PRF (Hz)				Any		

(a) This index is not required for this operating mode; value is < 1.

(b) This transducer is not intended for transcranial or neonatal cephalic uses.

No data are reported for this operating condition since the global maximum index value is not reported for the reason listed. (Reference global maximum index value line.)

— Data are not applicable for this transducer/mode.

Table 37: Transducer model: L25x (Ophthalmic use) Operating mode: 2D

Index label		MI	TIS		TIB		TIC
			At surface	Below surface	At surface	Below surface	At surface
Maximum index value		0.17	0.02		0.02		(b)
Index component value			0.02	0.02	0.02	0.02	
Acoustic parameters	$p_{r,\alpha}$ at z_{MI} (MPa)	0.47					
	P (mW)		1.62		1.62		#
	P_{1x1} (mW)		0.70		0.70		
	z_s (cm)			—			
	z_b (cm)					—	
	z_{MI} (cm)	0.8					
	$z_{pii,\alpha}$ (cm)	0.8					
	f_{awf} (MHz)	7.65	6.97		6.97		#
Other information	pr (Hz)	12580					
	srr (Hz)	12.3					
	n_{pps}	4					
	$I_{pa,\alpha}$ at $z_{pii,\alpha}$ (W/cm^2)	13.4					
	$I_{spta,\alpha}$ at $z_{pii,\alpha}$ or $z_{sii,\alpha}$ (mW/cm^2)	0.6					
	I_{spta} at z_{pii} or z_{sii} (mW/cm^2)	1.0					
p_r at z_{pii} (MPa)	0.58						
Operating controls	Exam type	Oph	Oph		Oph		
	Optimization	Res	Pen		Pen		
	Depth (cm)	1.9	4.3		4.3		
	MB	On	On		On		

(a) This index is not required for this operating mode; value is <1.

(b) This transducer is not intended for transcranial or neonatal cephalic uses.

No data are reported for this operating condition since the global maximum index value is not reported for the reason listed. (Reference global maximum index value line.)

— Data are not applicable for this transducer/mode.

Table 38: Transducer model: L25x (Ophthalmic use) Operating mode: M mode

Index label		MI	TIS		TIB		TIC
			At surface	Below surface	At surface	Below surface	At surface
Maximum index value		0.17	0.010		0.020		(b)
Index component value			0.010	0.009	0.013	0.020	
Acoustic parameters	$p_{r,\alpha}$ at z_{MI} (MPa)	0.47					
	P (mW)		0.45		0.45		#
	P_{1x1} (mW)		0.45		0.45		
	z_s (cm)			0.9			
	z_b (cm)					0.85	
	z_{MI} (cm)	1.0					
	$z_{pii,\alpha}$ (cm)	1.0					
Other information	f_{awf} (MHz)	7.59	6.25		6.25		#
	pr (Hz)	1600					
	srr (Hz)	—					
	η_{pps}	1					
	$I_{pa,\alpha}$ at $z_{pii,\alpha}$ (W/cm^2)	14.9					
	$I_{spta,\alpha}$ at $z_{pii,\alpha}$ or $z_{sii,\alpha}$ (mW/cm^2)	2.3					
	I_{spta} at z_{pii} or z_{sii} (mW/cm^2)	4.0					
Operating controls	p_r at z_{pii} (MPa)	0.61					
	Exam type	Oph	Oph		Oph		
	Optimization	Res	Pen		Pen		
	Depth (cm)	1.9	4.3		4.3		

(a) This index is not required for this operating mode; value is <1.

(b) This transducer is not intended for transcranial or neonatal cephalic uses.

No data are reported for this operating condition since the global maximum index value is not reported for the reason listed. (Reference global maximum index value line.)

— Data are not applicable for this transducer/mode.

Table 39: Transducer model: L25x (Ophthalmic use) Operating mode: Color/CPD

Index label		MI	TIS		TIB		TIC
			At surface	Below surface	At surface	Below surface	At surface
Maximum index value		0.17	0.06		0.06		(b)
Index component value			0.06	0.06	0.06	0.06	
Acoustic parameters	$p_{r,\alpha}$ at z_{MI} (MPa)	0.42					
	P (mW)		2.9		2.9		#
	$P_{1 \times 1}$ (mW)		1.9		1.9		
	z_s (cm)			—			
	z_b (cm)					—	
	z_{MI} (cm)	0.7					
	$z_{pii,\alpha}$ (cm)	0.7					
	f_{awf} (MHz)	6.11	6.10		6.10		#
Other information	pr_r (Hz)	3096					
	srr (Hz)	8.1					
	n_{pps}	14					
	$I_{pa,\alpha}$ at $z_{pii,\alpha}$ (W/cm^2)	7.5					
	$I_{spta,\alpha}$ at $z_{pii,\alpha}$ or $z_{sii,\alpha}$ (mW/cm^2)	1.1					
	I_{spta} at z_{pii} or z_{sii} (mW/cm^2)	1.6					
	p_r at z_{pii} (MPa)	0.49					
Operating controls	Exam type	Oph	Oph		Oph		
	Mode	CVD	CVD		CVD		
	2D optimization/depth (cm)	Pen/1.9	Pen/5.1		Pen/5.1		
	Color optimization/PRF (Hz)	Low/401	Med/4167		Med/4167		
	Color box position/size	Def/def	Top/short-wide		Top/short-wide		

(a) This index is not required for this operating mode; value is <1.

(b) This transducer is not intended for transcranial or neonatal cephalic uses.

No data are reported for this operating condition since the global maximum index value is not reported for the reason listed. (Reference global maximum index value line.)

— Data are not applicable for this transducer/mode.

Table 40: Transducer model: L25x (Ophthalmic use) Operating mode: PW Doppler

Index label		MI	TIS		TIB		TIC
			At surface	Below surface	At surface	Below surface	At surface
Maximum index value		0.18	0.12		0.21		(b)
Index component value			0.12	0.08	0.12	0.21	
Acoustic parameters	$p_{r,\alpha}$ at z_{MI} (MPa)	0.44					
	P (mW)		4.0		4.0		#
	P_{1x1} (mW)		4.0		4.0		
	z_s (cm)			0.9			
	z_b (cm)					0.80	
	z_{MI} (cm)	1.2					
	$z_{pii,\alpha}$ (cm)	1.2					
Other information	f_{awf} (MHz)	6.03	6.03		6.03		#
	pr (Hz)	1953					
	srr (Hz)	—					
	n_{pps}	1					
	$I_{pa,\alpha}$ at $z_{pii,\alpha}$ (W/cm^2)	7.4					
	$I_{spta,\alpha}$ at $z_{pii,\alpha}$ or $z_{sii,\alpha}$ (mW/cm^2)	18.4					
	I_{spta} at z_{pii} or z_{sii} (mW/cm^2)	44.9					
Operating controls	p_r at z_{pii} (MPa)	0.56					
	Exam type	Oph	Oph		Oph		
	Sample volume size (mm)	1	1		1		
	Sample volume position	Zone 7	Zone 7		Zone 7		
	PRF (Hz)	1953	5208		5208		

(a) This index is not required for this operating mode; value is <1.

(b) This transducer is not intended for transcranial or neonatal cephalic uses.

No data are reported for this operating condition since the global maximum index value is not reported for the reason listed. (Reference global maximum index value line.)

— Data are not applicable for this transducer/mode.

Table 41: Transducer model: L25x Operating mode: 2D

Index label		MI	TIS		TIB		TIC
			At surface	Below surface	At surface	Below surface	At surface
Maximum index value		1.2	(a)		(a)		(b)
Index component value			#	#	#	#	
Acoustic parameters	$p_{r,\alpha}$ at z_{MI} (MPa)	2.87					
	P (mW)		#		#		#
	P_{1x1} (mW)		#		#		
	z_s (cm)			—			
	z_b (cm)					—	
	z_{MI} (cm)	0.8					
	$z_{pii,\alpha}$ (cm)	0.8					
	f_{awf} (MHz)	6.11	#		#		#
Other information	pr (Hz)	1061					
	srr (Hz)	13.0					
	n_{pps}	1					
	$I_{pa,\alpha}$ at $z_{pii,\alpha}$ (W/cm^2)	478					
	$I_{spta,\alpha}$ at $z_{pii,\alpha}$ or $z_{sii,\alpha}$ (mW/cm^2)	12.2					
	I_{spta} at z_{pii} or z_{sii} (mW/cm^2)	16.4					
	p_r at z_{pii} (MPa)	3.39					
Operating controls	Exam type	Nrv/Msk/ Ven/Art					
	Optimization	Any					
	Depth (cm)	1.9–2.2					
	Mbe	On					

(a) This index is not required for this operating mode; value is < 1.

(b) This transducer is not intended for transcranial or neonatal cephalic uses.

No data are reported for this operating condition since the global maximum index value is not reported for the reason listed. (Reference global maximum index value line.)

— Data are not applicable for this transducer/mode.

Table 42: Transducer model: L25x Operating mode: Color/CPD

Index label	MI	TIS		TIB		TIC
		At surface	Below surface	At surface	Below surface	At surface
Maximum index value	1.0	(a)		(a)		(b)
Index component value		#	#	#	#	
Acoustic parameters	$p_{r,\alpha}$ at z_{MI} (MPa)	2.35				
	P (mW)		#	#	#	#
	$P_{1 \times 1}$ (mW)		#	#	#	
	z_s (cm)			—		
	z_b (cm)				—	
	z_{MI} (cm)	0.8				
	$z_{pii,\alpha}$ (cm)	0.8				
	f_{awf} (MHz)	6.11	#		#	#
Other information	p_{rr} (Hz)	5261				
	s_{rr} (Hz)	13.7				
	n_{pps}	14				
	$I_{pa,\alpha}$ at $z_{pii,\alpha}$ (W/cm^2)	276				
	$I_{spta,\alpha}$ at $z_{pii,\alpha}$ or $z_{sii,\alpha}$ (mW/cm^2)	81.5				
	I_{spta} at z_{pii} or z_{sii} (mW/cm^2)	109.5				
	p_r at z_{pii} (MPa)	2.78				
Operating controls	Exam type	Ven				
	Mode	CVD				
	2D optimization/depth (cm)	Pen/3.1				
	Color optimization/PRF (Hz)	Low/779				
	Color box position/size	Def/def				

(a) This index is not required for this operating mode; value is <1.

(b) This transducer is not intended for transcranial or neonatal cephalic uses.

No data are reported for this operating condition since the global maximum index value is not reported for the reason listed. (Reference global maximum index value line.)

— Data are not applicable for this transducer/mode.

Table 43: Transducer model: L25x Operating mode: PW Doppler

Index label		MI	TIS		TIB		TIC
			At surface	Below surface	At surface	Below surface	At surface
Maximum index value		(a)	(a)		1.7		(b)
Index component value			#	#	0.9	1.7	
Acoustic parameters	$p_{r,\alpha}$ at z_{MI} (MPa)	#					
	P (mW)		#		32.1		#
	P_{1x1} (mW)		#		32.1		
	z_s (cm)			#			
	z_b (cm)					0.75	
	z_{MI} (cm)	#					
	$z_{pii,\alpha}$ (cm)	#					
	f_{awf} (MHz)	#	#		#		#
Other information	pr (Hz)	#					
	srr (Hz)	#					
	n_{pps}	#					
	$I_{pa,\alpha}$ at $z_{pii,\alpha}$ (W/cm^2)	#					
	$I_{spta,\alpha}$ at $z_{pii,\alpha}$ or $z_{sii,\alpha}$ (mW/cm^2)	#					
	I_{spta} at z_{pii} or z_{sii} (mW/cm^2)	#					
p_r at z_{pii} (MPa)	#						
Operating controls	Exam type				Vas/Ven/Nrv		
	Sample volume size (mm)				8		
	Sample volume position				Zone 7		
	PRF (Hz)				1953		

(a) This index is not required for this operating mode; value is <1.

(b) This transducer is not intended for transcranial or neonatal cephalic uses.

No data are reported for this operating condition since the global maximum index value is not reported for the reason listed. (Reference global maximum index value line.)

— Data are not applicable for this transducer/mode.

Table 44: Transducer model: L38xi Operating mode: 2D

Index label		MI	TIS		TIB		TIC
			At surface	Below surface	At surface	Below surface	At surface
Maximum index value		1.5	(a)		(a)		(b)
Index component value			#	#	#	#	
Acoustic parameters	$p_{r,\alpha}$ at z_{MI} (MPa)	3.3					
	P (mW)		#		#		#
	$P_{1 \times 1}$ (mW)		#		#		
	z_s (cm)			—			
	z_b (cm)					—	
	z_{MI} (cm)	0.8					
	$z_{pii,\alpha}$ (cm)	0.8					
Other information	f_{awf} (MHz)	4.82	#		#		#
	pr (Hz)	1312					
	srr (Hz)	10.3					
	n_{pps}	1					
	$I_{pa,\alpha}$ at $z_{pii,\alpha}$ (W/cm ²)	605					
	$I_{spta,\alpha}$ at $z_{pii,\alpha}$ or $z_{sii,\alpha}$ (mW/cm ²)	10.2					
	I_{spta} at z_{pii} or z_{sii} (mW/cm ²)	13.5					
p_r at z_{pii} (MPa)	3.79						
Operating controls	Exam type	Nrv					
	Optimization	Res					
	Depth (cm)	2.0					
	MB	N/A					
	Needle vision	On					

(a) This index is not required for this operating mode; value is <1.

(b) This transducer is not intended for transcranial or neonatal cephalic uses.

No data are reported for this operating condition since the global maximum index value is not reported for the reason listed. (Reference global maximum index value line.)

— Data are not applicable for this transducer/mode.

Table 45: Transducer model: L38xi Operating mode: M mode

Index label		MI	TIS		TIB		TIC
			At surface	Below surface	At surface	Below surface	At surface
Maximum index value		1.5	(a)		1.2		(b)
Index component value			#	#	0.9	1.2	
Acoustic parameters	$p_{r,\alpha}$ at z_{MI} (MPa)	3.54					
	P (mW)		#		37.1		#
	P_{1x1} (mW)		#		37.1		
	z_s (cm)			#			
	z_b (cm)					0.9	
	z_{MI} (cm)	1.0					
	$z_{pii,\alpha}$ (cm)	1.0					
	f_{awf} (MHz)	5.76		#	5.20		#
Other information	pr (Hz)	1600					
	srr (Hz)	—					
	n_{pps}	1					
	$I_{pa,\alpha}$ at $z_{pii,\alpha}$ (W/cm^2)	776					
	$I_{spta,\alpha}$ at $z_{pii,\alpha}$ or $z_{sij,\alpha}$ (mW/cm^2)	181.8					
	I_{spta} at z_{pii} or z_{sij} (mW/cm^2)	280.5					
	p_r at z_{pii} (MPa)	4.32					
Operating controls	Exam type	Art			Art		
	Optimization	Gen			Pen		
	Depth (cm)	4.7			7.3		

(a) This index is not required for this operating mode; value is <1.

(b) This transducer is not intended for transcranial or neonatal cephalic uses.

No data are reported for this operating condition since the global maximum index value is not reported for the reason listed. (Reference global maximum index value line.)

— Data are not applicable for this transducer/mode.

Table 46: Transducer model: L38xi Operating mode: Color/CPD

Index label	MI	TIS		TIB		TIC	
		At surface	Below surface	At surface	Below surface	At surface	
Maximum index value	1.5	1.1		1.1		(b)	
Index component value		1.1	1.1	1.1	1.1		
Acoustic parameters	$p_{r,\alpha}$ at z_{MI} (MPa)	3.3					
	P (mW)		64.7		64.7		#
	$P_{1 \times 1}$ (mW)		49.0		49.0		
	z_s (cm)			—			
	z_b (cm)				—		
	z_{MI} (cm)	0.8					
	$z_{pii,\alpha}$ (cm)	0.8					
	f_{awf} (MHz)	4.82	4.83		4.83		#
Other information	p_{rr} (Hz)	2190					
	s_{rr} (Hz)	4.5					
	n_{pps}	16					
	$I_{pa,\alpha}$ at $z_{pii,\alpha}$ (W/cm^2)	605					
	$I_{spta,\alpha}$ at $z_{pii,\alpha}$ or $z_{sii,\alpha}$ (mW/cm^2)	35.6					
	I_{spta} at z_{pii} or z_{sii} (mW/cm^2)	47.4					
	p_r at z_{pii} (MPa)	3.79					
Operating controls	Exam type	Art	Ven		Ven		
	Mode	CVD	CVD		CVD		
	2D optimization/depth (cm)	Pen/2.0	Pen/3.1		Pen/3.1		
	Color optimization/PRF (Hz)	Low/393	Low/2315		Low/2315		
	Color box position/size	Def/def	Bottom/short-narrow		Bottom/short-narrow		

(a) This index is not required for this operating mode; value is <1.

(b) This transducer is not intended for transcranial or neonatal cephalic uses.

No data are reported for this operating condition since the global maximum index value is not reported for the reason listed. (Reference global maximum index value line.)

— Data are not applicable for this transducer/mode.

Table 47: Transducer model: L38xi Operating mode: PW Doppler

Index label		MI	TIS		TIB		TIC
			At surface	Below surface	At surface	Below surface	At surface
Maximum index value		1.3	2.6		3.7		(b)
Index component value			2.6	1.8	2.6	3.7	
Acoustic parameters	$p_{r,\alpha}$ at z_{MI} (MPa)	2.59					
	P (mW)		114.5		114.5		#
	P_{1x1} (mW)		114.5		114.5		
	z_s (cm)			1.2			
	z_b (cm)					1.2	
	z_{MI} (cm)	0.7					
	$z_{pii,\alpha}$ (cm)	0.7					
	f_{awf} (MHz)	4.06	4.78		4.78		#
Other information	pr (Hz)	1008					
	srr (Hz)	—					
	n_{pps}	1					
	$I_{pa,\alpha}$ at $z_{pii,\alpha}$ (W/cm^2)	32.3					
	$I_{spta,\alpha}$ at $z_{pii,\alpha}$ or $z_{sii,\alpha}$ (mW/cm^2)	399.8					
	I_{spta} at z_{pii} or z_{sii} (mW/cm^2)	495.1					
p_r at z_{pii} (MPa)	2.86						
Operating controls	Exam type	Art	Nrv		Nrv		
	Sample volume size (mm)	1	1		1		
	Sample volume position	Zone 0	Zone 7		Zone 7		
	PRF (Hz)	1008	10417		10417		

(a) This index is not required for this operating mode; value is <1.

(b) This transducer is not intended for transcranial or neonatal cephalic uses.

No data are reported for this operating condition since the global maximum index value is not reported for the reason listed. (Reference global maximum index value line.)

— Data are not applicable for this transducer/mode.

Table 48: Transducer model: P10x Operating mode: Color

Index label		MI	TIS		TIB		TIC
			At surface	Below surface	At surface	Below surface	At surface
Maximum index value		(a)	(a)		(a)		1.1
Index component value			#	#	#	#	
Acoustic parameters	$p_{r,\alpha}$ at z_{MI} (MPa)	#					
	P (mW)		#		#		42.2
	$P_{1 \times 1}$ (mW)		#		#		
	z_s (cm)			—			
	z_b (cm)					—	
	z_{MI} (cm)	#					
	$z_{pii,\alpha}$ (cm)	#					
	f_{awf} (MHz)	#	#		#		3.89
Other information	pr_r (Hz)	#					
	srr (Hz)	#					
	n_{pps}	#					
	$I_{pa,\alpha}$ at $z_{pii,\alpha}$ (W/cm ²)	#					
	$I_{spta,\alpha}$ at $z_{pii,\alpha}$ or $z_{sii,\alpha}$ (mW/cm ²)	#					
	I_{spta} at z_{pii} or z_{sii} (mW/cm ²)	#					
	p_r at z_{pii} (MPa)	#					
Operating controls	Exam type						Crd
	Mode						CVD
	2D optimization/depth (cm)/sector width						Pen/8.9/narrow
	Color optimization/PRF (Hz)						Low/2033
	Color box position/size						Top/short-wide

(a) This index is not required for this operating mode; value is <1.

(b) This transducer is not intended for transcranial or neonatal cephalic uses.

No data are reported for this operating condition since the global maximum index value is not reported for the reason listed. (Reference global maximum index value line.)

— Data are not applicable for this transducer/mode.

Table 49: Transducer model: P10x Operating mode: CW Doppler

Index label		MI	TIS		TIB		TIC
			At surface	Below surface	At surface	Below surface	At surface
Maximum index value		(a)	(a)		1.8		1.7
Index component value			#	#	0.7	1.8	
Acoustic parameters	$p_{r,\alpha}$ at z_{MI} (MPa)	#					
	P (mW)		#		34.8		25.7
	P_{1x1} (mW)		#		34.8		
	z_s (cm)			#			
	z_b (cm)					0.70	
	z_{MI} (cm)	#					
	$z_{pii,\alpha}$ (cm)	#					
	f_{awf} (MHz)	#	#		4.00		4.00
Other information	pr (Hz)	#					
	srr (Hz)	#					
	n_{pps}	#					
	$I_{pa,\alpha}$ at $z_{pii,\alpha}$ (W/cm^2)	#					
	$I_{spta,\alpha}$ at $z_{pii,\alpha}$ or $z_{sij,\alpha}$ (mW/cm^2)	#					
	I_{spta} at z_{pii} or z_{sij} (mW/cm^2)	#					
Operating controls	Exam type				Crd		Crd
	Sample volume position				Zone 3		Zone 0

(a) This index is not required for this operating mode; value is <1.

(b) This transducer is not intended for transcranial or neonatal cephalic uses.

No data are reported for this operating condition since the global maximum index value is not reported for the reason listed. (Reference global maximum index value line.)

— Data are not applicable for this transducer/mode.

Table 50: Transducer model: P10x Operating mode: PW Doppler

Index label		MI	TIS		TIB		TIC
			At surface	Below surface	At surface	Below surface	At surface
Maximum index value		1.0	1.1		1.9		1.5
Index component value			1.1	0.6	0.6	1.9	
Acoustic parameters	$p_{r,\alpha}$ at z_{MI} (MPa)	1.92					
	P (mW)		34.4		31.9		26.9
	P_{1x1} (mW)		34.4		31.9		
	z_s (cm)		1.4				
	z_b (cm)					0.90	
	z_{MI} (cm)	2.1					
	$z_{pii,\alpha}$ (cm)	2.1					
Other information	f_{awf} (MHz)	3.87	6.86		3.84		3.86
	pr (Hz)	1562					
	srr (Hz)	—					
	η_{pps}	1					
	$I_{pa,\alpha}$ at $z_{pii,\alpha}$ (W/cm ²)	200					
	$I_{spta,\alpha}$ at $z_{pii,\alpha}$ or $z_{sii,\alpha}$ (mW/cm ²)	400.0					
	I_{spta} at z_{pii} or z_{sii} (mW/cm ²)	729.9					
p_r at z_{pii} (MPa)	2.54						
Operating controls	Exam type	Crd	Crd		Abd		Crd
	Sample volume size (mm)	1	7		12		1
	Sample volume position	Zone 2	Zone 6		Zone 1		Zone 0
	PRF (Hz)	1562	1008		1953		15625
	TDI	Off	On		Off		Off

(a) This index is not required for this operating mode; value is <1.

(b) This transducer is not intended for transcranial or neonatal cephalic uses.

No data are reported for this operating condition since the global maximum index value is not reported for the reason listed. (Reference global maximum index value line.)

— Data are not applicable for this transducer/mode.

Table 51: Transducer model: rC60xi Operating mode: 2D

Index label		MI	TIS		TIB		TIC
			At surface	Below surface	At surface	Below surface	At surface
Maximum index value		1.5	(a)		(a)		(b)
Index component value			#	#	#	#	
Acoustic parameters	$p_{r,\alpha}$ at z_{MI} (MPa)	2.31					
	P (mW)		#		#		#
	P_{1x1} (mW)		#		#		
	z_s (cm)			—			
	z_b (cm)					—	
	z_{MI} (cm)	4.3					
	$z_{pii,\alpha}$ (cm)	4.3					
	f_{awf} (MHz)	2.36	#		#		#
Other information	pr (Hz)	3584					
	srr (Hz)	28.0					
	n_{pps}	1					
	$I_{pa,\alpha}$ at $z_{pii,\alpha}$ (W/cm ²)	356					
	$I_{spta,\alpha}$ at $z_{pii,\alpha}$ or $z_{sii,\alpha}$ (mW/cm ²)	24.1					
	I_{spta} at z_{pii} or z_{sii} (mW/cm ²)	44.9					
p_r at z_{pii} (MPa)	3.29						
Operating controls	Exam type	Abd					
	Optimization	Res					
	Depth (cm)	11					
	MB (multi beam)	Off					
	THI	On					

(a) This index is not required for this operating mode; value is <1.

(b) This transducer is not intended for transcranial or neonatal cephalic uses.

No data are reported for this operating condition since the global maximum index value is not reported for the reason listed. (Reference global maximum index value line.)

— Data are not applicable for this transducer/mode.

Table 52: Transducer model: rC60xi Operating mode: M mode

Index label		MI	TIS		TIB		TIC
			At surface	Below surface	At surface	Below surface	At surface
Maximum index value		1.3	(a)		1.0		(b)
Index component value			#	#	0.36	1.00	
Acoustic parameters	$p_{r,\alpha}$ at z_{MI} (MPa)	2.18					
	P (mW)		#		69.8		#
	P_{1x1} (mW)		#		25.9		
	z_s (cm)			#			
	z_b (cm)					4.2	
	z_{MI} (cm)	4.3					
	$z_{pii,\alpha}$ (cm)	4.3					
Other information	f_{awf} (MHz)	2.66	#		2.89		#
	pr_r (Hz)	800					
	srr (Hz)	—					
	η_{pps}	1					
	$I_{pa,\alpha}$ at $z_{pii,\alpha}$ (W/cm^2)	290					
	$I_{spta,\alpha}$ at $z_{pii,\alpha}$ or $z_{sii,\alpha}$ (mW/cm^2)	144.2					
	I_{spta} at z_{pii} or z_{sii} (mW/cm^2)	328.2					
p_r at z_{pii} (MPa)	3.25						
Operating controls	Exam type	Abd			Msk		
	Optimization	Pen			Pen		
	Depth (cm)	6.6			9.2		
	THI	Off			Off		

(a) This index is not required for this operating mode; value is < 1.

(b) This transducer is not intended for transcranial or neonatal cephalic uses.

No data are reported for this operating condition since the global maximum index value is not reported for the reason listed. (Reference global maximum index value line.)

— Data are not applicable for this transducer/mode.

Table 53: Transducer model: rC60xi Operating mode: Color/CPD

Index label		MI	TIS		TIB		TIC
			At surface	Below surface	At surface	Below surface	At surface
Maximum index value		1.5	1.2		1.2		(b)
Index component value			1.2	1.2	1.2	1.2	
Acoustic parameters	$p_{r,\alpha}$ at z_{MI} (MPa)	2.21					
	P (mW)		185.8		185.8		#
	$P_{1 \times 1}$ (mW)		107.5		107.5		
	z_s (cm)			—			
	z_b (cm)					—	
	z_{MI} (cm)	4.3					
	$z_{pii,\alpha}$ (cm)	4.3					
	f_{awf} (MHz)	2.22	2.21		2.21		#
Other information	pr (Hz)	1265					
	srr (Hz)	9.89					
	n_{pps}	1					
	$I_{pa,\alpha}$ at $z_{pii,\alpha}$ (W/cm ²)	342					
	$I_{spta,\alpha}$ at $z_{pii,\alpha}$ or $z_{sii,\alpha}$ (mW/cm ²)	8.9					
	I_{spta} at z_{pii} or z_{sii} (mW/cm ²)	15.8					
	p_r at z_{pii} (MPa)	3.07					
Operating controls	Exam type	Abd	Abd		Abd		
	Mode	CVD	CVD		CVD		
	2D optimization/depth (cm)/THI	Gen/11 / On	Gen/4.7 /Off		Gen/4.7 /Off		
	Color optimization/PRF (Hz)	Low/342	High/3125		High/3125		
	Color box position/size	Bottom/tall-narrow	Bottom/tall-narrow		Bottom/tall-narrow		

(a) This index is not required for this operating mode; value is <1.

(b) This transducer is not intended for transcranial or neonatal cephalic uses.

No data are reported for this operating condition since the global maximum index value is not reported for the reason listed. (Reference global maximum index value line.)

— Data are not applicable for this transducer/mode.

Table 54: Transducer model: rC60xi Operating mode: PW Doppler

Index label		MI	TIS		TIB		TIC
			At surface	Below surface	At surface	Below surface	At surface
Maximum index value		1.2	2.0		4.0		(b)
Index component value			0.7	2.0	0.8	4.0	
Acoustic parameters	$p_{r,\alpha}$ at z_{MI} (MPa)	1.73					
	P (mW)		386.5		291.8		#
	P_{1x1} (mW)		67.5		74.2		
	z_s (cm)			4.0			
	z_b (cm)					3.6	
	z_{MI} (cm)	4.5					
	$z_{pii,\alpha}$ (cm)	4.5					
Other information	f_{awf} (MHz)	2.2	2.23		2.23		#
	pr (Hz)	1302					
	srr (Hz)	—					
	η_{pps}	1					
	$I_{pa,\alpha}$ at $z_{pii,\alpha}$ (W/cm^2)	267					
	$I_{spta,\alpha}$ at $z_{pii,\alpha}$ or $z_{sii,\alpha}$ (mW/cm^2)	399.7					
	I_{spta} at z_{pii} or z_{sii} (mW/cm^2)	793.3					
Operating controls	p_r at z_{pii} (MPa)	2.43					
	Exam type	Abd	Abd		Abd		
	Sample volume size (mm)	3	7		7		
	Sample volume position	Zone 3	Zone 6		Zone 5		
	PRF (Hz)	1302	2604		2604		

(a) This index is not required for this operating mode; value is <1.

(b) This transducer is not intended for transcranial or neonatal cephalic uses.

No data are reported for this operating condition since the global maximum index value is not reported for the reason listed. (Reference global maximum index value line.)

— Data are not applicable for this transducer/mode.

Table 55: Transducer model: rP19x (Orbital use) Operating mode: 2D

Index label		MI	TIS		TIB		TIC
			At surface	Below surface	At surface	Below surface	At surface
Maximum index value		0.17	0.03		0.03		0.07
Index component value			0.03	0.03	0.03	0.03	
Acoustic parameters	$p_{r,\alpha}$ at z_{MI} (MPa)	0.25					
	P (mW)		4.4		4.4		4.7
	P_{1x1} (mW)		2.9		2.9		
	z_s (cm)			—			
	z_b (cm)					—	
	z_{MI} (cm)	3.4					
	$z_{pii,\alpha}$ (cm)	3.4					
	f_{awf} (MHz)	2.06	2.06		2.06		1.90
Other information	pr (Hz)	6413					
	srr (Hz)	15.6					
	n_{pps}	1					
	$I_{pa,\alpha}$ at $z_{pii,\alpha}$ (W/cm^2)	4.1					
	$I_{spta,\alpha}$ at $z_{pii,\alpha}$ or $z_{sii,\alpha}$ (mW/cm^2)	0.4					
	I_{spta} at z_{pii} or z_{sii} (mW/cm^2)	0.6					
	p_r at z_{pii} (MPa)	0.31					
Operating controls	Exam type	Orb	Orb		Orb		Orb
	Optimization	Res	Res		Res		Gen
	Depth (cm)	4.7	4.7		4.7		16
	MB	Off	Off		Off		Off

(a) This index is not required for this operating mode; value is <1.

(b) This transducer is not intended for transcranial or neonatal cephalic uses.

No data are reported for this operating condition since the global maximum index value is not reported for the reason listed. (Reference global maximum index value line.)

— Data are not applicable for this transducer/mode.

Table 56: Transducer model: rP19x (Orbital use) Operating mode: M mode

Index label		MI	TIS		TIB		TIC
			At surface	Below surface	At surface	Below surface	At surface
Maximum index value		0.17	0.009		0.020		0.021
Index component value			0.006	0.009	0.006	0.020	
Acoustic parameters	$p_{r,\alpha}$ at z_{MI} (MPa)	0.25					
	P (mW)		1.34		1.34		1.34
	P_{1x1} (mW)		0.67		0.67		
	z_s (cm)			2.5			
	z_b (cm)					3.15	
	z_{MI} (cm)	3.4					
	$z_{pii,\alpha}$ (cm)	3.4					
	f_{awf} (MHz)	2.06	1.83		1.83		1.83
Other information	pr (Hz)	800					
	srr (Hz)	—					
	n_{pps}	1					
	$I_{pa,\alpha}$ at $z_{pii,\alpha}$ (W/cm^2)	4.05					
	$I_{spta,\alpha}$ at $z_{pii,\alpha}$ or $z_{sii,\alpha}$ (mW/cm^2)	1.7					
	I_{spta} at z_{pii} or z_{sii} (mW/cm^2)	2.7					
	p_r at z_{pii} (MPa)	0.31					
Operating controls	Exam type	Orb	Orb		Orb		Orb
	Optimization	Res	Gen		Gen		Gen
	Depth (cm)	4.7	35		35		35

(a) This index is not required for this operating mode; value is <1 .

(b) This transducer is not intended for transcranial or neonatal cephalic uses.

No data are reported for this operating condition since the global maximum index value is not reported for the reason listed. (Reference global maximum index value line.)

— Data are not applicable for this transducer/mode.

Table 57: Transducer model: rP19x (Orbital use) Operating mode: Color/CPD

Index label		MI	TIS		TIB		TIC
			At surface	Below surface	At surface	Below surface	At surface
Maximum index value		0.17	0.09		0.09		0.23
Index component value			0.09	0.09	0.09	0.09	
Acoustic parameters	$p_{r,\alpha}$ at z_{MI} (MPa)	0.25					
	P (mW)		15.47		15.47		15.50
	P_{1x1} (mW)		9.50		9.50		
	z_s (cm)			—			
	z_b (cm)					—	
	z_{MI} (cm)	0.7					
	$z_{pii,\alpha}$ (cm)	0.7					
	f_{awf} (MHz)	2.14	2.11		2.11		2.11
Other information	pr (Hz)	5443					
	srr (Hz)	15.9					
	n_{pps}	16					
	$I_{pa,\alpha}$ at $z_{pii,\alpha}$ (W/cm ²)	1.82					
	$I_{spta,\alpha}$ at $z_{pii,\alpha}$ or $z_{sii,\alpha}$ (mW/cm ²)	3.2					
	I_{spta} at z_{pii} or z_{sii} (mW/cm ²)	3.5					
	p_r at z_{pii} (MPa)	0.26					
Operating controls	Exam type	Orb	Orb		Orb		Orb
	Mode	CVD	CVD		CVD		CVD
	2D optimization/depth (cm)	Gen/4.7	Gen/24		Gen/24		Gen/24
	Color optimization/PRF (Hz)	Low/1157	Low/3125		Low/3125		Low/3125
	Color box position/size	Def/def	Top/short-wide		Top/short-wide		Top/short-wide

(a) This index is not required for this operating mode; value is <1.

(b) This transducer is not intended for transcranial or neonatal cephalic uses.

No data are reported for this operating condition since the global maximum index value is not reported for the reason listed. (Reference global maximum index value line.)

— Data are not applicable for this transducer/mode.

Table 58: Transducer model: rP19x (Orbital use) Operating mode: PW Doppler

Index label		MI	TIS		TIB		TIC
			At surface	Below surface	At surface	Below surface	At surface
Maximum index value		0.18	0.27		0.59		0.57
Index component value			0.19	0.27	0.18	0.59	
Acoustic parameters	$p_{r,\alpha}$ at z_{MI} (MPa)	0.27					
	P (mW)		37.4		35.3		37.4
	P_{1x1} (mW)		17.5		17.0		
	z_s (cm)			2.5			
	z_b (cm)					3.35	
	z_{MI} (cm)	3.5					
	$z_{pii,\alpha}$ (cm)	3.5					
	f_{awf} (MHz)	2.23	2.23		2.23		2.23
Other information	pr (Hz)	1953					
	srr (Hz)	—					
	n_{pps}	1					
	$I_{pa,\alpha}$ at $z_{pii,\alpha}$ (W/cm^2)	2.49					
	$I_{spta,\alpha}$ at $z_{pii,\alpha}$ or $z_{sii,\alpha}$ (mW/cm^2)	28.9					
	I_{spta} at z_{pii} or z_{sii} (mW/cm^2)	69.3					
	p_r at z_{pii} (MPa)	0.36					
Operating controls	Exam type	Orb	Orb		Orb		Orb
	Sample volume size (mm)	5	14		14		14
	Sample volume position	Zone 6	Zone 7		Zone 5		Zone 7
	PRF (Hz)	1953	1953		1953		1953

(a) This index is not required for this operating mode; value is <1.

(b) This transducer is not intended for transcranial or neonatal cephalic uses.

No data are reported for this operating condition since the global maximum index value is not reported for the reason listed. (Reference global maximum index value line.)

— Data are not applicable for this transducer/mode.

Table 59: Transducer model: rP19x Operating mode: 2D

Index label		MI	TIS		TIB		TIC
			At surface	Below surface	At surface	Below surface	At surface
Maximum index value		1.5	1.0		1.0		2.7
Index component value			1.0	1.0	1.0	1.0	
Acoustic parameters	$p_{r,\alpha}$ at z_{MI} (MPa)	2.1					
	P (mW)		152.6		152.6		177.8
	P_{1x1} (mW)		96.1		96.1		
	z_s (cm)			—			
	z_b (cm)					—	
	z_{MI} (cm)	4.8					
	$z_{pii,\alpha}$ (cm)	4.8					
	f_{awf} (MHz)	1.99	2.08		2.08		1.53
Other information	pr (Hz)	6186					
	srr (Hz)	48.3					
	n_{pps}	1					
	$I_{pa,\alpha}$ at $z_{pii,\alpha}$ (W/cm ²)	184					
	$I_{spta,\alpha}$ at $z_{pii,\alpha}$ or $z_{sii,\alpha}$ (mW/cm ²)	25.4					
	I_{spta} at z_{pii} or z_{sii} (mW/cm ²)	38.6					
	p_r at z_{pii} (MPa)	2.92					
Operating controls	Exam type	Abd	Crd		Crd		Crd
	Optimization	Gen	Res		Res		Pen
	Depth (cm)	10	10		10		4.7
	MB/THI	Off/Off	Off/On		Off/On		Off/On
	Sector width	N/A	Narrow		Narrow		N/A

(a) This index is not required for this operating mode; value is <1.

(b) This transducer is not intended for transcranial or neonatal cephalic uses.

No data are reported for this operating condition since the global maximum index value is not reported for the reason listed. (Reference global maximum index value line.)

— Data are not applicable for this transducer/mode.

Table 60: Transducer model: rP19x Operating mode: M mode

Index label		MI	TIS		TIB		TIC
			At surface	Below surface	At surface	Below surface	At surface
Maximum index value		1.5	(a)		1.7		1.0
Index component value			#	#	0.2	1.7	
Acoustic parameters	$p_{r,\alpha}$ at z_{MI} (MPa)	2.1					
	P (mW)		#		55.0		62.1
	P_{1x1} (mW)		#		28.5		
	z_s (cm)			#			
	z_b (cm)					4.33	
	z_{MI} (cm)	4.8					
	$z_{pii,\alpha}$ (cm)	4.8					
Other information	f_{awf} (MHz)	1.99	#		1.81		1.77
	pr (Hz)	800					
	srr (Hz)	—					
	η_{pps}	1					
	$I_{pa,\alpha}$ at $z_{pii,\alpha}$ (W/cm^2)	184					
	$I_{spta,\alpha}$ at $z_{pii,\alpha}$ or $z_{sii,\alpha}$ (mW/cm^2)	73.5					
	I_{spta} at z_{pii} or z_{sii} (mW/cm^2)	140.8					
Operating controls	p_r at z_{pii} (MPa)	2.92					
	Exam type	TCD			Abd		Abd
	Optimization	Gen			Res		Res
	Depth (cm)	7.5			10		16
	THI	Off			On		On

(a) This index is not required for this operating mode; value is <1.

(b) This transducer is not intended for transcranial or neonatal cephalic uses.

No data are reported for this operating condition since the global maximum index value is not reported for the reason listed. (Reference global maximum index value line.)

— Data are not applicable for this transducer/mode.

Table 6 1: Transducer model: rP19x Operating mode: Color/CPD

Index label		MI	TIS		TIB		TIC
			At surface	Below surface	At surface	Below surface	At surface
Maximum index value		1.5	1.2		1.2		2.5
Index component value			1.2	1.2	1.2	1.2	
Acoustic parameters	$p_{r,\alpha}$ at z_{MI} (MPa)	2.1					
	P (mW)		128.0		128.0		170.5
	P_{1x1} (mW)		115.6		115.6		
	z_s (cm)			—			
	z_b (cm)					—	
	z_{MI} (cm)	4.8					
	$z_{pii,\alpha}$ (cm)	4.8					
	f_{awf} (MHz)	1.99	2.14		2.14		2.12
Other information	pr (Hz)	505					
	srr (Hz)	7.9					
	n_{pps}	1					
	$I_{pa,\alpha}$ at $z_{pii,\alpha}$ (W/cm^2)	184					
	$I_{spta,\alpha}$ at $z_{pii,\alpha}$ or $z_{sii,\alpha}$ (mW/cm^2)	2.1					
	I_{spta} at z_{pii} or z_{sii} (mW/cm^2)	3.2					
	p_r at z_{pii} (MPa)	2.92					
Operating controls	Exam type	Abd	TCD		TCD		Crd
	Mode/THI	CVD/Off	CVD/Off		CVD/Off		CVD/On
	2D optimization/depth (cm)/sector width	Gen/10/N/A	Pen/7.5 /N/A		Pen/7.5 /N/A		Gen/16/narrow
	Color optimization/PRF (Hz)	Low/300	Low/3125		Low/3125		High/5208
	Color box position/size	Def/def	Def/narrow		Def/narrow		Def/def

(a) This index is not required for this operating mode; value is <1.

(b) This transducer is not intended for transcranial or neonatal cephalic uses.

No data are reported for this operating condition since the global maximum index value is not reported for the reason listed. (Reference global maximum index value line.)

— Data are not applicable for this transducer/mode.

Table 62: Transducer model: rP19x Operating mode: CW Doppler

Index label		MI	TIS		TIB		TIC
			At surface	Below surface	At surface	Below surface	At surface
Maximum index value		(a)	1.2		4.0		4.0
Index component value			1.2	1.1	1.2	4.0	
Acoustic parameters	$p_{r,\alpha}$ at z_{MI} (MPa)	#					
	P (mW)		125.4		125.4		125.4
	P_{1x1} (mW)		125.4		125.4		
	z_s (cm)			0.9			
	z_b (cm)					0.9	
	z_{MI} (cm)	#					
	$z_{pii,\alpha}$ (cm)	#					
	f_{awf} (MHz)	#	2.00		2.00		2.00
Other information	pr_r (Hz)	#					
	srr (Hz)	#					
	η_{pps}	#					
	$I_{pa,\alpha}$ at $z_{pii,\alpha}$ (W/cm^2)	#					
	$I_{spta,\alpha}$ at $z_{pii,\alpha}$ or $z_{sii,\alpha}$ (mW/cm^2)	#					
	I_{spta} at z_{pii} or z_{sii} (mW/cm^2)	#					
	p_r at z_{pii} (MPa)	#					
Operating controls	Exam type		Crd		Crd		Crd
	Sample volume position		Zone 0		Zone 0		Zone 0

(a) This index is not required for this operating mode; value is <1.

(b) This transducer is not intended for transcranial or neonatal cephalic uses.

No data are reported for this operating condition since the global maximum index value is not reported for the reason listed. (Reference global maximum index value line.)

— Data are not applicable for this transducer/mode.

Table 63: Transducer model: rP19x Operating mode: PW Doppler

Index label		MI	TIS		TIB		TIC
			At surface	Below surface	At surface	Below surface	At surface
Maximum index value		1.3	1.8		4.0		3.9
Index component value			1.3	1.8	1.2	4.0	
Acoustic parameters	$p_{r,\alpha}$ at z_{MI} (MPa)	1.94					
	P (mW)		253.7		240.2		251.1
	$P_{1 \times 1}$ (mW)		118.6		116.0		
	z_s (cm)			2.5			
	z_b (cm)					3.35	
	z_{MI} (cm)	3.0					
	$z_{pii,\alpha}$ (cm)	3.0					
	f_{awf} (MHz)	2.14	2.23		2.23		2.10
Other information	pr (Hz)	1562					
	srr (Hz)	—					
	n_{pps}	1					
	$I_{pa,\alpha}$ at $z_{pii,\alpha}$ (W/cm ²)	180					
	$I_{spta,\alpha}$ at $z_{pii,\alpha}$ or $z_{sii,\alpha}$ (mW/cm ²)	374.9					
	I_{spta} at z_{pii} or z_{sii} (mW/cm ²)	594.7					
	p_r at z_{pii} (MPa)	2.42					
Operating controls	Exam type	Crd	Crd		Crd		Crd
	Sample volume size (mm)	1	12		1		1
	Sample volume position	Zone 1	Zone 7		Zone 5		Zone 5
	PRF (Hz)	1562	1562		39062		39062
	TDI	Off	Off		Off		Off

(a) This index is not required for this operating mode; value is <1.

(b) This transducer is not intended for transcranial or neonatal cephalic uses.

No data are reported for this operating condition since the global maximum index value is not reported for the reason listed. (Reference global maximum index value line.)

— Data are not applicable for this transducer/mode.

Table 64: Transducer model: TEExi Operating mode: CW Doppler

Index label		MI	TIS		TIB		TIC
			At surface	Below surface	At surface	Below surface	At surface
Maximum index value		(a)	(a)		1.7		(b)
Index component value			#	#	0.7	1.7	
Acoustic parameters	$p_{r,\alpha}$ at z_{MI} (MPa)	#					
	P (mW)		#		34.4		#
	P_{1x1} (mW)		#		34.4		
	z_s (cm)			#			
	z_b (cm)					1.10	
	z_{MI} (cm)	#					
	$z_{pii,\alpha}$ (cm)	#					
Other information	f_{awf} (MHz)	#	#		4.00		#
	pr (Hz)	#					
	srr (Hz)	#					
	η_{pps}	#					
	$I_{pa,\alpha}$ at $z_{pii,\alpha}$ (W/cm^2)	#					
	$I_{spta,\alpha}$ at $z_{pii,\alpha}$ or $z_{sii,\alpha}$ (mW/cm^2)	#					
	I_{spta} at z_{pii} or z_{sii} (mW/cm^2)	#					
Operating controls	p_r at z_{pii} (MPa)	#					
	Exam type				Crd		
	Sample volume				Zone 2		

(a) This index is not required for this operating mode; value is <1.

(b) This transducer is not intended for transcranial or neonatal cephalic uses.

No data are reported for this operating condition since the global maximum index value is not reported for the reason listed. (Reference global maximum index value line.)

— Data are not applicable for this transducer/mode.

Table 65: Transducer model: TEExi Operating mode: PW Doppler

Index label		MI	TIS		TIB		TIC
			At surface	Below surface	At surface	Below surface	At surface
Maximum index value		(a)	(a)		1.4		(b)
Index component value			#	#	0.7	1.4	
Acoustic parameters	$p_{r,\alpha}$ at z_{MI} (MPa)	#					
	P (mW)		#		35.8		#
	P_{1x1} (mW)		#		35.8		
	z_s (cm)			#			
	z_b (cm)					2.57	
	z_{MI} (cm)	#					
	$z_{pii,\alpha}$ (cm)	#					
	f_{awf} (MHz)	#	#		3.81		#
Other information	pr (Hz)	#					
	srr (Hz)	#					
	n_{pps}	#					
	$I_{pa,\alpha}$ at $z_{pii,\alpha}$ (W/cm^2)	#					
	$I_{spta,\alpha}$ at $z_{pii,\alpha}$ or $z_{sii,\alpha}$ (mW/cm^2)	#					
	I_{spta} at z_{pii} or z_{sii} (mW/cm^2)	#					
Operating controls	p_r at z_{pii} (MPa)	#					
	Exam type				Crd		
	Sample volume size (mm)				1		
	Sample volume position				Zone 3		
	PRF (Hz)				2604		

(a) This index is not required for this operating mode; value is <1.

(b) This transducer is not intended for transcranial or neonatal cephalic uses.

No data are reported for this operating condition since the global maximum index value is not reported for the reason listed. (Reference global maximum index value line.)

— Data are not applicable for this transducer/mode.

Terms used in the acoustic output tables

Table 66: Terms used in the acoustic output tables

Term	Definition
α	Attenuation coefficient used for derating. Equal to 0.3 dB/cm/MHz ² .
f_{awf}	Acoustic working frequency.
$I_{pa,\alpha}$	Attenuated pulse-average intensity.
I_{spta}	Spatial-peak temporal-average intensity.
$I_{spta,\alpha}$	Attenuated spatial-peak temporal-average intensity.
MI	Mechanical index.
P	Output power.
$P_{1 \times 1}$	Bounded-square output power.
$p_{r,\alpha}$	Attenuated peak-rarefactional acoustic pressure.
p_r	Peak-rarefactional acoustic pressure.
p_{ii}	Pulse-intensity integral.
$p_{ii,\alpha}$	Attenuated pulse-intensity integral.
n_{pps}	Number of pulses per ultrasonic scan line.
prr	Pulse repetition rate.
srr	Scan repetition rate.
TI	Thermal index.
TIB	Bone thermal index.
TIC	Cranial-bone thermal index.
TIS	Soft-tissue thermal index.
z_b	Depth for TIB.
z_{MI}	Depth for mechanical index.
$z_{p_{ii}}$	Depth for peak pulse-intensity integral.
$z_{p_{ii,\alpha}}$	Depth for peak attenuated pulse-intensity integral.

Table 66: Terms used in the acoustic output tables

Term	Definition
z_{sij}	Depth for peak sum of pulse-intensity integrals.
$z_{sij,\alpha}$	Depth for peak sum of attenuated pulse-intensity integrals.
z_s	Depth for TIS.

Glossary (SonoSite Edge II)

The IMT term has been removed from the SonoSite Edge II user guide abbreviation list; the revision will be made in the next update.

Korrigerende tillæg til brugervejledningen til SonoSite Edge II og SonoSite SII

Indledning	92
Dokumentbetegnelser	92
Sådan får man hjælp	92
Sådan får man hjælp (SonoSite Edge II)	93
Kom godt i gang	93
Påtænkt anvendelse	93
Systemopsætning	93
Tilslutningsmuligheder (SonoSite SII)	93
Tilslutningsopsætning (SonoSite Edge II)	93
Indstillinger for netværksstatus	94
Billeddannelse	94
Tilgængelige billeddannelsestyper og undersøgelser efter transducer (SonoSite SII)	94
Målinger og beregninger (SonoSite SII)	94
Generelle beregninger	94
Målerreferencer (SonoSite SII)	95
Målenøjagtighed	96
Målingspublikationer og terminologi	96
Rengøring og desinfektion	97
Sikkerhed	97
Klinisk sikkerhed	97
Elektromagnetisk kompatibilitet	98
Trådløs transmission	100
Trådløs USB-dongle (Panda)	100
Trådløst sikkerhedsmodul (Laird)	101
Mærkningssymboler	112
Specifikationer	120
Understøttede transducere (SonoSite SII)	120
Standarder	121
Standarder for elektromekanisk sikkerhed	121
Akustisk udgangseffekt	122
ALARA-princippet	122
Anvendelse af ALARA-princippet	122
Knapper med direkte indvirkning	123
Visning af udgangseffekt	123
Relevant litteratur	123
Måling af akustisk udgangseffekt	124
Betegnelser brugt i tabellerne over akustisk udgangseffekt	182
Ordlister (SonoSite Edge II)	183

Indledning

Dokumentbetegnelser

Dokumentet følger disse betegnelser:

- ▶ Betegnelsen **ADVARSEL** angiver forholdsregler, der skal tages for at forhindre personskade eller død.
- ▶ Betegnelsen **Forsigtig** beskriver nødvendige forholdsregler for at beskytte produkterne.
- ▶ Betegnelsen **Bemærk** giver supplerende oplysninger.
- ▶ Nummererede trin med tal eller bogstaver skal udføres i en bestemt rækkefølge.
- ▶ Opstillinger med punkttegn er lister over oplysninger, hvor rækkefølgen er underordnet.
- ▶ Ettrinsprocedurer starter med ❖.

For en beskrivelse af mærkningssymboler, der vises på produktet, se "Mærkningssymboler" i brugervejledningen.

Sådan får man hjælp

FUJIFILM SonoSites tekniske serviceafdeling kan kontaktes på følgende måde:

Telefon (USA eller Canada)	+1 877-657-8118
Telefon (uden for USA eller Canada)	+1 425-951-1330, eller ring til den lokale repræsentant
Fax	+1 425-951-6700
E-mail	ffss-service@fujifilm.com
Web	www.sonosite.com
Europæisk serviceafdeling	Hovednummer: +31 20 751 2020 Engelsk support: +44 14 6234 1151 Fransk support: +33 1 8288 0702 Tysk support: +49 69 8088 4030 Italiensk support: +39 02 9475 3655 Spansk support: +34 91 123 8451
Asiatisk serviceafdeling	+65 6380-5581

Trykt i USA.

Sådan får man hjælp (SonoSite Edge II)

Følgende blev rettet i brugervejledningen til SonoSite Edge II-systemet. Revisionen vil blive foretaget i næste opdatering.

E-mail

ffss-service@fujifilm.com

Kom godt i gang

Følgende indhold var enten ikke inkluderet eller var forkert i brugervejledningen til SonoSite Edge II- og SonoSite SII-systemerne. Revisionen vil blive foretaget i næste opdatering.

Påtænkt anvendelse

Prostatavilleddannelse

Systemet kan anvendes til at vurdere prostata og omkringliggende anatomiske strukturer for at fastslå tilstedeværelse eller fravær af patologi.

Superficiel billeddannelse

Systemet kan anvendes til at vurdere mamma, thyroidea, testis, lymfeknuder, hernier, muskuloskeletale strukturer, bløddelsstrukturer, rygsøjle, oftalmiske strukturer samt omkringliggende anatomiske strukturer for at fastslå tilstedeværelse eller fravær af patologi. Systemet kan anvendes til ultralydsstyring i forbindelse med biopsi- og drænageprocedurer, placering af kateterledere/katetre i blodkar og perifere nerveblokader.

Systemopsætning

Tilslutningsmuligheder (SonoSite SII)

Alle referencer til PDAS skal ændres til SiteLink i brugervejledningen til SonoSite SII-systemet. Revisionen vil blive foretaget i næste opdatering.

Tilslutningsopsætning (SonoSite Edge II)

Følgende reference er blevet opdateret i brugervejledningen til SonoSite Edge II-systemet. Revisionen vil blive foretaget i næste opdatering.

Sådan aktiveres trådløs forbindelse

- ❖ Se *Opsætning af netværksforbindelse*.

Indstillinger for netværksstatus

Hvis skærbilledet Network Status (Netværksstatus) viser en meddelelse om fejl ved en trådløs enhed, er netværksadgangskoden muligvis udløbet. Sørg for at have en opdateret netværksadgangskode, inden der tilsluttes en trådløs enhed.

Billeddannelse

C8x-transducere har kapacitet til nålestyr på både SonoSite Edge II- og SonoSite SII-systemerne.

Tilgængelige billeddannelsestyper og undersøgelser efter transducer (SonoSite SII)

Følgende fodnoter manglende i **Tabel 4-5. Tilgængelige billeddannelsestyper og undersøgelser efter transducer** i brugervejledningen til SonoSite SII-systemet. Revisionen foretages i næste opdatering.

^aForkortelser for undersøgelsestyper er som følger: Abd = Abdomen, Art = Arteriel, Bre = Bryst, Crd = Hjerte, Gyn = Gynækologi, Msk = Muskuloskeletal, Neo = Neonatal, Nrv = Nerve, OB = Obstetriske, Oph = Oftalmisk, Pro = Prostata, SmP = Mindre organer, Spn = Rygsøjle, Sup = Superficiel, Ven = Venøs.

^bOptimeringsindstillingerne for 2D er Res, Gen og Pen.

^cOptimeringsindstillingerne for CPD og farve er lav, middel og høj (flowsensitivitet) med en række PRF-indstillinger for farve, afhængigt af den valgte indstilling.

Målinger og beregninger (SonoSite SII)

Generelle beregninger

Volumenberegning

ADVARSLER


- ▶ Undgå forkerte beregninger ved at kontrollere, at patientoplysninger og indstillinger for dato og klokkeslæt er nøjagtige.
- ▶ Undgå fejlagnostik eller patientskade ved at starte et nyt patientskema, før der startes en ny patientundersøgelse og udføres beregninger. Når der startes et nyt patientskema, ryddes den forrige patients data. Den forrige patients data kombineres med den aktuelle patient, hvis skemaet ikke først ryddes.

Volumenberegningen involverer tre 2D-afstandsmålinger: D1, D2 og D3. Når alle målingerne er gemt, vises resultatet på skærmen og i patientrapporten.

Volumenberegningen er tilgængelige ved følgende undersøgelsestyper: Abdomen, Arteriel, Bryst, Gynækologisk, Muskuloskeletal, Nerve, Mindre organer, Venøs og Superficiel.

Sådan beregnes volumen

Udfør følgende for hvert billede, der skal måles:

- 1 Tryk på **Calcs** (Beregninger) på et frosset 2D-billede.
- 2 Gør følgende for hver måling, der skal udføres:
 - a Vælg målingsnavnet under **Volume** (Volumen) i beregningsmenuen.
Hvis **Volume** (Volumen) ikke er tilgængelig i en Gyn-undersøgelse, skal man vælge **Gyn** og derefter vælge **Volume** (Volumen).
 - b Placer målemarkørerne vha. berøringspladen eller -skærmen
 - c Tryk på **Save Calc** (Gem beregning) for at gemme beregningen.
Der vises en markering ud for den gemte måling.
- 3 Gem et billede af den afsluttede beregning ved at trykke på .
- 4 Tryk på **Back** (Tilbage) for at afslutte beregningen.

Målereferencer (SonoSite SII)

Følgende information var ikke inkluderet i brugervejledningen til SonoSite SII-systemet. Revisionen vil blive foretaget i næste opdatering.

Målenøjagtighed

Table 1: Nøjagtighed og område for M Mode- målinger og -beregninger

Nøjagtighed og område for M Mode-målinger og -beregninger	Systemtolerance	Nøjagtighed efter	Testmetode	Område
Afstand	< +/- 2 % plus 1 % af fuld skala ^a	Indsamling	Model ^b	0 - 26 cm
Tid	< +/- 2 % plus 1 % af fuld skala ^c	Indsamling	Model ^d	0,01 - 10 sek.
Hjertefrekvens	< +/- 2 % plus (fuld skala ^c * hjertefrekvens/100) %	Indsamling	Model ^d	5 - 923 slag pr. minut

^aMed fuld skala for afstand menes maksimal billeddybde.

^bDer blev anvendt en model RMI 413a med dæmpning på 0,7 dB/cm MHz.

^cMed fuld skala for tid menes den samlede tid, der vises på rullegrafikbilledet.

^dDer blev anvendt særligt FUJIFILM SonoSite-testudstyr.

Målingspublikationer og terminologi

Generelle referencer

Hoftevinkel/d:D-forhold

Morin, C., Harcke, H., MacEwen, G. "The Infant Hip: Real-Time US Assessment of Acetabular Development." *Radiology* 177: p.673 - 677, December 1985.

Procentvis arealreduktion

Zwiebel W.J., J.A. Zagzebski, A.B. Crummy, et al. "Correlation of peak Doppler frequency with lumen narrowing in carotid stenosis." *Stroke*, 3: (1982), p.386 - 391.

$$\% \text{ arealreduktion} = [1 - A2 (\text{cm}^2)/A1 (\text{cm}^2)] * 100$$

hvor: A1 = oprindeligt areal af karret i kvadratcentimeter

A2 = reduceret areal af karret i kvadratcentimeter

Procentvis diameterreduktion

Handa, Nobuo et al., "Echo-Doppler Velocimeter in the Diagnosis of Hypertensive Patients: The Renal Artery Doppler Technique," *Ultrasound in Medicine and Biology*, 12:12 (1986), p.945-952.

$$\% \text{ diameterreduktion} = [1 - D2(\text{cm})/D1(\text{cm})] * 100$$

hvor: D1 = oprindelig diameter af karret i centimeter

D2 = reduceret diameter af karret i centimeter

Rengøring og desinfektion

Følgende websted blev rettet i brugervejledningen til SonoSite Edge II og SonoSite SII. Revisionen vil blive foretaget i næste opdatering.

www.sonosite.com/products/transducers

Følgende fodnote blev opdateret i rengørings- og desinfektionstabellerne.

Se rengørings- og desinfektionsværktøjer, der findes på www.sonosite.com/support/cleaners-disinfectants, for at få en mere komplet liste over godkendte rengørings- og desinfektionsmidler.

Sikkerhed

Klinisk sikkerhed

Følgende advarsel er blevet opdateret i brugervejledningen til SonoSite Edge II og SonoSite SII. Revisionen vil blive foretaget i næste opdatering.

ADVARSEL

FUJIFILM SonoSite fraråder brugen af højfrekvent (HF) elektromedicinsk udstyr i nærheden af deres systemer. FUJIFILM SonoSite-udstyr er ikke blevet valideret til brug sammen med elektromedicinske HF-enheder eller procedurer. Brug af elektromedicinsk HF-udstyr i nærheden af systemer kan føre til unormal systemadfærd eller systemnedlukning.

For at forebygge brandfare må transduceren ikke anvendes sammen med kirurgisk HF-udstyr. En sådan fare kan opstå i tilfælde af en defekt i neutralelektrodeforbindelsen til det kirurgiske HF-udstyr.

Elektromagnetisk kompatibilitet

Ultralydssystemet er blevet testet, og det er konstateret, at det overholder grænserne for elektromagnetisk kompatibilitet for medicinske enheder i IEC 60601-1-2:2007 og IEC 60601-1-2:2014. Ultralydssystemet er egnet til anvendelse i et professionelt sundhedsplejemiljø. Aktivt hørfrekvent kirurgisk udstyr forårsager kraftige elektromekaniske forstyrrelser, som kan skabe interferens med ultralydssystemets drift.

Ultralydssystemet må ikke anvendes i et RF-afskærmet rum med magnetisk resonans-billeddannelse, da det kan forårsage kraftige elektromagnetiske forstyrrelser, som kan skabe interferens med ultralydssystemets drift. Disse grænser er sat for at yde rimelig beskyttelse mod skadelig interferens ved en almindelig medicinsk installation.

Forsigtig

- ▶ Medicinsk-elektrisk udstyr kræver særlige forbehold i forbindelse med EMC og skal installeres og behandles i henhold til disse anvisninger. Bærbart RF-kommunikationsudstyr (inklusive eksterne enheder, f.eks. antennekabler og eksterne antenner) bør ikke bruges tættere end 30 cm på nogen del af ultralydssystemet, herunder kabler, der er specificeret af FUJIFILM SonoSite. Bærbart og mobilt RF-kommunikationsudstyr kan påvirke ultralydssystemet. Elektromagnetisk interferens (EMI) fra andet udstyr eller interferenskilder kan forårsage forstyrrelse af ultralydssystemets ydeevne. Tegn på forstyrrelser kan være billedforringelse eller -forvrængning, uregelmæssige aflæsninger, at udstyret holder op med at fungere eller fungerer forkert. Sker dette, skal brugeren undersøge området for at finde kilden til forstyrrelsen og gøre følgende for at fjerne kilden/kilderne.
 - ▶ Sluk og tænd for udstyr i nærområdet for at isolere forstyrrende udstyr.
 - ▶ Flyt eller vend det forstyrrende udstyr.
 - ▶ Forøg afstanden mellem det forstyrrende udstyr og ultralydssystemet.
 - ▶ Hold styr på brugen af de frekvenser, der ligger tæt på ultralydssystemets frekvenser.
 - ▶ Fjern enheder, der forventes at give en elektromagnetisk interferens.
 - ▶ Sænk styrken på interne kilder inden for kontrolområdet (såsom personsøgere).
 - ▶ Mærk enheder, der forventes at give EMI.
 - ▶ Oplær det kliniske personale i at genkende EMI-relaterede problemer.
 - ▶ Fjern eller nedsæt EMI med tekniske løsninger (såsom beskyttelsesskjold).
 - ▶ Begræns brugen af personlige kommunikationsenheder (mobiltelefoner, computere) i områder med enheder, der er modtagelige for EMI.
 - ▶ Del relevante EMI-oplysninger med andre, især ved evaluering af nyt udstyr, der kan skabe EMI.
 - ▶ Køb medicinske enheder, der overholder IEC 60601-1-2 EMC-standarder.
- ▶ Undgå at stable andet udstyr oven på ultralydssystemet eller at anvende andet udstyr tæt på eller ved siden af ultralydssystemet. Hvis det er nødvendigt at stille andet udstyr op i nærheden, skal systemet observeres for at sikre normal anvendelse.

Bemærk

SonoSite Edge II- og SII-ultralydssystemernes emissionskarakteristika gør dem egnet til anvendelse inden for sundhedsindustrien og hospitaler (CISPR 11, klasse A). Hvis udstyret anvendes i beboelsesmiljøer (hvor CISPR 11, klasse B normalt er påkrævet), vil ultralydssystemet måske ikke yde tilstrækkelig beskyttelse mod radiofrekvent kommunikationsudstyr. Det kan være nødvendigt at tage forholdsregler, f.eks. at omplacere udstyret eller vende det i en anden retning.

Trådløs transmission

SonoSite Edge II- og SII-ultralydssystemet implementerer to trådløse løsninger.

- ▶ Trådløs USB-dongle (Panda) er en lille trådløs adapter, som stikkes i USB-porten på:
 - ▶ Højre side af Edge II-ultralydssystemet.
 - ▶ Øverst bag på SII-ultralydssystemet.
- ▶ Trådløst sikkerhedsmodul (Laird) er et modul, som sættes på:
 - ▶ Toppen af Edge II-ultralydssystemet og derefter tilsluttes systemet med en USB-ledning med vinklet stik
 - ▶ Transducerholderarmen på SII-ultralydssystemet og derefter tilsluttes systemet med en 30-centimeters USB-ledning

Se nedenfor for at få transmissionsoplysninger for hver enkelt.

Trådløs USB-dongle (Panda)

Den trådløse USB-dongle benytter Industrial-, Scientific- og Medical (ISM)-frekvensbåndene fra 2,412 til 2,4835 GHz, afhængigt af bestemmelserne i dit land. Donglen implementerer følgende transmissionsmetoder:

- ▶ IEEE 802.11b med DSSS (Direct Sequence Spread Spectrum) ved 19 dB/m: Maks. frekvens 54 Mbps, Maks. gennembløb: 27 Mbps
- ▶ IEEE 802.11g med OFDM (Orthogonal Frequency Division Multiplexing) ved 16 dB/m: Maks. frekvens 54 Mbps, Maks. gennembløb: 27 Mbps
- ▶ IEEE 802.11n med OFDM (Orthogonal Frequency Division Multiplexing) ved 15 dB/m:
 - ▶ 1T1R. Maks. frekvens: 150 Mbps, maks. gennembløb: 90 Mbps
 - ▶ 1T2R. Maks. frekvens: 300 Mbps, maks. gennembløb: Rx 160 Mbps
 - ▶ 2T2R. Maks. frekvens: 300 Mbps, maks. gennembløb: Rx 260 Mbps

Trådløst sikkerhedsmodul (Laird)

Det trådløse sikkerhedsmodul benytter Industrial-, Scientific- og Medical (ISM)-frekvensbåndene fra 1,400 til 2,4835 GHz og fra 5,100 til 5,800 GHz. Modulet implementerer fire forskellige transmissionsmetoder:

- ▶ IEEE 802.11a med OFDM (Orthogonal Frequency Division Multiplexing) ved 11 dB/m \pm 2 dB/m ved 54 Mb/s
- ▶ IEEE 802.11b med DSSS (Direct Sequence Spread Spectrum) ved 16 dB/m \pm 2,0 dB/m ved 11 Mb/s
- ▶ IEEE 802.11g med (OFDM) (Orthogonal Frequency Division Multiplexing) ved 13 dB/m \pm 2,0 dB/m ved 54 Mb/s
- ▶ IEEE 802.11n med OFDM (Orthogonal Frequency Division Multiplexing) på 12 dB/m \pm 2,0 dB/m (802.11gn) ved MCS7

Kompatibelt tilbehør og eksternt udstyr (SonoSite Edge II)

FUJIFILM SonoSite har testet SonoSite Edge II-ultralydssystemet med følgende tilbehørsdele og eksternt udstyr og har påvist overholdelse af kravene i IEC 60601-1-2:2007 og IEC 60601-1-2:2014.

Det er muligt at anvende disse FUJIFILM SonoSite tilbehørsdele og tredjeparts eksternt udstyr med SonoSite Edge II.

ADVARSLER

- ▶ Brug af tilbehøret med andre medicinske systemer end Edge-ultralydssystemet kan medføre forhøjede emissioner eller nedsat immunitet for det medicinske system.
- ▶ Brug af andet tilbehør end det specificerede kan medføre forhøjede emissioner eller nedsat immunitet for ultralydssystemet.
- ▶ Ultralydssystemet må ikke bruges i boligområder eller tilsluttes det offentlige net.

Tabel 2: Tilbehørsdele og eksternt udstyr, som er kompatible med Edge II-ultralydssystemet

Beskrivelse	Maksimal kabellængde
C8x-transducer	1,8 m
C11x-transducer	1,8 m
C35x-transducer	1,7 m
rC60xi-transducer standard/armeret	1,7 m
HFL38xi-transducer standard/armeret	1,7 m
HFL50x-transducer	1,7 m

Tabel 2: Tilbehørsdele og eksternt udstyr, som er kompatible med Edge II-ultralydssystemet

Beskrivelse	Maksimal kabellængde
HSL25x-transducer	2,3 m
ICTx-transducer	1,7 m
L25x-transducer standard/armeret	2,3 m
L38xi-transducer standard/armeret	1,7 m
L52x-transducer ^a	2,4 m
P10x-transducer	1,8 m
rP19x-transducer standard/armeret	1,8 m
TEExi-transducer	2,2 m
Stregkodescanner	1,5 m
Batteri til PowerPack	–
Batteripakke	–
Batteri-PowerPack	–
Sort/hvid-printer	–
Netledning til sort/hvid-printer	1 m
Farveprinter	–
Netledning til farveprinter	1 m
Videokabel til farveprinter	1,8 m
EKG-ledninger	0,6 m
EKG-modul	1,8 m
EKG-slavekabel	2,4 m
SonoSite Edge II-dock	–
SonoSite Edge II-stativ	–
Fodkontakt	3 m
Lille mus	1,8 m
Netledning (system)	3 m

Tabel 2: Tilbehørsdele og eksternt udstyr, som er kompatible med Edge II-ultralydssystemet

Beskrivelse	Maksimal kabellængde
Strømforsyning med jævnstrømskabel	2 m
Vekselstrømskabel til strømforsyning	1 m
PowerPark	–
Triple Transducer-tilslutning	–
Trådløs USB-adapter	–

For transducere måles den maksimale kabellængde mellem aflastningerne. Den angivne længde omfatter ikke kabellængder på følgende lokaliteter: under aflastningerne, inde i transducers indkapsling eller inde i transducerstikket.

^aL52x-transducere er udelukkende til veterinær brug.

Kompatibelt tilbehør og eksternt udstyr (SonoSite SII)

FUJIFILM SonoSite har testet SonoSite SII-ultralydssystemet med følgende tilbehørsdele og eksternt udstyr og har påvist overholdelse af kravene i IEC 60601-1-2:2007 og IEC 60601-1-2:2014.

Det er muligt at anvende disse FUJIFILM SonoSite-tilbehørsdele og tredjeparts eksternt udstyr med SonoSite SII-ultralydssystemet.

ADVARSLER

- ▶ Brug af tilbehøret med andre medicinske systemer end SonoSite SII-ultralydssystemet kan medføre forhøjede emissioner eller nedsat immunitet for det medicinske system.
- ▶ Brug af andet tilbehør end det specificerede kan medføre forhøjede emissioner eller nedsat immunitet for ultralydssystemet.

Tabel 3: Tilbehørsdele og eksternt udstyr, som er kompatible med SonoSite SII-ultralydssystemet

Beskrivelse	Maksimal kabellængde
C8x-transducer	1,8 m
C11x-transducer	1,8 m
C35x-transducer	1,7 m
rC60xi-transducer standard/armeret	1,7 m

Tabel 3: Tilbehørsdele og eksternt udstyr, som er kompatible med SonoSite SII-ultralydssystemet (fortsat)

Beskrivelse	Maksimal kabellængde
HFL38xi-transducer standard/armeret	1,7 m
HFL50x-transducer	1,7 m
HSL25x-transducer	2,3 m
ICTx-transducer	1,7 m
L25x-transducer standard/armeret	2,3 m
L38xi-transducer standard/armeret	1,7 m
L52x-transducer	2,4 m
P10x-transducer	1,8 m
rP19x-transducer standard/armeret	1,8 m
Stregkodescanner	1,5 m
Batteri til PowerPack	–
Batteripakke	–
Batteri-PowerPack	–
Sort/hvid-printer	–
Netledning til sort/hvid-printer	1 m
Printerkabel til sort/hvid-printer	1,8 m
Videokabel til sort/hvid-printer	1,9 m
Fodkontakt	3 m
Fodkontakt, USB-forlænger-kabel	2 m
SonoSite SII-stativ	–
Netledning (system)	3 m
Strømforsyning med jævnstrømskabel	2 m
Vekselstrømskabel til strømforsyning	1 m
PowerPark	–
Trådløs USB-adapter	–

Tabel 3: Tilbehørsdele og eksternt udstyr, som er kompatible med SonoSite SII-ultralydssystemet (fortsat)

Beskrivelse	Maksimal kabellængde
USB-stik	–
For transducere måles den maksimale kabellængde mellem aflastningerne. Den angivne længde omfatter ikke kabellængder på følgende lokaliteter: under aflastningerne, inde i transducers indkapsling eller inde i transducerstikket.	

Producentens erklæring

Tabellerne i dette afsnit dokumenterer det tilsigtede brugermiljø og EMC-overensstemmelsesniveauerne for systemet. For at opnå maksimal ydeevne skal det kontrolleres, at systemet anvendes i de miljøer, der er beskrevet i dette skema.

Systemet er egnet til anvendelse i det elektromagnetiske miljø, der er specificeret herunder.

Tabel 4: Producentens erklæring – Elektromagnetiske emissioner iht. IEC 60601-1-2:2007 og IEC 60601-1-2:2014

Emissionstest	Overensstemmelse	Elektromagnetisk miljø
RF-emissioner CISPR 11	Gruppe 1	Edge II- og SII-ultralydssystemet bruger kun RF-energi til deres interne funktioner. Derfor er deres RF-emissioner meget lave, og det er usandsynligt, at de vil forårsage forstyrrelser i elektronisk udstyr i nærheden.
RF-emissioner CISPR 11	Klasse A	Edge II- og SII-ultralydssystemet er egnet til anvendelse i alle bygninger, undtagen i boligområder eller bygninger, der er direkte forbundet til det offentlige lavspændingsnet, der leverer strøm til boligområder.
Harmoniske emissioner IEC 61000-3-2	Klasse A	
Spændingsudsving/flicker-emissioner IEC 61000-3-3	Overholder	

Systemet er egnet til anvendelse i det elektromagnetiske miljø, der er specificeret herunder.


Tabel 5: Producentens erklæring – Elektromagnetisk immunitet iht. IEC 60601-1-2:2007

Immunitetstest	IEC 60601-testniveau	Overholdelsesniveau	Elektromagnetisk miljø
Elektrostatisk udladning (ESD) IEC 61000-4-2	± 2,0 KV, ± 4,0 KV, ± 6,0 KV kontakt ± 2,0 KV, ± 4,0 KV, ± 8,0 KV luft	± 2,0 KV, ± 4,0 KV, ± 6,0 KV kontakt ± 2,0 KV, ± 4,0 KV, ± 8,0 KV luft	Gulvene skal være af træ, beton eller med keramiske fliser. Hvis gulvene er dækket af syntetisk materiale, skal den relative fugtighed være mindst 30 %.
Elektrisk hurtigt transient stød IEC 61000-4-4	± 2 KV på hovedledninger ± 1 KV på signallinjer	± 2 KV på hovedledninger ± 1 KV på signallinjer	Netstrømmens kvalitet skal være som i et typisk erhvervs- eller hospitalsmiljø.
Spændingsbølge IEC 61000-4-5	± 1 KV ledning(er) til ledning(er) ± 2 KV ledning(er) til jord	± 1 KV ledning(er) til ledning(er) ± 2 KV ledning(er) til jord	Netstrømmens kvalitet skal være som i et typisk erhvervs- eller hospitalsmiljø.
Spændingsfald, korte afbrydelser og spændingsudsving på strømforsyningsledninger IEC 61000-4-11	< 5 % U_T (> 95 % fald i U_T) i 0,5 cyklus 40 % U_T (60 % fald i U_T) i 5 cyklusser 70 % U_T (30 % fald i U_T) i 25 cyklusser < 5 % U_T (> 95 % fald i U_T) i 5 sek.	< 5 % U_T (> 95 % fald i U_T) i 0,5 cyklus 40 % U_T (60 % fald i U_T) i 5 cyklusser 70 % U_T (30 % fald i U_T) i 25 cyklusser < 5 % U_T (> 95 % fald i U_T) i 5 sek.	Netstrømmens kvalitet skal være som i et typisk erhvervs- eller hospitalsmiljø. Hvis brugeren af FUJIFILM SonoSite-ultralydssystemet har behov for fortsat drift under netstrømsafbrydelser, anbefales det, at FUJIFILM SonoSite-ultralydssystemet strømforsynes fra en UPS eller et batteri.

Tabel 5: Producentens erklæring – Elektromagnetisk immunitet iht. IEC 60601-1-2:2007

Immunitetstest	IEC 60601-testniveau	Overholdelsesniveau	Elektromagnetisk miljø
Magnetisk strømfrekvensfelt IEC 61000-4-8	3 A/m	3 A/m	Hvis der forekommer billedforvrængning, er det muligvis nødvendigt at placere FUJIFILM SonoSite-ultralydssystemet længere væk fra kilderne til magnetiske strømfrekvensfelter eller opstille et magnetisk beskyttelsesskjold. Det magnetiske strømfrekvensfelt skal måles i den forventede installationsposition for at sikre, at det er tilstrækkeligt lavt.
Ledet RF IEC 61000-4-6	3 Vrms 150 kHz til 80 MHz	3 Vrms	Bærbart og mobilt RF-kommunikationsudstyr må ikke bruges tættere på nogen af FUJIFILM SonoSite-ultralydssystemets dele, herunder kabler, end den anbefalede separationsafstand, som beregnes ud fra den ligning, der gælder for senderens frekvens. Anbefalet separationsafstand $d = 1,2 \sqrt{P}$


Table 5: Producer's declaration – Electromagnetic immunity according to IEC 60601-1-2:2007

Immunitetstest	IEC 60601- testniveau	Overholdelses- niveau	Elektromagnetisk miljø
Udstrålet RF IEC 61000-4-3	3 V/m 80 MHz til 2,5 GHz	3 V/m 80 MHz til 2,5 GHz	<p> $d = 1,2 \sqrt{P}$ 80 MHz til 800 MHz $d = 2,3 \sqrt{P}$ 800 MHz til 2,5 GHz Hvor P er den maksimale udgangseffekt for senderen i watt (10) i henhold til senderens producent, og d er den anbefalede separationsafstand i meter (m). </p> <p> Feltstyrker fra faste RF-sendere, som fastsat ved en elektromagnetisk stedundersøgelse^a, skal være mindre end overensstemmelsesniveauet i hvert frekvensområde^b. Interferens kan opstå i nærområdet for udstyr, der er mærket med følgende symbol: </p> <div style="text-align: center;">  </div> <p> (IEC 60417 nr. 417-IEC-5140: "Kilde til ikke-ioniserende stråling") </p>
Bemærk	<p> U_T er vekselstrømsnetspændingen inden anvendelsen af testniveauet. Ved 80 MHz og 800 MHz anvendes det højeste frekvensområde. Disse retningslinjer gælder muligvis ikke i alle situationer. Elektromagnetisk spredning påvirkes af absorption og refleksion fra bygninger, genstande og mennesker. </p>		
<p> a. Feltstyrker fra faste sendere, såsom basestationer til radiotelefoner (mobile/trådløse) og landmobile radioer, amatørradio, AM- og FM-radioudsendelse og TV-udsendelse, kan ikke teoretisk forudsiges med nøjagtighed. Til vurdering af det elektromagnetiske miljø for faste RF-sendere bør du overveje en elektromagnetisk stedundersøgelse. Hvis den målte feltstyrke i området, hvor FUJIFILM SonoSite-ultralydssystemet skal anvendes, overstiger det relevante RF-overensstemmelsesniveau, skal FUJIFILM SonoSite-ultralydssystemet observeres for at sikre normal brug. Hvis der observeres unormal ydeevne, kan yderligere forholdsregler være nødvendige, såsom at vende FUJIFILM SonoSite-ultralydssystemet eller anbringe det et andet sted. </p> <p> b. Over frekvensområdet 150 kHz til 80 MHz skal feltstyrken være mindre end 3 V/m. </p>			

Tabel 6: Producentens erklæring – Elektromagnetisk immunitet iht. IEC 60601-1-2:2014

Immunitetstest	IEC 60601-testniveau	Overholdelsesniveau	Elektromagnetisk miljø
Elektrostatisk udladning (ESD) IEC 61000-4-2	± 8,0 KV, kontakt ± 2,0 KV, ± 4,0 KV, ± 8,0 KV luft, ± 15 KV	± 8,0 KV, ± 4,0 KV, ± 8,0 KV luft, ± 15 KV	Gulvene skal være af træ, beton eller med keramiske fliser. Hvis gulvene er dækket af syntetisk materiale, skal den relative fugtighed være mindst 30 %.
Elektrisk hurtigt transient stød IEC 61000-4-4	± 2 KV på hovedledninger ± 1 KV på signallinjer	± 2 KV på hovedledninger ± 1 KV på signallinjer	Netstrømmens kvalitet skal være som i et typisk erhvervs- eller hospitalsmiljø.
Spændingsbølge IEC 61000-4-5	± 1 KV ledning(er) til ledning(er) ± 2 KV ledning(er) til jord	± 1 KV ledning(er) til ledning(er) ± 2 KV ledning(er) til jord	Netstrømmens kvalitet skal være som i et typisk erhvervs- eller hospitalsmiljø.
Spændingsfald, korte afbrydelser og spændingsudsving på strømforsyningsledninger IEC 61000-4-11	0 % U_T i 0,5 cyklus 0 % U_T i 5 cyklusser 70 % U_T (30 % fald i U_T) i 500 msek. < 5 % U_T (> 95 % fald i U_T) i 5 sek.	0 % U_T i 0,5 cyklus 0 % U_T i 5 cyklusser 70 % U_T (30 % fald i U_T) i 500 msek. < 5 % U_T (> 95 % fald i U_T) i 5 sek.	Netstrømmens kvalitet skal være som i et typisk erhvervs- eller hospitalsmiljø. Hvis brugeren af FUJIFILM SonoSite-ultralydssystemet har behov for fortsat drift under netstrømsafbrydelser, anbefales det, at FUJIFILM SonoSite-ultralydssystemet strømforsynes fra en UPS eller et batteri.
Magnetisk strømfrekvensfelt IEC 61000-4-8	30 A/m	30 A/m	Hvis der forekommer billedforvrængning, er det muligvis nødvendigt at placere FUJIFILM SonoSite-ultralydssystemet længere væk fra kilderne til magnetiske strømfrekvensfelter eller opstille et magnetisk beskyttelsesskjold. Det magnetiske strømfrekvensfelt skal måles i den forventede installationsposition for at sikre, at det er tilstrækkeligt lavt.

Tabel 6: Producentens erklæring – Elektromagnetisk immunitet iht. IEC 60601-1-2:2014

Immunitetstest	IEC 60601-testniveau	Overholdelsesniveau	Elektromagnetisk miljø
Ledet RF IEC 61000-4-6	3 Vrms 150 kHz til 80 MHz 6 Vrms i ISM-bånd	3 Vrms 6 Vrms i ISM-bånd	Bærbart og mobilt RF-kommunikationsudstyr må ikke bruges tættere på nogen af FUJIFILM SonoSite-ultralydssystemets dele, herunder kabler, end den anbefalede separationsafstand, som beregnes ud fra den ligning, der gælder for senderens frekvens. Anbefalet separationsafstand $d = 1,2 \sqrt{P}$
Udstrålet RF IEC 61000-4-3	3 V/m 80 MHz til 2,7 GHz	3 V/m 80 MHz til 2,7 GHz	$d = 1,2 \sqrt{P}$ 80 MHz til 800 MHz $d = 2,3 \sqrt{P}$ 800 MHz til 2,5 GHz Hvor P er den maksimale udgangseffekt for senderen i watt (10) i henhold til senderens producent, og d er den anbefalede separationsafstand i meter (m). Feltstyrker fra faste RF-sendere, som fastsat ved en elektromagnetisk stedundersøgelse ^a , skal være mindre end overensstemmelsesniveauet i hvert frekvensområde ^b . Interferens kan opstå i nærområdet for udstyr, der er mærket med følgende symbol:  (IEC 60417 nr. 417-IEC-5140: "Kilde til ikke-ioniserende stråling")
Proksimitetsfelter fra trådløst kommunikationsudstyr	Iht. 60601-1-2:2014 Tabel 9	Iht. 60601-1-2:2014 Tabel 9	

Tabel 6: Producentens erklæring – Elektromagnetisk immunitet iht. IEC 60601-1-2:2014

Immunitetstest	IEC 60601-testniveau	Overholdelsesniveau	Elektromagnetisk miljø
Bemærk	<p>U_T er vekselstrømsnetsspændingen inden anvendelsen af testniveauet. Ved 80 MHz og 800 MHz anvendes det højeste frekvensområde. Disse retningslinjer gælder muligvis ikke i alle situationer. Elektromagnetisk spredning påvirkes af absorption og refleksion fra bygninger, genstande og mennesker.</p> <p>a. Feltstyrker fra faste sendere, såsom basestationer til radiotelefoner (mobile/trådløse) og landmobile radioer, amatørradio, AM- og FM-radioudsendelse og TV-udsendelse, kan ikke teoretisk forudsiges med nøjagtighed. Til vurdering af det elektromagnetiske miljø for faste RF-sendere bør du overveje en elektromagnetisk stedundersøgelse. Hvis den målte feltstyrke i området, hvor FUJIFILM SonoSite-ultralydssystemet skal anvendes, overstiger det relevante RF-overensstemmelsesniveau, skal FUJIFILM SonoSite-ultralydssystemet observeres for at sikre normal brug. Hvis der observeres unormal ydeevne, kan yderligere forholdsregler være nødvendige, såsom at vende FUJIFILM SonoSite-ultralydssystemet eller anbringe det et andet sted.</p> <p>b. Over frekvensområdet 150 kHz til 80 MHz skal feltstyrken være mindre end 3 V/m.</p>		

FCC-forsigtighedsregel: Dette udstyr er testet og anerkendt til at overholde de grænser for digitale enheder i Klasse A-standard, der er angivet under afsnit 15 i retningslinjerne fra FCC. Disse grænser er sat for at beskytte mod skadelig interferens, der kan opstå, når udstyret anvendes i et erhvervmiljø. Dette udstyr genererer, bruger og kan udstråle radiofrekvensenergi, og kan forårsage skadelig interferens under radiokommunikation, hvis det ikke installeres og bruges i overensstemmelse med instruktionerne. Anvendelse af dette udstyr i beboelsesområder vil sandsynligvis forårsage skadelig interferens. I så fald skal brugeren afhjælpe dette på egen regning.

Kompatibelt tilbehør og eksternt udstyr





Følgende advarsel blev føjet til brugervejledningen til SonoSite Edge II og SonoSite SII. Revisionen vil blive foretaget i næste opdatering.

ADVARSEL

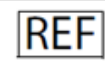




Hvis der er sluttet eksternt udstyr til systemet, skal det sikres, at systemet og de eksternt udstyr er tilsluttet samme vekselstrømskredsløb.

Mærkningssymboler

Table 7: Mærkningssymboler for standarder

Symbol	Titel	Standardudviklingsorganisation	Referencenummer	Beskrivelse
	Producent	ISO 15223-1:2016 Medicinske anordninger – Symboler som skal anvendes på mærkater på medicinske anordninger, markering og oplysninger som skal angives – Del 1: Generelle krav	5.1.1	Angiver producenten af den medicinske anordning iht. EU-direktiverne 90/385/EØS, 93/42/EØS og 98/79/EF
	Ikke-ioniserende, elektromagnetisk stråling	IEC 60601-1-2:2007 Elektromedicinsk udstyr – Del 1-2: Generelle krav til grundlæggende sikkerhed og væsentlige funktionsegenskaber – Tillægsstandard: elektromagnetisk kompatibilitet	5.1.1	Angiver generelt forhøjede, potentielt farlige niveauer af ikke-ioniserende stråling eller udstyr eller systemer, f.eks. i det medicinske elektriske område, som omfatter RF-sendere, eller som tiltænkt anvender RF- elektromagnetisk energi til diagnosticering eller behandling
	Autoriseret repræsentant i EU	ISO 15223-1 Medicinske anordninger – Symboler som skal anvendes på mærkater på medicinske anordninger, markering og oplysninger som skal angives.	5.1.2	Angiver den autoriserede repræsentant i Det Europæiske Fællesskab
	Serienr.	ISO 15223-1:2016 Medicinske anordninger – Symboler som skal anvendes på mærkater på medicinske anordninger, markering og oplysninger som skal angives – Del 1: Generelle krav	5.1.7	Angiver producentens serienummer, så et specifikt medicinsk apparat kan identificeres

Tabel 7: Mærkningssymboler for standarder (fortsat)

Symbol	Titel	Standardudviklingsorganisation	Referencenummer	Beskrivelse
	Katalognummer	ISO 15223-1:2016 Medicinske anordninger – Symboler som skal anvendes på mærkater på medicinske anordninger, markering og oplysninger som skal angives – Del 1: Generelle krav	5.1.6	Angiver producentens katalognummer, så det medicinske apparat kan identificeres
	Forsigtig	ISO 15223-1:2016 Medicinske anordninger – Symboler som skal anvendes på mærkater på medicinske anordninger, markering og oplysninger som skal angives – Del 1: Generelle krav	5.4.4	Angiver, at brugeren skal se brugsvejledningen for vigtige forsigtigheds- oplysninger såsom advarsler og forholdsregler, som af forskellige grunde ikke kan vises på selve det medicinske apparat
	Skrøbelig, skal håndteres med forsigtighed	ISO 15223-1:2016 Medicinske anordninger – Symboler som skal anvendes på mærkater på medicinske anordninger, markering og oplysninger som skal angives – Del 1: Generelle krav	5.3.1	Angiver, at det medicinske apparat kan blive ødelagt eller beskadiget, hvis det ikke håndteres forsigtigt
	Skal holdes tør	ISO 15223-1:2016 Medicinske anordninger – Symboler som skal anvendes på mærkater på medicinske anordninger, markering og oplysninger som skal angives – Del 1: Generelle krav	5.3.4	Angiver, at det medicinske apparat skal beskyttes mod fugt
	Temperaturbe- grænsning	ISO 15223-1:2016 Medicinske anordninger – Symboler som skal anvendes på mærkater på medicinske anordninger, markering og oplysninger som skal angives – Del 1: Generelle krav	5.3.7	Angiver de temperatur- begrænsninger, som det medicinske apparat kan udsættes for med sikkerhed

Tabel 7: Mærkningssymboler for standarder (fortsat)

Symbol	Titel	Standardudviklingsorganisation	Referencenummer	Beskrivelse
	Atmosfæriske trykbegrænsninger	ISO 15223-1:2016 Medicinske anordninger – Symboler som skal anvendes på mærkater på medicinske anordninger, markering og oplysninger som skal angives – Del 1: Generelle krav	5.3.9	Angiver det atmosfæriske trykomsråde, som det medicinske apparat kan udsættes for med sikkerhed
	Fugtighedsbegrænsning	ISO 15223-1:2016 Medicinske anordninger – Symboler som skal anvendes på mærkater på medicinske anordninger, markering og oplysninger som skal angives – Del 1: Generelle krav	5.3.8	Angiver det fugtighedsområde, som det medicinske apparat kan udsættes for med sikkerhed
IPX7	Grad af beskyttelse mod indtrængen, som kabinettet giver	IEC 60601-1 Elektromedicinsk udstyr – Del 1: Generelle krav til grundlæggende sikkerhed og væsentlige funktionsegenskaber	D.3	Beskyttet mod virkninger af midlertidig nedsækning i væske
	Se brugsanvisningen	IEC 60601-1 Elektromedicinsk udstyr – Del 1: Generelle krav til grundlæggende sikkerhed og væsentlige funktionsegenskaber	D.2-10	Følg brugsanvisningen (anvendes i overensstemmelse med IEC 60601-1)
	Se brugsanvisningen	ISO 15223-1:2016 Medicinske anordninger – Symboler som skal anvendes på mærkater på medicinske anordninger, markering og oplysninger som skal angives – Del 1: Generelle krav	5.4.3	Angiver, at brugeren skal se brugsvejledningen
	Vekselstrøm	ISO 7000/IEC 60417 Grafiske symboler til brug på udstyret	5032	Angiver på mærkepladen, at udstyret kun er egnet til vekselstrøm, så de passende poler vælges

Table 7: Marking symbols for standards (continued)


















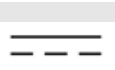

Symbol	Titel	Standardudviklingsorganisation	Referencenummer	Beskrivelse
	CE-mærkning	EU direktiv 93/42/EØF	Artikel 17 Bilag XII	Angiver europæisk teknisk overensstemmelse
	Conformité Européenne Bemyndiget organs reference-nummer: 2797	EU direktiv 93/42/EØF	Artikel 17 Bilag XII	Angiver europæisk teknisk overensstemmelse og identifikation af det bemyndigede organ, der er ansvarligt for gennemførelsen af procedurene i bilag II, IV, V og VI.
	Farlig spænding	ISO 7000/IEC 60417 Grafiske symboler til brug på udstyret	5036	Angiver farer, der opstår som følge af farlig spænding
	Grænse for stablede enheder efter antal	ISO 7000/IEC 60417 Grafiske symboler til brug på udstyret	2403	Angiver, at antallet af elementer ikke må stables lodret højere end det angivne antal elementer
	Forsigtig – Varm	ISO 7000/IEC 60417 Grafiske symboler til brug på udstyret	5041	Angiver, at det markerede element kan være varmt og ikke bør berøres uden behørig forsigtighed
	Forsigtig, fare for statisk magnetfelt	ISO 7000/IEC 60417 Grafiske symboler til brug på udstyret	6204	Angiver områder med potentielt farlige statiske magnetfelter og styrker i en installation
	Type BF-anvendte dele	IEC 60601-1 Elektromedicinsk udstyr – Del 1: Generelle krav til grundlæggende sikkerhed og væsentlige funktionsegenskaber	D.2-10	Angiver anvendte dele af type BF, som overholder IEC 60601-1

Table 7: Marking symbols for standards (continued)

Symbol	Title	Standard development organization	Reference number	Description
	Defibrillator-safe used parts of type CF	IEC 60601-1 Electromedical equipment – Part 1: General safety requirements and essential performance characteristics	D.1-27	Indicates defibrillator-safe used parts of type BF, which comply with IEC 60601-1
	Units that are sensitive to electrostatic discharge	IEC 60417:2002 Graphic symbols for use on equipment	5134	Indicates packages containing units sensitive to electrostatic discharge, or identifies a unit or part that has not been tested for immunity to electrostatic discharge
	Regulatory compliance mark (RCM)	AS/NZS3820	–	Indicates C-Tick – regulatory compliance mark for Australia and New Zealand The unit is in compliance with the relevant Australian and New Zealand requirements for electronic equipment.
	Batch code, date code or part code, control type number	ISO 15223-1 Medical devices – Symbols to be used on labels for medical devices, marking and information to be provided – Part 1: General requirements	5.1.5	Indicates the manufacturer's batch code, so that the responsible batch or lot can be identified
	Biological hazard	ISO 7010 – Graphic symbols – Safety colors and safety signs	W009	Warns of a biological hazard

Tabel 7: Mærkningssymboler for standarder (fortsat)

Symbol	Titel	Standardudviklingsorganisation	Referencenummer	Beskrivelse
	INMETRO-sikkerhedssymboler	–	–	Angiver Brasilien – certificeringsmyndighed anerkendt af National Institute of Metrology Standardization and Industrial Quality (INMETRO)
	Certificeringsmærke fra Canadian Standard Association	–	–	CSA-certificeringsmærke, som angiver, at produktet overholder de relevante CSA- og ANSI/UL-krav og er godkendt til brug i Canada og USA.
	Genvinding: Elektronisk udstyr	BS EN 50419:2016 Mærkning af elektrisk og elektronisk udstyr i overensstemmelse med direktiv 2012/19/EU (WEEE).	Bilag IX	Må ikke bortskaffes med husholdningsaffald
	Genbrugspap	–	–	Forsendelsesboksen er lavet af bølgepap og skal genbruges herefter
	Fremstillingsdato	ISO 7000 – Grafiske symboler til brug på udstyret	5.1.3	Til at angive den dato, produktet er fremstillet
	Jævnstrøm	–	–	–
	21 Del 15	Overensstemmelseserklæring, Federal Communications Commission (FCC)	Federal Communications Commission	FCC-Testet i henhold til Federal Communications Commissions krav Enheden er i overensstemmelse med de relevante FCC-bestemmelser for elektronisk udstyr
GEL	Gel	–	–	–

Tabel 7: Mærkningssymboler for standarder (fortsat)


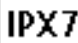
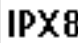

Symbol	Titel	Standardudviklingsorganisation	Referencenummer	Beskrivelse
	Resy – genanvendelsessymbol	–	–	Genbrugspapir
	Grad af beskyttelse mod indtrængen, som kabinettet giver	IEC 60601-1 Elektromedicinsk udstyr Del 1: Generelle krav til grundlæggende sikkerhed og væsentlige funktionsegenskaber	D.3	Beskyttet mod virkninger af midlertidig nedsænkning i vand. Undervandstæt Beskyttet mod virkninger af midlertidig nedsænkning i væske.
	Grad af beskyttelse mod indtrængen, som kabinettet giver	IEC 60601-1 Elektromedicinsk udstyr Del 1: Generelle krav til grundlæggende sikkerhed og væsentlige funktionsegenskaber	D.3	Beskyttet mod virkninger af midlertidig nedsænkning i vand. Vandtæt udstyr Beskyttet mod virkninger af længerevarende nedsænkning i væske
	–	–	–	Skal håndteres med forsigtighed
	–	–	–	Angiver, at producentens anvisninger vedrørende desinfektionstid skal følges
	–	–	–	Angiver desinficeringstransducer
	Maksimal vægtbelastning	IEC 60601-1 Elektromedicinsk udstyr Del 1: Generelle krav til grundlæggende sikkerhed og væsentlige funktionsegenskaber	7.2.21	Angiver udstyrets samlede vægt, inklusive sikker arbejdsbelastning
	Certificeringsmærke fra Underwriters Laboratories	–	–	Certificeringsmærke kun for elektrisk stød, brand og mekaniske farer

Table 7: Mærkningssymboler for standarder (fortsat)






Symbol	Titel	Standardudviklingsorganisation	Referencenummer	Beskrivelse
	UL-produktcertificering.	–	–	Produktet eller virksomheden har opfyldt strenge standarder for produktsikkerhed.
	China Pollution Control (10)	ISO 7000:2014 Grafiske symboler til brug på udstyret	1135	Forureningskontrollogo. (Gælder for alle dele/produkter, som er anført i den kinesiske RoHS-oplysningstabel. Ses måske ikke udvendigt på nogle dele/produkter på grund af begrænset plads).
	China Compulsory Certificate mark ("CCC Mark"). Obligatorisk sikkerhedsmærke for overholdelse af nationale kinesiske standarder for mange produkter, der sælges i Folkerepublikken Kina.	–	–	–
	Steriliseret vha. ethylenoxid	ISO 15223-1 Medicinske anordninger – Symboler som skal anvendes på mærkater på medicinske anordninger, markering og oplysninger som skal angives – Del 1: Generelle krav	5.2.3	Angiver en medicinsk anordning, som er steriliseret med ethylenoxid

Table 7: Mærkningssymboler for standarder (fortsat)

Symbol	Titel	Standardudviklingsorganisation	Referencenummer	Beskrivelse
	Steriliseret vha. bestråling	ISO 15223-1 Medicinske anordninger – Symboler som skal anvendes på mærkater på medicinske anordninger, markering og oplysninger som skal angives – Del 1: Generelle krav	5.2.4	Angiver en medicinsk anordning, som er steriliseret med stråling
	(kun SII) Katalognummer	ISO 15223-1:2016 Medicinske anordninger – Symboler som skal anvendes på mærkater på medicinske anordninger, markering og oplysninger som skal angives – Del 1: Generelle krav	5.1.6	Angiver producentens katalognummer, så det medicinske apparat kan identificeres.
	(kun SII) Farlig spænding	ISO 7000/IEC 60417 Grafiske symboler til brug på udstyret	5036	Angiver farer, der opstår som følge af farlig spænding
	(kun SII) Kun til indendørs brug	ISO 7000/IEC 60417 Grafiske symboler til brug på udstyret	5957	Identificerer elektrisk udstyr, som primært er designet til indendørs brug

Specifikationer

Understøttede transducere (SonoSite SII)

Det følgende afsnit er overflødigt og er blevet fjernet fra brugervejledningen til SonoSite SII. De samme oplysninger findes i Tabel 9-2 i brugervejledningen. Revisionen vil blive foretaget i næste opdatering.

Tabel 8: Understøttede transducere

Beskrivelse	Maksimal kabellængde
C11x-transducer	1,8 m
rC60xi-transducer standard/armeret	1,7 m
HFL38xi-transducer standard/armeret	1,7 m
HFL50x-transducer	1,7 m
HSL25x-transducer	2,4 m
ICTx-transducer	1,7 m
L25x-transducer	2,3 m
L38xi-transducer standard/armeret	1,7 m
L52x-transducer	2,4 m
P10x-transducer	1,8 m
rP19x-transducer standard/armeret	1,8 m

For transducere måles den maksimale kabellængde mellem aflastningerne. Den angivne længde omfatter ikke kabellængder på følgende lokaliteter: under aflastningerne, inde i transducers indkapsling eller inde i transducerstikket.

Standarder

Standarder for elektromekanisk sikkerhed

Tabel 9: Standarder for elektromekanisk sikkerhed

Standard	Beskrivelse
ANSI/AAMI ES60601-1:2005/(R) 2012 og A1:2012	Elektromedicinsk udstyr – Del 1: Generelle krav til grundlæggende sikkerhed og væsentlige funktionsegenskaber (Consolidated Edition 3.1)
CAN/CSA C22.2 No. 60601-1:2014 (Edition 3.1)	Elektromedicinsk udstyr – Del 1: Generelle krav til grundlæggende sikkerhed og væsentlige funktionsegenskaber
IEC 60601-1:2012 (Edition 3.1)	Elektromedicinsk udstyr – Del 1: Generelle krav til grundlæggende sikkerhed og væsentlige funktionsegenskaber

Tabel 9: Standarder for elektromekanisk sikkerhed

Standard	Beskrivelse
IEC 60601-2-37: 2015	Elektromedicinsk udstyr – Del 2-37: Særlige krav til grundlæggende sikkerhed og væsentlige funktionsegenskaber for medicinsk ultralydsudstyr til diagnostik og overvågning
IEC 60601-1-6: 2013	Elektromedicinsk udstyr – Del 1-6: Generelle krav til grundlæggende sikkerhed og væsentlige funktionsegenskaber – Tillægsstandard: Anvendelighed
JIS T0601-1:2012 (3. udgave)	Japansk industristandard, Elektromedicinsk udstyr – Del 1: Generelle krav til grundlæggende sikkerhed og væsentlige funktionsegenskaber

Akustisk udgangseffekt

ALARA-princippet

Anvendelse af ALARA-princippet

Den billeddannelsestilstand, der vælges af den kvalificerede bruger, bestemmes af de nødvendige diagnostiske oplysninger. 2D-billeddannelse giver anatomiske oplysninger. CPD-billeddannelse giver oplysninger om dopplersignalets energi eller amplitudestyrke over tid på en given anatomisk position og bruges til at påvise tilstedeværelsen af blodstrømning. Farvebilleddannelse giver oplysninger om dopplersignalets energi eller amplitudestyrke over tid på en givet anatomisk position og bruges til at påvise tilstedeværelsen af og retningen på blodstrømningen. Harmonisk vævsbilleddannelse (THI) anvender højere modtagne frekvenser for at reducere glitter og artefakter og forbedre 2D-billedets opløsning. Et indgående kendskab til den anvendte billeddannelsestype sætter personalet i stand til at overholde ALARA-princippet.

Hensigtsmæssig brug af ultralyd kræver, at patienten udsættes for så lav ultralydsstyrke som muligt i så kort tid som muligt, samtidig med at der opnås acceptable diagnostiske resultater. Hensigtsmæssig brug bestemmes på grundlag af patienttype, undersøgelsestype, patientanamnese, hvor vanskeligt det er at opnå brugbare diagnostiske oplysninger samt den potentielle lokalopvarmning, patienten udsættes for pga. transducerens overfladetemperatur.

Systemet er udviklet til at sikre, at temperaturen på transducerens overflade ikke overstiger grænserne, der er fastlagt i IEC 60601-2-37: Særlige krav til sikkerheden i medicinsk diagnostisk ultralyds- og monitoreringsudstyr. Se "**Stigning i transducerens overfladetemperatur**" på side 10-9. I tilfælde af, at der opstår fejlfunktion på en enhed, er der redundansknapper, der begrænser transducerens effekt. Dette opnås ved et elektrisk design, der begrænser både strømforsyningskredsløb og spændingen til transduceren.

Systemet er forsynet med knapper til indstilling af billedkvalitet og ultralydssignal. Knapperne kan inddeles i tre funktionskategorier: knapper med direkte indvirkning på udgangseffekt, knapper med indirekte indvirkning på udgangseffekt og modtagerknapper.

Knapper med direkte indvirkning

Systemet overstiger ikke en ISPTA (tidsmæssig gennemsnitsintensitet ved rumligt maksimum) på 720 mW/cm^2 for alle billedbehandlingstilstande. (For den oftalmiske (Oph) eller den orbitale (Orb) undersøgelse er den akustiske udgangseffekt begrænset til følgende værdier: ISPTA overskrider ikke 50 mW/cm^2 ; TI overskrider ikke 1,0, og MI overskrider ikke 0,23). Det mekaniske indeks (MI) og det termiske indeks (TI) kan overstige værdier, der er højere end 1,0, på visse transducere i visse billeddannelsestilstande. Du kan monitorere MI- og TI-værdierne og justere kontrolknapperne for at reducere disse værdier. Se "[Retningslinjer til reduktion af MI og TI](#)" på side 10-3. Ydermere er en måde at opfylde ALARA-princippet på at indstille MI- eller TI-værdierne til en lav indekssværdi og dernæst ændre dette niveau, indtil der opnås en/et tilfredsstillende billede eller dopplertype. Se flere oplysninger om MI og TI i Medical Ultrasound Safety, AIUM (der følger en kopi med hvert system) og IEC 60601-2-37 Annex "Guidance on the interpretation of TI and MI to be used to inform the operator."

Visning af udgangseffekt

Relevant litteratur

Information for Manufacturers Seeking Marketing Clearance of Diagnostic Ultrasound Systems and Transducers, FDA, 2008.

Medical Ultrasound Safety, American Institute of Ultrasound in Medicine (AIUM), 2014. (Der følger en kopi med hvert system).

Acoustic Output Measurement Standard for Diagnostic Ultrasound Equipment, NEMA UD2-2004.

IEC 60601-2-37: 2015 Særlige krav til grundlæggende sikkerhed og væsentlige funktionsegenskaber i ultralydsudstyr til diagnostik og monitorering.

Stigning i transducerens overfladetemperatur

Tabel 10-4 og tabel 10-5 angiver den målte overfladetemperaturstigning i forhold til den omgivende temperatur ($23 \text{ °C} \pm 3 \text{ °C}$) på transducere, der anvendes på ultralydssystemet. Temperaturerne blev målt i overensstemmelse med IEC 60601-2-37, hvor kontrolknapper og indstillinger blev indstillet til at give maksimumstemperaturer.

Måling af akustisk udgangseffekt

Siden den indledende anvendelse af ultralyd til diagnostiske formål har diverse videnskabelige og medicinske institutioner undersøgt de biologiske virkninger (bioeffekter) af ultralyd på mennesket. I oktober 1987 ratificerede American Institute of Ultrasound in Medicine (AIUM) en rapport fra dets bioeffekt-komite (Bioeffects Considerations for the Safety of Diagnostic Ultrasound [Sikkerhedsovervejelser vedrørende bioeffekter i forbindelse med diagnostisk ultralyd], J Ultrasound Med., Sept. 1988: Vol. 7, No 9 Supplement). Rapporten, der også kaldes *Stowe-rapporten*, gennemgik de forhåndenværende data vedrørende mulige virkninger af ultralydseksposering. En anden rapport, *Bioeffects and Safety of Diagnostic Ultrasound* af 28. januar 1993 indeholder nyere oplysninger.

Det akustiske output for dette ultralydssystem er blevet målt og beregnet i overensstemmelse med "Acoustic Output Measurement Standard for Diagnostic Ultrasound Equipment" (NEMA UD2-2004) og IEC 60601-2-37: 2015 Særlige krav til grundliggende sikkerhed og væsentlige funktionsegenskaber i ultralydsudstyr til diagnostik og monitorering.

Tabeller over akustisk udgangseffekt

Formatet for tabellerne over akustisk udgangseffekt er blevet opdateret.

Transducermodel: C8x Billeddannelsestype: 2D	126
Transducermodel: C8x Billeddannelsestype: M Mode	127
Transducermodel: C8x Billeddannelsestype: Color/CPD	128
Transducermodel: C8x Billeddannelsestype: PW-doppler	129
Transducermodel: C11x Billeddannelsestype: PW-doppler	130
Transducermodel: C35x Billeddannelsestype: 2D	131
Transducermodel: C35x Billeddannelsestype: PW-doppler	132
Transducermodel: HFL38xi (oftalmisk anvendelse) Billeddannelsestype: 2D	133
Transducermodel: HFL38xi (oftalmisk anvendelse) Billeddannelsestype: M Mode	134
Transducermodel: HFL38xi (oftalmisk anvendelse) Billeddannelsestype: Color/CPD	135
Transducermodel: HFL38xi (oftalmisk anvendelse) Billeddannelsestype: PW-doppler	136
Transducermodel: HFL38xi Billeddannelsestype: 2D	137
Transducermodel: HFL38xi Billeddannelsestype: M Mode	138
Transducermodel: HFL38xi Billeddannelsestype: Color/CPD	139
Transducermodel: HFL38xi Billeddannelsestype: PW-doppler	140
Transducermodel: HFL50x Billeddannelsestype: 2D	141
Transducermodel: HFL50x Billeddannelsestype: M Mode	142
Transducermodel: HFL50x Billeddannelsestype: Color	143
Transducermodel: HFL50x Billeddannelsestype: PW-doppler	144
Transducermodel: HSL25x (oftalmisk anvendelse) Billeddannelsestype: 2D	145
Transducermodel: HSL25x (oftalmisk anvendelse) Billeddannelsestype: M Mode	146
Transducermodel: HSL25x (oftalmisk anvendelse) Billeddannelsestype: Color/CPD	147
Transducermodel: HSL25x (oftalmisk anvendelse) Billeddannelsestype: PW-doppler	148
Transducermodel: HSL25x Billeddannelsestype: 2D	149
Transducermodel: HSL25x Billeddannelsestype: Color/CPD	150
Transducermodel: HSL25x Billeddannelsestype: PW-doppler	151

Transducermodel: ICTx Billeddannelsestype: PW-doppler	152
Transducermodel: L25x (oftalmisk anvendelse) Billeddannelsestype: 2D	153
Transducermodel: L25x (oftalmisk anvendelse) Billeddannelsestype: M Mode	154
Transducermodel: L25x (oftalmisk anvendelse) Billeddannelsestype: Color/CPD	155
Transducermodel: L25x (oftalmisk anvendelse) Billeddannelsestype: PW-doppler	156
Transducermodel: L25x Billeddannelsestype: 2D	157
Transducermodel: L25x Billeddannelsestype: Color/CPD	158
Transducermodel: L25x Billeddannelsestype: PW-doppler	159
Transducermodel: L38xi Billeddannelsestype: 2D	160
Transducermodel: L38xi Billeddannelsestype: M Mode	161
Transducermodel: L38xi Billeddannelsestype: Color/CPD	162
Transducermodel: L38xi Billeddannelsestype: PW-doppler	163
Transducermodel: P10x Billeddannelsestype: Color	164
Transducermodel: P10x Billeddannelsestype: CW-doppler	165
Transducermodel: P10x Billeddannelsestype: PW-doppler	166
Transducermodel: rC60xi Billeddannelsestype: 2D	167
Transducermodel: rC60xi Billeddannelsestype: M Mode	168
Transducermodel: rC60xi Billeddannelsestype: Color/CPD	169
Transducermodel: rC60xi Billeddannelsestype: PW-doppler	170
Transducermodel: rP19x (orbital anvendelse) Billeddannelsestype: 2D	171
Transducermodel: rP19x (orbital anvendelse) Billeddannelsestype: M Mode	172
Transducermodel: rP19x (orbital anvendelse) Billeddannelsestype: Color/CPD	173
Transducermodel: rP19x (orbital anvendelse) Billeddannelsestype: PW-doppler	174
Transducermodel: rP19x Billeddannelsestype: 2D	175
Transducermodel: rP19x Billeddannelsestype: M Mode	176
Transducermodel: rP19x Billeddannelsestype: Color/CPD	177
Transducermodel: rP19x Billeddannelsestype: CW-doppler	178
Transducermodel: rP19x Billeddannelsestype: PW-doppler	179
Transducermodel: TEExi Billeddannelsestype: CW-doppler	180
Transducermodel: TEExi Billeddannelsestype: PW-doppler	181

Tabel 10: Transducermodel: C8x Billeddannelsestype: 2D

Indeksbetegnelse		MI	TIS		TIB		TIC
			På overfladen	Under overfladen	På overfladen	Under overfladen	På overfladen
Maksimal indekssværdi		1,1	(a)		(a)		(b)
Indekskomponentværdi			#	#	#	#	
Akustiske parametre	$p_{r,\alpha}$ ved z_{MI} (MPa)	2,48					
	P (mW)		#		#		#
	P_{1x1} (mW)		#		#		
	z_s (cm)			—			
	z_b (cm)					—	
	z_{MI} (cm)	1,2					
	$z_{pii,\alpha}$ (cm)	1,2					
	f_{awf} (MHz)	5,53	#		#		#
Andre oplysninger	p_{rr} (Hz)	9524					
	s_{rr} (Hz)	18,6					
	η_{pps}	1					
	$I_{pa,\alpha}$ ved $z_{pii,\alpha}$ (W/cm^2)	264					
	$I_{spta,\alpha}$ ved $z_{pii,\alpha}$ eller $z_{sii,\alpha}$ (mW/cm^2)	18,3					
	I_{spta} ved z_{pii} eller z_{sii} (mW/cm^2)	25,6					
	p_r ved z_{pii} (MPa)	3,11					
Drifts-kontroller	Undersøgelsestype	Pro					
	Optimering	Pen					
	Dybde (cm)	2,5 - 3,2					
	MB	Fra					

(a) Dette indeks er ikke påkrævet til denne billeddannelsestilstand. Værdien er <1.

(b) Denne transducer er ikke beregnet til transkraniel eller neonatal cephal brug.

Der er ikke rapporteret data for denne billeddannelsestype, da indekssværdien for det globale maksimum på grund af den angivne årsag ikke er rapporteret. (Se linjen for globalt maksimum, indekssværdi).

— Der findes ingen data for denne transducer/tilstand.

Tabel 11: Transducermodel: C8x Billeddannelsestype: M Mode

Indeksbetegnelse		MI	TIS		TIB		TIC
			På overfladen	Under overfladen	På overfladen	Under overfladen	På overfladen
Maksimal indekssværdi		1,3	(a)		(a)		(b)
Indekskomponentværdi			#	#	#	#	
Akustiske parametre	$p_{r,\alpha}$ ved z_{MI} (MPa)	2,91					
	P (mW)		#		#		#
	$P_{1 \times 1}$ (mW)		#		#		
	z_s (cm)			#			
	z_b (cm)					#	
	z_{MI} (cm)	1,1					
	$z_{pii,\alpha}$ (cm)	1,1					
	f_{awf} (MHz)	5,07	#		#		#
Andre oplysninger	p_{rr} (Hz)	800					
	s_{rr} (Hz)	–					
	n_{pps}	1					
	$I_{pa,\alpha}$ ved $z_{pii,\alpha}$ (W/cm^2)	433					
	$I_{spta,\alpha}$ ved $z_{pii,\alpha}$ eller $z_{sii,\alpha}$ (mW/cm^2)	149					
	I_{spta} ved z_{pii} eller z_{sii} (mW/cm^2)	226					
	p_r ved z_{pii} (MPa)	3,57					
Drifts-kontroller	Undersøgelsestype	Pro					
	Optimering	Pen					
	Dybde (cm)	4,2					

(a) Dette indeks er ikke påkrævet til denne billeddannelsestilstand. Værdien er <1.

(b) Denne transducer er ikke beregnet til transkraniel eller neonatal cephal brug.

Der er ikke rapporteret data for denne billeddannelsestype, da indekssværdien for det globale maksimum på grund af den angivne årsag ikke er rapporteret. (Se linjen for globalt maksimum, indekssværdi).

— Der findes ingen data for denne transducer/tilstand.

Tabel 12: Transducermodel: C8x Billeddannelsestype: Color/CPD

Indeksbetegnelse		MI	TIS		TIB		TIC
			På overfladen	Under overfladen	På overfladen	Under overfladen	På overfladen
Maksimal indekssværdi		1,2	(a)		(a)		(b)
Indekskomponentværdi			#	#	#	#	
Akustiske parametre	$p_{r,\alpha}$ ved z_{MI} (MPa)	2,68					
	P (mW)		#		#		#
	$P_{1 \times 1}$ (mW)		#		#		
	z_s (cm)			–			
	z_b (cm)					–	
	z_{MI} (cm)	0,8					
	$z_{pii,\alpha}$ (cm)	0,8					
	f_{awf} (MHz)	4,82	#		#		#
Andre oplysninger	p_{rr} (Hz)	2548					
	s_{rr} (Hz)	26					
	n_{pps}	12					
	$I_{pa,\alpha}$ ved $z_{pii,\alpha}$ (W/cm ²)	381					
	$I_{spta,\alpha}$ ved $z_{pii,\alpha}$ eller $z_{sij,\alpha}$ (mW/cm ²)	132					
	I_{spta} ved z_{pii} eller z_{sij} (mW/cm ²)	176					
	p_r ved z_{pii} (MPa)	3,1					
Drifts-kontroller	Undersøgelsestype	Pro					
	Type	CVD					
	2D-optimering/dybde (cm)	Pen/1,5 – 1,9					
	Farveoptimering/PRF (Hz)	Høj/alle					
	Farveboksposition/-størrelse	Smal/alle					

(a) Dette indeks er ikke påkrævet til denne billeddannelsestilstand. Værdien er < 1.

(b) Denne transducer er ikke beregnet til transkraniel eller neonatal cephal brug.

Der er ikke rapporteret data for denne billeddannelsestype, da indekssværdien for det globale maksimum på grund af den angivne årsag ikke er rapporteret. (Se linjen for globalt maksimum, indekssværdi).

— Der findes ingen data for denne transducer/tilstand.

Tabel 13: Transducermodel: C8x Billeddannelsestype: PW-doppler

Indeksbetegnelse		MI	TIS		TIB		TIC
			På overfladen	Under overfladen	På overfladen	Under overfladen	På overfladen
Maksimal indeksværdi		1,0	(a)		1,4		(b)
Indekskomponentværdi			#	#	0,5	1,4	
Akustiske parametre	$p_{r,\alpha}$ ved z_{MI} (MPa)	2,28					
	P (mW)		#		23,1		#
	$P_{1 \times 1}$ (mW)		#		23,1		
	z_s (cm)			#			
	z_b (cm)					1,0	
	z_{MI} (cm)	1,8					
	$z_{pii,\alpha}$ (cm)	1,8					
	f_{awf} (MHz)	4,80	#		4,80		#
Andre oplysninger	pr_r (Hz)	1008					
	srr (Hz)	–					
	n_{pps}	1					
	$I_{pa,\alpha}$ ved $z_{pii,\alpha}$ (W/cm^2)	263					
	$I_{spta,\alpha}$ ved $z_{pii,\alpha}$ eller $z_{sii,\alpha}$ (mW/cm^2)	334					
	I_{spta} ved z_{pii} eller z_{sii} (mW/cm^2)	616					
	p_r ved z_{pii} (MPa)	3,1					
Drifts-kontroller	Undersøgelsestype	Pro			Pro		
	Prøvevolumenstørrelse (mm)	1			1		
	Prøvevolumenposition	Zone 4			Zone 4		
	PRF (Hz)	1008			1008		

(a) Dette indeks er ikke påkrævet til denne billeddannelsestilstand. Værdien er <1.

(b) Denne transducer er ikke beregnet til transkraniel eller neonatal cephal brug.

Der er ikke rapporteret data for denne billeddannelsestype, da indeksværdien for det globale maksimum på grund af den angivne årsag ikke er rapporteret. (Se linjen for globalt maksimum, indeksværdi).

— Der findes ingen data for denne transducer/tilstand.

Tabel 14: Transducermodel: C 11x Billeddannelsestype: PW-doppler

Indeksbetegnelse		MI	TIS		TIB		TIC
			På overfladen	Under overfladen	På overfladen	Under overfladen	På overfladen
Maksimal indekssværdi		(a)	(a)		1,5		1,1
Indekskomponentværdi			#	#	0,5	1,5	
Akustiske parametre	$p_{r,\alpha}$ ved z_{MI} (MPa)	#					
	P (mW)		#		24,6		21,7
	P_{1x1} (mW)		#		24,6		
	z_s (cm)			#			
	z_b (cm)					1,7	
	z_{MI} (cm)	#					
	$z_{pii,\alpha}$ (cm)	#					
	f_{awf} (MHz)	#	#		4,37		4,36
Andre oplysninger	pr (Hz)	#					
	srr (Hz)	#					
	η_{pps}	#					
	$I_{pa,\alpha}$ ved $z_{pii,\alpha}$ (W/cm^2)	#					
	$I_{spta,\alpha}$ ved $z_{pii,\alpha}$ eller $z_{sii,\alpha}$ (mW/cm^2)	#					
	I_{spta} ved z_{pii} eller z_{sii} (mW/cm^2)	#					
	p_r ved z_{pii} (MPa)	#					
Drifts-kontroller	Undersøgelsestype				Nrv		Nrv
	Prøvevolumenstørrelse (mm)				1		7
	Prøvevolumenposition				Zone 1		Zone 0
	PRF (Hz)				10.417		6250

(a) Dette indeks er ikke påkrævet til denne billeddannelsestilstand. Værdien er <1.

(b) Denne transducer er ikke beregnet til transkraniel eller neonatal cephal brug.

Der er ikke rapporteret data for denne billeddannelsestype, da indekssværdien for det globale maksimum på grund af den angivne årsag ikke er rapporteret. (Se linjen for globalt maksimum, indekssværdi).

— Der findes ingen data for denne transducer/tilstand.

Tabel 15: Transducermodel: C35x Billeddannelsestype: 2D

Indeksbetegnelse		MI	TIS		TIB		TIC
			På overfladen	Under overfladen	På overfladen	Under overfladen	På overfladen
Maksimal indeksværdi		1,0	(a)		(a)		(b)
Indekskomponentværdi			#	#	#	#	
Akustiske parametre	$p_{r,\alpha}$ ved z_{MI} (MPa)	1,8					
	P (mW)		#		#		#
	$P_{1 \times 1}$ (mW)		#		#		
	z_s (cm)			–			
	z_b (cm)					–	
	z_{MI} (cm)	3,3					
	$z_{pii,\alpha}$ (cm)	3,3					
	f_{awf} (MHz)	3,45	#		#		#
Andre oplysninger	p_{rr} (Hz)	1021					
	s_{rr} (Hz)	7,98					
	η_{pps}	1					
	$I_{pa,\alpha}$ ved $z_{pii,\alpha}$ (W/cm^2)	250					
	$I_{spta,\alpha}$ ved $z_{pii,\alpha}$ eller $z_{sii,\alpha}$ (mW/cm^2)	8,6					
	I_{spta} ved z_{pii} eller z_{sii} (mW/cm^2)	16,5					
	p_r ved z_{pii} (MPa)	2,61					
Drifts-kontroller	Undersøgelsestype	Msk					
	Optimering	Res					
	Dybde (cm)	8,3					
	MB	Ikke relevant					

(a) Dette indeks er ikke påkrævet til denne billeddannelsestilstand. Værdien er <1.

(b) Denne transducer er ikke beregnet til transkraniel eller neonatal cephal brug.

Der er ikke rapporteret data for denne billeddannelsestype, da indeksværdien for det globale maksimum på grund af den angivne årsag ikke er rapporteret. (Se linjen for globalt maksimum, indeksværdi).

— Der findes ingen data for denne transducer/tilstand.

Tabel 16: Transducermodel: C35x Billeddannelsestype: PW-doppler

Indeksbetegnelse		MI	TIS		TIB		TIC
			På overfladen	Under overfladen	På overfladen	Under overfladen	På overfladen
Maksimal indekssværdi		(a)	1,5		2,6		(b)
Indekskomponentværdi			1,5	1,0	1,0	2,6	
Akustiske parametre	$p_{r,\alpha}$ ved z_{MI} (MPa)	#					
	P (mW)		72,8		47,1		#
	$P_{1 \times 1}$ (mW)		71,1		47,1		
	z_s (cm)			1,4			
	z_b (cm)					0,50	
	z_{MI} (cm)	#					
	$z_{pii,\alpha}$ (cm)	#					
	f_{awf} (MHz)	#	4,35		4,37		#
Andre oplysninger	p_{rr} (Hz)	#					
	s_{rr} (Hz)	#					
	η_{pps}	#					
	$I_{pa,\alpha}$ ved $z_{pii,\alpha}$ (W/cm^2)	#					
	$I_{spta,\alpha}$ ved $z_{pii,\alpha}$ eller $z_{sii,\alpha}$ (mW/cm^2)	#					
	I_{spta} ved z_{pii} eller z_{sii} (mW/cm^2)	#					
	p_r ved z_{pii} (MPa)	#					
Drifts-kontroller	Undersøgelsestype		Rygsøjle		Rygsøjle		
	Prøvevolumenstørrelse (mm)		2		1		
	Prøvevolumenposition		Zone 5		Zone 0		
	PRF (Hz)		6250		15.625		

(a) Dette indeks er ikke påkrævet til denne billeddannelsestilstand. Værdien er <1.

(b) Denne transducer er ikke beregnet til transkraniel eller neonatal cephal brug.

Der er ikke rapporteret data for denne billeddannelsestype, da indekssværdien for det globale maksimum på grund af den angivne årsag ikke er rapporteret. (Se linjen for globalt maksimum, indekssværdi).

— Der findes ingen data for denne transducer/tilstand.

Tabel 17: Transducermodel: HFL38xi (oftalmisk anvendelse) Billeddannelsestype: 2D

Indeksbetegnelse		MI	TIS		TIB		TIC
			På overfladen	Under overfladen	På overfladen	Under overfladen	På overfladen
Maksimal indeksværdi		0,17	0,007		0,007		(b)
Indekskomponentværdi			0,007	0,007	0,007	0,007	
Akustiske parametre	$p_{r,\alpha}$ ved z_{MI} (MPa)	0,43					
	P (mW)		0,77		0,77		#
	$P_{1 \times 1}$ (mW)		0,21		0,21		
	z_s (cm)			–			
	z_b (cm)					–	
	z_{MI} (cm)	2,1					
	$z_{pii,\alpha}$ (cm)	2,1					
	f_{awf} (MHz)	6,59	6,75		6,75		#
Andre oplysninger	pr_r (Hz)	11.339					
	srr (Hz)	19,7					
	n_{pps}	3					
	$I_{pa,\alpha}$ ved $z_{pii,\alpha}$ (W/cm^2)	11,4					
	$I_{spta,\alpha}$ ved $z_{pii,\alpha}$ eller $z_{sii,\alpha}$ (mW/cm^2)	0,8					
	I_{spta} ved z_{pii} eller z_{sii} (mW/cm^2)	1,3					
	p_r ved z_{pii} (MPa)	0,7					
	Drifts-kontroller						
Undersøgelsestype	Oph	Oph		Oph			
Optimering	Pen	Res		Res			
Dybde (cm)	4,9	4,9		4,9			
MB	Til	Til		Til			

(a) Dette indeks er ikke påkrævet til denne billeddannelsestilstand. Værdien er <1.

(b) Denne transducer er ikke beregnet til transkraniel eller neonatal cephal brug.

Der er ikke rapporteret data for denne billeddannelsestype, da indeksværdien for det globale maksimum på grund af den angivne årsag ikke er rapporteret. (Se linjen for globalt maksimum, indeksværdi).

— Der findes ingen data for denne transducer/tilstand.

Tabel 18: Transducermodel: HFL38xi (oftalmisk anvendelse) Billeddannelsestype: M Mode

Indeksbetegnelse		MI	TIS		TIB		TIC
			På overfladen	Under overfladen	På overfladen	Under overfladen	På overfladen
Maksimal indekssværdi		0,17	0,003		0,004		(b)
Indekskomponentværdi			0,003	0,002	0,002	0,004	
Akustiske parametre	$p_{r,\alpha}$ ved z_{MI} (MPa)	0,44					
	P (mW)		0,087		0,064		#
	$P_{1 \times 1}$ (mW)		0,087		0,064		
	z_s (cm)			0,9			
	z_b (cm)					1,10	
	z_{MI} (cm)	1,0					
	$z_{pii,\alpha}$ (cm)	1,0					
	f_{awf} (MHz)	6,58	6,86		6,78		#
Andre oplysninger	p_{rr} (Hz)	800					
	s_{rr} (Hz)	–					
	n_{pps}	1					
	$I_{pa,\alpha}$ ved $z_{pii,\alpha}$ (W/cm^2)	10,3					
	$I_{spta,\alpha}$ ved $z_{pii,\alpha}$ eller $z_{sii,\alpha}$ (mW/cm^2)	1,0					
	I_{spta} ved z_{pii} eller z_{sii} (mW/cm^2)	1,7					
	p_r ved z_{pii} (MPa)	0,55					
Drifts-kontroller	Undersøgelsestype	Oph	Oph		Oph		
	Optimering	Pen	Res		Res		
	Dybde (cm)	1,5	6,0		4,0		

(a) Dette indeks er ikke påkrævet til denne billeddannelsestilstand. Værdien er < 1.

(b) Denne transducer er ikke beregnet til transkraniel eller neonatal cephal brug.

Der er ikke rapporteret data for denne billeddannelsestype, da indekssværdien for det globale maksimum på grund af den angivne årsag ikke er rapporteret. (Se linjen for globalt maksimum, indekssværdi).

— Der findes ingen data for denne transducer/tilstand.

Tabel 19: Transducermodel: HFL38xi (oftalmisk anvendelse) Billeddannelsestype: Color/CPD

Indeksbetegnelse		MI	TIS		TIB		TIC
			På overfladen	Under overfladen	På overfladen	Under overfladen	På overfladen
Maksimal indekssværdi		0,17	0,02		0,02		(b)
Indekskomponentværdi			0,02	0,02	0,02	0,02	
Akustiske parametre	$p_{r,\alpha}$ ved z_{MI} (MPa)	0,39					
	P (mW)		1,11		1,11		#
	P_{1x1} (mW)		0,75		0,75		
	z_s (cm)			–			
	z_b (cm)					–	
	z_{MI} (cm)	0,9					
	$z_{pii,\alpha}$ (cm)	0,9					
	f_{awf} (MHz)	5,34	5,37		5,37		#
Andre oplysninger	pr_r (Hz)	4537					
	srr (Hz)	13,5					
	n_{pps}	13					
	$I_{pa,\alpha}$ ved $z_{pii,\alpha}$ (W/cm^2)	5,5					
	$I_{spta,\alpha}$ ved $z_{pii,\alpha}$ eller $z_{sii,\alpha}$ (mW/cm^2)	1,3					
	I_{spta} ved z_{pii} eller z_{sii} (mW/cm^2)	2,1					
	p_r ved z_{pii} (MPa)	0,46					
Drifts-kontroller	Undersøgelsestype	Oph	Oph		Oph		
	Type	CVD	CVD		CVD		
	2D-optimering/dybde (cm)	Pen/1,5	Pen/4,9		Pen/4,9		
	Farveoptimering/PRF (Hz)	Høj/7813	Høj/6944		Høj/6944		
	Farveboksposition/-størrelse	Bund/lille	Def/smal		Def/smal		

(a) Dette indeks er ikke påkrævet til denne billeddannelsestilstand. Værdien er < 1.

(b) Denne transducer er ikke beregnet til transkraniel eller neonatal cephal brug.

Der er ikke rapporteret data for denne billeddannelsestype, da indekssværdien for det globale maksimum på grund af den angivne årsag ikke er rapporteret. (Se linjen for globalt maksimum, indekssværdi).

— Der findes ingen data for denne transducer/tilstand.

Tabel 20: Transducermodel: HFL38xi (oftalmisk anvendelse) Billeddannelsestype: PW-doppler

Indeksbetegnelse		MI	TIS		TIB		TIC
			På overfladen	Under overfladen	På overfladen	Under overfladen	På overfladen
Maksimal indekssværdi		0,18	0,09		0,17		(b)
Indekskomponentværdi			0,09	0,06	0,09	0,17	
Akustiske parametre	$p_{r,\alpha}$ ved z_{MI} (MPa)	0,41					
	P (mW)		3,56		3,56		#
	$P_{1 \times 1}$ (mW)		3,56		3,56		
	z_s (cm)			1,1			
	z_b (cm)					1,64	
	z_{MI} (cm)	0,9					
	$z_{pii,\alpha}$ (cm)	0,9					
	f_{awf} (MHz)	5,34	5,33		5,33		#
Andre oplysninger	p_{rr} (Hz)	1302					
	s_{rr} (Hz)	–					
	η_{pps}	1					
	$I_{pa,\alpha}$ ved $z_{pii,\alpha}$ (W/cm^2)	6,6					
	$I_{spta,\alpha}$ ved $z_{pii,\alpha}$ eller $z_{sii,\alpha}$ (mW/cm^2)	10,9					
	I_{spta} ved z_{pii} eller z_{sii} (mW/cm^2)	15,0					
	p_r ved z_{pii} (MPa)	0,48					
Drifts-kontroller	Undersøgelsestype	Oph	Oph		Oph		
	Prøvevolumenstørrelse (mm)	1	10		10		
	Prøvevolumenposition	Zone 1	Zone 7		Zone 7		
	PRF (Hz)	1302	10.417		10.417		

(a) Dette indeks er ikke påkrævet til denne billeddannelsestilstand. Værdien er <1.

(b) Denne transducer er ikke beregnet til transkraniel eller neonatal cephal brug.

Der er ikke rapporteret data for denne billeddannelsestype, da indekssværdien for det globale maksimum på grund af den angivne årsag ikke er rapporteret. (Se linjen for globalt maksimum, indekssværdi).

— Der findes ingen data for denne transducer/tilstand.

Tabel 21: Transducermodel: HFL38xi Billeddannelsestype: 2D

Indeksbetegnelse		MI	TIS		TIB		TIC
			På overfladen	Under overfladen	På overfladen	Under overfladen	På overfladen
Maksimal indekssværdi		1,3	(a)		(a)		(b)
Indekskomponentværdi			#	#	#	#	
Akustiske parametre	$p_{r,\alpha}$ ved z_{MI} (MPa)	3,05					
	P (mW)		#		#		#
	$P_{1 \times 1}$ (mW)		#		#		
	z_s (cm)			–			
	z_b (cm)					–	
	z_{MI} (cm)	1,2					
	$z_{pii,\alpha}$ (cm)	1,2					
	f_{awf} (MHz)	5,36	#		#		#
Andre oplysninger	pr_r (Hz)	2127					
	srr (Hz)	11,1					
	η_{pps}	1					
	$I_{pa,\alpha}$ ved $z_{pii,\alpha}$ (W/cm^2)	494					
	$I_{spta,\alpha}$ ved $z_{pii,\alpha}$ eller $z_{sii,\alpha}$ (mW/cm^2)	13,3					
	I_{spta} ved z_{pii} eller z_{sii} (mW/cm^2)	19,4					
	p_r ved z_{pii} (MPa)	3,81					
Drifts-kontroller	Undersøgelsestype	Ven					
	Optimering	Res					
	Dybde (cm)	3,3					
	MB	Ikke relevant					
	Nålevisning	Til					

(a) Dette indeks er ikke påkrævet til denne billeddannelsestilstand. Værdien er < 1 .

(b) Denne transducer er ikke beregnet til transkraniel eller neonatal cephal brug.

Der er ikke rapporteret data for denne billeddannelsestype, da indekssværdien for det globale maksimum på grund af den angivne årsag ikke er rapporteret. (Se linjen for globalt maksimum, indekssværdi).

— Der findes ingen data for denne transducer/tilstand.

Tabel 22: Transducermodel: HFL38xi Billeddannelsestype: M Mode

Indeksbetegnelse		MI	TIS		TIB		TIC
			På overfladen	Under overfladen	På overfladen	Under overfladen	På overfladen
Maksimal indekssværdi		1,12	(a)		(a)		(b)
Indekskomponentværdi			#	#	#	#	
Akustiske parametre	$p_{r,\alpha}$ ved z_{MI} (MPa)	3,14					
	P (mW)		#		#		#
	P_{1x1} (mW)		#		#		
	z_s (cm)			#			
	z_b (cm)					#	
	z_{MI} (cm)	1,4					
	$z_{pii,\alpha}$ (cm)	1,4					
	f_{awf} (MHz)	6,75	#		#		#
Andre oplysninger	p_{rr} (Hz)	1600					
	s_{rr} (Hz)	–					
	n_{pps}	1					
	$I_{pa,\alpha}$ ved $z_{pii,\alpha}$ (W/cm^2)	388					
	$I_{spta,\alpha}$ ved $z_{pii,\alpha}$ eller $z_{sii,\alpha}$ (mW/cm^2)	163,2					
	I_{spta} ved z_{pii} eller z_{sii} (mW/cm^2)	333,3					
	p_r ved z_{pii} (MPa)	4,35					
Drifts-kontroller	Undersøgelsestype	Nrv					
	Optimering	Pen					
	Dybde (cm)	4,0					

(a) Dette indeks er ikke påkrævet til denne billeddannelsestilstand. Værdien er < 1.

(b) Denne transducer er ikke beregnet til transkraniel eller neonatal cephal brug.

Der er ikke rapporteret data for denne billeddannelsestype, da indekssværdien for det globale maksimum på grund af den angivne årsag ikke er rapporteret. (Se linjen for globalt maksimum, indekssværdi).

— Der findes ingen data for denne transducer/tilstand.

Tabel 23: Transducermodel: HFL38xi Billeddannelsestype: Color/CPD

Indeksbetegnelse	MI	TIS		TIB		TIC
		På overfladen	Under overfladen	På overfladen	Under overfladen	På overfladen
Maksimal indekssværdi	1,3	(a)		(a)		(b)
Indekskomponentværdi		#	#	#	#	
Akustiske parametre	$p_{r,\alpha}$ ved z_{MI} (MPa)	3,05				
	P (mW)		#	#	#	#
	$P_{1 \times 1}$ (mW)		#	#	#	
	z_s (cm)			-		
	z_b (cm)				-	
	z_{MI} (cm)	1,2				
	$z_{pii,\alpha}$ (cm)	1,2				
	f_{awf} (MHz)	5,36	#		#	#
Andre oplysninger	p_{rr} (Hz)	2223				
	s_{rr} (Hz)	3,3				
	n_{pps}	14				
	$I_{pa,\alpha}$ ved $z_{pii,\alpha}$ (W/cm^2)	494				
	$I_{spta,\alpha}$ ved $z_{pii,\alpha}$ eller $z_{sii,\alpha}$ (mW/cm^2)	27,4				
	I_{spta} ved z_{pii} eller z_{sii} (mW/cm^2)	40,1				
	p_r ved z_{pii} (MPa)	3,81				
Drifts-kontroller	Undersøgelsestype	SmP				
	Type	CVD				
	2D-optimering/dybde (cm)	Res/3,3				
	Farveoptimering/PRF (Hz)	Lav/401				
	Farveboksposition/-størrelse	Def/def				

(a) Dette indeks er ikke påkrævet til denne billeddannelsestilstand. Værdien er < 1.

(b) Denne transducer er ikke beregnet til transkraniel eller neonatal cephal brug.

Der er ikke rapporteret data for denne billeddannelsestype, da indekssværdien for det globale maksimum på grund af den angivne årsag ikke er rapporteret. (Se linjen for globalt maksimum, indekssværdi).

— Der findes ingen data for denne transducer/tilstand.

Tabel 24: Transducermodel: HFL38xi Billeddannelsestype: PW-doppler

Indeksbetegnelse		MI	TIS		TIB		TIC
			På overfladen	Under overfladen	På overfladen	Under overfladen	På overfladen
Maksimal indekssværdi		1,2	1,1		2,2		(b)
Indekskomponentværdi			1,1	0,8	1,1	2,2	
Akustiske parametre	$p_{r,\alpha}$ ved z_{MI} (MPa)	2,69					
	P (mW)		47,7		47,7		#
	$P_{1 \times 1}$ (mW)		47,7		47,7		
	z_s (cm)			1,1			
	z_b (cm)					1,10	
	z_{MI} (cm)	1,0					
	$z_{pii,\alpha}$ (cm)	1,0					
	f_{awf} (MHz)	5,34	4,86		4,86		#
Andre oplysninger	p_{rr} (Hz)	1008					
	s_{rr} (Hz)	—					
	η_{pps}	1					
	$I_{pa,\alpha}$ ved $z_{pii,\alpha}$ (W/cm^2)	308					
	$I_{spta,\alpha}$ ved $z_{pii,\alpha}$ eller $z_{sii,\alpha}$ (mW/cm^2)	102,8					
	I_{spta} ved z_{pii} eller z_{sii} (mW/cm^2)	210,0					
	p_r ved z_{pii} (MPa)	3,23					
Drifts-kontroller	Undersøgelsestype	Nrv	Art		Art		
	Prøvevolumenstørrelse (mm)	1	1		1		
	Prøvevolumenposition	Zone 3	Zone 7		Zone 7		
	PRF (Hz)	1008	3125		3125		

(a) Dette indeks er ikke påkrævet til denne billeddannelsestilstand. Værdien er <1.

(b) Denne transducer er ikke beregnet til transkraniel eller neonatal cephal brug.

Der er ikke rapporteret data for denne billeddannelsestype, da indekssværdien for det globale maksimum på grund af den angivne årsag ikke er rapporteret. (Se linjen for globalt maksimum, indekssværdi).

— Der findes ingen data for denne transducer/tilstand.

Tabel 25: Transducermodel: HFL50x Billeddannelsestype: 2D

Indeksbetegnelse		MI	TIS		TIB		TIC
			På overfladen	Under overfladen	På overfladen	Under overfladen	På overfladen
Maksimal indeksværdi		1,3	(a)		(a)		(b)
Indekskomponentværdi			#	#	#	#	
Akustiske parametre	$p_{r,\alpha}$ ved z_{MI} (MPa)	3,051					
	P (mW)		#		#		#
	$P_{1 \times 1}$ (mW)		#		#		
	z_s (cm)			—			
	z_b (cm)					—	
	z_{MI} (cm)	1,2					
	$z_{pii,\alpha}$ (cm)	1,2					
	f_{awf} (MHz)	5,36	#		#		#
Andre oplysninger	pr_r (Hz)	2733					
	srr (Hz)	7,2					
	η_{pps}	1					
	$I_{pa,\alpha}$ ved $z_{pii,\alpha}$ (W/cm^2)	493					
	$I_{spta,\alpha}$ ved $z_{pii,\alpha}$ eller $z_{sii,\alpha}$ (mW/cm^2)	8,6					
	I_{spta} ved z_{pii} eller z_{sii} (mW/cm^2)	12,6					
	p_r ved z_{pii} (MPa)	3,81					
Drifts-kontroller	Undersøgelsestype	Alle					
	Optimering	Alle					
	Dybde (cm)	3,3					
	Mbe	Til					

(a) Dette indeks er ikke påkrævet til denne billeddannelsestilstand. Værdien er <1.

(b) Denne transducer er ikke beregnet til transkraniel eller neonatal cephal brug.

Der er ikke rapporteret data for denne billeddannelsestype, da indeksværdien for det globale maksimum på grund af den angivne årsag ikke er rapporteret. (Se linjen for globalt maksimum, indeksværdi).

— Der findes ingen data for denne transducer/tilstand.

Tabel 26: Transducermodel: HFL50x Billeddannelsestype: M Mode

Indeksbetegnelse		MI	TIS		TIB		TIC
			På overfladen	Under overfladen	På overfladen	Under overfladen	På overfladen
Maksimal indekssværdi		1,2	(a)		(a)		(b)
Indekskomponentværdi			#	#	#	#	
Akustiske parametre	$p_{r,\alpha}$ ved z_{MI} (MPa)	3,14					
	P (mW)		#		#		#
	$P_{1 \times 1}$ (mW)		#		#		
	z_s (cm)			#			
	z_b (cm)					#	
	z_{MI} (cm)	1,4					
	$z_{pii,\alpha}$ (cm)	1,4					
	f_{awf} (MHz)	6,75	#		#		#
Andre oplysninger	p_{rr} (Hz)	1600					
	s_{rr} (Hz)	–					
	n_{pps}	1					
	$I_{pa,\alpha}$ ved $z_{pii,\alpha}$ (W/cm^2)	388					
	$I_{spta,\alpha}$ ved $z_{pii,\alpha}$ eller $z_{sii,\alpha}$ (mW/cm^2)	163,2					
	I_{spta} ved z_{pii} eller z_{sii} (mW/cm^2)	333,3					
	p_r ved z_{pii} (MPa)	4,35					
Drifts-kontroller	Undersøgelsestype	Alle					
	Optimering	Pen					
	Dybde (cm)	4					

(a) Dette indeks er ikke påkrævet til denne billeddannelsestilstand. Værdien er < 1.

(b) Denne transducer er ikke beregnet til transkraniel eller neonatal cephal brug.

Der er ikke rapporteret data for denne billeddannelsestype, da indekssværdien for det globale maksimum på grund af den angivne årsag ikke er rapporteret. (Se linjen for globalt maksimum, indekssværdi).

— Der findes ingen data for denne transducer/tilstand.

Tabel 27: Transducermodel: HFL50x Billeddannelsestype: Color

Indeksbetegnelse	MI	TIS		TIB		TIC
		På overfladen	Under overfladen	På overfladen	Under overfladen	På overfladen
Maksimal indeksværdi	1,3	(a)		(a)		(b)
Indekskomponentværdi		#	#	#	#	
Akustiske parametre	$p_{r,\alpha}$ ved z_{MI} (MPa)	3,05				
	P (mW)		#	#	#	#
	$P_{1 \times 1}$ (mW)		#	#	#	
	z_s (cm)			—		
	z_b (cm)				—	
	z_{MI} (cm)	1,2				
	$z_{pii,\alpha}$ (cm)	1,2				
	f_{awf} (MHz)	5,36	#		#	#
Andre oplysninger	p_{rr} (Hz)	8233				
	s_{rr} (Hz)	3,2				
	n_{pps}	14				
	$I_{pa,\alpha}$ ved $z_{pii,\alpha}$ (W/cm^2)	494				
	$I_{spta,\alpha}$ ved $z_{pii,\alpha}$ eller $z_{sii,\alpha}$ (mW/cm^2)	26,8				
	I_{spta} ved z_{pii} eller z_{sii} (mW/cm^2)	39,2				
	p_r ved z_{pii} (MPa)	3,81				
Drifts-kontroller	Undersøgelsestype	Alle				
	Type	Alle				
	Optimering/dybde (cm)	Lav/3,3				
	PRF (Hz)	Alle				

(a) Dette indeks er ikke påkrævet til denne billeddannelsestilstand. Værdien er <1.

(b) Denne transducer er ikke beregnet til transkraniel eller neonatal cephal brug.

Der er ikke rapporteret data for denne billeddannelsestype, da indeksværdien for det globale maksimum på grund af den angivne årsag ikke er rapporteret. (Se linjen for globalt maksimum, indeksværdi).

— Der findes ingen data for denne transducer/tilstand.

Tabel 28: Transducermodel: HFL50x Billeddannelsestype: PW-doppler

Indeksbetegnelse		MI	TIS		TIB		TIC
			På overfladen	Under overfladen	På overfladen	Under overfladen	På overfladen
Maksimal indekssværdi		1,2	1,1		1,9		(b)
Indekskomponentværdi			1,1	0,7	1,1	1,9	
Akustiske parametre	$p_{r,\alpha}$ ved z_{MI} (MPa)	2,69					
	P (mW)		42,6		42,6		#
	P_{1x1} (mW)		42,6		42,6		
	z_s (cm)			1,1			
	z_b (cm)					1,10	
	z_{MI} (cm)	1,0					
	$z_{pii,\alpha}$ (cm)	1,0					
	f_{awf} (MHz)	5,34	5,34		5,34		#
Andre oplysninger	p_{rr} (Hz)	1008					
	s_{rr} (Hz)	—					
	η_{pps}	1					
	$I_{pa,\alpha}$ ved $z_{pii,\alpha}$ (W/cm^2)	308					
	$I_{spta,\alpha}$ ved $z_{pii,\alpha}$ eller $z_{sii,\alpha}$ (mW/cm^2)	399,6					
	I_{spta} ved z_{pii} eller z_{sii} (mW/cm^2)	599,8					
	p_r ved z_{pii} (MPa)	3,23					
Drifts-kontroller	Undersøgelsestype	Alle	Alle		Alle		
	Prøvevolumenstørrelse (mm)	1	1		1		
	Prøvevolumenposition	Zone 3	Zone 7		Zone 7		
	PRF (Hz)	1008	1563 – 3125		1563 – 3125		

(a) Dette indeks er ikke påkrævet til denne billeddannelsestilstand. Værdien er <1.

(b) Denne transducer er ikke beregnet til transkraniel eller neonatal cephal brug.

Der er ikke rapporteret data for denne billeddannelsestype, da indekssværdien for det globale maksimum på grund af den angivne årsag ikke er rapporteret. (Se linjen for globalt maksimum, indekssværdi).

— Der findes ingen data for denne transducer/tilstand.

Tabel 29: Transducermodel: HSL25x (oftalmisk anvendelse) Billeddannelsestype: 2D

Indeksbetegnelse		MI	TIS		TIB		TIC
			På overfladen	Under overfladen	På overfladen	Under overfladen	På overfladen
Maksimal indeksværdi		0,17	0,02		0,02		(b)
Indekskomponentværdi			0,02	0,02	0,02	0,02	
Akustiske parametre	$p_{r,\alpha}$ ved z_{MI} (MPa)	0,47					
	P (mW)		1,62		1,62		#
	$P_{1 \times 1}$ (mW)		0,70		0,70		
	z_s (cm)			–			
	z_b (cm)					–	
	z_{MI} (cm)	0,8					
	$z_{pii,\alpha}$ (cm)	0,8					
	f_{awf} (MHz)	7,65	6,97		6,97		#
Andre oplysninger	pr_r (Hz)	12.580					
	srr (Hz)	12,3					
	n_{pps}	4					
	$I_{pa,\alpha}$ ved $z_{pii,\alpha}$ (W/cm^2)	13,4					
	$I_{spta,\alpha}$ ved $z_{pii,\alpha}$ eller $z_{sii,\alpha}$ (mW/cm^2)	0,6					
	I_{spta} ved z_{pii} eller z_{sii} (mW/cm^2)	1,0					
	p_r ved z_{pii} (MPa)	0,58					
Drifts-kontroller	Undersøgelsestype	Oph	Oph		Oph		
	Optimering	Res	Pen		Pen		
	Dybde (cm)	1,9	4,3		4,3		
	MB	Til	Til		Til		

(a) Dette indeks er ikke påkrævet til denne billeddannelsestilstand. Værdien er <1.

(b) Denne transducer er ikke beregnet til transkraniel eller neonatal cephal brug.

Der er ikke rapporteret data for denne billeddannelsestype, da indeksværdien for det globale maksimum på grund af den angivne årsag ikke er rapporteret. (Se linjen for globalt maksimum, indeksværdi).

— Der findes ingen data for denne transducer/tilstand.

Tabel 30: Transducermodel: HSL25x (oftalmisk anvendelse) Billeddannelsestype: M Mode

Indeksbetegnelse		MI	TIS		TIB		TIC
			På overfladen	Under overfladen	På overfladen	Under overfladen	På overfladen
Maksimal indekssværdi		0,17	0,01		0,02		(b)
Indekskomponentværdi			0,010	0,009	0,013	0,020	
Akustiske parametre	$p_{r,\alpha}$ ved z_{MI} (MPa)	0,47					
	P (mW)		0,45		0,45		#
	$P_{1 \times 1}$ (mW)		0,45		0,45		
	z_s (cm)			0,9			
	z_b (cm)					0,85	
	z_{MI} (cm)	1,0					
	$z_{pii,\alpha}$ (cm)	1,0					
	f_{awf} (MHz)	7,59	6,25		6,25		#
Andre oplysninger	p_{rr} (Hz)	1600					
	s_{rr} (Hz)	–					
	n_{pps}	1					
	$I_{pa,\alpha}$ ved $z_{pii,\alpha}$ (W/cm^2)	14,9					
	$I_{spta,\alpha}$ ved $z_{pii,\alpha}$ eller $z_{sii,\alpha}$ (mW/cm^2)	2,3					
	I_{spta} ved z_{pii} eller z_{sii} (mW/cm^2)	4,0					
	p_r ved z_{pii} (MPa)	0,61					
Drifts-kontroller	Undersøgelsestype	Oph	Oph		Oph		
	Optimering	Res	Pen		Pen		
	Dybde (cm)	1,9	4,3		4,3		

(a) Dette indeks er ikke påkrævet til denne billeddannelsestilstand. Værdien er < 1.

(b) Denne transducer er ikke beregnet til transkraniel eller neonatal cephal brug.

Der er ikke rapporteret data for denne billeddannelsestype, da indekssværdien for det globale maksimum på grund af den angivne årsag ikke er rapporteret. (Se linjen for globalt maksimum, indekssværdi).

— Der findes ingen data for denne transducer/tilstand.

Tabel 31: Transducermodel: HSL25x (oftalmisk anvendelse) Billeddannelsestype: Color/CPD

Indeksbetegnelse	MI	TIS		TIB		TIC
		På overfladen	Under overfladen	På overfladen	Under overfladen	På overfladen
Maksimal indekssværdi	0,17	0,06		0,06		(b)
Indekskomponentværdi		0,06	0,06	0,06	0,06	
Akustiske parametre	$p_{r,\alpha}$ ved z_{MI} (MPa)	0,42				
	P (mW)		2,9	2,9		#
	$P_{1 \times 1}$ (mW)		1,9	1,9		
	z_s (cm)		—			
	z_b (cm)				—	
	z_{MI} (cm)	0,7				
	$z_{pii,\alpha}$ (cm)	0,7				
	f_{awf} (MHz)	6,11	6,10	6,10		#
Andre oplysninger	p_{rr} (Hz)	3096				
	s_{rr} (Hz)	8,1				
	n_{pps}	14				
	$I_{pa,\alpha}$ ved $z_{pii,\alpha}$ (W/cm^2)	7,5				
	$I_{spta,\alpha}$ ved $z_{pii,\alpha}$ eller $z_{sii,\alpha}$ (mW/cm^2)	1,1				
	I_{spta} ved z_{pii} eller z_{sii} (mW/cm^2)	1,6				
	p_r ved z_{pii} (MPa)	0,49				
Drifts-kontroller	Undersøgelsestype	Oph	Oph	Oph		
	Type	CVD	CVD	CVD		
	2D-optimering/dybde (cm)	Pen/1,9	Pen/5,1	Pen/5,1		
	Farveoptimering/PRF (Hz)	Lav/401	Med/4167	Med/4167		
	Farveboksposition/-størrelse	Def/def	Top/kort-bred	Top/kort-bred		

(a) Dette indeks er ikke påkrævet til denne billeddannelsestilstand. Værdien er < 1.
 (b) Denne transducer er ikke beregnet til transkraniel eller neonatal cephal brug.
 # Der er ikke rapporteret data for denne billeddannelsestype, da indekssværdien for det globale maksimum på grund af den angivne årsag ikke er rapporteret. (Se linjen for globalt maksimum, indekssværdi).
 — Der findes ingen data for denne transducer/tilstand.

Tabel 32: Transducermodel: HSL25x (oftalmisk anvendelse) Billeddannelsestype: PW-doppler

Indeksbetegnelse		MI	TIS		TIB		TIC
			På overfladen	Under overfladen	På overfladen	Under overfladen	På overfladen
Maksimal indeksværdi		0,18	0,12		0,21		(b)
Indeks-komponentværdi			0,12	0,08	0,12	0,21	
Akustiske parametre	$p_{r,\alpha}$ ved z_{MI} (MPa)	0,44					
	P (mW)		4,0		4,0		#
	P_{1x1} (mW)		4,0		4,0		
	z_s (cm)			0,9			
	z_b (cm)					0,80	
	z_{MI} (cm)	1,2					
	$z_{pii,\alpha}$ (cm)	1,2					
	f_{awf} (MHz)	6,03	6,03		6,03		#
Andre oplysninger	p_{rr} (Hz)	1953					
	s_{rr} (Hz)	—					
	n_{pps}	1					
	$I_{pa,\alpha}$ ved $z_{pii,\alpha}$ (W/cm^2)	7,4					
	$I_{spta,\alpha}$ ved $z_{pii,\alpha}$ eller $z_{sii,\alpha}$ (mW/cm^2)	18,4					
	I_{spta} ved z_{pii} eller z_{sii} (mW/cm^2)	44,9					
	p_r ved z_{pii} (MPa)	0,56					
Drifts-kontroller	Undersøgelsestype	Oph	Oph		Oph		
	Prøvevolumenstørrelse (mm)	1	1		1		
	Prøvevolumenposition	Zone 7	Zone 7		Zone 7		
	PRF (Hz)	1953	5208		5208		

(a) Dette indeks er ikke påkrævet til denne billeddannelsestilstand. Værdien er <1.

(b) Denne transducer er ikke beregnet til transkraniel eller neonatal cephal brug.

Der er ikke rapporteret data for denne billeddannelsestype, da indeksværdien for det globale maksimum på grund af den angivne årsag ikke er rapporteret. (Se linjen for globalt maksimum, indeksværdi).

— Der findes ingen data for denne transducer/tilstand.

Tabel 33: Transducermodel: HSL25x Billeddannelsestype: 2D

Indeksbetegnelse	MI	TIS		TIB		TIC
		På overfladen	Under overfladen	På overfladen	Under overfladen	På overfladen
Maksimal indeksværdi	1,2	(a)		(a)		(b)
Indekskomponentværdi		#	#	#	#	
Akustiske parametre	$p_{r,\alpha}$ ved z_{MI} (MPa)	2,87				
	P (mW)		#	#		#
	$P_{1 \times 1}$ (mW)		#	#		
	z_s (cm)			-		
	z_b (cm)				-	
	z_{MI} (cm)	0,8				
	$z_{pii,\alpha}$ (cm)	0,8				
	f_{awf} (MHz)	6,11	#		#	#
Andre oplysninger	p_{rr} (Hz)	1061				
	s_{rr} (Hz)	13,0				
	η_{pps}	1				
	$I_{pa,\alpha}$ ved $z_{pii,\alpha}$ (W/cm^2)	478				
	$I_{spta,\alpha}$ ved $z_{pii,\alpha}$ eller $z_{sii,\alpha}$ (mW/cm^2)	12,2				
	I_{spta} ved z_{pii} eller z_{sii} (mW/cm^2)	16,4				
	p_r ved z_{pii} (MPa)	3,39				
Drifts-kontroller	Undersøgelsestype	Nrv/Msk/ Ven/Art				
	Optimering	Alle				
	Dybde (cm)	1,9 – 2,2				
	Mbe	Til				

(a) Dette indeks er ikke påkrævet til denne billeddannelsestilstand. Værdien er <1.
(b) Denne transducer er ikke beregnet til transkraniel eller neonatal cephal brug.
Der er ikke rapporteret data for denne billeddannelsestype, da indeksværdien for det globale maksimum på grund af den angivne årsag ikke er rapporteret. (Se linjen for globalt maksimum, indeksværdi).
— Der findes ingen data for denne transducer/tilstand.

Tabel 34: Transducermodel: HSL25x Billeddannelsestype: Color/CPD

Indeksbetegnelse		MI	TIS		TIB		TIC
			På overfladen	Under overfladen	På overfladen	Under overfladen	På overfladen
Maksimal indekssværdi		1,0	(a)		(a)		(b)
Indekskomponentværdi			#	#	#	#	
Akustiske parametre	$p_{r,\alpha}$ ved z_{MI} (MPa)	2,35					
	P (mW)		#		#		#
	$P_{1 \times 1}$ (mW)		#		#		
	z_s (cm)			—			
	z_b (cm)					—	
	z_{MI} (cm)	0,8					
	$z_{pii,\alpha}$ (cm)	0,8					
	f_{awf} (MHz)	6,11	#		#		#
Andre oplysninger	p_{rr} (Hz)	3079					
	s_{rr} (Hz)	8,0					
	n_{pps}	14					
	$I_{pa,\alpha}$ ved $z_{pii,\alpha}$ (W/cm^2)	276					
	$I_{spta,\alpha}$ ved $z_{pii,\alpha}$ eller $z_{sii,\alpha}$ (mW/cm^2)	47,6					
	I_{spta} ved z_{pii} eller z_{sii} (mW/cm^2)	63,9					
	p_r ved z_{pii} (MPa)	2,78					
Drifts-kontroller	Undersøgelsestype	Sup					
	Type	CVD					
	2D-optimering/dybde (cm)	Pen/3,1					
	Farveoptimering/PRF (Hz)	Lav/401					
	Farveboksposition/-størrelse	Def/def					

(a) Dette indeks er ikke påkrævet til denne billeddannelsestilstand. Værdien er < 1.

(b) Denne transducer er ikke beregnet til transkraniel eller neonatal cephal brug.

Der er ikke rapporteret data for denne billeddannelsestype, da indekssværdien for det globale maksimum på grund af den angivne årsag ikke er rapporteret. (Se linjen for globalt maksimum, indekssværdi).

— Der findes ingen data for denne transducer/tilstand.

Tabel 35: Transducermodel: HSL25x Billeddannelsestype: PW-doppler

Indeksbetegnelse		MI	TIS		TIB		TIC
			På overfladen	Under overfladen	På overfladen	Under overfladen	På overfladen
Maksimal indeksværdi		(a)	(a)		1,5		(b)
Indekskomponentværdi			#	#	0,8	1,5	
Akustiske parametre	$p_{r,\alpha}$ ved z_{MI} (MPa)	#					
	P (mW)		#		28,1		#
	$P_{1 \times 1}$ (mW)		#		28,1		
	z_s (cm)			#			
	z_b (cm)					0,75	
	z_{MI} (cm)	#					
	$z_{pii,\alpha}$ (cm)	#					
	f_{awf} (MHz)	#	#		6,00		#
Andre oplysninger	pr_r (Hz)	#					
	srr (Hz)	#					
	η_{pps}	#					
	$I_{pa,\alpha}$ ved $z_{pii,\alpha}$ (W/cm^2)	#					
	$I_{spta,\alpha}$ ved $z_{pii,\alpha}$ eller $z_{sii,\alpha}$ (mW/cm^2)	#					
	I_{spta} ved z_{pii} eller z_{sii} (mW/cm^2)	#					
	p_r ved z_{pii} (MPa)	#					
	Drifts-kontroller						
Undersøgelsestype				Nrv			
Prøvevolumenstørrelse (mm)				8			
Prøvevolumenposition				Zone 7			
PRF (Hz)				1953			

(a) Dette indeks er ikke påkrævet til denne billeddannelsestilstand. Værdien er <1.

(b) Denne transducer er ikke beregnet til transkraniel eller neonatal cephal brug.

Der er ikke rapporteret data for denne billeddannelsestype, da indeksværdien for det globale maksimum på grund af den angivne årsag ikke er rapporteret. (Se linjen for globalt maksimum, indeksværdi).

— Der findes ingen data for denne transducer/tilstand.

Tabel 36: Transducermodel: ICTx Billeddannelsestype: PW-doppler

Indeksbetegnelse		MI	TIS		TIB		TIC
			På overfladen	Under overfladen	På overfladen	Under overfladen	På overfladen
Maksimal indekssværdi		(a)	(a)		1,2		(b)
Indekskomponentværdi			#	#	0,3	1,2	
Akustiske parametre	$p_{r,\alpha}$ ved z_{MI} (MPa)	#					
	P (mW)		#		16,3		#
	P_{1x1} (mW)		#		16,3		
	z_s (cm)			#			
	z_b (cm)					1,60	
	z_{MI} (cm)	#					
	$z_{pii,\alpha}$ (cm)	#					
	f_{awf} (MHz)	#	#		4,36		#
Andre oplysninger	pr (Hz)	#					
	srr (Hz)	#					
	η_{pps}	#					
	$I_{pa,\alpha}$ ved $z_{pii,\alpha}$ (W/cm^2)	#					
	$I_{spta,\alpha}$ ved $z_{pii,\alpha}$ eller $z_{sii,\alpha}$ (mW/cm^2)	#					
	I_{spta} ved z_{pii} eller z_{sii} (mW/cm^2)	#					
	p_r ved z_{pii} (MPa)	#					
Drifts-kontroller	Undersøgelsestype				Alle		
	Prøvevolumenstørrelse (mm)				3		
	Prøvevolumenposition				Zone 1		
	PRF (Hz)				Alle		

(a) Dette indeks er ikke påkrævet til denne billeddannelsestilstand. Værdien er <1.

(b) Denne transducer er ikke beregnet til transkraniel eller neonatal cephal brug.

Der er ikke rapporteret data for denne billeddannelsestype, da indekssværdien for det globale maksimum på grund af den angivne årsag ikke er rapporteret. (Se linjen for globalt maksimum, indekssværdi).

— Der findes ingen data for denne transducer/tilstand.

Tabel 37: Transducermodel: L25x (oftalmisk anvendelse) Billeddannelsestype: 2D

Indeksbetegnelse		MI	TIS		TIB		TIC
			På overfladen	Under overfladen	På overfladen	Under overfladen	På overfladen
Maksimal indeksværdi		0,17	0,02		0,02		(b)
Indekskomponentværdi			0,02	0,02	0,02	0,02	
Akustiske parametre	$p_{r,\alpha}$ ved z_{MI} (MPa)	0,47					
	P (mW)		1,62		1,62		#
	$P_{1 \times 1}$ (mW)		0,70		0,70		
	z_s (cm)			–			
	z_b (cm)					–	
	z_{MI} (cm)	0,8					
	$z_{pii,\alpha}$ (cm)	0,8					
	f_{awf} (MHz)	7,65	6,97		6,97		#
Andre oplysninger	pr_r (Hz)	12.580					
	srr (Hz)	12,3					
	n_{pps}	4					
	$I_{pa,\alpha}$ ved $z_{pii,\alpha}$ (W/cm^2)	13,4					
	$I_{spta,\alpha}$ ved $z_{pii,\alpha}$ eller $z_{sii,\alpha}$ (mW/cm^2)	0,6					
	I_{spta} ved z_{pii} eller z_{sii} (mW/cm^2)	1,0					
	p_r ved z_{pii} (MPa)	0,58					
Drifts-kontroller	Undersøgelsestype	Oph	Oph		Oph		
	Optimering	Res	Pen		Pen		
	Dybde (cm)	1,9	4,3		4,3		
	MB	Til	Til		Til		

(a) Dette indeks er ikke påkrævet til denne billeddannelsestilstand. Værdien er <1.

(b) Denne transducer er ikke beregnet til transkraniel eller neonatal cephal brug.

Der er ikke rapporteret data for denne billeddannelsestype, da indeksværdien for det globale maksimum på grund af den angivne årsag ikke er rapporteret. (Se linjen for globalt maksimum, indeksværdi).

— Der findes ingen data for denne transducer/tilstand.

Tabel 38: Transducermodel: L25x (oftalmisk anvendelse) Billeddannelsestype: M Mode

Indeksbetegnelse		MI	TIS		TIB		TIC
			På overfladen	Under overfladen	På overfladen	Under overfladen	På overfladen
Maksimal indekssværdi		0,17	0,010		0,020		(b)
Indekskomponentværdi			0,010	0,009	0,013	0,020	
Akustiske parametre	$p_{r,\alpha}$ ved z_{MI} (MPa)	0,47					
	P (mW)		0,45		0,45		#
	$P_{1 \times 1}$ (mW)		0,45		0,45		
	z_s (cm)			0,9			
	z_b (cm)					0,85	
	z_{MI} (cm)	1,0					
	$z_{pii,\alpha}$ (cm)	1,0					
	f_{awf} (MHz)	7,59	6,25		6,25		#
Andre oplysninger	p_{rr} (Hz)	1600					
	s_{rr} (Hz)	–					
	n_{pps}	1					
	$I_{pa,\alpha}$ ved $z_{pii,\alpha}$ (W/cm^2)	14,9					
	$I_{spta,\alpha}$ ved $z_{pii,\alpha}$ eller $z_{sii,\alpha}$ (mW/cm^2)	2,3					
	I_{spta} ved z_{pii} eller z_{sii} (mW/cm^2)	4,0					
	p_r ved z_{pii} (MPa)	0,61					
Drifts-kontroller	Undersøgelsestype	Oph	Oph		Oph		
	Optimering	Res	Pen		Pen		
	Dybde (cm)	1,9	4,3		4,3		

(a) Dette indeks er ikke påkrævet til denne billeddannelsestilstand. Værdien er < 1 .

(b) Denne transducer er ikke beregnet til transkraniel eller neonatal cephal brug.

Der er ikke rapporteret data for denne billeddannelsestype, da indekssværdien for det globale maksimum på grund af den angivne årsag ikke er rapporteret. (Se linjen for globalt maksimum, indekssværdi).

— Der findes ingen data for denne transducer/tilstand.

Tabel 39: Transducermodel: L25x (oftalmisk anvendelse) Billeddannelsestype: Color/CPD

Indeksbetegnelse	MI	TIS		TIB		TIC
		På overfladen	Under overfladen	På overfladen	Under overfladen	På overfladen
Maksimal indeksværdi	0,17	0,06		0,06		(b)
Indekskomponentværdi		0,06	0,06	0,06	0,06	
Akustiske parametre	$p_{r,\alpha}$ ved z_{MI} (MPa)	0,42				
	P (mW)		2,9	2,9		#
	$P_{1 \times 1}$ (mW)		1,9	1,9		
	z_s (cm)		–			
	z_b (cm)				–	
	z_{MI} (cm)	0,7				
	$z_{pii,\alpha}$ (cm)	0,7				
	f_{awf} (MHz)	6,11	6,10		6,10	
Andre oplysninger	p_{rr} (Hz)	3096				
	s_{rr} (Hz)	8,1				
	n_{pps}	14				
	$I_{pa,\alpha}$ ved $z_{pii,\alpha}$ (W/cm^2)	7,5				
	$I_{spta,\alpha}$ ved $z_{pii,\alpha}$ eller $z_{sii,\alpha}$ (mW/cm^2)	1,1				
	I_{spta} ved z_{pii} eller z_{sii} (mW/cm^2)	1,6				
	p_r ved z_{pii} (MPa)	0,49				
Drifts-kontroller	Undersøgelsestype	Oph	Oph	Oph		
	Type	CVD	CVD	CVD		
	2D-optimering/dybde (cm)	Pen/1,9	Pen/5,1	Pen/5,1		
	Farveoptimering/PRF (Hz)	Lav/401	Med/4167	Med/4167		
	Farveboksposition/-størrelse	Def/def	Top/kort-bred	Top/kort-bred		

(a) Dette indeks er ikke påkrævet til denne billeddannelsestilstand. Værdien er < 1.

(b) Denne transducer er ikke beregnet til transkraniel eller neonatal cephal brug.

Der er ikke rapporteret data for denne billeddannelsestype, da indeksværdien for det globale maksimum på grund af den angivne årsag ikke er rapporteret. (Se linjen for globalt maksimum, indeksværdi).

— Der findes ingen data for denne transducer/tilstand.

Tabel 40: Transducermodel: L25x (oftalmisk anvendelse) Billeddannelsestype: PW-doppler

Indeksbetegnelse		MI	TIS		TIB		TIC
			På overfladen	Under overfladen	På overfladen	Under overfladen	På overfladen
Maksimal indeksværdi		0,18	0,12		0,21		(b)
Indekskomponentværdi			0,12	0,08	0,12	0,21	
Akustiske parametre	$p_{r,\alpha}$ ved z_{MI} (MPa)	0,44					
	P (mW)		4,0		4,0		#
	P_{1x1} (mW)		4,0		4,0		
	z_s (cm)			0,9			
	z_b (cm)					0,80	
	z_{MI} (cm)	1,2					
	$z_{pii,\alpha}$ (cm)	1,2					
	f_{awf} (MHz)	6,03	6,03		6,03		#
Andre oplysninger	p_{rr} (Hz)	1953					
	s_{rr} (Hz)	—					
	n_{pps}	1					
	$I_{pa,\alpha}$ ved $z_{pii,\alpha}$ (W/cm^2)	7,4					
	$I_{spta,\alpha}$ ved $z_{pii,\alpha}$ eller $z_{sii,\alpha}$ (mW/cm^2)	18,4					
	I_{spta} ved z_{pii} eller z_{sii} (mW/cm^2)	44,9					
	p_r ved z_{pii} (MPa)	0,56					
Drifts-kontroller	Undersøgelsestype	Oph	Oph		Oph		
	Prøvevolumenstørrelse (mm)	1	1		1		
	Prøvevolumenposition	Zone 7	Zone 7		Zone 7		
	PRF (Hz)	1953	5208		5208		

(a) Dette indeks er ikke påkrævet til denne billeddannelsestilstand. Værdien er <1.

(b) Denne transducer er ikke beregnet til transkraniel eller neonatal cephal brug.

Der er ikke rapporteret data for denne billeddannelsestype, da indeksværdien for det globale maksimum på grund af den angivne årsag ikke er rapporteret. (Se linjen for globalt maksimum, indeksværdi).

— Der findes ingen data for denne transducer/tilstand.

Tabel 41: Transducermodel: L25x Billeddannelsestype: 2D

Indeksbetegnelse		MI	TIS		TIB		TIC
			På overfladen	Under overfladen	På overfladen	Under overfladen	På overfladen
Maksimal indeksværdi		1,2	(a)		(a)		(b)
Indekskomponentværdi			#	#	#	#	
Akustiske parametre	$p_{r,\alpha}$ ved z_{MI} (MPa)	2,87					
	P (mW)		#		#		#
	$P_{1 \times 1}$ (mW)		#		#		
	z_s (cm)			–			
	z_b (cm)					–	
	z_{MI} (cm)	0,8					
	$z_{pii,\alpha}$ (cm)	0,8					
	f_{awf} (MHz)	6,11	#		#		#
Andre oplysninger	p_{rr} (Hz)	1061					
	s_{rr} (Hz)	13,0					
	η_{pps}	1					
	$I_{pa,\alpha}$ ved $z_{pii,\alpha}$ (W/cm^2)	478					
	$I_{spta,\alpha}$ ved $z_{pii,\alpha}$ eller $z_{sii,\alpha}$ (mW/cm^2)	12,2					
	I_{spta} ved z_{pii} eller z_{sii} (mW/cm^2)	16,4					
	p_r ved z_{pii} (MPa)	3,39					
Drifts-kontroller	Undersøgelsestype	Nrv/Msk/ Ven/Art					
	Optimering	Alle					
	Dybde (cm)	1,9 – 2,2					
	Mbe	Til					

(a) Dette indeks er ikke påkrævet til denne billeddannelsestilstand. Værdien er <1.

(b) Denne transducer er ikke beregnet til transkraniel eller neonatal cephal brug.

Der er ikke rapporteret data for denne billeddannelsestype, da indeksværdien for det globale maksimum på grund af den angivne årsag ikke er rapporteret. (Se linjen for globalt maksimum, indeksværdi).

— Der findes ingen data for denne transducer/tilstand.

Tabel 42: Transducermodel: L25x Billeddannelsestype: Color/CPD

Indeksbetegnelse		MI	TIS		TIB		TIC
			På overfladen	Under overfladen	På overfladen	Under overfladen	På overfladen
Maksimal indekssværdi		1,0	(a)		(a)		(b)
Indekskomponentværdi			#	#	#	#	
Akustiske parametre	$p_{r,\alpha}$ ved z_{MI} (MPa)	2,35					
	P (mW)		#		#		#
	$P_{1 \times 1}$ (mW)		#		#		
	z_s (cm)			—			
	z_b (cm)					—	
	z_{MI} (cm)	0,8					
	$z_{pii,\alpha}$ (cm)	0,8					
	f_{awf} (MHz)	6,11	#		#		#
Andre oplysninger	p_{rr} (Hz)	5261					
	s_{rr} (Hz)	13,7					
	n_{pps}	14					
	$I_{pa,\alpha}$ ved $z_{pii,\alpha}$ (W/cm^2)	276					
	$I_{spta,\alpha}$ ved $z_{pii,\alpha}$ eller $z_{sii,\alpha}$ (mW/cm^2)	81,5					
	I_{spta} ved z_{pii} eller z_{sii} (mW/cm^2)	109,5					
	p_r ved z_{pii} (MPa)	2,78					
Drifts-kontroller	Undersøgelsestype	Ven					
	Type	CVD					
	2D-optimering/dybde (cm)	Pen/3,1					
	Farveoptimering/PRF (Hz)	Lav/779					
	Farveboksposition/-størrelse	Def/def					

(a) Dette indeks er ikke påkrævet til denne billeddannelsestilstand. Værdien er < 1.

(b) Denne transducer er ikke beregnet til transkraniel eller neonatal cephal brug.

Der er ikke rapporteret data for denne billeddannelsestype, da indekssværdien for det globale maksimum på grund af den angivne årsag ikke er rapporteret. (Se linjen for globalt maksimum, indekssværdi).

— Der findes ingen data for denne transducer/tilstand.

Tabel 43: Transducermodel: L25x Billeddannelsestype: PW-doppler

Indeksbetegnelse		MI	TIS		TIB		TIC
			På overfladen	Under overfladen	På overfladen	Under overfladen	På overfladen
Maksimal indeksværdi		(a)	(a)		1,7		(b)
Indekskomponentværdi			#	#	0,9	1,7	
Akustiske parametre	$p_{r,\alpha}$ ved z_{MI} (MPa)	#					
	P (mW)		#		32,1		#
	$P_{1 \times 1}$ (mW)		#		32,1		
	z_s (cm)			#			
	z_b (cm)					0,75	
	z_{MI} (cm)	#					
	$z_{pii,\alpha}$ (cm)	#					
	f_{awf} (MHz)	#	#		#		#
Andre oplysninger	p_{rr} (Hz)	#					
	s_{rr} (Hz)	#					
	η_{pps}	#					
	$I_{pa,\alpha}$ ved $z_{pii,\alpha}$ (W/cm^2)	#					
	$I_{spta,\alpha}$ ved $z_{pii,\alpha}$ eller $z_{sii,\alpha}$ (mW/cm^2)	#					
	I_{spta} ved z_{pii} eller z_{sii} (mW/cm^2)	#					
	p_r ved z_{pii} (MPa)	#					
Drifts-kontroller	Undersøgelsestype				Vas/Ven/Nrv		
	Prøvevolumenstørrelse (mm)				8		
	Prøvevolumenposition				Zone 7		
	PRF (Hz)				1953		

(a) Dette indeks er ikke påkrævet til denne billeddannelsestilstand. Værdien er <1.

(b) Denne transducer er ikke beregnet til transkraniel eller neonatal cephal brug.

Der er ikke rapporteret data for denne billeddannelsestype, da indeksværdien for det globale maksimum på grund af den angivne årsag ikke er rapporteret. (Se linjen for globalt maksimum, indeksværdi).

— Der findes ingen data for denne transducer/tilstand.

Tabel 44: Transducermodel: L38xi Billeddannelsestype: 2D

Indeksbetegnelse		MI	TIS		TIB		TIC
			På overfladen	Under overfladen	På overfladen	Under overfladen	På overfladen
Maksimal indekssværdi		1,5	(a)		(a)		(b)
Indekskomponentværdi			#	#	#	#	
Akustiske parametre	$p_{r,\alpha}$ ved z_{MI} (MPa)	3,3					
	P (mW)		#		#		#
	$P_{1 \times 1}$ (mW)		#		#		
	z_s (cm)			–			
	z_b (cm)					–	
	z_{MI} (cm)	0,8					
	$z_{pii,\alpha}$ (cm)	0,8					
	f_{awf} (MHz)	4,82	#		#		#
Andre oplysninger	p_{rr} (Hz)	1312					
	s_{rr} (Hz)	10,3					
	η_{pps}	1					
	$I_{pa,\alpha}$ ved $z_{pii,\alpha}$ (W/cm^2)	605					
	$I_{spta,\alpha}$ ved $z_{pii,\alpha}$ eller $z_{sii,\alpha}$ (mW/cm^2)	10,2					
	I_{spta} ved z_{pii} eller z_{sii} (mW/cm^2)	13,5					
	p_r ved z_{pii} (MPa)	3,79					
Drifts-kontroller	Undersøgelsestype	Nrv					
	Optimering	Res					
	Dybde (cm)	2,0					
	MB	Ikke relevant					
	Nålevisning	Til					

(a) Dette indeks er ikke påkrævet til denne billeddannelsestilstand. Værdien er < 1.

(b) Denne transducer er ikke beregnet til transkraniel eller neonatal cephal brug.

Der er ikke rapporteret data for denne billeddannelsestype, da indekssværdien for det globale maksimum på grund af den angivne årsag ikke er rapporteret. (Se linjen for globalt maksimum, indekssværdi).

— Der findes ingen data for denne transducer/tilstand.

Tabel 45: Transducermodel: L38xi Billeddannelsestype: M Mode

Indeksbetegnelse		MI	TIS		TIB		TIC
			På overfladen	Under overfladen	På overfladen	Under overfladen	På overfladen
Maksimal indekssværdi		1,5	(a)		1,2		(b)
Indekskomponentværdi			#	#	0,9	1,2	
Akustiske parametre	$p_{r,\alpha}$ ved z_{MI} (MPa)	3,54					
	P (mW)		#		37,1		#
	$P_{1 \times 1}$ (mW)		#		37,1		
	z_s (cm)			#			
	z_b (cm)					0,9	
	z_{MI} (cm)	1,0					
	$z_{pii,\alpha}$ (cm)	1,0					
	f_{awf} (MHz)	5,76	#		5,20		#
Andre oplysninger	p_{rr} (Hz)	1600					
	s_{rr} (Hz)	–					
	n_{pps}	1					
	$I_{pa,\alpha}$ ved $z_{pii,\alpha}$ (W/cm^2)	776					
	$I_{spta,\alpha}$ ved $z_{pii,\alpha}$ eller $z_{sii,\alpha}$ (mW/cm^2)	181,8					
	I_{spta} ved z_{pii} eller z_{sii} (mW/cm^2)	280,5					
	p_r ved z_{pii} (MPa)	4,32					
Drifts-kontroller	Undersøgelsestype	Art			Art		
	Optimering	Gen			Pen		
	Dybde (cm)	4,7			7,3		

(a) Dette indeks er ikke påkrævet til denne billeddannelsestilstand. Værdien er <1.

(b) Denne transducer er ikke beregnet til transkraniel eller neonatal cephal brug.

Der er ikke rapporteret data for denne billeddannelsestype, da indekssværdien for det globale maksimum på grund af den angivne årsag ikke er rapporteret. (Se linjen for globalt maksimum, indekssværdi).

— Der findes ingen data for denne transducer/tilstand.

Tabel 46: Transducermodel: L38xi Billeddannelsestype: Color/CPD

Indeksbetegnelse		MI	TIS		TIB		TIC
			På overfladen	Under overfladen	På overfladen	Under overfladen	På overfladen
Maksimal indekssværdi		1,5	1,1		1,1		(b)
Indekskomponentværdi			1,1	1,1	1,1	1,1	
Akustiske parametre	$p_{r,\alpha}$ ved z_{MI} (MPa)	3,3					
	P (mW)		64,7		64,7		#
	$P_{1 \times 1}$ (mW)		49,0		49,0		
	z_s (cm)			—			
	z_b (cm)					—	
	z_{MI} (cm)	0,8					
	$z_{pii,\alpha}$ (cm)	0,8					
	f_{awf} (MHz)	4,82	4,83		4,83		#
Andre oplysninger	p_{rr} (Hz)	2190					
	s_{rr} (Hz)	4,5					
	n_{pps}	16					
	$I_{pa,\alpha}$ ved $z_{pii,\alpha}$ (W/cm^2)	605					
	$I_{spta,\alpha}$ ved $z_{pii,\alpha}$ eller $z_{sij,\alpha}$ (mW/cm^2)	35,6					
	I_{spta} ved z_{pii} eller z_{sij} (mW/cm^2)	47,4					
	p_r ved z_{pii} (MPa)	3,79					
Drifts-kontroller	Undersøgelsestype	Art	Ven		Ven		
	Type	CVD	CVD		CVD		
	2D-optimering/dybde (cm)	Pen/2,0	Pen/3,1		Pen/3,1		
	Farveoptimering/PRF (Hz)	Lav/393	Lav/2315		Lav/2315		
	Farveboksposition/-størrelse	Def/def	Bund/kort-smal		Bund/kort-smal		

(a) Dette indeks er ikke påkrævet til denne billeddannelsestilstand. Værdien er < 1.

(b) Denne transducer er ikke beregnet til transkraniel eller neonatal cephal brug.

Der er ikke rapporteret data for denne billeddannelsestype, da indekssværdien for det globale maksimum på grund af den angivne årsag ikke er rapporteret. (Se linjen for globalt maksimum, indekssværdi).

— Der findes ingen data for denne transducer/tilstand.

Tabel 47: Transducermodel: L38xi Billeddannelsestype: PW-doppler

Indeksbetegnelse		MI	TIS		TIB		TIC
			På overfladen	Under overfladen	På overfladen	Under overfladen	På overfladen
Maksimal indeksværdi		1,3	2,6		3,7		(b)
Indekskomponentværdi			2,6	1,8	2,6	3,7	
Akustiske parametre	$p_{r,\alpha}$ ved z_{MI} (MPa)	2,59					
	P (mW)		114,5		114,5		#
	$P_{1 \times 1}$ (mW)		114,5		114,5		
	z_s (cm)			1,2			
	z_b (cm)					1,2	
	z_{MI} (cm)	0,7					
	$z_{pii,\alpha}$ (cm)	0,7					
	f_{awf} (MHz)	4,06	4,78		4,78		#
Andre oplysninger	pr_r (Hz)	1008					
	srr (Hz)	–					
	n_{pps}	1					
	$I_{pa,\alpha}$ ved $z_{pii,\alpha}$ (W/cm^2)	32,3					
	$I_{spta,\alpha}$ ved $z_{pii,\alpha}$ eller $z_{sii,\alpha}$ (mW/cm^2)	399,8					
	I_{spta} ved z_{pii} eller z_{sii} (mW/cm^2)	495,1					
	p_r ved z_{pii} (MPa)	2,86					
Drifts-kontroller	Undersøgelsestype	Art	Nrv		Nrv		
	Prøvevolumenstørrelse (mm)	1	1		1		
	Prøvevolumenposition	Zone 0	Zone 7		Zone 7		
	PRF (Hz)	1008	10.417		10.417		

(a) Dette indeks er ikke påkrævet til denne billeddannelsestilstand. Værdien er <1.

(b) Denne transducer er ikke beregnet til transkraniel eller neonatal cephal brug.

Der er ikke rapporteret data for denne billeddannelsestype, da indeksværdien for det globale maksimum på grund af den angivne årsag ikke er rapporteret. (Se linjen for globalt maksimum, indeksværdi).

— Der findes ingen data for denne transducer/tilstand.

Tabel 48: Transducermodel: P10x Billeddannelsestype: Color

Indeksbetegnelse		MI	TIS		TIB		TIC
			På overfladen	Under overfladen	På overfladen	Under overfladen	På overfladen
Maksimal indekssværdi		(a)	(a)		(a)		1,1
Indekskomponentværdi			#	#	#	#	
Akustiske parametre	$p_{r,\alpha}$ ved z_{MI} (MPa)	#					
	P (mW)		#		#		42,2
	$P_{1 \times 1}$ (mW)		#		#		
	z_s (cm)			–			
	z_b (cm)					–	
	z_{MI} (cm)	#					
	$z_{pii,\alpha}$ (cm)	#					
	f_{awf} (MHz)	#	#		#		3,89
Andre oplysninger	p_{rr} (Hz)	#					
	s_{rr} (Hz)	#					
	n_{pps}	#					
	$I_{pa,\alpha}$ ved $z_{pii,\alpha}$ (W/cm^2)	#					
	$I_{spta,\alpha}$ ved $z_{pii,\alpha}$ eller $z_{sij,\alpha}$ (mW/cm^2)	#					
	I_{spta} ved z_{pii} eller z_{sij} (mW/cm^2)	#					
	p_r ved z_{pii} (MPa)	#					
Drifts-kontroller	Undersøgelsestype						Crđ
	Type						CVD
	2D-optimering/dybde (cm)/sektorbredde						Pen/8,9/smal
	Farveoptimering/PRF (Hz)						Lav/2033
	Farveboksposition/-størrelse						Top/kort-bred

(a) Dette indeks er ikke påkrævet til denne billeddannelsestilstand. Værdien er < 1.

(b) Denne transducer er ikke beregnet til transkraniel eller neonatal cephal brug.

Der er ikke rapporteret data for denne billeddannelsestype, da indekssværdien for det globale maksimum på grund af den angivne årsag ikke er rapporteret. (Se linjen for globalt maksimum, indekssværdi).

— Der findes ingen data for denne transducer/tilstand.

Tabel 49: Transducermodel: P 10x Billeddannelsestype: CW-doppler

Indeksbetegnelse		MI	TIS		TIB		TIC
			På overfladen	Under overfladen	På overfladen	Under overfladen	På overfladen
Maksimal indekssværdi		(a)	(a)		1,8		1,7
Indekskomponentværdi			#	#	0,7	1,8	
Akustiske parametre	$p_{r,\alpha}$ ved z_{MI} (MPa)	#					
	P (mW)		#		34,8		25,7
	P_{1x1} (mW)		#		34,8		
	z_s (cm)			#			
	z_b (cm)					0,70	
	z_{MI} (cm)	#					
	$z_{pii,\alpha}$ (cm)	#					
	f_{awf} (MHz)	#	#		4,00		4,00
Andre oplysninger	pr_r (Hz)	#					
	srr (Hz)	#					
	η_{pps}	#					
	$I_{pa,\alpha}$ ved $z_{pii,\alpha}$ (W/cm^2)	#					
	$I_{spta,\alpha}$ ved $z_{pii,\alpha}$ eller $z_{sii,\alpha}$ (mW/cm^2)	#					
	I_{spta} ved z_{pii} eller z_{sii} (mW/cm^2)	#					
	p_r ved z_{pii} (MPa)	#					
Drifts-kontroller	Undersøgelsestype				Crd		Crd
	Prøvevolumenposition				Zone 3		Zone 0

(a) Dette indeks er ikke påkrævet til denne billeddannelsestilstand. Værdien er <1.

(b) Denne transducer er ikke beregnet til transkraniel eller neonatal cephal brug.

Der er ikke rapporteret data for denne billeddannelsestype, da indekssværdien for det globale maksimum på grund af den angivne årsag ikke er rapporteret. (Se linjen for globalt maksimum, indekssværdi).

— Der findes ingen data for denne transducer/tilstand.

Tabel 50: Transducermodel: P 10x Billeddannelsestype: PW-doppler

Indeksbetegnelse		MI	TIS		TIB		TIC
			På overfladen	Under overfladen	På overfladen	Under overfladen	På overfladen
Maksimal indeksværdi		1,0	1,1		1,9		1,5
Indekskomponentværdi			1,1	0,6	0,6	1,9	
Akustiske parametre	$p_{r,\alpha}$ ved z_{MI} (MPa)	1,92					
	P (mW)		34,4		31,9		26,9
	P_{1x1} (mW)		34,4		31,9		
	z_s (cm)			1,4			
	z_b (cm)					0,90	
	z_{MI} (cm)	2,1					
	$z_{pii,\alpha}$ (cm)	2,1					
	f_{awf} (MHz)	3,87	6,86		3,84		3,86
Andre oplysninger	pr_r (Hz)	1562					
	srr (Hz)	–					
	η_{pps}	1					
	$I_{pa,\alpha}$ ved $z_{pii,\alpha}$ (W/cm^2)	200					
	$I_{spta,\alpha}$ ved $z_{pii,\alpha}$ eller $z_{sii,\alpha}$ (mW/cm^2)	400,0					
	I_{spta} ved z_{pii} eller z_{sii} (mW/cm^2)	729,9					
	p_r ved z_{pii} (MPa)	2,54					
Drifts-kontroller	Undersøgelsestype	Crd	Crd		Abd		Crd
	Prøvevolumenstørrelse (mm)	1	7		12		1
	Prøvevolumenposition	Zone 2	Zone 6		Zone 1		Zone 0
	PRF (Hz)	1562	1008		1953		15.625
	TDI	Fra	Til		Fra		Fra

(a) Dette indeks er ikke påkrævet til denne billeddannelsestilstand. Værdien er < 1.

(b) Denne transducer er ikke beregnet til transkraniel eller neonatal cephal brug.

Der er ikke rapporteret data for denne billeddannelsestype, da indeksværdien for det globale maksimum på grund af den angivne årsag ikke er rapporteret. (Se linjen for globalt maksimum, indeksværdi).

— Der findes ingen data for denne transducer/tilstand.

Tabel 51: Transducermodel: rC60xi Billeddannelsestype: 2D

Indeksbetegnelse		MI	TIS		TIB		TIC
			På overfladen	Under overfladen	På overfladen	Under overfladen	På overfladen
Maksimal indeksværdi		1,5	(a)		(a)		(b)
Indekskomponentværdi			#	#	#	#	
Akustiske parametre	$p_{r,\alpha}$ ved z_{MI} (MPa)	2,31					
	P (mW)		#		#		#
	$P_{1 \times 1}$ (mW)		#		#		
	z_s (cm)			—			
	z_b (cm)					—	
	z_{MI} (cm)	4,3					
	$z_{pii,\alpha}$ (cm)	4,3					
	f_{awf} (MHz)	2,36	#		#		#
Andre oplysninger	p_{rr} (Hz)	3584					
	s_{rr} (Hz)	28,0					
	η_{pps}	1					
	$I_{pa,\alpha}$ ved $z_{pii,\alpha}$ (W/cm^2)	356					
	$I_{spta,\alpha}$ ved $z_{pii,\alpha}$ eller $z_{sii,\alpha}$ (mW/cm^2)	24,1					
	I_{spta} ved z_{pii} eller z_{sii} (mW/cm^2)	44,9					
	p_r ved z_{pii} (MPa)	3,29					
Drifts-kontroller	Undersøgelsestype	Abd					
	Optimering	Res					
	Dybde (cm)	11					
	MB (multistråle)	Fra					
	THI	Til					

(a) Dette indeks er ikke påkrævet til denne billeddannelsestilstand. Værdien er < 1 .

(b) Denne transducer er ikke beregnet til transkraniel eller neonatal cephal brug.

Der er ikke rapporteret data for denne billeddannelsestype, da indeksværdien for det globale maksimum på grund af den angivne årsag ikke er rapporteret. (Se linjen for globalt maksimum, indeksværdi).

— Der findes ingen data for denne transducer/tilstand.

Tabel 52: Transducermodel: rC60xi Billeddannelsestype: M Mode

Indeksbetegnelse		MI	TIS		TIB		TIC
			På overfladen	Under overfladen	På overfladen	Under overfladen	På overfladen
Maksimal indekssværdi		1,3	(a)		1,0		(b)
Indekskomponentværdi			#	#	0,36	1,00	
Akustiske parametre	$p_{r,\alpha}$ ved z_{MI} (MPa)	2,18					
	P (mW)		#		69,8		#
	$P_{1 \times 1}$ (mW)		#		25,9		
	z_s (cm)			#			
	z_b (cm)					4,2	
	z_{MI} (cm)	4,3					
	$z_{pii,\alpha}$ (cm)	4,3					
	f_{awf} (MHz)	2,66	#		2,89		#
Andre oplysninger	p_{rr} (Hz)	800					
	s_{rr} (Hz)	–					
	η_{pps}	1					
	$I_{pa,\alpha}$ ved $z_{pii,\alpha}$ (W/cm^2)	290					
	$I_{spta,\alpha}$ ved $z_{pii,\alpha}$ eller $z_{sii,\alpha}$ (mW/cm^2)	144,2					
	I_{spta} ved z_{pii} eller z_{sii} (mW/cm^2)	328,2					
	p_r ved z_{pii} (MPa)	3,25					
Drifts-kontroller	Undersøgelsestype	Abd			Msk		
	Optimering	Pen			Pen		
	Dybde (cm)	6,6			9,2		
	THI	Fra			Fra		

(a) Dette indeks er ikke påkrævet til denne billeddannelsestilstand. Værdien er <1.

(b) Denne transducer er ikke beregnet til transkraniel eller neonatal cephal brug.

Der er ikke rapporteret data for denne billeddannelsestype, da indekssværdien for det globale maksimum på grund af den angivne årsag ikke er rapporteret. (Se linjen for globalt maksimum, indekssværdi).

— Der findes ingen data for denne transducer/tilstand.

Tabel 53: Transducermodel: rC60xi Billeddannelsestype: Color/CPD

Indeksbetegnelse		MI	TIS		TIB		TIC
			På overfladen	Under overfladen	På overfladen	Under overfladen	På overfladen
Maksimal indeksværdi		1,5	1,2		1,2		(b)
Indekskomponentværdi			1,2	1,2	1,2	1,2	
Akustiske parametre	$p_{r,\alpha}$ ved z_{MI} (MPa)	2,21					
	P (mW)		185,8		185,8		#
	$P_{1 \times 1}$ (mW)		107,5		107,5		
	z_s (cm)			–			
	z_b (cm)					–	
	z_{MI} (cm)	4,3					
	$z_{pii,\alpha}$ (cm)	4,3					
	f_{awf} (MHz)	2,22	2,21		2,21		#
Andre oplysninger	p_{rr} (Hz)	1265					
	s_{rr} (Hz)	9,89					
	n_{pps}	1					
	$I_{pa,\alpha}$ ved $z_{pii,\alpha}$ (W/cm^2)	342					
	$I_{spta,\alpha}$ ved $z_{pii,\alpha}$ eller $z_{sii,\alpha}$ (mW/cm^2)	8,9					
	I_{spta} ved z_{pii} eller z_{sii} (mW/cm^2)	15,8					
	p_r ved z_{pii} (MPa)	3,07					
	Drifts-kontroller	Undersøgelsestype	Abd	Abd		Abd	
Type	CVD	CVD		CVD			
2D-optimering/dybde (cm)/THI	Gen/11/Til	Gen/4,7/Fra		Gen/4,7/Fra			
Farveoptimering/PRF (Hz)	Lav/342	Høj/3125		Høj/3125			
Farveboksposition/-størrelse	Bund/høj-smal	Bund/høj-smal		Bund/høj-smal			

(a) Dette indeks er ikke påkrævet til denne billeddannelsestilstand. Værdien er < 1.
(b) Denne transducer er ikke beregnet til transkraniel eller neonatal cephal brug.
Der er ikke rapporteret data for denne billeddannelsestype, da indeksværdien for det globale maksimum på grund af den angivne årsag ikke er rapporteret. (Se linjen for globalt maksimum, indeksværdi).
— Der findes ingen data for denne transducer/tilstand.

Tabel 54: Transducermodel: rC60xi Billeddannelsestype: PW-doppler

Indeksbetegnelse		MI	TIS		TIB		TIC
			På overfladen	Under overfladen	På overfladen	Under overfladen	På overfladen
Maksimal indeksværdi		1,2	2,0		4,0		(b)
Indekskomponentværdi			0,7	2,0	0,8	4,0	
Akustiske parametre	$p_{r,\alpha}$ ved z_{MI} (MPa)	1,73					
	P (mW)		386,5		291,8		#
	P_{1x1} (mW)		67,5		74,2		
	z_s (cm)			4,0			
	z_b (cm)					3,6	
	z_{MI} (cm)	4,5					
	$z_{pii,\alpha}$ (cm)	4,5					
	f_{awf} (MHz)	2,2	2,23		2,23		#
Andre oplysninger	pr_r (Hz)	1302					
	srr (Hz)	–					
	η_{pps}	1					
	$I_{pa,\alpha}$ ved $z_{pii,\alpha}$ (W/cm^2)	267					
	$I_{spta,\alpha}$ ved $z_{pii,\alpha}$ eller $z_{sii,\alpha}$ (mW/cm^2)	399,7					
	I_{spta} ved z_{pii} eller z_{sii} (mW/cm^2)	793,3					
	p_r ved z_{pii} (MPa)	2,43					
Drifts-kontroller	Undersøgelsestype	Abd	Abd		Abd		
	Prøvevolumenstørrelse (mm)	3	7		7		
	Prøvevolumenposition	Zone 3	Zone 6		Zone 5		
	PRF (Hz)	1302	2604		2604		

(a) Dette indeks er ikke påkrævet til denne billeddannelsestilstand. Værdien er <1.

(b) Denne transducer er ikke beregnet til transkraniel eller neonatal cephal brug.

Der er ikke rapporteret data for denne billeddannelsestype, da indeksværdien for det globale maksimum på grund af den angivne årsag ikke er rapporteret. (Se linjen for globalt maksimum, indeksværdi).

— Der findes ingen data for denne transducer/tilstand.

Tabel 55: Transducermodel: rP19x (orbital anvendelse) Billeddannelsestype: 2D

Indeksbetegnelse		MI	TIS		TIB		TIC
			På overfladen	Under overfladen	På overfladen	Under overfladen	På overfladen
Maksimal indeksværdi		0,17	0,03		0,03		0,07
Indekskomponentværdi			0,03	0,03	0,03	0,03	
Akustiske parametre	$p_{r,\alpha}$ ved z_{MI} (MPa)	0,25					
	P (mW)		4,4		4,4		4,7
	$P_{1 \times 1}$ (mW)		2,9		2,9		
	z_s (cm)			–			
	z_b (cm)					–	
	z_{MI} (cm)	3,4					
	$z_{pii,\alpha}$ (cm)	3,4					
	f_{awf} (MHz)	2,06	2,06		2,06		1,90
Andre oplysninger	pr_r (Hz)	6413					
	srr (Hz)	15,6					
	η_{pps}	1					
	$I_{pa,\alpha}$ ved $z_{pii,\alpha}$ (W/cm^2)	4,1					
	$I_{spta,\alpha}$ ved $z_{pii,\alpha}$ eller $z_{sii,\alpha}$ (mW/cm^2)	0,4					
	I_{spta} ved z_{pii} eller z_{sii} (mW/cm^2)	0,6					
	p_r ved z_{pii} (MPa)	0,31					
Drifts-kontroller	Undersøgelsestype	Orb	Orb		Orb		Orb
	Optimering	Res	Res		Res		Gen
	Dybde (cm)	4,7	4,7		4,7		16
	MB	Fra	Fra		Fra		Fra

(a) Dette indeks er ikke påkrævet til denne billeddannelsestilstand. Værdien er <1.

(b) Denne transducer er ikke beregnet til transkraniel eller neonatal cephal brug.

Der er ikke rapporteret data for denne billeddannelsestype, da indeksværdien for det globale maksimum på grund af den angivne årsag ikke er rapporteret. (Se linjen for globalt maksimum, indeksværdi).

— Der findes ingen data for denne transducer/tilstand.

Tabel 56: Transducermodel: rP19x (orbital anvendelse) Billedannelsestype: M Mode

Indeksbetegnelse		MI	TIS		TIB		TIC
			På overfladen	Under overfladen	På overfladen	Under overfladen	På overfladen
Maksimal indekssværdi		0,17	0,009		0,020		0,021
Indekskomponentværdi			0,006	0,009	0,006	0,020	
Akustiske parametre	$p_{r,\alpha}$ ved z_{MI} (MPa)	0,25					
	P (mW)		1,34		1,34		1,34
	P_{1x1} (mW)		0,67		0,67		
	z_s (cm)			2,5			
	z_b (cm)					3,15	
	z_{MI} (cm)	3,4					
	$z_{pii,\alpha}$ (cm)	3,4					
	f_{awf} (MHz)	2,06	1,83		1,83		1,83
Andre oplysninger	pr (Hz)	800					
	srr (Hz)	–					
	n_{pps}	1					
	$I_{pa,\alpha}$ ved $z_{pii,\alpha}$ (W/cm^2)	4,05					
	$I_{spta,\alpha}$ ved $z_{pii,\alpha}$ eller $z_{sii,\alpha}$ (mW/cm^2)	1,7					
	I_{spta} ved z_{pii} eller z_{sii} (mW/cm^2)	2,7					
	p_r ved z_{pii} (MPa)	0,31					
Drifts-kontroller	Undersøgelsestype	Orb	Orb		Orb		Orb
	Optimering	Res	Gen		Gen		Gen
	Dybde (cm)	4,7	35		35		35

(a) Dette indeks er ikke påkrævet til denne billedannelsestilstand. Værdien er < 1.

(b) Denne transducer er ikke beregnet til transkraniel eller neonatal cephal brug.

Der er ikke rapporteret data for denne billedannelsestype, da indekssværdien for det globale maksimum på grund af den angivne årsag ikke er rapporteret. (Se linjen for globalt maksimum, indekssværdi).

— Der findes ingen data for denne transducer/tilstand.

Tabel 57: Transducermodel: rP19x (orbital anvendelse) Billeddannelsestype: Color/CPD

Indeksbetegnelse		MI	TIS		TIB		TIC
			På overfladen	Under overfladen	På overfladen	Under overfladen	På overfladen
Maksimal indekssværdi		0,17	0,09		0,09		0,23
Indekskomponentværdi			0,09	0,09	0,09	0,09	
Akustiske parametre	$p_{r,\alpha}$ ved z_{MI} (MPa)	0,25					
	P (mW)		15,47		15,47		15,50
	$P_{1 \times 1}$ (mW)		9,50		9,50		
	z_s (cm)			–			
	z_b (cm)					–	
	z_{MI} (cm)	0,7					
	$z_{pii,\alpha}$ (cm)	0,7					
	f_{awf} (MHz)	2,14	2,11		2,11		2,11
Andre oplysninger	pr_r (Hz)	5443					
	srr (Hz)	15,9					
	n_{pps}	16					
	$I_{pa,\alpha}$ ved $z_{pii,\alpha}$ (W/cm^2)	1,82					
	$I_{spta,\alpha}$ ved $z_{pii,\alpha}$ eller $z_{sii,\alpha}$ (mW/cm^2)	3,2					
	I_{spta} ved z_{pii} eller z_{sii} (mW/cm^2)	3,5					
	p_r ved z_{pii} (MPa)	0,26					
Drifts-kontroller	Undersøgelsestype	Orb	Orb		Orb		Orb
	Type	CVD	CVD		CVD		CVD
	2D-optimering/dybde (cm)	Gen/4,7	Gen/24		Gen/24		Gen/24
	Farveoptimering/PRF (Hz)	Lav/1157	Lav/3125		Lav/3125		Lav/3125
	Farveboksposition/-størrelse	Def/def	Top/kort-bred		Top/kort-bred		Top/kort-bred

(a) Dette indeks er ikke påkrævet til denne billeddannelsestilstand. Værdien er < 1.

(b) Denne transducer er ikke beregnet til transkraniel eller neonatal cephal brug.

Der er ikke rapporteret data for denne billeddannelsestype, da indekssværdien for det globale maksimum på grund af den angivne årsag ikke er rapporteret. (Se linjen for globalt maksimum, indekssværdi).

— Der findes ingen data for denne transducer/tilstand.

Tabel 58: Transducermodel: rP19x (orbital anvendelse) Billeddannelsestype: PW-doppler

Indeksbetegnelse		MI	TIS		TIB		TIC
			På overfladen	Under overfladen	På overfladen	Under overfladen	På overfladen
Maksimal indeksværdi		0,18	0,27		0,59		0,57
Indekskomponentværdi			0,19	0,27	0,18	0,59	
Akustiske parametre	$p_{r,\alpha}$ ved z_{MI} (MPa)	0,27					
	P (mW)		37,4		35,3		37,4
	$P_{1 \times 1}$ (mW)		17,5		17,0		
	z_s (cm)			2,5			
	z_b (cm)					3,35	
	z_{MI} (cm)	3,5					
	$z_{pii,\alpha}$ (cm)	3,5					
	f_{awf} (MHz)	2,23	2,23		2,23		2,23
Andre oplysninger	p_{rr} (Hz)	1953					
	s_{rr} (Hz)	—					
	η_{pps}	1					
	$I_{pa,\alpha}$ ved $z_{pii,\alpha}$ (W/cm^2)	2,49					
	$I_{spta,\alpha}$ ved $z_{pii,\alpha}$ eller $z_{sii,\alpha}$ (mW/cm^2)	28,9					
	I_{spta} ved z_{pii} eller z_{sii} (mW/cm^2)	69,3					
	p_r ved z_{pii} (MPa)	0,36					
Drifts-kontroller	Undersøgelsestype	Orb	Orb		Orb		Orb
	Prøvevolumenstørrelse (mm)	5	14		14		14
	Prøvevolumenposition	Zone 6	Zone 7		Zone 5		Zone 7
	PRF (Hz)	1953	1953		1953		1953

(a) Dette indeks er ikke påkrævet til denne billeddannelsestilstand. Værdien er <1.

(b) Denne transducer er ikke beregnet til transkraniel eller neonatal cephal brug.

Der er ikke rapporteret data for denne billeddannelsestype, da indeksværdien for det globale maksimum på grund af den angivne årsag ikke er rapporteret. (Se linjen for globalt maksimum, indeksværdi).

— Der findes ingen data for denne transducer/tilstand.

Tabel 59: Transducermodel: rP19x Billeddannelsestype: 2D

Indeksbetegnelse		MI	TIS		TIB		TIC
			På overfladen	Under overfladen	På overfladen	Under overfladen	På overfladen
Maksimal indeksværdi		1,5	1,0		1,0		2,7
Indekskomponentværdi			1,0	1,0	1,0	1,0	
Akustiske parametre	$p_{r,\alpha}$ ved z_{MI} (MPa)	2,1					
	P (mW)		152,6		152,6		177,8
	$P_{1 \times 1}$ (mW)		96,1		96,1		
	z_s (cm)			–			
	z_b (cm)					–	
	z_{MI} (cm)	4,8					
	$z_{pii,\alpha}$ (cm)	4,8					
	f_{awf} (MHz)	1,99	2,08		2,08		1,53
Andre oplysninger	pr_r (Hz)	6186					
	srr (Hz)	48,3					
	η_{pps}	1					
	$I_{pa,\alpha}$ ved $z_{pii,\alpha}$ (W/cm^2)	184					
	$I_{spta,\alpha}$ ved $z_{pii,\alpha}$ eller $z_{sii,\alpha}$ (mW/cm^2)	25,4					
	I_{spta} ved z_{pii} eller z_{sii} (mW/cm^2)	38,6					
	p_r ved z_{pii} (MPa)	2,92					
Drifts-kontroller	Undersøgelsestype	Abd	Crd		Crd		Crd
	Optimering	Gen	Res		Res		Pen
	Dybde (cm)	10	10		10		4,7
	MB/THI	Fra/fra	Fra/til		Fra/til		Fra/til
	Sektorbredde	Ikke relevant	Smal		Smal		Ikke relevant

(a) Dette indeks er ikke påkrævet til denne billeddannelsestilstand. Værdien er < 1.

(b) Denne transducer er ikke beregnet til transkraniel eller neonatal cephal brug.

Der er ikke rapporteret data for denne billeddannelsestype, da indeksværdien for det globale maksimum på grund af den angivne årsag ikke er rapporteret. (Se linjen for globalt maksimum, indeksværdi).

— Der findes ingen data for denne transducer/tilstand.

Tabel 60: Transducermodel: rP19x Billeddannelsestype: M Mode

Indeksbetegnelse		MI	TIS		TIB		TIC
			På overfladen	Under overfladen	På overfladen	Under overfladen	På overfladen
Maksimal indeksværdi		1,5	(a)		1,7		1,0
Indekskomponentværdi			#	#	0,2	1,7	
Akustiske parametre	$p_{r,\alpha}$ ved z_{MI} (MPa)	2,1					
	P (mW)		#		55,0		62,1
	$P_{1 \times 1}$ (mW)		#		28,5		
	z_s (cm)			#			
	z_b (cm)					4,33	
	z_{MI} (cm)	4,8					
	$z_{pii,\alpha}$ (cm)	4,8					
	f_{awf} (MHz)	1,99	#		1,81		1,77
Andre oplysninger	p_{rr} (Hz)	800					
	s_{rr} (Hz)	–					
	η_{pps}	1					
	$I_{pa,\alpha}$ ved $z_{pii,\alpha}$ (W/cm^2)	184					
	$I_{spta,\alpha}$ ved $z_{pii,\alpha}$ eller $z_{sii,\alpha}$ (mW/cm^2)	73,5					
	I_{spta} ved z_{pii} eller z_{sii} (mW/cm^2)	140,8					
	p_r ved z_{pii} (MPa)	2,92					
Drifts-kontroller	Undersøgelsestype	TCD			Abd		Abd
	Optimering	Gen			Res		Res
	Dybde (cm)	7,5			10		16
	THI	Fra			Til		Til

(a) Dette indeks er ikke påkrævet til denne billeddannelsestilstand. Værdien er <1.

(b) Denne transducer er ikke beregnet til transkraniel eller neonatal cephal brug.

Der er ikke rapporteret data for denne billeddannelsestype, da indeksværdien for det globale maksimum på grund af den angivne årsag ikke er rapporteret. (Se linjen for globalt maksimum, indeksværdi).

— Der findes ingen data for denne transducer/tilstand.

Tabel 6 1: Transducermodel: rP19x Billeddannelsestype: Color/CPD

Indeksbetegnelse	MI	TIS		TIB		TIC
		På overfladen	Under overfladen	På overfladen	Under overfladen	På overfladen
Maksimal indekssværdi	1,5	1,2		1,2		2,5
Indekskomponentværdi		1,2	1,2	1,2	1,2	
Akustiske parametre	$p_{r,\alpha}$ ved z_{MI} (MPa)	2,1				
	P (mW)		128,0	128,0		170,5
	$P_{1 \times 1}$ (mW)		115,6	115,6		
	z_s (cm)					
	z_b (cm)					
	z_{MI} (cm)	4,8				
	$z_{pii,\alpha}$ (cm)	4,8				
	f_{awf} (MHz)	1,99	2,14		2,14	
Andre oplysninger	p_{rr} (Hz)	505				
	s_{rr} (Hz)	7,9				
	n_{pps}	1				
	$I_{pa,\alpha}$ ved $z_{pii,\alpha}$ (W/cm^2)	184				
	$I_{spta,\alpha}$ ved $z_{pii,\alpha}$ eller $z_{sii,\alpha}$ (mW/cm^2)	2,1				
	I_{spta} ved z_{pii} eller z_{sii} (mW/cm^2)	3,2				
	p_r ved z_{pii} (MPa)	2,92				
Drifts-kontroller	Undersøgelsestype	Abd	TCD		TCD	Crd
	Type/THI	CVD/Fra	CVD/Fra		CVD/Fra	CVD/Til
	2D-optimering/dybde (cm)/sektorbredde	Gen/10/Ikke relevant	Pen/7,5/Ikke relevant		Pen/7,5/Ikke relevant	Gen/16/smal
	Farveoptimering/PRF (Hz)	Lav/300	Lav/3125		Lav/3125	Høj/5208
	Farveboksposition/-størrelse	Def/def	Def/smal		Def/smal	Def/def

(a) Dette indeks er ikke påkrævet til denne billeddannelsestilstand. Værdien er < 1.
 (b) Denne transducer er ikke beregnet til transkraniel eller neonatal cephal brug.
 # Der er ikke rapporteret data for denne billeddannelsestype, da indekssværdien for det globale maksimum på grund af den angivne årsag ikke er rapporteret. (Se linjen for globalt maksimum, indekssværdi).
 — Der findes ingen data for denne transducer/tilstand.

Tabel 62: Transducermodel: rP19x Billeddannelsestype: CW-doppler

Indeksbetegnelse		MI	TIS		TIB		TIC
			På overfladen	Under overfladen	På overfladen	Under overfladen	På overfladen
Maksimal indekssværdi		(a)	1,2		4,0		4,0
Indekskomponentværdi			1,2	1,1	1,2	4,0	
Akustiske parametre	$p_{r,\alpha}$ ved z_{MI} (MPa)	#					
	P (mW)		125,4		125,4		125,4
	P_{1x1} (mW)		125,4		125,4		
	z_s (cm)			0,9			
	z_b (cm)					0,9	
	z_{MI} (cm)	#					
	$z_{pii,\alpha}$ (cm)	#					
	f_{awf} (MHz)	#	2,00		2,00		2,00
Andre oplysninger	pr (Hz)	#					
	srr (Hz)	#					
	η_{pps}	#					
	$I_{pa,\alpha}$ ved $z_{pii,\alpha}$ (W/cm^2)	#					
	$I_{spta,\alpha}$ ved $z_{pii,\alpha}$ eller $z_{sii,\alpha}$ (mW/cm^2)	#					
	I_{spta} ved z_{pii} eller z_{sii} (mW/cm^2)	#					
	p_r ved z_{pii} (MPa)	#					
Drifts-kontroller	Undersøgelsestype		Crd		Crd		Crd
	Prøvevolumenposition		Zone 0		Zone 0		Zone 0

(a) Dette indeks er ikke påkrævet til denne billeddannelsestilstand. Værdien er <1.

(b) Denne transducer er ikke beregnet til transkraniel eller neonatal cephal brug.

Der er ikke rapporteret data for denne billeddannelsestype, da indekssværdien for det globale maksimum på grund af den angivne årsag ikke er rapporteret. (Se linjen for globalt maksimum, indekssværdi).

— Der findes ingen data for denne transducer/tilstand.

Tabel 63: Transducermodel: rP19x Billeddannelsestype: PW-doppler

Indeksbetegnelse		MI	TIS		TIB		TIC
			På overfladen	Under overfladen	På overfladen	Under overfladen	På overfladen
Maksimal indeksværdi		1,3	1,8		4,0		3,9
Indekskomponentværdi			1,3	1,8	1,2	4,0	
Akustiske parametre	$p_{r,\alpha}$ ved z_{MI} (MPa)	1,94					
	P (mW)		253,7		240,2		251,1
	$P_{1 \times 1}$ (mW)		118,6		116,0		
	z_s (cm)			2,5			
	z_b (cm)					3,35	
	z_{MI} (cm)	3,0					
	$z_{pii,\alpha}$ (cm)	3,0					
	f_{awf} (MHz)	2,14	2,23		2,23		2,10
Andre oplysninger	p_{rr} (Hz)	1562					
	s_{rr} (Hz)	–					
	n_{pps}	1					
	$I_{pa,\alpha}$ ved $z_{pii,\alpha}$ (W/cm^2)	180					
	$I_{spta,\alpha}$ ved $z_{pii,\alpha}$ eller $z_{sii,\alpha}$ (mW/cm^2)	374,9					
	I_{spta} ved z_{pii} eller z_{sii} (mW/cm^2)	594,7					
	p_r ved z_{pii} (MPa)	2,42					
	Undersøgelsestype	Crd	Crd		Crd		Crd
Drifts-kontroller	Prøvevolumenstørrelse (mm)	1	12		1		1
	Prøvevolumenposition	Zone 1	Zone 7		Zone 5		Zone 5
	PRF (Hz)	1562	1562		39.062		39.062
	TDI	Fra	Fra		Fra		Fra

(a) Dette indeks er ikke påkrævet til denne billeddannelsestilstand. Værdien er < 1.

(b) Denne transducer er ikke beregnet til transkraniel eller neonatal cephal brug.

Der er ikke rapporteret data for denne billeddannelsestype, da indeksværdien for det globale maksimum på grund af den angivne årsag ikke er rapporteret. (Se linjen for globalt maksimum, indeksværdi).

— Der findes ingen data for denne transducer/tilstand.

Tabel 64: Transducermodel: TEExi Billeddannelsestype: CW-doppler

Indeksbetegnelse		MI	TIS		TIB		TIC
			På overfladen	Under overfladen	På overfladen	Under overfladen	På overfladen
Maksimal indekssværdi		(a)	(a)		1,7		(b)
Indekskomponentværdi			#	#	0,7	1,7	
Akustiske parametre	$p_{r,\alpha}$ ved z_{MI} (MPa)	#					
	P (mW)		#		34,4		#
	P_{1x1} (mW)		#		34,4		
	z_s (cm)			#			
	z_b (cm)					1,10	
	z_{MI} (cm)	#					
	$z_{pii,\alpha}$ (cm)	#					
	f_{awf} (MHz)	#	#		4,00		#
Andre oplysninger	p_{rr} (Hz)	#					
	s_{rr} (Hz)	#					
	n_{pps}	#					
	$I_{pa,\alpha}$ ved $z_{pii,\alpha}$ (W/cm^2)	#					
	$I_{spta,\alpha}$ ved $z_{pii,\alpha}$ eller $z_{sii,\alpha}$ (mW/cm^2)	#					
	I_{spta} ved z_{pii} eller z_{sii} (mW/cm^2)	#					
	p_r ved z_{pii} (MPa)	#					
Drifts-kontroller	Undersøgelsestype				Crd		
	Prøvevolumen				Zone 2		

(a) Dette indeks er ikke påkrævet til denne billeddannelsestilstand. Værdien er <1.

(b) Denne transducer er ikke beregnet til transkraniel eller neonatal cephal brug.

Der er ikke rapporteret data for denne billeddannelsestype, da indekssværdien for det globale maksimum på grund af den angivne årsag ikke er rapporteret. (Se linjen for globalt maksimum, indekssværdi).

— Der findes ingen data for denne transducer/tilstand.

Tabel 65: Transducermodel: TEExi Billeddannelsestype: PW-doppler

Indeksbetegnelse		MI	TIS		TIB		TIC
			På overfladen	Under overfladen	På overfladen	Under overfladen	På overfladen
Maksimal indeksværdi		(a)	(a)		1,4		(b)
Indekskomponentværdi			#	#	0,7	1,4	
Akustiske parametre	$p_{r,\alpha}$ ved z_{MI} (MPa)	#					
	P (mW)		#		35,8		#
	$P_{1 \times 1}$ (mW)		#		35,8		
	z_s (cm)			#			
	z_b (cm)					2,57	
	z_{MI} (cm)	#					
	$z_{pii,\alpha}$ (cm)	#					
	f_{awf} (MHz)	#	#		3,81		#
Andre oplysninger	pr_r (Hz)	#					
	srr (Hz)	#					
	η_{pps}	#					
	$I_{pa,\alpha}$ ved $z_{pii,\alpha}$ (W/cm^2)	#					
	$I_{spta,\alpha}$ ved $z_{pii,\alpha}$ eller $z_{sii,\alpha}$ (mW/cm^2)	#					
	I_{spta} ved z_{pii} eller z_{sii} (mW/cm^2)	#					
	p_r ved z_{pii} (MPa)	#					
	Drifts-kontroller						
Undersøgelsestype				Crd			
Prøvevolumenstørrelse (mm)				1			
Prøvevolumenposition				Zone 3			
PRF (Hz)				2604			

(a) Dette indeks er ikke påkrævet til denne billeddannelsestilstand. Værdien er <1.

(b) Denne transducer er ikke beregnet til transkraniel eller neonatal cephal brug.

Der er ikke rapporteret data for denne billeddannelsestype, da indeksværdien for det globale maksimum på grund af den angivne årsag ikke er rapporteret. (Se linjen for globalt maksimum, indeksværdi).

— Der findes ingen data for denne transducer/tilstand.

Betegnelser brugt i tabellerne over akustisk udgangseffekt

Tabel 66: Betegnelser brugt i tabellerne over akustisk udgangseffekt

Udtryk	Definition
α	Belastningsreduktionskoefficient. Lig med 0,3 dB/cm/MHz ² .
f_{awf}	Akustisk arbejdsfrekvens.
$I_{pa,\alpha}$	Belastningsreduceret gennemsnitspulsintensitet.
I_{spta}	Tidsmæssig gennemsnitsintensitet ved rumligt maksimum.
$I_{spta,\alpha}$	Belastningsreduceret tidsmæssig gennemsnitsintensitet ved rumligt maksimum.
MI	Mekanisk indeks.
P	Udgangseffekt.
$P_{1 \times 1}$	Bounded-square-udgangseffekt.
$p_{r,\alpha}$	Belastningsreduceret fortyndet akustisk maksimumtryk.
p_r	Fortyndet akustisk maksimumtryk.
p_{ii}	Pulsintensitetsintegral.
$p_{ii,\alpha}$	Belastningsreduceret pulsentensitetsintegrale.
n_{pps}	Antal impulser pr. ultralydsscanningslinje.
pr	Pulsrepetitions hastighed.
srr	Scanningsrepetitions hastighed.
TI	Termisk indeks.
TIB	Termisk indeks for knoglestrukturer.
TIC	Termisk indeks for kranieknogler.
TIS	Termisk indeks for bløde vævsstrukturer.
z_b	Dybde for TIB.
z_{MI}	Dybde for mekanisk indeks.
$z_{p_{ii}}$	Dybde for maksimumpulsintensitetsintegral.
$z_{p_{ii,\alpha}}$	Dybde for belastningsreduceret maksimumpulsintensitetsintegral.

Tabel 66: Betegnelser brugt i tabellerne over akustisk udgangseffekt

Udtryk	Definition
Z_{Sii}	Dybde for maksimal sum af pulsintensitetsintegraler.
$Z_{Sii,\alpha}$	Dybde for maksimal sum af belastningsreducerede pulsintensitetsintegraler.
Z_S	Dybde for TIS.

Ordliste (SonoSite Edge II)

IMT-terminen er blevet fjernet fra listen over forkortelser i brugervejledningen til SonoSite Edge II. Revisionen vil blive foretaget i næste opdatering.

Errata for brukerhåndbok for SonoSite Edge II og SonoSite SII

Innledning	186
Konvensjoner for dokumentet	186
Slik får du hjelp	186
Slik får du hjelp (SonoSite Edge II)	187
Slik kommer du i gang	187
Tiltenkt bruk	187
Systemoppsett	187
Tilkoblingsinnstillinger (SonoSite SII)	187
Tilkoblingsoppsett (SonoSite Edge II)	187
Innstillinger for nettverksstatus	188
Avbildning	188
Avbildningsmodi og undersøkelser som er tilgjengelige avhengig av transduser (SonoSite SII)	188
Målinger og beregninger (SonoSite SII)	188
Generelle beregninger	188
Målereferanser (SonoSite SII)	189
Målingsnøyaktighet	190
Målingspubliseringer og terminologi	190
Rengjøre og desinfisere	191
Sikkerhet	191
Klinisk sikkerhet	191
Elektromagnetisk kompatibilitet	192
Trådløs overføring	194
Trådløst USB-nettverkskort (Panda)	194
Trådløs sikkerhetsmodul (Laird)	194
Merkesymboler	205
Spesifikasjoner	213
Støttede transdusere (SonoSite SII)	213
Standarder	214
Elektromekaniske sikkerhetsstandarder	214
Akustiske utdata	214
ALARA-prinsipp	214
Bruke ALARA-prinsippet	214
Direkte kontrollere	215
Utdatavisning	215
Relaterte retningslinjer	215
Måling av akustisk utdata	216
Termer som brukes i tabellene for akustiske utdata	274
Ordliste (SonoSite Edge II)	275

Innledning

Konvensjoner for dokumentet

Dokumentet følger disse konvensjonene:

- ▶ **ADVARSEL** beskriver forholdsregler som er nødvendige for å avverge personskade eller dødsfall.
- ▶ **Forsiktig** beskriver forholdsregler som er nødvendige for å beskytte produktene.
- ▶ **Merk** gir tilleggsinformasjon.
- ▶ Trinn med tall og bokstaver må utføres i en bestemt rekkefølge.
- ▶ Punktlister gir informasjon i listeforamt, men krever ikke en bestemt rekkefølge.
- ▶ Ettrinnsprosedyrer begynner med ❖.

Se "Symboler" i brukerhåndboken for å få en beskrivelse av symboler som vises på produktet.

Slik får du hjelp

Hvis du ønsker teknisk støtte, kan du ta kontakt med FUJIFILM SonoSite på følgende måte:

Telefon (USA eller Canada)	+1-877-657-8118
Telefon (utenfor USA eller Canada)	+1-425-951-1330, eller ta kontakt med din lokale representant
Faks	+1-425-951-6700
E-post	ffss-service@fujifilm.com
Nettsted	www.sonosite.com
Servicesenter i Europa	Hovednummer: +31 20 751 2020 Engelsk støtte: +44 14 6234 1151 Fransk støtte: +33 1 8288 0702 Tysk støtte: +49 69 8088 4030 Italiensk støtte: +39 02 9475 3655 Spansk støtte: +34 91 123 8451
Servicesenter i Asia	+65 6380-5581

Trykt i USA.

Slik får du hjelp (SonoSite Edge II)

Følgende har blitt korrigert i brukerhåndboken for SonoSite Edge II-systemet. Endringen vil bli utført i neste oppdatering.

E-post

ffss-service@fujifilm.com

Slik kommer du i gang

Følgende innhold var enten feil eller ikke inkludert i brukerhåndbøkene for SonoSite Edge II- og SonoSite SII-systemene. Endringene vil bli utført i neste oppdatering.

Tiltenkt bruk

Avbildningsanvendelser for prostata

Prostata og omsluttende anatomiske strukturer kan vurderes med hensyn til mulig patologi.

Avbildning av overflater

Bryst, skjoldbruskkjertel, testikler, lymfeknuter, brokk, strukturer i muskel- og skjelettsystemet, bløtvevstrukturer, ryggraden, oftalmologiske strukturer og omgivende anatomiske strukturer kan vurderes med hensyn til mulig patologi. Systemet kan brukes til ultralydveiledet biopsi og drenasje, innlegging av vaskulære katetre og perifere nerveblokkeringer.

Systemoppsett

Tilkoblingsinnstillinger (SonoSite SII)

Alle referanser til PDAS skal endres til SiteLink i brukerhåndboken for SonoSite SII-systemet. Endringen vil bli utført i neste oppdatering.

Tilkoblingsoppsett (SonoSite Edge II)

Følgende referanse har blitt oppdatert i brukerhåndboken for SonoSite Edge II-systemet. Endringen vil bli utført i neste oppdatering.

Slik aktiverer du trådløs tilkobling

- ❖ Se *Konfigurere en nettverksforbindelse*.

Innstillinger for nettverksstatus

Hvis skjermbildet Network Status (Nettverksstatus) viser en feilmelding for en trådløs enhet, kan det være at nettverkspassordet er utløpt. Sørg for at du har et oppdatert nettverkspassord før du kobler til den trådløse enheten.

Avbildning

C8x-transduseren kan brukes med nålfører på både SonoSite Edge II- og SonoSite SII-systemet.

Avbildningsmodi og undersøkelser som er tilgjengelige avhengig av transduser (SonoSite SII)

Følgende fotnoter manglet i **tabell 4-5. Avbildningsmodi og undersøkelser som er tilgjengelige avhengig av transduser** i brukerhåndboken for SonoSite SII-systemet. Endringen vil bli utført i neste oppdatering.

^aForkortelsene for de enkelte undersøkelsestypene er: Abd = abdomen, Art = arteriell, Bre = bryst, Crd = hjerte, Gyn = gynekologi, Msk = muskel og skjelett, Neo = neonatal, Nrv = nerve, OB = fødselsmedisin, Oph = oftalmologisk, Pro = prostata, SmP = små kroppsdeler, Spn = ryggrad, Sup = overfladisk, Ven = venøs.

^bOptimaliseringsinnstillingene for 2D er Res, Gen og Pen.

^cOptimaliseringsinnstillingene for CPD og Color (Farge) er lav, middels og høy (flowsensitivitet) med en rekke PRF-innstillinger for Color (Farge) avhengig av valgt innstilling.

Målinger og beregninger (SonoSite SII)

Generelle beregninger

Volumberegning


- ADVARSLER**
- ▶ Kontroller at pasientinformasjon og dato- og tidsinnstillinger er korrekte slik at du unngår feilaktige beregninger.
 - ▶ Start et nytt pasientskjema før du starter en ny undersøkelse og utfører beregninger for en ny pasient, slik at du unngår feildiagnose eller ødeleggelse av pasientens resultater. Når du oppretter et nytt pasientskjema, slettes de tidligere pasientdataene. De tidligere pasientdataene kombineres med de nåværende pasientdataene hvis skjemaet ikke tømmes først.

Volumberegningen involverer tre avstandsmålinger i 2D: D1, D2 og D3. Etter at alle målingene er lagret, vil resultatet vises på skjermen og i pasientrapporten.

Volumberegning er tilgjengelig i følgende undersøkelsestyper: abdomen, arteriell, bryst, gynekologi, muskel og skjelett, nerve, små kroppsdeler, venøs og overfladisk.

Slik beregner du volum

Gjør følgende for hvert bilde du skal måle:

- 1 Trykk på **Calcs** (Beregninger) i et fryst 2D-bilde.
- 2 Gjør følgende for hver måling du skal utføre:
 - a Velg målingsnavnet fra beregningsmenyen under **Volume** (Volum).
Hvis **Volume** (Volum) ikke er tilgjengelig i en Gyn-undersøkelse, velger du **Gyn**, og deretter velger du **Volume** (Volum).
 - b Bruk styreplaten eller berøringsskjermen for å plassere målepunktene.
 - c Trykk på **Save Calc** (lagre beregning) for å lagre beregningen.
Et avkrysningsmerke vises ved siden av den lagrede målingen.
- 3 Trykk på  for å lagre et bilde av den fullførte beregningen.
- 4 Trykk på **Back** (tilbake) for å avslutte beregningen.

Målereferanser (SonoSite SII)

Følgende informasjon var ikke inkludert i brukerhåndboken for SonoSite SII-systemet. Endringen vil bli utført i neste oppdatering.

Målingsnøyaktighet

Tabell 1: Målings- og beregningsnøyaktighet og verdiområde for M-modus

Målingsnøyaktighet og -område for M-modus	Systemtoleranse	Nøyaktighet ved	Testmetode	Område
Avstand	< +/- 2 % pluss 1 % av full skala ^a	Bildetaking	Fantom ^b	0–26 cm
Tid	< +/- 2 % pluss 1 % av full skala ^c	Bildetaking	Fantom ^d	0,01–10 sek
Hjertefrekvens	< +/- 2 % pluss (full skala ^c * hjertefrekvens/100) %	Bildetaking	Fantom ^d	5–923 slag per minutt

^aFull skala for avstand innbefatter bildets maksimumsdybde.

^bEt RMI 413a-modell-fantom med bruk av 0,7 dB/cm MHz demping.

^cFull tidsskala innbefatter den totale tiden som vises på det rullende grafiske bildet.

^dFUJIFILM SonoSite spesialtestutstyr ble brukt.

Målingspubliseringer og terminologi

Generelle referanser

Hoftevinkel/d:D-forhold

Morin, C., Harcke, H., MacEwen, G. "The Infant Hip: Real-Time US Assessment of Acetabular Development." *Radiology* 177: p.673-677, December 1985.

Arealreduksjon i prosent

Zwiebel W.J., J.A. Zagzebski, A.B. Crummy, et al. "Correlation of peak Doppler frequency with lumen narrowing in carotid stenosis." *Stroke*, 3: (1982), p.386-391.

$$\% \text{ arealreduksjon} = [1 - A2(\text{cm}^2)/A1(\text{cm}^2)] * 100$$

der: A1 = opprinnelig areal av blodkaret i kvadratcentimeter

A2 = redusert areal av blodkaret i kvadratcentimeter

Diameterreduksjon i prosent

Handa, Nobuo et al., "Echo-Doppler Velocimeter in the Diagnosis of Hypertensive Patients: The Renal Artery Doppler Technique," *Ultrasound in Medicine and Biology*, 12:12 (1986), p.945-952.

$$\% \text{ diameterreduksjon} = [1 - D2(\text{cm})/D1(\text{cm})] * 100$$

der: D1 = opprinnelig diameter på blodkaret i cm

D2 = redusert diameter på blodkaret i cm

Rengjøre og desinfisere

Følgende nettside ble korrigert i brukerhåndbøkene for SonoSite Edge II- og SonoSite SII-systemene. Endringen vil bli utført i neste oppdatering.

www.sonosite.com/products/transducers

Følgende fotnote ble oppdatert i rengjørings- og desinfiseringstabellene.

En mer fullstendig liste over godkjente rengjørings- og desinfiseringsmidler finnes i verktøyet for rengjørings- og desinfiseringsmidler på www.sonosite.com/support/cleaners-disinfectants.

Sikkerhet

Klinisk sikkerhet

Følgende advarsel har blitt oppdatert i brukerhåndbøkene for SonoSite Edge II- og SonoSite SII-systemene. Endringen vil bli utført i neste oppdatering.

ADVARSEL

FUJIFILM SonoSite anbefaler ikke bruk av høyfrekvente elektromedisinske enheter i nærheten av systemene. FUJIFILM SonoSite-utstyr er ikke validert for bruk med høyfrekvente elektrokirurgiske enheter eller prosedyrer. Bruk av høyfrekvente elektrokirurgiske enheter i nærheten av systemene kan føre til unormal systemadferd eller avstengning av systemet.

Ikke bruk omformer med høyfrekvent kirurgisk utstyr, for å unngå risiko for brannskade. Nevnte fare kan oppstå ved feil i den høyfrekvente kirurgiske kontakten for nøytral elektrode.

Elektromagnetisk kompatibilitet

Ultralydssystemet har blitt testet og funnet i samsvar med grenseverdiene for elektromagnetisk kompatibilitet (EMC) for medisinsk utstyr i henhold til IEC 60601-1-2:2007 og IEC 60601-1-2:2014. Ultralydssystemet er egnet for bruk i det profesjonelle helseinstitusjonsmiljøet. Aktivt HF-kirurgisk utstyr medfører store elektromagnetiske forstyrrelser som kan forstyrre ultralydssystemets funksjon. Ultralydssystemet skal ikke betjenes i et RF-skjermet rom der magnetisk resonansavbildingsutstyr er til stede, da det produserer store elektromagnetiske forstyrrelser som kan forstyrre ultralydssystemets funksjon. Disse grenseverdiene har som formål å gi rimelig beskyttelse mot skadelig interferens i en vanlig sykehusinstallasjon.

Forsiktighetsregler

- ▶ Elektromedisinsk utstyr krever spesielle forholdsregler med hensyn til EMC, og må installeres og brukes i henhold til disse anvisningene. Bærbart RF-kommunikasjonsutstyr (herunder eksterne enheter som antennekabler og eksterne antenner) må ikke brukes nærmere enn 30 cm fra noen del på -ultralydsystemet, herunder kabler produsenten har spesifisert av FUJIFILM SonoSite. Bærbare og mobile radiosendere kan påvirke ultralydsystemet. Elektromagnetisk interferens (EMI) fra annet utstyr eller interferensilder kan medføre svekkelse i ytelsen til ultralydsystemet. Tegn på avbrudd kan innebære forringelse eller forvrengning av bildet, uregelmessige målinger, utstyret slutter å fungere eller annen feilaktig funksjon. Skjer dette, skal du inspisere bruksstedet for å finne årsaken til avbruddet og iverksette tiltak for å fjerne kilden(e).
 - ▶ Slå av og på utstyr i nærheten for å isolere utstyret som forårsaker problemet.
 - ▶ Flytt eller snu på utstyret som forårsaker interferensen.
 - ▶ Øk avstanden mellom utstyret som forårsaker interferensen og ultralydsystemet.
 - ▶ Kontroller bruk av frekvenser som er nær ultralydsystemets frekvenser.
 - ▶ Fjern svært EMI-følsomme apparater.
 - ▶ Senk effekten fra interne kilder under sykehusets kontroll (for eksempel personsøkesystemer).
 - ▶ Merk EMI-følsomme apparater.
 - ▶ Lær opp klinisk personell til å gjenkjenne mulige EMI-relaterte problemer.
 - ▶ Eliminer eller reduser EMI med tekniske løsninger (for eksempel skjerming).
 - ▶ Begrens bruk av personlig kommunikasjonsutstyr (mobiltelefoner, datamaskiner) i områder med EMI-følsomme enheter.
 - ▶ Del relevant EMI-informasjon med andre, spesielt ved evaluering av nye utstyrsinnkjøp som kan generere EMI.
 - ▶ Kjøp medisinsk utstyr som samsvarer med IEC 60601-1-2 EMC-standardene.
- ▶ Ikke plasser annet utstyr oppå ultralydsystemet, og ikke bruk annet utstyr i nærheten av eller like ved ultralydsystemet. Hvis det er nødvendig å plassere utstyr oppå ultralydsystemet eller bruke utstyret i nærheten av det, må du følge med på systemet for å være sikker på at det fungerer som det skal.

Merk

Utslippsegenskapene til SonoSite Edge II og SII ultralydssystemer gjør det egnet for bruk i industriområder og sykehus (CISPR 11 klasse A). Hvis det brukes i et boligmiljø (der CISPR 11 klasse B normalt kreves), vil kanskje ikke ultralydssystemet gi egnet beskyttelse mot radiofrekvente kommunikasjonstjenester. Det kan være nødvendig å treffe dempende tiltak, for eksempel snu, skjerme eller flytte på utstyret.

Trådløs overføring

SonoSite Edge II og SII ultralydssystem implementerer to trådløse løsninger.

- ▶ Trådløst USB-nettverkskort (Panda) er en liten, trådløs adapter som plugges inn i USB-porten på:
 - ▶ høyre side av Edge II ultralydssystem.
 - ▶ Øverst bak på SII ultralydssystem.
- ▶ Trådløs og sikkerhetsmodul (Laird) er en modul som monteres på:
 - ▶ lokket på Edge II ultralydssystem og deretter plugges inn i systemet med rettvinklet USB-ledning.
 - ▶ Omformerarmen på SII ultralydssystem og deretter plugges inn i systemet med 30 cm USB-ledning.

Se informasjonen under for informasjon om overføring for hver enkelt.

Trådløst USB-nettverkskort (Panda)

Det trådløse USB-nettverkskortet bruker frekvensbåndene Industrial, Scientific og Medical (ISM) fra 2,412 til 2,4835 GHz, avhengig av landets lovverk. USB-nettverkskortet implementerer følgende overføringsmetoder:

- ▶ IEEE 802.11b med Direct Sequence Spread Spectrum (DSSS) ved 19 dBm: Topphastighet 54 Mbps. Maks. gjennomgang: 27 Mbps
- ▶ IEEE 802.11g med OFDM (Orthogonal Frequency Division Multiplexing) ved 16 dBm Topphastighet 54 Mbps. Maks. gjennomgang: 27 Mbps
- ▶ IEEE 802.11n med OFDM (Orthogonal Frequency Division Multiplexing) ved 15 dBm
 - ▶ 1T1R. Maksimal hastighet: 150 Mbps, maksimal gjennomstrømning: 90 Mbps
 - ▶ 1T2R. Maksimal hastighet: 300 Mbps, maksimal gjennomstrømning: Rx 160 Mbps
 - ▶ 2T2R. Maksimal hastighet: 300 Mbps, maksimal gjennomstrømning: Rx 260 Mbps

Trådløs sikkerhetsmodul (Laird)

Den trådløse sikkerhetsmodulen bruker frekvensbåndene Industrial, Scientific og Medical (ISM) fra 1,400 til 2,4835 GHz, og fra 5,100 til 5,800 GHz. Modulen bruker fire ulike overføringsmetoder:

- ▶ IEEE 802.11a med ortogonal frekvensdelt multipleksing (OFDM) ved 11 dBm \pm 2 dBm ved 54 Mbps
- ▶ IEEE 802.11b med direkte sekvens spredt spektrum (DSSS) ved 16 dBm \pm 2,0 dBm ved 11 Mbps

- ▶ IEEE 802.11g med ortogonal frekvensdelt multipleksing (OFDM) ved 13 dBm ± 2,0 dBm ved 54 Mbps
- ▶ IEEE 802.11n med ortogonal frekvensdelt multipleksing (OFDM) ved 12 dBm ± 2,0 dBm (802.11gn) ved MCS7

Kompatibelt tilbehør og eksternt utstyr (SonoSite Edge II)

FUJIFILM SonoSite har testet SonoSite Edge II ultralydssystem med følgende tilbehør og eksterne enheter, og har vist samsvar med kravene i IEC 60601-1-2:2007 og IEC 60601-1-2:2014.

Du kan bruke dette FUJIFILM SonoSite-tilbehøret og eksternt utstyr fra tredjeparter med SonoSite Edge II.

ADVARSLER

- ▶ Bruk av tilbehøret sammen med andre medisinske systemer enn Edge-ultralydssystemet kan føre til økt utslipp eller redusert immunitet for det medisinske systemet.
- ▶ Bruk av annet tilbehør enn det som er angitt, kan føre til økte utslipp eller redusert immunitet for ultralydssystemet.
- ▶ Ultralydssystemet skal ikke brukes i et boligmiljø eller kobles til det offentlige nettet.

Tabell 2: Tilbehør og eksterne enheter som er kompatible med Edge II ultralydssystemet

Beskrivelse	Maks. kabellengde
C8x-transduser	1,8 m
C11x-transduser	1,8 m
C35x-transduser	1,7 m
rC60xi-transduser standard/armert	1,7 m
HFL38xi-transduser standard/armert	1,7 m
HFL50x-transduser	1,7 m
HSL25x-transduser	2,3 m
ICTx-transduser	1,7 m
L25x-transduser standard/armert	2,3 m
L38xi-transduser standard/armert	1,7 m
L52x-transduser ^a	2,4 m
P10x-transduser	1,8 m

Tabell 2: Tilbehør og eksterne enheter som er kompatible med Edge II ultralydsystemet

Beskrivelse	Maks. kabellengde
rP19x-transduser standard/armert	1,8 m
TEExi-transduser	2,2 m
Strekkeskanner	1,5 m
Batteri til PowerPack	—
Batteripakke	—
Batteri PowerPack	—
Svart-hvitt-skriver	—
Strømkabel til svart-hvitt-skriver	1 m
Fargeskriver	—
Strømkabel til fargeskriver	1 m
Videokabel til fargeskriver	1,8 m
EKG-ledninger	0,6 m
EKG-modul	1,8 m
EKG-slavekabel	2,4 m
SonoSite Edge II-dokkingstasjon	—
SonoSite Edge II-stativ	—
Fotbryter	3 m
Petite-mus	1,8 m
Strømledning (system)	3 m
Strømforsyning med likestrømkabel	2 m
Strømforsyning vekselstrømkabel	1 m
PowerPark	—
Trippel transduserkontakt	—
Trådløs USB-adapter	—

For transdusere måles maksimal kabellengde mellom strekkavlastningene. Den angitte lengden omfatter ikke kabellengdene på følgende plasseringer: under strekkavlastningene, inne i transduserhuset og inne i transduserkontakten.
^aL52x-transduseren skal kun brukes av veterinær.

Kompatibelt tilbehør og eksternt utstyr (SonoSite SII)

FUJIFILM SonoSite har testet SonoSite SII-ultralysystemet med følgende tilbehør og eksterne enheter, og har vist samsvar med kravene i IEC 60601-1-2:2007 og IEC 60601-1-2:2014.

Du kan bruke dette FUJIFILM SonoSite-tilbehør og tredjepartsutstyr angitt nedenfor sammen med SonoSite SII-ultralysystemet.

ADVARSLER

- ▶ Bruk av tilbehøret sammen med andre medisinske systemer enn SonoSite SII-ultralysystemet kan føre til økt utslipp eller redusert immunitet for det medisinske systemet.
- ▶ Bruk av annet tilbehør enn det som er angitt, kan føre til økte utslipp eller redusert immunitet for ultralysystemet.

Tabell 3: Tilbehør og eksterne enheter som er kompatible med SonoSite SII-ultralysystemet

Beskrivelse	Maks. kabellengde
C8x-transduser	1,8 m
C11x-transduser	1,8 m
C35x-transduser	1,7 m
rC60xi-transduser standard/armert	1,7 m
HFL38xi-transduser standard/armert	1,7 m
HFL50x-transduser	1,7 m
HSL25x-transduser	2,3 m
ICTx-transduser	1,7 m
L25x-transduser standard/armert	2,3 m
L38xi-transduser standard/armert	1,7 m
L52x-transduser	2,4 m
P10x-transduser	1,8 m
rP19x-transduser standard/armert	1,8 m
Strekkodeskanner	1,5 m
Batteri til PowerPack	—
Batteripakke	—

Tabell 3: Tilbehør og eksterne enheter som er kompatible med SonoSite SII-ultralydsystemet

Beskrivelse	Maks. kabellengde
Batteri PowerPack	—
Svart-hvitt-skriver	—
Strømkabel til svart-hvitt-skriver	1 m
Kontrollkabel til svart-hvitt-skriver	1,8 m
Videokabel til svart-hvitt-skriver	1,9 m
Fotbryter	3 m
USB-skjøteledning til fotbryter	2 m
SonoSite SII-stativ	—
Strømledning (system)	3 m
Strømforsyning med likestrømkabel	2 m
Strømforsyning vekselstrømkabel	1 m
PowerPark	—
Trådløs USB-adapter	—
USB-minnepinne	—

For transdukere måles maksimal kabellengde mellom strekkavlastningene. Den angitte lengden omfatter ikke kabellengdene på følgende plasseringer: under strekkavlastningene, inne i transduserhuset og inne i transduserkontakten.

Produsenterklæring

Tabellene i denne delen dokumenterer det tiltenkte miljøet for bruk og systemets nivåer for EMC-samsvar. Forsikre deg om at systemet brukes i miljøene som er beskrevet i denne tabellen, for å oppnå maksimal ytelse.

Systemet er beregnet til bruk i det elektromagnetiske miljøet beskrevet nedenfor.

Tabell 4: Produsenterklæring – elektromagnetiske utslipp i henhold til IEC 60601-1-2:2007 og IEC 60601-1-2:2014

Emisjonstest	Samsvar	Elektromagnetisk miljø
RF-stråling CISPR 11	Gruppe 1	Edge II og SII ultralydssystem benytter kun radiofrekvensenergi til interne funksjoner. RF-strålingen er derfor meget lav, og sannsynligheten for å forstyrre annet elektronisk utstyr i nærheten, er liten.
RF-stråling CISPR 11	Klasse A	Edge II og SII ultralydssystemer passer til bruk i alle organisasjoner, bortsett fra privat bruk i hjemmet og bruk knyttet direkte til lavspenningsnett til husholdninger.
Harmonisk stråling IEC 61000-3-2	Klasse A	
Spenningsvingninger/flimmerstråling IEC 61000-3-3	Oppfyller kravene	

Systemet er beregnet til bruk i det elektromagnetiske miljøet beskrevet nedenfor.


Tabell 5: Produsenterklæring – elektromagnetisk immunitet i henhold til IEC 60601-1-2:2007

Immunitetstest	IEC 60601-testnivå	Samsvarsnivå	Elektromagnetisk miljø
Elektrostatisk utlading (ESD) IEC 61000-4-2	± 2,0 KV, ± 4,0 KV, ± 6,0 KV kontakt ± 2,0 KV, ± 4,0 KV, ± 8,0 KV luft	± 2,0 KV, ± 4,0 KV, ± 6,0 KV kontakt ± 2,0 KV, ± 4,0 KV, ± 8,0 KV luft	Gulv bør være av tre, betong eller keramiske fliser. Hvis gulvene er belagt med syntetisk materiale, skal den relative luftfuktigheten være minst 30 %.
Elektrisk hurtigtransient/støt IEC 61000-4-4	± 2 KV på nettstrøm ± 1 KV på signalledninger	± 2 KV på nettstrøm ± 1 KV på signalledninger	Nettstrømkvaliteten skal være som i et typisk kommersielt miljø eller sykehusmiljø.
Overspenning IEC 61000-4-5	± 1 KV linje(r) til linje(r) ± 2 KV linje(r) til jord	± 1 KV linje(r) til linje(r) ± 2 KV linje(r) til jord	Nettstrømkvaliteten skal være som i et typisk kommersielt miljø eller sykehusmiljø.

Tabell 5: Produsenterklæring – elektromagnetisk immunitet i henhold til IEC 60601-1-2:2007

Immunitetstest	IEC 60601-testnivå	Samsvarsnivå	Elektromagnetisk miljø
Spenningsfall, korte avbrytelser og spenningsvariasjoner i strømtilførselskablene IEC 61000-4-11	< 5 % U_T (>95 % fall i U_T) for 0,5 sykluser 40 % U_T (60 % fall i U_T) for 5 sykluser 70 % U_T (30 % fall i U_T) for 25 sykluser < 5 % U_T (>95 % fall i U_T) i 5 s	< 5 % U_T (>95 % fall i U_T) for 0,5 sykluser 40 % U_T (60 % fall i U_T) for 5 sykluser 70 % U_T (30 % fall i U_T) for 25 sykluser < 5 % U_T (>95 % fall i U_T) i 5 s	Nettstrøm kvaliteten skal være som i et typisk kommersielt miljø eller sykehusmiljø. Hvis brukeren av FUJIFILM SonoSite-ultralydsystemet krever kontinuerlig drift av systemet under strømbrudd, anbefales det at FUJIFILM SonoSite-ultralydsystemet kobles til en avbruddsfri strømforsyning eller et batteri.
Strømfrekvensindusert magnetfelt IEC 61000-4-8	3 A/m	3 A/m	Hvis bildet blir forvrengt, kan det være nødvendig å øke avstanden mellom FUJIFILM SonoSite-ultralydsystemet fra kilder av magnetfelt i nettfrekvenser, eller installere magnetisk skjerming. Magnetfeltet for strømfrekvens skal måles på det aktuelle installasjonsstedet for å være sikker på at det er tilstrekkelig lavt.
Ledet RF IEC 61000-4-6	3 Vrms 150 kHz til 80 MHz	3 Vrms	Bærbare og mobile radiosendere bør ikke brukes nærmere noen del, inkludert kabler, av FUJIFILM SonoSite-ultralydsystemet enn den anbefalte avstanden beregnet ut fra ligningen som gjelder senderens frekvens. Anbefalt sikkerhetsavstand $d = 1,2 \sqrt{P}$


Tabell 5: Produsenterklæring – elektromagnetisk immunitet i henhold til IEC 60601-1-2:2007

Immunitetstest	IEC 60601-testnivå	Samsvarsnivå	Elektromagnetisk miljø
Utstrålt RF IEC 61000-4-3	3 V/m 80 MHz til 2,5 GHz	3 V/m 80 MHz til 2,5 GHz	$d = 1,2 \sqrt{P}$ 80 MHz til 800 MHz $d = 2,3 \sqrt{P}$ 800 MHz til 2,5 GHz Der P er senderens klassifiserte maksimale utgangseffekt i watt (10) i henhold til senderprodusenten, og d er den anbefalte avstanden i meter (m). Feltstyrke fra stasjonære RF-sendere, som fastslått ved en elektromagnetisk stedsundersøkelse ^a , skal være mindre enn samsvarsnivået i hvert frekvensområde ^b . Interferens kan oppstå i nærheten av utstyr merket med følgende symbol:  (IEC 60417 nr. 417-IEC-5140: "Kilde til ikke-ioniserende stråling")
Merk	U_T er vekselstrømmens spenning før testnivået legges til. Ved 80 MHz og 800 MHz vil den høyeste frekvensen gjelde. Disse retningslinjene gjelder ikke nødvendigvis i alle situasjoner. Elektromagnetisk spredning blir påvirket av absorpsjon og refleks fra konstruksjoner, gjenstander og personer.		
<p>a. Feltstyrke fra faste sendere, som basestasjoner for radiotelefoner (mobil/trådløs) og landmobilradioer, amatørradioer, AM- og FM-radiokringkasting og TV-kringkasting, kan ikke anslås teoretisk med nøyaktighet. Vurder det elektromagnetiske miljøet med hensyn til radiosendere ved å foreta elektromagnetisk kartlegging av plasseringsstedet. Dersom de målte feltstyrkene på stedet der FUJIFILM SonoSite-ultraljydsystemet brukes, overstiger RF-samsvarsnivået som er angitt ovenfor, bør FUJIFILM SonoSite-ultraljydsystemet holdes under oppsikt for å kontrollere normal drift. Dersom unormal ytelse observeres, kan det være nødvendig å iverksette flere tiltak, for eksempel å snu eller flytte FUJIFILM SonoSite-ultraljydsystemet.</p> <p>b. I frekvensområdet 150 kHz til 80 MHz bør feltstyrkene være lavere enn 3 V/m.</p>			

Tabell 6: Produsenterklæring – elektromagnetisk immunitet i henhold til IEC 60601-1-2:2014

Immunitetstest	IEC 60601-testnivå	Samsvarsnivå	Elektromagnetisk miljø
Elektrostatisk utlading (ESD) IEC 61000-4-2	± 8,0 KV kontakt ± 2,0 KV, ± 4,0KV, ± 8,0 KV luft, ± 15KV	± 8,0 KV, ± 4,0 KV, ± 8,0 KV luft, ± 15 KV	Gulv bør være av tre, betong eller keramiske fliser. Hvis gulvene er belagt med syntetisk materiale, skal den relative luftfuktigheten være minst 30 %.
Elektrisk hurtigtransient/støt IEC 61000-4-4	± 2 KV på nettstrøm ± 1 KV på signalledninger	± 2 KV på nettstrøm ± 1 KV på signalledninger	Nettstrømkvaliteten skal være som i et typisk kommersielt miljø eller sykehusmiljø.
Overspenning IEC 61000-4-5	± 1 KV linje(r) til linje(r) ± 2 KV linje(r) til jord	± 1 KV linje(r) til linje(r) ± 2 KV linje(r) til jord	Nettstrømkvaliteten skal være som i et typisk kommersielt miljø eller sykehusmiljø.
Spenningsfall, korte avbrytelser og spenningsvariasjoner i strømtilførselskablene IEC 61000-4-11	0 % U_T i 0,5 syklus 0 % U_T i 5 sykluser 70 % U_T (30 % fall i U_T) i 500 msek < 5 % U_T (>95 % fall i U_T) i 5 s	0 % U_T i 0,5 syklus 0 % U_T i 5 sykluser 70 % U_T (30 % fall i U_T) i 500 msek < 5 % U_T (>95 % fall i U_T) i 5 s	Nettstrømkvaliteten skal være som i et typisk kommersielt miljø eller sykehusmiljø. Hvis brukeren av FUJIFILM SonoSite-ultralydsystemet krever kontinuerlig drift av systemet under strømbrydd, anbefales det at FUJIFILM SonoSite-ultralydsystemet kobles til en avbruddsfri strømforsyning eller et batteri.
Strømfrekvensindusert magnetfelt IEC 61000-4-8	30 A/m	30 A/m	Hvis bildet blir forvrengt, kan det være nødvendig å øke avstanden mellom FUJIFILM SonoSite-ultralydsystemet fra kilder av magnetfelt i nettfrekvenser, eller installere magnetisk skjerming. Magnetfeltet for strømfrekvens skal måles på det aktuelle installasjonsstedet for å være sikker på at det er tilstrekkelig lavt.

Tabell 6: Produsenterklæring – elektromagnetisk immunitet i henhold til IEC 60601-1-2:2014

Immunitetstest	IEC 60601-testnivå	Samsvarsnivå	Elektromagnetisk miljø
Ledet RF IEC 61000-4-6	3 Vrms 150 kHz til 80 MHz 6 Vrms i ISM-bånd	3 Vrms 6 Vrms i ISM-bånd	Bærbare og mobile radiosendere bør ikke brukes nærmere noen del, inkludert kabler, av FUJIFILM SonoSite-ultralydsystemet enn den anbefalte avstanden beregnet ut fra ligningen som gjelder senderens frekvens. Anbefalt sikkerhetsavstand $d = 1,2 \sqrt{P}$
Utstrålt RF IEC 61000-4-3	3 V/m 80 MHz til 2,7 GHz	3 V/m 80 MHz til 2,7 GHz	$d = 1,2 \sqrt{P}$ 80 MHz til 800 MHz $d = 2,3 \sqrt{P}$ 800 MHz til 2,5 GHz Der P er senderens klassifiserte maksimale utgangseffekt i watt (10) i henhold til senderprodusenten, og d er den anbefalte avstanden i meter (m). Feltstyrke fra stasjonære RF-sendere, som fastslått ved en elektromagnetisk stedsundersøkelse ^a , skal være mindre enn samsvarsnivået i hvert frekvensområde ^b . Interferens kan oppstå i nærheten av utstyr merket med følgende symbol:  (IEC 60417 nr. 417-IEC-5140: "Kilde til ikke-ioniserende stråling")
Nærhetsfelter fra trådløst kommunikasjonsutstyr	Iht. 60601-1-2:2014, tabell 9	Iht. 60601-1-2:2014 Tabell 9	
Merk	<p>U_T er vekselstrømmens spenning før testnivået legges til.</p> <p>Ved 80 MHz og 800 MHz vil den høyeste frekvensen gjelde.</p> <p>Disse retningslinjene gjelder ikke nødvendigvis i alle situasjoner. Elektromagnetisk spredning blir påvirket av absorpsjon og refleks fra konstruksjoner, gjenstander og personer.</p>		

Tabell 6: Produsenterklæring – elektromagnetisk immunitet i henhold til IEC 60601-1-2:2014

Immunitetstest	IEC 60601-testnivå	Samsvarsnivå	Elektromagnetisk miljø
<p>a. Feltstyrke fra faste sendere, som basestasjoner for radiotelefoner (mobil/trådløs) og landmobilradioer, amatørradioer, AM- og FM-radiokringkasting og TV-kringkasting, kan ikke anslås teoretisk med nøyaktighet. Vurder det elektromagnetiske miljøet med hensyn til radiosendere ved å foreta elektromagnetisk kartlegging av plasseringsstedet. Dersom de målte feltstyrkene på stedet der FUJIFILM SonoSite-ultralydssystemet brukes, overstiger RF-samsvarsnivået som er angitt ovenfor, bør FUJIFILM SonoSite-ultralydssystemet holdes under oppsikt for å kontrollere normal drift. Dersom unormal ytelse observeres, kan det være nødvendig å iverksette flere tiltak, for eksempel å snu eller flytte FUJIFILM SonoSite-ultralydssystemet.</p> <p>b. I frekvensområdet 150 kHz til 80 MHz bør feltstyrkene være lavere enn 3 V/m.</p>			

FCC-forsiktighetsregel: Dette utstyret er testet og er i overensstemmelse med grensene for digitalt utstyr i klasse A, i samsvar med del 15 i FCC-reglementet. Disse grenseverdiene har som formål å gi rimelig beskyttelse mot skadelig interferens når utstyret brukes i et kommersielt miljø. Utstyret produserer, bruker og kan utstråle radiofrekvensenergi, og hvis det ikke installeres og brukes i henhold til instruksjonshåndboken, kan det skape skadelig interferens overfor radiokommunikasjon. Hvis dette utstyret brukes i et boligmiljø, er det sannsynlig at det vil forårsake skadelig interferens. I så fall må brukeren korrigere interferensen for egen regning.

Kompatibelt tilbehør og eksterne enheter




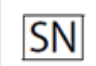
Følgende advarsel ble lagt til i brukerhåndbøkene for SonoSite Edge II- og SonoSite SII-systemene. Endringen vil bli utført i neste oppdatering.

ADVARSEL

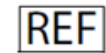



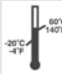
Hvis eksterne enheter er koblet til systemet, må du forsikre deg om at systemet og de eksterne enhetene er koblet til samme vekselstrømkrets.

Merkesymboler







Tabell 7: Standard merkesymboler

Symbol	Tittel	Standards Development Organization	Referanse-nummer	Beskrivelse
	Produsent	ISO 15223-1:2016 Medisinsk utstyr – symboler som skal brukes med etiketter og merking for medisinsk utstyr, og informasjon som skal oppgis – Del 1: Generelle krav	5.1.1	Indikerer produsenten av medisinsk utstyr, som EU-direktiv 90/385/EØF, 93/42/EØF og 98/79/EF
	Ikke-ioniserende elektromagnetisk stråling	IEC 60601-1-2:2007 Elektromedisinsk utstyr – Del 1-2: Generelle krav til grunnleggende sikkerhet og nødvendig ytelse – samordnet standard: elektromagnetisk kompatibilitet	5.1.1	Indikerer generelt forhøyede, potensielt farlige nivåer av ikke-ioniserende stråling, eller for å indikere utstyr eller systemer, for eksempel i det medisinske elektriske området, som inkluderer radiosendere eller som med hensikt bruker radioelektromagnetisk energi til diagnose eller behandling
	Autorisert representant i EU	ISO 15223-1 Medisinsk utstyr – symboler som skal brukes med etiketter og merking for medisinsk utstyr, og informasjon som skal oppgis.	5.1.2	Indikerer autorisert representant i EU
	Serienummer	ISO 15223-1:2016 Medisinsk utstyr – symboler som skal brukes med etiketter og merking for medisinsk utstyr, og informasjon som skal oppgis – Del 1: Generelle krav	5.1.7	Indikerer produsentens serienummer slik at spesifikt medisinsk utstyr kan identifiseres.








Tabell 7: Standard merkesymboler (fortsettes)

Symbol	Tittel	Standards Development Organization	Referanse-nummer	Beskrivelse
	Katalognr.	ISO 15223-1:2016 Medisinsk utstyr – symboler som skal brukes med etiketter og merking for medisinsk utstyr, og informasjon som skal oppgis – Del 1: Generelle krav	5.1.6	Indikerer produsentens katalognummer slik at det medisinske utstyret kan identifiseres
	Forsiktig	ISO 15223-1:2016 Medisinsk utstyr – Symboler som skal brukes med merking av medisinske enheter og informasjon som skal oppgis – Del 1: Generelle krav	5.4.4	Indikerer brukerens behov for å lese bruksanvisningen for viktig advarende informasjon, som advarsler og forholdsregler som av forskjellige årsaker ikke kan presenteres på det medisinske utstyret.
	Skjør, behandles forsiktig	ISO 15223-1:2016 Medisinsk utstyr – symboler som skal brukes med etiketter og merking for medisinsk utstyr, og informasjon som skal oppgis – Del 1: Generelle krav	5.3.1	Indikerer at det medisinske utstyret kan ødelegges eller skades hvis det ikke håndteres forsiktig
	Holdes tørt	ISO 15223-1:2016 Medisinsk utstyr – symboler som skal brukes med etiketter og merking for medisinsk utstyr, og informasjon som skal oppgis – Del 1: Generelle krav	5.3.4	Indikerer medisinsk utstyr som må beskyttes mot fuktighet
	Temperaturgrense	ISO 15223-1:2016 Medisinsk utstyr – symboler som skal brukes med etiketter og merking for medisinsk utstyr, og informasjon som skal oppgis – Del 1: Generelle krav	5.3.7	Indikerer temperaturgrenser som det medisinske utstyret trygt kan eksponeres mot







Tabell 7: Standard merkesymboler (fortsettes)

Symbol	Tittel	Standards Development Organization	Referanse-nummer	Beskrivelse
	Atmosfæriske trykkbegrensninger	ISO 15223-1:2016 Medisinsk utstyr – symboler som skal brukes med etiketter og merking for medisinsk utstyr, og informasjon som skal oppgis – Del 1: Generelle krav	5.3.9	Indikerer det atmosfæriske trykket som det medisinske utstyret trygt kan eksponeres for
	Luftfuktighetsbegrensning	ISO 15223-1:2016 Medisinsk utstyr – symboler som skal brukes med etiketter og merking for medisinsk utstyr, og informasjon som skal oppgis – Del 1: Generelle krav	5.3.8	Indikerer fuktighetsgrensene som det medisinske utstyret trygt kan eksponeres for
IPX7	Grad av inntrengningsbeskyttelse som huset gir	IEC 60601-1 Elektromedisinsk utstyr – Del 1: Generelle krav til grunnleggende sikkerhet og nødvendig ytelse	D.3	Beskyttet mot effektene av kortvarig nedsenking
	Se bruksanvisningen/heftet	IEC 60601-1 Elektromedisinsk utstyr – Del 1: Generelle krav til grunnleggende sikkerhet og nødvendig ytelse	D.2-10	Følg bruksanvisningen (brukt i henhold til IEC 60601-1)
	Les bruksanvisningen	ISO 15223-1:2016 Medisinsk utstyr – symboler som skal brukes med etiketter og merking for medisinsk utstyr, og informasjon som skal oppgis – Del 1: Generelle krav	5.4.3	Indikerer behovet for at brukeren må lese bruksanvisningen
	Vekselstrøm	ISO 7000/IEC 60417 Grafiske symboler for bruk på utstyr	5032	Indikerer på typeskiltet at utstyret kun er egnet for vekselstrøm, for å identifisere passende tilkoblingspunkter
	CE-merking	Rådsdirektiv 93/42/EØF	Artikkel 17 Vedlegg Xii	Viser europeisk teknisk samsvar









Tabell 7: Standard merkesymboler (fortsettes)

Symbol	Tittel	Standards Development Organization	Referanse-nummer	Beskrivelse
	Conformité Européene Offentlig organ-referansenr.: 2797	Rådsdirektiv 93/42/EØF	Artikkel 17 tillegg XII	Indikerer europeiske teknisk samsvar og identifikasjon av akkreditert kontrollorgan ansvarlig for implementering av prosedyrene angitt i tillegg II, IV, V og VI.
	Farlig spenning	ISO 7000/IEC 60417 Grafiske symboler for bruk på utstyr	5036	Indikerer farer som skyldes farlig spenning
	Stablegrense etter tall	ISO 7000/IEC 60417 Grafiske symboler for bruk på utstyr	2403	Indikerer at elementene ikke skal stables vertikalt høyere enn angitt antall elementer
	Forsiktig, varmt	ISO 7000/IEC 60417 Grafiske symboler for bruk på utstyr	5041	Indikerer at det merkede elementet kan være varmt og ikke må berøres uten at man er forsiktig
	Forsiktig, fare for statiske magnetfelt	ISO 7000/IEC 60417 Grafiske symboler for bruk på utstyr	6204	Identifiserer områder med potensielt farlige statiske magnetfelt og krefter i en installasjon
	Deler av type BF	IEC 60601-1 Elektromedisinsk utstyr – Del 1: Generelle krav til grunnleggende sikkerhet og nødvendig ytelse	D.2-10	Identifiserer del av type BF som overholder IEC 60601-1
	Defibrillerings-sikker del av type CF	IEC 60601-1 Elektromedisinsk utstyr – Del 1: Generelle krav til grunnleggende sikkerhet og nødvendig ytelse	D.1-27	Identifiserer en defibrilleringssikker del av type CF som overholder IEC 60601-1








Tabell 7: Standard merkesymboler (fortsettes)

Symbol	Tittel	Standards Development Organization	Referanse-nummer	Beskrivelse
	Elektrostatisk følsom enhet	IEC 60417:2002 Grafiske symboler for bruk på utstyr	5134	Indikerer pakker som inneholder elektrostatisk følsomme enheter, eller identifiserer en enhet eller en kontakt som ikke er testet for immunitet mot elektrostatisk utladning
	Regulatory Compliance Mark (RCM)	AS/NZS3820	—	Viser C-Tick-Forskriftsmessig samsvarsmerke for Australia og New Zealand. Enheten overholder gjeldende forskrifter for elektronisk utstyr i Australia og New Zealand.
	Batch-kode, datokode eller partikodetype av kontrollnummer.	ISO 15223-1 Medisinsk utstyr – symboler som skal brukes med etiketter og merking for medisinsk utstyr, og informasjon som skal oppgis – Del 1: Generelle krav	5.1.5	Viser produsentens partikode slik at partiet eller loten kan identifiseres
	Biologisk risiko.	ISO 7010 - Grafiske symboler -- Sikkerhetsfarger og sikkerhetsmerkinger	W009	For å advare mot biologisk fare
	INMETRO-sikkerhets-symboler	—	—	Indikerer Brasil – godkjent sertifiseringsorgan ved National Institute of Metrology Standardization and Industrial Quality (INMETRO)
	Canadian Standard Association Certification Mark	—	—	CSA-sertifiseringsmerke viser at produktet overholder aktuelle CSA- og ANSI/L-krav og er autorisert for bruk i Canada og i USA.







Tabell 7: Standard merkesymboler (fortsettes)

Symbol	Tittel	Standards Development Organization	Referanse-nummer	Beskrivelse
	Resirkuler: Elektronisk utstyr	BS EN 50419:2016 Merking av elektrisk og elektronisk utstyr i samsvar med direktiv 2012/19/EF (WEEE).	Vedlegg IX	Må ikke kastes med vanlig søppel
	Gjenvunnet bølgepapp	—	—	Forsendelseseske er laget av bølgepapp og skal resirkuleres deretter
	Produksjonsdato	ISO 7000 - Grafiske symboler for bruk på utstyr	5.1.3	Viser datoen da et produkt ble produsert
	Likestrøm (DC)	—	—	—
	21 Del 15	Federal Communications Commission (FCC) Samsvarserklæring	Federal Communications Commission	FCC-testet til Federal Communications Commissions krav Enheten samsvarer med relevante FCC-krav til elektroniske enheter
GEL	Gel	—	—	—
	Resy - Resirkulerings- symbol	—	—	Gjenvunnet papir
	Grad av inntrengningsbeskyttelse som huset gir	IEC 60601-1 Elektromedisinsk utstyr, Del 1: Generelle krav til grunnleggende sikkerhet og nødvendig ytelse	D.3	Beskyttet mot effektene av kortvarig nedsenking i vann. Beskyttet mot effektene av kortvarig nedsenking.
	Grad av inntrengningsbeskyttelse som huset gir	IEC 60601-1 Elektromedisinsk utstyr, Del 1: Generelle krav til grunnleggende sikkerhet og nødvendig ytelse	D.3	Beskyttet mot effektene av kortvarig nedsenking i vann. Vanntett utstyr beskyttet mot effektene av langvarig nedsenking

Tabell 7: Standard merkesymboler (fortsettes)

Symbol	Tittel	Standards Development Organization	Referanse-nummer	Beskrivelse
	—	—	—	Viser at det må behandles forsiktig
	—	—	—	Viser at produsentens anvisninger for desinfiseringstid må følges
	—	—	—	Indikerer desinfisering av transduser
	Maks. vektbelastning	IEC 60601-1 Medisinsk elektrisk utstyr – Del 1: Generelle krav til grunnleggende sikkerhet og nødvendig ytelse	7.2.21	Viser utstyrets totale vekt, inkludert trygg arbeidslast
	Underwriters Laboratories Certification Mark	—	—	Sertifiseringsmerke for Underwriters Laboratories kun for elektrisk støt, brann og mekaniske farer
	UL-Produkt-sertifisering	—	—	Produktet eller selskapet har oppfylt strenge standarder til produktsikkerhet
	China Pollution Control (10)	ISO 7000:2014 Grafiske symboler for bruk på utstyr	1135	Forurensningskontroll Logo. (Gjelder for alle deler/produkter oppgitt i China RoHS-tabell. Viser kanskje ikke utvendig på alle deler/produkter på grunn av plassbegrensninger.)

Tabell 7: Standard merkesymboler (fortsettes)

Symbol	Tittel	Standards Development Organization	Referanse-nummer	Beskrivelse
	Kina Obligatorisk Sertifikatmerke ("CCC-merke"). Obligatorisk sikkerhetsmerke for samsvar med kinesiske nasjonale standarder for mange produkter solgt i Folkerepublikken Kina.	—	—	—
	Sterilisert med etylenoksid	ISO 15223-1 Medisinsk utstyr – Symboler som skal brukes med merking av medisinske enheter og informasjon som skal oppgis – Del 1: Generelle krav	5.2.3	Indikerer en medisinsk enhet som er sterilisert med etylenoksid.
	Sterilisert med stråling	ISO 15223-1 Medisinsk utstyr – Symboler som skal brukes med merking av medisinske enheter og informasjon som skal oppgis – Del 1: Generelle krav	5.2.4	Indikerer en medisinsk enhet som er sterilisert med stråling.
	(kun SII) Katalognr.	ISO 15223-1:2016 Medisinsk utstyr – Symboler som skal brukes med merking av medisinsk utstyr, og informasjon som skal gis – Del 1: Generelle krav	5.1.6	Viser produsentens katalognummer slik at det medisinske utstyret kan identifiseres.
	(kun SII) Farlig spenning	ISO 7000/IEC 60417 Grafiske symboler for bruk på utstyr	5036	Indikerer farer som skyldes farlig spenning
	(kun SII) Kun til innendørs bruk	ISO 7000/IEC 60417 Grafiske symboler for bruk på utstyr	5957	Indikerer elektrisk utstyr designet primært til innendørsbruk

Spesifikasjoner

Støttede transdusere (SonoSite SII)

Følgende overflødig avsnitt ble fjernet fra brukerhåndboken for SonoSite SII. Den samme informasjonen finnes i tabell 9-2 i brukerhåndboken. Endringen vil bli utført i neste oppdatering.

Tabell 8: Støttede transdusere

Beskrivelse	Maks. kabellengde
C11x-transduser	1,8 m
rC60xi-transduser standard/armert	1,7 m
HFL38xi-transduser standard/armert	1,7 m
HFL50x-transduser	1,7 m
HSL25x-transduser	2,4 m
ICTx-transduser	1,7 m
L25x-transduser	2,3 m
L38xi-transduser standard/armert	1,7 m
L52x-transduser	2,4 m
P10x-transduser	1,8 m
rP19x-transduser standard/armert	1,8 m

For transdusere måles maksimal kabellengde mellom strekkavlastningene. Den angitte lengden omfatter ikke kabellengdene på følgende plasseringer: under strekkavlastningene, inne i transduserhuset og inne i transduserkontakten.

Standarder

Elektromekaniske sikkerhetsstandarder

Tabell 9: Elektromekaniske sikkerhetsstandarder

Standard	Beskrivelse
ANSI/AAMI ES60601-1:2005/(R) 2012 og A1:2012	Medisinsk elektrisk utstyr – Del 1: Generelle krav til grunnleggende sikkerhet og nødvendig ytelse (konsolidert utgave 3.1)
CAN/CSA C22.2 nr. 60601-1:2014 (utgave 3.1)	Medisinsk elektrisk utstyr – Del 1: Generelle krav til grunnleggende sikkerhet og nødvendig ytelse
IEC 60601-1:2012 (utgave 3.1)	Medisinsk elektrisk utstyr – Del 1: Generelle krav til grunnleggende sikkerhet og nødvendig ytelse
IEC 60601-2-37:2015	Medisinsk elektrisk utstyr – Del 2-37: Særlige krav til generell sikkerhet og nødvendig ytelse for ultralyd til medisinsk diagnostisering og overvåking
IEC 60601-1-6:2013	Medisinsk elektrisk utstyr – Del 1-6: Generelle krav til grunnleggende sikkerhet og nødvendig ytelse – samordnet standard: Egnethet
JIS T0601-1:2012 (3. utgave)	Japansk industriell standard, medisinsk elektrisk utstyr – Del 1: Generelle krav til grunnleggende sikkerhet og nødvendig ytelse

Akustiske utdata

ALARA-prinsipp

Bruke ALARA-prinsippet

Systemets avbildningsmodus, som velges av den kvalifiserte ultralydoperatøren, blir bestemt på grunnlag av den diagnostiske informasjonen som kreves. 2D-avbildning gir anatomisk informasjon; CPD-avbildning gir informasjon om energien eller amplitudestyrken til doppler-signalet over tid på et bestemt anatomisk sted og brukes til å påvise blodflow; Fargeavbildning gir informasjon om energien eller amplitudestyrken til doppler-signalet over tid på et bestemt anatomisk sted og brukes til å påvise forekomsten av, hastigheten på og retningen på blodflow; vevsharmonisk avbildning (THI) benytter høyere mottatte frekvenser for å redusere vevstøy og artefakter og forbedre oppløsningen til 2D-bildet. Den kvalifiserte ultralydoperatøren kan benytte ALARA-prinsippet ved å forstå den anvendte avbildningsmodusens art.

Varsom bruk av ultralyd forutsetter at pasientens eksponering for ultralyd blir begrenset til den laveste ultralydeffekten i løpet av kortest mulig tid som er nødvendig for å oppnå tilfredsstillende diagnostiske resultater. Avgjørelser som støtter varsom bruk, er basert på pasienttypen, undersøkelsestypen, pasienthistorikken, hvor lett eller vanskelig det er å innhente nyttig diagnostisk informasjon og mulig lokal oppvarming av pasienten på grunn av temperaturen på transduserens overflate.

Systemet er utviklet for å sikre at temperaturen på transduserfronten ikke overskrider grensene som er fastslått i IEC 60601-2-37: Særlige sikkerhetskrav til ultralyd for medisinsk diagnostisering og overvåkingssystemer. Se **“Stigning i omformerens overflatetemperatur”** på side 10-9. Dersom en enhet skulle svikte, er det omfattende kontroller som begrenser transdusereffekten. Dette oppnås med en elektrisk konstruksjon som begrenser både strømforsyning og spenning til transduseren.

Ultralydoperatøren bruker systemkontrollene til å justere bildekvaliteten og begrense ultralydeffekten. Systemkontrollene er inndelt i tre kategorier i forhold til effekt: kontroller med direkte innvirkning på effekten, kontroller med indirekte innvirkning på effekten og mottakerkontroller.

Direkte kontroller

Systemet overskrider ikke en ISPTA (akustisk intensitet) på 720 mW/cm^2 for alle avbildningsmodi. (For enten oftalmologisk bruk eller orbitalundersøkelse er akustiske utdata begrenset til følgende verdier: ISPTA overskrider ikke 50 mW/cm^2 ; TI overskrider ikke 1,0, og MI overskrider ikke 0,23.) Den mekaniske indeksen (MI) og termiske indeksen (TI) kan overskride verdier høyere enn 1,0 på noen transdusere i enkelte avbildningsmodi. MI- og TI-verdiene kan overvåkes, og kontrollene kan justeres for å redusere disse verdiene. Se **“Retningslinjer for å redusere MI og TI”** på side 10-3. Et annet virkemiddel for å overholde ALARA-prinsippet er å angi MI- eller TI-verdiene til en lav indeksverdi og deretter tilpasse dette nivået til bildet blir tilfredsstillende eller Doppler-modus oppnås. For mer informasjon om MI og TI, se Medical Ultrasound Safety, AIUM (et eksemplar følger med i hvert system) og IEC 60601-2-37 Vedlegg “Veiledning i tolkning av TI og MI som skal brukes til å informere brukeren”.

Utdatavisning

Relaterte retningslinjer

Informasjon for produsenter som søker markedsføringsklarering på diagnostisk ultralydssystemer og transdusere, FDA, 2008.

Medisinsk ultralydsikkerhet, Amerikansk institutt for ultralyd i medisin (AIUM), 2014. (Et eksemplar følger med hvert system.)

Standard for akustisk utgangsmåling for diagnostisk ultralydutstyr, NEMA UD2-2004.

IEC 60601-2-37: 2015 Særlige krav til generell sikkerhet og nødvendig ytelse for utstyr til ultralyd til diagnostisering og overvåking.

Økning i transduserens overflatetemperatur

Tabell 10-4 og Tabell 10-5 angir den målte økningen i overflatetemperatur fra omgivelsestemperaturen ($23\text{ °C} \pm 3\text{ °C}$) for transdusere brukt på ultralydssystemet. Temperaturene ble målt i henhold til IEC 60601-2-37, og kontroller og innstillinger ble stilt inn for å angi maksimumstemperaturer.

Måling av akustisk utdata

Siden ultralyd først ble tatt i bruk for diagnostisering er mulige biologiske virkninger (bioeffekter) hos mennesker, som følge av eksponering for ultralyd, blitt studert av ulike vitenskapelige og medisinske institusjoner. I oktober 1987 bekreftet American Institute of Ultrasound in Medicine (AIUM) en rapport utarbeidet av Bioeffects Committee (Bioeffects Considerations for the Safety of Diagnostic Ultrasound, *J Ultrasound Med.*, Sept. 1988: Vol. 7, No. 9 Supplement). Rapporten, noen ganger kalt *Stowe-rapporten*, har gått gjennom tilgjengelige data om mulige effekter av eksponering for ultralyd. En annen rapport, *Bioeffects and Safety of Diagnostic Ultrasound* datert 28. januar 1993, inneholder nyere opplysninger.

Akustisk utdata for dette ultralydssystemet er målt og beregnet i henhold til "Acoustic Output Measurement Standard for Diagnostic Ultrasound Equipment" (NEMA UD2-2004), IEC 60601-2-37: 2015 Særlige krav til generell sikkerhet og nødvendig ytelse for utstyr til ultralyd til diagnostisering og overvåking.

Tabell for akustiske utdata

Formatet for tabellene for akustiske utdata er oppdatert.

Transdusermodell: C8x Driftsmodus: 2D	218
Transdusermodell: C8x Driftsmodus: M-modus	219
Transdusermodell: C8x Driftsmodus: Farge/CPD	220
Transdusermodell: C8x Driftsmodus: PW-doppler	221
Transdusermodell: C11x Driftsmodus: PW-doppler	222
Transdusermodell: C35x Driftsmodus: 2D	223
Transdusermodell: C35x Driftsmodus: PW-doppler	224
Transdusermodell: HFL38xi (oftalmologisk bruk) Driftsmodus: 2D	225
Transdusermodell: HFL38xi (oftalmologisk bruk) Driftsmodus: M-modus	226
Transdusermodell: HFL38xi (oftalmologisk bruk) Driftsmodus: Farge/CPD	227
Transdusermodell: HFL38xi (oftalmologisk bruk) Driftsmodus: PW-doppler	228
Transdusermodell: HFL38xi Driftsmodus: 2D	229
Transdusermodell: HFL38xi Driftsmodus: M-modus	230
Transdusermodell: HFL38xi Driftsmodus: Farge/CPD	231
Transdusermodell: HFL38xi Driftsmodus: PW-doppler	232
Transdusermodell: HFL50x Driftsmodus: 2D	233
Transdusermodell: HFL50x Driftsmodus: M-modus	234
Transdusermodell: HFL50x Driftsmodus: Color	235
Transdusermodell: HFL50x Driftsmodus: PW-doppler	236
Transdusermodell: HSL25x (oftalmologisk bruk) Driftsmodus: 2D	237
Transdusermodell: HSL25x (oftalmologisk bruk) Driftsmodus: M-modus	238

Transdusermodell: HSL25x (oftalmologisk bruk) Driftsmodus: Farge/CPD	239
Transdusermodell: HSL25x (oftalmologisk bruk) Driftsmodus: PW-doppler	240
Transdusermodell: HSL25x Driftsmodus: 2D	241
Transdusermodell: HSL25x Driftsmodus: Farge/CPD	242
Transdusermodell: HSL25x Driftsmodus: PW-doppler	243
Transdusermodell: ICTx Driftsmodus: PW-doppler	244
Transdusermodell: L25x (oftalmologisk bruk) Driftsmodus: 2D	245
Transdusermodell: L25x (oftalmologisk bruk) Driftsmodus: M-modus	246
Transdusermodell: L25x (oftalmologisk bruk) Driftsmodus: Farge/CPD	247
Transdusermodell: L25x (oftalmologisk bruk) Driftsmodus: PW-doppler	248
Transdusermodell: L25x Driftsmodus: 2D	249
Transdusermodell: L25x Driftsmodus: Farge/CPD	250
Transdusermodell: L25x Driftsmodus: PW-doppler	251
Transdusermodell: L38xi Driftsmodus: 2D	252
Transdusermodell: L38xi Driftsmodus: M-modus	253
Transdusermodell: L38xi Driftsmodus: Farge/CPD	254
Transdusermodell: L38xi Driftsmodus: PW-doppler	255
Transdusermodell: P10x Driftsmodus: Color	256
Transdusermodell: P10x Driftsmodus: CW-doppler	257
Transdusermodell: P10x Driftsmodus: PW-doppler	258
Transdusermodell: rC60xi Driftsmodus: 2D	259
Transdusermodell: rC60xi Driftsmodus: M-modus	260
Transdusermodell: rC60xi Driftsmodus: Farge/CPD	261
Transdusermodell: rC60xi Driftsmodus: PW-doppler	262
Transdusermodell: rP19x (orbital bruk) Driftsmodus: 2D	263
Transdusermodell: rP19x (orbital bruk) Driftsmodus: M-modus	264
Transdusermodell: rP19x (orbital bruk) Driftsmodus: Farge/CPD	265
Transdusermodell: rP19x (orbital bruk) Driftsmodus: PW-doppler	266
Transdusermodell: rP19x Driftsmodus: 2D	267
Transdusermodell: rP19x Driftsmodus: M-modus	268
Transdusermodell: rP19x Driftsmodus: Farge/CPD	269
Transdusermodell: rP19x Driftsmodus: CW-doppler	270
Transdusermodell: rP19x Driftsmodus: PW-doppler	271
Transdusermodell: TEExi Driftsmodus: CW-doppler	272
Transdusermodell: TEExi Driftsmodus: PW-doppler	273

Tabell 10: Transdusermodell: C8x Driftsmodus: 2D

Indeksmerke		MI	TIS		TIB		TIC
			På overflaten	Under overflaten	På overflaten	Under overflaten	På overflaten
Maksimal indeksverdi		1,1	(a)		(a)		(b)
Indekskomponentverdi			#	#	#	#	
Akustiske parametere	$p_{r,\alpha}$ ved z_{MI} (MPa)	2,48					
	P (mW)		#		#		#
	$P_{1 \times 1}$ (mW)		#		#		
	z_s (cm)			—			
	z_b (cm)					—	
	z_{MI} (cm)	1,2					
	$z_{pii,\alpha}$ (cm)	1,2					
	f_{awf} (MHz)	5,53	#		#		#
Annen informasjon	p_{rr} (Hz)	9524					
	s_{rr} (Hz)	18,6					
	η_{pps}	1					
	$I_{pa,\alpha}$ ved $z_{pii,\alpha}$ (W/cm^2)	264					
	$I_{spta,\alpha}$ ved $z_{pii,\alpha}$ eller $z_{sii,\alpha}$ (mW/cm^2)	18,3					
	I_{spta} ved z_{pii} eller z_{sii} (mW/cm^2)	25,6					
	p_r ved z_{pii} (MPa)	3,11					
Drifts-kontroller	Undersøkelsestype	Pro					
	Optimalisering	Pen					
	Dybde (cm)	2,5-3,2					
	MB	Av					

(a) Denne indeksen er ikke påkrevd for denne driftsmodusen. Verdien er < 1 .

(b) Denne transduseren er ikke beregnet for å brukes transkranielt eller for neonatale hoder.

Det er ikke rapportert data for dette, siden den globale maksimale indeksverdien ikke er rapportert av nevnte grunn.

(Se linjen global maksimal indeksverdi.)

— Data gjelder ikke for denne transduseren/modusen.

Tabell 11: Transdusermodell: C8x Driftsmodus: M-modus

Indeksmerke		MI	TIS		TIB		TIC
			På overflaten	Under overflaten	På overflaten	Under overflaten	På overflaten
Maksimal indeksverdi		1,3	(a)		(a)		(b)
Indekskomponentverdi			#	#	#	#	
Akustiske parametere	$p_{r,\alpha}$ ved z_{MI} (MPa)	2,91					
	P (mW)		#		#		#
	$P_{1 \times 1}$ (mW)		#		#		
	z_s (cm)			#			
	z_b (cm)					#	
	z_{MI} (cm)	1,1					
	$z_{pii,\alpha}$ (cm)	1,1					
	f_{awf} (MHz)	5,07	#		#		#
Annen informasjon	pr_r (Hz)	800					
	srr (Hz)	—					
	η_{pps}	1					
	$I_{pa,\alpha}$ ved $z_{pii,\alpha}$ (W/cm^2)	433					
	$I_{spta,\alpha}$ ved $z_{pii,\alpha}$ eller $z_{sii,\alpha}$ (mW/cm^2)	149					
	I_{spta} ved z_{pii} eller z_{sii} (mW/cm^2)	226					
	p_r ved z_{pii} (MPa)	3,57					
Drifts-kontroller	Undersøkelsestype	Pro					
	Optimalisering	Pen					
	Dybde (cm)	4,2					

(a) Denne indeksen er ikke påkrevd for denne driftsmodusen. Verdien er < 1 .

(b) Denne transduseren er ikke beregnet for å brukes transkranielt eller for neonatale hoder.

Det er ikke rapportert data for dette, siden den globale maksimale indeksverdien ikke er rapportert av nevnte grunn.
(Se linjen global maksimal indeksverdi.)

— Data gjelder ikke for denne transduseren/modusen.

Tabell 12: Transdusermodell: C8x Driftsmodus: Farge/CPD

Indeksmerke		MI	TIS		TIB		TIC
			På overflaten	Under overflaten	På overflaten	Under overflaten	På overflaten
Maksimal indeksverdi		1,2	(a)		(a)		(b)
Indekskomponentverdi			#	#	#	#	
Akustiske parametere	$p_{r,\alpha}$ ved z_{MI} (MPa)	2,68					
	P (mW)		#		#		#
	$P_{1 \times 1}$ (mW)		#		#		
	z_s (cm)			—			
	z_b (cm)					—	
	z_{MI} (cm)	0,8					
	$z_{pii,\alpha}$ (cm)	0,8					
	f_{awf} (MHz)	4,82	#		#		#
Annen informasjon	p_{rr} (Hz)	2548					
	s_{rr} (Hz)	26					
	n_{pps}	12					
	$I_{pa,\alpha}$ ved $z_{pii,\alpha}$ (W/cm^2)	381					
	$I_{spta,\alpha}$ ved $z_{pii,\alpha}$ eller $z_{sii,\alpha}$ (mW/cm^2)	132					
	I_{spta} ved z_{pii} eller z_{sii} (mW/cm^2)	176					
	p_r ved z_{pii} (MPa)	3,1					
Drifts-kontroller	Undersøkelsestype	Pro					
	Modus	CVD					
	2D-optimalisering/dybde (cm)	Pen / 1,5-1,9					
	Fargeoptimalisering/PRF (Hz)	Høy/alle					
	Fargeboksposisjon/størrelse	Smal/alle					

(a) Denne indeksen er ikke påkrevd for denne driftsmodusen. Verdien er <1 .

(b) Denne transduseren er ikke beregnet for å brukes transkranialt eller for neonatale hoder.

Det er ikke rapportert data for dette, siden den globale maksimale indeksverdien ikke er rapportert av nevnte grunn. (Se linjen global maksimal indeksverdi.)

— Data gjelder ikke for denne transduseren/modusen.

Tabell 13: Transdusermodell: C8x Driftsmodus: PW-doppler

Indeksmerke		MI	TIS		TIB		TIC
			På overflaten	Under overflaten	På overflaten	Under overflaten	På overflaten
Maksimal indeksverdi		1,0	(a)		1,4		(b)
Indekskomponentverdi			#	#	0,5	1,4	
Akustiske parametere	$p_{r,\alpha}$ ved z_{MI} (MPa)	2,28					
	P (mW)		#		23,1		#
	$P_{1 \times 1}$ (mW)		#		23,1		
	z_s (cm)			#			
	z_b (cm)					1,0	
	z_{MI} (cm)	1,8					
	$z_{pii,\alpha}$ (cm)	1,8					
	f_{awf} (MHz)	4,80	#		4,80		#
Annen informasjon	pr_r (Hz)	1008					
	srr (Hz)	—					
	η_{pps}	1					
	$I_{pa,\alpha}$ ved $z_{pii,\alpha}$ (W/cm^2)	263					
	$I_{spta,\alpha}$ ved $z_{pii,\alpha}$ eller $z_{sii,\alpha}$ (mW/cm^2)	334					
	I_{spta} ved z_{pii} eller z_{sii} (mW/cm^2)	616					
	p_r ved z_{pii} (MPa)	3,1					
Drifts-kontroller	Undersøkelsestype	Pro			Pro		
	Prøvevolumstørrelse (mm)	1			1		
	Posisjon for prøvevolum	Sone 4			Sone 4		
	PRF (Hz)	1008			1008		

(a) Denne indeksen er ikke påkrevd for denne driftsmodusen. Verdien er < 1 .

(b) Denne transduseren er ikke beregnet for å brukes transkranielt eller for neonatale hoder.

Det er ikke rapportert data for dette, siden den globale maksimale indeksverdien ikke er rapportert av nevnte grunn.

(Se linjen global maksimal indeksverdi.)

— Data gjelder ikke for denne transduseren/modusen.

Tabell 14: Transdusermodell: C 11x Driftsmodus: PW-doppler

Indeksmerke		MI	TIS		TIB		TIC
			På overflaten	Under overflaten	På overflaten	Under overflaten	På overflaten
Maksimal indeksverdi		(a)	(a)		1,5		1,1
Indekskomponentverdi			#	#	0,5	1,5	
Akustiske parametere	$p_{r,\alpha}$ ved z_{MI} (MPa)	#					
	P (mW)		#		24,6		21,7
	P_{1x1} (mW)		#		24,6		
	z_s (cm)			#			
	z_b (cm)					1,7	
	z_{MI} (cm)	#					
	$z_{pii,\alpha}$ (cm)	#					
	f_{awf} (MHz)	#	#		4,37		4,36
Annen informasjon	pr (Hz)	#					
	srr (Hz)	#					
	η_{pps}	#					
	$I_{pa,\alpha}$ ved $z_{pii,\alpha}$ (W/cm^2)	#					
	$I_{spta,\alpha}$ ved $z_{pii,\alpha}$ eller $z_{sii,\alpha}$ (mW/cm^2)	#					
	I_{spta} ved z_{pii} eller z_{sii} (mW/cm^2)	#					
	p_r ved z_{pii} (MPa)	#					
Drifts-kontroller	Undersøkelsestype				Nrv		Nrv
	Prøvevolumstørrelse (mm)				1		7
	Posisjon for prøvevolum				Sone 1		Sone 0
	PRF (Hz)				10,417		6250

(a) Denne indeksen er ikke påkrevd for denne driftsmodusen. Verdien er < 1.

(b) Denne transduseren er ikke beregnet for å brukes transkranielt eller for neonatale hoder.

Det er ikke rapportert data for dette, siden den globale maksimale indeksverdien ikke er rapportert av nevnte grunn.

(Se linjen global maksimal indeksverdi.)

— Data gjelder ikke for denne transduseren/modusen.

Tabell 15: Transdusermodell: C35x Driftsmodus: 2D

Indeksmerke		MI	TIS		TIB		TIC
			På overflaten	Under overflaten	På overflaten	Under overflaten	På overflaten
Maksimal indeksverdi		1,0	(a)		(a)		(b)
Indekskomponentverdi			#	#	#	#	
Akustiske parametere	$p_{r,\alpha}$ ved z_{MI} (MPa)	1,8					
	P (mW)		#		#		#
	$P_{1 \times 1}$ (mW)		#		#		
	z_s (cm)			—			
	z_b (cm)					—	
	z_{MI} (cm)	3,3					
	$z_{pii,\alpha}$ (cm)	3,3					
	f_{awf} (MHz)	3,45	#		#		#
Annen informasjon	pr_r (Hz)	1021					
	srr (Hz)	7,98					
	η_{pps}	1					
	$I_{pa,\alpha}$ ved $z_{pii,\alpha}$ (W/cm^2)	250					
	$I_{spta,\alpha}$ ved $z_{pii,\alpha}$ eller $z_{sii,\alpha}$ (mW/cm^2)	8,6					
	I_{spta} ved z_{pii} eller z_{sii} (mW/cm^2)	16,5					
	p_r ved z_{pii} (MPa)	2,61					
Drifts-kontroller	Undersøkelsestype	Msk					
	Optimalisering	Res					
	Dybde (cm)	8,3					
	MB	I/R					

(a) Denne indeksen er ikke påkrevd for denne driftsmodusen. Verdien er < 1.

(b) Denne transduseren er ikke beregnet for å brukes transkranielt eller for neonatale hoder.

Det er ikke rapportert data for dette, siden den globale maksimale indeksverdien ikke er rapportert av nevnte grunn.

(Se linjen global maksimal indeksverdi.)

— Data gjelder ikke for denne transduseren/modusen.

Tabell 16: Transdusermodell: C35x Driftsmodus: PW-doppler

Indeksmerke		MI	TIS		TIB		TIC
			På overflaten	Under overflaten	På overflaten	Under overflaten	På overflaten
Maksimal indeksverdi		(a)	1,5		2,6		(b)
Indekskomponentverdi			1,5	1,0	1,0	2,6	
Akustiske parametere	$p_{r,\alpha}$ ved z_{MI} (MPa)	#					
	P (mW)		72,8		47,1		#
	P_{1x1} (mW)		71,1		47,1		
	z_s (cm)			1,4			
	z_b (cm)					0,50	
	z_{MI} (cm)	#					
	$z_{pii,\alpha}$ (cm)	#					
	f_{awf} (MHz)	#	4,35		4,37		#
Annen informasjon	pr (Hz)	#					
	srr (Hz)	#					
	η_{pps}	#					
	$I_{pa,\alpha}$ ved $z_{pii,\alpha}$ (W/cm^2)	#					
	$I_{spta,\alpha}$ ved $z_{pii,\alpha}$ eller $z_{sii,\alpha}$ (mW/cm^2)	#					
	I_{spta} ved z_{pii} eller z_{sii} (mW/cm^2)	#					
	p_r ved z_{pii} (MPa)	#					
Drifts-kontroller	Undersøkelsestype		Ryggrad		Ryggrad		
	Prøvevolumstørrelse (mm)		2		1		
	Posisjon for prøvevolum		Sone 5		Sone 0		
	PRF (Hz)		6250		15,625		

(a) Denne indeksen er ikke påkrevd for denne driftsmodusen. Verdien er <1.

(b) Denne transduseren er ikke beregnet for å brukes transkranialt eller for neonatale hoder.

Det er ikke rapportert data for dette, siden den globale maksimale indeksverdien ikke er rapportert av nevnte grunn.

(Se linjen global maksimal indeksverdi.)

— Data gjelder ikke for denne transduseren/modusen.

Tabell 17: Transdusermodell: HFL38xi (oftalmologisk bruk) Driftsmodus: 2D

Indeksmerke		MI	TIS		TIB		TIC
			På overflaten	Under overflaten	På overflaten	Under overflaten	På overflaten
Maksimal indeksverdi		0,17	0,007		0,007		(b)
Indekskomponentverdi			0,007	0,007	0,007	0,007	
Akustiske parametere	$p_{r,\alpha}$ ved z_{MI} (MPa)	0,43					
	P (mW)		0,77		0,77		#
	$P_{1 \times 1}$ (mW)		0,21		0,21		
	z_s (cm)			—			
	z_b (cm)					—	
	z_{MI} (cm)	2,1					
	$z_{pii,\alpha}$ (cm)	2,1					
	f_{awf} (MHz)	6,59	6,75		6,75		#
Annen informasjon	pr_r (Hz)	11,339					
	srr (Hz)	19,7					
	η_{pps}	3					
	$I_{pa,\alpha}$ ved $z_{pii,\alpha}$ (W/cm^2)	11,4					
	$I_{spta,\alpha}$ ved $z_{pii,\alpha}$ eller $z_{sii,\alpha}$ (mW/cm^2)	0,8					
	I_{spta} ved z_{pii} eller z_{sii} (mW/cm^2)	1,3					
	p_r ved z_{pii} (MPa)	0,7					
Drifts-kontroller	Undersøkelsestype	Oph	Oph		Oph		
	Optimalisering	Pen	Res		Res		
	Dybde (cm)	4,9	4,9		4,9		
	MB	På	På		På		

(a) Denne indeksen er ikke påkrevd for denne driftsmodusen. Verdien er < 1.

(b) Denne transduseren er ikke beregnet for å brukes transkranielt eller for neonatale hoder.

Det er ikke rapportert data for dette, siden den globale maksimale indeksverdien ikke er rapportert av nevnte grunn.

(Se linjen global maksimal indeksverdi.)

— Data gjelder ikke for denne transduseren/modusen.

Tabell 18: Transdusermodell: HFL38xi (oftalmologisk bruk) Driftsmodus: M-modus

Indeksmerke		MI	TIS		TIB		TIC
			På overflaten	Under overflaten	På overflaten	Under overflaten	På overflaten
Maksimal indeksverdi		0,17	0,003		0,004		(b)
Indekskomponentverdi			0,003	0,002	0,002	0,004	
Akustiske parametere	$p_{r,\alpha}$ ved z_{MI} (MPa)	0,44					
	P (mW)		0,087		0,064		#
	$P_{1 \times 1}$ (mW)		0,087		0,064		
	z_s (cm)			0,9			
	z_b (cm)					1,10	
	z_{MI} (cm)	1,0					
	$z_{pii,\alpha}$ (cm)	1,0					
	f_{awf} (MHz)	6,58	6,86		6,78		#
Annen informasjon	pr (Hz)	800					
	srr (Hz)	—					
	η_{pps}	1					
	$I_{pa,\alpha}$ ved $z_{pii,\alpha}$ (W/cm^2)	10,3					
	$I_{spta,\alpha}$ ved $z_{pii,\alpha}$ eller $z_{sii,\alpha}$ (mW/cm^2)	1,0					
	I_{spta} ved z_{pii} eller z_{sii} (mW/cm^2)	1,7					
p_r ved z_{pii} (MPa)	0,55						
Drifts-kontroller	Undersøkelsestype	Oph	Oph		Oph		
	Optimalisering	Pen	Res		Res		
	Dybde (cm)	1,5	6,0		4,0		

(a) Denne indeksen er ikke påkrevd for denne driftsmodusen. Verdien er < 1 .

(b) Denne transduseren er ikke beregnet for å brukes transkranielt eller for neonatale hoder.

Det er ikke rapportert data for dette, siden den globale maksimale indeksverdien ikke er rapportert av nevnte grunn. (Se linjen global maksimal indeksverdi.)

— Data gjelder ikke for denne transduseren/modusen.

Tabell 19: Transdusermodell: HFL38xi (oftalmologisk bruk) Driftsmodus: Farge/CPD

Indeksmerke	MI	TIS		TIB		TIC
		På overflaten	Under overflaten	På overflaten	Under overflaten	På overflaten
Maksimal indeksverdi	0,17	0,02		0,02		(b)
Indekskomponentverdi		0,02	0,02	0,02	0,02	
Akustiske parametere	$p_{r,\alpha}$ ved z_{MI} (MPa)	0,39				
	P (mW)		1,11	1,11		#
	$P_{1 \times 1}$ (mW)		0,75	0,75		
	z_s (cm)			—		
	z_b (cm)				—	
	z_{MI} (cm)	0,9				
	$z_{pii,\alpha}$ (cm)	0,9				
Annen informasjon	f_{awf} (MHz)	5,34	5,37	5,37		#
	pr_r (Hz)	4537				
	srr (Hz)	13,5				
	η_{pps}	13				
	$I_{pa,\alpha}$ ved $z_{pii,\alpha}$ (W/cm^2)	5,5				
	$I_{spta,\alpha}$ ved $z_{pii,\alpha}$ eller $z_{sii,\alpha}$ (mW/cm^2)	1,3				
	I_{spta} ved z_{pii} eller z_{sii} (mW/cm^2)	2,1				
Drifts-kontroller	p_r ved z_{pii} (MPa)	0,46				
	Undersøkelsestype	Oph	Oph	Oph		
	Modus	CVD	CVD	CVD		
	2D-optimalisering/dybde (cm)	Pen/1,5	Pen/4,9	Pen/4,9		
	Fargeoptimalisering/PRF (Hz)	Høy/7813	Høy/6944	Høy/6944		
Fargeboksposisjon/størrelse	Nederst/liten	Def/smål	Def/smål			

(a) Denne indeksen er ikke påkrevd for denne driftsmodusen. Verdien er <1 .

(b) Denne transduseren er ikke beregnet for å brukes transkranielt eller for neonatale hoder.

Det er ikke rapportert data for dette, siden den globale maksimale indeksverdien ikke er rapportert av nevnte grunn.
(Se linjen global maksimal indeksverdi.)

— Data gjelder ikke for denne transduseren/modusen.

Tabell 20: Transdusermodell: HFL38xi (oftalmologisk bruk) Driftsmodus: PW-doppler

Indeksmerke		MI	TIS		TIB		TIC
			På overflaten	Under overflaten	På overflaten	Under overflaten	På overflaten
Maksimal indeksverdi		0,18	0,09		0,17		(b)
Indekskomponentverdi			0,09	0,06	0,09	0,17	
Akustiske parametere	$p_{r,\alpha}$ ved z_{MI} (MPa)	0,41					
	P (mW)		3,56		3,56		#
	$P_{1 \times 1}$ (mW)		3,56		3,56		
	z_s (cm)			1,1			
	z_b (cm)					1,64	
	z_{MI} (cm)	0,9					
	$z_{pii,\alpha}$ (cm)	0,9					
	f_{awf} (MHz)	5,34	5,33		5,33		#
Annen informasjon	p_{rr} (Hz)	1302					
	s_{rr} (Hz)	—					
	η_{pps}	1					
	$I_{pa,\alpha}$ ved $z_{pii,\alpha}$ (W/cm^2)	6,6					
	$I_{spta,\alpha}$ ved $z_{pii,\alpha}$ eller $z_{sii,\alpha}$ (mW/cm^2)	10,9					
	I_{spta} ved z_{pii} eller z_{sii} (mW/cm^2)	15,0					
	p_r ved z_{pii} (MPa)	0,48					
Drifts-kontroller	Undersøkelsestype	Oph	Oph		Oph		
	Prøvevolumstørrelse (mm)	1	10		10		
	Posisjon for prøvevolum	Sone 1	Sone 7		Sone 7		
	PRF (Hz)	1302	10,417		10,417		

(a) Denne indeksen er ikke påkrevd for denne driftsmodusen. Verdien er < 1.

(b) Denne transduseren er ikke beregnet for å brukes transkranialt eller for neonatale hoder.

Det er ikke rapportert data for dette, siden den globale maksimale indeksverdien ikke er rapportert av nevnte grunn.

(Se linjen global maksimal indeksverdi.)

— Data gjelder ikke for denne transduseren/modusen.

Tabell 21: Transdusermodell: HFL38xi Driftsmodus: 2D

Indeksmerke		MI	TIS		TIB		TIC
			På overflaten	Under overflaten	På overflaten	Under overflaten	På overflaten
Maksimal indeksverdi		1,3	(a)		(a)		(b)
Indekskomponentverdi			#	#	#	#	
Akustiske parametere	$p_{r,\alpha}$ ved z_{MI} (MPa)	3,05					
	P (mW)		#		#		#
	$P_{1 \times 1}$ (mW)		#		#		
	z_s (cm)			—			
	z_b (cm)					—	
	z_{MI} (cm)	1,2					
	$z_{pii,\alpha}$ (cm)	1,2					
	f_{awf} (MHz)	5,36	#		#		#
Annen informasjon	pr (Hz)	2127					
	srr (Hz)	11,1					
	η_{pps}	1					
	$I_{pa,\alpha}$ ved $z_{pii,\alpha}$ (W/cm^2)	494					
	$I_{spta,\alpha}$ ved $z_{pii,\alpha}$ eller $z_{sii,\alpha}$ (mW/cm^2)	13,3					
	I_{spta} ved z_{pii} eller z_{sii} (mW/cm^2)	19,4					
	p_r ved z_{pii} (MPa)	3,81					
Drifts-kontroller	Undersøkelsestype	Ven					
	Optimalisering	Res					
	Dybde (cm)	3,3					
	MB	I/R					
	Nålsyn	På					

(a) Denne indeksen er ikke påkrevd for denne driftsmodusen. Verdien er <1 .

(b) Denne transduseren er ikke beregnet for å brukes transkranielt eller for neonatale hoder.

Det er ikke rapportert data for dette, siden den globale maksimale indeksverdien ikke er rapportert av nevnte grunn.
(Se linjen global maksimal indeksverdi.)

— Data gjelder ikke for denne transduseren/modusen.

Tabell 22: Transdusermodell: HFL38xi Driftsmodus: M-modus

Indeksmerke		MI	TIS		TIB		TIC
			På overflaten	Under overflaten	På overflaten	Under overflaten	På overflaten
Maksimal indeksverdi		1,12	(a)		(a)		(b)
Indekskomponentverdi			#	#	#	#	
Akustiske parametere	$p_{r,\alpha}$ ved z_{MI} (MPa)	3,14					
	P (mW)		#		#		#
	$P_{1 \times 1}$ (mW)		#		#		
	z_s (cm)			#			
	z_b (cm)					#	
	z_{MI} (cm)	1,4					
	$z_{pii,\alpha}$ (cm)	1,4					
	f_{awf} (MHz)	6,75	#		#		#
Annen informasjon	p_{rr} (Hz)	1600					
	s_{rr} (Hz)	—					
	η_{pps}	1					
	$I_{pa,\alpha}$ ved $z_{pii,\alpha}$ (W/cm^2)	388					
	$I_{spta,\alpha}$ ved $z_{pii,\alpha}$ eller $z_{sii,\alpha}$ (mW/cm^2)	163,2					
	I_{spta} ved z_{pii} eller z_{sii} (mW/cm^2)	333,3					
	p_r ved z_{pii} (MPa)	4,35					
Drifts-kontroller	Undersøkelsestype	Nrv					
	Optimalisering	Pen					
	Dybde (cm)	4,0					

(a) Denne indeksen er ikke påkrevd for denne driftsmodusen. Verdien er < 1 .

(b) Denne transduseren er ikke beregnet for å brukes transkranielt eller for neonatale hoder.

Det er ikke rapportert data for dette, siden den globale maksimale indeksverdien ikke er rapportert av nevnte grunn. (Se linjen global maksimal indeksverdi.)

— Data gjelder ikke for denne transduseren/modusen.

Tabell 23: Transdusermodell: HFL38xi Driftsmodus: Farge/CPD

Indeksmerke	MI	TIS		TIB		TIC
		På overflaten	Under overflaten	På overflaten	Under overflaten	På overflaten
Maksimal indeksverdi	1,3	(a)		(a)		(b)
Indekskomponentverdi		#	#	#	#	
Akustiske parametere	$p_{r,\alpha}$ ved z_{MI} (MPa)	3,05				
	P (mW)		#	#	#	#
	$P_{1 \times 1}$ (mW)		#	#	#	
	z_s (cm)			—		
	z_b (cm)				—	
	z_{MI} (cm)	1,2				
	$z_{pii,\alpha}$ (cm)	1,2				
	f_{awf} (MHz)	5,36	#		#	#
Annen informasjon	pr_r (Hz)	2223				
	srr (Hz)	3,3				
	n_{pps}	14				
	$I_{pa,\alpha}$ ved $z_{pii,\alpha}$ (W/cm^2)	494				
	$I_{spta,\alpha}$ ved $z_{pii,\alpha}$ eller $z_{sii,\alpha}$ (mW/cm^2)	27,4				
	I_{spta} ved z_{pii} eller z_{sii} (mW/cm^2)	40,1				
	p_r ved z_{pii} (MPa)	3,81				
Drifts-kontroller	Undersøkelsestype	SmP				
	Modus	CVD				
	2D-optimalisering/dybde (cm)	Res/3,3				
	Fargeoptimalisering/PRF (Hz)	Lav/401				
	Fargeboksposisjon/størrelse	Def/def				

(a) Denne indeksen er ikke påkrevd for denne driftsmodusen. Verdien er <1.
(b) Denne transduseren er ikke beregnet for å brukes transkranialt eller for neonatale hoder.
Det er ikke rapportert data for dette, siden den globale maksimale indeksverdien ikke er rapportert av nevnte grunn.
(Se linjen global maksimal indeksverdi.)
— Data gjelder ikke for denne transduseren/modusen.

Tabell 24: Transdusermodell: HFL38xi Driftsmodus: PW-doppler

Indeksmerke		MI	TIS		TIB		TIC
			På overflaten	Under overflaten	På overflaten	Under overflaten	På overflaten
Maksimal indeksverdi		1,2	1,1		2,2		(b)
Indekskomponentverdi			1,1	0,8	1,1	2,2	
Akustiske parametere	$p_{r,\alpha}$ ved z_{MI} (MPa)	2,69					
	P (mW)		47,7		47,7		#
	P_{1x1} (mW)		47,7		47,7		
	z_s (cm)			1,1			
	z_b (cm)					1,10	
	z_{MI} (cm)	1,0					
	$z_{pii,\alpha}$ (cm)	1,0					
	f_{awf} (MHz)	5,34	4,86		4,86		#
Annen informasjon	p_{rr} (Hz)	1008					
	s_{rr} (Hz)	—					
	η_{pps}	1					
	$I_{pa,\alpha}$ ved $z_{pii,\alpha}$ (W/cm^2)	308					
	$I_{spta,\alpha}$ ved $z_{pii,\alpha}$ eller $z_{sii,\alpha}$ (mW/cm^2)	102,8					
	I_{spta} ved z_{pii} eller z_{sii} (mW/cm^2)	210,0					
	p_r ved z_{pii} (MPa)	3,23					
Drifts-kontroller	Undersøkelsestype	Nrv	Art		Art		
	Prøvevolumstørrelse (mm)	1	1		1		
	Posisjon for prøvevolum	Sone 3	Sone 7		Sone 7		
	PRF (Hz)	1008	3125		3125		

(a) Denne indeksen er ikke påkrevd for denne driftsmodusen. Verdien er <1.

(b) Denne transduseren er ikke beregnet for å brukes transkranielt eller for neonatale hoder.

Det er ikke rapportert data for dette, siden den globale maksimale indeksverdien ikke er rapportert av nevnte grunn.

(Se linjen global maksimal indeksverdi.)

— Data gjelder ikke for denne transduseren/modusen.

Tabell 25: Transdusermodell: HFL50x Driftsmodus: 2D

Indeksmerke		MI	TIS		TIB		TIC
			På overflaten	Under overflaten	På overflaten	Under overflaten	På overflaten
Maksimal indeksverdi		1,3	(a)		(a)		(b)
Indekskomponentverdi			#	#	#	#	
Akustiske parametere	$p_{r,\alpha}$ ved z_{MI} (MPa)	3,051					
	P (mW)		#		#		#
	$P_{1 \times 1}$ (mW)		#		#		
	z_s (cm)			—			
	z_b (cm)					—	
	z_{MI} (cm)	1,2					
	$z_{pii,\alpha}$ (cm)	1,2					
	f_{awf} (MHz)	5,36	#		#		#
Annen informasjon	pr_r (Hz)	2733					
	srr (Hz)	7,2					
	η_{pps}	1					
	$I_{pa,\alpha}$ ved $z_{pii,\alpha}$ (W/cm^2)	493					
	$I_{spta,\alpha}$ ved $z_{pii,\alpha}$ eller $z_{sii,\alpha}$ (mW/cm^2)	8,6					
	I_{spta} ved z_{pii} eller z_{sii} (mW/cm^2)	12,6					
	p_r ved z_{pii} (MPa)	3,81					
Drifts-kontroller	Undersøkelsestype	Alle					
	Optimalisering	Alle					
	Dybde (cm)	3,3					
	Mbe	På					

(a) Denne indeksen er ikke påkrevd for denne driftsmodusen. Verdien er < 1 .

(b) Denne transduseren er ikke beregnet for å brukes transkranielt eller for neonatale hoder.

Det er ikke rapportert data for dette, siden den globale maksimale indeksverdien ikke er rapportert av nevnte grunn.

(Se linjen global maksimal indeksverdi.)

— Data gjelder ikke for denne transduseren/modusen.

Tabell 26: Transdusermodell: HFL50x Driftsmodus: M-modus

Indeksmerke		MI	TIS		TIB		TIC
			På overflaten	Under overflaten	På overflaten	Under overflaten	På overflaten
Maksimal indeksverdi		1,2	(a)		(a)		(b)
Indekskomponentverdi			#	#	#	#	
Akustiske parametere	$p_{r,\alpha}$ ved z_{MI} (MPa)	3,14					
	P (mW)		#		#		#
	P_{1x1} (mW)		#		#		
	z_s (cm)			#			
	z_b (cm)					#	
	z_{MI} (cm)	1,4					
	$z_{pii,\alpha}$ (cm)	1,4					
	f_{awf} (MHz)	6,75	#		#		#
Annen informasjon	p_{rr} (Hz)	1600					
	s_{rr} (Hz)	—					
	η_{pps}	1					
	$I_{pa,\alpha}$ ved $z_{pii,\alpha}$ (W/cm^2)	388					
	$I_{spta,\alpha}$ ved $z_{pii,\alpha}$ eller $z_{sii,\alpha}$ (mW/cm^2)	163,2					
	I_{spta} ved z_{pii} eller z_{sii} (mW/cm^2)	333,3					
	p_r ved z_{pii} (MPa)	4,35					
Drifts-kontroller	Undersøkelsestype	Alle					
	Optimalisering	Pen					
	Dybde (cm)	4					

(a) Denne indeksen er ikke påkrevd for denne driftsmodusen. Verdien er < 1 .

(b) Denne transduseren er ikke beregnet for å brukes transkranielt eller for neonatale hoder.

Det er ikke rapportert data for dette, siden den globale maksimale indeksverdien ikke er rapportert av nevnte grunn. (Se linjen global maksimal indeksverdi.)

— Data gjelder ikke for denne transduseren/modusen.

Tabell 27: Transdusermodell: HFL50x Driftsmodus: Color

Indeksmerke	MI	TIS		TIB		TIC
		På overflaten	Under overflaten	På overflaten	Under overflaten	På overflaten
Maksimal indeksverdi	1,3	(a)		(a)		(b)
Indekskomponentverdi		#	#	#	#	
Akustiske parametere	$p_{r,\alpha}$ ved z_{MI} (MPa)	3,05				
	P (mW)		#	#	#	#
	$P_{1 \times 1}$ (mW)		#	#	#	#
	z_s (cm)			—		
	z_b (cm)				—	
	z_{MI} (cm)	1,2				
	$z_{pii,\alpha}$ (cm)	1,2				
	f_{awf} (MHz)	5,36	#		#	#
Annen informasjon	p_{rr} (Hz)	8233				
	s_{rr} (Hz)	3,2				
	n_{pps}	14				
	$I_{pa,\alpha}$ ved $z_{pii,\alpha}$ (W/cm^2)	494				
	$I_{spta,\alpha}$ ved $z_{pii,\alpha}$ eller $z_{sii,\alpha}$ (mW/cm^2)	26,8				
	I_{spta} ved z_{pii} eller z_{sii} (mW/cm^2)	39,2				
	p_r ved z_{pii} (MPa)	3,81				
Drifts-kontroller	Undersøkelsestype	Alle				
	Modus	Alle				
	Optimalisering/dybde (cm)	Lav/3,3				
	PRF (Hz)	Alle				

(a) Denne indeksen er ikke påkrevd for denne driftsmodusen. Verdien er < 1 .

(b) Denne transduseren er ikke beregnet for å brukes transkranielt eller for neonatale hoder.

Det er ikke rapportert data for dette, siden den globale maksimale indeksverdien ikke er rapportert av nevnte grunn.

(Se linjen global maksimal indeksverdi.)

— Data gjelder ikke for denne transduseren/modusen.

Tabell 28: Transdusermodell: HFL50x Driftsmodus: PW-doppler

Indeksmerke		MI	TIS		TIB		TIC
			På overflaten	Under overflaten	På overflaten	Under overflaten	På overflaten
Maksimal indeksverdi		1,2	1,1		1,9		(b)
Indekskomponentverdi			1,1	0,7	1,1	1,9	
Akustiske parametere	$p_{r,\alpha}$ ved z_{MI} (MPa)	2,69					
	P (mW)		42,6		42,6		#
	$P_{1 \times 1}$ (mW)		42,6		42,6		
	z_s (cm)			1,1			
	z_b (cm)					1,10	
	z_{MI} (cm)	1,0					
	$z_{pii,\alpha}$ (cm)	1,0					
	f_{awf} (MHz)	5,34	5,34		5,34		#
Annen informasjon	pr_r (Hz)	1008					
	srr (Hz)	—					
	η_{pps}	1					
	$I_{pa,\alpha}$ ved $z_{pii,\alpha}$ (W/cm^2)	308					
	$I_{spta,\alpha}$ ved $z_{pii,\alpha}$ eller $z_{sii,\alpha}$ (mW/cm^2)	399,6					
	I_{spta} ved z_{pii} eller z_{sii} (mW/cm^2)	599,8					
	p_r ved z_{pii} (MPa)	3,23					
Drifts-kontroller	Undersøkelsestype	Alle	Alle		Alle		
	Prøvevolumstørrelse (mm)	1	1		1		
	Posisjon for prøvevolum	Sone 3	Sone 7		Sone 7		
	PRF (Hz)	1008	1563-3125		1563-3125		

(a) Denne indeksen er ikke påkrevd for denne driftsmodusen. Verdien er < 1.

(b) Denne transduseren er ikke beregnet for å brukes transkranialt eller for neonatale hoder.

Det er ikke rapportert data for dette, siden den globale maksimale indeksverdien ikke er rapportert av nevnte grunn.

(Se linjen global maksimal indeksverdi.)

— Data gjelder ikke for denne transduseren/modusen.

Tabell 29: Transdusermodell: HSL25x (oftalmologisk bruk) Driftsmodus: 2D

Indeksmerke		MI	TIS		TIB		TIC
			På overflaten	Under overflaten	På overflaten	Under overflaten	På overflaten
Maksimal indeksverdi		0,17	0,02		0,02		(b)
Indekskomponentverdi			0,02	0,02	0,02	0,02	
Akustiske parametere	$p_{r,\alpha}$ ved z_{MI} (MPa)	0,47					
	P (mW)		1,62		1,62		#
	$P_{1 \times 1}$ (mW)		0,70		0,70		
	z_s (cm)			—			
	z_b (cm)					—	
	z_{MI} (cm)	0,8					
	$z_{pii,\alpha}$ (cm)	0,8					
	f_{awf} (MHz)	7,65	6,97		6,97		#
Annen informasjon	pr_r (Hz)	12.580					
	srr (Hz)	12,3					
	n_{pps}	4					
	$I_{pa,\alpha}$ ved $z_{pii,\alpha}$ (W/cm^2)	13,4					
	$I_{spta,\alpha}$ ved $z_{pii,\alpha}$ eller $z_{sii,\alpha}$ (mW/cm^2)	0,6					
	I_{spta} ved z_{pii} eller z_{sii} (mW/cm^2)	1,0					
	p_r ved z_{pii} (MPa)	0,58					
Drifts-kontroller	Undersøkelsestype	Oph	Oph		Oph		
	Optimalisering	Res	Pen		Pen		
	Dybde (cm)	1,9	4,3		4,3		
	MB	På	På		På		

(a) Denne indeksen er ikke påkrevd for denne driftsmodusen. Verdien er < 1 .

(b) Denne transduseren er ikke beregnet for å brukes transkranielt eller for neonatale hoder.

Det er ikke rapportert data for dette, siden den globale maksimale indeksverdien ikke er rapportert av nevnte grunn.

(Se linjen global maksimal indeksverdi.)

— Data gjelder ikke for denne transduseren/modusen.

Tabell 30: Transdusermodell: HSL25x (oftalmologisk bruk) Driftsmodus: M-modus

Indeksmerke		MI	TIS		TIB		TIC
			På overflaten	Under overflaten	På overflaten	Under overflaten	På overflaten
Maksimal indeksverdi		0,17	0,01		0,02		(b)
Indekskomponentverdi			0,010	0,009	0,013	0,020	
Akustiske parametere	$p_{r,\alpha}$ ved z_{MI} (MPa)	0,47					
	P (mW)		0,45		0,45		#
	P_{1x1} (mW)		0,45		0,45		
	z_s (cm)			0,9			
	z_b (cm)					0,85	
	z_{MI} (cm)	1,0					
	$z_{pii,\alpha}$ (cm)	1,0					
	f_{awf} (MHz)	7,59	6,25		6,25		#
Annen informasjon	pr (Hz)	1600					
	srr (Hz)	—					
	η_{pps}	1					
	$I_{pa,\alpha}$ ved $z_{pii,\alpha}$ (W/cm^2)	14,9					
	$I_{spta,\alpha}$ ved $z_{pii,\alpha}$ eller $z_{sii,\alpha}$ (mW/cm^2)	2,3					
	I_{spta} ved z_{pii} eller z_{sii} (mW/cm^2)	4,0					
p_r ved z_{pii} (MPa)	0,61						
Drifts-kontroller	Undersøkelsestype	Oph	Oph		Oph		
	Optimalisering	Res	Pen		Pen		
	Dybde (cm)	1,9	4,3		4,3		

(a) Denne indeksen er ikke påkrevd for denne driftsmodusen. Verdien er < 1 .

(b) Denne transduseren er ikke beregnet for å brukes transkranielt eller for neonatale hoder.

Det er ikke rapportert data for dette, siden den globale maksimale indeksverdien ikke er rapportert av nevnte grunn. (Se linjen global maksimal indeksverdi.)

— Data gjelder ikke for denne transduseren/modusen.

Tabell 31: Transdusermodell: HSL25x (oftalmologisk bruk) Driftsmodus: Farge/CPD

Indeksmerke	MI	TIS		TIB		TIC
		På overflaten	Under overflaten	På overflaten	Under overflaten	På overflaten
Maksimal indeksverdi	0,17	0,06		0,06		(b)
Indekskomponentverdi		0,06	0,06	0,06	0,06	
Akustiske parametere	$p_{r,\alpha}$ ved z_{MI} (MPa)	0,42				
	P (mW)		2,9	2,9		#
	$P_{1 \times 1}$ (mW)		1,9	1,9		
	z_s (cm)		—			
	z_b (cm)				—	
	z_{MI} (cm)	0,7				
	$z_{pii,\alpha}$ (cm)	0,7				
	f_{awf} (MHz)	6,11	6,10	6,10		#
Annen informasjon	p_{rr} (Hz)	3096				
	s_{rr} (Hz)	8,1				
	n_{pps}	14				
	$I_{pa,\alpha}$ ved $z_{pii,\alpha}$ (W/cm^2)	7,5				
	$I_{spta,\alpha}$ ved $z_{pii,\alpha}$ eller $z_{sii,\alpha}$ (mW/cm^2)	1,1				
	I_{spta} ved z_{pii} eller z_{sii} (mW/cm^2)	1,6				
	p_r ved z_{pii} (MPa)	0,49				
Drifts-kontroller	Undersøkelsestype	Oph	Oph	Oph		
	Modus	CVD	CVD	CVD		
	2D-optimalisering/dybde (cm)	Pen/1,9	Pen/5,1	Pen/5,1		
	Fargeoptimalisering/PRF (Hz)	Lav/401	Med/4167	Med/4167		
	Fargeboksposisjon/størrelse	Def/def	Topp/kort-bred	Topp/kort-bred		

(a) Denne indeksen er ikke påkrevd for denne driftsmodusen. Verdien er <1 .

(b) Denne transduseren er ikke beregnet for å brukes transkranielt eller for neonatale hoder.

Det er ikke rapportert data for dette, siden den globale maksimale indeksverdien ikke er rapportert av nevnte grunn.
(Se linjen global maksimal indeksverdi.)

— Data gjelder ikke for denne transduseren/modusen.

Tabell 32: Transdusermodell: HSL25x (oftalmologisk bruk) Driftsmodus: PW-doppler

Indeksmerke		MI	TIS		TIB		TIC
			På overflaten	Under overflaten	På overflaten	Under overflaten	På overflaten
Maksimal indeksverdi		0,18	0,12		0,21		(b)
Indekskomponentverdi			0,12	0,08	0,12	0,21	
Akustiske parametere	$p_{r,\alpha}$ ved z_{MI} (MPa)	0,44					
	P (mW)		4,0		4,0		#
	$P_{1 \times 1}$ (mW)		4,0		4,0		
	z_s (cm)			0,9			
	z_b (cm)					0,80	
	z_{MI} (cm)	1,2					
	$z_{pii,\alpha}$ (cm)	1,2					
	f_{awf} (MHz)	6,03	6,03		6,03		#
Annen informasjon	p_{rr} (Hz)	1953					
	s_{rr} (Hz)	—					
	η_{pps}	1					
	$I_{pa,\alpha}$ ved $z_{pii,\alpha}$ (W/cm^2)	7,4					
	$I_{spta,\alpha}$ ved $z_{pii,\alpha}$ eller $z_{sii,\alpha}$ (mW/cm^2)	18,4					
	I_{spta} ved z_{pii} eller z_{sii} (mW/cm^2)	44,9					
	p_r ved z_{pii} (MPa)	0,56					
Drifts-kontroller	Undersøkelsestype	Oph	Oph		Oph		
	Prøvevolumstørrelse (mm)	1	1		1		
	Posisjon for prøvevolum	Sone 7	Sone 7		Sone 7		
	PRF (Hz)	1953	5208		5208		

(a) Denne indeksen er ikke påkrevd for denne driftsmodusen. Verdien er < 1 .

(b) Denne transduseren er ikke beregnet for å brukes transkranialt eller for neonatale hoder.

Det er ikke rapportert data for dette, siden den globale maksimale indeksverdien ikke er rapportert av nevnte grunn.

(Se linjen global maksimal indeksverdi.)

— Data gjelder ikke for denne transduseren/modusen.

Tabell 33: Transdusermodell: HSL25x Driftsmodus: 2D

Indeksmerke	MI	TIS		TIB		TIC
		På overflaten	Under overflaten	På overflaten	Under overflaten	På overflaten
Maksimal indeksverdi	1,2	(a)		(a)		(b)
Indekskomponentverdi		#	#	#	#	
Akustiske parametere	$p_{r,\alpha}$ ved z_{MI} (MPa)	2,87				
	P (mW)		#	#		#
	$P_{1 \times 1}$ (mW)		#	#		
	z_s (cm)			—		
	z_b (cm)				—	
	z_{MI} (cm)	0,8				
	$z_{pii,\alpha}$ (cm)	0,8				
	f_{awf} (MHz)	6,11	#		#	
Annen informasjon	p_{rr} (Hz)	1061				
	s_{rr} (Hz)	13,0				
	n_{pps}	1				
	$I_{pa,\alpha}$ ved $z_{pii,\alpha}$ (W/cm^2)	478				
	$I_{spta,\alpha}$ ved $z_{pii,\alpha}$ eller $z_{sii,\alpha}$ (mW/cm^2)	12,2				
	I_{spta} ved z_{pii} eller z_{sii} (mW/cm^2)	16,4				
	p_r ved z_{pii} (MPa)	3,39				
Drifts-kontroller	Undersøkelsestype	Nrv/Msk/ Ven/Art				
	Optimalisering	Alle				
	Dybde (cm)	1,9 – 2,2				
	Mbe	På				

(a) Denne indeksen er ikke påkrevd for denne driftsmodusen. Verdien er < 1.

(b) Denne transduseren er ikke beregnet for å brukes transkranialt eller for neonatale hoder.

Det er ikke rapportert data for dette, siden den globale maksimale indeksverdien ikke er rapportert av nevnte grunn.
(Se linjen global maksimal indeksverdi.)

— Data gjelder ikke for denne transduseren/modusen.

Tabell 34: Transdusermodell: HSL25x Driftsmodus: Farge/CPD

Indeksmerke		MI	TIS		TIB		TIC
			På overflaten	Under overflaten	På overflaten	Under overflaten	På overflaten
Maksimal indeksverdi		1,0	(a)		(a)		(b)
Indekskomponentverdi			#	#	#	#	
Akustiske parametere	$p_{r,\alpha}$ ved z_{MI} (MPa)	2,35					
	P (mW)		#		#		#
	$P_{1 \times 1}$ (mW)		#		#		
	z_s (cm)			—			
	z_b (cm)					—	
	z_{MI} (cm)	0,8					
	$z_{pii,\alpha}$ (cm)	0,8					
	f_{awf} (MHz)	6,11	#		#		#
Annen informasjon	pr (Hz)	3079					
	srr (Hz)	8,0					
	n_{pps}	14					
	$I_{pa,\alpha}$ ved $z_{pii,\alpha}$ (W/cm^2)	276					
	$I_{spta,\alpha}$ ved $z_{pii,\alpha}$ eller $z_{sii,\alpha}$ (mW/cm^2)	47,6					
	I_{spta} ved z_{pii} eller z_{sii} (mW/cm^2)	63,9					
	p_r ved z_{pii} (MPa)	2,78					
Drifts-kontroller	Undersøkelsestype	Sup					
	Modus	CVD					
	2D-optimalisering/dybde (cm)	Pen/3,1					
	Fargeoptimalisering/PRF (Hz)	Lav/401					
	Fargeboksposisjon/størrelse	Def/def					

(a) Denne indeksen er ikke påkrevd for denne driftsmodusen. Verdien er < 1 .

(b) Denne transduseren er ikke beregnet for å brukes transkranielt eller for neonatale hoder.

Det er ikke rapportert data for dette, siden den globale maksimale indeksverdien ikke er rapportert av nevnte grunn.
(Se linjen global maksimal indeksverdi.)

— Data gjelder ikke for denne transduseren/modusen.

Tabell 35: Transdusermodell: HSL25x Driftsmodus: PW-doppler

Indeksmerke		MI	TIS		TIB		TIC
			På overflaten	Under overflaten	På overflaten	Under overflaten	På overflaten
Maksimal indeksverdi		(a)	(a)		1,5		(b)
Indekskomponentverdi			#	#	0,8	1,5	
Akustiske parametere	$p_{r,\alpha}$ ved z_{MI} (MPa)	#					
	P (mW)		#		28,1		#
	$P_{1 \times 1}$ (mW)		#		28,1		
	z_s (cm)			#			
	z_b (cm)					0,75	
	z_{MI} (cm)	#					
	$z_{pii,\alpha}$ (cm)	#					
	f_{awf} (MHz)	#	#		6,00		#
Annen informasjon	pr_r (Hz)	#					
	srr (Hz)	#					
	η_{pps}	#					
	$I_{pa,\alpha}$ ved $z_{pii,\alpha}$ (W/cm^2)	#					
	$I_{spta,\alpha}$ ved $z_{pii,\alpha}$ eller $z_{sii,\alpha}$ (mW/cm^2)	#					
	I_{spta} ved z_{pii} eller z_{sii} (mW/cm^2)	#					
	p_r ved z_{pii} (MPa)	#					
Drifts-kontroller	Undersøkelsestype				Nrv		
	Prøvevolumstørrelse (mm)				8		
	Posisjon for prøvevolum				Sone 7		
	PRF (Hz)				1953		

(a) Denne indeksen er ikke påkrevd for denne driftsmodusen. Verdien er < 1 .

(b) Denne transduseren er ikke beregnet for å brukes transkranielt eller for neonatale hoder.

Det er ikke rapportert data for dette, siden den globale maksimale indeksverdien ikke er rapportert av nevnte grunn.

(Se linjen global maksimal indeksverdi.)

— Data gjelder ikke for denne transduseren/modusen.

Tabell 36: Transdusermodell: ICTx Driftsmodus: PW-doppler

Indeksmerke		MI	TIS		TIB		TIC
			På overflaten	Under overflaten	På overflaten	Under overflaten	På overflaten
Maksimal indeksverdi		(a)	(a)		1,2		(b)
Indekskomponentverdi			#	#	0,3	1,2	
Akustiske parametere	$p_{r,\alpha}$ ved z_{MI} (MPa)	#					
	P (mW)		#		16,3		#
	$P_{1 \times 1}$ (mW)		#		16,3		
	z_s (cm)			#			
	z_b (cm)					1,60	
	z_{MI} (cm)	#					
	$z_{pii,\alpha}$ (cm)	#					
	f_{awf} (MHz)	#	#		4,36		#
Annen informasjon	pr_r (Hz)	#					
	srr (Hz)	#					
	η_{pps}	#					
	$I_{pa,\alpha}$ ved $z_{pii,\alpha}$ (W/cm^2)	#					
	$I_{spta,\alpha}$ ved $z_{pii,\alpha}$ eller $z_{sii,\alpha}$ (mW/cm^2)	#					
	I_{spta} ved z_{pii} eller z_{sii} (mW/cm^2)	#					
	p_r ved z_{pii} (MPa)	#					
Drifts-kontroller	Undersøkelsestype				Alle		
	Prøvevolumstørrelse (mm)				3		
	Posisjon for prøvevolum				Sone 1		
	PRF (Hz)				Alle		

(a) Denne indeksen er ikke påkrevd for denne driftsmodusen. Verdien er < 1.

(b) Denne transduseren er ikke beregnet for å brukes transkranialt eller for neonatale hoder.

Det er ikke rapportert data for dette, siden den globale maksimale indeksverdien ikke er rapportert av nevnte grunn.
(Se linjen global maksimal indeksverdi.)

— Data gjelder ikke for denne transduseren/modusen.

Tabell 37: Transdusermodell: L25x (oftalmologisk bruk) Driftsmodus: 2D

Indeksmerke		MI	TIS		TIB		TIC
			På overflaten	Under overflaten	På overflaten	Under overflaten	På overflaten
Maksimal indeksverdi		0,17	0,02		0,02		(b)
Indekskomponentverdi			0,02	0,02	0,02	0,02	
Akustiske parametere	$p_{r,\alpha}$ ved z_{MI} (MPa)	0,47					
	P (mW)		1,62		1,62		#
	$P_{1 \times 1}$ (mW)		0,70		0,70		
	z_s (cm)			—			
	z_b (cm)					—	
	z_{MI} (cm)	0,8					
	$z_{pii,\alpha}$ (cm)	0,8					
	f_{awf} (MHz)	7,65	6,97		6,97		#
Annen informasjon	pr_r (Hz)	12.580					
	srr (Hz)	12,3					
	n_{pps}	4					
	$I_{pa,\alpha}$ ved $z_{pii,\alpha}$ (W/cm^2)	13,4					
	$I_{spta,\alpha}$ ved $z_{pii,\alpha}$ eller $z_{sii,\alpha}$ (mW/cm^2)	0,6					
	I_{spta} ved z_{pii} eller z_{sii} (mW/cm^2)	1,0					
	p_r ved z_{pii} (MPa)	0,58					
Drifts-kontroller	Undersøkelsestype	Oph	Oph		Oph		
	Optimalisering	Res	Pen		Pen		
	Dybde (cm)	1,9	4,3		4,3		
	MB	På	På		På		

(a) Denne indeksen er ikke påkrevd for denne driftsmodusen. Verdien er < 1.

(b) Denne transduseren er ikke beregnet for å brukes transkranielt eller for neonatale hoder.

Det er ikke rapportert data for dette, siden den globale maksimale indeksverdien ikke er rapportert av nevnte grunn.

(Se linjen global maksimal indeksverdi.)

— Data gjelder ikke for denne transduseren/modusen.

Tabell 38: Transdusermodell: L25x (oftalmologisk bruk) Driftsmodus: M-modus

Indeksmerke		MI	TIS		TIB		TIC
			På overflaten	Under overflaten	På overflaten	Under overflaten	På overflaten
Maksimal indeksverdi		0,17	0,010		0,020		(b)
Indekskomponentverdi			0,010	0,009	0,013	0,020	
Akustiske parametere	$p_{r,\alpha}$ ved z_{MI} (MPa)	0,47					
	P (mW)		0,45		0,45		#
	P_{1x1} (mW)		0,45		0,45		
	z_s (cm)			0,9			
	z_b (cm)					0,85	
	z_{MI} (cm)	1,0					
	$z_{pii,\alpha}$ (cm)	1,0					
	f_{awf} (MHz)	7,59	6,25		6,25		#
Annen informasjon	pr (Hz)	1600					
	srr (Hz)	—					
	η_{pps}	1					
	$I_{pa,\alpha}$ ved $z_{pii,\alpha}$ (W/cm^2)	14,9					
	$I_{spta,\alpha}$ ved $z_{pii,\alpha}$ eller $z_{sii,\alpha}$ (mW/cm^2)	2,3					
	I_{spta} ved z_{pii} eller z_{sii} (mW/cm^2)	4,0					
p_r ved z_{pii} (MPa)	0,61						
Drifts-kontroller	Undersøkelsestype	Oph	Oph		Oph		
	Optimalisering	Res	Pen		Pen		
	Dybde (cm)	1,9	4,3		4,3		

(a) Denne indeksen er ikke påkrevd for denne driftsmodusen. Verdien er < 1 .

(b) Denne transduseren er ikke beregnet for å brukes transkranielt eller for neonatale hoder.

Det er ikke rapportert data for dette, siden den globale maksimale indeksverdien ikke er rapportert av nevnte grunn. (Se linjen global maksimal indeksverdi.)

— Data gjelder ikke for denne transduseren/modusen.

Tabell 39: Transdusermodell: L25x (oftalmologisk bruk) Driftsmodus: Farge/CPD

Indeksmerke	MI	TIS		TIB		TIC
		På overflaten	Under overflaten	På overflaten	Under overflaten	På overflaten
Maksimal indeksverdi	0,17	0,06		0,06		(b)
Indekskomponentverdi		0,06	0,06	0,06	0,06	
Akustiske parametere	$p_{r,\alpha}$ ved z_{MI} (MPa)	0,42				
	P (mW)		2,9	2,9		#
	$P_{1 \times 1}$ (mW)		1,9	1,9		
	z_s (cm)		—			
	z_b (cm)				—	
	z_{MI} (cm)	0,7				
	$z_{pii,\alpha}$ (cm)	0,7				
	f_{awf} (MHz)	6,11	6,10		6,10	
Annen informasjon	pr_r (Hz)	3096				
	srr (Hz)	8,1				
	n_{pps}	14				
	$I_{pa,\alpha}$ ved $z_{pii,\alpha}$ (W/cm^2)	7,5				
	$I_{spta,\alpha}$ ved $z_{pii,\alpha}$ eller $z_{sii,\alpha}$ (mW/cm^2)	1,1				
	I_{spta} ved z_{pii} eller z_{sii} (mW/cm^2)	1,6				
	p_r ved z_{pii} (MPa)	0,49				
Drifts-kontroller	Undersøkelsestype	Oph	Oph		Oph	
	Modus	CVD	CVD		CVD	
	2D-optimalisering/dybde (cm)	Pen/1,9	Pen/5,1		Pen/5,1	
	Fargeoptimalisering/PRF (Hz)	Lav/401	Med/4167		Med/4167	
	Fargeboksposisjon/størrelse	Def/def	Topp/kort-bred		Topp/kort-bred	

(a) Denne indeksen er ikke påkrevd for denne driftsmodusen. Verdien er <1 .

(b) Denne transduseren er ikke beregnet for å brukes transkranielt eller for neonatale hoder.

Det er ikke rapportert data for dette, siden den globale maksimale indeksverdien ikke er rapportert av nevnte grunn.
(Se linjen global maksimal indeksverdi.)

— Data gjelder ikke for denne transduseren/modusen.

Tabell 40: Transdusermodell: L25x (oftalmologisk bruk) Driftsmodus: PW-doppler

Indeksmerke		MI	TIS		TIB		TIC
			På overflaten	Under overflaten	På overflaten	Under overflaten	På overflaten
Maksimal indeksverdi		0,18	0,12		0,21		(b)
Indekskomponentverdi			0,12	0,08	0,12	0,21	
Akustiske parametere	$p_{r,\alpha}$ ved z_{MI} (MPa)	0,44					
	P (mW)		4,0		4,0		#
	$P_{1 \times 1}$ (mW)		4,0		4,0		
	z_s (cm)			0,9			
	z_b (cm)					0,80	
	z_{MI} (cm)	1,2					
	$z_{pii,\alpha}$ (cm)	1,2					
	f_{awf} (MHz)	6,03	6,03		6,03		#
Annen informasjon	p_{rr} (Hz)	1953					
	s_{rr} (Hz)	—					
	η_{pps}	1					
	$I_{pa,\alpha}$ ved $z_{pii,\alpha}$ (W/cm^2)	7,4					
	$I_{spta,\alpha}$ ved $z_{pii,\alpha}$ eller $z_{sii,\alpha}$ (mW/cm^2)	18,4					
	I_{spta} ved z_{pii} eller z_{sii} (mW/cm^2)	44,9					
	p_r ved z_{pii} (MPa)	0,56					
Drifts-kontroller	Undersøkelsestype	Oph	Oph		Oph		
	Prøvevolumstørrelse (mm)	1	1		1		
	Posisjon for prøvevolum	Sone 7	Sone 7		Sone 7		
	PRF (Hz)	1953	5208		5208		

(a) Denne indeksen er ikke påkrevd for denne driftsmodusen. Verdien er < 1 .

(b) Denne transduseren er ikke beregnet for å brukes transkranialt eller for neonatale hoder.

Det er ikke rapportert data for dette, siden den globale maksimale indeksverdien ikke er rapportert av nevnte grunn.

(Se linjen global maksimal indeksverdi.)

— Data gjelder ikke for denne transduseren/modusen.

Tabell 41: Transdusermodell: L25x Driftsmodus: 2D

Indeksmerke		MI	TIS		TIB		TIC
			På overflaten	Under overflaten	På overflaten	Under overflaten	På overflaten
Maksimal indeksverdi		1,2	(a)		(a)		(b)
Indekskomponentverdi			#	#	#	#	
Akustiske parametere	$p_{r,\alpha}$ ved z_{MI} (MPa)	2,87					
	P (mW)		#		#		#
	$P_{1 \times 1}$ (mW)		#		#		
	z_s (cm)			—			
	z_b (cm)					—	
	z_{MI} (cm)	0,8					
	$z_{pii,\alpha}$ (cm)	0,8					
	f_{awf} (MHz)	6,11	#		#		#
Annen informasjon	pr_r (Hz)	1061					
	srr (Hz)	13,0					
	η_{pps}	1					
	$I_{pa,\alpha}$ ved $z_{pii,\alpha}$ (W/cm^2)	478					
	$I_{spta,\alpha}$ ved $z_{pii,\alpha}$ eller $z_{sii,\alpha}$ (mW/cm^2)	12,2					
	I_{spta} ved z_{pii} eller z_{sii} (mW/cm^2)	16,4					
	p_r ved z_{pii} (MPa)	3,39					
Drifts-kontroller	Undersøkelsestype	Nrv/Msk/ Ven/Art					
	Optimalisering	Alle					
	Dybde (cm)	1,9 – 2,2					
	Mbe	På					

(a) Denne indeksen er ikke påkrevd for denne driftsmodusen. Verdien er <1.

(b) Denne transduseren er ikke beregnet for å brukes transkranielt eller for neonatale hoder.

Det er ikke rapportert data for dette, siden den globale maksimale indeksverdien ikke er rapportert av nevnte grunn.
(Se linjen global maksimal indeksverdi.)

— Data gjelder ikke for denne transduseren/modusen.

Tabell 42: Transdusermodell: L25x Driftsmodus: Farge/CPD

Indeksmerke		MI	TIS		TIB		TIC
			På overflaten	Under overflaten	På overflaten	Under overflaten	På overflaten
Maksimal indeksverdi		1,0	(a)		(a)		(b)
Indekskomponentverdi			#	#	#	#	
Akustiske parametere	$p_{r,\alpha}$ ved z_{MI} (MPa)	2,35					
	P (mW)		#		#		#
	$P_{1 \times 1}$ (mW)		#		#		
	z_s (cm)			—			
	z_b (cm)					—	
	z_{MI} (cm)	0,8					
	$z_{pii,\alpha}$ (cm)	0,8					
	f_{awf} (MHz)	6,11	#		#		#
Annen informasjon	p_{rr} (Hz)	5261					
	s_{rr} (Hz)	13,7					
	n_{pps}	14					
	$I_{pa,\alpha}$ ved $z_{pii,\alpha}$ (W/cm^2)	276					
	$I_{spta,\alpha}$ ved $z_{pii,\alpha}$ eller $z_{sii,\alpha}$ (mW/cm^2)	81,5					
	I_{spta} ved z_{pii} eller z_{sii} (mW/cm^2)	109,5					
	p_r ved z_{pii} (MPa)	2,78					
Drifts-kontroller	Undersøkelsestype	Ven					
	Modus	CVD					
	2D-optimalisering/dybde (cm)	Pen/3,1					
	Fargeoptimalisering/PRF (Hz)	Lav/779					
	Fargeboksposisjon/størrelse	Def/def					

(a) Denne indeksen er ikke påkrevd for denne driftsmodusen. Verdien er < 1 .

(b) Denne transduseren er ikke beregnet for å brukes transkranialt eller for neonatale hoder.

Det er ikke rapportert data for dette, siden den globale maksimale indeksverdien ikke er rapportert av nevnte grunn.
(Se linjen global maksimal indeksverdi.)

— Data gjelder ikke for denne transduseren/modusen.

Tabell 43: Transdusermodell: L25x Driftsmodus: PW-doppler

Indeksmerke		MI	TIS		TIB		TIC
			På overflaten	Under overflaten	På overflaten	Under overflaten	På overflaten
Maksimal indeksverdi		(a)	(a)		1,7		(b)
Indekskomponentverdi			#	#	0,9	1,7	
Akustiske parametere	$p_{r,\alpha}$ ved z_{MI} (MPa)	#					
	P (mW)		#		32,1		#
	$P_{1 \times 1}$ (mW)		#		32,1		
	z_s (cm)			#			
	z_b (cm)					0,75	
	z_{MI} (cm)	#					
	$z_{pii,\alpha}$ (cm)	#					
	f_{awf} (MHz)	#	#		#		#
Annen informasjon	pr_r (Hz)	#					
	srr (Hz)	#					
	η_{pps}	#					
	$I_{pa,\alpha}$ ved $z_{pii,\alpha}$ (W/cm^2)	#					
	$I_{spta,\alpha}$ ved $z_{pii,\alpha}$ eller $z_{sii,\alpha}$ (mW/cm^2)	#					
	I_{spta} ved z_{pii} eller z_{sii} (mW/cm^2)	#					
	p_r ved z_{pii} (MPa)	#					
Drifts-kontroller	Undersøkelsestype				Vas/Ven/Nrv		
	Prøvevolumstørrelse (mm)				8		
	Posisjon for prøvevolum				Sone 7		
	PRF (Hz)				1953		

(a) Denne indeksen er ikke påkrevd for denne driftsmodusen. Verdien er < 1.

(b) Denne transduseren er ikke beregnet for å brukes transkranielt eller for neonatale hoder.

Det er ikke rapportert data for dette, siden den globale maksimale indeksverdien ikke er rapportert av nevnte grunn.
(Se linjen global maksimal indeksverdi.)

— Data gjelder ikke for denne transduseren/modusen.

Tabell 44: Transdusermodell: L38xi Driftsmodus: 2D

Indeksmerke		MI	TIS		TIB		TIC
			På overflaten	Under overflaten	På overflaten	Under overflaten	På overflaten
Maksimal indeksverdi		1,5	(a)		(a)		(b)
Indekskomponentverdi			#	#	#	#	
Akustiske parametere	$p_{r,\alpha}$ ved z_{MI} (MPa)	3,3					
	P (mW)		#		#		#
	$P_{1 \times 1}$ (mW)		#		#		
	z_s (cm)			—			
	z_b (cm)					—	
	z_{MI} (cm)	0,8					
	$z_{pii,\alpha}$ (cm)	0,8					
	f_{awf} (MHz)	4,82	#		#		#
Annen informasjon	pr (Hz)	1312					
	srr (Hz)	10,3					
	η_{pps}	1					
	$I_{pa,\alpha}$ ved $z_{pii,\alpha}$ (W/cm^2)	605					
	$I_{spta,\alpha}$ ved $z_{pii,\alpha}$ eller $z_{sii,\alpha}$ (mW/cm^2)	10,2					
	I_{spta} ved z_{pii} eller z_{sii} (mW/cm^2)	13,5					
	p_r ved z_{pii} (MPa)	3,79					
Drifts-kontroller	Undersøkelsestype	Nrv					
	Optimalisering	Res					
	Dybde (cm)	2,0					
	MB	I/R					
	Nålsyn	På					

(a) Denne indeksen er ikke påkrevd for denne driftsmodusen. Verdien er < 1 .

(b) Denne transduseren er ikke beregnet for å brukes transkranialt eller for neonatale hoder.

Det er ikke rapportert data for dette, siden den globale maksimale indeksverdien ikke er rapportert av nevnte grunn. (Se linjen global maksimal indeksverdi.)

— Data gjelder ikke for denne transduseren/modusen.

Tabell 45: Transdusermodell: L38xi Driftsmodus: M-modus

Indeksmerke		MI	TIS		TIB		TIC
			På overflaten	Under overflaten	På overflaten	Under overflaten	På overflaten
Maksimal indeksverdi		1,5	(a)		1,2		(b)
Indekskomponentverdi			#	#	0,9	1,2	
Akustiske parametere	$p_{r,\alpha}$ ved z_{MI} (MPa)	3,54					
	P (mW)		#		37,1		#
	$P_{1 \times 1}$ (mW)		#		37,1		
	z_s (cm)			#			
	z_b (cm)					0,9	
	z_{MI} (cm)	1,0					
	$z_{pii,\alpha}$ (cm)	1,0					
Annen informasjon	f_{awf} (MHz)	5,76	#		5,20		#
	pr (Hz)	1600					
	srr (Hz)	—					
	η_{pps}	1					
	$I_{pa,\alpha}$ ved $z_{pii,\alpha}$ (W/cm^2)	776					
	$I_{spta,\alpha}$ ved $z_{pii,\alpha}$ eller $z_{sii,\alpha}$ (mW/cm^2)	181,8					
	I_{spta} ved z_{pii} eller z_{sii} (mW/cm^2)	280,5					
Drifts-kontroller	p_r ved z_{pii} (MPa)	4,32					
	Undersøkelsestype	Art			Art		
	Optimalisering	Gen			Pen		
	Dybde (cm)	4,7			7,3		

(a) Denne indeksen er ikke påkrevd for denne driftsmodusen. Verdien er < 1 .

(b) Denne transduseren er ikke beregnet for å brukes transkranielt eller for neonatale hoder.

Det er ikke rapportert data for dette, siden den globale maksimale indeksverdien ikke er rapportert av nevnte grunn.
(Se linjen global maksimal indeksverdi.)

— Data gjelder ikke for denne transduseren/modusen.

Tabell 46: Transdusermodell: L38xi Driftsmodus: Farge/CPD

Indeksmerke		MI	TIS		TIB		TIC
			På overflaten	Under overflaten	På overflaten	Under overflaten	På overflaten
Maksimal indeksverdi		1,5	1,1		1,1		(b)
Indekskomponentverdi			1,1	1,1	1,1	1,1	
Akustiske parametere	$p_{r,\alpha}$ ved z_{MI} (MPa)	3,3					
	P (mW)		64,7		64,7		#
	$P_{1 \times 1}$ (mW)		49,0		49,0		
	z_s (cm)			—			
	z_b (cm)					—	
	z_{MI} (cm)	0,8					
	$z_{pii,\alpha}$ (cm)	0,8					
	f_{awf} (MHz)	4,82	4,83		4,83		#
Annen informasjon	p_{rr} (Hz)	2190					
	s_{rr} (Hz)	4,5					
	n_{pps}	16					
	$I_{pa,\alpha}$ ved $z_{pii,\alpha}$ (W/cm^2)	605					
	$I_{spta,\alpha}$ ved $z_{pii,\alpha}$ eller $z_{sji,\alpha}$ (mW/cm^2)	35,6					
	I_{spta} ved z_{pii} eller z_{sji} (mW/cm^2)	47,4					
	p_r ved z_{pii} (MPa)	3,79					
Drifts-kontroller	Undersøkelsestype	Art	Ven		Ven		
	Modus	CVD	CVD		CVD		
	2D-optimalisering/dybde (cm)	Pen/2,0	Pen/3,1		Pen/3,1		
	Fargeoptimalisering/PRF (Hz)	Lav/393	Lav/2315		Lav/2315		
	Fargeboksposisjon/størrelse	Def/def	Nederst/kort-smal		Nederst/kort-smal		

(a) Denne indeksen er ikke påkrevd for denne driftsmodusen. Verdien er <1 .

(b) Denne transduseren er ikke beregnet for å brukes transkranialt eller for neonatale hoder.

Det er ikke rapportert data for dette, siden den globale maksimale indeksverdien ikke er rapportert av nevnte grunn. (Se linjen global maksimal indeksverdi.)

— Data gjelder ikke for denne transduseren/modusen.

Tabell 47: Transdusermodell: L38xi Driftsmodus: PW-doppler

Indeksmerke		MI	TIS		TIB		TIC
			På overflaten	Under overflaten	På overflaten	Under overflaten	På overflaten
Maksimal indeksverdi		1,3	2,6		3,7		(b)
Indekskomponentverdi			2,6	1,8	2,6	3,7	
Akustiske parametere	$p_{r,\alpha}$ ved z_{MI} (MPa)	2,59					
	P (mW)		114,5		114,5		#
	$P_{1 \times 1}$ (mW)		114,5		114,5		
	z_s (cm)			1,2			
	z_b (cm)					1,2	
	z_{MI} (cm)	0,7					
	$z_{pii,\alpha}$ (cm)	0,7					
	f_{awf} (MHz)	4,06	4,78		4,78		#
Annen informasjon	pr_r (Hz)	1008					
	srr (Hz)	—					
	η_{pps}	1					
	$I_{pa,\alpha}$ ved $z_{pii,\alpha}$ (W/cm^2)	32,3					
	$I_{spta,\alpha}$ ved $z_{pii,\alpha}$ eller $z_{sii,\alpha}$ (mW/cm^2)	399,8					
	I_{spta} ved z_{pii} eller z_{sii} (mW/cm^2)	495,1					
	p_r ved z_{pii} (MPa)	2,86					
Drifts-kontroller	Undersøkelsestype	Art	Nrv		Nrv		
	Prøvevolumstørrelse (mm)	1	1		1		
	Posisjon for prøvevolum	Sone 0	Sone 7		Sone 7		
	PRF (Hz)	1008	10,417		10,417		

(a) Denne indeksen er ikke påkrevd for denne driftsmodusen. Verdien er < 1 .

(b) Denne transduseren er ikke beregnet for å brukes transkranielt eller for neonatale hoder.

Det er ikke rapportert data for dette, siden den globale maksimale indeksverdien ikke er rapportert av nevnte grunn.

(Se linjen global maksimal indeksverdi.)

— Data gjelder ikke for denne transduseren/modusen.

Tabell 48: Transdusermodell: P10x Driftsmodus: Color

Indeksmerke		MI	TIS		TIB		TIC
			På overflaten	Under overflaten	På overflaten	Under overflaten	På overflaten
Maksimal indeksverdi		(a)	(a)		(a)		1,1
Indekskomponentverdi			#	#	#	#	
Akustiske parametere	$p_{r,\alpha}$ ved z_{MI} (MPa)	#					
	P (mW)		#		#		42,2
	$P_{1 \times 1}$ (mW)		#		#		
	z_s (cm)			—			
	z_b (cm)					—	
	z_{MI} (cm)	#					
	$z_{pii,\alpha}$ (cm)	#					
	f_{awf} (MHz)	#	#		#		3,89
Annen informasjon	p_{rr} (Hz)	#					
	s_{rr} (Hz)	#					
	n_{pps}	#					
	$I_{pa,\alpha}$ ved $z_{pii,\alpha}$ (W/cm^2)	#					
	$I_{spta,\alpha}$ ved $z_{pii,\alpha}$ eller $z_{sii,\alpha}$ (mW/cm^2)	#					
	I_{spta} ved z_{pii} eller z_{sii} (mW/cm^2)	#					
	p_r ved z_{pii} (MPa)	#					
Drifts-kontroller	Undersøkelsestype						Crd
	Modus						CVD
	2D-optimalisering / dybde (cm) / sektorbredde						Pen/8,9/smal
	Fargeoptimalisering/PRF (Hz)						Lav/2033
	Fargeboksposisjon/størrelse						Topp/kort-bred

(a) Denne indeksen er ikke påkrevd for denne driftsmodusen. Verdien er <1.

(b) Denne transduseren er ikke beregnet for å brukes transkranialt eller for neonatale hoder.

Det er ikke rapportert data for dette, siden den globale maksimale indeksverdien ikke er rapportert av nevnte grunn. (Se linjen global maksimal indeksverdi.)

— Data gjelder ikke for denne transduseren/modusen.

Tabell 49: Transdusermodell: P10x Driftsmodus: CW-doppler

Indeksmerke		MI	TIS		TIB		TIC
			På overflaten	Under overflaten	På overflaten	Under overflaten	På overflaten
Maksimal indeksverdi		(a)	(a)		1,8		1,7
Indekskomponentverdi			#	#	0,7	1,8	
Akustiske parametere	$p_{r,\alpha}$ ved z_{MI} (MPa)	#					
	P (mW)		#		34,8		25,7
	$P_{1 \times 1}$ (mW)		#		34,8		
	z_s (cm)			#			
	z_b (cm)					0,70	
	z_{MI} (cm)	#					
	$z_{pii,\alpha}$ (cm)	#					
	f_{awf} (MHz)	#	#		4,00		4,00
Annen informasjon	pr (Hz)	#					
	srr (Hz)	#					
	η_{pps}	#					
	$I_{pa,\alpha}$ ved $z_{pii,\alpha}$ (W/cm^2)	#					
	$I_{spta,\alpha}$ ved $z_{pii,\alpha}$ eller $z_{sii,\alpha}$ (mW/cm^2)	#					
	I_{spta} ved z_{pii} eller z_{sii} (mW/cm^2)	#					
	p_r ved z_{pii} (MPa)	#					
Drifts-kontroller	Undersøkelsestype				Crd		Crd
	Posisjon for prøvevolum				Sone 3		Sone 0

(a) Denne indeksen er ikke påkrevd for denne driftsmodusen. Verdien er < 1 .

(b) Denne transduseren er ikke beregnet for å brukes transkranielt eller for neonatale hoder.

Det er ikke rapportert data for dette, siden den globale maksimale indeksverdien ikke er rapportert av nevnte grunn.
(Se linjen global maksimal indeksverdi.)

— Data gjelder ikke for denne transduseren/modusen.

Tabell 50: Transdusermodell: P 10x Driftsmodus: PW-doppler

Indeksmerke		MI	TIS		TIB		TIC
			På overflaten	Under overflaten	På overflaten	Under overflaten	På overflaten
Maksimal indeksverdi		1,0	1,1		1,9		1,5
Indekskomponentverdi			1,1	0,6	0,6	1,9	
Akustiske parametere	$p_{r,\alpha}$ ved z_{MI} (MPa)	1,92					
	P (mW)		34,4		31,9		26,9
	$P_{1 \times 1}$ (mW)		34,4		31,9		
	z_s (cm)			1,4			
	z_b (cm)					0,90	
	z_{MI} (cm)	2,1					
	$z_{pii,\alpha}$ (cm)	2,1					
	f_{awf} (MHz)	3,87	6,86		3,84		3,86
Annen informasjon	pr (Hz)	1562					
	srr (Hz)	—					
	n_{pps}	1					
	$I_{pa,\alpha}$ ved $z_{pii,\alpha}$ (W/cm^2)	200					
	$I_{spta,\alpha}$ ved $z_{pii,\alpha}$ eller $z_{sii,\alpha}$ (mW/cm^2)	400,0					
	I_{spta} ved z_{pii} eller z_{sii} (mW/cm^2)	729,9					
	p_r ved z_{pii} (MPa)	2,54					
Drifts-kontroller	Undersøkelsestype	Crd	Crd		Abd		Crd
	Prøvevolumstørrelse (mm)	1	7		12		1
	Posisjon for prøvevolum	Sone 2	Sone 6		Sone 1		Sone 0
	PRF (Hz)	1562	1008		1953		15,625
	TDI	Av	På		Av		Av

(a) Denne indeksen er ikke påkrevd for denne driftsmodusen. Verdien er <1.

(b) Denne transduseren er ikke beregnet for å brukes transkranielt eller for neonatale hoder.

Det er ikke rapportert data for dette, siden den globale maksimale indeksverdien ikke er rapportert av nevnte grunn.
(Se linjen global maksimal indeksverdi.)

— Data gjelder ikke for denne transduseren/modusen.

Tabell 51: Transdusermodell: rC60xi Driftsmodus: 2D

Indeksmerke	MI	TIS		TIB		TIC
		På overflaten	Under overflaten	På overflaten	Under overflaten	På overflaten
Maksimal indeksverdi	1,5	(a)		(a)		(b)
Indekskomponentverdi		#	#	#	#	
Akustiske parametere	$p_{r,\alpha}$ ved z_{MI} (MPa)	2,31				
	P (mW)		#	#	#	#
	$P_{1 \times 1}$ (mW)		#	#	#	
	z_s (cm)			—		
	z_b (cm)				—	
	z_{MI} (cm)	4,3				
	$z_{pii,\alpha}$ (cm)	4,3				
	f_{awf} (MHz)	2,36	#		#	#
Annen informasjon	pr_r (Hz)	3584				
	srr (Hz)	28,0				
	η_{pps}	1				
	$I_{pa,\alpha}$ ved $z_{pii,\alpha}$ (W/cm^2)	356				
	$I_{spta,\alpha}$ ved $z_{pii,\alpha}$ eller $z_{sii,\alpha}$ (mW/cm^2)	24,1				
	I_{spta} ved z_{pii} eller z_{sii} (mW/cm^2)	44,9				
	p_r ved z_{pii} (MPa)	3,29				
Drifts-kontroller	Undersøkelsestype	Abd				
	Optimalisering	Res				
	Dybde (cm)	11				
	MB (multistråle)	Av				
	THI	På				

(a) Denne indeksen er ikke påkrevd for denne driftsmodusen. Verdien er <1 .

(b) Denne transduseren er ikke beregnet for å brukes transkranielt eller for neonatale hoder.

Det er ikke rapportert data for dette, siden den globale maksimale indeksverdien ikke er rapportert av nevnte grunn.
(Se linjen global maksimal indeksverdi.)

— Data gjelder ikke for denne transduseren/modusen.

Tabell 52: Transdusermodell: rC60xi Driftsmodus: M-modus

Indeksmerke		MI	TIS		TIB		TIC
			På overflaten	Under overflaten	På overflaten	Under overflaten	På overflaten
Maksimal indeksverdi		1,3	(a)		1,0		(b)
Indekskomponentverdi			#	#	0,36	1,00	
Akustiske parametere	$p_{r,\alpha}$ ved z_{MI} (MPa)	2,18					
	P (mW)		#		69,8		#
	$P_{1 \times 1}$ (mW)		#		25,9		
	z_s (cm)			#			
	z_b (cm)					4,2	
	z_{MI} (cm)	4,3					
	$z_{pii,\alpha}$ (cm)	4,3					
	f_{awf} (MHz)	2,66	#		2,89		#
Annen informasjon	p_{rr} (Hz)	800					
	s_{rr} (Hz)	—					
	η_{pps}	1					
	$I_{pa,\alpha}$ ved $z_{pii,\alpha}$ (W/cm^2)	290					
	$I_{spta,\alpha}$ ved $z_{pii,\alpha}$ eller $z_{sii,\alpha}$ (mW/cm^2)	144,2					
	I_{spta} ved z_{pii} eller z_{sii} (mW/cm^2)	328,2					
p_r ved z_{pii} (MPa)	3,25						
Drifts-kontroller	Undersøkelsestype	Abd			Msk		
	Optimalisering	Pen			Pen		
	Dybde (cm)	6,6			9,2		
	THI	Av			Av		

(a) Denne indeksen er ikke påkrevd for denne driftsmodusen. Verdien er < 1 .

(b) Denne transduseren er ikke beregnet for å brukes transkranialt eller for neonatale hoder.

Det er ikke rapportert data for dette, siden den globale maksimale indeksverdien ikke er rapportert av nevnte grunn.

(Se linjen global maksimal indeksverdi.)

— Data gjelder ikke for denne transduseren/modusen.

Tabell 53: Transdusermodell: rC60xi Driftsmodus: Farge/CPD

Indeksmerke	MI	TIS		TIB		TIC
		På overflaten	Under overflaten	På overflaten	Under overflaten	På overflaten
Maksimal indeksverdi	1,5	1,2		1,2		(b)
Indekskomponentverdi		1,2	1,2	1,2	1,2	
Akustiske parametere	$p_{r,\alpha}$ ved z_{MI} (MPa)	2,21				
	P (mW)		185,8	185,8		#
	$P_{1 \times 1}$ (mW)		107,5	107,5		
	z_s (cm)			—		
	z_b (cm)				—	
	z_{MI} (cm)	4,3				
	$z_{pii,\alpha}$ (cm)	4,3				
	f_{awf} (MHz)	2,22	2,21		2,21	
Annen informasjon	p_{rr} (Hz)	1265				
	s_{rr} (Hz)	9,89				
	n_{pps}	1				
	$I_{pa,\alpha}$ ved $z_{pii,\alpha}$ (W/cm^2)	342				
	$I_{spta,\alpha}$ ved $z_{pii,\alpha}$ eller $z_{sii,\alpha}$ (mW/cm^2)	8,9				
	I_{spta} ved z_{pii} eller z_{sii} (mW/cm^2)	15,8				
	p_r ved z_{pii} (MPa)	3,07				
Drifts-kontroller	Undersøkelsestype	Abd	Abd		Abd	
	Modus	CVD	CVD		CVD	
	2D-optimalisering / dybde (cm) / THI	Gen/11/På	Gen/4,7/Av		Gen/4,7/Av	
	Fargeoptimalisering/PRF (Hz)	Lav/342	Høy/3125		Høy/3125	
	Fargeboksposisjon/størrelse	Nederst/høy-smal	Nederst/høy-smal		Nederst/høy-smal	

(a) Denne indeksen er ikke påkrevd for denne driftsmodusen. Verdien er <1 .

(b) Denne transduseren er ikke beregnet for å brukes transkranielt eller for neonatale hoder.

Det er ikke rapportert data for dette, siden den globale maksimale indeksverdien ikke er rapportert av nevnte grunn.
(Se linjen global maksimal indeksverdi.)

— Data gjelder ikke for denne transduseren/modusen.

Tabell 54: Transdusermodell: rC60xi Driftsmodus: PW-doppler

Indeksmerke		MI	TIS		TIB		TIC
			På overflaten	Under overflaten	På overflaten	Under overflaten	På overflaten
Maksimal indeksverdi		1,2	2,0		4,0		(b)
Indekskomponentverdi			0,7	2,0	0,8	4,0	
Akustiske parametere	$p_{r,\alpha}$ ved z_{MI} (MPa)	1,73					
	P (mW)		386,5		291,8		#
	P_{1x1} (mW)		67,5		74,2		
	z_s (cm)			4,0			
	z_b (cm)					3,6	
	z_{MI} (cm)	4,5					
	$z_{pii,\alpha}$ (cm)	4,5					
	f_{awf} (MHz)	2,2	2,23		2,23		#
Annen informasjon	pr (Hz)	1302					
	srr (Hz)	—					
	η_{pps}	1					
	$I_{pa,\alpha}$ ved $z_{pii,\alpha}$ (W/cm^2)	267					
	$I_{spta,\alpha}$ ved $z_{pii,\alpha}$ eller $z_{sii,\alpha}$ (mW/cm^2)	399,7					
	I_{spta} ved z_{pii} eller z_{sii} (mW/cm^2)	793,3					
	p_r ved z_{pii} (MPa)	2,43					
Drifts-kontroller	Undersøkelsestype	Abd	Abd		Abd		
	Prøvevolumstørrelse (mm)	3	7		7		
	Posisjon for prøvevolum	Sone 3	Sone 6		Sone 5		
	PRF (Hz)	1302	2604		2604		

(a) Denne indeksen er ikke påkrevd for denne driftsmodusen. Verdien er <1.

(b) Denne transduseren er ikke beregnet for å brukes transkranialt eller for neonatale hoder.

Det er ikke rapportert data for dette, siden den globale maksimale indeksverdien ikke er rapportert av nevnte grunn.

(Se linjen global maksimal indeksverdi.)

— Data gjelder ikke for denne transduseren/modusen.

Tabell 55: Transdusermodell: rP19x (orbital bruk) Driftsmodus: 2D

Indeksmerke		MI	TIS		TIB		TIC
			På overflaten	Under overflaten	På overflaten	Under overflaten	På overflaten
Maksimal indeksverdi		0,17	0,03		0,03		0,07
Indekskomponentverdi			0,03	0,03	0,03	0,03	
Akustiske parametere	$p_{r,\alpha}$ ved z_{MI} (MPa)	0,25					
	P (mW)		4,4		4,4		4,7
	$P_{1 \times 1}$ (mW)		2,9		2,9		
	z_s (cm)			—			
	z_b (cm)					—	
	z_{MI} (cm)	3,4					
	$z_{pii,\alpha}$ (cm)	3,4					
	f_{awf} (MHz)	2,06	2,06		2,06		1,90
Annen informasjon	pr_r (Hz)	6413					
	srr (Hz)	15,6					
	η_{pps}	1					
	$I_{pa,\alpha}$ ved $z_{pii,\alpha}$ (W/cm^2)	4,1					
	$I_{spta,\alpha}$ ved $z_{pii,\alpha}$ eller $z_{sii,\alpha}$ (mW/cm^2)	0,4					
	I_{spta} ved z_{pii} eller z_{sii} (mW/cm^2)	0,6					
	p_r ved z_{pii} (MPa)	0,31					
Drifts-kontroller	Undersøkelsestype	Orb	Orb		Orb		Orb
	Optimalisering	Res	Res		Res		Gen
	Dybde (cm)	4,7	4,7		4,7		16
	MB	Av	Av		Av		Av

(a) Denne indeksen er ikke påkrevd for denne driftsmodusen. Verdien er < 1 .

(b) Denne transduseren er ikke beregnet for å brukes transkranielt eller for neonatale hoder.

Det er ikke rapportert data for dette, siden den globale maksimale indeksverdien ikke er rapportert av nevnte grunn.

(Se linjen global maksimal indeksverdi.)

— Data gjelder ikke for denne transduseren/modusen.

Tabell 56: Transdusermodell: rP19x (orbital bruk) Driftsmodus: M-modus

Indeksmerke		MI	TIS		TIB		TIC
			På overflaten	Under overflaten	På overflaten	Under overflaten	På overflaten
Maksimal indeksverdi		0,17	0,009		0,020		0,021
Indekskomponentverdi			0,006	0,009	0,006	0,020	
Akustiske parametere	$p_{r,\alpha}$ ved z_{MI} (MPa)	0,25					
	P (mW)		1,34		1,34		1,34
	$P_{1 \times 1}$ (mW)		0,67		0,67		
	z_s (cm)			2,5			
	z_b (cm)					3,15	
	z_{MI} (cm)	3,4					
	$z_{pii,\alpha}$ (cm)	3,4					
	f_{awf} (MHz)	2,06	1,83		1,83		1,83
Annen informasjon	pr (Hz)	800					
	srr (Hz)	—					
	η_{pps}	1					
	$I_{pa,\alpha}$ ved $z_{pii,\alpha}$ (W/cm^2)	4,05					
	$I_{spta,\alpha}$ ved $z_{pii,\alpha}$ eller $z_{sii,\alpha}$ (mW/cm^2)	1,7					
	I_{spta} ved z_{pii} eller z_{sii} (mW/cm^2)	2,7					
p_r ved z_{pii} (MPa)	0,31						
Drifts-kontroller	Undersøkelsestype	Orb	Orb		Orb		Orb
	Optimalisering	Res	Gen		Gen		Gen
	Dybde (cm)	4,7	35		35		35

(a) Denne indeksen er ikke påkrevd for denne driftsmodusen. Verdien er < 1 .

(b) Denne transduseren er ikke beregnet for å brukes transkranielt eller for neonatale hoder.

Det er ikke rapportert data for dette, siden den globale maksimale indeksverdien ikke er rapportert av nevnte grunn. (Se linjen global maksimal indeksverdi.)

— Data gjelder ikke for denne transduseren/modusen.

Tabell 57: Transdusermodell: rP19x (orbital bruk) Driftsmodus: Farge/CPD

Indeksmerke	MI	TIS		TIB		TIC
		På overflaten	Under overflaten	På overflaten	Under overflaten	På overflaten
Maksimal indeksverdi	0,17	0,09		0,09		0,23
Indekskomponentverdi		0,09	0,09	0,09	0,09	
Akustiske parametere	$p_{r,\alpha}$ ved z_{MI} (MPa)	0,25				
	P (mW)		15,47	15,47		15,50
	$P_{1 \times 1}$ (mW)		9,50	9,50		
	z_s (cm)					
	z_b (cm)					
	z_{MI} (cm)	0,7				
	$z_{pii,\alpha}$ (cm)	0,7				
	f_{awf} (MHz)	2,14	2,11	2,11		2,11
Annen informasjon	pr_r (Hz)	5443				
	srr (Hz)	15,9				
	η_{pps}	16				
	$I_{pa,\alpha}$ ved $z_{pii,\alpha}$ (W/cm^2)	1,82				
	$I_{spta,\alpha}$ ved $z_{pii,\alpha}$ eller $z_{sii,\alpha}$ (mW/cm^2)	3,2				
	I_{spta} ved z_{pii} eller z_{sii} (mW/cm^2)	3,5				
	p_r ved z_{pii} (MPa)	0,26				
Drifts-kontroller	Undersøkelsestype	Orb	Orb	Orb		Orb
	Modus	CVD	CVD	CVD		CVD
	2D-optimalisering/dybde (cm)	Gen/4,7	Gen/24	Gen/24		Gen/24
	Fargeoptimalisering/PRF (Hz)	Lav/1157	Lav/3125	Lav/3125		Lav/3125
	Fargeboksposisjon/størrelse	Def/def	Topp/kort-bred	Topp/kort-bred		Topp/kort-bred

(a) Denne indeksen er ikke påkrevd for denne driftsmodusen. Verdien er <1 .

(b) Denne transduseren er ikke beregnet for å brukes transkranielt eller for neonatale hoder.

Det er ikke rapportert data for dette, siden den globale maksimale indeksverdien ikke er rapportert av nevnte grunn.
(Se linjen global maksimal indeksverdi.)

— Data gjelder ikke for denne transduseren/modusen.

Tabell 58: Transdusermodell: rP19x (orbital bruk) Driftsmodus: PW-doppler

Indeksmerke		MI	TIS		TIB		TIC
			På overflaten	Under overflaten	På overflaten	Under overflaten	På overflaten
Maksimal indeksverdi		0,18	0,27		0,59		0,57
Indekskomponentverdi			0,19	0,27	0,18	0,59	
Akustiske parametere	$p_{r,\alpha}$ ved z_{MI} (MPa)	0,27					
	P (mW)		37,4		35,3		37,4
	$P_{1 \times 1}$ (mW)		17,5		17,0		
	z_s (cm)			2,5			
	z_b (cm)					3,35	
	z_{MI} (cm)	3,5					
	$z_{pii,\alpha}$ (cm)	3,5					
	f_{awf} (MHz)	2,23	2,23		2,23		2,23
Annen informasjon	pr (Hz)	1953					
	srr (Hz)	—					
	η_{pps}	1					
	$I_{pa,\alpha}$ ved $z_{pii,\alpha}$ (W/cm^2)	2,49					
	$I_{spta,\alpha}$ ved $z_{pii,\alpha}$ eller $z_{sii,\alpha}$ (mW/cm^2)	28,9					
	I_{spta} ved z_{pii} eller z_{sii} (mW/cm^2)	69,3					
	p_r ved z_{pii} (MPa)	0,36					
Drifts-kontroller	Undersøkelsestype	Orb	Orb		Orb		Orb
	Prøvevolumstørrelse (mm)	5	14		14		14
	Posisjon for prøvevolum	Sone 6	Sone 7		Sone 5		Sone 7
	PRF (Hz)	1953	1953		1953		1953

(a) Denne indeksen er ikke påkrevd for denne driftsmodusen. Verdien er <1.

(b) Denne transduseren er ikke beregnet for å brukes transkranialt eller for neonatale hoder.

Det er ikke rapportert data for dette, siden den globale maksimale indeksverdien ikke er rapportert av nevnte grunn.

(Se linjen global maksimal indeksverdi.)

— Data gjelder ikke for denne transduseren/modusen.

Tabell 59: Transdusermodell: rP19x Driftsmodus: 2D

Indeksmerke		MI	TIS		TIB		TIC
			På overflaten	Under overflaten	På overflaten	Under overflaten	På overflaten
Maksimal indeksverdi		1,5	1,0		1,0		2,7
Indekskomponentverdi			1,0	1,0	1,0	1,0	
Akustiske parametere	$p_{r,\alpha}$ ved z_{MI} (MPa)	2,1					
	P (mW)		152,6		152,6		177,8
	$P_{1 \times 1}$ (mW)		96,1		96,1		
	z_s (cm)			—			
	z_b (cm)					—	
	z_{MI} (cm)	4,8					
	$z_{pii,\alpha}$ (cm)	4,8					
f_{awf} (MHz)	1,99	2,08		2,08		1,53	
Annen informasjon	pr_r (Hz)	6186					
	srr (Hz)	48,3					
	η_{pps}	1					
	$I_{pa,\alpha}$ ved $z_{pii,\alpha}$ (W/cm^2)	184					
	$I_{spta,\alpha}$ ved $z_{pii,\alpha}$ eller $z_{sii,\alpha}$ (mW/cm^2)	25,4					
	I_{spta} ved z_{pii} eller z_{sii} (mW/cm^2)	38,6					
	p_r ved z_{pii} (MPa)	2,92					
Drifts-kontroller	Undersøkelsestype	Abd	Crd		Crd		Crd
	Optimalisering	Gen	Res		Res		Pen
	Dybde (cm)	10	10		10		4,7
	MB/THI	Av/av	Av/på		Av/på		Av/på
	Sektorbredde	I/R	Smal		Smal		I/R

(a) Denne indeksen er ikke påkrevd for denne driftsmodusen. Verdien er <1 .

(b) Denne transduseren er ikke beregnet for å brukes transkranielt eller for neonatale hoder.

Det er ikke rapportert data for dette, siden den globale maksimale indeksverdien ikke er rapportert av nevnte grunn.
(Se linjen global maksimal indeksverdi.)

— Data gjelder ikke for denne transduseren/modusen.

Tabell 60: Transdusermodell: rP19x Driftsmodus: M-modus

Indeksmerke		MI	TIS		TIB		TIC
			På overflaten	Under overflaten	På overflaten	Under overflaten	På overflaten
Maksimal indeksverdi		1,5	(a)		1,7		1,0
Indekskomponentverdi			#	#	0,2	1,7	
Akustiske parametere	$p_{r,\alpha}$ ved z_{MI} (MPa)	2,1					
	P (mW)		#		55,0		62,1
	$P_{1 \times 1}$ (mW)		#		28,5		
	z_s (cm)			#			
	z_b (cm)					4,33	
	z_{MI} (cm)	4,8					
	$z_{pii,\alpha}$ (cm)	4,8					
	f_{awf} (MHz)	1,99	#		1,81		1,77
Annen informasjon	p_{rr} (Hz)	800					
	s_{rr} (Hz)	—					
	η_{pps}	1					
	$I_{pa,\alpha}$ ved $z_{pii,\alpha}$ (W/cm^2)	184					
	$I_{spta,\alpha}$ ved $z_{pii,\alpha}$ eller $z_{sii,\alpha}$ (mW/cm^2)	73,5					
	I_{spta} ved z_{pii} eller z_{sii} (mW/cm^2)	140,8					
	p_r ved z_{pii} (MPa)	2,92					
Drifts-kontroller	Undersøkelsestype	TCD			Abd		Abd
	Optimalisering	Gen			Res		Res
	Dybde (cm)	7,5			10		16
	THI	Av			På		På

(a) Denne indeksen er ikke påkrevd for denne driftsmodusen. Verdien er < 1.

(b) Denne transduseren er ikke beregnet for å brukes transkranialt eller for neonatale hoder.

Det er ikke rapportert data for dette, siden den globale maksimale indeksverdien ikke er rapportert av nevnte grunn.
(Se linjen global maksimal indeksverdi.)

— Data gjelder ikke for denne transduseren/modusen.

Tabell 61: Transdusermodell: rP19x Driftsmodus: Farge/CPD

Indeksmerke	MI	TIS		TIB		TIC	
		På overflaten	Under overflaten	På overflaten	Under overflaten	På overflaten	
Maksimal indeksverdi	1,5	1,2		1,2		2,5	
Indekskomponentverdi		1,2	1,2	1,2	1,2		
Akustiske parametere	$p_{r,\alpha}$ ved z_{MI} (MPa)	2,1					
	P (mW)		128,0	128,0		170,5	
	$P_{1 \times 1}$ (mW)		115,6	115,6			
	z_s (cm)		—				
	z_b (cm)				—		
	z_{MI} (cm)	4,8					
	$z_{pii,\alpha}$ (cm)	4,8					
	f_{awf} (MHz)	1,99	2,14		2,14		2,12
Annen informasjon	p_{rr} (Hz)	505					
	s_{rr} (Hz)	7,9					
	η_{pps}	1					
	$I_{pa,\alpha}$ ved $z_{pii,\alpha}$ (W/cm^2)	184					
	$I_{spta,\alpha}$ ved $z_{pii,\alpha}$ eller $z_{sii,\alpha}$ (mW/cm^2)	2,1					
	I_{spta} ved z_{pii} eller z_{sii} (mW/cm^2)	3,2					
	p_r ved z_{pii} (MPa)	2,92					
Drifts-kontroller	Undersøkelsestype	Abd	TCD		TCD		Crd
	modus/THI	CVD/av	CVD/av		CVD/av		CVD/på
	2D-optimalisering / dybde (cm) / sektorbredde	Gen/10/I/R	Gen/7,5/I/R		Gen/7,5/I/R		Gen/16/sm al
	Fargeoptimalisering/PRF (Hz)	Lav/300	Lav/3125		Lav/3125		Høy/5208
	Fargeboksposisjon/størrelse	Def/def	Def/sm		Def/sm		Def/def

(a) Denne indeksen er ikke påkrevd for denne driftsmodusen. Verdien er < 1 .

(b) Denne transduseren er ikke beregnet for å brukes transkranielt eller for neonatale hoder.

Det er ikke rapportert data for dette, siden den globale maksimale indeksverdien ikke er rapportert av nevnte grunn. (Se linjen global maksimal indeksverdi.)

— Data gjelder ikke for denne transduseren/modusen.

Tabell 62: Transdusermodell: rP19x Driftsmodus: CW-doppler

Indeksmerke		MI	TIS		TIB		TIC
			På overflaten	Under overflaten	På overflaten	Under overflaten	På overflaten
Maksimal indeksverdi		(a)	1,2		4,0		4,0
Indekskomponentverdi			1,2	1,1	1,2	4,0	
Akustiske parametere	$p_{r,\alpha}$ ved z_{MI} (MPa)	#					
	P (mW)		125,4		125,4		125,4
	P_{1x1} (mW)		125,4		125,4		
	z_s (cm)			0,9			
	z_b (cm)					0,9	
	z_{MI} (cm)	#					
	$z_{pii,\alpha}$ (cm)	#					
	f_{awf} (MHz)	#	2,00		2,00		2,00
Annen informasjon	pr (Hz)	#					
	srr (Hz)	#					
	η_{pps}	#					
	$I_{pa,\alpha}$ ved $z_{pii,\alpha}$ (W/cm^2)	#					
	$I_{spta,\alpha}$ ved $z_{pii,\alpha}$ eller $z_{sii,\alpha}$ (mW/cm^2)	#					
	I_{spta} ved z_{pii} eller z_{sii} (mW/cm^2)	#					
	p_r ved z_{pii} (MPa)	#					
Drifts-kontroller	Undersøkelsestype		Crd		Crd		Crd
	Posisjon for prøvevolum		Sone 0		Sone 0		Sone 0

(a) Denne indeksen er ikke påkrevd for denne driftsmodusen. Verdien er < 1 .

(b) Denne transduseren er ikke beregnet for å brukes transkranielt eller for neonatale hoder.

Det er ikke rapportert data for dette, siden den globale maksimale indeksverdien ikke er rapportert av nevnte grunn. (Se linjen global maksimal indeksverdi.)

— Data gjelder ikke for denne transduseren/modusen.

Tabell 63: Transdusermodell: rP19x Driftsmodus: PW-doppler

Indeksmerke		MI	TIS		TIB		TIC
			På overflaten	Under overflaten	På overflaten	Under overflaten	På overflaten
Maksimal indeksverdi		1,3	1,8		4,0		3,9
Indekskomponentverdi			1,3	1,8	1,2	4,0	
Akustiske parametere	$p_{r,\alpha}$ ved z_{MI} (MPa)	1,94					
	P (mW)		253,7		240,2		251,1
	$P_{1 \times 1}$ (mW)		118,6		116,0		
	z_s (cm)			2,5			
	z_b (cm)					3,35	
	z_{MI} (cm)	3,0					
	$z_{pii,\alpha}$ (cm)	3,0					
	f_{awf} (MHz)	2,14	2,23		2,23		2,10
Annen informasjon	pr (Hz)	1562					
	srr (Hz)	—					
	n_{pps}	1					
	$I_{pa,\alpha}$ ved $z_{pii,\alpha}$ (W/cm^2)	180					
	$I_{spta,\alpha}$ ved $z_{pii,\alpha}$ eller $z_{sii,\alpha}$ (mW/cm^2)	374,9					
	I_{spta} ved z_{pii} eller z_{sii} (mW/cm^2)	594,7					
	p_r ved z_{pii} (MPa)	2,42					
Drifts-kontroller	Undersøkelsestype	Crd	Crd		Crd		Crd
	Prøvevolumstørrelse (mm)	1	12		1		1
	Posisjon for prøvevolum	Sone 1	Sone 7		Sone 5		Sone 5
	PRF (Hz)	1562	1562		39,062		39,062
	TDI	Av	Av		Av		Av

(a) Denne indeksen er ikke påkrevd for denne driftsmodusen. Verdien er <1 .

(b) Denne transduseren er ikke beregnet for å brukes transkranielt eller for neonatale hoder.

Det er ikke rapportert data for dette, siden den globale maksimale indeksverdien ikke er rapportert av nevnte grunn.
(Se linjen global maksimal indeksverdi.)

— Data gjelder ikke for denne transduseren/modusen.

Tabell 64: Transdusermodell: TEExi Driftsmodus: CW-doppler

Indeksmerke		MI	TIS		TIB		TIC
			På overflaten	Under overflaten	På overflaten	Under overflaten	På overflaten
Maksimal indeksverdi		(a)	(a)		1,7		(b)
Indekskomponentverdi			#	#	0,7	1,7	
Akustiske parametere	$p_{r,\alpha}$ ved z_{MI} (MPa)	#					
	P (mW)		#		34,4		#
	P_{1x1} (mW)		#		34,4		
	z_s (cm)			#			
	z_b (cm)					1,10	
	z_{MI} (cm)	#					
	$z_{pii,\alpha}$ (cm)	#					
	f_{awf} (MHz)	#	#		4,00		#
Annen informasjon	pr (Hz)	#					
	srr (Hz)	#					
	η_{pps}	#					
	$I_{pa,\alpha}$ ved $z_{pii,\alpha}$ (W/cm^2)	#					
	$I_{spta,\alpha}$ ved $z_{pii,\alpha}$ eller $z_{sii,\alpha}$ (mW/cm^2)	#					
	I_{spta} ved z_{pii} eller z_{sii} (mW/cm^2)	#					
	p_r ved z_{pii} (MPa)	#					
Drifts-kontroller	Undersøkelsestype				Crd		
	Prøvevolum				Sone 2		

(a) Denne indeksen er ikke påkrevd for denne driftsmodusen. Verdien er < 1 .

(b) Denne transduseren er ikke beregnet for å brukes transkranielt eller for neonatale hoder.

Det er ikke rapportert data for dette, siden den globale maksimale indeksverdien ikke er rapportert av nevnte grunn. (Se linjen global maksimal indeksverdi.)

— Data gjelder ikke for denne transduseren/modusen.

Tabell 65: Transdusermodell: TEExi Driftsmodus: PW-doppler

Indeksmerke		MI	TIS		TIB		TIC
			På overflaten	Under overflaten	På overflaten	Under overflaten	På overflaten
Maksimal indeksverdi		(a)	(a)		1,4		(b)
Indekskomponentverdi			#	#	0,7	1,4	
Akustiske parametere	$p_{r,\alpha}$ ved z_{MI} (MPa)	#					
	P (mW)		#		35,8		#
	$P_{1 \times 1}$ (mW)		#		35,8		
	z_s (cm)			#			
	z_b (cm)					2,57	
	z_{MI} (cm)	#					
	$z_{pii,\alpha}$ (cm)	#					
	f_{awf} (MHz)	#	#		3,81		#
Annen informasjon	pr_r (Hz)	#					
	srr (Hz)	#					
	η_{pps}	#					
	$I_{pa,\alpha}$ ved $z_{pii,\alpha}$ (W/cm^2)	#					
	$I_{spta,\alpha}$ ved $z_{pii,\alpha}$ eller $z_{sii,\alpha}$ (mW/cm^2)	#					
	I_{spta} ved z_{pii} eller z_{sii} (mW/cm^2)	#					
	p_r ved z_{pii} (MPa)	#					
Drifts-kontroller	Undersøkelsestype				Crd		
	Prøvevolumstørrelse (mm)				1		
	Posisjon for prøvevolum				Sone 3		
	PRF (Hz)				2604		

(a) Denne indeksen er ikke påkrevd for denne driftsmodusen. Verdien er < 1 .

(b) Denne transduseren er ikke beregnet for å brukes transkranielt eller for neonatale hoder.

Det er ikke rapportert data for dette, siden den globale maksimale indeksverdien ikke er rapportert av nevnte grunn.

(Se linjen global maksimal indeksverdi.)

— Data gjelder ikke for denne transduseren/modusen.

Termer som brukes i tabellene for akustiske utdata

Tabell 66: Termer som brukes i tabellene for akustiske utdata

Terminologi	Definisjon
α	Dempningskoeffisient brukt til lufting. Tilsvarende 0,3 dB/cm/MHz ² .
f_{awf}	Akustisk driftsfrekvens
$I_{pa,\alpha}$	Dempet intensitet på pulsgjennomsnitt.
I_{spta}	Intensitet spatial topp temporalt-gjennomsnitt
$I_{spta,\alpha}$	Intensitet spatial topp temporal-gjennomsnitt
MI	Mekanisk indeks.
P	Utgangseffekt.
$P_{1 \times 1}$	Begrenset kvadrat utgangseffekt
$p_{r,\alpha}$	Dempet topp-rarefaksjonelt akustisk trykk.
p_r	Topp-rarefaksjonelt akustisk trykk.
p_{ii}	Pulsintensitet integral.
$p_{ii,\alpha}$	Dempet pulsintensitet integral.
n_{pps}	Antall pulser per ultralydskannlinje.
prf	Pulsrepetisjonsfrekvens
srf	Skannrepetisjonsfrekvens
TI	Thermal Index (Termisk indeks).
TIB	(termisk indeks for beinvev).
TIC	Termisk indeks for kraniebeinvev.
TIS	TIS (termisk indeks for bløtvev)
z_b	Dybde for TIB.
z_{MI}	Dybde for mekanisk indeks
$z_{p_{ii}}$	Dybde for topp pulsintegritet integral.
$z_{p_{ii,\alpha}}$	Dybde for topp dempet pulsintegritet integral.

Tabell 66: Termer som brukes i tabellene for akustiske utdata

Terminologi	Definisjon
Z_{Sii}	Dybde for topp sum av pulsintegritet integraler.
$Z_{Sii,\alpha}$	Dybde for topp sum av dempet pulsintegritet integraler.
Z_S	Dybde for TIS.

Ordliste (SonoSite Edge II)

Termen IMT er fjernet fra listen over forkortelser i brukerhåndboken for SonoSite Edge II. Endringen vil bli utført i neste oppdatering.

Rättelse till användarhandboken för SonoSite Edge II och SonoSite SII

Inledning	278
Dokumentkonventioner	278
Få hjälp	278
Få hjälp (SonoSite Edge II)	279
Komma igång	279
Avsedda användningsområden	279
Systeminställningar	279
Anslutningsinställningar (SonoSite SII)	279
Anslutningsinställning (SonoSite Edge II)	279
Nätverksstatusinställningar	280
Bildåtergivning	280
Bildåtergivningslägen och undersökningstyper tillgängliga per transduktor (SonoSite SII)	280
Mätningar och beräkningar (SonoSite SII)	280
Allmänna beräkningar	280
Referenser för mätning (SonoSite SII)	281
Mätnoggrannhet	282
Publikationer om mätning samt terminologi	282
Rengöring och desinficering	283
Säkerhet	283
Klinisk säkerhet	283
Elektromagnetisk kompatibilitet	284
Trådlös överföring	286
Trådlös USB-nyckel (Panda)	286
Trådlös säkerhetsmodul (Laird)	286
Märkningssymboler	298
Specifikationer	305
Transduktorer som stöds (SonoSite SII)	305
Standarder	306
Elektromekaniska säkerhetsstandarder	306
Akustisk uteffekt	307
ALARA-principen	307
Tillämpa ALARA-principen	307
Direkta reglage	308
Visning av uteffekt	308
Relaterade vägledande dokument	308
Mätning av akustisk uteffekt	309
Termer som används i tabellerna över akustisk uteffekt	367
Ordlista (SonoSite Edge II)	368

Inledning

Dokumentkonventioner

Dokumentet följer dessa skrivsätt:

- ▶ **VARNING** anger försiktighetsåtgärder som är nödvändiga för att förhindra personskador eller dödsfall.
- ▶ **Försiktighet** anger försiktighetsåtgärder som är nödvändiga för att skydda produkterna.
- ▶ **Obs** tillhandahåller kompletterande information.
- ▶ Nummerade och bokstavsmarkerade steg måste utföras i en viss ordning.
- ▶ Punktlister visar information i form av en lista, men punkterna anger inte en viss ordningsföljd.
- ▶ Enstegsprocedurer börjar med ❖.

För en beskrivning av märkningssymboler som visas på produkten, se "Märkningssymboler" i användarhandboken.

Få hjälp

För teknisk support, kontakta FUJIFILM SonoSite på följande sätt:

Telefon (USA eller Kanada)	+1-877-657-8118
Telefon (utanför USA och Kanada)	+1-425-951-1330 eller ring närmaste representant
Fax	+1-425-951-6700
E-post	ffss-service@fujifilm.com
Webbplats	www.sonosite.com
Europeiskt servicecenter	Växel: +31 20 751 2020 Support på engelska: +44 14 6234 1151 Support på franska: +33 182 880 702 Support på tyska: +49 698 088 4030 Support på italienska: +39 029 475 3655 Support på spanska: +34 91 123 8451
Servicecenter i Asien	+65 6380-5581

Tryckt i USA.

Få hjälp (SonoSite Edge II)

Följande har korrigerats i användarhandboken för SonoSite Edge II-systemet. Revideringarna införs vid nästa uppdatering.

E-post

ffss-service@fujifilm.com

Komma igång

Följande innehåll ingår antingen inte i användarhandboken för SonoSite Edge II- och SonoSite SII-systemen eller är felaktigt. Revideringarna införs vid nästa uppdatering.

Avsedda användningsområden

Bildåtergivning av prostata

Prostata och omgivande anatomiska strukturer kan bedömas med avseende på förekomst av eller avsaknad av patologiska tillstånd.

Bildåtergivning av ytliga strukturer

Du kan bedöma bröstet, thyreoidea, testiklarna, lymfkörtlar, bräck, muskuloskeletala strukturer, mjukvävnadsstrukturer, ryggrad, oftalmiska strukturer och omgivande anatomiska strukturer för att påvisa förekomst eller avsaknad av patologiska tillstånd. Systemet kan användas för att ge ultraljudsvägledning vid biopsi, inläggning av drän, inläggning av kärlkateter och perifer nervblockad.

Systeminställningar

Anslutningsinställningar (SonoSite SII)

Alla hänvisningar till PDAS som görs i användarhandboken för SonoSite SII-systemet ska ändras till SiteLink. Revideringarna införs vid nästa uppdatering.

Anslutningsinställning (SonoSite Edge II)

Följande hänvisning har korrigerats i användarhandboken för SonoSite Edge II-systemet. Revideringarna införs vid nästa uppdatering.

Aktivera trådlös anslutning

- ❖ Se *Inställning av nätverksanslutning*.

Nätverksstatusinställningar

Om inställningssidan Network Status (Nätverksstatus) visar ett meddelande om fel på trådlös enhet kan ditt nätverkslösenord vara för gammalt. Kontrollera att du har ett uppdaterat nätverkslösenord innan du ansluter din trådlösa enhet.

Bildåtergivning

C8x-transduktorn har nålguidekapacitet med både SonoSite Edge II- och SonoSite SII-systemet.

Bildåtergivningslägen och undersökningstyper tillgängliga per transduktor (SonoSite SII)

Följande fotnoter saknades till **tabell 4-5. Bildåtergivningslägen och undersökningstyper tillgängliga per transduktor** i användarhandboken för SonoSite SII-systemet. Revideringarna införs vid nästa uppdatering.

^aFörkortningar av undersökningstyper: Abd = buk, Art = arteriell, Bre = bröst, Crd = hjärta, Gyn = gynekologisk, Msk = muskuloskeletal, Neo = neonatal, Nrv = nerv, OB = obstetrisk, Oph = oftalmisk, Pro = prostata, SmP = mindre kroppsdelar, Spn = ryggrad, Sup = ytlig, Ven = venös.

^bOptimeringsinställningarna för 2D är Res, Gen och Pen.

^cOptimeringsinställningarna för CPD och Color är låg, medelhög och hög (flödeskänslighet) med en rad olika PRF-inställningar (pulsrepetitionsfrekvens) för Color beroende på den valda inställningen.

Mätningar och beräkningar (SonoSite SII)

Allmänna beräkningar

Volymberäkning


- VARNINGAR**
- ▶ Kontrollera att patientuppgifterna samt inställningarna av datum och klockslag är korrekta, så att felaktiga beräkningar undviks.
 - ▶ För att undvika feldiagnos och men för patienten ska ett nytt patientformulär upprättas innan en ny patientundersökning påbörjas och beräkningar utförs. När ett nytt patientformulär upprättas raderas data från den föregående patienten. Om formuläret inte först rensas blandas föregående patients data med data för den aktuella patienten.

För beräkning av volym ska tre avståndsmätningar utföras i 2D: D1, D2 och D3. Efter att alla mätningar har sparats visas resultatet på skärmen och i patientrapporten.

Volymberäkningen är tillgänglig för följande undersökningstyper: Buk, arteriell, bröst, gynekologisk, muskuloskeletal, nerv, smådelar, venös och ytlig.

Beräkna volym

Gör följande för varje bild som behöver mätas:

- 1 Peka på **Calcs** (Beräkningar) på en fryst 2D-bild.
- 2 Gör följande för varje mätning som behöver utföras:
 - a Välj mätbeteckning under **Volume** (Volym) i beräkningsmenyn.
Om **Volume** (Volym) inte finns tillgängligt i en gynekologisk undersökning väljer du **Gyn** (Gynekologisk) och sedan **Volume** (Volym).
 - b Använd styrplattan eller pekskärmen för att placera ut mätmarkörerna.
 - c Peka på **Save Calc** (Spara beräkning) för att spara beräkningen.
En bock visas bredvid varje sparad mätning.
- 3 Peka på  för att spara en bild av den slutförda beräkningen.
- 4 Peka på **Back** (Tillbaka) för att lämna beräkningen.

Referenser för mätning (SonoSite SII)

Följande information ingick inte i användarhandboken för SonoSite SII-systemet. Revideringarna införs vid nästa uppdatering.

Mätnoggrannhet

Tabell 1: Mät- och beräkningsnoggrannhet samt intervall i M Mode

Mätnoggrannhet och intervall i M Mode	Systemtolerans	Noggrannhet genom	Testmetod	Intervall
Avstånd	< +/- 2 % plus 1 % av full skala ^a	Insamling	Fantom ^b	0-26 cm
Tid	< +/- 2 % plus 1 % av full skala ^c	Insamling	Fantom ^d	0,01-10 s
Hjärtfrekvens	< +/- 2 % plus (full skala ^c * hjärtfrekvens/100) %	Insamling	Fantom ^d	5-923 slag/minut

^aFull skala för avstånd anger bildens maximala djup.

^bEn RMI 413a-fantom med 0,7 dB/cm MHz dämpning användes.

^cFull skala för tid anger den totala tid som visas på den rullande grafiska bilden.

^dFUJIFILM SonoSite specialtestutrustning användes.

Publikationer om mätning samt terminologi

Allmänna referenser

Höftvinkel/d:D-kvot

Morin, C., Harcke, H., MacEwen, G. "The Infant Hip: Real-Time US Assessment of Acetabular Development." *Radiology* 177: p.673-677, December 1985.

Procentuell ytreduktion

Zwiebel W. J., J. A. Zagzebski, A. B. Crummy, et al. "Correlation of peak Doppler frequency with lumen narrowing in carotid stenosis." *Stroke*, 3: (1982), p.386-391.

$$\% \text{ areareduktion} = [1 - A2(\text{cm}^2)/A1(\text{cm}^2)] * 100$$

där: A1 = ursprunglig kärlyta i kvadratcentimeter

A2 = reducerad kärlyta i kvadratcentimeter

Procentuell diameterreduktion

Handa, Nobuo et al., "Echo-Doppler Velocimeter in the Diagnosis of Hypertensive Patients: The Renal Artery Doppler Technique," *Ultrasound in Medicine and Biology*, 12:12 (1986), p.945-952.

$$\% \text{ diameterreduktion} = [1 - D2(\text{cm})/D1(\text{cm})] * 100$$

där: D1 = ursprunglig kärldiameter i centimeter

D2 = reducerad diameteryta i centimeter

Rengöring och desinficering

Följande webbplats korrigerades i användarhandboken för SonoSite Edge II och SonoSite SII. Revideringarna införs vid nästa uppdatering.

www.sonosite.com/products/transducers

Följande fotnot uppdaterades i tabellerna om rengöring och desinficering.

Se tillgängliga rengörings- och desinfektionsverktyg på www.sonosite.com/support/cleaners-disinfectants för en mer komplett lista med godkända rengörings- och desinfektionsmedel.

Säkerhet

Klinisk säkerhet

Följande varning har uppdaterats i användarhandboken för SonoSite Edge II och SonoSite SII. Revideringarna införs vid nästa uppdatering.

VARNING

FUJIFILM SonoSite rekommenderar inte att elektromedicinsk högfrequensutrustning (HF) används nära dessa system. Utrustningen från FUJIFILM SonoSite har inte validerats för användning med elektromedicinsk HF-utrustning eller vid elektrokirurgiska ingrepp. Om elektrokirurgisk HF-utrustning används i närheten av dessa system kan det leda till onormal funktion eller att systemet stängs ned.

För att undvika risk för brännskador får transduktorn inte användas tillsammans med kirurgisk HF-utrustning. En sådan risk kan uppstå om den kirurgiska HF-neutralelektrodens anslutning är defekt.

Elektromagnetisk kompatibilitet

Ultraljudssystemet har testats och befunnits uppfylla gränsvärdena för elektromagnetisk kompatibilitet (EMC) för medicinsk utrustning enligt IEC 60601-1-2:2007 och IEC 60601-1-2:2014. Ultraljudssystemet är lämpligt för användning i professionell vårdmiljö. Aktiv kirurgisk HF-utrustning orsakar kraftiga elektromagnetiska störningar som kan påverka ultraljudssystemets drift. Ultraljudssystemet ska inte användas inuti ett RF-avskärmat rum där magnetisk resonanstomografi pågår eftersom det ger kraftiga elektromagnetiska störningar som kan påverka ultraljudssystemets drift. Dessa gränsvärden är avsedda att ge rimligt skydd mot skadlig interferens i en vanlig medicinsk installation.

Försiktighetsåtgärder

- ▶ Medicinsk elektrisk utrustning kräver speciella försiktighetsåtgärder med avseende på EMC och måste installeras och användas i enlighet med dessa instruktioner. Bärbar RF-kommunikationsutrustning (inklusive kringutrustning såsom antennkablar och externa antenner) bör inte användas närmare än 30 cm från någon del av ultraljudssystemet, inklusive kablar som specificeras av FUJIFILM SonoSite. Bärbar och mobil RF-kommunikationsutrustning kan påverka ultraljudssystemet. Elektromagnetiska störningar (EMI) från annan utrustning eller störningskällor kan leda till störningar i ultraljudssystemet. Tecken på störningar kan utgöras av försämrad eller förvrängd bild, ojämna värden, att utrustningen slutar att fungera eller fungerar på annat felaktigt sätt. Om detta sker ska lokalen inspekteras för fastställande av källan till störningen och följande åtgärder vidtas för att eliminera källan/källorna.
 - ▶ Stäng av och sätt på utrustning som finns i närheten för att isolera den utrustning som orsakade störningen.
 - ▶ Flytta eller rikta om den störande utrustningen.
 - ▶ Öka avståndet mellan störande utrustning och ultraljudssystemet.
 - ▶ Se till att frekvenser som ligger nära ultraljudssystemets frekvenser inte används.
 - ▶ Flytta bort apparater som har hög känslighet för EMI.
 - ▶ Sänk effekten så mycket som möjligt hos interna källor som kan kontrolleras på arbetsplatsen (såsom personsökare).
 - ▶ Märk utrustning som är känslig för EMI.
 - ▶ Utbilda klinikens personal så att de känner igen möjliga EMI-relaterade problem.
 - ▶ Eliminera eller reducera EMI genom tekniska lösningar (såsom avskärmning).
 - ▶ Begränsa användningen av personlig kommunikationsutrustning (mobiltelefoner, datorer) i områden med utrustning som är känslig för EMI.
 - ▶ Meddela andra om relevant EMI-information, särskilt när nyinköpt utrustning som kan avge EMI utvärderas.
 - ▶ Köp medicinsk utrustning som uppfyller kraven i IEC 60601-1-2 EMC-standarder.
- ▶ Stapla inte annan utrustning på ultraljudssystemet eller använd annan utrustning i närheten av ultraljudssystemet. Om stapling eller användning av annan utrustning i närheten inte kan undvikas, ska systemet observeras för kontroll av att det fungerar normalt.

Obs

De karakteristiska emissionerna från ultraljudssystemen SonoSite Edge II och SII gör dem lämpliga för användning i industriella områden och sjukhus (CISPR 11 klass A). Om de används i bostadsmiljö (för vilket CISPR 11 klass B normalt krävs) kanske ultraljudssystemet inte erbjuder tillräckligt skydd mot RF-kommunikationstjänster. Det kan vara nödvändigt att vidta mildrande åtgärder såsom att omplacera eller rikta om utrustningen.

Trådlös överföring

Ultraljudssystemen SonoSite Edge II och SII inför två trådlösa lösningar.

- ▶ Trådlös USB-nyckel (Panda) är en liten trådlös adapter som sätts in i USB-porten:
 - ▶ På den högra sidan av ultraljudssystemet Edge II
 - ▶ Överst på baksidan av ultraljudssystemet SII
- ▶ Trådlös säkerhetsmodul (Laird) är en modul som placeras på:
 - ▶ Locket på ultraljudssystemet Edge II och ansluts sedan till systemet med en rätvinklad USB-sladd
 - ▶ Transduktorhållararmen på ultraljudssystemet SII och ansluts sedan till systemet med en 30 cm USB-sladd

Se informationen nedan för överföringsinformation för båda.

Trådlös USB-nyckel (Panda)

Den trådlösa USB-nyckeln använder industriella, vetenskapliga och medicinska (ISM) frekvensband från 2,412 till 2,4835 GHz, beroende på landets regler. Nyckeln stöder följande överföringsmetoder:

- ▶ IEEE 802.11b med bandspridning med direktsekvens (DSSS) vid 19 dBm: maxhastighet 54 Mbps, maxgenomströmning: 27 Mbps
- ▶ IEEE 802.11g med ortogonal frekvensdelningsmultiplex (OFDM) vid 16 dBm: maxhastighet 54 Mbps, maxgenomströmning: 27 Mbps
- ▶ IEEE 802.11n med ortogonal frekvensdelningsmultiplex (OFDM) vid 15 dBm:
 - ▶ 1T1R. Maxhastighet: 150 Mbps, maxgenomströmning: 90 Mbps
 - ▶ 1T2R. Maxhastighet: 300 Mbps, maxgenomströmning: Rx 160 Mbps
 - ▶ 2T2R. Maxhastighet: 300 Mbps, maxgenomströmning: Rx 260 Mbps

Trådlös säkerhetsmodul (Laird)

Den trådlösa säkerhetsmodulen använder industriella, vetenskapliga och medicinska (ISM) frekvensband från 1,400 till 2,4835 GHz och från 5,100 till 5,800 GHz. Modulen stöder fyra olika sändningsmetoder:

- ▶ IEEE 802.11a med ortogonal frekvensdelningsmultiplex (OFDM) vid 11 dBm \pm 2 dBm vid 54 Mbps
- ▶ IEEE 802.11b med bandspridning med direktsekvens (DSSS) vid 16 dBm \pm 2,0 dBm vid 11 Mbps

- ▶ IEEE 802.11g med ortogonal frekvensdelningsmultiplex (OFDM) vid 13 dBm ± 2,0 dBm vid 54 Mbps
- ▶ IEEE 802.11n med ortogonal frekvensdelningsmultiplex (OFDM) vid 12 dBm ± 2,0 dBm (802.11gn) vid MCS7

Kompatibla tillbehör och kringutrustningar (SonoSite Edge II)

FUJIFILM SonoSite har testat ultraljudssystemet SonoSite Edge II med följande tillbehör och kringutrustning och de har visat sig följa kraven i IEC 60601-1-2:2007 och IEC 60601-1-2:2014.

Du kan använda dessa FUJIFILM SonoSite-tillbehör och kringutrustningar från tredje part med ultraljudssystemet SonoSite Edge II.

VARNINGAR

- ▶ Om dessa tillbehör används med andra medicinska system än ultraljudssystemet Edge kan det leda till ökade emissioner eller minskad immunitet i ultraljudssystemet.
- ▶ Användning av andra tillbehör än de som anges kan leda till ökade emissioner eller minskad immunitet i ultraljudssystemet.
- ▶ Ultraljudssystemet ska inte användas i bostäder och platser som är direkt anslutna till det allmänna lågspänningselnätet.

Tabell 2: Tillbehör och kringutrustning som är kompatibla med ultraljudssystemet Edge II

Beskrivning	Maximal kabellängd
C8x-transduktor	1,8 m
C11x-transduktor	1,8 m
C35x-transduktor	1,7 m
rC60xi-transduktor standard/extra skydd	1,7 m
HFL38xi-transduktor standard/extra skydd	1,7 m
HFL50x-transduktor	1,7 m
HSL25x-transduktor	2,3 m
ICTx-transduktor	1,7 m
L25x-transduktor standard/extra skydd	2,3 m
L38xi-transduktor standard/extra skydd	1,7 m
L52x-transduktor ^a	2,4 m
P10x-transduktor	1,8 m

Tabell 2: Tillbehör och kringutrustning som är kompatibla med ultraljudssystemet Edge II

Beskrivning	Maximal kabellängd
rP19x-transduktor standard/extra skydd	1,8 m
TEExi-transduktor	2,2 m
Streckkodsläsare	1,5 m
Batteri för PowerPack	—
Batteripaket	—
Batteri PowerPack	—
Svartvit skrivare	—
Strömkabel till svartvit skrivare	1 m
Färgskrivare	—
Strömkabel till färgskrivare	1 m
Videokabel till färgskrivare	1,8 m
EKG-kablar	0,6 m
EKG-modul	1,8 m
EKG-slavkabel	2,4 m
Dockningsenhet SonoSite Edge II	—
SonoSite Edge II-stativ	—
Fotpedal	3 m
Liten mus	1,8 m
Strömkabel (systemet)	3 m
Strömförsörjning med likströmskabel	2 m
Strömförsörjning med växelströmskabel	1 m
PowerPark	—
Trippelkontakt för transduktor	—
Trådlös USB-adapter	—

För transduktorer mäts den maximala kabellängden mellan dragavlastningarna. Den angivna längden inkluderar inte kabel-längden på följande platser: under dragavlastningarna, innanför transduktorhöljet eller innanför transduktoranslutningen.

^aL52x-transduktorn är endast avsedd för veterinärt bruk.

Kompatibla tillbehör och kringutrustningar (SonoSite SII)

FUJIFILM SonoSite har testat ultraljudssystemet SonoSite SII med följande tillbehör och kringutrustning och de har visat sig följa kraven i IEC 60601-1-2:2007 och IEC 60601-1-2:2014.

Du kan använda dessa FUJIFILM SonoSite-tillbehör och kringutrustningar från tredje part med ultraljudssystemet SonoSite SII.

VARNINGAR

- ▶ Om dessa tillbehör används med andra medicinska system än ultraljudssystemet SonoSite SII kan det leda till ökade emissioner eller minskad immunitet i ultraljudssystemet.
- ▶ Användning av andra tillbehör än de som anges kan leda till ökade emissioner eller minskad immunitet i ultraljudssystemet.

Tabell 3: Tillbehör och kringutrustning som är kompatibla med SonoSite SII-ultraljudssystemet

Beskrivning	Maximal kabellängd
C8x-transduktor	1,8 m
C11x-transduktor	1,8 m
C35x-transduktor	1,7 m
rC60xi-transduktor standard/extra skydd	1,7 m
HFL38xi-transduktor standard/extra skydd	1,7 m
HFL50x-transduktor	1,7 m
HSL25x-transduktor	2,3 m
ICTx-transduktor	1,7 m
L25x-transduktor standard/extra skydd	2,3 m
L38xi-transduktor standard/extra skydd	1,7 m
L52x-transduktor	2,4 m
P10x-transduktor	1,8 m
rP19x-transduktor standard/extra skydd	1,8 m
Streckkodsläsare	1,5 m
Batteri för PowerPack	—

Tabell 3: Tillbehör och kringutrustning som är kompatibla med SonoSite SII-ultraljudssystemet (forts.)

Beskrivning	Maximal kabellängd
Batteripaket	—
Batteri PowerPack	—
Svartvit skrivare	—
Strömkabel till svartvit skrivare	1 m
Skrivarkabel till svartvit skrivare	1,8 m
Videokabel till svartvit skrivare	1,9 m
Fotpedal	3 m
USB-förlängningskabel för fotpedal	2 m
SonoSite SII-stativ	—
Strömkabel (systemet)	3 m
Strömförsörjning med likströmskabel	2 m
Strömförsörjning med växelströmskabel	1 m
PowerPark	—
Trådlös USB-adapter	—
USB-minne	—

För transduktorer mäts den maximala kabellängden mellan dragavlastningarna. Den angivna längden inkluderar inte kabellängden på följande platser: under dragavlastningarna, innanför transduktorhöljet eller innanför transduktoranslutningen.

Tillverkarens deklARATION

I tabellerna i detta avsnitt anges avsedd miljö för användning av systemet samt systemets EMC-överensstämmelse. För maximal prestanda ska det tillses att systemet används under de förhållanden som beskrivs i denna tabell.

Systemet är avsett att användas i den elektromagnetiska miljö som specificeras nedan.

Tabell 4: Tillverkarens deklARATIONER – elektromagnetiska emissioner enligt IEC 60601-1-2:2007 och IEC 60601-1-2:2014


Emissionstest	Kravöverensstämmelse	Elektromagnetisk miljö
RF-emissioner CISPR 11	Grupp 1	Ultraljudssystemen Edge II och SII använder endast RF-energi för sina interna funktioner. Deras RF-emissioner är därför låga och det är inte sannolikt att den orsakar störningar i närbelägen elektronisk utrustning.
RF-emissioner CISPR 11	Klass A	Ultraljudssystemen Edge II och SII lämpar sig för användning på alla platser utom i bostäder och platser som är direkt anslutna till det allmänna lågspänningsselnätet som försörjer byggnader som används för bostäder.
Övertoner IEC 61000-3-2	Klass A	
Spänningsfluktuationer/ flimmer IEC 61000-3-3	Uppfyller kraven	

Systemet är avsett att användas i den elektromagnetiska miljö som specificeras nedan.

Tabell 5: Tillverkarens deklarerationer – elektromagnetisk immunitet enligt IEC 60601-1-2:2007

Immunitetstest	IEC 60601 testnivå	Nivå av kravöverensstämmelse	Elektromagnetisk miljö
Elektrostatisk urladdning (ESD) IEC 61000-4-2	±2,0 kV, ±4,0 kV, ±6,0 kV kontakt ±2,0 kV, ±4,0 kV, ±8,0 kV luft	±2,0 kV, ±4,0 kV, ±6,0 kV kontakt ±2,0 kV, ±4,0 kV, ±8,0 kV luft	Golven bör vara av trä, betong eller keramiska plattor. Om golven är täckta med syntetmaterial bör den relativa fuktigheten vara minst 30 %.
Elektriska snabba transienter och pulsskurar IEC 61000-4-4	±2 kV på nätet ±1 kV på signalledningar	±2 kV på nätet ±1 kV på signalledningar	Elnätets spänningskvalitet bör vara samma som i vanlig kommersiell miljö eller sjukhusmiljö.
Stötpulser IEC 61000-4-5	±1 kV ledning till ledning ±2 kV ledning till jord	±1 kV ledning till ledning ±2 kV ledning till jord	Elnätets spänningskvalitet bör vara samma som i vanlig kommersiell miljö eller sjukhusmiljö.
Spänningsfall, korta spänningsavbrott och spänningsvariationer i ingående elledningar IEC 61000-4-11	<5 % U_T (>95 % fall i U_T) i 0,5 cykler 40 % U_T (60 % fall i U_T) i 5 cykler 70 % U_T (30 % fall i U_T) i 25 cykler <5 % U_T (>95 % fall i U_T) i 5 s	<5 % U_T (>95 % fall i U_T) i 0,5 cykler 40 % U_T (60 % fall i U_T) i 5 cykler 70 % U_T (30 % fall i U_T) i 25 cykler <5 % U_T (>95 % fall i U_T) i 5 s	Elnätets spänningskvalitet bör vara samma som i vanlig kommersiell miljö eller sjukhusmiljö. Om användaren av FUJIFILM SonoSite ultraljudssystem behöver en kontinuerlig drift under strömavbrott rekommenderas att FUJIFILM SonoSite ultraljudssystem drivs av en avbrottsfri strömförsörjningsenhet (UPS) eller batteri.
Magnetfält genererade av nätfrekvensen IEC 61000-4-8	3 A/m	3 A/m	Om bilden förvrängs kan det vara nödvändigt att placera FUJIFILM SonoSite ultraljudssystem längre bort från källorna till magnetfält genererade av nätfrekvensen eller installera avskärmning mot magnetiska fält. De magnetfält som genereras vid nätfrekvensen bör mätas i lokalen för den tänkta installationen för att säkerställa att de är tillräckligt låga.

Tabell 5: Tillverkarens deklARATIONER – elektromagnetisk immunitet enligt IEC 60601-1-2:2007

Immunitetstest	IEC 60601 testnivå	Nivå av kravöverensstämmelse	Elektromagnetisk miljö
RF-energi i ledning IEC 61000-4-6	3 Vrms 150 kHz till 80 MHz	3 Vrms	Bärbar och mobil radiokommunikationsutrustning bör inte användas på närmare avstånd från någon del av FUJIFILM SonoSite ultraljudssystem, inklusive kablar, än det rekommenderade separationsavstånd som beräknats med ekvationen som gäller för sändarens frekvens. Rekommenderat separationsavstånd $d = 1,2 \sqrt{P}$
Utstrålad RF IEC 61000-4-3	3 V/m 80 MHz till 2,5 GHz	3 V/m 80 MHz till 2,5 GHz	$d = 1,2 \sqrt{P}$ 80 MHz till 800 MHz $d = 2,3 \sqrt{P}$ 800 MHz till 2,5 GHz Där P är sändarens maximala uteffekt i watt (10) enligt tillverkaren av sändaren och d är det rekommenderade separationsavståndet i meter (m). Fältstyrkor från fasta radiofrekvenssändare som hittas vid en elektromagnetisk besiktning av lokalen ^a bör vara mindre än överensstämmelsenivån inom varje frekvensintervall ^b . Störning kan uppstå i närheten av utrustning som är märkt med följande symbol:  (IEC 60417 nr 417-IEC-5140: "Icke-joniserande strålningskälla")
Obs	<p>U_T är nätanslutningens spänning innan testnivån läggs på. Vid 80 MHz och 800 MHz gäller det högre frekvensintervallet. Dessa riktlinjer gäller eventuellt inte i alla situationer. Utbredningen av elektromagnetisk strålning påverkas av absorption och reflektion från byggnader, föremål och människor.</p>		

Tabell 5: Tillverkarens deklARATIONER – elektromagnetisk immunitet enligt IEC 60601-1-2:2007

Immunitetstest	IEC 60601 testnivå	Nivå av kravöverensstämmelse	Elektromagnetisk miljö
<p>a. Fältstyrkor från fasta sändare såsom basstationer för (mobila/trådlösa) radiotelefoner och bärbar radioutrustning för användning på land, amatörradioutrustning, AM- och FM-radioutsändningar och TV-sändningar kan inte förutsägas teoretiskt med noggrannhet. För att kunna bedöma den elektromagnetiska miljön som skapas av fasta radiosändare bör en elektromagnetisk besiktning av lokalen övervägas. Om den uppmätta fältstyrkan i lokalen där FUJIFILM SonoSite-ultraljudssystemet används överskrider de tillämpliga radiofrekvensnivåerna enligt ovan bör personal observera FUJIFILM SonoSite-ultraljudssystemet för att fastställa om det fungerar normalt. Om onormal funktion observeras kan ytterligare åtgärder krävas, såsom att rikta om eller flytta FUJIFILM SonoSite-ultraljudssystemet.</p> <p>b. I frekvensintervallet 150 kHz till 80 MHz bör fältstyrkorna vara lägre än 3 V/m.</p>			


Tabell 6: Tillverkarens deklARATIONER – elektromagnetisk immunitet enligt IEC 60601-1-2:2014

Immunitetstest	IEC 60601 testnivå	Nivå av kravöverensstämmelse	Elektromagnetisk miljö
Elektrostatisk urladdning (ESD) IEC 61000-4-2	±8,0 kV kontakt ±2,0 kV, ±4,0 kV, ±8,0 kV luft, ±15 kV	±8,0 kV, ±4,0 kV, ±8,0 kV luft, ±15 kV	Golven bör vara av trä, betong eller keramiska plattor. Om golven är täckta med syntetmaterial bör den relativa fuktigheten vara minst 30 %.
Elektriska snabba transienter och pulsskuror IEC 61000-4-4	±2 kV på nätet ±1 kV på signalledningar	±2 kV på nätet ±1 kV på signalledningar	Elnätets spänningskvalitet bör vara samma som i vanlig kommersiell miljö eller sjukhusmiljö.
Stötpulser IEC 61000-4-5	±1 kV ledning till ledning ±2 kV ledning till jord	±1 kV ledning till ledning ±2 kV ledning till jord	Elnätets spänningskvalitet bör vara samma som i vanlig kommersiell miljö eller sjukhusmiljö.

Tabell 6: Tillverkarens deklARATIONER – elektromagnetisk immunitet enligt IEC 60601-1-2:2014

Immunitetstest	IEC 60601 testnivå	Nivå av kravöverensstämmelse	Elektromagnetisk miljö
Spänningsfall, korta spänningsavbrott och spänningsvariationer i ingående elledningar IEC 61000-4-11	0 % fall i U_T i 0,5 cykler 0 % fall i U_T i 5 cykler 70 % U_T (30 % fall i U_T) i 500 ms <5 % U_T (>95 % fall i U_T) i 5 s	0 % fall i U_T i 0,5 cykler 0 % fall i U_T i 5 cykler 70 % U_T (30 % fall i U_T) i 500 ms <5 % U_T (>95 % fall i U_T) i 5 s	Elnätets spänningskvalitet bör vara samma som i vanlig kommersiell miljö eller sjukhusmiljö. Om användaren av FUJIFILM SonoSite ultraljudssystem behöver en kontinuerlig drift under strömavbrott rekommenderas att FUJIFILM SonoSite ultraljudssystem drivs av en avbrottsfri strömförsörjningsenhet (UPS) eller batteri.
Magnetfält genererade av nätfrekvensen IEC 61000-4-8	30 A/m	30 A/m	Om bilden förvrängs kan det vara nödvändigt att placera FUJIFILM SonoSite ultraljudssystem längre bort från källorna till magnetfält genererade av nätfrekvensen eller installera avskärmning mot magnetiska fält. De magnetfält som genereras vid nätfrekvensen bör mätas i lokalen för den tänkta installationen för att säkerställa att de är tillräckligt låga.
RF-energi i ledning IEC 61000-4-6	3 Vrms 150 kHz till 80 MHz 6 Vrms i ISM-band	3 Vrms 6 Vrms i ISM-band	Bärbar och mobil radiokommunikationsutrustning bör inte användas på närmare avstånd från någon del av FUJIFILM SonoSite ultraljudssystem, inklusive kablar, än det rekommenderade separationsavstånd som beräknats med ekvationen som gäller för sändarens frekvens. Rekommenderat separationsavstånd $d = 1,2 \sqrt{P}$

Tabell 6: Tillverkarens deklarerationer – elektromagnetisk immunitet enligt IEC 60601-1-2:2014

Immunitetstest	IEC 60601 testnivå	Nivå av kravöverensstämmelse	Elektromagnetisk miljö
Utstrålad RF IEC 61000-4-3	3 V/m 80 MHz till 2,7 GHz	3 V/m 80 MHz till 2,7 GHz	<p>$d = 1,2 \sqrt{P}$ 80 MHz till 800 MHz $d = 2,3 \sqrt{P}$ 800 MHz till 2,5 GHz Där P är sändarens maximala uteffekt i watt (10) enligt tillverkaren av sändaren och d är det rekommenderade separationsavståndet i meter (m).</p> <p>Fältstyrkor från fasta radiofrekvenssändare som hittas vid en elektromagnetisk besiktning av lokalen^a bör vara mindre än överensstämmelsenivån inom varje frekvensintervall^b. Störning kan uppstå i närheten av utrustning som är märkt med följande symbol:</p>  <p>(IEC 60417 nr 417-IEC-5140: "Icke-joniserande strålningskälla")</p>
Fält i närheten av trådlös kommunikationsutrustning	Enligt 60601-1-2:2014 tabell 9	Enligt 60601-1-2:2014 tabell 9	
Obs	<p>U_T är nätanslutningens spänning innan testnivån läggs på. Vid 80 MHz och 800 MHz gäller det högre frekvensintervallet. Dessa riktlinjer gäller eventuellt inte i alla situationer. Utbredningen av elektromagnetisk strålning påverkas av absorption och reflektion från byggnader, föremål och människor.</p>		

Tabell 6: Tillverkarens deklARATIONER – elektromagnetisk immunitet enligt IEC 60601-1-2:2014

Immunitetstest	IEC 60601 testnivå	Nivå av kravöverensstämmelse	Elektromagnetisk miljö
----------------	--------------------	------------------------------	------------------------

a. Fältstyrkor från fasta sändare såsom basstationer för (mobila/trådlösa) radiotelefoner och bärbar radioutrustning för användning på land, amatörradioutrustning, AM- och FM-radioutsändningar och TV-sändningar kan inte förutsägas teoretiskt med noggrannhet. För att kunna bedöma den elektromagnetiska miljön som skapas av fasta radiosändare bör en elektromagnetisk besiktning av lokalen övervägas. Om den uppmätta fältstyrkan i lokalen där FUJIFILM SonoSite-ultraljudssystemet används överskrider de tillämpliga radiofrekvensnivåerna enligt ovan bör personal observera FUJIFILM SonoSite-ultraljudssystemet för att fastställa om det fungerar normalt. Om onormal funktion observeras kan ytterligare åtgärder krävas, såsom att rikta om eller flytta FUJIFILM SonoSite-ultraljudssystemet.

b. I frekvensintervallet 150 kHz till 80 MHz bör fältstyrkorna vara lägre än 3 V/m.

FCC-varning: Denna utrustning har testats och befunnits uppfylla gränsvärdena för en digital anordning av klass A enligt del 15 i FCC-reglerna. Dessa gränsvärden är avsedda att ge ett rimligt skydd mot skadlig störning vid användning av utrustningen i en kommersiell miljö. Utrustningen alstrar, använder och kan sända energi via radiofrekvenser och kan, om den inte installeras och används enligt bruksanvisningen, orsaka skadlig störning av radiokommunikationer. Användning av denna utrustning i ett bostadsområde orsakar sannolikt skadlig störning och i så fall måste användaren åtgärda störningen på egen bekostnad.

Kompatibla tillbehör och kringutrustning




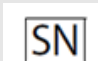
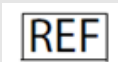
Följande varning infogades i användarhandboken för SonoSite Edge II och SonoSite SII. Revideringarna införs vid nästa uppdatering.

VARNING




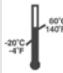


Se till att kringutrustning är ansluten till samma växelströmskrets om kringutrustning är ansluten till systemet.

Märkningssymboler







Tabell 7: Standardmärkningssymboler

Symbol	Rubrik	Standardiserings-organisation	Referens-nummer	Beskrivning
	Tillverkare	ISO 15223-1:2016 Medicintekniska produkter – Symboler att användas vid märkning av produkt och information till användare – Del 1: Allmänna krav	5.1.1	Anger tillverkaren av den medicintekniska produkten enligt EU-direktiv 90/385/EEG, 93/42/EEG och 98/79/EG
	Icke-joniserande elektromagnetisk strålning	IEC 60601-1-2:2007 Elektrisk utrustning för medicinskt bruk – Del 1-2: Allmänna fordringar beträffande säkerhet och väsentliga prestanda – Tilläggsstandard för elektromagnetisk kompatibilitet	5.1.1	Indikerar allmänt förhöjda, potentiellt skadliga nivåer av icke-joniserande strålning, eller för att indikera utrustning eller system inom det elektromedicinska området som inkluderar RF- sändare eller som avsiktligen tillämpar RF- elektromagnetisk energi för diagnos och behandling.
	Auktoriserad representant inom Europeiska Unionen	ISO 15223-1 Medicintekniska produkter – Symboler att användas vid märkning av produkt och information till användare.	5.1.2	Anger auktoriserad representant i EU
	Serienummer	ISO 15223-1:2016 Medicintekniska produkter – Symboler att användas vid märkning av produkt och information till användare – Del 1: Allmänna krav	5.1.7	Anger tillverkarens serienummer så att en specific medicinteknisk produkt kan identifieras
	Katalognummer	ISO 15223-1:2016 Medicintekniska produkter – Symboler att användas vid märkning av produkt och information till användare – Del 1: Allmänna krav	5.1.6	Anger tillverkarens katalognummer så att den medicintekniska produkten kan identifieras

Tabell 7: Standardmärkningssymboler (forts.)

Symbol	Rubrik	Standardiserings-organisation	Referens-nummer	Beskrivning
	Försiktighet	ISO 15223-1:2016 Medicintekniska produkter – Symboler att användas vid märkning av produkt och information till användare – Del 1: Allmänna krav	5.4.4	Indikerar att användaren måste läsa bruksanvisningen för viktig information om varningar och försiktighetsåtgärder, som av olika anledningar inte kan anger på den medicintekniska produkten.
	Ömtålig, hanteras varsamt	ISO 15223-1:2016 Medicintekniska produkter – Symboler att användas vid märkning av produkt och information till användare – Del 1: Allmänna krav	5.3.1	Anger att en medicinteknisk produkt kan gå sönder eller skadas om den inte hanteras varsamt
	Håll torr	ISO 15223-1:2016 Medicintekniska produkter – Symboler att användas vid märkning av produkt och information till användare – Del 1: Allmänna krav	5.3.4	Indikerar en medicintekniska produkt som måste skyddas mot fukt
	Temperaturgräns	ISO 15223-1:2016 Medicintekniska produkter – Symboler att användas vid märkning av produkt och information till användare – Del 1: Allmänna krav	5.3.7	Anger de temperaturgränser inom vilka den medicintekniska produkten säkert kan exponeras
	Begränsningar för atmosfärtryck	ISO 15223-1:2016 Medicintekniska produkter – Symboler att användas vid märkning av produkt och information till användare – Del 1: Allmänna krav	5.3.9	Anger det intervall för atmosfäriskt tryck som den medicintekniska produkten kan utsättas för utan risk
	Begränsning av luftfuktighet	ISO 15223-1:2016 Medicintekniska produkter – Symboler att användas vid märkning av produkt och information till användare – Del 1: Allmänna krav	5.3.8	Anger det fuktighetsområde inom vilket den medicintekniska produkten säkert kan exponeras






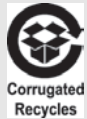

Tabell 7: Standardmärkningsymboler (forts.)

Symbol	Rubrik	Standardiserings-organisation	Referensnummer	Beskrivning
IPX7	Graden av inträngnings - skydd som höljet ger	IEC 60601-1 Elektrisk utrustning för medicinskt bruk – Del 1: Allmänna fordringar beträffande säkerhet och väsentliga prestanda	D.3	Skadas inte av kortvarig nedsänkning i vätska
	Se bruksanvisning/ manual	IEC 60601-1 Elektrisk utrustning för medicinskt bruk – Del 1: Allmänna fordringar beträffande säkerhet och väsentliga prestanda	D.2-10	Följ bruksanvisningen (används i enlighet med IEC 60601-1)
	Se bruksanvisningen.	ISO 15223-1:2016 Medicintekniska produkter – Symboler att användas vid märkning av produkt och information till användare – Del 1: Allmänna krav	5.4.3	Anger att användaren måste läsa bruksanvisningen
	Växelström	ISO 7000/IEC 60417 Grafiska symboler för användning på utrustning	5032	Anger på märkplåten att utrustningen endast är lämplig att användas med växelström, så att lämpliga anslutningar kan identifieras.
	CE-märkning	Rådets direktiv 93/42/EEG	Artikel 17, bilaga XII	Anger europeisk teknisk överensstämmelse
	Conformité Européene Anmält organ referensnr: 2797	Rådets direktiv 93/42/EEG	Artikel 17, bilaga XII	Indikerar europeisk teknisk konformitet och identifierar anmält organ ansvarigt för implementationen av de procedurer som beskrivs i bilagorna II, IV, V, och VI.
	Farlig spänning	ISO 7000/IEC 60417 Grafiska symboler för användning på utrustning	5036	Indikerar risker orsakade av farlig spänning




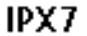




Tabell 7: Standardmärkningsymboler (forts.)

Symbol	Rubrik	Standardiserings-organisation	Referens-nummer	Beskrivning
	Staplingsbe- gränsning med antal	ISO 7000/IEC 60417 Grafiska symboler för användning på utrustning	2403	Anger att föremålen inte får staplas på höjden högre än det specificerade antalet föremål
	Varning het	ISO 7000/IEC 60417 Grafiska symboler för användning på utrustning	5041	Indikerar att det märkta föremålet kan vara mycket varmt och inte ska vidröras utan försiktighetsåtgärder
	Varning, risk för statiskt magnetfält	ISO 7000/IEC 60417 Grafiska symboler för användning på utrustning	6204	Identifierar områden på en installation med potentiellt farliga statiska magnetfält och krafter
	Patientanvända delar av typ BF	IEC 60601-1 Elektrisk utrustning för medicinskt bruk – Del 1: Allmänna fordringar beträffande säkerhet och väsentliga prestanda	D.2-10	Identifierar patientanvända delar av typ BF som uppfyller IEC 60601-1
	Defibrilleringssä- ker patientan- vänd del av typ CF	IEC 60601-1 Elektrisk utrustning för medicinskt bruk – Del 1: Allmänna fordringar beträffande säkerhet och väsentliga prestanda	D.1-27	Identifierar defibrilleringssäker applicerad del av typ CF som uppfyller IEC 60601-1
	Enheter som är känsliga för statisk elektricitet	IEC 60417:2002 Grafiska symboler som används på utrustning	5134	Indikerar förpackningar som innehåller enheter som är känsliga för statisk elektricitet, eller identifierar en enhet eller anslutning som inte har testats för immunitet mot elektrostatiska urladdningar
	Märkning som anger regulatorisk uppfyllelse (RCM)	AS/NZS3820	—	Anger C-Tick-regulatorisk uppfyllelse för Australien och Nya Zeeland Produkten uppfyller gällande bestämmelser för elektroniska produkter i Australien och Nya Zeeland.






Tabell 7: Standardmärkningsymboler (forts.)

Symbol	Rubrik	Standardiserings-organisation	Referens-nummer	Beskrivning
	Kontrollnummer av typen satskod, datumkod eller partikod	ISO 15223-1 Medicintekniska produkter – Symboler att användas vid märkning av produkt och information till användare – Del 1: Allmänna krav	5.1.5	Anges tillverkarens satskod så att satsen eller loten kan identifieras
	Biologisk risk	ISO 7010 – Grafiska symboler – Varselfärger och varselskyltar	W009	För att varna för biologisk risk
	INMETRO säkerhets-symboler	—	—	Indikerar certifieringsorganisation i Brasilien ackrediterad av Nationella institutet för meteorologisk standardisering och industriell kvalitet (INMETRO)
	Certifieringsmärke för Canadian Standards Association	—	—	CSA-certifieringsmärke betyder att produkten uppfyller tillämpliga krav från CSA och ANSI/UL och att den är godkänd för användning i Kanada och USA.
	Återvinning: Elektronisk utrustning	BS EN 50419:2016 Märkning av elektrisk och elektronisk utrustning i enlighet med direktiv 2012/19/EU (WEEE).	Bilaga IX	Får inte kasseras som avfall
	Returkartong	—	—	Transportförpackningen är tillverkad av wellpapp och ska återvinnas korrekt
	Tillverkningsdatum	ISO 7000 – Grafiska symboler för användning på utrustning	5.1.3	Anger det datum då en produkt tillverkades






Tabell 7: Standardmärkningsymboler (forts.)

Symbol	Rubrik	Standardiserings-organisation	Referens-nummer	Beskrivning
	Likström (DC)	—	—	—
	21 Part 15	Federal Communications Commission (FCC) Försäkran om överensstämmelse	Federal Communications Commission	FCC-testad enligt kraven från Federal Communications Commission. Produkten uppfyller gällande FCC-bestämmelser för elektroniska produkter
GEL	Gel	—	—	—
	RESY – Återvinnings-symbol	—	—	Returpapper
	Graden av inträngnings-skydd som höljet ger	IEC 60601-1 Elektrisk utrustning för medicinskt bruk – Del 1: Allmänna fordringar beträffande säkerhet och väsentliga prestanda	D.3	Skyddad mot effekterna vid tillfällig nedsänkning i vatten. Nedsänkning. Skyddad mot effekterna vid tillfällig nedsänkning.
	Graden av inträngnings-skydd som höljet ger	IEC 60601-1 Elektrisk utrustning för medicinskt bruk – Del 1: Allmänna fordringar beträffande säkerhet och väsentliga prestanda	D.3	Skyddad mot effekterna vid tillfällig nedsänkning i vatten. Vattentät utrustning. Skyddad mot effekterna vid långvarig nedsänkning
	—	—	—	Anger ömtålig, hanteras varsamt
	—	—	—	Anger att tillverkarens anvisningar avseende desinfektionstid ska följas
	—	—	—	Indikerar att transduktorn ska desinfekteras

Tabell 7: Standardmärkningsymboler (forts.)

Symbol	Rubrik	Standardiseringsorganisation	Referensnummer	Beskrivning
	Maximal belastning	IEC 60601-1 Elektrisk utrustning för medicinskt bruk – Del 1: Allmänna fordringar beträffande säkerhet och väsentliga prestanda	7.2.21	Anger utrustningens totala vikt, inklusive säker arbetsbelastning
	Certifieringsmärke för Underwriters Laboratories	—	—	Certifieringsmärkning endast för elektriska stötar, brand och mekaniska risker
	UL-produktcertifiering.	—	—	Produkten eller företaget har lyckats uppfylla stränga standarder för produktsäkerhet
	Kinas föroreningskontroll (10)	ISO 7000:2014 Grafiska symboler som används på utrustning	1135	Logotyp för föroreningskontroll. (Gäller alla delar/produkter listade i Kinas RoHS-informationstabell. Kanske inte visas på utsidan av vissa delar/produkter på grund av begränsat utrymme.)
	China Compulsory Certificate mark ("CCC-märke"). Obligatoriskt säkerhetsmärke för överensstämmelse med Kinas nationella standarder för många produkter som säljs i Folkrepubliken Kina	—	—	—

Tabell 7: Standardmärkningssymboler (forts.)

Symbol	Rubrik	Standardiserings-organisation	Referens-nummer	Beskrivning
	Steriliserad med etenoxid	ISO 15223-1 Medicintekniska produkter – Symboler att användas vid märkning av produkt och information till användare – Del 1: Allmänna krav	5.2.3	Anger en medicinsk enhet som steriliserats med etenoxid
	Steriliserad med strålning	ISO 15223-1 Medicintekniska produkter – Symboler att användas vid märkning av produkt och information till användare – Del 1: Allmänna krav	5.2.4	Anger en medicinsk produkt som steriliserats med etenoxid
	(Endast SII) Katalognummer	ISO 15223-1:2016 Medicintekniska produkter – Symboler att användas vid märkning av produkt och information till användare – Del 1: Allmänna krav	5.1.6	Anger tillverkarens katalognummer så att den medicintekniska produkten kan identifieras.
	(Endast SII) Farlig spänning	ISO 7000/IEC 60417 Grafiska symboler för användning på utrustning	5036	Indikerar risker orsakade av farlig spänning
	(Endast SII) Endast för användning inomhus	ISO 7000/IEC 60417 Grafiska symboler för användning på utrustning	5957	Identifierar elektrisk utrustning primärt avsedd för användning inomhus

Specifikationer

Transduktorer som stöds (SonoSite SII)

Följande redundanta avsnitt togs bort från användarhandboken för SonoSite SII. Samma information finns i tabell 9-2 i användarhandboken. Revideringarna införs med nästa uppdatering.

Tabell 8: Transduktorer som stöds

Beskrivning	Maximal kabellängd
C11x-transduktor	1,8 m
rC60xi-transduktor standard/extra skydd	1,7 m
HFL38xi-transduktor standard/extra skydd	1,7 m
HFL50x-transduktor	1,7 m
HSL25x-transduktor	2,4 m
ICTx-transduktor	1,7 m
L25x-transduktor	2,3 m
L38xi-transduktor standard/extra skydd	1,7 m
L52x-transduktor	2,4 m
P10x-transduktor	1,8 m
rP19x-transduktor standard/extra skydd	1,8 m

För transduktorer mäts den maximala kabellängden mellan dragavlastningarna. Den angivna längden inkluderar inte kabellängden på följande platser: under dragavlastningarna, innanför transduktorhöljet eller innanför transduktoranslutningen.

Standarder

Elektromekaniska säkerhetsstandarder

Tabell 9: Elektromekaniska säkerhetsstandarder

Standard	Beskrivning
ANSI/AAMI ES60601-1:2005/(R) 2012 och A1:2012	Elektrisk utrustning för medicinskt bruk – Del 1: Allmänna fordringar beträffande säkerhet och väsentliga prestanda (konsoliderad utgåva 3.1)
CAN/CSA C22.2 nr 60601-1:2014 (utgåva 3.1)	Medicinsk elektrisk utrustning – Del 1: Allmänna fordringar beträffande säkerhet och väsentliga prestanda
IEC 60601-1:2012 (utgåva 3.1)	Medicinsk elektrisk utrustning – Del 1: Allmänna fordringar beträffande säkerhet och väsentliga prestanda

Tabell 9: Elektromekaniska säkerhetsstandarder

Standard	Beskrivning
IEC 60601-2-37:2015	Medicinsk elektrisk utrustning – Del 2-37: Särskilda fordringar på ultraljudsutrustning för diagnos och övervakning
IEC 60601-1-6:2013	Elektrisk utrustning för medicinskt bruk – Del 1-6: Allmänna krav för grundläggande säkerhet och viktiga prestandakrav – kollateral standard: Användarvänlighet
JIS T0601-1:2012 (3:e utgåvan)	Japansk industristandard, Elektrisk utrustning för medicinskt bruk – Del 1: Allmänna fordringar beträffande säkerhet och väsentliga prestanda

Akustisk uteffekt

ALARA-principen

Tillämpa ALARA-principen

Systemets bildåtergivningsläge, vilket väljs av den kompetenta ultraljudsanvändaren, bestäms av vilken diagnostisk information som krävs. Bildåtergivning i 2D ger anatomisk information, bildåtergivning med CPD ger information om dopplersignalens amplitud eller energi över tiden på en viss anatomisk lokal och används för att påvisa närvaro av blodflöde. Bildåtergivning med Color ger information om dopplersignalens energi eller amplitud över tiden på en viss anatomisk lokal och används för att påvisa närvaro av blodflöde samt dess hastighet och riktning. Vävnadsharmonisk bildåtergivning (THI, Tissue Harmonic Imaging) använder högre mottagningsfrekvenser för att minska störningar och artefakter samt förbättra upplösningen i 2D-bilden. Förståelse av karaktären hos det bildåtergivningsläge som används gör det möjligt för kompetenta ultraljudsanvändare att tillämpa ALARA-principen.

Omdömesgill användning av ultraljud kräver att patientexponeringen för ultraljud begränsas till lägsta ultraljudsuteffekt under kortast möjliga tid som krävs för acceptabla diagnostiska resultat. Beslut som stöder sådan omdömesgill användning baseras på patienttyp, undersökningstyp, patienthistorik, hur enkelt eller svårt det är att få fram diagnostiskt användbar information, samt potentiellt lokaliserad uppvärmning av patienten på grund av transduktorns yttemperatur.

Systemet har designats för att säkerställa att temperaturen vid transduktorns kontaktyta inte ska överskrida gränserna som fastställts i IEC 60601-2-37: Särskilda krav på säkerhet hos medicinsk ultraljudsutrustning för diagnostik och övervakning. Se **“Ökning av transduktorns yttemperatur”** på sidan 10-9. I händelse av apparatfel finns redundanta kontroller som begränsar transduktoreffekten. Detta uppnås genom en elkfiguration som begränsar både nätströmstyrkan och spänningen till transduktorn.

Ultraljudsundersökaren använder systemreglagen för att justera bildkvaliteten och begränsa ultraljudets uteffekt. Systemreglagen är indelade i tre kategorier i förhållande till den utgående energin: reglage som direkt påverkar energin, reglage som indirekt påverkar den och mottagarreglage.

Direkta reglage

Systemet överskrider inte ett ISPTA-värde (spatial peak temporal average intensity) på 720 mW/cm² för något bildåtergivningsläge. (För antingen oftamisk undersökning eller orbitaundersökning begränsas den akustiska effekten till följande värden: ISPTA överskrider inte 50 mW/cm². TI överskrider inte 1,0 och MI överskrider inte 0,23.) Det mekaniska indexet (MI) och värmeindexet (TI) kan på vissa transduktorer och i vissa bildåtergivningslägen överstiga värden på 1,0. MI- och TI-värdena kan övervakas och reglagen justeras så att dessa värden reduceras. Se **”Riktlinjer för reduktion av MI och TI”** på sidan 10–3. Ett ytterligare sätt att uppfylla ALARA-principen är att ställa in MI- eller TI-värdena på låga indexvärden och därefter ändra denna nivå tills en tillfredsställande bild eller dopplerregistrering erhålls. Mer information om MI och TI finns i Medicinsk ultraljudssäkerhet, AIUM (en kopia medföljer varje system) och IEC 60601-2-37 bilaga ”Riktlinjer för tolkning av TI och MI som ska användas för att informera användaren”.

Visning av uteffekt

Relaterade vägledande dokument

Information för tillverkare som söker marknadsgodkännande för diagnostiska ultraljudssystem och transduktorer, FDA, 2008.

Medicinsk ultraljudssäkerhet, American Institute of Ultrasound in Medicine (AIUM), 2014. (En kopia medföljer varje system.)

Standard för mätning av akustisk uteffekt hos diagnostisk ultraljudsutrustning, NEMA UD2-2004.

IEC 60601-2-37: 2015, Särskilda fordringar på ultraljudsutrustning för diagnos och övervakning.

Ökning av transduktorns ytemperatur

I tabell 10-4 och tabell 10-5 listas uppmätta höjningar av ytemperaturen från rumstemperatur (23 °C ±3 °C) för transduktorer som används på ultraljudssystemet. Temperaturena har uppmätts i enlighet med kraven i EN 60601-2-37, med reglage och inställningar positionerade för att ge maximala temperaturer.

Mätning av akustisk uteffekt

De möjliga biologiska effekterna på människor (bioeffekter) av ultraljudsexponering har studerats vid många olika vetenskapliga och medicinska institutioner allt sedan diagnostiskt ultraljud började användas. AIUM (American Institute of Ultrasound in Medicine) ratificerade i oktober 1987 en rapport från dess Bioeffects Committee (Bioeffects Considerations for the Safety of Diagnostic Ultrasound, J Ultrasound Med., Sept 1988: Vol. 7, nr 9 Supplement). Rapporten, som ibland kallas *Stowe-rapporten*, granskade tillgängliga data om möjliga effekter av ultraljudsexponering. En annan rapport, *Bioeffects and Safety of Diagnostic Ultrasound*, från den 28 januari 1993, innehåller mer aktuella uppgifter.

Den akustiska utmatningen för detta ultraljudssystem har mätts och beräknats i enlighet med "Acoustic Output Measurement Standard for Diagnostic Ultrasound Equipment" (NEMA UD2-2004) och IEC 60601-2-37: 2015, Särskilda fordringar på ultraljudsutrustning för diagnos och övervakning.

Tabeller över akustisk uteffekt

Formatet för tabeller över akustisk uteffekt har uppdaterats.

Transduktormodell: C8x Driftsläge: 2D	311
Transduktormodell: C8x Driftsläge: M Mode	312
Transduktormodell: C8x Driftsläge: Color/CPD	313
Transduktormodell: C8x Driftsläge: PW Doppler	314
Transduktormodell: C11x Driftsläge: PW Doppler	315
Transduktormodell: C35x Driftsläge: 2D	316
Transduktormodell: C35x Driftsläge: PW Doppler	317
Transduktormodell: HFL38xi (oftalmisk användning) Driftsläge: 2D	318
Transduktormodell: HFL38xi (oftalmisk användning) Driftsläge: M Mode	319
Transduktormodell: HFL38xi (oftalmisk användning) Driftsläge: Color/CPD	320
Transduktormodell: HFL38xi (oftalmisk användning) Driftsläge: PW Doppler	321
Transduktormodell: HFL38xi Driftsläge: 2D	322
Transduktormodell: HFL38xi Driftsläge: M Mode	323
Transduktormodell: HFL38xi Driftsläge: Color/CPD	324
Transduktormodell: HFL38xi Driftsläge: PW Doppler	325
Transduktormodell: HFL50x Driftsläge: 2D	326
Transduktormodell: HFL50x Driftsläge: M Mode	327
Transduktormodell: HFL50x Driftsläge: Color	328
Transduktormodell: HFL50x Driftsläge: PW Doppler	329
Transduktormodell: HSL25x (oftalmisk användning) Driftsläge: 2D	330
Transduktormodell: HSL25x (oftalmisk användning) Driftsläge: M Mode	331
Transduktormodell: HSL25x (oftalmisk användning) Driftsläge: Color/CPD	332
Transduktormodell: HSL25x (oftalmisk användning) Driftsläge: PW Doppler	333
Transduktormodell: HSL25x Driftsläge: 2D	334
Transduktormodell: HSL25x Driftsläge: Color/CPD	335
Transduktormodell: HSL25x Driftsläge: PW Doppler	336
Transduktormodell: ICTx Driftsläge: PW Doppler	337
Transduktormodell: L25x (oftalmisk användning) Driftsläge: 2D	338

Transduktormodell: L25x (oftalmisk användning) Driftsläge: M Mode	339
Transduktormodell: L25x (oftalmisk användning) Driftsläge: Color/CPD	340
Transduktormodell: L25x (oftalmisk användning) Driftsläge: PW Doppler	341
Transduktormodell: L25x Driftsläge: 2D	342
Transduktormodell: L25x Driftsläge: Color/CPD	343
Transduktormodell: L25x Driftsläge: PW Doppler	344
Transduktormodell: L38xi Driftsläge: 2D	345
Transduktormodell: L38xi Driftsläge: M Mode	346
Transduktormodell: L38xi Driftsläge: Color/CPD	347
Transduktormodell: L38xi Driftsläge: PW Doppler	348
Transduktormodell: P10x Driftsläge: Color	349
Transduktormodell: P10x Driftsläge: CW Doppler	350
Transduktormodell: P10x Driftsläge: PW Doppler	351
Transduktormodell: rC60xi, Driftsläge: 2D	352
Transduktormodell: rC60xi, Driftsläge: M Mode	353
Transduktormodell: rC60xi Driftsläge: Color/CPD	354
Transduktormodell: rC60xi, Driftsläge: PW Doppler	355
Transduktormodell: rP19x (Orbital användning) Driftsläge: 2D	356
Transduktormodell: rP19x (Orbital användning) Driftsläge: M Mode	357
Transduktormodell: rP19x (Orbital användning) Driftsläge: Color/CPD	358
Transduktormodell: rP19x (Orbital användning) Driftsläge: PW Doppler	359
Transduktormodell: rP19x Driftsläge: 2D	360
Transduktormodell: rP19x, Driftsläge: M Mode	361
Transduktormodell: rP19x, Driftsläge: Color/CPD	362
Transduktormodell: rP19x, Driftsläge: CW Doppler	363
Transduktormodell: rP19x, Driftsläge: PW Doppler	364
Transduktormodell: TEExi Funktionsläge: CW Doppler	365
Transduktormodell: TEExi Funktionsläge: PW Doppler	366

Tabell 10: Transduktormodell: C8x Driftsläge: 2D

Indexbeteckning		MI	TIS		TIB		TIC
			Vid ytan	Under ytan	Vid ytan	Under ytan	Vid ytan
Maximalt indexvärde		1,1	(a)		(a)		(b)
Index komponentvärde			#	#	#	#	
Akustiska parametrar	$p_{r,\alpha}$ vid z_{MI} (MPa)	2,48					
	P (mW)		#		#		#
	P_{1x1} (mW)		#		#		
	z_s (cm)			—			
	z_b (cm)					—	
	z_{MI} (cm)	1,2					
	$z_{pii,\alpha}$ (cm)	1,2					
	f_{awf} (MHz)	5,53	#		#		#
Övrig information	pr (Hz)	9524					
	srr (Hz)	18,6					
	η_{pps}	1					
	$I_{pa,\alpha}$ vid $z_{pii,\alpha}$ (W/cm^2)	264					
	$I_{spta,\alpha}$ vid $z_{pii,\alpha}$ eller $z_{sii,\alpha}$ (mW/cm^2)	18,3					
	I_{spta} vid z_{pii} eller z_{sii} (mW/cm^2)	25,6					
	p_r vid z_{pii} (MPa)	3,11					
Drift-reglage	Undersökningstyp	Pro					
	Optimering	Pen					
	Djup (cm)	2,5-3,2					
	MB	Av					

(a) Detta index krävs inte för detta driftsläge; värdet är < 1.

(b) Denna transduktor är inte avsedd för användning transkraniellt eller på huvudet på nyfödda.

Inga data rapporteras för detta driftförhållande eftersom det globala maximala indexvärdet inte rapporteras, av angiven orsak. (Referensrad för globalt maximalt indexvärde.)

— Data ej tillämpliga för denna transduktor/detta bildåtergivningssläge.

Tabell 11: Transduktormodell: C8x Driftsläge: M Mode

Indexbeteckning		MI	TIS		TIB		TIC
			Vid ytan	Under ytan	Vid ytan	Under ytan	Vid ytan
Maximalt indexvärde		1,3	(a)		(a)		(b)
Index komponentvärde			#	#	#	#	
Akustiska parametrar	$p_{r,\alpha}$ vid z_{MI} (MPa)	2,91					
	P (mW)		#		#		#
	P_{1x1} (mW)		#		#		
	z_s (cm)			#			
	z_b (cm)					#	
	z_{MI} (cm)	1,1					
	$z_{pii,\alpha}$ (cm)	1,1					
	f_{awf} (MHz)	5,07	#		#		#
Övrig information	pr (Hz)	800					
	srr (Hz)	—					
	n_{pps}	1					
	$I_{pa,\alpha}$ vid $z_{pii,\alpha}$ (W/cm^2)	433					
	$I_{spta,\alpha}$ vid $z_{pii,\alpha}$ eller $z_{sii,\alpha}$ (mW/cm^2)	149					
	I_{spta} vid z_{pii} eller z_{sii} (mW/cm^2)	226					
	p_r vid z_{pii} (MPa)	3,57					
Drift-reglage	Undersökningstyp	Pro					
	Optimering	Pen					
	Djup (cm)	4,2					

(a) Detta index krävs inte för detta driftsläge; värdet är < 1.

(b) Denna transduktor är inte avsedd för användning transkraniellt eller på huvudet på nyfödda.

Inga data rapporteras för detta driftförhållande eftersom det globala maximala indexvärdet inte rapporteras, av angiven orsak. (Referensrad för globalt maximalt indexvärde.)

— Data ej tillämpliga för denna transduktor/detta bildåtergivningsläge.

Tabell 12: Transduktormodell: C8x Driftsläge: Color/CPD

Indexbeteckning	MI	TIS		TIB		TIC
		Vid ytan	Under ytan	Vid ytan	Under ytan	Vid ytan
Maximalt indexvärde	1,2	(a)		(a)		(b)
Index komponentvärde		#	#	#	#	
Akustiska parametrar	$p_{r,\alpha}$ vid z_{MI} (MPa)	2,68				
	P (mW)		#	#	#	#
	$P_{1 \times 1}$ (mW)		#	#	#	
	z_s (cm)			—		
	z_b (cm)				—	
	z_{MI} (cm)	0,8				
	$z_{pii,\alpha}$ (cm)	0,8				
	f_{awf} (MHz)	4,82	#		#	#
Övrig information	pr (Hz)	2548				
	srr (Hz)	26				
	n_{pps}	12				
	$I_{pa,\alpha}$ vid $z_{pii,\alpha}$ (W/cm^2)	381				
	$I_{spta,\alpha}$ vid $z_{pii,\alpha}$ eller $z_{sii,\alpha}$ (mW/cm^2)	132				
	I_{spta} vid z_{pii} eller z_{sii} (mW/cm^2)	176				
	p_r vid z_{pii} (MPa)	3,1				
Drift-reglage	Undersökningstyp	Pro				
	Läge	CVD				
	2D-optimering/djup (cm)	Pen/1,5-1,9				
	Färgoptimering/PRF (Hz)	Hög/alla				
	Färgrutans läge/storlek	Smal/alla				

(a) Detta index krävs inte för detta driftsläge; värdet är < 1.

(b) Denna transduktor är inte avsedd för användning transkranieellt eller på huvudet på nyfödda.

Inga data rapporteras för detta driftförhållande eftersom det globala maximala indexvärdet inte rapporteras, av angiven orsak. (Referensrad för globalt maximalt indexvärde.)

— Data ej tillämpliga för denna transduktor/detta bildåtergivningsläge.

Tabell 13: Transduktormodell: C8x Driftsläge: PW Doppler

Indexbeteckning		MI	TIS		TIB		TIC
			Vid ytan	Under ytan	Vid ytan	Under ytan	Vid ytan
Maximalt indexvärde		1,0	(a)		1,4		(b)
Index komponentvärde			#	#	0,5	1,4	
Akustiska parametrar	$p_{r,\alpha}$ vid z_{MI} (MPa)	2,28					
	P (mW)		#		23,1		#
	P_{1x1} (mW)		#		23,1		
	z_s (cm)			#			
	z_b (cm)					1,0	
	z_{MI} (cm)	1,8					
	$z_{pii,\alpha}$ (cm)	1,8					
	f_{awf} (MHz)	4,80	#		4,80		#
Övrig information	pr (Hz)	1008					
	srr (Hz)	—					
	η_{pps}	1					
	$I_{pa,\alpha}$ vid $z_{pii,\alpha}$ (W/cm^2)	263					
	$I_{spta,\alpha}$ vid $z_{pii,\alpha}$ eller $z_{sii,\alpha}$ (mW/cm^2)	334					
	I_{spta} vid z_{pii} eller z_{sii} (mW/cm^2)	616					
	p_r vid z_{pii} (MPa)	3,1					
Drift-reglage	Undersökningstyp	Pro			Pro		
	Samplingsvolymens storlek (mm)	1			1		
	Samplingsvolymens position	Zon 4			Zon 4		
	PRF (Hz)	1008			1008		

(a) Detta index krävs inte för detta driftsläge; värdet är < 1.

(b) Denna transduktor är inte avsedd för användning transkraniellt eller på huvudet på nyfödda.

Inga data rapporteras för detta driftförhållande eftersom det globala maximala indexvärdet inte rapporteras, av angiven orsak. (Referensrad för globalt maximalt indexvärde.)

— Data ej tillämpliga för denna transduktor/detta bildåtergivningsläge.

Tabell 14: Transduktormodell: C11x Driftsläge: PW Doppler

Indexbeteckning		MI	TIS		TIB		TIC
			Vid ytan	Under ytan	Vid ytan	Under ytan	Vid ytan
Maximalt indexvärde		(a)	(a)		1,5		1,1
Index komponentvärde			#	#	0,5	1,5	
Akustiska parametrar	$p_{r,\alpha}$ vid z_{MI} (MPa)	#					
	P (mW)		#		24,6		21,7
	P_{1x1} (mW)		#		24,6		
	z_s (cm)			#			
	z_b (cm)					1,7	
	z_{MI} (cm)	#					
	$z_{pii,\alpha}$ (cm)	#					
	f_{awf} (MHz)	#	#		4,37		4,36
Övrig information	pr (Hz)	#					
	srr (Hz)	#					
	η_{pps}	#					
	$I_{pa,\alpha}$ vid $z_{pii,\alpha}$ (W/cm^2)	#					
	$I_{spta,\alpha}$ vid $z_{pii,\alpha}$ eller $z_{sii,\alpha}$ (mW/cm^2)	#					
	I_{spta} vid z_{pii} eller z_{sii} (mW/cm^2)	#					
	p_r vid z_{pii} (MPa)	#					
Drift-reglage	Undersökningstyp				Nrv		Nrv
	Samplingsvolymens storlek (mm)				1		7
	Samplingsvolymens position				Zon 1		Zon 0
	PRF (Hz)				10 417		6250

(a) Detta index krävs inte för detta driftsläge; värdet är < 1.

(b) Denna transduktor är inte avsedd för användning transkraniellt eller på huvudet på nyfödda.

Inga data rapporteras för detta driftförhållande eftersom det globala maximala indexvärdet inte rapporteras, av angiven orsak. (Referensrad för globalt maximalt indexvärde.)

— Data ej tillämpliga för denna transduktor/detta bildåtergivningssläge.

Tabell 15: Transduktormodell: C35x Driftsläge: 2D

Indexbeteckning		MI	TIS		TIB		TIC
			Vid ytan	Under ytan	Vid ytan	Under ytan	Vid ytan
Maximalt indexvärde		1,0	(a)		(a)		(b)
Index komponentvärde			#	#	#	#	
Akustiska parametrar	$p_{r,\alpha}$ vid z_{MI} (MPa)	1,8					
	P (mW)		#		#		#
	P_{1x1} (mW)		#		#		
	z_s (cm)			—			
	z_b (cm)					—	
	z_{MI} (cm)	3,3					
	$z_{pii,\alpha}$ (cm)	3,3					
	f_{awf} (MHz)	3,45	#		#		#
Övrig information	pr (Hz)	1021					
	srr (Hz)	7,98					
	η_{pps}	1					
	$I_{pa,\alpha}$ vid $z_{pii,\alpha}$ (W/cm^2)	250					
	$I_{spta,\alpha}$ vid $z_{pii,\alpha}$ eller $z_{sii,\alpha}$ (mW/cm^2)	8,6					
	I_{spta} vid z_{pii} eller z_{sii} (mW/cm^2)	16,5					
	p_r vid z_{pii} (MPa)	2,61					
Drift-reglage	Undersökningstyp	Msk					
	Optimering	Res					
	Djup (cm)	8,3					
	MB	Saknas					

(a) Detta index krävs inte för detta driftsläge; värdet är < 1.

(b) Denna transduktor är inte avsedd för användning transkraniellt eller på huvudet på nyfödda.

Inga data rapporteras för detta driftförhållande eftersom det globala maximala indexvärdet inte rapporteras, av angiven orsak. (Referensrad för globalt maximalt indexvärde.)

— Data ej tillämpliga för denna transduktor/detta bildåtergivningsläge.

Tabell 16: Transduktormodell: C35x Driftsläge: PW Doppler

Indexbeteckning		MI	TIS		TIB		TIC
			Vid ytan	Under ytan	Vid ytan	Under ytan	Vid ytan
Maximalt indexvärde		(a)	1,5		2,6		(b)
Index komponentvärde			1,5	1,0	1,0	2,6	
Akustiska parametrar	$p_{r,\alpha}$ vid z_{MI} (MPa)	#					
	P (mW)		72,8		47,1		#
	P_{1x1} (mW)		71,1		47,1		
	z_s (cm)			1,4			
	z_b (cm)					0,50	
	z_{MI} (cm)	#					
	$z_{pii,\alpha}$ (cm)	#					
	f_{awf} (MHz)	#	4,35		4,37		#
Övrig information	pr (Hz)	#					
	srr (Hz)	#					
	η_{pps}	#					
	$I_{pa,\alpha}$ vid $z_{pii,\alpha}$ (W/cm^2)	#					
	$I_{spta,\alpha}$ vid $z_{pii,\alpha}$ eller $z_{sii,\alpha}$ (mW/cm^2)	#					
	I_{spta} vid z_{pii} eller z_{sii} (mW/cm^2)	#					
	p_r vid z_{pii} (MPa)	#					
Drift-reglage	Undersökningstyp		Ryggrad		Ryggrad		
	Samplingsvolymens storlek (mm)		2		1		
	Samplingsvolymens position		Zon 5		Zon 0		
	PRF (Hz)		6250		15 625		

(a) Detta index krävs inte för detta driftsläge; värdet är < 1.

(b) Denna transduktor är inte avsedd för användning transkraniellt eller på huvudet på nyfödda.

Inga data rapporteras för detta driftförhållande eftersom det globala maximala indexvärdet inte rapporteras, av angiven orsak. (Referensrad för globalt maximalt indexvärde.)

— Data ej tillämpliga för denna transduktor/detta bildåtergivningssläge.

Tabell 17: Transduktormodell: HFL38xi (oftalmisk användning) Driftsläge: 2D

Indexbeteckning		MI	TIS		TIB		TIC
			Vid ytan	Under ytan	Vid ytan	Under ytan	Vid ytan
Maximalt indexvärde		0,17	0,007		0,007		(b)
Index komponentvärde			0,007	0,007	0,007	0,007	
Akustiska parametrar	$p_{r,\alpha}$ vid z_{MI} (MPa)	0,43					
	P (mW)		0,77		0,77		#
	P_{1x1} (mW)		0,21		0,21		
	z_s (cm)			—			
	z_b (cm)					—	
	z_{MI} (cm)	2,1					
	$z_{pii,\alpha}$ (cm)	2,1					
	f_{awf} (MHz)	6,59	6,75		6,75		#
Övrig information	pr (Hz)	11 339					
	srr (Hz)	19,7					
	n_{pps}	3					
	$I_{pa,\alpha}$ vid $z_{pii,\alpha}$ (W/cm^2)	11,4					
	$I_{spta,\alpha}$ vid $z_{pii,\alpha}$ eller $z_{sii,\alpha}$ (mW/cm^2)	0,8					
	I_{spta} vid z_{pii} eller z_{sii} (mW/cm^2)	1,3					
	p_r vid z_{pii} (MPa)	0,7					
Drift- reglage	Undersökningstyp	Oph	Oph		Oph		
	Optimering	Pen	Res		Res		
	Djup (cm)	4,9	4,9		4,9		
	MB	På	På		På		

(a) Detta index krävs inte för detta driftsläge; värdet är < 1.

(b) Denna transduktor är inte avsedd för användning transkraniellt eller på huvudet på nyfödda.

Inga data rapporteras för detta driftförhållande eftersom det globala maximala indexvärdet inte rapporteras, av angiven orsak. (Referensrad för globalt maximalt indexvärde.)

— Data ej tillämpliga för denna transduktor/detta bildåtergivningsläge.

Tabell 18: Transduktormodell: HFL38xi (oftalmisk användning) Driftsläge: M Mode

Indexbeteckning		MI	TIS		TIB		TIC
			Vid ytan	Under ytan	Vid ytan	Under ytan	Vid ytan
Maximalt indexvärde		0,17	0,003		0,004		(b)
Index komponentvärde			0,003	0,002	0,002	0,004	
Akustiska parametrar	$p_{r,\alpha}$ vid z_{MI} (MPa)	0,44					
	P (mW)		0,087		0,064		#
	P_{1x1} (mW)		0,087		0,064		
	z_s (cm)			0,9			
	z_b (cm)					1,10	
	z_{MI} (cm)	1,0					
	$z_{pii,\alpha}$ (cm)	1,0					
	f_{awf} (MHz)	6,58	6,86		6,78		#
Övrig information	pr (Hz)	800					
	srr (Hz)	—					
	η_{pps}	1					
	$I_{pa,\alpha}$ vid $z_{pii,\alpha}$ (W/cm^2)	10,3					
	$I_{spta,\alpha}$ vid $z_{pii,\alpha}$ eller $z_{sii,\alpha}$ (mW/cm^2)	1,0					
	I_{spta} vid z_{pii} eller z_{sii} (mW/cm^2)	1,7					
	p_r vid z_{pii} (MPa)	0,55					
Drift-reglage	Undersökningstyp	Oph	Oph		Oph		
	Optimering	Pen	Res		Res		
	Djup (cm)	1,5	6,0		4,0		

(a) Detta index krävs inte för detta driftsläge; värdet är < 1.

(b) Denna transduktor är inte avsedd för användning transkraniellt eller på huvudet på nyfödda.

Inga data rapporteras för detta driftförhållande eftersom det globala maximala indexvärdet inte rapporteras, av angiven orsak. (Referensrad för globalt maximalt indexvärde.)

— Data ej tillämpliga för denna transduktor/detta bildåtergivningsläge.

Tabell 19: Transduktormodell: HFL38xi (oftalmisk användning) Driftsläge: Color/CPD

Indexbeteckning		MI	TIS		TIB		TIC
			Vid ytan	Under ytan	Vid ytan	Under ytan	Vid ytan
Maximalt indexvärde		0,17	0,02		0,02		(b)
Index komponentvärde			0,02	0,02	0,02	0,02	
Akustiska parametrar	$p_{r,\alpha}$ vid z_{MI} (MPa)	0,39					
	P (mW)		1,11		1,11		#
	P_{1x1} (mW)		0,75		0,75		
	z_s (cm)			—			
	z_b (cm)					—	
	z_{MI} (cm)	0,9					
	$z_{pii,\alpha}$ (cm)	0,9					
	f_{awf} (MHz)	5,34	5,37		5,37		#
Övrig information	pr (Hz)	4537					
	srr (Hz)	13,5					
	η_{pps}	13					
	$I_{pa,\alpha}$ vid $z_{pii,\alpha}$ (W/cm ²)	5,5					
	$I_{spta,\alpha}$ vid $z_{pii,\alpha}$ eller $z_{sii,\alpha}$ (mW/cm ²)	1,3					
	I_{spta} vid z_{pii} eller z_{sii} (mW/cm ²)	2,1					
	p_r vid z_{pii} (MPa)	0,46					
Drift-reglage	Undersökningstyp	Oph	Oph		Oph		
	Läge	CVD	CVD		CVD		
	2D-optimering/djup (cm)	Pen/1,5	Pen/4,9		Pen/4,9		
	Färgoptimering/PRF (Hz)	Hög/7813	Hög/6944		Hög/6944		
	Färgrutans läge/storlek	Underkant/ liten	Stand./smal		Stand./smal		

(a) Detta index krävs inte för detta driftsläge; värdet är < 1.

(b) Denna transduktor är inte avsedd för användning transkranieellt eller på huvudet på nyfödda.

Inga data rapporteras för detta driftförhållande eftersom det globala maximala indexvärdet inte rapporteras, av angiven orsak. (Referensrad för globalt maximalt indexvärde.)

— Data ej tillämpliga för denna transduktor/detta bildåtergivningsläge.

Tabell 20: Transduktormodell: HFL38xi (oftalmisk användning) Driftsläge: PW Doppler

Indexbeteckning		MI	TIS		TIB		TIC
			Vid ytan	Under ytan	Vid ytan	Under ytan	Vid ytan
Maximalt indexvärde		0,18	0,09		0,17		(b)
Index komponentvärde			0,09	0,06	0,09	0,17	
Akustiska parametrar	$p_{r,\alpha}$ vid z_{MI} (MPa)	0,41					
	P (mW)		3,56		3,56		#
	P_{1x1} (mW)		3,56		3,56		
	z_s (cm)			1,1			
	z_b (cm)					1,64	
	z_{MI} (cm)	0,9					
	$z_{pii,\alpha}$ (cm)	0,9					
	f_{awf} (MHz)	5,34	5,33		5,33		#
Övrig information	pr (Hz)	1302					
	srr (Hz)	—					
	η_{pps}	1					
	$I_{pa,\alpha}$ vid $z_{pii,\alpha}$ (W/cm^2)	6,6					
	$I_{spta,\alpha}$ vid $z_{pii,\alpha}$ eller $z_{sii,\alpha}$ (mW/cm^2)	10,9					
	I_{spta} vid z_{pii} eller z_{sii} (mW/cm^2)	15,0					
	p_r vid z_{pii} (MPa)	0,48					
Drift-reglage	Undersökningstyp	Oph	Oph		Oph		
	Samplingsvolymens storlek (mm)	1	10		10		
	Samplingsvolymens position	Zon 1	Zon 7		Zon 7		
	PRF (Hz)	1302	10 417		10 417		

(a) Detta index krävs inte för detta driftsläge; värdet är < 1.

(b) Denna transduktor är inte avsedd för användning transkraniellt eller på huvudet på nyfödda.

Inga data rapporteras för detta driftförhållande eftersom det globala maximala indexvärdet inte rapporteras, av angiven orsak. (Referensrad för globalt maximalt indexvärde.)

— Data ej tillämpliga för denna transduktor/detta bildåtergivningsläge.

Tabell 21: Transduktormodell: HFL38xi Driftsläge: 2D

Indexbeteckning		MI	TIS		TIB		TIC
			Vid ytan	Under ytan	Vid ytan	Under ytan	Vid ytan
Maximalt indexvärde		1,3	(a)		(a)		(b)
Index komponentvärde			#	#	#	#	
Akustiska parametrar	$p_{r,\alpha}$ vid z_{MI} (MPa)	3,05					
	P (mW)		#		#		#
	$P_{1 \times 1}$ (mW)		#		#		
	z_s (cm)			—			
	z_b (cm)					—	
	z_{MI} (cm)	1,2					
	$z_{pii,\alpha}$ (cm)	1,2					
	f_{awf} (MHz)	5,36	#		#		#
Övrig information	pr (Hz)	2127					
	srr (Hz)	11,1					
	η_{pps}	1					
	$I_{pa,\alpha}$ vid $z_{pii,\alpha}$ (W/cm ²)	494					
	$I_{spta,\alpha}$ vid $z_{pii,\alpha}$ eller $z_{sii,\alpha}$ (mW/cm ²)	13,3					
	I_{spta} vid z_{pii} eller z_{sii} (mW/cm ²)	19,4					
	p_r vid z_{pii} (MPa)	3,81					
Drift-reglage	Undersökningstyp	Ven					
	Optimering	Res					
	Djup (cm)	3,3					
	MB	Saknas					
	Nål-vision	På					

(a) Detta index krävs inte för detta driftsläge; värdet är < 1.

(b) Denna transduktor är inte avsedd för användning transkranieellt eller på huvudet på nyfödda.

Inga data rapporteras för detta driftförhållande eftersom det globala maximala indexvärdet inte rapporteras, av angiven orsak. (Referensrad för globalt maximalt indexvärde.)

— Data ej tillämpliga för denna transduktor/detta bildåtergivningsläge.

Tabell 22: Transduktormodell: HFL38xi Driftsläge: M Mode

Indexbeteckning	MI	TIS		TIB		TIC
		Vid ytan	Under ytan	Vid ytan	Under ytan	Vid ytan
Maximalt indexvärde	1,12	(a)		(a)		(b)
Index komponentvärde		#	#	#	#	
Akustiska parametrar	$p_{r,\alpha}$ vid z_{MI} (MPa)	3,14				
	P (mW)		#	#		#
	P_{1x1} (mW)		#	#		
	z_s (cm)			#		
	z_b (cm)				#	
	z_{MI} (cm)	1,4				
	$z_{pii,\alpha}$ (cm)	1,4				
Övrig information	f_{awf} (MHz)	6,75	#	#		#
	pr (Hz)	1600				
	srr (Hz)	—				
	η_{pps}	1				
	$I_{pa,\alpha}$ vid $z_{pii,\alpha}$ (W/cm^2)	388				
	$I_{spta,\alpha}$ vid $z_{pii,\alpha}$ eller $z_{sii,\alpha}$ (mW/cm^2)	163,2				
	I_{spta} vid z_{pii} eller z_{sii} (mW/cm^2)	333,3				
Drift-reglage	p_r vid z_{pii} (MPa)	4,35				
	Undersökningstyp	Nrv				
	Optimering	Pen				
	Djup (cm)	4,0				

(a) Detta index krävs inte för detta driftsläge; värdet är < 1.

(b) Denna transduktor är inte avsedd för användning transkraniellt eller på huvudet på nyfödda.

Inga data rapporteras för detta driftförhållande eftersom det globala maximala indexvärdet inte rapporteras, av angiven orsak. (Referensrad för globalt maximalt indexvärde.)

— Data ej tillämpliga för denna transduktor/detta bildåtergivningsläge.

Tabell 23: Transduktormodell: HFL38xi Driftsläge: Color/CPD

Indexbeteckning		MI	TIS		TIB		TIC
			Vid ytan	Under ytan	Vid ytan	Under ytan	Vid ytan
Maximalt indexvärde		1,3	(a)		(a)		(b)
Index komponentvärde			#	#	#	#	
Akustiska parametrar	$p_{r,\alpha}$ vid z_{MI} (MPa)	3,05					
	P (mW)		#		#		#
	$P_{1 \times 1}$ (mW)		#		#		
	z_s (cm)			—			
	z_b (cm)					—	
	z_{MI} (cm)	1,2					
	$z_{pii,\alpha}$ (cm)	1,2					
	f_{awf} (MHz)	5,36	#		#		#
Övrig information	p_{rr} (Hz)	2223					
	s_{rr} (Hz)	3,3					
	n_{pps}	14					
	$I_{pa,\alpha}$ vid $z_{pii,\alpha}$ (W/cm^2)	494					
	$I_{spta,\alpha}$ vid $z_{pii,\alpha}$ eller $z_{sii,\alpha}$ (mW/cm^2)	27,4					
	I_{spta} vid z_{pii} eller z_{sii} (mW/cm^2)	40,1					
	p_r vid z_{pii} (MPa)	3,81					
Drift-reglage	Undersökningstyp	SmP					
	Läge	CVD					
	2D-optimering/djup (cm)	Res/3,3					
	Färgoptimering/PRF (Hz)	Låg/401					
	Färgrutans läge/storlek	Stand./stand.					

(a) Detta index krävs inte för detta driftsläge; värdet är < 1.

(b) Denna transduktor är inte avsedd för användning transkranieellt eller på huvudet på nyfödda.

Inga data rapporteras för detta driftförhållande eftersom det globala maximala indexvärdet inte rapporteras, av angiven orsak. (Referensrad för globalt maximalt indexvärde.)

— Data ej tillämpliga för denna transduktor/detta bildåtergivningsläge.

Tabell 24: Transduktormodell: HFL38xi Driftsläge: PW Doppler

Indexbeteckning		MI	TIS		TIB		TIC
			Vid ytan	Under ytan	Vid ytan	Under ytan	Vid ytan
Maximalt indexvärde		1,2	1,1		2,2		(b)
Index komponentvärde			1,1	0,8	1,1	2,2	
Akustiska parametrar	$p_{r,\alpha}$ vid z_{MI} (MPa)	2,69					
	P (mW)		47,7		47,7		#
	P_{1x1} (mW)		47,7		47,7		
	z_s (cm)			1,1			
	z_b (cm)					1,10	
	z_{MI} (cm)	1,0					
	$z_{pii,\alpha}$ (cm)	1,0					
	f_{awf} (MHz)	5,34	4,86		4,86		#
Övrig information	pr_r (Hz)	1008					
	srr (Hz)	—					
	η_{pps}	1					
	$I_{pa,\alpha}$ vid $z_{pii,\alpha}$ (W/cm^2)	308					
	$I_{spta,\alpha}$ vid $z_{pii,\alpha}$ eller $z_{sii,\alpha}$ (mW/cm^2)	102,8					
	I_{spta} vid z_{pii} eller z_{sii} (mW/cm^2)	210,0					
	p_r vid z_{pii} (MPa)	3,23					
Drift-reglage	Undersökningstyp	Nrv	Art		Art		
	Samplingsvolymens storlek (mm)	1	1		1		
	Samplingsvolymens position	Zon 3	Zon 7		Zon 7		
	PRF (Hz)	1008	3125		3125		

(a) Detta index krävs inte för detta driftsläge; värdet är < 1.

(b) Denna transduktor är inte avsedd för användning transkraniellt eller på huvudet på nyfödda.

Inga data rapporteras för detta driftförhållande eftersom det globala maximala indexvärdet inte rapporteras, av angiven orsak. (Referensrad för globalt maximalt indexvärde.)

— Data ej tillämpliga för denna transduktor/detta bildåtergivningssläge.

Tabell 25: Transduktormodell: HFL50x Driftsläge: 2D

Indexbeteckning		MI	TIS		TIB		TIC
			Vid ytan	Under ytan	Vid ytan	Under ytan	Vid ytan
Maximalt indexvärde		1,3	(a)		(a)		(b)
Index komponentvärde			#	#	#	#	
Akustiska parametrar	$p_{r,\alpha}$ vid z_{MI} (MPa)	3,051					
	P (mW)		#		#		#
	P_{1x1} (mW)		#		#		
	z_s (cm)			—			
	z_b (cm)					—	
	z_{MI} (cm)	1,2					
	$z_{pii,\alpha}$ (cm)	1,2					
	f_{awf} (MHz)	5,36	#		#		#
Övrig information	pr (Hz)	2733					
	srr (Hz)	7,2					
	η_{pps}	1					
	$I_{pa,\alpha}$ vid $z_{pii,\alpha}$ (W/cm^2)	493					
	$I_{spta,\alpha}$ vid $z_{pii,\alpha}$ eller $z_{sii,\alpha}$ (mW/cm^2)	8,6					
	I_{spta} vid z_{pii} eller z_{sii} (mW/cm^2)	12,6					
	p_r vid z_{pii} (MPa)	3,81					
Drift-reglage	Undersökningstyp	Valfri					
	Optimering	Valfri					
	Djup (cm)	3,3					
	Mbe	På					

(a) Detta index krävs inte för detta driftsläge; värdet är < 1.

(b) Denna transduktor är inte avsedd för användning transkraniellt eller på huvudet på nyfödda.

Inga data rapporteras för detta driftförhållande eftersom det globala maximala indexvärdet inte rapporteras, av angiven orsak. (Referensrad för globalt maximalt indexvärde.)

— Data ej tillämpliga för denna transduktor/detta bildåtergivningsläge.

Tabell 26: Transduktormodell: HFL50x Driftsläge: M Mode

Indexbeteckning	MI	TIS		TIB		TIC
		Vid ytan	Under ytan	Vid ytan	Under ytan	Vid ytan
Maximalt indexvärde	1,2	(a)		(a)		(b)
Index komponentvärde		#	#	#	#	
Akustiska parametrar	$p_{r,\alpha}$ vid z_{MI} (MPa)	3,14				
	P (mW)		#	#	#	#
	P_{1x1} (mW)		#	#	#	
	z_s (cm)			#		
	z_b (cm)				#	
	z_{MI} (cm)	1,4				
	$z_{pii,\alpha}$ (cm)	1,4				
	f_{awf} (MHz)	6,75	#		#	#
Övrig information	pr_r (Hz)	1600				
	srr (Hz)	—				
	η_{pps}	1				
	$I_{pa,\alpha}$ vid $z_{pii,\alpha}$ (W/cm^2)	388				
	$I_{spta,\alpha}$ vid $z_{pii,\alpha}$ eller $z_{sii,\alpha}$ (mW/cm^2)	163,2				
	I_{spta} vid z_{pii} eller z_{sii} (mW/cm^2)	333,3				
	p_r vid z_{pii} (MPa)	4,35				
Drift-reglage	Undersökningstyp	Valfri				
	Optimering	Pen				
	Djup (cm)	4				

(a) Detta index krävs inte för detta driftsläge; värdet är < 1.

(b) Denna transduktor är inte avsedd för användning transkraniellt eller på huvudet på nyfödda.

Inga data rapporteras för detta driftförhållande eftersom det globala maximala indexvärdet inte rapporteras, av angiven orsak. (Referensrad för globalt maximalt indexvärde.)

— Data ej tillämpliga för denna transduktor/detta bildåtergivningsläge.

Tabell 27: Transduktormodell: HFL50x Driftsläge: Color

Indexbeteckning		MI	TIS		TIB		TIC
			Vid ytan	Under ytan	Vid ytan	Under ytan	Vid ytan
Maximalt indexvärde		1,3	(a)		(a)		(b)
Index komponentvärde			#	#	#	#	
Akustiska parametrar	$p_{r,\alpha}$ vid z_{MI} (MPa)	3,05					
	P (mW)		#		#		#
	$P_{1 \times 1}$ (mW)		#		#		
	z_s (cm)			—			
	z_b (cm)					—	
	z_{MI} (cm)	1,2					
	$z_{pii,\alpha}$ (cm)	1,2					
	f_{awf} (MHz)	5,36	#		#		#
Övrig information	p_{rr} (Hz)	8233					
	s_{rr} (Hz)	3,2					
	n_{pps}	14					
	$I_{pa,\alpha}$ vid $z_{pii,\alpha}$ (W/cm^2)	494					
	$I_{spta,\alpha}$ vid $z_{pii,\alpha}$ eller $z_{sii,\alpha}$ (mW/cm^2)	26,8					
	I_{spta} vid z_{pii} eller z_{sii} (mW/cm^2)	39,2					
	p_r vid z_{pii} (MPa)	3,81					
Drift-reglage	Undersökningstyp	Valfri					
	Läge	Valfri					
	Optimering/djup (cm)	Låg/3,3					
	PRF (Hz)	Valfri					

(a) Detta index krävs inte för detta driftsläge; värdet är < 1.

(b) Denna transduktor är inte avsedd för användning transkraniellt eller på huvudet på nyfödda.

Inga data rapporteras för detta driftförhållande eftersom det globala maximala indexvärdet inte rapporteras, av angiven orsak. (Referensrad för globalt maximalt indexvärde.)

— Data ej tillämpliga för denna transduktor/detta bildåtergivningsläge.

Tabell 28: Transduktormodell: HFL50x Driftsläge: PW Doppler

Indexbeteckning		MI	TIS		TIB		TIC
			Vid ytan	Under ytan	Vid ytan	Under ytan	Vid ytan
Maximalt indexvärde		1,2	1,1		1,9		(b)
Index komponentvärde			1,1	0,7	1,1	1,9	
Akustiska parametrar	$p_{r,\alpha}$ vid z_{MI} (MPa)	2,69					
	P (mW)		42,6		42,6		#
	P_{1x1} (mW)		42,6		42,6		
	z_s (cm)			1,1			
	z_b (cm)					1,10	
	z_{MI} (cm)	1,0					
	$z_{pii,\alpha}$ (cm)	1,0					
	f_{awf} (MHz)	5,34	5,34		5,34		#
Övrig information	pr_r (Hz)	1008					
	srr (Hz)	—					
	η_{pps}	1					
	$I_{pa,\alpha}$ vid $z_{pii,\alpha}$ (W/cm^2)	308					
	$I_{spta,\alpha}$ vid $z_{pii,\alpha}$ eller $z_{sii,\alpha}$ (mW/cm^2)	399,6					
	I_{spta} vid z_{pii} eller z_{sii} (mW/cm^2)	599,8					
	p_r vid z_{pii} (MPa)	3,23					
Drift-reglage	Undersökningstyp	Valfri	Valfri		Valfri		
	Samplingsvolymens storlek (mm)	1	1		1		
	Samplingsvolymens position	Zon 3	Zon 7		Zon 7		
	PRF (Hz)	1008	1563-3125		1563-3125		

(a) Detta index krävs inte för detta driftsläge; värdet är < 1.

(b) Denna transduktor är inte avsedd för användning transkraniellt eller på huvudet på nyfödda.

Inga data rapporteras för detta driftförhållande eftersom det globala maximala indexvärdet inte rapporteras, av angiven orsak. (Referensrad för globalt maximalt indexvärde.)

— Data ej tillämpliga för denna transduktor/detta bildåtergivningssläge.

Tabell 29: Transduktormodell: HSL25x (oftalmisk användning) Driftsläge: 2D

Indexbeteckning		MI	TIS		TIB		TIC
			Vid ytan	Under ytan	Vid ytan	Under ytan	Vid ytan
Maximalt indexvärde		0,17	0,02		0,02		(b)
Index komponentvärde			0,02	0,02	0,02	0,02	
Akustiska parametrar	$p_{r,\alpha}$ vid z_{MI} (MPa)	0,47					
	P (mW)		1,62		1,62		#
	P_{1x1} (mW)		0,70		0,70		
	z_s (cm)			—			
	z_b (cm)					—	
	z_{MI} (cm)	0,8					
	$z_{pii,\alpha}$ (cm)	0,8					
	f_{awf} (MHz)	7,65	6,97		6,97		#
Övrig information	pr (Hz)	12 580					
	srr (Hz)	12,3					
	n_{pps}	4					
	$I_{pa,\alpha}$ vid $z_{pii,\alpha}$ (W/cm^2)	13,4					
	$I_{spta,\alpha}$ vid $z_{pii,\alpha}$ eller $z_{sii,\alpha}$ (mW/cm^2)	0,6					
	I_{spta} vid z_{pii} eller z_{sii} (mW/cm^2)	1,0					
	p_r vid z_{pii} (MPa)	0,58					
Drift- reglage	Undersökningstyp	Oph	Oph		Oph		
	Optimering	Res	Pen		Pen		
	Djup (cm)	1,9	4,3		4,3		
	MB	På	På		På		

(a) Detta index krävs inte för detta driftsläge; värdet är < 1.

(b) Denna transduktor är inte avsedd för användning transkraniellt eller på huvudet på nyfödda.

Inga data rapporteras för detta driftförhållande eftersom det globala maximala indexvärdet inte rapporteras, av angiven orsak. (Referensrad för globalt maximalt indexvärde.)

— Data ej tillämpliga för denna transduktor/detta bildåtergivningsläge.

Tabell 30: Transduktormodell: HSL25x (oftalmisk användning) Driftsläge: M Mode

Indexbeteckning		MI	TIS		TIB		TIC
			Vid ytan	Under ytan	Vid ytan	Under ytan	Vid ytan
Maximalt indexvärde		0,17	0,01		0,02		(b)
Index komponentvärde			0,010	0,009	0,013	0,020	
Akustiska parametrar	$p_{r,\alpha}$ vid z_{MI} (MPa)	0,47					
	P (mW)		0,45		0,45		#
	P_{1x1} (mW)		0,45		0,45		
	z_s (cm)			0,9			
	z_b (cm)					0,85	
	z_{MI} (cm)	1,0					
	$z_{pii,\alpha}$ (cm)	1,0					
	f_{awf} (MHz)	7,59	6,25		6,25		#
Övrig information	pr_r (Hz)	1600					
	srr (Hz)	—					
	η_{pps}	1					
	$I_{pa,\alpha}$ vid $z_{pii,\alpha}$ (W/cm^2)	14,9					
	$I_{spta,\alpha}$ vid $z_{pii,\alpha}$ eller $z_{sii,\alpha}$ (mW/cm^2)	2,3					
	I_{spta} vid z_{pii} eller z_{sii} (mW/cm^2)	4,0					
	p_r vid z_{pii} (MPa)	0,61					
Drift-reglage	Undersökningstyp	Oph	Oph		Oph		
	Optimering	Res	Pen		Pen		
	Djup (cm)	1,9	4,3		4,3		

(a) Detta index krävs inte för detta driftsläge; värdet är < 1.

(b) Denna transduktor är inte avsedd för användning transkraniellt eller på huvudet på nyfödda.

Inga data rapporteras för detta driftförhållande eftersom det globala maximala indexvärdet inte rapporteras, av angiven orsak. (Referensrad för globalt maximalt indexvärde.)

— Data ej tillämpliga för denna transduktor/detta bildåtergivningsläge.

Tabell 31: Transduktormodell: HSL25x (oftalmisk användning) Driftsläge: Color/CPD

Indexbeteckning		MI	TIS		TIB		TIC
			Vid ytan	Under ytan	Vid ytan	Under ytan	Vid ytan
Maximalt indexvärde		0,17	0,06		0,06		(b)
Index komponentvärde			0,06	0,06	0,06	0,06	
Akustiska parametrar	$p_{r,\alpha}$ vid z_{MI} (MPa)	0,42					
	P (mW)		2,9		2,9		#
	$P_{1 \times 1}$ (mW)		1,9		1,9		
	z_s (cm)			—			
	z_b (cm)					—	
	z_{MI} (cm)	0,7					
	$z_{pii,\alpha}$ (cm)	0,7					
	f_{awf} (MHz)	6,11	6,10		6,10		#
Övrig information	p_{rr} (Hz)	3096					
	s_{rr} (Hz)	8,1					
	n_{pps}	14					
	$I_{pa,\alpha}$ vid $z_{pii,\alpha}$ (W/cm^2)	7,5					
	$I_{spta,\alpha}$ vid $z_{pii,\alpha}$ eller $z_{sii,\alpha}$ (mW/cm^2)	1,1					
	I_{spta} vid z_{pii} eller z_{sii} (mW/cm^2)	1,6					
	p_r vid z_{pii} (MPa)	0,49					
Drift-reglage	Undersökningstyp	Oph	Oph		Oph		
	Läge	CVD	CVD		CVD		
	2D-optimering/djup (cm)	Pen/1,9	Pen/5,1		Pen/5,1		
	Färgoptimering/PRF (Hz)	Låg/401	Med/4167		Med/4167		
	Färgrutans läge/storlek	Stand./stand.	Överkant/kort-bred		Överkant/kort-bred		

(a) Detta index krävs inte för detta driftsläge; värdet är < 1.

(b) Denna transduktor är inte avsedd för användning transkranieellt eller på huvudet på nyfödda.

Inga data rapporteras för detta driftförhållande eftersom det globala maximala indexvärdet inte rapporteras, av angiven orsak. (Referensrad för globalt maximalt indexvärde.)

— Data ej tillämpliga för denna transduktor/detta bildåtergivningsläge.

Tabell 32: Transduktormodell: HSL25x (oftalmisk användning) Driftsläge: PW Doppler

Indexbeteckning		MI	TIS		TIB		TIC
			Vid ytan	Under ytan	Vid ytan	Under ytan	Vid ytan
Maximalt indexvärde		0,18	0,12		0,21		(b)
Index komponentvärde			0,12	0,08	0,12	0,21	
Akustiska parametrar	$p_{r,\alpha}$ vid z_{MI} (MPa)	0,44					
	P (mW)		4,0		4,0		#
	P_{1x1} (mW)		4,0		4,0		
	z_s (cm)			0,9			
	z_b (cm)					0,80	
	z_{MI} (cm)	1,2					
	$z_{pii,\alpha}$ (cm)	1,2					
Övrig information	f_{awf} (MHz)	6,03	6,03		6,03		#
	pr (Hz)	1953					
	srr (Hz)	—					
	η_{pps}	1					
	$I_{pa,\alpha}$ vid $z_{pii,\alpha}$ (W/cm^2)	7,4					
	$I_{spta,\alpha}$ vid $z_{pii,\alpha}$ eller $z_{sii,\alpha}$ (mW/cm^2)	18,4					
	I_{spta} vid z_{pii} eller z_{sii} (mW/cm^2)	44,9					
p_r vid z_{pii} (MPa)	0,56						
Drift-reglage	Undersökningstyp	Oph	Oph		Oph		
	Samplingsvolymens storlek (mm)	1	1		1		
	Samplingsvolymens position	Zon 7	Zon 7		Zon 7		
	PRF (Hz)	1953	5208		5208		

(a) Detta index krävs inte för detta driftsläge; värdet är < 1.

(b) Denna transduktor är inte avsedd för användning transkraniellt eller på huvudet på nyfödda.

Inga data rapporteras för detta driftförhållande eftersom det globala maximala indexvärdet inte rapporteras, av angiven orsak. (Referensrad för globalt maximalt indexvärde.)

— Data ej tillämpliga för denna transduktor/detta bildåtergivningssläge.

Tabell 33: Transduktormodell: HSL25x Driftsläge: 2D

Indexbeteckning		MI	TIS		TIB		TIC
			Vid ytan	Under ytan	Vid ytan	Under ytan	Vid ytan
Maximalt indexvärde		1,2	(a)		(a)		(b)
Index komponentvärde			#	#	#	#	
Akustiska parametrar	$p_{r,\alpha}$ vid z_{MI} (MPa)	2,87					
	P (mW)		#		#		#
	$P_{1 \times 1}$ (mW)		#		#		
	z_s (cm)			—			
	z_b (cm)					—	
	z_{MI} (cm)	0,8					
	$z_{pii,\alpha}$ (cm)	0,8					
	f_{awf} (MHz)	6,11		#		#	#
Övrig information	pr (Hz)	1061					
	srr (Hz)	13,0					
	η_{pps}	1					
	$I_{pa,\alpha}$ vid $z_{pii,\alpha}$ (W/cm^2)	478					
	$I_{spta,\alpha}$ vid $z_{pii,\alpha}$ eller $z_{sii,\alpha}$ (mW/cm^2)	12,2					
	I_{spta} vid z_{pii} eller z_{sii} (mW/cm^2)	16,4					
	p_r vid z_{pii} (MPa)	3,39					
Drift-reglage	Undersökningstyp	Nrv/Msk/ Ven/Art					
	Optimering	Valfri					
	Djup (cm)	1,9–2,2					
	Mbe	På					

(a) Detta index krävs inte för detta driftsläge; värdet är < 1.

(b) Denna transduktor är inte avsedd för användning transkraniellt eller på huvudet på nyfödda.

Inga data rapporteras för detta driftförhållande eftersom det globala maximala indexvärdet inte rapporteras, av angiven orsak. (Referensrad för globalt maximalt indexvärde.)

— Data ej tillämpliga för denna transduktor/detta bildåtergivningsläge.

Tabell 34: Transduktormodell: HSL25x Driftsläge: Color/CPD

Indexbeteckning	MI	TIS		TIB		TIC
		Vid ytan	Under ytan	Vid ytan	Under ytan	Vid ytan
Maximalt indexvärde	1,0	(a)		(a)		(b)
Index komponentvärde		#	#	#	#	
Akustiska parametrar	$p_{r,\alpha}$ vid z_{MI} (MPa)	2,35				
	P (mW)		#	#		#
	P_{1x1} (mW)		#	#		
	z_s (cm)			—		
	z_b (cm)				—	
	z_{MI} (cm)	0,8				
	$z_{pii,\alpha}$ (cm)	0,8				
	f_{awf} (MHz)	6,11	#		#	
Övrig information	p_{rr} (Hz)	3079				
	s_{rr} (Hz)	8,0				
	n_{pps}	14				
	$I_{pa,\alpha}$ vid $z_{pii,\alpha}$ (W/cm^2)	276				
	$I_{spta,\alpha}$ vid $z_{pii,\alpha}$ eller $z_{sii,\alpha}$ (mW/cm^2)	47,6				
	I_{spta} vid z_{pii} eller z_{sii} (mW/cm^2)	63,9				
	p_r vid z_{pii} (MPa)	2,78				
Drift-reglage	Undersökningstyp	Sup				
	Läge	CVD				
	2D-optimering/djup (cm)	Pen/3,1				
	Färgoptimering/PRF (Hz)	Låg/401				
	Färgrutans läge/storlek	Stand./stand.				

(a) Detta index krävs inte för detta driftsläge; värdet är < 1 .

(b) Denna transduktor är inte avsedd för användning transkraniellt eller på huvudet på nyfödda.

Inga data rapporteras för detta driftförhållande eftersom det globala maximala indexvärdet inte rapporteras, av angiven orsak. (Referensrad för globalt maximalt indexvärde.)

— Data ej tillämpliga för denna transduktor/detta bildåtergivningsläge.

Tabell 35: Transduktormodell: HSL25x Driftsläge: PW Doppler

Indexbeteckning		MI	TIS		TIB		TIC
			Vid ytan	Under ytan	Vid ytan	Under ytan	Vid ytan
Maximalt indexvärde		(a)	(a)		1,5		(b)
Index komponentvärde			#	#	0,8	1,5	
Akustiska parametrar	$p_{r,\alpha}$ vid z_{MI} (MPa)	#					
	P (mW)		#		28,1		#
	P_{1x1} (mW)		#		28,1		
	z_s (cm)			#			
	z_b (cm)					0,75	
	z_{MI} (cm)	#					
	$z_{pii,\alpha}$ (cm)	#					
	f_{awf} (MHz)	#	#		6,00		#
Övrig information	pr (Hz)	#					
	srr (Hz)	#					
	η_{pps}	#					
	$I_{pa,\alpha}$ vid $z_{pii,\alpha}$ (W/cm^2)	#					
	$I_{spta,\alpha}$ vid $z_{pii,\alpha}$ eller $z_{sii,\alpha}$ (mW/cm^2)	#					
	I_{spta} vid z_{pii} eller z_{sii} (mW/cm^2)	#					
p_r vid z_{pii} (MPa)	#						
Drift-reglage	Undersökningstyp				Nrv		
	Samplingsvolymens storlek (mm)				8		
	Samplingsvolymens position				Zon 7		
	PRF (Hz)				1953		

(a) Detta index krävs inte för detta driftsläge; värdet är < 1.

(b) Denna transduktor är inte avsedd för användning transkraniellt eller på huvudet på nyfödda.

Inga data rapporteras för detta driftförhållande eftersom det globala maximala indexvärdet inte rapporteras, av angiven orsak. (Referensrad för globalt maximalt indexvärde.)

— Data ej tillämpliga för denna transduktor/detta bildåtergivningsläge.

Tabell 36: Transduktormodell: ICTx Driftsläge: PW Doppler

Indexbeteckning		MI	TIS		TIB		TIC
			Vid ytan	Under ytan	Vid ytan	Under ytan	Vid ytan
Maximalt indexvärde		(a)	(a)		1,2		(b)
Index komponentvärde			#	#	0,3	1,2	
Akustiska parametrar	$p_{r,\alpha}$ vid z_{MI} (MPa)	#					
	P (mW)		#		16,3		#
	P_{1x1} (mW)		#		16,3		
	z_s (cm)			#			
	z_b (cm)					1,60	
	z_{MI} (cm)	#					
	$z_{pii,\alpha}$ (cm)	#					
	f_{awf} (MHz)	#	#		4,36		#
Övrig information	pr (Hz)	#					
	srr (Hz)	#					
	η_{pps}	#					
	$I_{pa,\alpha}$ vid $z_{pii,\alpha}$ (W/cm^2)	#					
	$I_{spta,\alpha}$ vid $z_{pii,\alpha}$ eller $z_{sii,\alpha}$ (mW/cm^2)	#					
	I_{spta} vid z_{pii} eller z_{sii} (mW/cm^2)	#					
	p_r vid z_{pii} (MPa)	#					
Drift-reglage	Undersökningstyp				Valfri		
	Samplingsvolymens storlek (mm)				3		
	Samplingsvolymens position				Zon 1		
	PRF (Hz)				Valfri		

(a) Detta index krävs inte för detta driftsläge; värdet är < 1.

(b) Denna transduktor är inte avsedd för användning transkraniellt eller på huvudet på nyfödda.

Inga data rapporteras för detta driftförhållande eftersom det globala maximala indexvärdet inte rapporteras, av angiven orsak. (Referensrad för globalt maximalt indexvärde.)

— Data ej tillämpliga för denna transduktor/detta bildåtergivningssläge.

Tabell 37: Transduktormodell: L25x (oftalmisk användning) Driftsläge: 2D

Indexbeteckning		MI	TIS		TIB		TIC
			Vid ytan	Under ytan	Vid ytan	Under ytan	Vid ytan
Maximalt indexvärde		0,17	0,02		0,02		(b)
Index komponentvärde			0,02	0,02	0,02	0,02	
Akustiska parametrar	$p_{r,\alpha}$ vid z_{MI} (MPa)	0,47					
	P (mW)		1,62		1,62		#
	P_{1x1} (mW)		0,70		0,70		
	z_s (cm)			—			
	z_b (cm)					—	
	z_{MI} (cm)	0,8					
	$z_{pii,\alpha}$ (cm)	0,8					
	f_{awf} (MHz)	7,65	6,97		6,97		#
Övrig information	pr (Hz)	12 580					
	srr (Hz)	12,3					
	n_{pps}	4					
	$I_{pa,\alpha}$ vid $z_{pii,\alpha}$ (W/cm^2)	13,4					
	$I_{spta,\alpha}$ vid $z_{pii,\alpha}$ eller $z_{sii,\alpha}$ (mW/cm^2)	0,6					
	I_{spta} vid z_{pii} eller z_{sii} (mW/cm^2)	1,0					
	p_r vid z_{pii} (MPa)	0,58					
Drift- reglage	Undersökningstyp	Oph	Oph		Oph		
	Optimering	Res	Pen		Pen		
	Djup (cm)	1,9	4,3		4,3		
	MB	På	På		På		

(a) Detta index krävs inte för detta driftsläge; värdet är < 1.

(b) Denna transduktor är inte avsedd för användning transkraniellt eller på huvudet på nyfödda.

Inga data rapporteras för detta driftförhållande eftersom det globala maximala indexvärdet inte rapporteras, av angiven orsak. (Referensrad för globalt maximalt indexvärde.)

— Data ej tillämpliga för denna transduktor/detta bildåtergivningsläge.

Tabell 38: Transduktormodell: L25x (oftalmisk användning) Driftsläge: M Mode

Indexbeteckning		MI	TIS		TIB		TIC
			Vid ytan	Under ytan	Vid ytan	Under ytan	Vid ytan
Maximalt indexvärde		0,17	0,010		0,020		(b)
Index komponentvärde			0,010	0,009	0,013	0,020	
Akustiska parametrar	$p_{r,\alpha}$ vid z_{MI} (MPa)	0,47					
	P (mW)		0,45		0,45		#
	P_{1x1} (mW)		0,45		0,45		
	z_s (cm)			0,9			
	z_b (cm)					0,85	
	z_{MI} (cm)	1,0					
	$z_{pii,\alpha}$ (cm)	1,0					
	f_{awf} (MHz)	7,59	6,25		6,25		#
Övrig information	pr_r (Hz)	1600					
	srr (Hz)	—					
	η_{pps}	1					
	$I_{pa,\alpha}$ vid $z_{pii,\alpha}$ (W/cm^2)	14,9					
	$I_{spta,\alpha}$ vid $z_{pii,\alpha}$ eller $z_{sii,\alpha}$ (mW/cm^2)	2,3					
	I_{spta} vid z_{pii} eller z_{sii} (mW/cm^2)	4,0					
	p_r vid z_{pii} (MPa)	0,61					
Drift-reglage	Undersökningstyp	Oph	Oph		Oph		
	Optimering	Res	Pen		Pen		
	Djup (cm)	1,9	4,3		4,3		

(a) Detta index krävs inte för detta driftsläge; värdet är < 1.

(b) Denna transduktor är inte avsedd för användning transkraniellt eller på huvudet på nyfödda.

Inga data rapporteras för detta driftförhållande eftersom det globala maximala indexvärdet inte rapporteras, av angiven orsak. (Referensrad för globalt maximalt indexvärde.)

— Data ej tillämpliga för denna transduktor/detta bildåtergivningsläge.

Tabell 39: Transduktormodell: L25x (oftalmisk användning) Driftsläge: Color/CPD

Indexbeteckning		MI	TIS		TIB		TIC
			Vid ytan	Under ytan	Vid ytan	Under ytan	Vid ytan
Maximalt indexvärde		0,17	0,06		0,06		(b)
Index komponentvärde			0,06	0,06	0,06	0,06	
Akustiska parametrar	$p_{r,\alpha}$ vid z_{MI} (MPa)	0,42					
	P (mW)		2,9		2,9		#
	$P_{1 \times 1}$ (mW)		1,9		1,9		
	z_s (cm)			—			
	z_b (cm)					—	
	z_{MI} (cm)	0,7					
	$z_{pii,\alpha}$ (cm)	0,7					
	f_{awf} (MHz)	6,11	6,10		6,10		#
Övrig information	p_{rr} (Hz)	3096					
	s_{rr} (Hz)	8,1					
	η_{pps}	14					
	$I_{pa,\alpha}$ vid $z_{pii,\alpha}$ (W/cm^2)	7,5					
	$I_{spta,\alpha}$ vid $z_{pii,\alpha}$ eller $z_{sii,\alpha}$ (mW/cm^2)	1,1					
	I_{spta} vid z_{pii} eller z_{sii} (mW/cm^2)	1,6					
	p_r vid z_{pii} (MPa)	0,49					
Drift-reglage	Undersökningstyp	Oph	Oph		Oph		
	Läge	CVD	CVD		CVD		
	2D-optimering/djup (cm)	Pen/1,9	Pen/5,1		Pen/5,1		
	Färgoptimering/PRF (Hz)	Låg/401	Med/4167		Med/4167		
	Färgrutans läge/storlek	Stand./stand.	Överkant/kort-bred		Överkant/kort-bred		

(a) Detta index krävs inte för detta driftsläge; värdet är < 1.

(b) Denna transduktor är inte avsedd för användning transkranieellt eller på huvudet på nyfödda.

Inga data rapporteras för detta driftförhållande eftersom det globala maximala indexvärdet inte rapporteras, av angiven orsak. (Referensrad för globalt maximalt indexvärde.)

— Data ej tillämpliga för denna transduktor/detta bildåtergivningsläge.

Tabell 40: Transduktormodell: L25x (oftalmisk användning) Driftsläge: PW Doppler

Indexbeteckning		MI	TIS		TIB		TIC
			Vid ytan	Under ytan	Vid ytan	Under ytan	Vid ytan
Maximalt indexvärde		0,18	0,12		0,21		(b)
Index komponentvärde			0,12	0,08	0,12	0,21	
Akustiska parametrar	$p_{r,\alpha}$ vid z_{MI} (MPa)	0,44					
	P (mW)		4,0		4,0		#
	P_{1x1} (mW)		4,0		4,0		
	z_s (cm)			0,9			
	z_b (cm)					0,80	
	z_{MI} (cm)	1,2					
	$z_{pii,\alpha}$ (cm)	1,2					
	f_{awf} (MHz)	6,03	6,03		6,03		#
Övrig information	pr_r (Hz)	1953					
	srr (Hz)	—					
	η_{pps}	1					
	$I_{pa,\alpha}$ vid $z_{pii,\alpha}$ (W/cm^2)	7,4					
	$I_{spta,\alpha}$ vid $z_{pii,\alpha}$ eller $z_{sii,\alpha}$ (mW/cm^2)	18,4					
	I_{spta} vid z_{pii} eller z_{sii} (mW/cm^2)	44,9					
	p_r vid z_{pii} (MPa)	0,56					
Drift-reglage	Undersökningstyp	Oph	Oph		Oph		
	Samplingsvolymens storlek (mm)	1	1		1		
	Samplingsvolymens position	Zon 7	Zon 7		Zon 7		
	PRF (Hz)	1953	5208		5208		

(a) Detta index krävs inte för detta driftsläge; värdet är < 1.

(b) Denna transduktor är inte avsedd för användning transkraniellt eller på huvudet på nyfödda.

Inga data rapporteras för detta driftförhållande eftersom det globala maximala indexvärdet inte rapporteras, av angiven orsak. (Referensrad för globalt maximalt indexvärde.)

— Data ej tillämpliga för denna transduktor/detta bildåtergivningsläge.

Tabell 41: Transduktormodell: L25x Driftsläge: 2D

Indexbeteckning		MI	TIS		TIB		TIC
			Vid ytan	Under ytan	Vid ytan	Under ytan	Vid ytan
Maximalt indexvärde		1,2	(a)		(a)		(b)
Index komponentvärde			#	#	#	#	
Akustiska parametrar	$p_{r,\alpha}$ vid z_{MI} (MPa)	2,87					
	P (mW)		#		#		#
	$P_{1 \times 1}$ (mW)		#		#		
	z_s (cm)			—			
	z_b (cm)					—	
	z_{MI} (cm)	0,8					
	$z_{pii,\alpha}$ (cm)	0,8					
	f_{awf} (MHz)	6,11	#		#		#
Övrig information	pr (Hz)	1061					
	srr (Hz)	13,0					
	η_{pps}	1					
	$I_{pa,\alpha}$ vid $z_{pii,\alpha}$ (W/cm^2)	478					
	$I_{spta,\alpha}$ vid $z_{pii,\alpha}$ eller $z_{sii,\alpha}$ (mW/cm^2)	12,2					
	I_{spta} vid z_{pii} eller z_{sii} (mW/cm^2)	16,4					
	p_r vid z_{pii} (MPa)	3,39					
Drift-reglage	Undersökningstyp	Nrv/Msk/ Ven/Art					
	Optimering	Valfri					
	Djup (cm)	1,9–2,2					
	Mbe	På					

(a) Detta index krävs inte för detta driftsläge; värdet är < 1.

(b) Denna transduktor är inte avsedd för användning transkraniellt eller på huvudet på nyfödda.

Inga data rapporteras för detta driftförhållande eftersom det globala maximala indexvärdet inte rapporteras, av angiven orsak. (Referensrad för globalt maximalt indexvärde.)

— Data ej tillämpliga för denna transduktor/detta bildåtergivningsläge.

Tabell 42: Transduktormodell: L25x Driftsläge: Color/CPD

Indexbeteckning	MI	TIS		TIB		TIC
		Vid ytan	Under ytan	Vid ytan	Under ytan	Vid ytan
Maximalt indexvärde	1,0	(a)		(a)		(b)
Index komponentvärde		#	#	#	#	
Akustiska parametrar	$p_{r,\alpha}$ vid z_{MI} (MPa)	2,35				
	P (mW)		#	#		#
	P_{1x1} (mW)		#	#		
	z_s (cm)			—		
	z_b (cm)				—	
	z_{MI} (cm)	0,8				
	$z_{pii,\alpha}$ (cm)	0,8				
	f_{awf} (MHz)	6,11	#		#	
Övrig information	p_{rr} (Hz)	5261				
	s_{rr} (Hz)	13,7				
	n_{pps}	14				
	$I_{pa,\alpha}$ vid $z_{pii,\alpha}$ (W/cm^2)	276				
	$I_{spta,\alpha}$ vid $z_{pii,\alpha}$ eller $z_{sii,\alpha}$ (mW/cm^2)	81,5				
	I_{spta} vid z_{pii} eller z_{sii} (mW/cm^2)	109,5				
	p_r vid z_{pii} (MPa)	2,78				
Drift-reglage	Undersökningstyp	Ven				
	Läge	CVD				
	2D-optimering/djup (cm)	Pen/3,1				
	Färgoptimering/PRF (Hz)	Låg/779				
	Färgrutans läge/storlek	Stand./stand.				

(a) Detta index krävs inte för detta driftsläge; värdet är < 1.
(b) Denna transduktor är inte avsedd för användning transkraniellt eller på huvudet på nyfödda.
Inga data rapporteras för detta driftförhållande eftersom det globala maximala indexvärdet inte rapporteras, av angiven orsak. (Referensrad för globalt maximalt indexvärde.)
— Data ej tillämpliga för denna transduktor/detta bildåtergivningsläge.

Tabell 43: Transduktormodell: L25x Driftsläge: PW Doppler

Indexbeteckning		MI	TIS		TIB		TIC
			Vid ytan	Under ytan	Vid ytan	Under ytan	Vid ytan
Maximalt indexvärde		(a)	(a)		1,7		(b)
Index komponentvärde			#	#	0,9	1,7	
Akustiska parametrar	$p_{r,\alpha}$ vid z_{MI} (MPa)	#					
	P (mW)		#		32,1		#
	P_{1x1} (mW)		#		32,1		
	z_s (cm)			#			
	z_b (cm)					0,75	
	z_{MI} (cm)	#					
	$z_{pii,\alpha}$ (cm)	#					
	f_{awf} (MHz)	#	#		#		#
Övrig information	pr (Hz)	#					
	srr (Hz)	#					
	η_{pps}	#					
	$I_{pa,\alpha}$ vid $z_{pii,\alpha}$ (W/cm^2)	#					
	$I_{spta,\alpha}$ vid $z_{pii,\alpha}$ eller $z_{sii,\alpha}$ (mW/cm^2)	#					
	I_{spta} vid z_{pii} eller z_{sii} (mW/cm^2)	#					
p_r vid z_{pii} (MPa)	#						
Drift-reglage	Undersökningstyp				Vas/Ven/Nrv		
	Samplingsvolymens storlek (mm)				8		
	Samplingsvolymens position				Zon 7		
	PRF (Hz)				1953		

(a) Detta index krävs inte för detta driftsläge; värdet är < 1.

(b) Denna transduktor är inte avsedd för användning transkraniellt eller på huvudet på nyfödda.

Inga data rapporteras för detta driftförhållande eftersom det globala maximala indexvärdet inte rapporteras, av angiven orsak. (Referensrad för globalt maximalt indexvärde.)

— Data ej tillämpliga för denna transduktor/detta bildåtergivningsläge.

Tabell 44: Transduktormodell: L38xi Driftsläge: 2D

Indexbeteckning		MI	TIS		TIB		TIC
			Vid ytan	Under ytan	Vid ytan	Under ytan	Vid ytan
Maximalt indexvärde		1,5	(a)		(a)		(b)
Index komponentvärde			#	#	#	#	
Akustiska parametrar	$p_{r,\alpha}$ vid z_{MI} (MPa)	3,3					
	P (mW)		#		#		#
	P_{1x1} (mW)		#		#		
	z_s (cm)			—			
	z_b (cm)					—	
	z_{MI} (cm)	0,8					
	$z_{pii,\alpha}$ (cm)	0,8					
	f_{awf} (MHz)	4,82	#		#		#
Övrig information	pr_r (Hz)	1312					
	srr (Hz)	10,3					
	η_{pps}	1					
	$I_{pa,\alpha}$ vid $z_{pii,\alpha}$ (W/cm^2)	605					
	$I_{spta,\alpha}$ vid $z_{pii,\alpha}$ eller $z_{sii,\alpha}$ (mW/cm^2)	10,2					
	I_{spta} vid z_{pii} eller z_{sii} (mW/cm^2)	13,5					
	p_r vid z_{pii} (MPa)	3,79					
Drift-reglage	Undersökningstyp	Nrv					
	Optimering	Res					
	Djup (cm)	2,0					
	MB	Saknas					
	Nål-vision	På					

(a) Detta index krävs inte för detta driftsläge; värdet är < 1.

(b) Denna transduktor är inte avsedd för användning transkranieellt eller på huvudet på nyfödda.

Inga data rapporteras för detta driftförhållande eftersom det globala maximala indexvärdet inte rapporteras, av angiven orsak. (Referensrad för globalt maximalt indexvärde.)

— Data ej tillämpliga för denna transduktor/detta bildåtergivningssläge.

Tabell 45: Transduktormodell: L38xi Driftsläge: M Mode

Indexbeteckning		MI	TIS		TIB		TIC
			Vid ytan	Under ytan	Vid ytan	Under ytan	Vid ytan
Maximalt indexvärde		1,5	(a)		1,2		(b)
Index komponentvärde			#	#	0,9	1,2	
Akustiska parametrar	$p_{r,\alpha}$ vid z_{MI} (MPa)	3,54					
	P (mW)		#		37,1		#
	P_{1x1} (mW)		#		37,1		
	z_s (cm)			#			
	z_b (cm)					0,9	
	z_{MI} (cm)	1,0					
	$z_{pii,\alpha}$ (cm)	1,0					
	f_{awf} (MHz)	5,76	#		5,20		#
Övrig information	pr (Hz)	1600					
	srr (Hz)	—					
	η_{pps}	1					
	$I_{pa,\alpha}$ vid $z_{pii,\alpha}$ (W/cm^2)	776					
	$I_{spta,\alpha}$ vid $z_{pii,\alpha}$ eller $z_{sii,\alpha}$ (mW/cm^2)	181,8					
	I_{spta} vid z_{pii} eller z_{sii} (mW/cm^2)	280,5					
	p_r vid z_{pii} (MPa)	4,32					
Drift-reglage	Undersökningstyp	Art			Art		
	Optimering	Gen			Pen		
	Djup (cm)	4,7			7,3		

(a) Detta index krävs inte för detta driftsläge; värdet är < 1.

(b) Denna transduktor är inte avsedd för användning transkraniellt eller på huvudet på nyfödda.

Inga data rapporteras för detta driftförhållande eftersom det globala maximala indexvärdet inte rapporteras, av angiven orsak. (Referensrad för globalt maximalt indexvärde.)

— Data ej tillämpliga för denna transduktor/detta bildåtergivningsläge.

Tabell 46: Transduktormodell: L38xi Driftsläge: Color/CPD

Indexbeteckning	MI	TIS		TIB		TIC
		Vid ytan	Under ytan	Vid ytan	Under ytan	Vid ytan
Maximalt indexvärde	1,5	1,1		1,1		(b)
Index komponentvärde		1,1	1,1	1,1	1,1	
Akustiska parametrar	$p_{r,\alpha}$ vid z_{MI} (MPa)	3,3				
	P (mW)		64,7	64,7		#
	$P_{1 \times 1}$ (mW)		49,0	49,0		
	z_s (cm)		—			
	z_b (cm)				—	
	z_{MI} (cm)	0,8				
	$z_{pii,\alpha}$ (cm)	0,8				
	f_{awf} (MHz)	4,82	4,83		4,83	
Övrig information	p_{rr} (Hz)	2190				
	s_{rr} (Hz)	4,5				
	n_{pps}	16				
	$I_{pa,\alpha}$ vid $z_{pii,\alpha}$ (W/cm^2)	605				
	$I_{spta,\alpha}$ vid $z_{pii,\alpha}$ eller $z_{sii,\alpha}$ (mW/cm^2)	35,6				
	I_{spta} vid z_{pii} eller z_{sii} (mW/cm^2)	47,4				
	p_r vid z_{pii} (MPa)	3,79				
Drift-reglage	Undersökningstyp	Art	Ven		Ven	
	Läge	CVD	CVD		CVD	
	2D-optimering/djup (cm)	Pen/2,0	Pen/3,1		Pen/3,1	
	Färgoptimering/PRF (Hz)	Låg/393	Låg/2315		Låg/2315	
	Färgrutans läge/storlek	Stand./stand.	Underkant/kort-smal		Underkant/kort-smal	

(a) Detta index krävs inte för detta driftsläge; värdet är < 1.
(b) Denna transduktor är inte avsedd för användning transkraniellt eller på huvudet på nyfödda.
Inga data rapporteras för detta driftförhållande eftersom det globala maximala indexvärdet inte rapporteras, av angiven orsak. (Referensrad för globalt maximalt indexvärde.)
— Data ej tillämpliga för denna transduktor/detta bildåtergivningsläge.

Tabell 47: Transduktormodell: L38xi Driftsläge: PW Doppler

Indexbeteckning		MI	TIS		TIB		TIC
			Vid ytan	Under ytan	Vid ytan	Under ytan	Vid ytan
Maximalt indexvärde		1,3	2,6		3,7		(b)
Index komponentvärde			2,6	1,8	2,6	3,7	
Akustiska parametrar	$p_{r,\alpha}$ vid z_{MI} (MPa)	2,59					
	P (mW)		114,5		114,5		#
	P_{1x1} (mW)		114,5		114,5		
	z_s (cm)			1,2			
	z_b (cm)					1,2	
	z_{MI} (cm)	0,7					
	$z_{pii,\alpha}$ (cm)	0,7					
	f_{awf} (MHz)	4,06	4,78		4,78		#
Övrig information	pr (Hz)	1008					
	srr (Hz)	—					
	η_{pps}	1					
	$I_{pa,\alpha}$ vid $z_{pii,\alpha}$ (W/cm^2)	32,3					
	$I_{spta,\alpha}$ vid $z_{pii,\alpha}$ eller $z_{sii,\alpha}$ (mW/cm^2)	399,8					
	I_{spta} vid z_{pii} eller z_{sii} (mW/cm^2)	495,1					
	p_r vid z_{pii} (MPa)	2,86					
Drift-reglage	Undersökningstyp	Art	Nrv		Nrv		
	Samplingsvolymens storlek (mm)	1	1		1		
	Samplingsvolymens position	Zon 0	Zon 7		Zon 7		
	PRF (Hz)	1008	10 417		10 417		

(a) Detta index krävs inte för detta driftsläge; värdet är < 1.

(b) Denna transduktor är inte avsedd för användning transkraniellt eller på huvudet på nyfödda.

Inga data rapporteras för detta driftförhållande eftersom det globala maximala indexvärdet inte rapporteras, av angiven orsak. (Referensrad för globalt maximalt indexvärde.)

— Data ej tillämpliga för denna transduktor/detta bildåtergivningsläge.

Tabell 48: Transduktormodell: P10x Driftsläge: Color

Indexbeteckning	MI	TIS		TIB		TIC
		Vid ytan	Under ytan	Vid ytan	Under ytan	Vid ytan
Maximalt indexvärde	(a)	(a)		(a)		1,1
Index komponentvärde		#	#	#	#	
Akustiska parametrar	$p_{r,\alpha}$ vid z_{MI} (MPa)	#				
	P (mW)		#	#		42,2
	$P_{1 \times 1}$ (mW)		#	#		
	z_s (cm)			—		
	z_b (cm)				—	
	z_{MI} (cm)	#				
	$z_{pii,\alpha}$ (cm)	#				
	f_{awf} (MHz)	#	#	#	#	3,89
Övrig information	p_{rr} (Hz)	#				
	s_{rr} (Hz)	#				
	η_{pps}	#				
	$I_{pa,\alpha}$ vid $z_{pii,\alpha}$ (W/cm^2)	#				
	$I_{spta,\alpha}$ vid $z_{pii,\alpha}$ eller $z_{sii,\alpha}$ (mW/cm^2)	#				
	I_{spta} vid z_{pii} eller z_{sii} (mW/cm^2)	#				
	p_r vid z_{pii} (MPa)	#				
Drift-reglage	Undersökningstyp					Crd
	Läge					CVD
	2D-optimering/djup (cm)/sektorbredd					Pen/8,9/ smal
	Färgoptimering/PRF (Hz)					Låg/2033
	Färgrutans läge/storlek					Överkant/ kort-bred

(a) Detta index krävs inte för detta driftsläge; värdet är < 1.

(b) Denna transduktor är inte avsedd för användning transkraniellt eller på huvudet på nyfödda.

Inga data rapporteras för detta driftförhållande eftersom det globala maximala indexvärdet inte rapporteras, av angiven orsak. (Referensrad för globalt maximalt indexvärde.)

— Data ej tillämpliga för denna transduktor/detta bildåtergivningsläge.

Tabell 49: Transduktormodell: P10x Driftsläge: CW Doppler

Indexbeteckning		MI	TIS		TIB		TIC
			Vid ytan	Under ytan	Vid ytan	Under ytan	Vid ytan
Maximalt indexvärde		(a)	(a)		1,8		1,7
Index komponentvärde			#	#	0,7	1,8	
Akustiska parametrar	$p_{r,\alpha}$ vid z_{MI} (MPa)	#					
	P (mW)		#		34,8		25,7
	P_{1x1} (mW)		#		34,8		
	z_s (cm)			#			
	z_b (cm)					0,70	
	z_{MI} (cm)	#					
	$z_{pii,\alpha}$ (cm)	#					
	f_{awf} (MHz)	#	#		4,00		4,00
Övrig information	pr (Hz)	#					
	srr (Hz)	#					
	η_{pps}	#					
	$I_{pa,\alpha}$ vid $z_{pii,\alpha}$ (W/cm^2)	#					
	$I_{spta,\alpha}$ vid $z_{pii,\alpha}$ eller $z_{sii,\alpha}$ (mW/cm^2)	#					
	I_{spta} vid z_{pii} eller z_{sii} (mW/cm^2)	#					
p_r vid z_{pii} (MPa)	#						
Drift-reglage	Undersökningstyp				Crd		Crd
	Samplingsvolymens position				Zon 3		Zon 0

(a) Detta index krävs inte för detta driftsläge; värdet är < 1.

(b) Denna transduktor är inte avsedd för användning transkranieellt eller på huvudet på nyfödda.

Inga data rapporteras för detta driftförhållande eftersom det globala maximala indexvärdet inte rapporteras, av angiven orsak. (Referensrad för globalt maximalt indexvärde.)

— Data ej tillämpliga för denna transduktor/detta bildåtergivningsläge.

Tabell 50: Transduktormodell: P10x Driftsläge: PW Doppler

Indexbeteckning		MI	TIS		TIB		TIC
			Vid ytan	Under ytan	Vid ytan	Under ytan	Vid ytan
Maximalt indexvärde		1,0	1,1		1,9		1,5
Index komponentvärde			1,1	0,6	0,6	1,9	
Akustiska parametrar	$p_{r,\alpha}$ vid z_{MI} (MPa)	1,92					
	P (mW)		34,4		31,9		26,9
	P_{1x1} (mW)		34,4		31,9		
	z_s (cm)			1,4			
	z_b (cm)					0,90	
	z_{MI} (cm)	2,1					
	$z_{pii,\alpha}$ (cm)	2,1					
f_{awf} (MHz)	3,87		6,86		3,84		3,86
Övrig information	pr (Hz)	1562					
	srr (Hz)	—					
	n_{pps}	1					
	$I_{pa,\alpha}$ vid $z_{pii,\alpha}$ (W/cm^2)	200					
	$I_{spta,\alpha}$ vid $z_{pii,\alpha}$ eller $z_{sii,\alpha}$ (mW/cm^2)	400,0					
	I_{spta} vid z_{pii} eller z_{sii} (mW/cm^2)	729,9					
	p_r vid z_{pii} (MPa)	2,54					
Drift-reglage	Undersökningstyp	Crđ	Crđ		Abđ		Crđ
	Samplingsvolymens storlek (mm)	1	7		12		1
	Samplingsvolymens position	Zon 2	Zon 6		Zon 1		Zon 0
	PRF (Hz)	1562	1008		1953		15 625
	TDI	Av	På		Av		Av

(a) Detta index krävs inte för detta driftsläge; värdet är < 1.

(b) Denna transduktor är inte avsedd för användning transkraniellt eller på huvudet på nyfödda.

Inga data rapporteras för detta driftförhållande eftersom det globala maximala indexvärdet inte rapporteras, av angiven orsak. (Referensrad för globalt maximalt indexvärde.)

— Data ej tillämpliga för denna transduktor/detta bildåtergivningsläge.

Tabell 51: Transduktormodell: rC60xi, Driftsläge: 2D

Indexbeteckning		MI	TIS		TIB		TIC
			Vid ytan	Under ytan	Vid ytan	Under ytan	Vid ytan
Maximalt indexvärde		1,5	(a)		(a)		(b)
Index komponentvärde			#	#	#	#	
Akustiska parametrar	$p_{r,\alpha}$ vid z_{MI} (MPa)	2,31					
	P (mW)		#		#		#
	$P_{1 \times 1}$ (mW)		#		#		
	z_s (cm)			—			
	z_b (cm)					—	
	z_{MI} (cm)	4,3					
	$z_{pii,\alpha}$ (cm)	4,3					
	f_{awf} (MHz)	2,36	#		#		#
Övrig information	pr (Hz)	3584					
	srr (Hz)	28,0					
	η_{pps}	1					
	$I_{pa,\alpha}$ vid $z_{pii,\alpha}$ (W/cm ²)	356					
	$I_{spta,\alpha}$ vid $z_{pii,\alpha}$ eller $z_{sii,\alpha}$ (mW/cm ²)	24,1					
	I_{spta} vid z_{pii} eller z_{sii} (mW/cm ²)	44,9					
	p_r vid z_{pii} (MPa)	3,29					
Drift-reglage	Undersökningstyp	Abd					
	Optimering	Res					
	Djup (cm)	11					
	MB (flerstråle)	Av					
	THI	På					

(a) Detta index krävs inte för detta driftsläge; värdet är < 1.

(b) Denna transduktor är inte avsedd för användning transkranieellt eller på huvudet på nyfödda.

Inga data rapporteras för detta driftförhållande eftersom det globala maximala indexvärdet inte rapporteras, av angiven orsak. (Referensrad för globalt maximalt indexvärde.)

— Data ej tillämpliga för denna transduktor/detta bildåtergivningsläge.

Tabell 52: Transduktormodell: rC60xi, Driftsläge: M Mode

Indexbeteckning	MI	TIS		TIB		TIC
		Vid ytan	Under ytan	Vid ytan	Under ytan	Vid ytan
Maximalt indexvärde	1,3	(a)		1,0		(b)
Index komponentvärde		#	#	0,36	1,00	
Akustiska parametrar	$p_{r,\alpha}$ vid z_{MI} (MPa)	2,18				
	P (mW)		#	69,8		#
	P_{1x1} (mW)		#	25,9		
	z_s (cm)			#		
	z_b (cm)				4,2	
	z_{MI} (cm)	4,3				
	$z_{pii,\alpha}$ (cm)	4,3				
	f_{awf} (MHz)	2,66	#	2,89		#
Övrig information	pr_r (Hz)	800				
	srr (Hz)	—				
	η_{pps}	1				
	$I_{pa,\alpha}$ vid $z_{pii,\alpha}$ (W/cm^2)	290				
	$I_{spta,\alpha}$ vid $z_{pii,\alpha}$ eller $z_{sii,\alpha}$ (mW/cm^2)	144,2				
	I_{spta} vid z_{pii} eller z_{sii} (mW/cm^2)	328,2				
	p_r vid z_{pii} (MPa)	3,25				
Drift-reglage	Undersökningstyp	Abd		Msk		
	Optimering	Pen		Pen		
	Djup (cm)	6,6		9,2		
	THI	Av		Av		

(a) Detta index krävs inte för detta driftsläge; värdet är < 1.

(b) Denna transduktor är inte avsedd för användning transkraniellt eller på huvudet på nyfödda.

Inga data rapporteras för detta driftförhållande eftersom det globala maximala indexvärdet inte rapporteras, av angiven orsak. (Referensrad för globalt maximalt indexvärde.)

— Data ej tillämpliga för denna transduktor/detta bildåtergivningssläge.

Tabell 53: Transduktormodell: rC60xi Driftsläge: Color/CPD

Indexbeteckning		MI	TIS		TIB		TIC
			Vid ytan	Under ytan	Vid ytan	Under ytan	Vid ytan
Maximalt indexvärde		1,5	1,2		1,2		(b)
Index komponentvärde			1,2	1,2	1,2	1,2	
Akustiska parametrar	$p_{r,\alpha}$ vid z_{MI} (MPa)	2,21					
	P (mW)		185,8		185,8		#
	$P_{1 \times 1}$ (mW)		107,5		107,5		
	z_s (cm)			—			
	z_b (cm)					—	
	z_{MI} (cm)	4,3					
	$z_{pii,\alpha}$ (cm)	4,3					
	f_{awf} (MHz)	2,22	2,21		2,21		#
Övrig information	pr (Hz)	1265					
	srr (Hz)	9,89					
	n_{pps}	1					
	$I_{pa,\alpha}$ vid $z_{pii,\alpha}$ (W/cm^2)	342					
	$I_{spta,\alpha}$ vid $z_{pii,\alpha}$ eller $z_{sii,\alpha}$ (mW/cm^2)	8,9					
	I_{spta} vid z_{pii} eller z_{sii} (mW/cm^2)	15,8					
	p_r vid z_{pii} (MPa)	3,07					
Drift-reglage	Undersökningstyp	Abd	Abd		Abd		
	Läge	CVD	CVD		CVD		
	2D-optimering/djup (cm)/THI	Gen/11/På	Gen/4,7/Av		Gen/4,7/Av		
	Färgoptimering/PRF (Hz)	Låg/342	Hög/3125		Hög/3125		
	Färgrutans läge/storlek	Underkant/hög-smal	Underkant/hög-smal		Underkant/hög-smal		

(a) Detta index krävs inte för detta driftsläge; värdet är < 1.

(b) Denna transduktor är inte avsedd för användning transkranieellt eller på huvudet på nyfödda.

Inga data rapporteras för detta driftförhållande eftersom det globala maximala indexvärdet inte rapporteras, av angiven orsak. (Referensrad för globalt maximalt indexvärde.)

— Data ej tillämpliga för denna transduktor/detta bildåtergivningsläge.

Tabell 54: Transduktormodell: rC60xi, Driftsläge: PW Doppler

Indexbeteckning		MI	TIS		TIB		TIC
			Vid ytan	Under ytan	Vid ytan	Under ytan	Vid ytan
Maximalt indexvärde		1,2	2,0		4,0		(b)
Index komponentvärde			0,7	2,0	0,8	4,0	
Akustiska parametrar	$p_{r,\alpha}$ vid z_{MI} (MPa)	1,73					
	P (mW)		386,5		291,8		#
	P_{1x1} (mW)		67,5		74,2		
	z_s (cm)			4,0			
	z_b (cm)					3,6	
	z_{MI} (cm)	4,5					
	$z_{pii,\alpha}$ (cm)	4,5					
	f_{awf} (MHz)	2,2	2,23		2,23		#
Övrig information	pr (Hz)	1302					
	srr (Hz)	—					
	η_{pps}	1					
	$I_{pa,\alpha}$ vid $z_{pii,\alpha}$ (W/cm^2)	267					
	$I_{spta,\alpha}$ vid $z_{pii,\alpha}$ eller $z_{sii,\alpha}$ (mW/cm^2)	399,7					
	I_{spta} vid z_{pii} eller z_{sii} (mW/cm^2)	793,3					
	p_r vid z_{pii} (MPa)	2,43					
Drift-reglage	Undersökningstyp	Abd	Abd		Abd		
	Samplingsvolymens storlek (mm)	3	7		7		
	Samplingsvolymens position	Zon 3	Zon 6		Zon 5		
	PRF (Hz)	1302	2604		2604		

(a) Detta index krävs inte för detta driftsläge; värdet är < 1.

(b) Denna transduktor är inte avsedd för användning transkraniellt eller på huvudet på nyfödda.

Inga data rapporteras för detta driftförhållande eftersom det globala maximala indexvärdet inte rapporteras, av angiven orsak. (Referensrad för globalt maximalt indexvärde.)

— Data ej tillämpliga för denna transduktor/detta bildåtergivningssläge.

Tabell 55: Transduktormodell: rP19x (Orbital användning) Driftsläge: 2D

Indexbeteckning		MI	TIS		TIB		TIC
			Vid ytan	Under ytan	Vid ytan	Under ytan	Vid ytan
Maximalt indexvärde		0,17	0,03		0,03		0,07
Index komponentvärde			0,03	0,03	0,03	0,03	
Akustiska parametrar	$p_{r,\alpha}$ vid z_{MI} (MPa)	0,25					
	P (mW)		4,4		4,4		4,7
	P_{1x1} (mW)		2,9		2,9		
	z_s (cm)			—			
	z_b (cm)					—	
	z_{MI} (cm)	3,4					
	$z_{pii,\alpha}$ (cm)	3,4					
	f_{awf} (MHz)	2,06	2,06		2,06		1,90
Övrig information	pr (Hz)	6413					
	srr (Hz)	15,6					
	η_{pps}	1					
	$I_{pa,\alpha}$ vid $z_{pii,\alpha}$ (W/cm^2)	4,1					
	$I_{spta,\alpha}$ vid $z_{pii,\alpha}$ eller $z_{sii,\alpha}$ (mW/cm^2)	0,4					
	I_{spta} vid z_{pii} eller z_{sii} (mW/cm^2)	0,6					
p_r vid z_{pii} (MPa)	0,31						
Drift- reglage	Undersökningstyp	Orb	Orb		Orb		Orb
	Optimering	Res	Res		Res		Gen
	Djup (cm)	4,7	4,7		4,7		16
	MB	Av	Av		Av		Av

(a) Detta index krävs inte för detta driftsläge; värdet är < 1.

(b) Denna transduktor är inte avsedd för användning transkraniellt eller på huvudet på nyfödda.

Inga data rapporteras för detta driftförhållande eftersom det globala maximala indexvärdet inte rapporteras, av angiven orsak. (Referensrad för globalt maximalt indexvärde.)

— Data ej tillämpliga för denna transduktor/detta bildåtergivningsläge.

Tabell 56: Transduktormodell: rP19x (Orbital användning) Driftsläge: M Mode

Indexbeteckning		MI	TIS		TIB		TIC
			Vid ytan	Under ytan	Vid ytan	Under ytan	Vid ytan
Maximalt indexvärde		0,17	0,009		0,020		0,021
Index komponentvärde			0,006	0,009	0,006	0,020	
Akustiska parametrar	$p_{r,\alpha}$ vid z_{MI} (MPa)	0,25					
	P (mW)		1,34		1,34		1,34
	P_{1x1} (mW)		0,67		0,67		
	z_s (cm)			2,5			
	z_b (cm)					3,15	
	z_{MI} (cm)	3,4					
	$z_{pii,\alpha}$ (cm)	3,4					
	f_{awf} (MHz)	2,06	1,83		1,83		1,83
Övrig information	pr (Hz)	800					
	srr (Hz)	—					
	η_{pps}	1					
	$I_{pa,\alpha}$ vid $z_{pii,\alpha}$ (W/cm^2)	4,05					
	$I_{spta,\alpha}$ vid $z_{pii,\alpha}$ eller $z_{sii,\alpha}$ (mW/cm^2)	1,7					
	I_{spta} vid z_{pii} eller z_{sii} (mW/cm^2)	2,7					
	p_r vid z_{pii} (MPa)	0,31					
Drift-reglage	Undersökningstyp	Orb	Orb		Orb		Orb
	Optimering	Res	Gen		Gen		Gen
	Djup (cm)	4,7	35		35		35

(a) Detta index krävs inte för detta driftsläge; värdet är < 1.

(b) Denna transduktor är inte avsedd för användning transkraniellt eller på huvudet på nyfödda.

Inga data rapporteras för detta driftförhållande eftersom det globala maximala indexvärdet inte rapporteras, av angiven orsak. (Referensrad för globalt maximalt indexvärde.)

— Data ej tillämpliga för denna transduktor/detta bildåtergivningsläge.

Tabell 57: Transduktormodell: rP19x (Orbital användning) Driftsläge: Color/CPD

Indexbeteckning		MI	TIS		TIB		TIC
			Vid ytan	Under ytan	Vid ytan	Under ytan	Vid ytan
Maximalt indexvärde		0,17	0,09		0,09		0,23
Index komponentvärde			0,09	0,09	0,09	0,09	
Akustiska parametrar	$p_{r,\alpha}$ vid z_{MI} (MPa)	0,25					
	P (mW)		15,47		15,47		15,50
	P_{1x1} (mW)		9,50		9,50		
	z_s (cm)			—			
	z_b (cm)					—	
	z_{MI} (cm)	0,7					
	$z_{pii,\alpha}$ (cm)	0,7					
	f_{awf} (MHz)	2,14	2,11		2,11		2,11
Övrig information	pr (Hz)	5443					
	srr (Hz)	15,9					
	η_{pps}	16					
	$I_{pa,\alpha}$ vid $z_{pii,\alpha}$ (W/cm^2)	1,82					
	$I_{spta,\alpha}$ vid $z_{pii,\alpha}$ eller $z_{sii,\alpha}$ (mW/cm^2)	3,2					
	I_{spta} vid z_{pii} eller z_{sii} (mW/cm^2)	3,5					
	p_r vid z_{pii} (MPa)	0,26					
Drift-reglage	Undersökningstyp	Orb	Orb		Orb		Orb
	Läge	CVD	CVD		CVD		CVD
	2D-optimering/djup (cm)	Gen/4,7	Gen/24		Gen/24		Gen/24
	Färgoptimering/PRF (Hz)	Låg/1157	Låg/3125		Låg/3125		Låg/3125
	Färgrutans läge/storlek	Stand./stand.	Överkant/kort-bred		Överkant/kort-bred		Överkant/kort-bred

(a) Detta index krävs inte för detta driftsläge; värdet är < 1.

(b) Denna transduktor är inte avsedd för användning transkranieellt eller på huvudet på nyfödda.

Inga data rapporteras för detta driftförhållande eftersom det globala maximala indexvärdet inte rapporteras, av angiven orsak. (Referensrad för globalt maximalt indexvärde.)

— Data ej tillämpliga för denna transduktor/detta bildåtergivningsläge.

Tabell 58: Transduktormodell: rP19x (Orbital användning) Driftsläge: PW Doppler

Indexbeteckning		MI	TIS		TIB		TIC
			Vid ytan	Under ytan	Vid ytan	Under ytan	Vid ytan
Maximalt indexvärde		0,18	0,27		0,59		0,57
Index komponentvärde			0,19	0,27	0,18	0,59	
Akustiska parametrar	$p_{r,\alpha}$ vid z_{MI} (MPa)	0,27					
	P (mW)		37,4		35,3		37,4
	P_{1x1} (mW)		17,5		17,0		
	z_s (cm)			2,5			
	z_b (cm)					3,35	
	z_{MI} (cm)	3,5					
	$z_{pii,\alpha}$ (cm)	3,5					
	f_{awf} (MHz)	2,23	2,23		2,23		2,23
Övrig information	pr (Hz)	1953					
	srr (Hz)	—					
	η_{pps}	1					
	$I_{pa,\alpha}$ vid $z_{pii,\alpha}$ (W/cm^2)	2,49					
	$I_{spta,\alpha}$ vid $z_{pii,\alpha}$ eller $z_{sii,\alpha}$ (mW/cm^2)	28,9					
	I_{spta} vid z_{pii} eller z_{sii} (mW/cm^2)	69,3					
	p_r vid z_{pii} (MPa)	0,36					
Drift-reglage	Undersökningstyp	Orb	Orb		Orb		Orb
	Samplingsvolymens storlek (mm)	5	14		14		14
	Samplingsvolymens position	Zon 6	Zon 7		Zon 5		Zon 7
	PRF (Hz)	1953	1953		1953		1953

(a) Detta index krävs inte för detta driftsläge; värdet är < 1.

(b) Denna transduktor är inte avsedd för användning transkraniellt eller på huvudet på nyfödda.

Inga data rapporteras för detta driftförhållande eftersom det globala maximala indexvärdet inte rapporteras, av angiven orsak. (Referensrad för globalt maximalt indexvärde.)

— Data ej tillämpliga för denna transduktor/detta bildåtergivningsläge.

Tabell 59: Transduktormodell: rP19x Driftsläge: 2D

Indexbeteckning		MI	TIS		TIB		TIC
			Vid ytan	Under ytan	Vid ytan	Under ytan	Vid ytan
Maximalt indexvärde		1,5	1,0		1,0		2,7
Index komponentvärde			1,0	1,0	1,0	1,0	
Akustiska parametrar	$p_{r,\alpha}$ vid z_{MI} (MPa)	2,1					
	P (mW)		152,6		152,6		177,8
	P_{1x1} (mW)		96,1		96,1		
	z_s (cm)			—			
	z_b (cm)					—	
	z_{MI} (cm)	4,8					
	$z_{pii,\alpha}$ (cm)	4,8					
	f_{awf} (MHz)	1,99	2,08		2,08		1,53
Övrig information	pr (Hz)	6186					
	srr (Hz)	48,3					
	η_{pps}	1					
	$I_{pa,\alpha}$ vid $z_{pii,\alpha}$ (W/cm ²)	184					
	$I_{spta,\alpha}$ vid $z_{pii,\alpha}$ eller $z_{sii,\alpha}$ (mW/cm ²)	25,4					
	I_{spta} vid z_{pii} eller z_{sii} (mW/cm ²)	38,6					
	p_r vid z_{pii} (MPa)	2,92					
Drift-reglage	Undersökningstyp	Abd	Crd		Crd		Crd
	Optimering	Gen	Res		Res		Pen
	Djup (cm)	10	10		10		4,7
	MB/THI	Av/Av	Av/På		Av/På		Av/På
	Sektorns bredd	Saknas	Smal		Smal		Saknas

(a) Detta index krävs inte för detta driftsläge; värdet är < 1.

(b) Denna transduktor är inte avsedd för användning transkranieellt eller på huvudet på nyfödda.

Inga data rapporteras för detta driftförhållande eftersom det globala maximala indexvärdet inte rapporteras, av angiven orsak. (Referensrad för globalt maximalt indexvärde.)

— Data ej tillämpliga för denna transduktor/detta bildåtergivningsläge.

Tabell 60: Transduktormodell: rP19x, Driftsläge: M Mode

Indexbeteckning	MI	TIS		TIB		TIC
		Vid ytan	Under ytan	Vid ytan	Under ytan	Vid ytan
Maximalt indexvärde	1,5	(a)		1,7		1,0
Index komponentvärde		#	#	0,2	1,7	
Akustiska parametrar	$p_{r,\alpha}$ vid z_{MI} (MPa)	2,1				
	P (mW)		#	55,0		62,1
	P_{1x1} (mW)		#	28,5		
	z_s (cm)			#		
	z_b (cm)				4,33	
	z_{MI} (cm)	4,8				
	$z_{pii,\alpha}$ (cm)	4,8				
	f_{awf} (MHz)	1,99	#	1,81		1,77
Övrig information	pr_r (Hz)	800				
	srr (Hz)	—				
	η_{pps}	1				
	$I_{pa,\alpha}$ vid $z_{pii,\alpha}$ (W/cm^2)	184				
	$I_{spta,\alpha}$ vid $z_{pii,\alpha}$ eller $z_{sii,\alpha}$ (mW/cm^2)	73,5				
	I_{spta} vid z_{pii} eller z_{sii} (mW/cm^2)	140,8				
	p_r vid z_{pii} (MPa)	2,92				
Drift-reglage	Undersökningstyp	TCD		Abd		Abd
	Optimering	Gen		Res		Res
	Djup (cm)	7,5		10		16
	THI	Av		På		På

(a) Detta index krävs inte för detta driftsläge; värdet är < 1.

(b) Denna transduktor är inte avsedd för användning transkraniellt eller på huvudet på nyfödda.

Inga data rapporteras för detta driftförhållande eftersom det globala maximala indexvärdet inte rapporteras, av angiven orsak. (Referensrad för globalt maximalt indexvärde.)

— Data ej tillämpliga för denna transduktor/detta bildåtergivningssläge.

Tabell 61: Transduktormodell: rP19x, Driftsläge: Color/CPD

Indexbeteckning		MI	TIS		TIB		TIC
			Vid ytan	Under ytan	Vid ytan	Under ytan	Vid ytan
Maximalt indexvärde		1,5	1,2		1,2		2,5
Index komponentvärde			1,2	1,2	1,2	1,2	
Akustiska parametrar	$p_{r,\alpha}$ vid z_{MI} (MPa)	2,1					
	P (mW)		128,0		128,0		170,5
	$P_{1 \times 1}$ (mW)		115,6		115,6		
	z_s (cm)			—			
	z_b (cm)					—	
	z_{MI} (cm)	4,8					
	$z_{pii,\alpha}$ (cm)	4,8					
	f_{awf} (MHz)	1,99	2,14		2,14		2,12
Övrig information	p_{rr} (Hz)	505					
	s_{rr} (Hz)	7,9					
	n_{pps}	1					
	$I_{pa,\alpha}$ vid $z_{pii,\alpha}$ (W/cm^2)	184					
	$I_{spta,\alpha}$ vid $z_{pii,\alpha}$ eller $z_{sii,\alpha}$ (mW/cm^2)	2,1					
	I_{spta} vid z_{pii} eller z_{sii} (mW/cm^2)	3,2					
	p_r vid z_{pii} (MPa)	2,92					
Drift-reglage	Undersökningstyp	Abd	TCD		TCD		Crđ
	Läge/THI	CVD/Av	CVD/Av		CVD/Av		CVD/På
	2D-optimering/djup (cm)/sektorbredd	Gen/10/saknas	Pen/7,5/saknas		Pen/7,5/saknas		Gen/16/smal
	Färgoptimering/PRF (Hz)	Låg/300	Låg/3125		Låg/3125		Hög/5208
	Färgrutans läge/storlek	Stand./stand.	Stand./smal		Stand./smal		Stand./stand.

(a) Detta index krävs inte för detta driftsläge; värdet är < 1.

(b) Denna transduktor är inte avsedd för användning transkranieellt eller på huvudet på nyfödda.

Inga data rapporteras för detta driftförhållande eftersom det globala maximala indexvärdet inte rapporteras, av angiven orsak. (Referensrad för globalt maximalt indexvärde.)

— Data ej tillämpliga för denna transduktor/detta bildåtergivningsläge.

Tabell 62: Transduktormodell: rP19x, Driftsläge: CW Doppler

Indexbeteckning		MI	TIS		TIB		TIC
			Vid ytan	Under ytan	Vid ytan	Under ytan	Vid ytan
Maximalt indexvärde		(a)	1,2		4,0		4,0
Index komponentvärde			1,2	1,1	1,2	4,0	
Akustiska parametrar	$p_{r,\alpha}$ vid z_{MI} (MPa)	#					
	P (mW)		125,4		125,4		125,4
	P_{1x1} (mW)		125,4		125,4		
	z_s (cm)			0,9			
	z_b (cm)					0,9	
	z_{MI} (cm)	#					
	$z_{pii,\alpha}$ (cm)	#					
	f_{awf} (MHz)	#	2,00		2,00		2,00
Övrig information	pr (Hz)	#					
	srr (Hz)	#					
	η_{pps}	#					
	$I_{pa,\alpha}$ vid $z_{pii,\alpha}$ (W/cm^2)	#					
	$I_{spta,\alpha}$ vid $z_{pii,\alpha}$ eller $z_{sii,\alpha}$ (mW/cm^2)	#					
	I_{spta} vid z_{pii} eller z_{sii} (mW/cm^2)	#					
	p_r vid z_{pii} (MPa)	#					
Drift-reglage	Undersökningstyp		Crd		Crd		Crd
	Samplingsvolymens position		Zon 0		Zon 0		Zon 0

(a) Detta index krävs inte för detta driftsläge; värdet är < 1.

(b) Denna transduktor är inte avsedd för användning transkraniellt eller på huvudet på nyfödda.

Inga data rapporteras för detta driftförhållande eftersom det globala maximala indexvärdet inte rapporteras, av angiven orsak. (Referensrad för globalt maximalt indexvärde.)

— Data ej tillämpliga för denna transduktor/detta bildåtergivningsläge.

Tabell 63: Transduktormodell: rP19x, Driftsläge: PW Doppler

Indexbeteckning		MI	TIS		TIB		TIC
			Vid ytan	Under ytan	Vid ytan	Under ytan	Vid ytan
Maximalt indexvärde		1,3	1,8		4,0		3,9
Index komponentvärde			1,3	1,8	1,2	4,0	
Akustiska parametrar	$p_{r,\alpha}$ vid z_{MI} (MPa)	1,94					
	P (mW)		253,7		240,2		251,1
	$P_{1 \times 1}$ (mW)		118,6		116,0		
	z_s (cm)			2,5			
	z_b (cm)					3,35	
	z_{MI} (cm)	3,0					
	$z_{pii,\alpha}$ (cm)	3,0					
	f_{awf} (MHz)	2,14	2,23		2,23		2,10
Övrig information	pr (Hz)	1562					
	srr (Hz)	—					
	η_{pps}	1					
	$I_{pa,\alpha}$ vid $z_{pii,\alpha}$ (W/cm^2)	180					
	$I_{spta,\alpha}$ vid $z_{pii,\alpha}$ eller $z_{sii,\alpha}$ (mW/cm^2)	374,9					
	I_{spta} vid z_{pii} eller z_{sii} (mW/cm^2)	594,7					
	p_r vid z_{pii} (MPa)	2,42					
Drift-reglage	Undersökningstyp	Crd	Crd		Crd		Crd
	Samplingsvolymens storlek (mm)	1	12		1		1
	Samplingsvolymens position	Zon 1	Zon 7		Zon 5		Zon 5
	PRF (Hz)	1562	1562		39 062		39 062
	TDI	Av	Av		Av		Av

(a) Detta index krävs inte för detta driftsläge; värdet är < 1.

(b) Denna transduktor är inte avsedd för användning transkranieellt eller på huvudet på nyfödda.

Inga data rapporteras för detta driftförhållande eftersom det globala maximala indexvärdet inte rapporteras, av angiven orsak. (Referensrad för globalt maximalt indexvärde.)

— Data ej tillämpliga för denna transduktor/detta bildåtergivningssläge.

Tabell 64: Transduktormodell: TEExi Funktionsläge: CW Doppler

Indexbeteckning		MI	TIS		TIB		TIC
			Vid ytan	Under ytan	Vid ytan	Under ytan	Vid ytan
Maximalt indexvärde		(a)	(a)		1,7		(b)
Index komponentvärde			#	#	0,7	1,7	
Akustiska parametrar	$p_{r,\alpha}$ vid z_{MI} (MPa)	#					
	P (mW)		#		34,4		#
	P_{1x1} (mW)		#		34,4		
	z_s (cm)			#			
	z_b (cm)					1,10	
	z_{MI} (cm)	#					
	$z_{pii,\alpha}$ (cm)	#					
	f_{awf} (MHz)	#	#		4,00		#
Övrig information	pr_r (Hz)	#					
	srr (Hz)	#					
	η_{pps}	#					
	$I_{pa,\alpha}$ vid $z_{pii,\alpha}$ (W/cm^2)	#					
	$I_{spta,\alpha}$ vid $z_{pii,\alpha}$ eller $z_{sii,\alpha}$ (mW/cm^2)	#					
	I_{spta} vid z_{pii} eller z_{sii} (mW/cm^2)	#					
	p_r vid z_{pii} (MPa)	#					
Drift-reglage	Undersökningstyp				Crd		
	Samplingsvolym				Zon 2		

(a) Detta index krävs inte för detta driftsläge; värdet är < 1.

(b) Denna transduktor är inte avsedd för användning transkraniellt eller på huvudet på nyfödda.

Inga data rapporteras för detta driftförhållande eftersom det globala maximala indexvärdet inte rapporteras, av angiven orsak. (Referensrad för globalt maximalt indexvärde.)

— Data ej tillämpliga för denna transduktor/detta bildåtergivningsläge.

Tabell 65: Transduktormodell: TEExi Funktionsläge: PW Doppler

Indexbeteckning		MI	TIS		TIB		TIC
			Vid ytan	Under ytan	Vid ytan	Under ytan	Vid ytan
Maximalt indexvärde		(a)	(a)		1,4		(b)
Index komponentvärde			#	#	0,7	1,4	
Akustiska parametrar	$p_{r,\alpha}$ vid z_{MI} (MPa)	#					
	P (mW)		#		35,8		#
	P_{1x1} (mW)		#		35,8		
	z_s (cm)			#			
	z_b (cm)					2,57	
	z_{MI} (cm)	#					
	$z_{pii,\alpha}$ (cm)	#					
	f_{awf} (MHz)	#	#		3,81		#
Övrig information	pr (Hz)	#					
	srr (Hz)	#					
	η_{pps}	#					
	$I_{pa,\alpha}$ vid $z_{pii,\alpha}$ (W/cm^2)	#					
	$I_{spta,\alpha}$ vid $z_{pii,\alpha}$ eller $z_{sii,\alpha}$ (mW/cm^2)	#					
	I_{spta} vid z_{pii} eller z_{sii} (mW/cm^2)	#					
p_r vid z_{pii} (MPa)	#						
Drift-reglage	Undersökningstyp				Crd		
	Samplingsvolymens storlek (mm)				1		
	Samplingsvolymens position				Zon 3		
	PRF (Hz)				2604		

(a) Detta index krävs inte för detta driftsläge; värdet är < 1.

(b) Denna transduktor är inte avsedd för användning transkraniellt eller på huvudet på nyfödda.

Inga data rapporteras för detta driftförhållande eftersom det globala maximala indexvärdet inte rapporteras, av angiven orsak. (Referensrad för globalt maximalt indexvärde.)

— Data ej tillämpliga för denna transduktor/detta bildåtergivningsläge.

Termer som används i tabellerna över akustisk uteffekt

Tabell 66: Termer som används i tabellerna över akustisk uteffekt

Term	Definition
α	Dämpningskoefficient som används för omräkning. Motsvarar 0,3 dB/cm/MHz ² .
f_{awf}	Akustisk arbetsfrekvens.
$I_{pa,\alpha}$	Dämpad pulsmedelintensitet.
I_{spta}	Spatialtopp, temporal medelintensitet.
$I_{spta,\alpha}$	Dämpad spatialtopp, temporal medelintensitet.
MI	Mekaniskt index.
P	Uteffekt.
$P_{1 \times 1}$	Maximal uteffekt per kvadratcentimeter.
$p_{r,\alpha}$	Dämpat topp-förtunning av akustiskt tryck.
p_r	Topp-förtunning av akustiskt tryck.
p_{ii}	Pulsintensitetsintegral.
$p_{ii,\alpha}$	Dämpad pulsintensitetsintegral.
n_{pps}	Antal pulser per ultraljudsskanningslinje.
pr	Pulsrepetitionsfrekvens.
srr	Skanningsrepetitionsfrekvens.
TI	Termiskt index.
TIB	Termiskt index för ben.
TIC	Termiskt index för kranialben.
TIS	Termiskt index för mjukvävnad.
z_b	Djup för TIB .
z_{MI}	Djup för mekaniskt index.
$z_{p_{ii}}$	Djup för topp pulsintensitetsintegral.
$z_{p_{ii,\alpha}}$	Djup för topp dämpad pulsintensitetsintegral.

Tabell 66: Termer som används i tabellerna över akustisk uteffekt

Term	Definition
Z_{sii}	Djup för toppsumma av pulsintensitetsintegraler.
$Z_{sii,\alpha}$	Djup för toppsumma av dämpad pulsintensitetsintegraler.
Z_s	Djup för TIS.

Ordlista (SonoSite Edge II)

Termen IMT har tagits bort från listan med förkortningar i användarhandboken för SonoSite Edge II. Revideringarna införs vid nästa uppdatering.

Παροράματα εγχειριδίου χρήσης του SonoSite Edge II και του SonoSite SII

Εισαγωγή	370
Συμβάσεις εγγράφου	370
Λήψη βοήθειας	371
Λήψη βοήθειας (SonoSite Edge II)	371
Γνωριμία με το σύστημα	371
Χρήσεις για τις οποίες προορίζεται	372
Ρύθμιση συστήματος	372
Ρυθμίσεις συνδεσιμότητας (SonoSite SII)	372
Ρύθμιση συνδεσιμότητας (SonoSite Edge II)	372
Ρυθμίσεις κατάστασης δικτύου	372
Απεικόνιση	372
Διαθέσιμοι τρόποι λειτουργίας απεικόνισης και διαθέσιμες εξετάσεις ανά μορφοτροπία (SonoSite SII) ..	373
Μετρήσεις και υπολογισμοί (SonoSite SII)	373
Γενικοί υπολογισμοί	373
Τιμές αναφοράς μέτρησης (SonoSite SII)	374
Ακρίβεια μέτρησης	374
Δημοσιεύσεις μετρήσεων και ορολογία	375
Καθαρισμός και απολύμανση	376
Ασφάλεια	376
Κλινική ασφάλεια	376
Ηλεκτρομαγνητική συμβατότητα	377
Ασύρματη μετάδοση	379
Dongle USB ασύρματης σύνδεσης (Panda)	379
Μονάδα ασφαλείας ασύρματης σύνδεσης (Laird)	380
Σύμβολα επισήμανσης	392
Προδιαγραφές	400
Υποστηριζόμενοι μορφοτροπείς (SonoSite SII)	400
Πρότυπα	401
Πρότυπα ηλεκτρομηχανικής ασφαλείας	401
Ακουστική έξοδος	402
Αρχή ALARA	402
Εφαρμογή της αρχής ALARA	402
Άμεσα πλήκτρα ελέγχου	403
Προβολή εξόδου	403
Σχετικά έγγραφα καθοδήγησης	403
Μέτρηση ακουστικής εξόδου	404
Όροι που χρησιμοποιούνται στους πίνακες ακουστικής εξόδου	462
Γλωσσάρι (SonoSite Edge II)	463

Εισαγωγή

Συμβάσεις εγγράφου

Στο έγγραφο χρησιμοποιούνται οι παρακάτω συμβάσεις:

- ▶ Η ένδειξη **ΠΡΟΕΙΔΟΠΟΙΗΣΗ** περιγράφει προφυλάξεις απαραίτητες για την αποτροπή τραυματισμού ή θανάτου.
- ▶ Η ένδειξη **Προσοχή** περιγράφει προφυλάξεις απαραίτητες για την προστασία των προϊόντων.
- ▶ Η ένδειξη **Σημείωση** παρέχει συμπληρωματικές πληροφορίες.
- ▶ Τα αριθμημένα με αριθμούς και γράμματα βήματα πρέπει να εκτελούνται με συγκεκριμένη σειρά.
- ▶ Οι λίστες με κουκκίδες παρουσιάζουν πληροφορίες σε μορφή λίστας, αλλά δεν υποδηλώνουν αλληλουχία βημάτων.
- ▶ Οι διαδικασίες που αποτελούνται από ένα μόνο βήμα αρχίζουν με ❖.

Για μια περιγραφή των συμβόλων επισήμανσης που εμφανίζονται στο προϊόν, δείτε την ενότητα «Σύμβολα επισήμανσης» του εγχειριδίου χρήσης.

Λήψη βοήθειας

Για τεχνική υποστήριξη, επικοινωνήστε με τη FUJIFILM SonoSite ως εξής:

Τηλέφωνο (Η.Π.Α. ή Καναδάς)	+1 877-657-8118
Τηλέφωνο (εκτός Η.Π.Α. ή Καναδά)	+1-425-951-1330. Μπορείτε επίσης να καλέσετε τον αντιπρόσωπο της περιοχής σας.
Φαξ	+1-425-951-6700
Email	ffss-service@fujifilm.com
Ιστότοπος	www.sonosite.com
Κέντρο σέρβις στην Ευρώπη	Κύριο: +31 20 751 2020 Υποστήριξη στα Αγγλικά: +44 14 6234 1151 Υποστήριξη στα Γαλλικά: +33 1 8288 0702 Υποστήριξη στα Γερμανικά: +49 69 8088 4030 Υποστήριξη στα Ιταλικά: +39 02 9475 3655 Υποστήριξη στα Ισπανικά: +34 91 123 8451
Κέντρο σέρβις στην Ασία	+65 6380-5581

Εκτυλώθηκε στις Η.Π.Α.

Λήψη βοήθειας (SonoSite Edge II)

Το παρακάτω διορθώθηκε στο εγχειρίδιο χρήσης του συστήματος SonoSite Edge II. Η αναθεώρηση θα γίνει στην επόμενη ενημέρωση.

Email	ffss-service@fujifilm.com
--------------	---------------------------

Γνωριμία με το σύστημα

Το ακόλουθο περιεχόμενο είτε δεν έχει περιληφθεί στα εγχειρίδια χρήσης του συστήματος SonoSite Edge II και SonoSite SII είτε περιέχει σφάλματα. Οι αναθεωρήσεις θα γίνουν στην επόμενη ενημέρωση.

Χρήσεις για τις οποίες προορίζεται

Εφαρμογές απεικόνισης προστάτη

Μπορείτε να αξιολογήσετε τον προστάτη και τις περιβάλλουσες ανατομικές δομές για την παρουσία ή την απουσία παθολογίας.

Εφαρμογές επιφανειακής απεικόνισης

Μπορείτε να αξιολογήσετε τους μαστούς, τον θυρεοειδή, τους όρχεις, τους λεμφαδένες, τις κήλες, τις μυοσκελετικές δομές, τις δομές μαλακών ιστών, τη σπονδυλική στήλη, τις οφθαλμικές δομές και τις περιβάλλουσες ανατομικές δομές για την παρουσία ή την απουσία παθολογίας. Μπορείτε να χρησιμοποιήσετε το σύστημα για την παροχή καθοδήγησης μέσω υπερήχων για διαδικασίες βιοψίας και παροχέτευσης, τοποθέτηση αγγειακής γραμμής και αποκλεισμούς περιφερικών νεύρων.

Ρύθμιση συστήματος

Ρυθμίσεις συνδεσιμότητας (SonoSite SII)

Όλες οι αναφορές στο PDAS θα πρέπει να αλλάξουν σε SiteLink στο εγχειρίδιο χρήσης του συστήματος SonoSite SII. Η αναθεώρηση θα γίνει στην επόμενη ενημέρωση.

Ρύθμιση συνδεσιμότητας (SonoSite Edge II)

Η παρακάτω αναφορά ενημερώθηκε στο εγχειρίδιο χρήσης του συστήματος SonoSite Edge II. Η αναθεώρηση θα γίνει στην επόμενη ενημέρωση.

Για να ενεργοποιήσετε την ασύρματη σύνδεση

❖ Ανατρέξτε στην ενότητα *Ρύθμιση σύνδεσης δικτύου*.

Ρυθμίσεις κατάστασης δικτύου

Εάν στην οθόνη Network Status (Κατάσταση δικτύου) εμφανιστεί μήνυμα αποτυχίας σύνδεσης ασύρματης συσκευής, ενδέχεται να έχει λήξει ο κωδικός πρόσβασης στο δίκτυο. Βεβαιωθείτε ότι ο κωδικός πρόσβασης είναι ενημερωμένος προτού συνδέσετε την ασύρματη συσκευή σας.

Απεικόνιση

Ο μορφοτροπέας C8x έχει δυνατότητα καθοδήγησης της βελόνας στα συστήματα SonoSite Edge II και SonoSite SII.

Διαθέσιμοι τρόποι λειτουργίας απεικόνισης και διαθέσιμες εξετάσεις ανά μορφοτροπία (SonoSite SII)

Οι ακόλουθες υποσημειώσεις έλειπαν από τον **Πίνακα 4-5. Διαθέσιμοι τρόποι λειτουργίας απεικόνισης και διαθέσιμες εξετάσεις ανά μορφοτροπία** στο εγχειρίδιο χρήσης του συστήματος SonoSite SII. Η αναθεώρηση θα γίνει στην επόμενη ενημέρωση.

^αΟι συντμήσεις των τύπων εξέτασης είναι οι εξής: Abd = κοιλιακή, Art = αρτηριακή, Bre = μαστού, Crd = καρδιολογική, Gyn = γυναικολογική, Msk = μυοσκελετική, Neo = νεογνολογική, Nrv = νευρολογική, OB = μαιευτική, Oph = οφθαλμική, Pro = προστάτη, SmP = μικρών οργάνων, Sprn = σπονδυλικής στήλης, Sup = επιφανειακή, Ven = φλεβική.

^βΟι ρυθμίσεις βελτιστοποίησης για δισδιάστατη (2D) απεικόνιση είναι Res, Gen και Pen.

^γΟι ρυθμίσεις βελτιστοποίησης για απεικόνιση CPD και έγχρωμη απεικόνιση είναι χαμηλή, μεσαία και υψηλή (ευαισθησία ροής), με εύρος ρυθμίσεων PRF για έγχρωμη απεικόνιση ανάλογα με την επιλεγμένη ρύθμιση.

Μετρήσεις και υπολογισμοί (SonoSite SII)

Γενικοί υπολογισμοί

Υπολογισμός όγκου

ΠΡΟΕΙΔΟΠΟΙΗΣΕΙΣ


- ▶ Για να αποφύγετε τους εσφαλμένους υπολογισμούς, βεβαιωθείτε ότι οι πληροφορίες ασθενούς και οι ρυθμίσεις ημερομηνίας και ώρας είναι ακριβείς.
- ▶ Για να αποφύγετε τον κίνδυνο εσφαλμένης διάγνωσης ή επιδείνωσης της έκβασης του ασθενούς, δημιουργήστε μια νέα φόρμα ασθενούς προτού ξεκινήσετε νέα εξέταση και εκτελέσετε υπολογισμούς. Με τη δημιουργία νέας φόρμας ασθενούς απαλείφονται τα δεδομένα του προηγούμενου ασθενούς. Εάν δεν απαλειφθεί πρώτα η φόρμα, τα δεδομένα του προηγούμενου ασθενούς θα συνδυαστούν με τα δεδομένα του νέου ασθενούς.

Ο υπολογισμός του όγκου περιλαμβάνει τρεις 2D μετρήσεις απόστασης: D1, D2 και D3. Αφού αποθηκευτούν όλες οι μετρήσεις, το αποτέλεσμα εμφανίζεται στην οθόνη και στην αναφορά ασθενούς.

Ο υπολογισμός όγκου είναι διαθέσιμος στους παρακάτω τύπους εξέτασης: κοιλιακή, αρτηριακή, μαστού, γυναικολογική, μυοσκελετική, νευρολογική, μικρών οργάνων, φλεβική και επιφανειακή.

Για να υπολογίσετε έναν όγκο

Ακολουθήστε την παρακάτω διαδικασία για κάθε εικόνα που θέλετε να μετρήσετε:

- 1 Σε μια παγωμένη δισδιάστατη (2D) εικόνα, πατήστε **Calcs** (Υπολογισμοί).
- 2 Εκτελέστε την παρακάτω διαδικασία για κάθε μέτρηση που θέλετε να εκτελέσετε:
 - a Από το μενού υπολογισμών, στη στήλη **Volume** (Όγκος), επιλέξτε το όνομα της μέτρησης.
Εάν η επιλογή **Volume** (Όγκος) δεν είναι διαθέσιμη σε μια εξέταση Gyn, επιλέξτε **Gyn** (Γυναικολογική) και κατόπιν επιλέξτε **Volume** (Όγκος).
 - b Με το χειριστήριο αφής ή την οθόνη αφής, τοποθετήστε τα διαστημόμετρα
 - c Πατήστε **Save Calc** (Αποθήκευση υπολογισμού) για να αποθηκεύσετε τον υπολογισμό.
Εμφανίζεται ένα σημάδι επιλογής δίπλα στην αποθηκευμένη μέτρηση.
- 3 Για να αποθηκεύσετε μια εικόνα του υπολογισμού που ολοκληρώθηκε, πατήστε .
- 4 Πατήστε **Back** (Πίσω) για να εξέλθετε από τον υπολογισμό.

Τιμές αναφοράς μέτρησης (SonoSite SII)

Οι παρακάτω πληροφορίες δεν έχουν περιληφθεί στο εγχειρίδιο χρήσης του συστήματος SonoSite SII. Η αναθεώρηση θα γίνει στην επόμενη ενημέρωση.

Ακρίβεια μέτρησης

Πίνακας 1: Ακρίβεια και εύρος μετρήσεων και υπολογισμών σε M Mode (Τρόπος λειτουργίας κίνησης)

Ακρίβεια και εύρος μετρήσεων σε M Mode (Τρόπος λειτουργίας κίνησης)	Ανοχή συστήματος	Ακρίβεια από	Μέθοδος δοκιμής	Εύρος
Απόσταση	$< \pm 2\%$ συν 1% πλήρους κλίμακας ^a	Λήψη	Ομοίωμα ^β	0 – 26 cm
Χρόνος	$< \pm 2\%$ συν 1% πλήρους κλίμακας ^γ	Λήψη	Ομοίωμα ^δ	0,01 – 10 δευτ.

^a Η πλήρης κλίμακα για την απόσταση δηλώνει το μέγιστο βάθος της εικόνας.

^β Χρησιμοποιήθηκε μοντέλο ομοιώματος RMI 413a με εξασθένηση 0,7 dB/cm MHz.

^γ Η πλήρης κλίμακα για τον χρόνο υποδηλώνει τον συνολικό χρόνο που προβάλλεται στην κυλιόμενη εικόνα γραφικού.

^δ Χρησιμοποιήθηκε ειδικός εξοπλισμός δοκιμής της FUJIFILM SonoSite.

Πίνακας 1: Ακρίβεια και εύρος μετρήσεων και υπολογισμών σε M Mode (Τρόπος λειτουργίας κίνησης)

Ακρίβεια και εύρος μετρήσεων σε M Mode (Τρόπος λειτουργίας κίνησης)	Ανοχή συστήματος	Ακρίβεια από	Μέθοδος δοκιμής	Εύρος
Καρδιακή συχνότητα	< ± 2% συν (Πλήρης κλίμακα ^γ * Καρδιακή συχνότητα/100)%	Λήψη	Ομοίωμα ^δ	5 – 923 bpm

^αΗ πλήρης κλίμακα για την απόσταση δηλώνει το μέγιστο βάθος της εικόνας.

^βΧρησιμοποιήθηκε μοντέλο ομοιώματος RMI 413a με εξασθένηση 0,7 dB/cm MHz.

^γΗ πλήρης κλίμακα για τον χρόνο υποδηλώνει τον συνολικό χρόνο που προβάλλεται στην κυλιόμενη εικόνα γραφικού.

^δΧρησιμοποιήθηκε ειδικός εξοπλισμός δοκιμής της FUJIFILM SonoSite.

Δημοσιεύσεις μετρήσεων και ορολογία

Γενικές βιβλιογραφικές αναφορές

Γωνία ισχίου/Λόγος d:D

Morin, C., Harcke, H., MacEwen, G. "The Infant Hip: Real-Time US Assessment of Acetabular Development." *Radiology* 177: p.673-677, December 1985.

Ποσοστιαία μείωση εμβαδού

Zwiebel W.J., J.A. Zagzebski, A.B. Crummy, et al. "Correlation of peak Doppler frequency with lumen narrowing in carotid stenosis." *Stroke*, 3: (1982), p.386-391.

Ποσοστιαία (%) μείωση εμβαδού = $[1 - A2(\text{cm}^2)/A1(\text{cm}^2)] * 100$

όπου: A1 = αρχικό εμβαδόν του αγγείου σε τετραγωνικά cm

A2 = μειωμένο εμβαδόν του αγγείου σε τετραγωνικά cm

Ποσοστιαία μείωση διαμέτρου

Handa, Nobuo et al., "Echo-Doppler Velocimeter in the Diagnosis of Hypertensive Patients: The Renal Artery Doppler Technique," *Ultrasound in Medicine and Biology*, 12:12 (1986), p.945-952.

Ποσοστιαία (%) μείωση διαμέτρου = $[1 - D2(\text{cm})/D1(\text{cm})] * 100$

όπου: D1 = αρχική διάμετρος του αγγείου σε cm

D2 = μειωμένη διάμετρος του αγγείου σε cm

Καθαρισμός και απολύμανση

Ο ακόλουθος ιστότοπος διορθώθηκε στα εγχειρίδια χρήσης του συστήματος SonoSite Edge II και SonoSite SII. Η αναθεώρηση θα γίνει στην επόμενη ενημέρωση.

www.sonosite.com/products/transducers

Η ακόλουθη υποσημείωση ενημερώθηκε στους πίνακες καθαρισμού και απολύμανσης.

Για μια πιο πλήρη λίστα εγκεκριμένων καθαριστικών και απολυμαντικών, ανατρέξτε στο εργαλείο για τα καθαριστικά και την απολύμανση που είναι διαθέσιμο στη διαδικτυακή τοποθεσία

www.sonosite.com/support/cleaners-disinfectants.

Ασφάλεια

Κλινική ασφάλεια

Η ακόλουθη προειδοποίηση ενημερώθηκε στα εγχειρίδια χρήσης του συστήματος SonoSite Edge II και SonoSite SII. Η αναθεώρηση θα γίνει στην επόμενη ενημέρωση.

ΠΡΟΕΙΔΟΠΟΙΗΣΗ

Η FUJIFILM SonoSite δεν συνιστά τη χρήση ηλεκτροϊατρικών συσκευών υψηλής συχνότητας κοντά στα συστήματά της. Ο εξοπλισμός της FUJIFILM SonoSite δεν έχει επικυρωθεί για χρήση με ηλεκτροχειρουργικές συσκευές ή επεμβατικές μεθόδους υψηλής συχνότητας. Η χρήση ηλεκτροχειρουργικών συσκευών υψηλής συχνότητας κοντά στα συστήματά της ενδέχεται να οδηγήσει σε ασυνήθιστη συμπεριφορά ή τερματισμό της λειτουργίας του συστήματος.

Για την αποφυγή του κινδύνου πρόκλησης εγκαύματος, μη χρησιμοποιείτε τον μορφοτροπέα με χειρουργικό εξοπλισμό υψηλής συχνότητας. Τέτοιου είδους κίνδυνος ενδέχεται να προκύψει σε περίπτωση ελαττώματος στη σύνδεση του ουδέτερου χειρουργικού ηλεκτροδίου υψηλής συχνότητας.

Ηλεκτρομαγνητική συμβατότητα

Το σύστημα υπερήχων έχει δοκιμαστεί και έχει διαπιστωθεί ότι συμμορφώνεται με τα όρια ηλεκτρομαγνητικής συμβατότητας (ΗΜΣ) για ιατρικές συσκευές των προτύπων IEC 60601-1-2:2007 και IEC 60601-1-2:2014. Το σύστημα υπερήχων είναι κατάλληλο προς χρήση σε επαγγελματικό περιβάλλον ιδρύματος υγειονομικής περίθαλψης. Ο ενεργός χειρουργικός εξοπλισμός υψηλής συχνότητας προκαλεί υψηλές ηλεκτρομαγνητικές διαταραχές οι οποίες μπορεί να επηρεάσουν τη λειτουργία του συστήματος υπερήχων. Το σύστημα υπερήχων δεν θα πρέπει να λειτουργεί εντός αίθουσας με θωράκιση ραδιοσυχνότητων όπου υπάρχει απεικόνιση μαγνητικού συντονισμού, διότι προκαλεί υψηλές ηλεκτρομαγνητικές διαταραχές οι οποίες μπορεί να επηρεάσουν τη λειτουργία του συστήματος υπερήχων. Αυτά τα όρια είναι σχεδιασμένα για την παροχή εύλογης προστασίας έναντι των επικίνδυνων παρεμβολών μιας τυπικής ιατρικής εγκατάστασης.

Συστάσεις προσοχής

- ▶ Για τον ιατρικό ηλεκτρικό εξοπλισμό απαιτείται η λήψη ειδικών προφυλάξεων σχετικά με την ηλεκτρομαγνητική συμβατότητα (ΗΜΣ), ενώ ο εξοπλισμός πρέπει να εγκαθίσταται και να λειτουργεί σύμφωνα με τις παρούσες οδηγίες. Τυχόν φορητός εξοπλισμός επικοινωνιών με ραδιοσυχνότητες (RF) (συμπεριλαμβανομένων περιφερειακών συσκευών όπως καλώδια κεραίας και εξωτερικές κεραίες) δεν πρέπει να χρησιμοποιείται σε απόσταση μικρότερη από 30 cm από οποιοδήποτε μέρος του συστήματος υπερήχων, συμπεριλαμβανομένων των καλωδίων που ορίζονται από τη FUJIFILM SonoSite. Ο φορητός και κινητός εξοπλισμός επικοινωνίας ραδιοσυχνότητας ενδέχεται να επηρεάσει το σύστημα υπερήχων. Οι ηλεκτρομαγνητικές παρεμβολές (EMI) από άλλον εξοπλισμό ή άλλες πηγές παρεμβολών μπορεί να προκαλέσουν διακοπές κατά τη λειτουργία του συστήματος υπερήχων. Ενδείξεις πιθανής διαταραχής είναι η υποβάθμιση ή αλλοίωση της εικόνας, οι ακανόνιστες μετρήσεις, οι παύσεις λειτουργίας του εξοπλισμού ή άλλη εσφαλμένη λειτουργία. Σε αυτές τις περιπτώσεις, ελέγξτε την περιοχή για να εντοπίσετε την πηγή της διαταραχής και λάβετε τα παρακάτω μέτρα για να εξαλείψετε τις πηγές.
 - ▶ Απενεργοποιήστε και ενεργοποιήστε τον κοντινό εξοπλισμό για να απομονώσετε τον εξοπλισμό που προκαλεί τις διαταραχές.
 - ▶ Αλλάξτε τη θέση ή τον προσανατολισμό του παρεμβαλλόμενου εξοπλισμού.
 - ▶ Αυξήστε την απόσταση μεταξύ του εξοπλισμού που προκαλεί παρεμβολές και του συστήματος υπερήχων.
 - ▶ Προσέχετε κατά τη χρήση συχνοτήτων που προσεγγίζουν τις συχνότητες του συστήματος υπερήχων.
 - ▶ Απομακρύνετε τις συσκευές που είναι ιδιαίτερα ευάλωτες στις ηλεκτρομαγνητικές παρεμβολές.
 - ▶ Ελαττώστε την ισχύ των εσωτερικών πηγών που εμπίπτουν στον έλεγχο της εγκατάστασής σας (όπως τα συστήματα τηλεϊσοποίησης).
 - ▶ Τοποθετήστε ετικέτες σε συσκευές που είναι ευάλωτες στις ηλεκτρομαγνητικές παρεμβολές (EMI).
 - ▶ Εκπαιδύστε το κλινικό προσωπικό ώστε να αναγνωρίζει πιθανά προβλήματα που σχετίζονται με τις ηλεκτρομαγνητικές παρεμβολές.
 - ▶ Εξαλείψτε ή περιορίστε τις ηλεκτρομαγνητικές παρεμβολές με λύσεις τεχνικής φύσης (όπως η θωράκιση).
 - ▶ Περιορίστε τη χρήση του εξοπλισμού επικοινωνίας (κινητά τηλέφωνα, υπολογιστές) στις περιοχές με συσκευές που είναι ευάλωτες στις ηλεκτρομαγνητικές παρεμβολές.
 - ▶ Συζητήστε πληροφορίες σχετικά με τις ηλεκτρομαγνητικές παρεμβολές με άλλα άτομα, ειδικά όταν σκοπεύετε να αγοράσετε νέο εξοπλισμό που ενδέχεται να προκαλέσει ηλεκτρομαγνητικές παρεμβολές.
 - ▶ Αγοράζετε ιατρικές συσκευές που συμμορφώνονται με τα πρότυπα IEC 60601-1-2 περί ΗΜΣ.
- ▶ Μην τοποθετείτε άλλο εξοπλισμό επάνω στο σύστημα υπερήχων και μη χρησιμοποιείτε άλλο εξοπλισμό πολύ κοντά και δίπλα στο σύστημα υπερήχων. Εάν δεν μπορείτε να αποφύγετε την τοποθέτηση άλλου εξοπλισμού επάνω στο σύστημα ή τη χρήση άλλου εξοπλισμού κοντά στο σύστημα, τότε πρέπει να παρατηρείτε το σύστημα για να βεβαιωθείτε ότι λειτουργεί κανονικά.

Σημείωση

Τα χαρακτηριστικά εκπομπών των συστημάτων υπερήχων SonoSite Edge II και SII τα καθιστούν κατάλληλα για χρήση σε βιομηχανικές περιοχές και νοσοκομεία (CISPR 11 κατηγορία A). Αν χρησιμοποιούνται σε οικιακό περιβάλλον (για το οποίο κανονικά απαιτείται CISPR 11 κατηγορία B), το σύστημα υπερήχων ενδέχεται να μην παρέχει επαρκή προστασία σε υπηρεσίες ραδιοεπικοινωνιών. Ενδέχεται να απαιτείται η λήψη μέτρων περιορισμού των κινδύνων, όπως η αλλαγή της θέσης ή του προσανατολισμού του εξοπλισμού.

Ασύρματη μετάδοση

Τα συστήματα υπερήχων SonoSite Edge II και SII εφαρμόζουν δύο ασύρματες λύσεις.

- ▶ Το Dongle USB ασύρματης σύνδεσης (Panda) είναι ένας μικρός ασύρματος προσαρμογέας που συνδέεται στη θύρα USB που βρίσκεται:
 - ▶ Στη δεξιά πλευρά του συστήματος υπερήχων Edge II.
 - ▶ Στο επάνω πίσω μέρος του συστήματος υπερήχων SII.
- ▶ Η μονάδα ασφάλειας ασύρματης σύνδεσης (Laird) είναι μια μονάδα που τοποθετείται:
 - ▶ Στο κάλυμμα του συστήματος υπερήχων Edge II και, έπειτα, συνδέεται στο σύστημα με ένα καλώδιο USB ορθής γωνίας
 - ▶ Στον βραχίονα στήριξης του μορφοτροπέα στο σύστημα υπερήχων SII και, έπειτα, συνδέεται στο σύστημα με ένα καλώδιο USB 30 εκατοστών.

Ανατρέξτε στις παρακάτω πληροφορίες για τα στοιχεία μετάδοσης για το καθένα.

Dongle USB ασύρματης σύνδεσης (Panda)

Το dongle USB ασύρματης σύνδεσης χρησιμοποιεί τις ζώνες συχνοτήτων για βιομηχανικές, επιστημονικές και ιατρικές εφαρμογές (ISM) από 2,412 έως 2,4835 GHz, ανάλογα με τους κανονισμούς της εκάστοτε χώρας. Το dongle χρησιμοποιεί τις παρακάτω μεθόδους μετάδοσης:

- ▶ IEEE 802.11b με διασπορά φάσματος σε άμεση αλληλουχία (DSSS) στα 19 dBm: Μέγιστη ταχύτητα 54 Mbps, Μέγιστη διεκπεραιωτικότητα: 27 Mbps
- ▶ IEEE 802.11g με ορθογώνια πολυπλεξία συχνότητας OFDM (Orthogonal Frequency Division Multiplexing) στα 16 dBm: Μέγιστη ταχύτητα 54 Mbps, Μέγιστη διεκπεραιωτικότητα: 27 Mbps
- ▶ IEEE 802.11n με ορθογώνια πολυπλεξία συχνότητας OFDM (Orthogonal Frequency Division Multiplexing) στα 15 dBm:
 - ▶ 1T1R. Μέγιστη ταχύτητα: 150 Mbps, μέγιστη διεκπεραιωτικότητα: 90 Mbps
 - ▶ 1T2R. Μέγιστη ταχύτητα: 300 Mbps, μέγιστη διεκπεραιωτικότητα: Rx 160 Mbps
 - ▶ 2T2R. Μέγιστη ταχύτητα: 300 Mbps, μέγιστη διεκπεραιωτικότητα: Rx 260 Mbps

Μονάδα ασφαλείας ασύρματης σύνδεσης (Laird)

Η μονάδα ασφαλείας ασύρματης σύνδεσης χρησιμοποιεί τις ζώνες συχνοτήτων για βιομηχανικές, επιστημονικές και ιατρικές εφαρμογές (ISM) από 1,400 έως 2,4835 GHz και από 5,100 έως 5,800 GHz. Η μονάδα χρησιμοποιεί τέσσερις διαφορετικές μεθόδους μετάδοσης:

- ▶ IEEE 802.11a με ορθογώνια πολυπλεξία συχνότητας (OFDM) στα 11 dBm ± 2 dBm στα 54 Mbps
- ▶ IEEE 802.11b με διασπορά φάσματος σε άμεση αλληλουχία (DSSS) στα 16 dBm ± 2,0 dBm στα 11 Mbps
- ▶ IEEE 802.11g με ορθογώνια πολυπλεξία συχνότητας (OFDM) στα 13 dBm ± 2,0 dBm στα 54 Mbps
- ▶ IEEE 802.11n με ορθογώνια πολυπλεξία συχνότητας (OFDM) στα 12 dBm ± 2,0 dBm (802.11gn) σε MCS7

Συμβατά βοηθητικά εξαρτήματα και περιφερειακές συσκευές (SonoSite Edge II)

Η FUJIFILM SonoSite έχει ελέγξει το σύστημα υπερήχων SonoSite Edge II με τα παρακάτω βοηθητικά εξαρτήματα και τις παρακάτω περιφερειακές συσκευές και έχει καταδείξει τη συμμόρφωσή τους με τις απαιτήσεις των προτύπων IEC 60601-1-2:2007 και IEC 60601-1-2:2014.

Μπορείτε να χρησιμοποιείτε αυτά τα βοηθητικά εξαρτήματα της FUJIFILM SonoSite και τις περιφερειακές συσκευές τρίτων κατασκευαστών με το SonoSite Edge II.

ΠΡΟΕΙΔΟΠΟΙΗΣΕΙΣ

- ▶ Η χρήση των βοηθητικών εξαρτημάτων με ιατρικά συστήματα εκτός του συστήματος υπερήχων Edge μπορεί να έχει ως αποτέλεσμα την αύξηση των εκπομπών ή τη μείωση της ατρωσίας του ιατρικού εξοπλισμού.
- ▶ Η χρήση διαφορετικών βοηθητικών εξαρτημάτων από αυτά που καθορίζονται ενδέχεται να οδηγήσει σε αύξηση των εκπομπών ή σε μείωση της ατρωσίας του συστήματος υπερήχων.
- ▶ Το σύστημα υπερήχων δεν πρέπει να χρησιμοποιείται σε οικιακές εγκαταστάσεις ούτε να συνδέεται στο δημόσιο δίκτυο ηλεκτροδότησης.

Πίνακας 2: Βοηθητικά εξαρτήματα και περιφερειακές συσκευές συμβατά με το σύστημα υπερήχων Edge II

Περιγραφή	Μέγιστο μήκος καλωδίου
Μορφοτροπέας C8x	1,8 m
Μορφοτροπέας C11x	1,8 m
Μορφοτροπέας C35x	1,7 m
Μορφοτροπέας rC60xί, τυπικός/με θωράκιση	1,7 m

Πίνακας 2: Βοηθητικά εξαρτήματα και περιφερειακές συσκευές συμβατά με το σύστημα υπερήχων Edge II (συνέχεια)

Περιγραφή	Μέγιστο μήκος καλωδίου
Μοφροτροπέας HFL38χι, τυπικός/με θωράκιση	1,7 m
Μοφροτροπέας HFL50x	1,7 m
Μοφροτροπέας HSL25x	2,3 m
Μοφροτροπέας ICTx	1,7 m
Μοφροτροπέας L25x, τυπικός/με θωράκιση	2,3 m
Μοφροτροπέας L38χι, τυπικός/με θωράκιση	1,7 m
Μοφροτροπέας L52x ^a	2,4 m
Μοφροτροπέας P10x	1,8 m
Μοφροτροπέας rP19x, τυπικός/με θωράκιση	1,8 m
Μοφροτροπέας TEEχι	2,2 m
Σαρωτής γραμμικού κώδικα	1,5 m
Μπαταρία για PowerPack	—
Διάταξη μπαταρίας	—
Μπαταρία PowerPack	—
Ασπρόμαυρος εκτυπωτής	—
Καλώδιο τροφοδοσίας ασπρόμαυρου εκτυπωτή	1 m
Έγχρωμος εκτυπωτής	—
Καλώδιο τροφοδοσίας έγχρωμου εκτυπωτή	1 m
Καλώδιο βίντεο έγχρωμου εκτυπωτή	1,8 m
Ακροδέκτες καλωδίων ΗΚΓ	0,6 m
Μονάδα ΗΚΓ	1,8 m
Καλώδιο εξαρτημένης μονάδας ΗΚΓ	2,4 m
Σταθμός σύνδεσης SonoSite Edge II	—
Βάση SonoSite Edge II	—
Ποδοδιακόπτης	3 m

Πίνακας 2: Βοηθητικά εξαρτήματα και περιφερειακές συσκευές συμβατά με το σύστημα υπερήχων Edge II (συνέχεια)

Περιγραφή	Μέγιστο μήκος καλωδίου
Ποντίκι Petite	1,8 m
Καλώδιο τροφοδοσίας (σύστημα)	3 m
Τροφοδοτικό με καλώδιο συνεχούς ρεύματος	2 m
Καλώδιο εναλλασσόμενου ρεύματος τροφοδοτικού	1 m
PowerPark	—
Μονάδα τριπλής σύνδεσης μορφοτροπέων	—
Ασύρματος προσαρμογέας USB	—

Για τους μορφοτροπέις, το μέγιστο μήκος καλωδίου καταμετράται μεταξύ των διατάξεων ανακούφισης τάσης. Στα αναφερόμενα μήκη δεν συμπεριλαμβάνονται τα μήκη του καλωδίου στις ακόλουθες θέσεις: κάτω από τις διατάξεις ανακούφισης τάσης, στο εσωτερικό του περιβλήματος του μορφοτροπέα και στο εσωτερικό του συνδέσμου του μορφοτροπέα.

^aΟ μορφοτροπέας L52x προορίζεται μόνο για κτηνιατρική χρήση.

Συμβατά βοηθητικά εξαρτήματα και περιφερειακές συσκευές (SonoSite SII)

Η FUJIFILM SonoSite έχει ελέγξει το σύστημα υπερήχων SonoSite SII με τα ακόλουθα βοηθητικά εξαρτήματα και περιφερειακές συσκευές και έχει αποδείξει τη συμμόρφωσή τους με τις απαιτήσεις των προτύπων IEC 60601-1-2:2007 και IEC 60601-1-2:2014.

Μπορείτε να χρησιμοποιείτε αυτά τα βοηθητικά εξαρτήματα της FUJIFILM SonoSite και τις περιφερειακές συσκευές τρίτων κατασκευαστών με το σύστημα υπερήχων SonoSite SII.

ΠΡΟΕΙΔΟΠΟΙΗΣΕΙΣ

- ▶ Η χρήση των βοηθητικών εξαρτημάτων με ιατρικά συστήματα εκτός του συστήματος υπερήχων SonoSite SII μπορεί να έχει ως αποτέλεσμα την αύξηση των εκπομπών ή τη μείωση της ατρωσίας του ιατρικού εξοπλισμού.
- ▶ Η χρήση διαφορετικών βοηθητικών εξαρτημάτων από αυτά που καθορίζονται ενδέχεται να οδηγήσει σε αύξηση των εκπομπών ή σε μείωση της ατρωσίας του συστήματος υπερήχων.

Πίνακας 3: Βοηθητικά εξαρτήματα και περιφερειακές συσκευές συμβατά με το σύστημα υπερήχων SonoSite SII

Περιγραφή	Μέγιστο μήκος καλωδίου
Μοφοτροπέας C8x	1,8 m
Μοφοτροπέας C11x	1,8 m
Μοφοτροπέας C35x	1,7 m
Μοφοτροπέας rC60χι, τυπικός/με θωράκιση	1,7 m
Μοφοτροπέας HFL38χι, τυπικός/με θωράκιση	1,7 m
Μοφοτροπέας HFL50x	1,7 m
Μοφοτροπέας HSL25x	2,3 m
Μοφοτροπέας ICTx	1,7 m
Μοφοτροπέας L25x, τυπικός/με θωράκιση	2,3 m
Μοφοτροπέας L38χι, τυπικός/με θωράκιση	1,7 m
Μοφοτροπέας L52x	2,4 m
Μοφοτροπέας P10x	1,8 m
Μοφοτροπέας rP19x, τυπικός/με θωράκιση	1,8 m
Σαρωτής γραμμικού κώδικα	1,5 m
Μπαταρία για PowerPack	—
Διάταξη μπαταρίας	—
Μπαταρία PowerPack	—
Ασπρόμαυρος εκτυπωτής	—
Καλώδιο τροφοδοσίας ασπρόμαυρου εκτυπωτή	1 m
Καλώδιο ελέγχου ασπρόμαυρου εκτυπωτή	1,8 m
Καλώδιο βίντεο ασπρόμαυρου εκτυπωτή	1,9 m
Ποδοδιακόπτης	3 m
USB καλώδιο προέκτασης ποδοδιακόπτη	2 m
Βάση SonoSite SII	—
Καλώδιο τροφοδοσίας (σύστημα)	3 m

Πίνακας 3: Βοηθητικά εξαρτήματα και περιφερειακές συσκευές συμβατά με το σύστημα υπερήχων SonoSite SII (συνέχεια)

Περιγραφή	Μέγιστο μήκος καλωδίου
Τροφοδοτικό με καλώδιο συνεχούς ρεύματος	2 m
Καλώδιο εναλλασσόμενου ρεύματος τροφοδοτικού	1 m
PowerPark	—
Ασύρματος προσαρμογέας USB	—
Μονάδα μνήμης USB	—

Για τους μορφοτροπέις, το μέγιστο μήκος καλωδίου καταμετράται μεταξύ των διατάξεων ανακούφισης τάσης. Στα αναφερόμενα μήκη δεν συμπεριλαμβάνονται τα μήκη του καλωδίου στις ακόλουθες θέσεις: κάτω από τις διατάξεις ανακούφισης τάσης, στο εσωτερικό του περιβλήματος του μορφοτροπέα και στο εσωτερικό του συνδέσμου του μορφοτροπέα.

Δήλωση του κατασκευαστή

Οι πίνακες στην παρούσα ενότητα τεκμηριώνουν το περιβάλλον προοριζόμενης χρήσης και τα επίπεδα συμμόρφωσης ηλεκτρομαγνητικής συμβατότητας του συστήματος. Για μέγιστη απόδοση, βεβαιωθείτε ότι το σύστημα χρησιμοποιείται σε περιβάλλοντα που περιγράφονται σε αυτόν τον πίνακα.

Το σύστημα προορίζεται για χρήση στο ηλεκτρομαγνητικό περιβάλλον που ορίζεται παρακάτω.

Πίνακας 4: Δήλωση κατασκευαστή – Ηλεκτρομαγνητικές εκπομπές κατά IEC 60601-1-2:2007 και IEC 60601-1-2:2014

Δοκιμή εκπομπών	Συμμόρφωση	Ηλεκτρομαγνητικό περιβάλλον
Εκπομπές ραδιοσυχνοτήτων CISPR 11	Ομάδα 1	Τα συστήματα υπερήχων Edge II και SII χρησιμοποιούν ενέργεια ραδιοσυχνοτήτων μόνο για την εσωτερική λειτουργία τους. Επομένως, οι εκπομπές ραδιοσυχνοτήτων είναι πολύ χαμηλές και δεν αναμένεται να προκαλέσουν καμία παρεμβολή σε παρακείμενο ηλεκτρονικό εξοπλισμό.

Πίνακας 4: Δήλωση κατασκευαστή – Ηλεκτρομαγνητικές εκπομπές κατά IEC 60601-1-2:2007 και IEC 60601-1-2:2014

Δοκιμή εκπομπών	Συμμόρφωση	Ηλεκτρομαγνητικό περιβάλλον
Εκπομπές ραδιοσυχνότητων CISPR 11	Κατηγορία A	Τα συστήματα υπερήχων Edge II και SII είναι κατάλληλα για χρήση σε όλες τις εγκαταστάσεις εκτός των οικιών και των εγκαταστάσεων που συνδέονται άμεσα με το δημόσιο δίκτυο παροχής ρεύματος χαμηλής τάσης, που τροφοδοτεί τα κτήρια που χρησιμοποιούνται για οικιακούς σκοπούς.
Αρμονικές εκπομπές IEC 61000-3-2	Κατηγορία A	
Διακυμάνσεις τάσης/ασταθείς εκπομπές IEC 61000-3-3	Συμμορφώνεται	

Το σύστημα προορίζεται για χρήση στο ηλεκτρομαγνητικό περιβάλλον που ορίζεται παρακάτω.


Πίνακας 5: Δήλωση κατασκευαστή - Ηλεκτρομαγνητική ατρωσία κατά IEC 60601-1-2:2007

Δοκιμή ατρωσίας	Επίπεδο δοκιμής IEC 60601	Επίπεδο συμμόρφωσης	Ηλεκτρομαγνητικό περιβάλλον
Ηλεκτροστατική εκκένωση (ESD) IEC 61000-4-2	$\pm 2,0$ KV, $\pm 4,0$ KV, $\pm 6,0$ KV μέσω επαφής $\pm 2,0$ KV, $\pm 4,0$ KV, $\pm 8,0$ KV μέσω αέρα	$\pm 2,0$ KV, $\pm 4,0$ KV, $\pm 6,0$ KV μέσω επαφής $\pm 2,0$ KV, $\pm 4,0$ KV, $\pm 8,0$ KV μέσω αέρα	Τα δάπεδα πρέπει να είναι κατασκευασμένα από ξύλο, μπετόν ή κεραμικά πλακίδια. Εάν τα δάπεδα καλύπτονται με συνθετικό υλικό, η σχετική υγρασία πρέπει να είναι τουλάχιστον 30%.
Ταχεία ηλεκτρικά μεταβατικά φαινόμενα/απότομες εκφορτίσεις IEC 61000-4-4	± 2 KV στην κεντρική παροχή ± 1 KV στις γραμμές σήματος	± 2 KV στην κεντρική παροχή ± 1 KV στις γραμμές σήματος	Η κεντρική παροχή ρεύματος πρέπει να διαθέτει τη συνήθη ποιότητα για εμπορικές ή νοσοκομειακές εγκαταστάσεις.
Απότομη αύξηση τάσης IEC 61000-4-5	± 1 KV από γραμμή(ές) προς γραμμή(ές) ± 2 KV από γραμμή(ές) προς γείωση	± 1 KV από γραμμή(ές) προς γραμμή(ές) ± 2 KV από γραμμή(ές) προς γείωση	Η κεντρική παροχή ρεύματος πρέπει να διαθέτει τη συνήθη ποιότητα για εμπορικές ή νοσοκομειακές εγκαταστάσεις.

Πίνακας 5: Δήλωση κατασκευαστή - Ηλεκτρομαγνητική ατρωσία κατά IEC 60601-1-2:2007

Δοκιμή ατρωσίας	Επίπεδο δοκιμής IEC 60601	Επίπεδο συμμόρφωσης	Ηλεκτρομαγνητικό περιβάλλον
Πτώσεις τάσης, στιγμιαίες διακοπές και διακυμάνσεις τάσης σε γραμμές εισόδου τροφοδοσίας IEC 61000-4-11	< 5% U_T (>95% βύθιση σε U_T) για 0,5 κύκλο 40% U_T (60% βύθιση σε U_T) για 5 κύκλους 70% U_T (30% βύθιση σε U_T) για 25 κύκλους < 5% U_T (>95% βύθιση σε U_T) για 5 s	< 5% U_T (>95% βύθιση σε U_T) για 0,5 κύκλο 40% U_T (60% βύθιση σε U_T) για 5 κύκλους 70% U_T (βύθιση 30% σε U_T) για 25 κύκλους < 5% U_T (>95% βύθιση σε U_T) για 5 s	Η κεντρική παροχή ρεύματος πρέπει να διαθέτει τη συνήθη ποιότητα για εμπορικές ή νοσοκομειακές εγκαταστάσεις. Εάν ο χρήστης του συστήματος υπερήχων FUJIFILM SonoSite απαιτεί συνέχιση της λειτουργίας σε περίπτωση διακοπών της κεντρικής παροχής ρεύματος, συνιστάται η τροφοδοσία του συστήματος υπερήχων FUJIFILM SonoSite από σύστημα αδιάλειπτης τροφοδοσίας ή μπαταρία.
Μαγνητικό πεδίο συχνότητας ισχύος IEC 61000-4-8	3 A/m	3 A/m	Εάν εμφανιστεί αλλοίωση της εικόνας, ίσως χρειαστεί να απομακρύνετε το σύστημα υπερήχων FUJIFILM SonoSite από πηγές μαγνητικών πεδίων συχνότητας ισχύος ή να εγκαταστήσετε μαγνητική θωράκιση. Το μαγνητικό πεδίο συχνότητας ισχύος θα πρέπει να μετράται εντός του χώρου στον οποίο προορίζεται να εγκατασταθεί ώστε να διασφαλίζεται ότι είναι αρκετά χαμηλό.
Ραδιοσυχνότητες διααγωγιμότητας IEC 61000-4-6	3 Vrms 150 kHz έως 80 MHz	3 Vrms	Τυχόν φορητός και κινητός εξοπλισμός επικοινωνίας με ραδιοσυχνότητες δεν θα πρέπει να χρησιμοποιείται σε απόσταση μικρότερη από τη συνιστώμενη απόσταση διαχωρισμού από οποιοδήποτε εξάρτημα του συστήματος υπερήχων FUJIFILM SonoSite, συμπεριλαμβανομένων των καλωδίων. Η απόσταση αυτή υπολογίζεται βάσει της εξίσωσης που ισχύει για τη συχνότητα του πομπού. Συνιστώμενη απόσταση διαχωρισμού $d = 1,2 \sqrt{P}$

Πίνακας 5: Δήλωση κατασκευαστή - Ηλεκτρομαγνητική ατρωσία κατά IEC 60601-1-2:2007

Δοκιμή ατρωσίας	Επίπεδο δοκιμής IEC 60601	Επίπεδο συμμόρφωσης	Ηλεκτρομαγνητικό περιβάλλον
Ραδιοσυχνότητες δια ακτινοβολίας IEC 61000-4-3	3 V/m 80 MHz έως 2,5 GHz	3 V/m 80 MHz έως 2,5 GHz	$d = 1,2 \sqrt{P}$ 80 MHz έως 800 MHz $d = 2,3 \sqrt{P}$ 800 MHz έως 2,5 GHz Όπου P είναι η μέγιστη ονομαστική τιμή ισχύος εξόδου του πομπού σε Watt (10) σύμφωνα με τον κατασκευαστή του πομπού και d είναι η συνιστώμενη απόσταση διαχωρισμού σε μέτρα (m). Οι εντάσεις πεδίων από σταθερούς πομπούς ραδιοσυχνοτήτων, όπως καθορίζεται από ηλεκτρομαγνητική μελέτη χώρου ^α , θα πρέπει να είναι μικρότερη από το επίπεδο συμμόρφωσης σε κάθε εύρος συχνοτήτων ^β . Ενδέχεται να προκληθούν παρεμβολές στον περιβάλλοντα χώρο του εξοπλισμού, όταν υπάρχει το παρακάτω σύμβολο:  (IEC 60417 αρ. 417-IEC-5140: «Πηγή μη ιονίζουσας ακτινοβολίας»)
Σημείωση	U_T είναι η τάση της κεντρικής παροχής εναλλασσόμενου ρεύματος πριν από την εφαρμογή του επιπέδου δοκιμής. Στα 80 MHz και 800 MHz, ισχύει το ανώτερο εύρος συχνοτήτων. Αυτές οι κατευθυντήριες οδηγίες ενδέχεται να μην ισχύουν σε όλες τις περιπτώσεις. Η διάδοση της ηλεκτρομαγνητικής ακτινοβολίας επηρεάζεται από την απορρόφηση και αντανάκλαση από δομές, αντικείμενα και άτομα.		

Πίνακας 5: Δήλωση κατασκευαστή - Ηλεκτρομαγνητική ατρωσία κατά IEC 60601-1-2:2007

Δοκιμή ατρωσίας	Επίπεδο δοκιμής IEC 60601	Επίπεδο συμμόρφωσης	Ηλεκτρομαγνητικό περιβάλλον
<p>α. Οι εντάσεις πεδίων από σταθερούς πομπούς, όπως οι σταθμοί βάσης των τηλεφώνων που χρησιμοποιούν ραδιοσυχνότητες (κινητά/ασύρματα) και επίγειας κινητής ραδιοεπικοινωνίας, οι ερασιτεχνικοί ραδιοφωνικοί σταθμοί, η εκπομπή ραδιοφωνικών σημάτων σε συχνότητες AM και FM και η εκπομπή τηλεοπτικών σημάτων δεν μπορούν να προβλεφθούν θεωρητικά με ακρίβεια. Για να αξιολογήσετε το ηλεκτρομαγνητικό περιβάλλον από σταθερούς πομπούς ραδιοσυχνοτήτων, μπορείτε να πραγματοποιήσετε μια ηλεκτρομαγνητική μελέτη χώρου. Εάν η μετρηθείσα ένταση πεδίου στη θέση στην οποία χρησιμοποιείται το σύστημα υπερήχων FUJIFILM SonoSite υπερβαίνει το ανωτέρω ισχύον επίπεδο συμμόρφωσης ραδιοσυχνοτήτων, το σύστημα υπερήχων FUJIFILM SonoSite πρέπει να ελέγχεται για να επαληθεύεται η κανονική λειτουργία του. Εάν παρατηρηθεί μη φυσιολογική απόδοση, ενδέχεται να χρειαστούν πρόσθετα μέτρα, όπως η αλλαγή του προσανατολισμού ή της θέσης του συστήματος υπερήχων FUJIFILM SonoSite.</p> <p>β. Σε τιμές άνω του εύρους συχνοτήτων 150 kHz έως 80 MHz, οι εντάσεις πεδίων πρέπει να είναι μικρότερες από 3 V/m.</p>			


Πίνακας 6: Δήλωση κατασκευαστή - Ηλεκτρομαγνητική ατρωσία κατά IEC 60601-1-2:2014

Δοκιμή ατρωσίας	Επίπεδο δοκιμής IEC 60601	Επίπεδο συμμόρφωσης	Ηλεκτρομαγνητικό περιβάλλον
Ηλεκτροστατική εκκένωση (ESD) IEC 61000-4-2	± 8,0 KV, με επαφή ± 2,0 KV, ± 4,0 KV, ± 8,0 KV μέσω αέρα, ± 15 KV	± 8,0 KV, ± 4,0 KV, ± 8,0 KV μέσω αέρα, ± 15 KV	Τα δάπεδα πρέπει να είναι κατασκευασμένα από ξύλο, μπετόν ή κεραμικά πλακίδια. Εάν τα δάπεδα καλύπτονται με συνθετικό υλικό, η σχετική υγρασία πρέπει να είναι τουλάχιστον 30%.
Ταχεία ηλεκτρικά μεταβατικά φαινόμενα/απότομες εκφορτίσεις IEC 61000-4-4	± 2 KV στην κεντρική παροχή ± 1 KV στις γραμμές σήματος	± 2 KV στην κεντρική παροχή ± 1 KV στις γραμμές σήματος	Η κεντρική παροχή ρεύματος πρέπει να διαθέτει τη συνήθη ποιότητα για εμπορικές ή νοσοκομειακές εγκαταστάσεις.
Απότομη αύξηση τάσης IEC 61000-4-5	± 1 KV από γραμμή(ές) προς γραμμή(ές) ± 2 KV από γραμμή(ές) προς γείωση	± 1 KV από γραμμή(ές) προς γραμμή(ές) ± 2 KV από γραμμή(ές) προς γείωση	Η κεντρική παροχή ρεύματος πρέπει να διαθέτει τη συνήθη ποιότητα για εμπορικές ή νοσοκομειακές εγκαταστάσεις.

Πίνακας 6: Δήλωση κατασκευαστή - Ηλεκτρομαγνητική ατρωσία κατά IEC 60601-1-2:2014

Δοκιμή ατρωσίας	Επίπεδο δοκιμής IEC 60601	Επίπεδο συμμόρφωσης	Ηλεκτρομαγνητικό περιβάλλον
Πτώσεις τάσης, στιγμιαίες διακοπές και διακυμάνσεις τάσης σε γραμμές εισόδου τροφοδοσίας IEC 61000-4-11	0% U_T για 0,5 κύκλο 0% U_T για 5 κύκλους 70% U_T (30% βύθιση σε U_T) για 500 msec < 5% U_T (>95% βύθιση σε U_T) για 5 s	0% U_T για 0,5 κύκλο 0% U_T για 5 κύκλους 70% U_T (βύθιση 30% σε U_T) για 500 msec < 5% U_T (>95% βύθιση σε U_T) για 5 s	Η κεντρική παροχή ρεύματος πρέπει να διαθέτει τη συνήθη ποιότητα για εμπορικές ή νοσοκομειακές εγκαταστάσεις. Εάν ο χρήστης του συστήματος υπερήχων FUJIFILM SonoSite απαιτεί συνέχιση της λειτουργίας σε περίπτωση διακοπών της κεντρικής παροχής ρεύματος, συνιστάται η τροφοδοσία του συστήματος υπερήχων FUJIFILM SonoSite από σύστημα αδιάλειπτης τροφοδοσίας ή μπαταρία.
Μαγνητικό πεδίο συχνότητας ισχύος IEC 61000-4-8	30 A/m	30 A/m	Εάν εμφανιστεί αλλοίωση της εικόνας, ίσως χρειαστεί να απομακρύνετε το σύστημα υπερήχων FUJIFILM SonoSite από πηγές μαγνητικών πεδίων συχνότητας ισχύος ή να εγκαταστήσετε μαγνητική θωράκιση. Το μαγνητικό πεδίο συχνότητας ισχύος θα πρέπει να μετράται εντός του χώρου στον οποίο προορίζεται να εγκατασταθεί ώστε να διασφαλίζεται ότι είναι αρκετά χαμηλό.
Ραδιοσυχνότητες διααγωγιμότητας IEC 61000-4-6	3 Vrms 150 kHz έως 80 MHz 6 Vrms εντός συχνοτήτων ISM	3 Vrms 6 Vrms εντός συχνοτήτων ISM	Τυχόν φορητός και κινητός εξοπλισμός επικοινωνίας με ραδιοσυχνότητες δεν θα πρέπει να χρησιμοποιείται σε απόσταση μικρότερη από τη συνιστώμενη απόσταση διαχωρισμού από οποιοδήποτε εξάρτημα του συστήματος υπερήχων FUJIFILM SonoSite, συμπεριλαμβανομένων των καλωδίων. Η απόσταση αυτή υπολογίζεται βάσει της εξίσωσης που ισχύει για τη συχνότητα του πομπού. Συνιστώμενη απόσταση διαχωρισμού $d = 1,2 \sqrt{P}$

Πίνακας 6: Δήλωση κατασκευαστή - Ηλεκτρομαγνητική ατρωσία κατά IEC 60601-1-2:2014

Δοκιμή ατρωσίας	Επίπεδο δοκιμής IEC 60601	Επίπεδο συμμόρφωσης	Ηλεκτρομαγνητικό περιβάλλον
<p>Ραδιοσυχνότητες δια ακτινοβολίας IEC 61000-4-3</p>	<p>3 V/m 80 MHz έως 2,7 GHz</p>	<p>3 V/m 80 MHz έως 2,7 GHz</p>	<p>$d = 1,2 \sqrt{P}$ 80 MHz έως 800 MHz $d = 2,3 \sqrt{P}$ 800 MHz έως 2,5 GHz Όπου P είναι η μέγιστη ονομαστική τιμή ισχύος εξόδου του πομπού σε Watt (10) σύμφωνα με τον κατασκευαστή του πομπού και d είναι η συνιστώμενη απόσταση διαχωρισμού σε μέτρα (m).</p> <p>Οι εντάσεις πεδίων από σταθερούς πομπούς ραδιοσυχνοτήτων, όπως καθορίζεται από ηλεκτρομαγνητική μελέτη χώρου^α, θα πρέπει να είναι μικρότερη από το επίπεδο συμμόρφωσης σε κάθε εύρος συχνοτήτων^β.</p> <p>Ενδέχεται να προκληθούν παρεμβολές στον περιβάλλοντα χώρο του εξοπλισμού, όταν υπάρχει το παρακάτω σύμβολο:</p>  <p>(IEC 60417 αρ. 417-IEC-5140: «Πηγή μη ιονίζουσας ακτινοβολίας»)</p>
<p>Πεδία κοντά σε εξοπλισμό ασύρματων επικοινωνιών</p>	<p>Κατά 60601-1-2:2014 Πίνακας 9</p>	<p>Κατά 60601-1-2:2014 Πίνακας 9</p>	
<p>Σημείωση</p>	<p>U_T είναι η τάση της κεντρικής παροχής εναλλασσόμενου ρεύματος πριν από την εφαρμογή του επιπέδου δοκιμής. Στα 80 MHz και 800 MHz, ισχύει το ανώτερο εύρος συχνοτήτων. Αυτές οι κατευθυντήριες οδηγίες ενδέχεται να μην ισχύουν σε όλες τις περιπτώσεις. Η διάδοση της ηλεκτρομαγνητικής ακτινοβολίας επηρεάζεται από την απορρόφηση και αντανάκλαση από δομές, αντικείμενα και άτομα.</p>		

Πίνακας 6: Δήλωση κατασκευαστή - Ηλεκτρομαγνητική ατρωσία κατά IEC 60601-1-2:2014

Δοκιμή ατρωσίας	Επίπεδο δοκιμής IEC 60601	Επίπεδο συμμόρφωσης	Ηλεκτρομαγνητικό περιβάλλον
-----------------	---------------------------	---------------------	-----------------------------

α. Οι εντάσεις πεδίων από σταθερούς πομπούς, όπως οι σταθμοί βάσης των τηλεφώνων που χρησιμοποιούν ραδιοσυχνότητες (κινητά/ασύρματα) και επίγειας κινητής ραδιοεπικοινωνίας, οι ερασιτεχνικοί ραδιοφωνικοί σταθμοί, η εκπομπή ραδιοφωνικών σημάτων σε συχνότητες AM και FM και η εκπομπή τηλεοπτικών σημάτων δεν μπορούν να προβλεφθούν θεωρητικά με ακρίβεια. Για να αξιολογήσετε το ηλεκτρομαγνητικό περιβάλλον από σταθερούς πομπούς ραδιοσυχνότητων, μπορείτε να πραγματοποιήσετε μια ηλεκτρομαγνητική μελέτη χώρου. Εάν η μετρηθείσα ένταση πεδίου στη θέση στην οποία χρησιμοποιείται το σύστημα υπερήχων FUJIFILM SonoSite υπερβαίνει το ανωτέρω ισχύον επίπεδο συμμόρφωσης ραδιοσυχνότητων, το σύστημα υπερήχων FUJIFILM SonoSite πρέπει να ελέγχεται για να επαληθεύεται η κανονική λειτουργία του. Εάν παρατηρηθεί μη φυσιολογική απόδοση, ενδέχεται να χρειαστούν πρόσθετα μέτρα, όπως η αλλαγή του προσανατολισμού ή της θέσης του συστήματος υπερήχων FUJIFILM SonoSite.

β. Σε τιμές άνω του εύρους συχνοτήτων 150 kHz έως 80 MHz, οι εντάσεις πεδίων πρέπει να είναι μικρότερες από 3 V/m.

Σύσταση προσοχής της FCC: Ο εξοπλισμός αυτός ελέγχθηκε και διαπιστώθηκε ότι είναι σύμφωνος με τα όρια ψηφιακής συσκευής Κατηγορίας A, σύμφωνα με το μέρος 15 των κανονισμών FCC. Τα όρια αυτά έχουν σχεδιαστεί για να παρέχουν εύλογη προστασία από επιβλαβείς παρεμβολές όταν ο εξοπλισμός λειτουργεί σε εμπορικό περιβάλλον. Ο εξοπλισμός αυτός δημιουργεί, χρησιμοποιεί και μπορεί να εκπέμψει ραδιοσυχνότητες και εάν δεν εγκατασταθεί και χρησιμοποιηθεί σύμφωνα με το εγχειρίδιο οδηγιών ενδέχεται να προκαλέσει επιβλαβείς παρεμβολές στις ραδιοεπικοινωνίες. Η λειτουργία αυτού του εξοπλισμού σε κατοικημένη περιοχή είναι πιθανό να προκαλέσει επιβλαβείς παρεμβολές, περίπτωση κατά την οποία ο χρήστης οφείλει να διορθώσει τις παρεμβολές με δική του δαπάνη.

Συμβατά βοηθητικά εξαρτήματα και περιφερειακές συσκευές




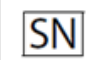

Η ακόλουθη προειδοποίηση προστέθηκε στα εγχειρίδια χρήσης του συστήματος SonoSite Edge II και SonoSite SII. Η αναθεώρηση θα γίνει στην επόμενη ενημέρωση.

ΠΡΟΕΙΔΟΠΟΙΗΣΗ






Εάν υπάρχουν συνδεδεμένες περιφερειακές συσκευές στο σύστημα, βεβαιωθείτε ότι το σύστημα και οι περιφερειακές συσκευές είναι συνδεδεμένα στο ίδιο κεντρικό δίκτυο εναλλασσόμενου ρεύματος.

Σύμβολα επισήμανσης






Πίνακας 7: Σύμβολα επισήμανσης προτύπων

Σύμβολο	Τίτλος	Οργανισμός ανάπτυξης προτύπων	Αριθμός αναφοράς	Περιγραφή
	Κατασκευαστής	ISO 15223-1:2016 Ιατρικές συσκευές – σύμβολα προς χρήση με τις ετικέτες ιατρικών συσκευών, επισήμανση και πληροφορίες προς παροχή – Μέρος 1: Γενικές απαιτήσεις	5.1.1	Υποδεικνύει τον κατασκευαστή του ιατροτεχνολογικού προϊόντος, κατά τις οδηγίες της ΕΕ 90/385/ΕΟΚ, 93/42/ΕΟΚ και 98/79/ΕΚ
	Μη ιονίζουσα ηλεκτρομαγνητική ή ακτινοβολία	IEC 60601-1-2:2007 Ιατρικός ηλεκτρικός εξοπλισμός Μέρος 1-2: Γενικές απαιτήσεις για τη βασική ασφάλεια και τη στοιχειώδη απόδοση – συμπληρωματικό πρότυπο: ηλεκτρομαγνητική συμβατότητα	5.1.1	Υποδεικνύει γενικώς αυξημένα, δυνητικά επικίνδυνα επίπεδα μη ιονίζουσας ακτινοβολίας ή υποδεικνύει εξοπλισμό ή συστήματα π.χ. στο πεδίο των ιατρικών ηλεκτρικών συσκευών που περιέχουν πομπούς ραδιοσυχνότητας ή χρησιμοποιούν σκόπιμα ηλεκτρομαγνητική ενέργεια για διάγνωση ή θεραπεία
	Εξουσιοδοτημένο αντιπρόσωπος στην Ευρωπαϊκή Ένωση	ISO 15223-1 Ιατρικές συσκευές – σύμβολα προς χρήση με τις ετικέτες ιατρικών συσκευών- επισήμανση και πληροφορίες προς παροχή.	5.1.2	Υποδεικνύει το εξουσιοδοτημένο αντιπρόσωπο στην Ευρωπαϊκή Ένωση
	Σειριακός αριθμός	ISO 15223-1:2016 Ιατρικές συσκευές – σύμβολα προς χρήση με τις ετικέτες ιατρικών συσκευών, επισήμανση και πληροφορίες προς παροχή – Μέρος 1: Γενικές απαιτήσεις	5.1.7	Υποδεικνύει τον σειριακό αριθμό του κατασκευαστή, ώστε να είναι δυνατή η αναγνώριση μιας συγκεκριμένης ιατρικής συσκευής
	Αριθμός καταλόγου	ISO 15223-1:2016 Ιατρικές συσκευές – σύμβολα προς χρήση με τις ετικέτες ιατρικών συσκευών, επισήμανση και πληροφορίες προς παροχή – Μέρος 1: Γενικές απαιτήσεις	5.1.6	Υποδεικνύει τον αριθμό καταλόγου του κατασκευαστή έτσι ώστε να είναι εφικτή η αναγνώριση του ιατροτεχνολογικού προϊόντος







Πίνακας 7: Σύμβολα επισήμανσης προτύπων (συνέχεια)

Σύμβολο	Τίτλος	Οργανισμός ανάπτυξης προτύπων	Αριθμός αναφοράς	Περιγραφή
	Προσοχή	ISO 15223-1:2016 Ιατρικές συσκευές – σύμβολα προς χρήση με τις ετικέτες ιατρικών συσκευών, επισήμανση και πληροφορίες προς παροχή – Μέρος 1: Γενικές απαιτήσεις	5.4.4	Υποδεικνύει την ανάγκη να συμβουλευτείται ο χρήστης τις οδηγίες χρήσης για σημαντικές πληροφορίες επισήμανσης της προσοχής, όπως προειδοποιήσεις και προφυλάξεις, οι οποίες δεν μπορούν, για διάφορους λόγους, να απεικονιστούν στην ίδια την ιατρική συσκευή
	Εύθραστο, Επιδείξτε προσοχή κατά τον χειρισμό	ISO 15223-1:2016 Ιατρικές συσκευές – σύμβολα προς χρήση με τις ετικέτες ιατρικών συσκευών, επισήμανση και πληροφορίες προς παροχή – Μέρος 1: Γενικές απαιτήσεις	5.3.1	Υποδεικνύει ιατρική συσκευή που μπορεί να σπάσει ή να υποστεί ζημιά σε περίπτωση μη προσεκτικού χειρισμού
	Διατηρείτε το προϊόν στεγνό	ISO 15223-1:2016 Ιατρικές συσκευές – σύμβολα προς χρήση με τις ετικέτες ιατρικών συσκευών, επισήμανση και πληροφορίες προς παροχή – Μέρος 1: Γενικές απαιτήσεις	5.3.4	Υποδεικνύει ιατρική συσκευή που πρέπει να προστατεύεται από την υγρασία
	Όριο θερμοκρασίας	ISO 15223-1:2016 Ιατρικές συσκευές – σύμβολα προς χρήση με τις ετικέτες ιατρικών συσκευών, επισήμανση και πληροφορίες προς παροχή – Μέρος 1: Γενικές απαιτήσεις	5.3.7	Υποδεικνύει τα όρια θερμοκρασίας στην οποία μπορεί να εκτεθεί με ασφάλεια η ιατρική συσκευή
	Περιορισμοί ατμοσφαιρικής πίεσης	ISO 15223-1:2016 Ιατρικές συσκευές – σύμβολα προς χρήση με τις ετικέτες ιατρικών συσκευών, επισήμανση και πληροφορίες προς παροχή – Μέρος 1: Γενικές απαιτήσεις	5.3.9	Υποδεικνύει το εύρος ατμοσφαιρικής πίεσης στην οποία μπορεί να εκτεθεί με ασφάλεια η ιατρική συσκευή






Πίνακας 7: Σύμβολα επισήμανσης προτύπων (συνέχεια)

Σύμβολο	Τίτλος	Οργανισμός ανάπτυξης προτύπων	Αριθμός αναφοράς	Περιγραφή
	Περιορισμός υγρασίας	ISO 15223-1:2016 Ιατρικές συσκευές – σύμβολα προς χρήση με τις ετικέτες ιατρικών συσκευών, επισήμανση και πληροφορίες προς παροχή – Μέρος 1: Γενικές απαιτήσεις	5.3.8	Υποδεικνύει το εύρος υγρασίας στην οποία μπορεί να εκτεθεί με ασφάλεια η ιατρική συσκευή
IPX7	Βαθμός προστασίας από εισχώρηση που παρέχεται από το περίβλημα	IEC 60601-1 Ιατρικός ηλεκτρικός εξοπλισμός Μέρος 1: Γενικές απαιτήσεις για τη βασική ασφάλεια και τη στοιχειώδη απόδοση	D.3	Προστατεύεται από τις επιδράσεις της προσωρινής εμβάπτισης
	Ανατρέξτε στο εγχειρίδιο/φυλλάδιο οδηγιών	IEC 60601-1 Ιατρικός ηλεκτρικός εξοπλισμός Μέρος 1: Γενικές απαιτήσεις για τη βασική ασφάλεια και τη στοιχειώδη απόδοση	D.2-10	Ακολουθήστε τις οδηγίες χρήσης (χρησιμοποιείται σύμφωνα με το IEC 60601-1)
	Συμβουλευτείτε τις οδηγίες χρήσης	ISO 15223-1:2016 Ιατρικές συσκευές – σύμβολα προς χρήση με τις ετικέτες ιατρικών συσκευών, επισήμανση και πληροφορίες προς παροχή – Μέρος 1: Γενικές απαιτήσεις	5.4.3	Υποδεικνύει την ανάγκη να συμβουλευτεί ο χρήστης τις οδηγίες χρήσης
	Εναλλασσόμενο ρεύμα	ISO 7000 / IEC 60417 Γραφικά σύμβολα που χρησιμοποιούνται στον εξοπλισμό	5032	Υποδεικνύει στην πινακίδα δεδομένων ότι ο εξοπλισμός είναι κατάλληλος μόνο για εναλλασσόμενο ρεύμα, προκειμένου να προσδιορίζονται οι κατάλληλοι ακροδέκτες
	Σήμανση CE	Οδηγία 93/42/ΕΟΚ του Συμβουλίου	Άρθρο 17 Παράρτημα XII	Υποδεικνύει την ευρωπαϊκή τεχνική συμμόρφωση








Πίνακας 7: Σύμβολα επισήμανσης προτύπων (συνέχεια)

Σύμβολο	Τίτλος	Οργανισμός ανάπτυξης προτύπων	Αριθμός αναφοράς	Περιγραφή
	Conformité Européenne Αρ. αναφοράς κοινοποιημένου οργανισμού: 2797	Οδηγία 93/42/ΕΟΚ του Συμβουλίου	Άρθρο 17, Παράρτημα XII	Υποδεικνύει την ευρωπαϊκή τεχνική συμμόρφωση και αναγνώριση του κοινοποιημένου οργανισμού ο οποίος είναι υπεύθυνος για την εφαρμογή των διαδικασιών που αναφέρονται στα παραρτήματα II, IV, V και VI.
	Επικίνδυνη τάση	ISO 7000 / IEC 60417 Γραφικά σύμβολα που χρησιμοποιούνται στον εξοπλισμό	5036	Υποδεικνύει κινδύνους που προκύπτουν από επικίνδυνη τάση
	Αριθμητικός περιορισμός στοίβαξης	ISO 7000 / IEC 60417 Γραφικά σύμβολα που χρησιμοποιούνται στον εξοπλισμό	2403	Υποδεικνύει ότι δεν πρέπει να γίνεται κάθετο στοίβαγμα των αντικειμένων σε ύψος μεγαλύτερο από τον υποδεικνυόμενο αριθμό αντικειμένων
	Προσοχή, θερμό	ISO 7000 / IEC 60417 Γραφικά σύμβολα που χρησιμοποιούνται στον εξοπλισμό	5041	Υποδεικνύει ότι το σημασμένο αντικείμενο μπορεί να είναι θερμό και δεν θα πρέπει να το αγγίζετε χωρίς προσοχή
	Προσοχή, κίνδυνος στατικού μαγνητικού πεδίου	ISO 7000 / IEC 60417 Γραφικά σύμβολα που χρησιμοποιούνται στον εξοπλισμό	6204	Υποδεικνύει περιοχές με δυνητικά επικίνδυνα στατικά μαγνητικά πεδία και δυνάμεις σε μια εγκατάσταση
	Εφαρμοζόμενα εξαρτήματα τύπου BF	IEC 60601-1 Ιατρικός ηλεκτρικός εξοπλισμός Μέρος 1: Γενικές απαιτήσεις για τη βασική ασφάλεια και τη στοιχειώδη απόδοση	D.2-10	Υποδεικνύει εφαρμοζόμενο εξάρτημα τύπου BF που συμμορφώνεται με το πρότυπο IEC 60601-1

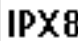
Πίνακας 7: Σύμβολα επισήμανσης προτύπων (συνέχεια)

Σύμβολο	Τίτλος	Οργανισμός ανάπτυξης προτύπων	Αριθμός αναφοράς	Περιγραφή
	Εφαρμοζόμενο εξάρτημα τύπου CF που δεν επηρεάζεται από την απινίδωση	IEC 60601-1 Ιατρικός ηλεκτρικός εξοπλισμός Μέρος 1: Γενικές απαιτήσεις για τη βασική ασφάλεια και τη στοιχειώδη απόδοση	D.1-27	Υποδεικνύει μη επηρεαζόμενο από την απινίδωση εφαρμοζόμενο εξάρτημα τύπου BF που συμμορφώνεται με το πρότυπο IEC 60601-1
	Συσκευή ευαίσθητη στις ηλεκτροστατικές εκκενώσεις	IEC 60417:2002 Γραφικά σύμβολα προς χρήση στον εξοπλισμό	5134	Υποδεικνύει πακέτα που περιέχουν συσκευές ευαίσθητες στις ηλεκτροστατικές εκκενώσεις ή υποδεικνύει μια συσκευή ή έναν σύνδεσμο που δεν έχει ελεγχθεί ως προς την ατρωσία στην ηλεκτροστατική εκκένωση
	Σήμανση κανονιστικής συμμόρφωσης (RCM)	AS/NZS3820	—	Υποδεικνύει το σημάδι ελέγχου της σήμανσης κανονιστικής συμμόρφωσης για την Αυστραλία και τη Νέα Ζηλανδία Η συσκευή συμμορφώνεται με τους σχετικούς κανονισμούς της Αυστραλίας και της Νέας Ζηλανδίας για τις ηλεκτρονικές συσκευές.
	Κωδικός παρτίδας, κωδικός ημερομηνίας ή τύπος κωδικού παρτίδας του αριθμού ελέγχου	ISO 15223-1 Ιατρικές συσκευές - Σύμβολα προς χρήση με τις ετικέτες ιατρικών συσκευών, επισήμανση και πληροφορίες προς παροχή - Μέρος 1: Γενικές απαιτήσεις	5.1.5	Υποδεικνύει τον κωδικό παρτίδας του κατασκευαστή ώστε να μπορεί να ταυτοποιηθεί η παρτίδα.
	Βιολογικός κίνδυνος	ISO 7010 - Γραφικά σύμβολα -- Χρώματα ασφάλειας και σημάδια ασφάλειας	W009	Για προειδοποίηση σχετικά με βιολογικό κίνδυνο





Πίνακας 7: Σύμβολα επισήμανσης προτύπων (συνέχεια)

Σύμβολο	Τίτλος	Οργανισμός ανάπτυξης προτύπων	Αριθμός αναφοράς	Περιγραφή
	Σύμβολα ασφαλείας INMETRO	—	—	Υποδεικνύει διαπιστευμένο στη Βραζιλία οργανισμό πιστοποίησης από το Εθνικό Ινστιτούτο μετρολογικής προτυποποίησης και βιομηχανικής ποιότητας (INMETRO)
	Επισήμανση πιστοποίησης Ένωσης Καναδικών Προτύπων	—	—	Η επισήμανση πιστοποίησης CSA υποδεικνύει ότι το προϊόν συμμορφώνεται με τις εφαρμοστέες απαιτήσεις CSA και ANSI/UL και έχει λάβει άδεια χρήσης στον Καναδά και τις Η.Π.Α.
	Ανακύκλωση: Ηλεκτρονικός εξοπλισμός	BS EN 50419:2016 Σήμανση ηλεκτρικού και ηλεκτρονικού εξοπλισμού σύμφωνα με την οδηγία 2012/19/ΕΚ (ΑΗΗΕ).	Παράρτημα ΙΧ	Μην πετάτε στα σκουπίδια
	Ανακύκλωση κυματοειδούς χαρτονιού	—	—	Το κουτί αποστολής είναι κατασκευασμένο από κυματοειδές χαρτόνι και θα πρέπει να ανακυκλώνεται ανάλογα
	Ημερομηνία κατασκευής	ISO 7000 - Γραφικά σύμβολα που χρησιμοποιούνται στον εξοπλισμό	5.1.3	Για υπόδειξη της ημερομηνίας κατά την οποία κατασκευάστηκε ένα προϊόν
	Συνεχές ρεύμα (DC)	—	—	—
	21 Μέρος 15	Δήλωση συμμόρφωσης Ομοσπονδιακής Επιτροπής Επικοινωνιών (FCC)	Ομοσπονδιακή Επιτροπή Επικοινωνιών	FCC - Δοκιμασμένο σύμφωνα με τις απαιτήσεις της Ομοσπονδιακής Επιτροπής Επικοινωνιών, η συσκευή είναι σύμφωνη με τους σχετικούς κανονισμούς FCC για ηλεκτρονικές συσκευές
GEL	Γέλη	—	—	—





Πίνακας 7: Σύμβολα επισήμανσης προτύπων (συνέχεια)

Σύμβολο	Τίτλος	Οργανισμός ανάπτυξης προτύπων	Αριθμός αναφοράς	Περιγραφή
	Resy - Σύμβολο ανακύκλωσης	—	—	Ανακύκλωση χαρτιού
	Βαθμός προστασίας από εισχώρηση που παρέχεται από το περίβλημα	IEC 60601-1 Ιατρικός ηλεκτρικός εξοπλισμός Μέρος 1: Γενικές απαιτήσεις για τη βασική ασφάλεια και τη στοιχειώδη απόδοση	D.3	Προστατεύεται από τις επιδράσεις της προσωρινής εμβάπτισης σε νερό. Μπορεί να εμβαπτιστεί. Προστατεύεται από τις επιδράσεις της προσωρινής εμβάπτισης.
	Βαθμός προστασίας από εισχώρηση που παρέχεται από το περίβλημα	IEC 60601-1 Ιατρικός ηλεκτρικός εξοπλισμός Μέρος 1: Γενικές απαιτήσεις για τη βασική ασφάλεια και τη στοιχειώδη απόδοση	D.3	Προστατεύεται από τις επιδράσεις της προσωρινής εμβάπτισης σε νερό. Αδιάβροχος εξοπλισμός. Προστατεύεται από τις επιδράσεις της παρατεταμένης εμβάπτισης
	—	—	—	Υποδεικνύει ότι πρέπει να επιδεικνύεται προσοχή κατά τον χειρισμό
	—	—	—	Υποδεικνύει ότι πρέπει να ακολουθούνται οι οδηγίες κατασκευαστή σχετικά με τον χρόνο απολύμανσης
	—	—	—	Υποδεικνύει απολύμανση του μορφοτροπέα
	Μέγιστο φορτίο βάρους	IEC 60601-1 Ιατρικός ηλεκτρικός εξοπλισμός Μέρος 1: Γενικές απαιτήσεις για τη βασική ασφάλεια και τη στοιχειώδη απόδοση	7.2.21	Υποδεικνύει το συνολικό βάρος του εξοπλισμού, συμπεριλαμβανομένου του ασφαλούς φορτίου εργασίας
	Σήμα πιστοποίησης Underwriters Laboratories	—	—	Σήμα πιστοποίησης για την ηλεκτροπληξία, μόνο για κινδύνους ηλεκτροπληξίας, πυρκαγιάς και μηχανικής ζημιάς

Πίνακας 7: Σύμβολα επισήμανσης προτύπων (συνέχεια)

Σύμβολο	Τίτλος	Οργανισμός ανάπτυξης προτύπων	Αριθμός αναφοράς	Περιγραφή
	Πιστοποίηση προϊόντος UL.	—	—	Το προϊόν ή η εταιρεία ικανοποιεί τα αυστηρά πρότυπα για την ασφάλεια του προϊόντος.
	Έλεγχος ρύπανσης Κίνας (10)	ISO 7000:2014 Γραφικά σύμβολα προς χρήση στον εξοπλισμό	1135	Έλεγχος ρύπανσης, λογότυπο. (Εφαρμόζεται σε όλα τα μέρη/προϊόντα που παρατίθενται στον πίνακα RoHS της Κίνας. Μπορεί να μην εμφανίζεται στο εξωτερικό ορισμένων μερών/προϊόντων λόγω περιορισμένου χώρου).
	Κίνα Υποχρεωτικό Σήμα πιστοποίησης («Σήμα CCC»). Υποχρεωτικό σήμα πιστοποίησης για τη συμμόρφωση με τα κινεζικά εθνικά πρότυπα για πολλά προϊόντα που πωλούνται στη Λαϊκή Δημοκρατία της Κίνας.	—	—	—
	Αποστειρωμένο με χρήση αιθυλενοξειδίου	ISO 15223-1 Ιατρικές συσκευές - Σύμβολα προς χρήση με τις ετικέτες ιατρικών συσκευών, επισήμανση και πληροφορίες προς παροχή - Μέρος 1: Γενικές απαιτήσεις	5.2.3	Υποδεικνύει μια ιατρική συσκευή που έχει απολυμανθεί με χρήση αιθυλενοξειδίου

Πίνακας 7: Σύμβολα επισήμανσης προτύπων (συνέχεια)

Σύμβολο	Τίτλος	Οργανισμός ανάπτυξης προτύπων	Αριθμός αναφοράς	Περιγραφή
	Αποστειρωμένο με χρήση ακτινοβολίας	ISO 15223-1 Ιατρικές συσκευές - Σύμβολα προς χρήση με τις ετικέτες ιατρικών συσκευών, επισήμανση και πληροφορίες προς παροχή - Μέρος 1: Γενικές απαιτήσεις	5.2.4	Υποδεικνύει μια ιατρική συσκευή που έχει απολυμανθεί με χρήση ακτινοβολίας
	(μόνο SII) Αριθμός καταλόγου	ISO 15223-1:2016 Ιατρικές συσκευές - Σύμβολα προς χρήση με τις ετικέτες ιατρικών συσκευών, επισήμανση και πληροφορίες προς παροχή - Μέρος 1: Γενικές απαιτήσεις	5.1.6	Υποδεικνύει τον αριθμό καταλόγου του κατασκευαστή, ώστε να είναι δυνατή η αναγνώριση μιας συγκεκριμένης ιατρικής συσκευής.
	(μόνο SII) Επικίνδυνη τάση	ISO 7000 / IEC 60417 Γραφικά σύμβολα που χρησιμοποιούνται στον εξοπλισμό	5036	Υποδεικνύει κινδύνους που προκύπτουν από επικίνδυνη τάση
	(μόνο SII) Για χρήση αποκλειστικά σε εσωτερικούς χώρους	ISO 7000 / IEC 60417 Γραφικά σύμβολα που χρησιμοποιούνται στον εξοπλισμό	5957	Ταυτοποιεί ηλεκτρικό εξοπλισμό που έχει σχεδιαστεί κατά κύριο λόγο για χρήση σε εσωτερικούς χώρους

Προδιαγραφές

Υποστηριζόμενοι μορφοτροπέις (SonoSite SII)

Η ακόλουθη περιττή ενότητα αφαιρέθηκε από το εγχειρίδιο χρήσης του SonoSite SII. Η ίδια πληροφορία εμφανίζεται στον Πίνακα 9-2 του εγχειριδίου χρήσης. Η αναθεώρηση θα γίνει στην επόμενη ενημέρωση.

Πίνακας 8: Υποστηριζόμενοι μορφοτροπείς

Περιγραφή	Μέγιστο μήκος καλωδίου
Μορφοτροπέας C11x	1,8 m
Μορφοτροπέας rC60χι, τυπικός/με θωράκιση	1,7 m
Μορφοτροπέας HFL38χι, τυπικός/με θωράκιση	1,7 m
Μορφοτροπέας HFL50x	1,7 m
Μορφοτροπέας HSL25x	2,4 m
Μορφοτροπέας ICTx	1,7 m
Μορφοτροπέας L25x	2,3 m
Μορφοτροπέας L38χι, τυπικός/με θωράκιση	1,7 m
Μορφοτροπέας L52x	2,4 m
Μορφοτροπέας P10x	1,8 m
Μορφοτροπέας rP19x, τυπικός/με θωράκιση	1,8 m

Για τους μορφοτροπείς, το μέγιστο μήκος καλωδίου καταμετράται μεταξύ των διατάξεων ανακούφισης τάσης. Στα αναφερόμενα μήκη δεν συμπεριλαμβάνονται τα μήκη του καλωδίου στις ακόλουθες θέσεις: κάτω από τις διατάξεις ανακούφισης τάσης, στο εσωτερικό του περιβλήματος του μορφοτροπέα και στο εσωτερικό του συνδέσμου του μορφοτροπέα.

Πρότυπα

Πρότυπα ηλεκτρομηχανικής ασφάλειας

Πίνακας 9: Πρότυπα ηλεκτρομηχανικής ασφάλειας

Πρότυπο	Περιγραφή
ANSI/AAMI ES60601-1:2005/(R) 2012 και A1:2012	Ιατρικός ηλεκτρικός εξοπλισμός – Μέρος 1: Γενικές απαιτήσεις για τη βασική ασφάλεια και τη στοιχειώδη απόδοση (Ενοποιημένη έκδοση 3.1)
CAN/CSA C22.2 Αρ. 60601-1:2014 (Έκδοση 3.1)	Ιατρικός ηλεκτρικός εξοπλισμός – Μέρος 1: Γενικές απαιτήσεις για τη βασική ασφάλεια και τη στοιχειώδη απόδοση
IEC 60601-1:2012 (Έκδοση 3.1)	Ιατρικός ηλεκτρικός εξοπλισμός – Μέρος 1: Γενικές απαιτήσεις για τη βασική ασφάλεια και τη στοιχειώδη απόδοση

Πίνακας 9: Πρότυπα ηλεκτρομηχανικής ασφάλειας

Πρότυπο	Περιγραφή
IEC 60601-2-37:2015	Ιατρικός ηλεκτρικός εξοπλισμός – Μέρος 2-37: Ειδικές απαιτήσεις για τη βασική ασφάλεια και τη στοιχειώδη απόδοση του ιατρικού εξοπλισμού διάγνωσης και παρακολούθησης με χρήση υπερήχων
IEC 60601-1-6:2013	Ιατρικός ηλεκτρικός εξοπλισμός – Μέρος 1-6: Γενικές απαιτήσεις για τη βασική ασφάλεια και τη στοιχειώδη απόδοση - Συμπληρωματικό πρότυπο: Χρησιμότητα
JIS T0601-1:2012 (3η έκδοση)	Ιαπωνικό βιομηχανικό πρότυπο, Ιατρικός ηλεκτρικός εξοπλισμός - Μέρος 1: Γενικές απαιτήσεις για τη βασική ασφάλεια και τη στοιχειώδη απόδοση

Ακουστική έξοδος

Αρχή ALARA

Εφαρμογή της αρχής ALARA

Ο τρόπος λειτουργίας απεικόνισης του συστήματος, που επιλέγεται από τον εξειδικευμένο χρήστη υπερήχων, καθορίζεται από τις διαγνωστικές πληροφορίες που απαιτούνται. Ο τρόπος λειτουργίας απεικόνισης 2D (Δισδιάστατη απεικόνιση) παρέχει ανατομικές πληροφορίες. Ο τρόπος λειτουργίας απεικόνισης CPD παρέχει πληροφορίες σχετικά με την ενέργεια ή την ισχύ πλάτους του σήματος Doppler ως προς το χρόνο σε μια δεδομένη ανατομική θέση και χρησιμοποιείται για την ανίχνευση της παρουσίας της ροής αίματος. Ο τρόπος λειτουργίας απεικόνισης έγχρωμης απεικόνισης παρέχει πληροφορίες σχετικά με την ενέργεια ή την ισχύ πλάτους του σήματος Doppler ως προς το χρόνο σε μια δεδομένη ανατομική θέση και χρησιμοποιείται για την ανίχνευση της παρουσίας, της ταχύτητας και της κατεύθυνσης της ροής αίματος. Η αρμονική απεικόνιση ιστών (THI) χρησιμοποιεί τη λήψη υψηλότερων συχνοτήτων για μείωση των ανεπιθύμητων παρασίτων και των τεχνημάτων, καθώς και για βελτίωση της ανάλυσης στην εικόνα 2D. Η κατανόηση της φύσης του χρησιμοποιούμενου τρόπου λειτουργίας απεικόνισης επιτρέπει στον ειδικευμένο χρήστη υπερήχων να εφαρμόσει την αρχή ALARA.

Για τη συνετή χρήση των υπερήχων, η έκθεση του ασθενούς στους υπερήχους πρέπει να περιορίζεται στο κατώτατο όριο εξόδου υπερήχων για το μικρότερο χρονικό διάστημα που απαιτείται προκειμένου να επιτευχθούν αποδεκτά διαγνωστικά αποτελέσματα. Οι συνετές αποφάσεις κατά τη χρήση των υπερήχων πρέπει να βασίζονται στον τύπο του ασθενούς και της εξέτασης, στο ιστορικό ασθενούς, στην ευκολία ή τη δυσκολία λήψης διαγνωστικά χρήσιμων πληροφοριών και την ενδεχόμενη τοπική θέρμανση του ασθενούς λόγω της θερμοκρασίας στην επιφάνεια του μορφοτροπέα.

Το σύστημα είναι σχεδιασμένο ώστε να διασφαλίζει ότι η θερμοκρασία στην πρόσοψη του μορφοτροπέα δεν θα υπερβαίνει τα όρια που ορίζονται στο πρότυπο EN 60601-2-37: Particular requirement for the safety of ultrasound medical diagnostic and monitoring equipment (Ειδική απαίτηση για την ασφάλεια του ιατρικού εξοπλισμού διάγνωσης και παρακολούθησης με χρήση υπερήχων). Βλ. «**Αύξηση θερμοκρασίας επιφάνειας μορφοτροπέα**» στη σελίδα 10-9. Σε περίπτωση δυσλειτουργίας της συσκευής, υπάρχουν εφεδρικά πλήκτρα ελέγχου που περιορίζουν την ισχύ του μορφοτροπέα. Αυτό επιτυγχάνεται χάρη σε έναν ηλεκτρικό σχεδιασμό που περιορίζει τόσο την ένταση του ρεύματος όσο και την τάση της τροφοδοσίας προς τον μορφοτροπέα.

Ο ειδικός υπερήχων χρησιμοποιεί τα πλήκτρα ελέγχου του συστήματος για να ρυθμίσει την ποιότητα της εικόνας και να καθορίσει τα όρια της εξόδου υπερήχων. Τα στοιχεία ελέγχου του συστήματος χωρίζονται σε τρεις κατηγορίες ως προς την έξοδο: στοιχεία ελέγχου που επηρεάζουν άμεσα την έξοδο, στοιχεία ελέγχου που επηρεάζουν έμμεσα την έξοδο και στοιχεία ελέγχου δέκτη.

Άμεσα πλήκτρα ελέγχου

Το σύστημα δεν υπερβαίνει τη μέγιστη χωρική, μέση χρονική ένταση (ISPTA) των 720 mW/cm² για όλους τους τρόπους λειτουργίας απεικόνισης. (Είτε για την οφθαλμική είτε για την κογχική εξέταση, η ακουστική έξοδος περιορίζεται στις ακόλουθες τιμές: Το ISPTA δεν υπερβαίνει τα 50 mW/cm². Ο θερμικός δείκτης (TI) δεν υπερβαίνει την τιμή 1,0 και ο μηχανικός δείκτης (MI) δεν υπερβαίνει την τιμή 0,23.) Ο μηχανικός δείκτης (MI) και ο θερμικός δείκτης (TI) μπορούν να υπερβαίνουν τιμές ανώτερες του 1,0 σε μερικούς μορφοτροπέις σε ορισμένους τρόπους λειτουργίας απεικόνισης. Είναι δυνατή η παρακολούθηση των τιμών MI και TI και η ρύθμιση των πλήκτρων ελέγχου για τη μείωση αυτών των τιμών. Ανατρέξτε στην ενότητα «**Κατευθυντήριες οδηγίες για τη μείωση των MI και TI**» στη σελίδα 10-3. Επίσης, ένας τρόπος εφαρμογής της αρχής ALARA είναι η ρύθμιση των τιμών MI ή TI σε χαμηλή τιμή δείκτη και κατόπιν η τροποποίηση αυτού του επιπέδου έως ότου ληφθεί ικανοποιητική εικόνα ή τρόπος λειτουργίας Doppler. Για περισσότερες πληροφορίες σχετικά με τις τιμές MI και TI, ανατρέξτε στο Medical Ultrasound Safety, AIUM (Ασφάλεια υπερήχων στην ιατρική, Αμερικανικό Ινστιτούτο Υπερήχων στην Ιατρική) (ένα αντίγραφο περιλαμβάνεται με κάθε σύστημα) και στο πρότυπο IEC 60601-2-37 Παράρτημα «Οδηγίες για την ερμηνεία των δεικτών TI και MI που χρησιμοποιούνται για την ενημέρωση του χειριστή».

Προβολή εξόδου

Σχετικά έγγραφα καθοδήγησης

Πληροφορίες για κατασκευαστές που επιζητούν άδεια κυκλοφορίας για συστήματα διάγνωσης με χρήση υπερήχων και για μορφοτροπέις, FDA, 2008.

Ασφάλεια υπερήχων στην ιατρική, Αμερικανικό Ινστιτούτο Υπερήχων στην Ιατρική (AIUM), 2014. (Με κάθε σύστημα παρέχεται ένα αντίγραφο).

Πρότυπο μέτρησης ακουστικής εξόδου για εξοπλισμό διάγνωσης με χρήση υπερήχων, NEMA UD2-2004.

IEC 60601-2-37: 2015, Ειδικές απαιτήσεις για τη βασική ασφάλεια και τη στοιχειώδη απόδοση του διαγνωστικού εξοπλισμού και εξοπλισμού παρακολούθησης με χρήση υπερήχων.

Αύξηση θερμοκρασίας επιφάνειας μορφοτροπέα

Ο Πίνακας 10-4 και ο Πίνακας 10-5 παραθέτουν την καταμετρημένη αύξηση θερμοκρασίας της επιφάνειας των μορφοτροπέων που χρησιμοποιούνται στο σύστημα υπερήχων σε σχέση με τη θερμοκρασία περιβάλλοντος ($23\text{ }^{\circ}\text{C} \pm 3\text{ }^{\circ}\text{C}$). Οι τιμές θερμοκρασίας καταμετρήθηκαν σύμφωνα με το πρότυπο IEC 60601-2-37, με τα στοιχεία ελέγχου και τις ρυθμίσεις καθορισμένα ώστε να παρέχονται οι μέγιστες τιμές θερμοκρασίας.

Μέτρηση ακουστικής εξόδου

Από την πρώτη χρήση υπερήχων για διαγνωστικούς σκοπούς και έπειτα, πολλά επιστημονικά και ιατρικά ιδρύματα μελέτησαν τις πιθανές βιολογικές επιδράσεις (βιοεπιδράσεις) στον άνθρωπο από την έκθεση σε υπερήχους. Τον Οκτώβριο του 1987, το Αμερικανικό Ινστιτούτο Υπερήχων στην Ιατρική (AIUM) επικύρωσε μια έκθεση που καταρτίστηκε από την Επιτροπή Βιοεπιδράσεων του Ιδρύματος (Bioeffects Considerations for the Safety of Diagnostic Ultrasound, *J Ultrasound Med.*, Sept. 1988: Vol. 7, No. 9 Supplement). Η έκθεση, η οποία μερικές φορές αναφέρεται ως *έκθεση Stowe*, ανασκόπησε διαθέσιμα δεδομένα σχετικά με τις πιθανές επιδράσεις της έκθεσης σε υπερήχους. Μια άλλη έκθεση, η έκθεση *Bioeffects and Safety of Diagnostic Ultrasound* (Βιοεπιδράσεις και ασφάλεια των διαγνωστικών υπερήχων), της 28ης Ιανουαρίου 1993, παρέχει πιο πρόσφατες πληροφορίες.

Η ακουστική έξοδος για αυτό το σύστημα υπερήχων έχει μετρηθεί και υπολογιστεί σύμφωνα με το Πρότυπο μέτρησης ακουστικής εξόδου για εξοπλισμό διάγνωσης με χρήση υπερήχων (NEMA UD2-2004) και το πρότυπο IEC 60601-2-37: 2015, Ειδικές απαιτήσεις για τη βασική ασφάλεια και τη στοιχειώδη απόδοση του διαγνωστικού εξοπλισμού και εξοπλισμού παρακολούθησης με χρήση υπερήχων.

Πίνακες ακουστικής εξόδου

Ενημερώθηκε η μορφή των πινάκων ακουστικής εξόδου.

Μοντέλο μορφοτροπέα: C8x Τρόπος λειτουργίας: 2D	406
Μοντέλο μορφοτροπέα: C8x Τρόπος λειτουργίας: M mode	407
Μοντέλο μορφοτροπέα: C8x Τρόπος λειτουργίας: Color/CPD	408
Μοντέλο μορφοτροπέα: C8x Τρόπος λειτουργίας: PW Doppler	409
Μοντέλο μορφοτροπέα: C11x Τρόπος λειτουργίας: PW Doppler	410
Μοντέλο μορφοτροπέα: C35x Τρόπος λειτουργίας: 2D	411
Μοντέλο μορφοτροπέα: C35x Τρόπος λειτουργίας: PW Doppler	412
Μοντέλο μορφοτροπέα: HFL38χι (Οφθαλμική χρήση) Τρόπος λειτουργίας: 2D	413
Μοντέλο μορφοτροπέα: HFL38χι (Οφθαλμική χρήση) Τρόπος λειτουργίας: M mode	414
Μοντέλο μορφοτροπέα: HFL38χι (Οφθαλμική χρήση) Τρόπος λειτουργίας: Color/CPD	415
Μοντέλο μορφοτροπέα: HFL38χι (Οφθαλμική χρήση) Τρόπος λειτουργίας: PW Doppler	416
Μοντέλο μορφοτροπέα: HFL38χι Τρόπος λειτουργίας: 2D	417
Μοντέλο μορφοτροπέα: HFL38χι Τρόπος λειτουργίας: M mode	418
Μοντέλο μορφοτροπέα: HFL38χι Τρόπος λειτουργίας: Color/CPD	419
Μοντέλο μορφοτροπέα: HFL38χι Τρόπος λειτουργίας: PW Doppler	420
Μοντέλο μορφοτροπέα: HFL50x Τρόπος λειτουργίας: 2D	421
Μοντέλο μορφοτροπέα: HFL50x Τρόπος λειτουργίας: M mode	422

Μοντέλο μορφοτροπείας: HFL50x Τρόπος λειτουργίας: Color απεικόνιση	423
Μοντέλο μορφοτροπείας: HFL50x Τρόπος λειτουργίας: PW Doppler	424
Μοντέλο μορφοτροπείας: HSL25x (Οφθαλμική χρήση) Τρόπος λειτουργίας: 2D	425
Μοντέλο μορφοτροπείας: HSL25x (Οφθαλμική χρήση) Τρόπος λειτουργίας: M mode	426
Μοντέλο μορφοτροπείας: HSL25x (Οφθαλμική χρήση) Τρόπος λειτουργίας: Color/CPD	427
Μοντέλο μορφοτροπείας: HSL25x (Οφθαλμική χρήση) Τρόπος λειτουργίας: PW Doppler	428
Μοντέλο μορφοτροπείας: HSL25x Τρόπος λειτουργίας: 2D	429
Μοντέλο μορφοτροπείας: HSL25x Τρόπος λειτουργίας: Color/CPD	430
Μοντέλο μορφοτροπείας: HSL25x Τρόπος λειτουργίας: PW Doppler	431
Μοντέλο μορφοτροπείας: ICTx Τρόπος λειτουργίας: PW Doppler	432
Μοντέλο μορφοτροπείας: L25x (Οφθαλμική χρήση) Τρόπος λειτουργίας: 2D	433
Μοντέλο μορφοτροπείας: L25x (Οφθαλμική χρήση) Τρόπος λειτουργίας: M mode	434
Μοντέλο μορφοτροπείας: L25x (Οφθαλμική χρήση) Τρόπος λειτουργίας: Color/CPD	435
Μοντέλο μορφοτροπείας: L25x (Οφθαλμική χρήση) Τρόπος λειτουργίας: PW Doppler	436
Μοντέλο μορφοτροπείας: L25x Τρόπος λειτουργίας: 2D	437
Μοντέλο μορφοτροπείας: L25x Τρόπος λειτουργίας: Color/CPD	438
Μοντέλο μορφοτροπείας: L25x Τρόπος λειτουργίας: PW Doppler	439
Μοντέλο μορφοτροπείας: L38x Τρόπος λειτουργίας: 2D	440
Μοντέλο μορφοτροπείας: L38x Τρόπος λειτουργίας: M mode	441
Μοντέλο μορφοτροπείας: L38x Τρόπος λειτουργίας: Color/CPD	442
Μοντέλο μορφοτροπείας: L38x Τρόπος λειτουργίας: PW Doppler	443
Μοντέλο μορφοτροπείας: P10x Τρόπος λειτουργίας: Color απεικόνιση	444
Μοντέλο μορφοτροπείας: P10x Τρόπος λειτουργίας: CW Doppler	445
Μοντέλο μορφοτροπείας: P10x Τρόπος λειτουργίας: PW Doppler	446
Μοντέλο μορφοτροπείας: rC60x Τρόπος λειτουργίας: 2D	447
Μοντέλο μορφοτροπείας: rC60x Τρόπος λειτουργίας: M mode	448
Μοντέλο μορφοτροπείας: rC60x Τρόπος λειτουργίας: Color/CPD	449
Μοντέλο μορφοτροπείας: rC60x Τρόπος λειτουργίας: PW Doppler	450
Μοντέλο μορφοτροπείας: rP19x (Κογχική χρήση) Τρόπος λειτουργίας: 2D	451
Μοντέλο μορφοτροπείας: rP19x (Κογχική χρήση) Τρόπος λειτουργίας: M mode	452
Μοντέλο μορφοτροπείας: rP19x (Κογχική χρήση) Τρόπος λειτουργίας: Color/CPD	453
Μοντέλο μορφοτροπείας: rP19x (Κογχική χρήση) Τρόπος λειτουργίας: PW Doppler	454
Μοντέλο μορφοτροπείας: rP19x Τρόπος λειτουργίας: 2D	455
Μοντέλο μορφοτροπείας: rP19x Τρόπος λειτουργίας: M mode	456
Μοντέλο μορφοτροπείας: rP19x Τρόπος λειτουργίας: Color/CPD	457
Μοντέλο μορφοτροπείας: rP19x Τρόπος λειτουργίας: CW Doppler	458
Μοντέλο μορφοτροπείας: rP19x Τρόπος λειτουργίας: PW Doppler	459
Μοντέλο μορφοτροπείας: TEEx Τρόπος λειτουργίας: CW Doppler	460
Μοντέλο μορφοτροπείας: TEEx Τρόπος λειτουργίας: PW Doppler	461

Πίνακας 10: Μοντέλο μορφοτροπία: C8x Τρόπος λειτουργίας: 2D

Ετικέτα δείκτη		MI	TIS		TIB		TIC
			Στην επιφάνεια	Κάτω από την επιφάνεια	Στην επιφάνεια	Κάτω από την επιφάνεια	Στην επιφάνεια
Μέγιστη τιμή δείκτη		1,1	(α)		(α)		(β)
Τιμή συνιστώσας δείκτη			#	#	#	#	
Ακουστικές παράμετροι	$p_{r,\alpha}$ σε z_{MI} (MPa)	2,48					
	P (mW)		#		#		#
	P_{1x1} (mW)		#		#		
	z_s (cm)			—			
	z_b (cm)					—	
	z_{MI} (cm)	1,2					
	$z_{pii,\alpha}$ (cm)	1,2					
	f_{awf} (MHz)	5,53	#		#		#
Άλλες πληροφορίες	prr (Hz)	9.524					
	srr (Hz)	18,6					
	η_{pps}	1					
	$I_{pa,\alpha}$ σε $z_{pii,\alpha}$ (W/cm^2)	264					
	$I_{spta,\alpha}$ σε $z_{pii,\alpha}$ ή $z_{sii,\alpha}$ (mW/cm^2)	18,3					
	I_{spta} σε z_{pii} ή z_{sii} (mW/cm^2)	25,6					
	p_r σε z_{pii} (MPa)	3,11					
Συνθήκες ελέγχου λειτουργίας	Τύπος εξέτασης	Pro					
	Βελτιστοποίηση	Pen					
	Βάθος (cm)	2,5 – 3,2					
	MB	Απενεργ.					

(α) Αυτός ο δείκτης δεν απαιτείται για τον συγκεκριμένο τρόπο λειτουργίας. Η τιμή είναι <1.

(β) Αυτός ο μορφοτροπέας δεν προορίζεται για διακρανιακή ή κεφαλική χρήση σε νεογνά.

Δεν αναφέρονται δεδομένα για αυτήν τη συνθήκη λειτουργίας, καθώς η καθολική μέγιστη τιμή δείκτη δεν αναφέρεται για τον λόγο που παρατίθεται. (Γραμμή καθολικής μέγιστης τιμής δείκτη αναφοράς.)

— Τα δεδομένα δεν ισχύουν για αυτόν τον μορφοτροπέα/τρόπο λειτουργίας.

Πίνακας 11: Μοντέλο μορφοτροπεία: C8x Τρόπος λειτουργίας: M mode

Ετικέτα δείκτη	MI	TIS		TIB		TIC
		Στην επιφάνεια	Κάτω από την επιφάνεια	Στην επιφάνεια	Κάτω από την επιφάνεια	Στην επιφάνεια
Μέγιστη τιμή δείκτη	1,3	(α)		(α)		(β)
Τιμή συνιστώσας δείκτη		#	#	#	#	
Ακουστικές παράμετροι	$p_{r,\alpha}$ σε z_{MI} (MPa)	2,91				
	P (mW)		#	#	#	#
	P_{1x1} (mW)		#	#	#	
	z_s (cm)		#			
	z_b (cm)				#	
	z_{MI} (cm)	1,1				
	$z_{pii,\alpha}$ (cm)	1,1				
	f_{awf} (MHz)	5,07	#	#	#	#
Άλλες πληροφορίες	prr (Hz)	800				
	srr (Hz)	—				
	n_{pps}	1				
	$I_{pa,\alpha}$ σε $z_{pii,\alpha}$ (W/cm^2)	433				
	$I_{spta,\alpha}$ σε $z_{pii,\alpha}$ ή $z_{sii,\alpha}$ (mW/cm^2)	149				
	I_{spta} σε z_{pii} ή z_{sii} (mW/cm^2)	226				
	p_r σε z_{pii} (MPa)	3,57				
Συνθήκες ελέγχου λειτουργίας	Τύπος εξέτασης	Pro				
	Βελτιστοποίηση	Pen				
	Βάθος (cm)	4,2				

(α) Αυτός ο δείκτης δεν απαιτείται για τον συγκεκριμένο τρόπο λειτουργίας. Η τιμή είναι <1.

(β) Αυτός ο μορφοτροπείας δεν προορίζεται για διακρανιακή ή κεφαλική χρήση σε νεογνά.

Δεν αναφέρονται δεδομένα για αυτήν τη συνθήκη λειτουργίας, καθώς η καθολική μέγιστη τιμή δείκτη δεν αναφέρεται για τον λόγο που παρατίθεται. (Γραμμή καθολικής μέγιστης τιμής δείκτη αναφοράς.)

— Τα δεδομένα δεν ισχύουν για αυτόν τον μορφοτροπεία/τρόπο λειτουργίας.

Πίνακας 12: Μοντέλο μορφοτροπείας: C8x Τρόπος λειτουργίας: Color/CPD

Ετικέτα δείκτη		MI	TIS		TIB		TIC
			Στην επιφάνεια	Κάτω από την επιφάνεια	Στην επιφάνεια	Κάτω από την επιφάνεια	Στην επιφάνεια
Μέγιστη τιμή δείκτη		1,2	(α)		(α)		(β)
Τιμή συνιστώσας δείκτη			#	#	#	#	
Ακουστικές παράμετροι	$p_{r,\alpha}$ σε z_{MI} (MPa)	2,68					
	P (mW)		#		#		#
	P_{1x1} (mW)		#		#		
	z_s (cm)			—			
	z_b (cm)					—	
	z_{MI} (cm)	0,8					
	$z_{pii,\alpha}$ (cm)	0,8					
	f_{awf} (MHz)	4,82		#		#	#
Άλλες πληροφορίες	p_{rr} (Hz)	2.548					
	s_{rr} (Hz)	26					
	n_{pps}	12					
	$I_{pa,\alpha}$ σε $z_{pii,\alpha}$ (W/cm^2)	381					
	$I_{spta,\alpha}$ σε $z_{pii,\alpha}$ ή $z_{sii,\alpha}$ (mW/cm^2)	132					
	I_{spta} σε z_{pii} ή z_{sii} (mW/cm^2)	176					
	p_r σε z_{pii} (MPa)	3,1					
Συνθήκες ελέγχου λειτουργίας	Τύπος εξέτασης	Pro					
	Τρόπος λειτουργίας	CVD					
	Βελτιστοποίηση 2D/Βάθος (cm)	Pen/1,5 – 1,9					
	Βελτιστοποίηση έγχρωμης απεικόνισης/PRF (Hz)	Υψηλή/Οποιαδήποτε					
	Θέση/Μέγεθος πλαισίου έγχρωμης απεικόνισης	Στενό/Οποιαδήποτε					

(α) Αυτός ο δείκτης δεν απαιτείται για τον συγκεκριμένο τρόπο λειτουργίας. Η τιμή είναι <1.

(β) Αυτός ο μορφοτροπέας δεν προορίζεται για διακρανιακή ή κεφαλική χρήση σε νεογνά.

Δεν αναφέρονται δεδομένα για αυτήν τη συνθήκη λειτουργίας, καθώς η καθολική μέγιστη τιμή δείκτη δεν αναφέρεται για τον λόγο που παρατίθεται. (Γραμμή καθολικής μέγιστης τιμής δείκτη αναφοράς.)

— Τα δεδομένα δεν ισχύουν για αυτόν τον μορφοτροπέα/τρόπο λειτουργίας.

Πίνακας 13: Μοντέλο μορφοτροπέα: C8x Τρόπος λειτουργίας: PW Doppler

Ετικέτα δείκτη		MI	TIS		TIB		TIC
			Στην επιφάνεια	Κάτω από την επιφάνεια	Στην επιφάνεια	Κάτω από την επιφάνεια	Στην επιφάνεια
Μέγιστη τιμή δείκτη		1,0	(α)		1,4		(β)
Τιμή συνιστώσας δείκτη			#	#	0,5	1,4	
Ακουστικές παράμετροι	$p_{r,\alpha}$ σε z_{MI} (MPa)	2,28					
	P (mW)		#		23,1		#
	P_{Tx1} (mW)		#		23,1		
	z_s (cm)			#			
	z_b (cm)					1,0	
	z_{MI} (cm)	1,8					
	$z_{pii,\alpha}$ (cm)	1,8					
	f_{awf} (MHz)	4,80		#	4,80		#
Άλλες πληροφορίες	prf (Hz)	1008					
	srr (Hz)	—					
	n_{pps}	1					
	$I_{pa,\alpha}$ σε $z_{pii,\alpha}$ (W/cm^2)	263					
	$I_{spta,\alpha}$ σε $z_{pii,\alpha}$ ή $z_{sii,\alpha}$ (mW/cm^2)	334					
	I_{spta} σε z_{pii} ή z_{sii} (mW/cm^2)	616					
	p_r σε z_{pii} (MPa)	3,1					
Συνθήκες ελέγχου λειτουργίας	Τύπος εξέτασης	Pro			Pro		
	Μέγεθος όγκου δείγματος (mm)	1			1		
	Θέση όγκου δείγματος	Ζώνη 4			Ζώνη 4		
	PRF (Hz)	1008			1008		

(α) Αυτός ο δείκτης δεν απαιτείται για τον συγκεκριμένο τρόπο λειτουργίας. Η τιμή είναι <1.

(β) Αυτός ο μορφοτροπέας δεν προορίζεται για διακρανιακή ή κεφαλική χρήση σε νεογνά.

Δεν αναφέρονται δεδομένα για αυτήν τη συνθήκη λειτουργίας, καθώς η καθολική μέγιστη τιμή δείκτη δεν αναφέρεται για τον λόγο που παρατίθεται. (Γραμμή καθολικής μέγιστης τιμής δείκτη αναφοράς.)

— Τα δεδομένα δεν ισχύουν για αυτόν τον μορφοτροπέα/τρόπο λειτουργίας.

Πίνακας 14: Μοντέλο μορφοτροπείας: C11x Τρόπος λειτουργίας: PW Doppler

Ετικέτα δείκτη		MI	TIS		TIB		TIC
			Στην επιφάνεια	Κάτω από την επιφάνεια	Στην επιφάνεια	Κάτω από την επιφάνεια	Στην επιφάνεια
Μέγιστη τιμή δείκτη		(α)	(α)		1,5		1,1
Τιμή συνιστώσας δείκτη			#	#	0,5	1,5	
Ακουστικές παράμετροι	$p_{r,\alpha}$ σε z_{MI} (MPa)	#					
	P (mW)		#		24,6		21,7
	P_{1x1} (mW)		#		24,6		
	z_s (cm)			#			
	z_b (cm)					1,7	
	z_{MI} (cm)	#					
	$z_{pii,\alpha}$ (cm)	#					
	f_{awf} (MHz)	#	#		4,37		4,36
Άλλες πληροφορίες	prr (Hz)	#					
	srr (Hz)	#					
	η_{pps}	#					
	$I_{pa,\alpha}$ σε $z_{pii,\alpha}$ (W/cm^2)	#					
	$I_{spta,\alpha}$ σε $z_{pii,\alpha}$ ή $z_{sii,\alpha}$ (mW/cm^2)	#					
	I_{spta} σε z_{pii} ή z_{sii} (mW/cm^2)	#					
	p_r σε z_{pii} (MPa)	#					
Συνθήκες ελέγχου λειτουργίας	Τύπος εξέτασης				Nrv		Nrv
	Μέγεθος όγκου δείγματος (mm)				1		7
	Θέση όγκου δείγματος				Ζώνη 1		Ζώνη 0
	PRF (Hz)				10.417		6250

(α) Αυτός ο δείκτης δεν απαιτείται για τον συγκεκριμένο τρόπο λειτουργίας. Η τιμή είναι <1.

(β) Αυτός ο μορφοτροπέας δεν προορίζεται για διακρανιακή ή κεφαλική χρήση σε νεογνά.

Δεν αναφέρονται δεδομένα για αυτήν τη συνθήκη λειτουργίας, καθώς η καθολική μέγιστη τιμή δείκτη δεν αναφέρεται για τον λόγο που παρατίθεται. (Γραμμή καθολικής μέγιστης τιμής δείκτη αναφοράς.)

— Τα δεδομένα δεν ισχύουν για αυτόν τον μορφοτροπέα/τρόπο λειτουργίας.

Πίνακας 15: Μοντέλο μορφοτροπεία: C35x Τρόπος λειτουργίας: 2D

Ετικέτα δείκτη	MI	TIS		TIB		TIC
		Στην επιφάνεια	Κάτω από την επιφάνεια	Στην επιφάνεια	Κάτω από την επιφάνεια	Στην επιφάνεια
Μέγιστη τιμή δείκτη	1,0	(α)		(α)		(β)
Τιμή συνιστώσας δείκτη		#	#	#	#	
Ακουστικές παράμετροι	$p_{r,\alpha}$ σε z_{MI} (MPa)	1,8				
	P (mW)		#	#	#	#
	P_{1x1} (mW)		#	#	#	
	z_s (cm)			—		
	z_b (cm)				—	
	z_{MI} (cm)	3,3				
	$z_{pii,\alpha}$ (cm)	3,3				
	f_{awf} (MHz)	3,45	#	#	#	#
Άλλες πληροφορίες	pr (Hz)	1021				
	srr (Hz)	7,98				
	η_{pps}	1				
	$I_{pa,\alpha}$ σε $z_{pii,\alpha}$ (W/cm^2)	250				
	$I_{spta,\alpha}$ σε $z_{pii,\alpha}$ ή $z_{sii,\alpha}$ (mW/cm^2)	8,6				
	I_{spta} σε z_{pii} ή z_{sii} (mW/cm^2)	16,5				
	p_r σε z_{pii} (MPa)	2,61				
Συνθήκες ελέγχου λειτουργίας	Τύπος εξέτασης	Msk				
	Βελτιστοποίηση	Res				
	Βάθος (cm)	8,3				
	MB	Δ/I				

(α) Αυτός ο δείκτης δεν απαιτείται για τον συγκεκριμένο τρόπο λειτουργίας. Η τιμή είναι <1.

(β) Αυτός ο μορφοτροπέας δεν προορίζεται για διακρανιακή ή κεφαλική χρήση σε νεογνά.

Δεν αναφέρονται δεδομένα για αυτήν τη συνθήκη λειτουργίας, καθώς η καθολική μέγιστη τιμή δείκτη δεν αναφέρεται για τον λόγο που παρατίθεται. (Γραμμή καθολικής μέγιστης τιμής δείκτη αναφοράς.)

— Τα δεδομένα δεν ισχύουν για αυτόν τον μορφοτροπέα/τρόπο λειτουργίας.

Πίνακας 16: Μοντέλο μορφοτροπείας: C35x Τρόπος λειτουργίας: PW Doppler

Ετικέτα δείκτη		MI	TIS		TIB		TIC
			Στην επιφάνεια	Κάτω από την επιφάνεια	Στην επιφάνεια	Κάτω από την επιφάνεια	Στην επιφάνεια
Μέγιστη τιμή δείκτη		(α)	1,5		2,6		(β)
Τιμή συνιστώσας δείκτη			1,5	1,0	1,0	2,6	
Ακουστικές παράμετροι	$p_{r,\alpha}$ σε z_{MI} (MPa)	#					
	P (mW)		72,8		47,1		#
	P_{Tx1} (mW)		71,1		47,1		
	z_s (cm)			1,4			
	z_b (cm)					0,50	
	z_{MI} (cm)	#					
	$z_{pii,\alpha}$ (cm)	#					
	f_{awf} (MHz)	#	4,35		4,37		#
Άλλες πληροφορίες	prr (Hz)	#					
	srr (Hz)	#					
	η_{pps}	#					
	$I_{pa,\alpha}$ σε $z_{pii,\alpha}$ (W/cm^2)	#					
	$I_{spta,\alpha}$ σε $z_{pii,\alpha}$ ή $z_{sii,\alpha}$ (mW/cm^2)	#					
	I_{spta} σε z_{pii} ή z_{sii} (mW/cm^2)	#					
	p_r σε z_{pii} (MPa)	#					
Συνθήκες ελέγχου λειτουργίας	Τύπος εξέτασης		Σπονδυλικής στήλης		Σπονδυλικής στήλης		
	Μέγεθος όγκου δείγματος (mm)		2		1		
	Θέση όγκου δείγματος		Ζώνη 5		Ζώνη 0		
	PRF (Hz)		6250		15.625		

(α) Αυτός ο δείκτης δεν απαιτείται για τον συγκεκριμένο τρόπο λειτουργίας. Η τιμή είναι <1.

(β) Αυτός ο μορφοτροπέας δεν προορίζεται για διακρανιακή ή κεφαλική χρήση σε νεογνά.

Δεν αναφέρονται δεδομένα για αυτήν τη συνθήκη λειτουργίας, καθώς η καθολική μέγιστη τιμή δείκτη δεν αναφέρεται για τον λόγο που παρατίθεται. (Γραμμή καθολικής μέγιστης τιμής δείκτη αναφοράς.)

— Τα δεδομένα δεν ισχύουν για αυτόν τον μορφοτροπέα/τρόπο λειτουργίας.

Πίνακας 17: Μοντέλο μορφοτροπέα: HFL38xi (Οφθαλμική χρήση) Τρόπος λειτουργίας: 2D

Ετικέτα δείκτη		MI	TIS		TIB		TIC
			Στην επιφάνεια	Κάτω από την επιφάνεια	Στην επιφάνεια	Κάτω από την επιφάνεια	Στην επιφάνεια
Μέγιστη τιμή δείκτη		0,17	0,007		0,007		(β)
Τιμή συνιστώσας δείκτη			0,007	0,007	0,007	0,007	
Ακουστικές παράμετροι	$p_{r,\alpha}$ σε z_{MI} (MPa)	0,43					
	P (mW)		0,77		0,77		#
	P_{Tx1} (mW)		0,21		0,21		
	z_s (cm)			—			
	z_b (cm)					—	
	z_{MI} (cm)	2,1					
	$z_{pii,\alpha}$ (cm)	2,1					
	f_{awf} (MHz)	6,59	6,75		6,75		#
Άλλες πληροφορίες	pr (Hz)	11.339					
	srr (Hz)	19,7					
	n_{pps}	3					
	$I_{pa,\alpha}$ σε $z_{pii,\alpha}$ (W/cm^2)	11,4					
	$I_{spta,\alpha}$ σε $z_{pii,\alpha}$ ή $z_{sii,\alpha}$ (mW/cm^2)	0,8					
	I_{spta} σε z_{pii} ή z_{sii} (mW/cm^2)	1,3					
	p_r σε z_{pii} (MPa)	0,7					
Συνθήκες ελέγχου λειτουργίας	Τύπος εξέτασης	Oph	Oph		Oph		
	Βελτιστοποίηση	Pen	Res		Res		
	Βάθος (cm)	4,9	4,9		4,9		
	MB	Ενεργ.	Ενεργ.		Ενεργ.		

(α) Αυτός ο δείκτης δεν απαιτείται για τον συγκεκριμένο τρόπο λειτουργίας. Η τιμή είναι <1.

(β) Αυτός ο μορφοτροπέας δεν προορίζεται για διακρανιακή ή κεφαλική χρήση σε νεογνά.

Δεν αναφέρονται δεδομένα για αυτήν τη συνθήκη λειτουργίας, καθώς η καθολική μέγιστη τιμή δείκτη δεν αναφέρεται για τον λόγο που παρατίθεται. (Γραμμή καθολικής μέγιστης τιμής δείκτη αναφοράς.)

— Τα δεδομένα δεν ισχύουν για αυτόν τον μορφοτροπέα/τρόπο λειτουργίας.

Πίνακας 18: Μοντέλο μορφοτροπεία: HFL38xi (Οφθαλμική χρήση) Τρόπος λειτουργίας: M mode

Ετικέτα δείκτη		MI	TIS		TIB		TIC
			Στην επιφάνεια	Κάτω από την επιφάνεια	Στην επιφάνεια	Κάτω από την επιφάνεια	Στην επιφάνεια
Μέγιστη τιμή δείκτη		0,17	0,003		0,004		(β)
Τιμή συνιστώσας δείκτη			0,003	0,002	0,002	0,004	
Ακουστικές παράμετροι	$p_{r,\alpha}$ σε z_{MI} (MPa)	0,44					
	P (mW)		0,087		0,064		#
	P_{1x1} (mW)		0,087		0,064		
	z_s (cm)		0,9				
	z_b (cm)				1,10		
	z_{MI} (cm)	1,0					
	$z_{pii,\alpha}$ (cm)	1,0					
	f_{awf} (MHz)	6,58	6,86		6,78		#
Άλλες πληροφορίες	prr (Hz)	800					
	srr (Hz)	—					
	n_{pps}	1					
	$I_{pa,\alpha}$ σε $z_{pii,\alpha}$ (W/cm^2)	10,3					
	$I_{spta,\alpha}$ σε $z_{pii,\alpha}$ ή $z_{sii,\alpha}$ (mW/cm^2)	1,0					
	I_{spta} σε z_{pii} ή z_{sii} (mW/cm^2)	1,7					
	p_r σε z_{pii} (MPa)	0,55					
Συνθήκες ελέγχου λειτουργίας	Τύπος εξέτασης	Oph	Oph		Oph		
	Βελτιστοποίηση	Pen	Res		Res		
	Βάθος (cm)	1,5	6,0		4,0		

(α) Αυτός ο δείκτης δεν απαιτείται για τον συγκεκριμένο τρόπο λειτουργίας. Η τιμή είναι <1.

(β) Αυτός ο μορφοτροπέας δεν προορίζεται για διακρανιακή ή κεφαλική χρήση σε νεογνά.

Δεν αναφέρονται δεδομένα για αυτήν τη συνθήκη λειτουργίας, καθώς η καθολική μέγιστη τιμή δείκτη δεν αναφέρεται για τον λόγο που παρατίθεται. (Γραμμή καθολικής μέγιστης τιμής δείκτη αναφοράς.)

— Τα δεδομένα δεν ισχύουν για αυτόν τον μορφοτροπέα/τρόπο λειτουργίας.

Πίνακας 19: Μοντέλο μορφοτροπεία: HFL38xi (Οφθαλμική χρήση) Τρόπος λειτουργίας: Color/CPD

Ετικέτα δείκτη		MI	TIS		TIB		TIC
			Στην επιφάνεια	Κάτω από την επιφάνεια	Στην επιφάνεια	Κάτω από την επιφάνεια	Στην επιφάνεια
Μέγιστη τιμή δείκτη		0,17	0,02		0,02		(β)
Τιμή συνιστώσας δείκτη			0,02	0,02	0,02	0,02	
Ακουστικές παράμετροι	$p_{r,\alpha}$ σε z_{MI} (MPa)	0,39					
	P (mW)		1,11		1,11		#
	P_{Tx1} (mW)		0,75		0,75		
	z_s (cm)			—			
	z_b (cm)					—	
	z_{MI} (cm)	0,9					
	$z_{pii,\alpha}$ (cm)	0,9					
	f_{awf} (MHz)	5,34	5,37		5,37		#
Άλλες πληροφορίες	pr (Hz)	4537					
	srr (Hz)	13,5					
	n_{pps}	13					
	$I_{pa,\alpha}$ σε $z_{pii,\alpha}$ (W/cm^2)	5,5					
	$I_{spta,\alpha}$ σε $z_{pii,\alpha}$ ή $z_{sii,\alpha}$ (mW/cm^2)	1,3					
	I_{spta} σε z_{pii} ή z_{sii} (mW/cm^2)	2,1					
	p_r σε z_{pii} (MPa)	0,46					
Συνθήκες ελέγχου λειτουργίας	Τύπος εξέτασης	Oph	Oph		Oph		
	Τρόπος λειτουργίας	CVD	CVD		CVD		
	Βελτιστοποίηση 2D/Βάθος (cm)	Pen/1,5	Pen/4,9		Pen/4,9		
	Βελτιστοποίηση έγχρωμης απεικόνισης/PRF (Hz)	Υψηλή/7813	Υψηλή/6944		Υψηλή/6944		
	Θέση/Μέγεθος πλαισίου έγχρωμης απεικόνισης	Κάτω/Μικρό	Καθ./Στενό		Καθ./Στενό		

(α) Αυτός ο δείκτης δεν απαιτείται για τον συγκεκριμένο τρόπο λειτουργίας. Η τιμή είναι <1.

(β) Αυτός ο μορφοτροπέας δεν προορίζεται για διακρανιακή ή κεφαλική χρήση σε νεογνά.

Δεν αναφέρονται δεδομένα για αυτήν τη συνθήκη λειτουργίας, καθώς η καθολική μέγιστη τιμή δείκτη δεν αναφέρεται για τον λόγο που παρατίθεται. (Γραμμή καθολικής μέγιστης τιμής δείκτη αναφοράς.)

— Τα δεδομένα δεν ισχύουν για αυτόν τον μορφοτροπέα/τρόπο λειτουργίας.

Πίνακας 20: Μοντέλο μορφοτροπεία: HFL38xi (Οφθαλμική χρήση) Τρόπος λειτουργίας: PW Doppler

Ετικέτα δείκτη		MI	TIS		TIB		TIC
			Στην επιφάνεια	Κάτω από την επιφάνεια	Στην επιφάνεια	Κάτω από την επιφάνεια	Στην επιφάνεια
Μέγιστη τιμή δείκτη		0,18	0,09		0,17		(β)
Τιμή συνιστώσας δείκτη			0,09	0,06	0,09	0,17	
Ακουστικές παράμετροι	$p_{r,\alpha}$ σε z_{MI} (MPa)	0,41					
	P (mW)		3,56		3,56		#
	P_{Tx1} (mW)		3,56		3,56		
	z_s (cm)			1,1			
	z_b (cm)					1,64	
	z_{MI} (cm)	0,9					
	$z_{pii,\alpha}$ (cm)	0,9					
	f_{awf} (MHz)	5,34	5,33		5,33		#
Άλλες πληροφορίες	prr (Hz)	1302					
	srr (Hz)	—					
	n_{pps}	1					
	$I_{pa,\alpha}$ σε $z_{pii,\alpha}$ (W/cm^2)	6,6					
	$I_{spta,\alpha}$ σε $z_{pii,\alpha}$ ή $z_{sii,\alpha}$ (mW/cm^2)	10,9					
	I_{spta} σε z_{pii} ή z_{sii} (mW/cm^2)	15,0					
	p_r σε z_{pii} (MPa)	0,48					
Συνθήκες ελέγχου λειτουργίας	Τύπος εξέτασης	Oph	Oph		Oph		
	Μέγεθος όγκου δείγματος (mm)	1	10		10		
	Θέση όγκου δείγματος	Ζώνη 1	Ζώνη 7		Ζώνη 7		
	PRF (Hz)	1302	10.417		10.417		

(α) Αυτός ο δείκτης δεν απαιτείται για τον συγκεκριμένο τρόπο λειτουργίας. Η τιμή είναι <1.

(β) Αυτός ο μορφοτροπέας δεν προορίζεται για διακρανιακή ή κεφαλική χρήση σε νεογνά.

Δεν αναφέρονται δεδομένα για αυτήν τη συνθήκη λειτουργίας, καθώς η καθολική μέγιστη τιμή δείκτη δεν αναφέρεται για τον λόγο που παρατίθεται. (Γραμμή καθολικής μέγιστης τιμής δείκτη αναφοράς.)

— Τα δεδομένα δεν ισχύουν για αυτόν τον μορφοτροπέα/τρόπο λειτουργίας.

Πίνακας 21: Μοντέλο μορφοτροπεία: HFL38xi Τρόπος λειτουργίας: 2D

Ετικέτα δείκτη	MI	TIS		TIB		TIC
		Στην επιφάνεια	Κάτω από την επιφάνεια	Στην επιφάνεια	Κάτω από την επιφάνεια	Στην επιφάνεια
Μέγιστη τιμή δείκτη	1,3	(α)		(α)		(β)
Τιμή συνιστώσας δείκτη		#	#	#	#	
Ακουστικές παράμετροι	$p_{r,\alpha}$ σε z_{MI} (MPa)	3,05				
	P (mW)		#	#	#	#
	P_{1x1} (mW)		#	#	#	
	z_s (cm)			—		
	z_b (cm)				—	
	z_{MI} (cm)	1,2				
	$z_{pii,\alpha}$ (cm)	1,2				
	f_{awf} (MHz)	5,36	#	#	#	#
Άλλες πληροφορίες	pr (Hz)	2127				
	srr (Hz)	11,1				
	η_{pps}	1				
	$I_{pa,\alpha}$ σε $z_{pii,\alpha}$ (W/cm^2)	494				
	$I_{spta,\alpha}$ σε $z_{pii,\alpha}$ ή $z_{sii,\alpha}$ (mW/cm^2)	13,3				
	I_{spta} σε z_{pii} ή z_{sii} (mW/cm^2)	19,4				
	p_r σε z_{pii} (MPa)	3,81				
Συνθήκες ελέγχου λειτουργίας	Τύπος εξέτασης	Ven				
	Βελτιστοποίηση	Res				
	Βάθος (cm)	3,3				
	MB	Δ/Ι				
	Απεικόνιση βελόνας	Ενεργ.				

(α) Αυτός ο δείκτης δεν απαιτείται για τον συγκεκριμένο τρόπο λειτουργίας. Η τιμή είναι <1.

(β) Αυτός ο μορφοτροπέας δεν προορίζεται για διακρανιακή ή κεφαλική χρήση σε νεογνά.

Δεν αναφέρονται δεδομένα για αυτήν τη συνθήκη λειτουργίας, καθώς η καθολική μέγιστη τιμή δείκτη δεν αναφέρεται για τον λόγο που παρατίθεται. (Γραμμή καθολικής μέγιστης τιμής δείκτη αναφοράς.)

— Τα δεδομένα δεν ισχύουν για αυτόν τον μορφοτροπέα/τρόπο λειτουργίας.

Πίνακας 22: Μοντέλο μορφοτροπεία: HFL38χι Τρόπος λειτουργίας: M mode

Ετικέτα δείκτη		MI	TIS		TIB		TIC
			Στην επιφάνεια	Κάτω από την επιφάνεια	Στην επιφάνεια	Κάτω από την επιφάνεια	Στην επιφάνεια
Μέγιστη τιμή δείκτη		1,12	(α)		(α)		(β)
Τιμή συνιστώσας δείκτη			#	#	#	#	
Ακουστικές παράμετροι	$p_{r,\alpha}$ σε z_{MI} (MPa)	3,14					
	P (mW)		#		#		#
	P_{1x1} (mW)		#		#		
	z_s (cm)			#			
	z_b (cm)					#	
	z_{MI} (cm)	1,4					
	$z_{pii,\alpha}$ (cm)	1,4					
	f_{awf} (MHz)	6,75	#		#		#
Άλλες πληροφορίες	prr (Hz)	1600					
	srr (Hz)	—					
	n_{pps}	1					
	$I_{pa,\alpha}$ σε $z_{pii,\alpha}$ (W/cm^2)	388					
	$I_{spta,\alpha}$ σε $z_{pii,\alpha}$ ή $z_{sii,\alpha}$ (mW/cm^2)	163,2					
	I_{spta} σε z_{pii} ή z_{sii} (mW/cm^2)	333,3					
	p_r σε z_{pii} (MPa)	4,35					
Συνθήκες ελέγχου λειτουργίας	Τύπος εξέτασης	Nrv					
	Βελτιστοποίηση	Pen					
	Βάθος (cm)	4,0					

(α) Αυτός ο δείκτης δεν απαιτείται για τον συγκεκριμένο τρόπο λειτουργίας. Η τιμή είναι <1.

(β) Αυτός ο μορφοτροπέας δεν προορίζεται για διακρανιακή ή κεφαλική χρήση σε νεογνά.

Δεν αναφέρονται δεδομένα για αυτήν τη συνθήκη λειτουργίας, καθώς η καθολική μέγιστη τιμή δείκτη δεν αναφέρεται για τον λόγο που παρατίθεται. (Γραμμή καθολικής μέγιστης τιμής δείκτη αναφοράς.)

— Τα δεδομένα δεν ισχύουν για αυτόν τον μορφοτροπέα/τρόπο λειτουργίας.

Πίνακας 23: Μοντέλο μορφοτροπείας: HFL38χι Τρόπος λειτουργίας: Color/CPD

Ετικέτα δείκτη	MI	TIS		TIB		TIC
		Στην επιφάνεια	Κάτω από την επιφάνεια	Στην επιφάνεια	Κάτω από την επιφάνεια	Στην επιφάνεια
Μέγιστη τιμή δείκτη	1,3	(α)		(α)		(β)
Τιμή συνιστώσας δείκτη		#	#	#	#	
Ακουστικές παράμετροι	$p_{r,\alpha}$ σε z_{MI} (MPa)	3,05				
	P (mW)		#	#	#	#
	P_{1x1} (mW)		#	#	#	
	z_s (cm)			—		
	z_b (cm)				—	
	z_{MI} (cm)	1,2				
	$z_{pii,\alpha}$ (cm)	1,2				
Άλλες πληροφορίες	f_{awf} (MHz)	5,36	#	#	#	#
	pr (Hz)	2223				
	srr (Hz)	3,3				
	n_{pps}	14				
	$I_{pa,\alpha}$ σε $z_{pii,\alpha}$ (W/cm^2)	494				
	$I_{spta,\alpha}$ σε $z_{pii,\alpha}$ ή $z_{sii,\alpha}$ (mW/cm^2)	27,4				
	I_{spta} σε z_{pii} ή z_{sii} (mW/cm^2)	40,1				
Συνθήκες ελέγχου λειτουργίας	p_r σε z_{pii} (MPa)	3,81				
	Τύπος εξέτασης	SmP				
	Τρόπος λειτουργίας	CVD				
	Βελτιστοποίηση 2D/Βάθος (cm)	Res/3,3				
	Βελτιστοποίηση έγχρωμης απεικόνισης/PRF (Hz)	Χαμηλή/401				
Θέση/Μέγεθος πλαισίου έγχρωμης απεικόνισης	Καθ./Καθ.					

(α) Αυτός ο δείκτης δεν απαιτείται για τον συγκεκριμένο τρόπο λειτουργίας. Η τιμή είναι <1.

(β) Αυτός ο μορφοτροπέας δεν προορίζεται για διακρανιακή ή κεφαλική χρήση σε νεογνά.

Δεν αναφέρονται δεδομένα για αυτήν τη συνθήκη λειτουργίας, καθώς η καθολική μέγιστη τιμή δείκτη δεν αναφέρεται για τον λόγο που παρατίθεται. (Γραμμή καθολικής μέγιστης τιμής δείκτη αναφοράς.)

— Τα δεδομένα δεν ισχύουν για αυτόν τον μορφοτροπέα/τρόπο λειτουργίας.

Πίνακας 24: Μοντέλο μορφοτροπεία: HFL38xi Τρόπος λειτουργίας: PW Doppler

Ετικέτα δείκτη		MI	TIS		TIB		TIC
			Στην επιφάνεια	Κάτω από την επιφάνεια	Στην επιφάνεια	Κάτω από την επιφάνεια	Στην επιφάνεια
Μέγιστη τιμή δείκτη		1,2	1,1		2,2		(β)
Τιμή συνιστώσας δείκτη			1,1	0,8	1,1	2,2	
Ακουστικές παράμετροι	$p_{r,\alpha}$ σε z_{MI} (MPa)	2,69					
	P (mW)		47,7		47,7		#
	P_{Tx1} (mW)		47,7		47,7		
	z_s (cm)		1,1				
	z_b (cm)					1,10	
	z_{MI} (cm)	1,0					
	$z_{pii,\alpha}$ (cm)	1,0					
	f_{awf} (MHz)	5,34	4,86		4,86		#
Άλλες πληροφορίες	prr (Hz)	1008					
	srr (Hz)	—					
	n_{pps}	1					
	$I_{pa,\alpha}$ σε $z_{pii,\alpha}$ (W/cm^2)	308					
	$I_{spta,\alpha}$ σε $z_{pii,\alpha}$ ή $z_{sii,\alpha}$ (mW/cm^2)	102,8					
	I_{spta} σε z_{pii} ή z_{sii} (mW/cm^2)	210,0					
	p_r σε z_{pii} (MPa)	3,23					
Συνθήκες ελέγχου λειτουργίας	Τύπος εξέτασης	Nrv	Art		Art		
	Μέγεθος όγκου δείγματος (mm)	1	1		1		
	Θέση όγκου δείγματος	Ζώνη 3	Ζώνη 7		Ζώνη 7		
	PRF (Hz)	1008	3125		3125		

(α) Αυτός ο δείκτης δεν απαιτείται για τον συγκεκριμένο τρόπο λειτουργίας. Η τιμή είναι <1.

(β) Αυτός ο μορφοτροπέας δεν προορίζεται για διακρανιακή ή κεφαλική χρήση σε νεογνά.

Δεν αναφέρονται δεδομένα για αυτήν τη συνθήκη λειτουργίας, καθώς η καθολική μέγιστη τιμή δείκτη δεν αναφέρεται για τον λόγο που παρατίθεται. (Γραμμή καθολικής μέγιστης τιμής δείκτη αναφοράς.)

— Τα δεδομένα δεν ισχύουν για αυτόν τον μορφοτροπέα/τρόπο λειτουργίας.

Πίνακας 25: Μοντέλο μορφοτροπεία: HFL50x Τρόπος λειτουργίας: 2D

Ετικέτα δείκτη	MI	TIS		TIB		TIC
		Στην επιφάνεια	Κάτω από την επιφάνεια	Στην επιφάνεια	Κάτω από την επιφάνεια	Στην επιφάνεια
Μέγιστη τιμή δείκτη	1,3	(α)		(α)		(β)
Τιμή συνιστώσας δείκτη		#	#	#	#	
Ακουστικές παράμετροι	$p_{r,\alpha}$ σε z_{MI} (MPa)	3,051				
	P (mW)		#	#	#	#
	$P_{T\chi I}$ (mW)		#	#	#	
	z_s (cm)			—		
	z_b (cm)				—	
	z_{MI} (cm)	1,2				
	$z_{pii,\alpha}$ (cm)	1,2				
	f_{awf} (MHz)	5,36	#	#	#	#
Άλλες πληροφορίες	pr (Hz)	2733				
	srr (Hz)	7,2				
	η_{pps}	1				
	$I_{pa,\alpha}$ σε $z_{pii,\alpha}$ (W/cm^2)	493				
	$I_{spta,\alpha}$ σε $z_{pii,\alpha}$ ή $z_{sii,\alpha}$ (mW/cm^2)	8,6				
	I_{spta} σε z_{pii} ή z_{sii} (mW/cm^2)	12,6				
	p_r σε z_{pii} (MPa)	3,81				
Συνθήκες ελέγχου λειτουργίας	Τύπος εξέτασης	Οποιαδήποτε				
	Βελτιστοποίηση	Οποιαδήποτε				
	Βάθος (cm)	3,3				
	Mbe	Ενεργ.				

(α) Αυτός ο δείκτης δεν απαιτείται για τον συγκεκριμένο τρόπο λειτουργίας. Η τιμή είναι <1.

(β) Αυτός ο μορφοτροπέας δεν προορίζεται για διακρανική ή κεφαλική χρήση σε νεογνά.

Δεν αναφέρονται δεδομένα για αυτήν τη συνθήκη λειτουργίας, καθώς η καθολική μέγιστη τιμή δείκτη δεν αναφέρεται για τον λόγο που παρατίθεται. (Γραμμή καθολικής μέγιστης τιμής δείκτη αναφοράς.)

— Τα δεδομένα δεν ισχύουν για αυτόν τον μορφοτροπέα/τρόπο λειτουργίας.

Πίνακας 26: Μοντέλο μορφοτροπεία: HFL50x Τρόπος λειτουργίας: M mode

Ετικέτα δείκτη		MI	TIS		TIB		TIC
			Στην επιφάνεια	Κάτω από την επιφάνεια	Στην επιφάνεια	Κάτω από την επιφάνεια	Στην επιφάνεια
Μέγιστη τιμή δείκτη		1,2	(α)		(α)		(β)
Τιμή συνιστώσας δείκτη			#	#	#	#	
Ακουστικές παράμετροι	$p_{r,\alpha}$ σε z_{MI} (MPa)	3,14					
	P (mW)		#		#		#
	P_{1x1} (mW)		#		#		
	z_s (cm)			#			
	z_b (cm)					#	
	z_{MI} (cm)	1,4					
	$z_{pii,\alpha}$ (cm)	1,4					
	f_{awf} (MHz)	6,75	#		#		#
Άλλες πληροφορίες	prr (Hz)	1600					
	srr (Hz)	—					
	n_{pps}	1					
	$I_{pa,\alpha}$ σε $z_{pii,\alpha}$ (W/cm^2)	388					
	$I_{spta,\alpha}$ σε $z_{pii,\alpha}$ ή $z_{sii,\alpha}$ (mW/cm^2)	163,2					
	I_{spta} σε z_{pii} ή z_{sii} (mW/cm^2)	333,3					
	p_r σε z_{pii} (MPa)	4,35					
Συνθήκες ελέγχου λειτουργίας	Τύπος εξέτασης	Οποιαδήποτε					
	Βελτιστοποίηση	Pen					
	Βάθος (cm)	4					

(α) Αυτός ο δείκτης δεν απαιτείται για τον συγκεκριμένο τρόπο λειτουργίας. Η τιμή είναι <1.

(β) Αυτός ο μορφοτροπέας δεν προορίζεται για διακρανιακή ή κεφαλική χρήση σε νεογνά.

Δεν αναφέρονται δεδομένα για αυτήν τη συνθήκη λειτουργίας, καθώς η καθολική μέγιστη τιμή δείκτη δεν αναφέρεται για τον λόγο που παρατίθεται. (Γραμμή καθολικής μέγιστης τιμής δείκτη αναφοράς.)

— Τα δεδομένα δεν ισχύουν για αυτόν τον μορφοτροπέα/τρόπο λειτουργίας.

Πίνακας 27: Μοντέλο μορφοτροπέα: HFL50x Τρόπος λειτουργίας: Color απεικόνιση

Ετικέτα δείκτη	MI	TIS		TIB		TIC
		Στην επιφάνεια	Κάτω από την επιφάνεια	Στην επιφάνεια	Κάτω από την επιφάνεια	Στην επιφάνεια
Μέγιστη τιμή δείκτη	1,3	(α)		(α)		(β)
Τιμή συνιστώσας δείκτη		#	#	#	#	
Ακουστικές παράμετροι	$p_{r,\alpha}$ σε z_{MI} (MPa)	3,05				
	P (mW)		#	#	#	#
	P_{1x1} (mW)		#	#	#	
	z_s (cm)		—			
	z_b (cm)				—	
	z_{MI} (cm)	1,2				
	$z_{pii,\alpha}$ (cm)	1,2				
Άλλες πληροφορίες	f_{awf} (MHz)	5,36	#	#	#	#
	pr (Hz)	8233				
	srr (Hz)	3,2				
	n_{pps}	14				
	$I_{pa,\alpha}$ σε $z_{pii,\alpha}$ (W/cm^2)	494				
	$I_{spta,\alpha}$ σε $z_{pii,\alpha}$ ή $z_{sii,\alpha}$ (mW/cm^2)	26,8				
	I_{spta} σε z_{pii} ή z_{sii} (mW/cm^2)	39,2				
Συνθήκες ελέγχου λειτουργίας	p_r σε z_{pii} (MPa)	3,81				
	Τύπος εξέτασης	Οποιαδήποτε				
	Τρόπος λειτουργίας	Οποιαδήποτε				
	Βελτιστοποίηση/Βάθος (cm)	Χαμηλή/3,3				
	PRF (Hz)	Οποιαδήποτε				

(α) Αυτός ο δείκτης δεν απαιτείται για τον συγκεκριμένο τρόπο λειτουργίας. Η τιμή είναι <1.

(β) Αυτός ο μορφοτροπέας δεν προορίζεται για διακρανιακή ή κεφαλική χρήση σε νεογνά.

Δεν αναφέρονται δεδομένα για αυτήν τη συνθήκη λειτουργίας, καθώς η καθολική μέγιστη τιμή δείκτη δεν αναφέρεται για τον λόγο που παρατίθεται. (Γραμμή καθολικής μέγιστης τιμής δείκτη αναφοράς.)

— Τα δεδομένα δεν ισχύουν για αυτόν τον μορφοτροπέα/τρόπο λειτουργίας.

Πίνακας 28: Μοντέλο μορφοτροπείας: HFL50x Τρόπος λειτουργίας: PW Doppler

Ετικέτα δείκτη		MI	TIS		TIB		TIC
			Στην επιφάνεια	Κάτω από την επιφάνεια	Στην επιφάνεια	Κάτω από την επιφάνεια	Στην επιφάνεια
Μέγιστη τιμή δείκτη		1,2	1,1		1,9		(β)
Τιμή συνιστώσας δείκτη			1,1	0,7	1,1	1,9	
Ακουστικές παράμετροι	$p_{r,\alpha}$ σε z_{MI} (MPa)	2,69					
	P (mW)		42,6		42,6		#
	P_{Tx1} (mW)		42,6		42,6		
	z_s (cm)		1,1				
	z_b (cm)					1,10	
	z_{MI} (cm)	1,0					
	$z_{pii,\alpha}$ (cm)	1,0					
	f_{awf} (MHz)	5,34	5,34		5,34		#
Άλλες πληροφορίες	prr (Hz)	1008					
	srr (Hz)	—					
	n_{pps}	1					
	$I_{pa,\alpha}$ σε $z_{pii,\alpha}$ (W/cm^2)	308					
	$I_{spta,\alpha}$ σε $z_{pii,\alpha}$ ή $z_{sii,\alpha}$ (mW/cm^2)	399,6					
	I_{spta} σε z_{pii} ή z_{sii} (mW/cm^2)	599,8					
	p_r σε z_{pii} (MPa)	3,23					
Συνθήκες ελέγχου λειτουργίας	Τύπος εξέτασης	Οποιαδήποτε	Οποιαδήποτε		Οποιαδήποτε		
	Μέγεθος όγκου δείγματος (mm)	1	1		1		
	Θέση όγκου δείγματος	Ζώνη 3	Ζώνη 7		Ζώνη 7		
	PRF (Hz)	1008	1563 – 3125		1563 – 3125		

(α) Αυτός ο δείκτης δεν απαιτείται για τον συγκεκριμένο τρόπο λειτουργίας. Η τιμή είναι <1.

(β) Αυτός ο μορφοτροπέας δεν προορίζεται για διακρανιακή ή κεφαλική χρήση σε νεογνά.

Δεν αναφέρονται δεδομένα για αυτήν τη συνθήκη λειτουργίας, καθώς η καθολική μέγιστη τιμή δείκτη δεν αναφέρεται για τον λόγο που παρατίθεται. (Γραμμή καθολικής μέγιστης τιμής δείκτη αναφοράς.)

— Τα δεδομένα δεν ισχύουν για αυτόν τον μορφοτροπέα/τρόπο λειτουργίας.

Πίνακας 29: Μοντέλο μορφοτροπέα: HSL25x (Οφθαλμική χρήση) Τρόπος λειτουργίας: 2D

Ετικέτα δείκτη		MI	TIS		TIB		TIC
			Στην επιφάνεια	Κάτω από την επιφάνεια	Στην επιφάνεια	Κάτω από την επιφάνεια	Στην επιφάνεια
Μέγιστη τιμή δείκτη		0,17	0,02		0,02		(β)
Τιμή συνιστώσας δείκτη			0,02	0,02	0,02	0,02	
Ακουστικές παράμετροι	$p_{r,\alpha}$ σε z_{MI} (MPa)	0,47					
	P (mW)		1,62		1,62		#
	P_{1x1} (mW)		0,70		0,70		
	z_s (cm)		—				
	z_b (cm)					—	
	z_{MI} (cm)	0,8					
	$z_{pii,\alpha}$ (cm)	0,8					
	f_{awf} (MHz)	7,65	6,97		6,97		#
Άλλες πληροφορίες	pr (Hz)	12580					
	srr (Hz)	12,3					
	n_{pps}	4					
	$I_{pa,\alpha}$ σε $z_{pii,\alpha}$ (W/cm^2)	13,4					
	$I_{spta,\alpha}$ σε $z_{pii,\alpha}$ ή $z_{sii,\alpha}$ (mW/cm^2)	0,6					
	I_{spta} σε z_{pii} ή z_{sii} (mW/cm^2)	1,0					
	p_r σε z_{pii} (MPa)	0,58					
Συνθήκες ελέγχου λειτουργίας	Τύπος εξέτασης	Oph	Oph		Oph		
	Βελτιστοποίηση	Res	Pen		Pen		
	Βάθος (cm)	1,9	4,3		4,3		
	MB	Ενεργ.	Ενεργ.		Ενεργ.		

(α) Αυτός ο δείκτης δεν απαιτείται για τον συγκεκριμένο τρόπο λειτουργίας. Η τιμή είναι <1.

(β) Αυτός ο μορφοτροπέας δεν προορίζεται για διακρανιακή ή κεφαλική χρήση σε νεογνά.

Δεν αναφέρονται δεδομένα για αυτήν τη συνθήκη λειτουργίας, καθώς η καθολική μέγιστη τιμή δείκτη δεν αναφέρεται για τον λόγο που παρατίθεται. (Γραμμή καθολικής μέγιστης τιμής δείκτη αναφοράς.)

— Τα δεδομένα δεν ισχύουν για αυτόν τον μορφοτροπέα/τρόπο λειτουργίας.

Πίνακας 30: Μοντέλο μορφοτροπέα: HSL25x (Οφθαλμική χρήση) Τρόπος λειτουργίας: M mode

Ετικέτα δείκτη		MI	TIS		TIB		TIC
			Στην επιφάνεια	Κάτω από την επιφάνεια	Στην επιφάνεια	Κάτω από την επιφάνεια	Στην επιφάνεια
Μέγιστη τιμή δείκτη		0,17	0,01		0,02		(β)
Τιμή συνιστώσας δείκτη			0,010	0,009	0,013	0,020	
Ακουστικές παράμετροι	$p_{r,\alpha}$ σε z_{MI} (MPa)	0,47					
	P (mW)		0,45		0,45		#
	P_{1x1} (mW)		0,45		0,45		
	z_s (cm)		0,9				
	z_b (cm)				0,85		
	z_{MI} (cm)	1,0					
	$z_{pii,\alpha}$ (cm)	1,0					
	f_{awf} (MHz)	7,59	6,25		6,25		#
Άλλες πληροφορίες	prr (Hz)	1600					
	srr (Hz)	—					
	n_{pps}	1					
	$I_{pa,\alpha}$ σε $z_{pii,\alpha}$ (W/cm^2)	14,9					
	$I_{spta,\alpha}$ σε $z_{pii,\alpha}$ ή $z_{sii,\alpha}$ (mW/cm^2)	2,3					
	I_{spta} σε z_{pii} ή z_{sii} (mW/cm^2)	4,0					
	p_r σε z_{pii} (MPa)	0,61					
Συνθήκες ελέγχου λειτουργίας	Τύπος εξέτασης	Oph	Oph		Oph		
	Βελτιστοποίηση	Res	Pen		Pen		
	Βάθος (cm)	1,9	4,3		4,3		

(α) Αυτός ο δείκτης δεν απαιτείται για τον συγκεκριμένο τρόπο λειτουργίας. Η τιμή είναι <1.

(β) Αυτός ο μορφοτροπέας δεν προορίζεται για διακρανιακή ή κεφαλική χρήση σε νεογνά.

Δεν αναφέρονται δεδομένα για αυτήν τη συνθήκη λειτουργίας, καθώς η καθολική μέγιστη τιμή δείκτη δεν αναφέρεται για τον λόγο που παρατίθεται. (Γραμμή καθολικής μέγιστης τιμής δείκτη αναφοράς.)

— Τα δεδομένα δεν ισχύουν για αυτόν τον μορφοτροπέα/τρόπο λειτουργίας.

Πίνακας 31: Μοντέλο μορφοτροπέα: HSL25x (Οφθαλμική χρήση) Τρόπος λειτουργίας: Color/CPD

Ετικέτα δείκτη	MI	TIS		TIB		TIC
		Στην επιφάνεια	Κάτω από την επιφάνεια	Στην επιφάνεια	Κάτω από την επιφάνεια	Στην επιφάνεια
Μέγιστη τιμή δείκτη	0,17	0,06		0,06		(β)
Τιμή συνιστώσας δείκτη		0,06	0,06	0,06	0,06	
Ακουστικές παράμετροι	$p_{r,\alpha}$ σε z_{MI} (MPa)	0,42				
	P (mW)		2,9	2,9		#
	P_{1x1} (mW)		1,9	1,9		
	z_s (cm)		—			
	z_b (cm)				—	
	z_{MI} (cm)	0,7				
	$z_{pii,\alpha}$ (cm)	0,7				
f_{awf} (MHz)	6,11	6,10		6,10		#
Άλλες πληροφορίες	pr (Hz)	3096				
	srr (Hz)	8,1				
	n_{pps}	14				
	$I_{pa,\alpha}$ σε $z_{pii,\alpha}$ (W/cm^2)	7,5				
	$I_{spta,\alpha}$ σε $z_{pii,\alpha}$ ή $z_{sii,\alpha}$ (mW/cm^2)	1,1				
	I_{spta} σε z_{pii} ή z_{sii} (mW/cm^2)	1,6				
	p_r σε z_{pii} (MPa)	0,49				
Συνθήκες ελέγχου λειτουργίας	Τύπος εξέτασης	Oph	Oph		Oph	
	Τρόπος λειτουργίας	CVD	CVD		CVD	
	Βελτιστοποίηση 2D/Βάθος (cm)	Pen/1,9	Pen/5,1		Pen/5,1	
	Βελτιστοποίηση έγχρωμης απεικόνισης/PRF (Hz)	Χαμηλή/401	Μέτρια/4167		Μέτρια/4167	
	Θέση/Μέγεθος πλαισίου έγχρωμης απεικόνισης	Καθ./Καθ.	Επάνω/Κοντό-ευρύ		Επάνω/Κοντό-ευρύ	

(α) Αυτός ο δείκτης δεν απαιτείται για τον συγκεκριμένο τρόπο λειτουργίας. Η τιμή είναι <1.

(β) Αυτός ο μορφοτροπέας δεν προορίζεται για διακρανιακή ή κεφαλική χρήση σε νεογνά.

Δεν αναφέρονται δεδομένα για αυτήν τη συνθήκη λειτουργίας, καθώς η καθολική μέγιστη τιμή δείκτη δεν αναφέρεται για τον λόγο που παρατίθεται. (Γραμμή καθολικής μέγιστης τιμής δείκτη αναφοράς.)

— Τα δεδομένα δεν ισχύουν για αυτόν τον μορφοτροπέα/τρόπο λειτουργίας.

Πίνακας 32: Μοντέλο μορφοτροπέα: HSL25x (Οφθαλμική χρήση) Τρόπος λειτουργίας: PW Doppler

Ετικέτα δείκτη		MI	TIS		TIB		TIC
			Στην επιφάνεια	Κάτω από την επιφάνεια	Στην επιφάνεια	Κάτω από την επιφάνεια	Στην επιφάνεια
Μέγιστη τιμή δείκτη		0,18	0,12		0,21		(β)
Τιμή συνιστώσας δείκτη			0,12	0,08	0,12	0,21	
Ακουστικές παράμετροι	$p_{r,\alpha}$ σε z_{MI} (MPa)	0,44					
	P (mW)		4,0		4,0		#
	P_{Tx1} (mW)		4,0		4,0		
	z_s (cm)		0,9				
	z_b (cm)				0,80		
	z_{MI} (cm)	1,2					
	$z_{pii,\alpha}$ (cm)	1,2					
	f_{awf} (MHz)	6,03	6,03		6,03		#
Άλλες πληροφορίες	prr (Hz)	1953					
	srr (Hz)	—					
	n_{pps}	1					
	$I_{pa,\alpha}$ σε $z_{pii,\alpha}$ (W/cm^2)	7,4					
	$I_{spta,\alpha}$ σε $z_{pii,\alpha}$ ή $z_{sii,\alpha}$ (mW/cm^2)	18,4					
	I_{spta} σε z_{pii} ή z_{sii} (mW/cm^2)	44,9					
	p_r σε z_{pii} (MPa)	0,56					
Συνθήκες ελέγχου λειτουργίας	Τύπος εξέτασης	Oph	Oph		Oph		
	Μέγεθος όγκου δείγματος (mm)	1	1		1		
	Θέση όγκου δείγματος	Ζώνη 7	Ζώνη 7		Ζώνη 7		
	PRF (Hz)	1953	5208		5208		

(α) Αυτός ο δείκτης δεν απαιτείται για τον συγκεκριμένο τρόπο λειτουργίας. Η τιμή είναι <1.

(β) Αυτός ο μορφοτροπέας δεν προορίζεται για διακρανιακή ή κεφαλική χρήση σε νεογνά.

Δεν αναφέρονται δεδομένα για αυτήν τη συνθήκη λειτουργίας, καθώς η καθολική μέγιστη τιμή δείκτη δεν αναφέρεται για τον λόγο που παρατίθεται. (Γραμμή καθολικής μέγιστης τιμής δείκτη αναφοράς.)

— Τα δεδομένα δεν ισχύουν για αυτόν τον μορφοτροπέα/τρόπο λειτουργίας.

Πίνακας 33: Μοντέλο μορφοτροπεία: HSL25x Τρόπος λειτουργίας: 2D

Ετικέτα δείκτη		MI	TIS		TIB		TIC
			Στην επιφάνεια	Κάτω από την επιφάνεια	Στην επιφάνεια	Κάτω από την επιφάνεια	Στην επιφάνεια
Μέγιστη τιμή δείκτη		1,2	(α)		(α)		(β)
Τιμή συνιστώσας δείκτη			#	#	#	#	
Ακουστικές παράμετροι	$p_{r,\alpha}$ σε z_{MI} (MPa)	2,87					
	P (mW)		#		#		#
	$P_{I \times I}$ (mW)		#		#		
	z_s (cm)			—			
	z_b (cm)					—	
	z_{MI} (cm)	0,8					
	$z_{pii,\alpha}$ (cm)	0,8					
Άλλες πληροφορίες	f_{awf} (MHz)	6,11	#		#		#
	prf (Hz)	1061					
	srf (Hz)	13,0					
	n_{pps}	1					
	$I_{pa,\alpha}$ σε $z_{pii,\alpha}$ (W/cm^2)	478					
	$I_{spta,\alpha}$ σε $z_{pii,\alpha}$ ή $z_{sii,\alpha}$ (mW/cm^2)	12,2					
	I_{spta} σε z_{pii} ή z_{sii} (mW/cm^2)	16,4					
Συνθήκες ελέγχου λειτουργίας	p_r σε z_{pii} (MPa)	3,39					
	Τύπος εξέτασης	Nrv/Msk/ Ven/Art					
	Βελτιστοποίηση	Οποιαδήποτε					
	Βάθος (cm)	1,9 – 2,2					
	Mbe	Ενεργ.					

(α) Αυτός ο δείκτης δεν απαιτείται για τον συγκεκριμένο τρόπο λειτουργίας. Η τιμή είναι <1.

(β) Αυτός ο μορφοτροπέας δεν προορίζεται για διακρανιακή ή κεφαλική χρήση σε νεογνά.

Δεν αναφέρονται δεδομένα για αυτήν τη συνθήκη λειτουργίας, καθώς η καθολική μέγιστη τιμή δείκτη δεν αναφέρεται για τον λόγο που παρατίθεται. (Γραμμή καθολικής μέγιστης τιμής δείκτη αναφοράς.)

— Τα δεδομένα δεν ισχύουν για αυτόν τον μορφοτροπέα/τρόπο λειτουργίας.

Πίνακας 34: Μοντέλο μορφοτροπεία: HSL25x Τρόπος λειτουργίας: Color/CPD

Ετικέτα δείκτη		MI	TIS		TIB		TIC
			Στην επιφάνεια	Κάτω από την επιφάνεια	Στην επιφάνεια	Κάτω από την επιφάνεια	Στην επιφάνεια
Μέγιστη τιμή δείκτη		1,0	(α)		(α)		(β)
Τιμή συνιστώσας δείκτη			#	#	#	#	
Ακουστικές παράμετροι	$p_{r,\alpha}$ σε z_{MI} (MPa)	2,35					
	P (mW)		#		#		#
	P_{1x1} (mW)		#		#		
	z_s (cm)			—			
	z_b (cm)					—	
	z_{MI} (cm)	0,8					
	$z_{pii,\alpha}$ (cm)	0,8					
	f_{awf} (MHz)	6,11	#		#		#
Άλλες πληροφορίες	pr (Hz)	3079					
	srr (Hz)	8,0					
	n_{pps}	14					
	$I_{pa,\alpha}$ σε $z_{pii,\alpha}$ (W/cm^2)	276					
	$I_{spta,\alpha}$ σε $z_{pii,\alpha}$ ή $z_{sii,\alpha}$ (mW/cm^2)	47,6					
	I_{spta} σε z_{pii} ή z_{sii} (mW/cm^2)	63,9					
	p_r σε z_{pii} (MPa)	2,78					
Συνθήκες ελέγχου λειτουργίας	Τύπος εξέτασης	Sup					
	Τρόπος λειτουργίας	CVD					
	Βελτιστοποίηση 2D/Βάθος (cm)	Pen/3,1					
	Βελτιστοποίηση έγχρωμης απεικόνισης/PRF (Hz)	Χαμηλή/401					
	Θέση/Μέγεθος πλαισίου έγχρωμης απεικόνισης	Καθ./Καθ.					

(α) Αυτός ο δείκτης δεν απαιτείται για τον συγκεκριμένο τρόπο λειτουργίας. Η τιμή είναι <1.

(β) Αυτός ο μορφοτροπέας δεν προορίζεται για διακρανιακή ή κεφαλική χρήση σε νεογνά.

Δεν αναφέρονται δεδομένα για αυτήν τη συνθήκη λειτουργίας, καθώς η καθολική μέγιστη τιμή δείκτη δεν αναφέρεται για τον λόγο που παρατίθεται. (Γραμμή καθολικής μέγιστης τιμής δείκτη αναφοράς.)

— Τα δεδομένα δεν ισχύουν για αυτόν τον μορφοτροπέα/τρόπο λειτουργίας.

Πίνακας 35: Μοντέλο μορφοτροπέα: HSL25x Τρόπος λειτουργίας: PW Doppler

Ετικέτα δείκτη	MI	TIS		TIB		TIC
		Στην επιφάνεια	Κάτω από την επιφάνεια	Στην επιφάνεια	Κάτω από την επιφάνεια	Στην επιφάνεια
Μέγιστη τιμή δείκτη	(α)	(α)		1,5		(β)
Τιμή συνιστώσας δείκτη		#	#	0,8	1,5	
Ακουστικές παράμετροι	$p_{r,\alpha}$ σε z_{MI} (MPa)	#				
	P (mW)		#	28,1		#
	P_{Tx1} (mW)		#	28,1		
	z_s (cm)		#			
	z_b (cm)				0,75	
	z_{MI} (cm)	#				
	$z_{pii,\alpha}$ (cm)	#				
	f_{awf} (MHz)	#	#	6,00		#
Άλλες πληροφορίες	prf (Hz)	#				
	srr (Hz)	#				
	η_{pps}	#				
	$I_{pa,\alpha}$ σε $z_{pii,\alpha}$ (W/cm^2)	#				
	$I_{spta,\alpha}$ σε $z_{pii,\alpha}$ ή $z_{sii,\alpha}$ (mW/cm^2)	#				
	I_{spta} σε z_{pii} ή z_{sii} (mW/cm^2)	#				
	p_r σε z_{pii} (MPa)	#				
Συνθήκες ελέγχου λειτουργίας	Τύπος εξέτασης			Nrv		
	Μέγεθος όγκου δείγματος (mm)			8		
	Θέση όγκου δείγματος			Ζώνη 7		
	PRF (Hz)			1953		

(α) Αυτός ο δείκτης δεν απαιτείται για τον συγκεκριμένο τρόπο λειτουργίας. Η τιμή είναι <1.

(β) Αυτός ο μορφοτροπέας δεν προορίζεται για διακρανιακή ή κεφαλική χρήση σε νεογνά.

Δεν αναφέρονται δεδομένα για αυτήν τη συνθήκη λειτουργίας, καθώς η καθολική μέγιστη τιμή δείκτη δεν αναφέρεται για τον λόγο που παρατίθεται. (Γραμμή καθολικής μέγιστης τιμής δείκτη αναφοράς.)

— Τα δεδομένα δεν ισχύουν για αυτόν τον μορφοτροπέα/τρόπο λειτουργίας.

Πίνακας 36: Μοντέλο μορφοτροπεία: ICTx Τρόπος λειτουργίας: PW Doppler

Ετικέτα δείκτη		MI	TIS		TIB		TIC
			Στην επιφάνεια	Κάτω από την επιφάνεια	Στην επιφάνεια	Κάτω από την επιφάνεια	Στην επιφάνεια
Μέγιστη τιμή δείκτη		(α)	(α)		1,2		(β)
Τιμή συνιστώσας δείκτη			#	#	0,3	1,2	
Ακουστικές παράμετροι	$p_{r,\alpha}$ σε z_{MI} (MPa)	#					
	P (mW)		#		16,3		#
	P_{Tx1} (mW)		#		16,3		
	z_s (cm)			#			
	z_b (cm)					1,60	
	z_{MI} (cm)	#					
	$z_{pii,\alpha}$ (cm)	#					
	f_{awf} (MHz)	#	#		4,36		#
Άλλες πληροφορίες	prr (Hz)	#					
	srr (Hz)	#					
	η_{pps}	#					
	$I_{pa,\alpha}$ σε $z_{pii,\alpha}$ (W/cm^2)	#					
	$I_{spta,\alpha}$ σε $z_{pii,\alpha}$ ή $z_{sii,\alpha}$ (mW/cm^2)	#					
	I_{spta} σε z_{pii} ή z_{sii} (mW/cm^2)	#					
	p_r σε z_{pii} (MPa)	#					
Συνθήκες ελέγχου λειτουργίας	Τύπος εξέτασης				Οποιαδήποτε		
	Μέγεθος όγκου δείγματος (mm)				3		
	Θέση όγκου δείγματος				Ζώνη 1		
	PRF (Hz)				Οποιαδήποτε		

(α) Αυτός ο δείκτης δεν απαιτείται για τον συγκεκριμένο τρόπο λειτουργίας. Η τιμή είναι <1.

(β) Αυτός ο μορφοτροπέας δεν προορίζεται για διακρανιακή ή κεφαλική χρήση σε νεογνά.

Δεν αναφέρονται δεδομένα για αυτήν τη συνθήκη λειτουργίας, καθώς η καθολική μέγιστη τιμή δείκτη δεν αναφέρεται για τον λόγο που παρατίθεται. (Γραμμή καθολικής μέγιστης τιμής δείκτη αναφοράς.)

— Τα δεδομένα δεν ισχύουν για αυτόν τον μορφοτροπέα/τρόπο λειτουργίας.

Πίνακας 37: Μοντέλο μορφοτροπέα: L25x (Οφθαλμική χρήση) Τρόπος λειτουργίας: 2D

Ετικέτα δείκτη		MI	TIS		TIB		TIC
			Στην επιφάνεια	Κάτω από την επιφάνεια	Στην επιφάνεια	Κάτω από την επιφάνεια	Στην επιφάνεια
Μέγιστη τιμή δείκτη		0,17	0,02		0,02		(β)
Τιμή συνιστώσας δείκτη			0,02	0,02	0,02	0,02	
Ακουστικές παράμετροι	$p_{r,\alpha}$ σε z_{MI} (MPa)	0,47					
	P (mW)		1,62		1,62		#
	P_{1x1} (mW)		0,70		0,70		
	z_s (cm)		—				
	z_b (cm)					—	
	z_{MI} (cm)	0,8					
	$z_{pii,\alpha}$ (cm)	0,8					
	f_{awf} (MHz)	7,65	6,97		6,97		#
Άλλες πληροφορίες	pr (Hz)	12580					
	srr (Hz)	12,3					
	n_{pps}	4					
	$I_{pa,\alpha}$ σε $z_{pii,\alpha}$ (W/cm^2)	13,4					
	$I_{spta,\alpha}$ σε $z_{pii,\alpha}$ ή $z_{sii,\alpha}$ (mW/cm^2)	0,6					
	I_{spta} σε z_{pii} ή z_{sii} (mW/cm^2)	1,0					
	p_r σε z_{pii} (MPa)	0,58					
Συνθήκες ελέγχου λειτουργίας	Τύπος εξέτασης	Oph	Oph		Oph		
	Βελτιστοποίηση	Res	Pen		Pen		
	Βάθος (cm)	1,9	4,3		4,3		
	MB	Ενεργ.	Ενεργ.		Ενεργ.		

(α) Αυτός ο δείκτης δεν απαιτείται για τον συγκεκριμένο τρόπο λειτουργίας. Η τιμή είναι <1.

(β) Αυτός ο μορφοτροπέας δεν προορίζεται για διακρανιακή ή κεφαλική χρήση σε νεογνά.

Δεν αναφέρονται δεδομένα για αυτήν τη συνθήκη λειτουργίας, καθώς η καθολική μέγιστη τιμή δείκτη δεν αναφέρεται για τον λόγο που παρατίθεται. (Γραμμή καθολικής μέγιστης τιμής δείκτη αναφοράς.)

— Τα δεδομένα δεν ισχύουν για αυτόν τον μορφοτροπέα/τρόπο λειτουργίας.

Πίνακας 38: Μοντέλο μορφοτροπέα: L25x (Οφθαλμική χρήση) Τρόπος λειτουργίας: M mode

Ετικέτα δείκτη		MI	TIS		TIB		TIC
			Στην επιφάνεια	Κάτω από την επιφάνεια	Στην επιφάνεια	Κάτω από την επιφάνεια	Στην επιφάνεια
Μέγιστη τιμή δείκτη		0,17	0,010		0,020		(β)
Τιμή συνιστώσας δείκτη			0,010	0,009	0,013	0,020	
Ακουστικές παράμετροι	$p_{r,\alpha}$ σε z_{MI} (MPa)	0,47					
	P (mW)		0,45		0,45		#
	P_{1x1} (mW)		0,45		0,45		
	z_s (cm)		0,9				
	z_b (cm)				0,85		
	z_{MI} (cm)	1,0					
	$z_{pii,\alpha}$ (cm)	1,0					
	f_{awf} (MHz)	7,59	6,25		6,25		#
Άλλες πληροφορίες	prr (Hz)	1600					
	srr (Hz)	—					
	n_{pps}	1					
	$I_{pa,\alpha}$ σε $z_{pii,\alpha}$ (W/cm^2)	14,9					
	$I_{spta,\alpha}$ σε $z_{pii,\alpha}$ ή $z_{sii,\alpha}$ (mW/cm^2)	2,3					
	I_{spta} σε z_{pii} ή z_{sii} (mW/cm^2)	4,0					
	p_r σε z_{pii} (MPa)	0,61					
Συνθήκες ελέγχου λειτουργίας	Τύπος εξέτασης	Oph	Oph		Oph		
	Βελτιστοποίηση	Res	Pen		Pen		
	Βάθος (cm)	1,9	4,3		4,3		

(α) Αυτός ο δείκτης δεν απαιτείται για τον συγκεκριμένο τρόπο λειτουργίας. Η τιμή είναι <1.

(β) Αυτός ο μορφοτροπέας δεν προορίζεται για διακρανιακή ή κεφαλική χρήση σε νεογνά.

Δεν αναφέρονται δεδομένα για αυτήν τη συνθήκη λειτουργίας, καθώς η καθολική μέγιστη τιμή δείκτη δεν αναφέρεται για τον λόγο που παρατίθεται. (Γραμμή καθολικής μέγιστης τιμής δείκτη αναφοράς.)

— Τα δεδομένα δεν ισχύουν για αυτόν τον μορφοτροπέα/τρόπο λειτουργίας.

Πίνακας 39: Μοντέλο μορφοτροπέα: L25x (Οφθαλμική χρήση) Τρόπος λειτουργίας: Color/CPD

Ετικέτα δείκτη		MI	TIS		TIB		TIC
			Στην επιφάνεια	Κάτω από την επιφάνεια	Στην επιφάνεια	Κάτω από την επιφάνεια	Στην επιφάνεια
Μέγιστη τιμή δείκτη		0,17	0,06		0,06		(β)
Τιμή συνιστώσας δείκτη			0,06	0,06	0,06	0,06	
Ακουστικές παράμετροι	$p_{r,\alpha}$ σε z_{MI} (MPa)	0,42					
	P (mW)		2,9		2,9		#
	$P_{I\chi 1}$ (mW)		1,9		1,9		
	z_s (cm)		—				
	z_b (cm)				—		
	z_{MI} (cm)	0,7					
	$z_{pii,\alpha}$ (cm)	0,7					
	f_{awf} (MHz)	6,11	6,10		6,10		#
Άλλες πληροφορίες	pr (Hz)	3096					
	srr (Hz)	8,1					
	n_{pps}	14					
	$I_{pa,\alpha}$ σε $z_{pii,\alpha}$ (W/cm^2)	7,5					
	$I_{spta,\alpha}$ σε $z_{pii,\alpha}$ ή $z_{sii,\alpha}$ (mW/cm^2)	1,1					
	I_{spta} σε z_{pii} ή z_{sii} (mW/cm^2)	1,6					
	p_r σε z_{pii} (MPa)	0,49					
Συνθήκες ελέγχου λειτουργίας	Τύπος εξέτασης	Oph	Oph		Oph		
	Τρόπος λειτουργίας	CVD	CVD		CVD		
	Βελτιστοποίηση 2D/Βάθος (cm)	Pen/1,9	Pen/5,1		Pen/5,1		
	Βελτιστοποίηση έγχρωμης απεικόνισης/PRF (Hz)	Χαμηλή/401	Μέτρια/4167		Μέτρια/4167		
	Θέση/Μέγεθος πλαισίου έγχρωμης απεικόνισης	Καθ./Καθ.	Επάνω/Κοντό-ευρύ		Επάνω/Κοντό-ευρύ		

(α) Αυτός ο δείκτης δεν απαιτείται για τον συγκεκριμένο τρόπο λειτουργίας. Η τιμή είναι <1.

(β) Αυτός ο μορφοτροπέας δεν προορίζεται για διακρανιακή ή κεφαλική χρήση σε νεογνά.

Δεν αναφέρονται δεδομένα για αυτήν τη συνθήκη λειτουργίας, καθώς η καθολική μέγιστη τιμή δείκτη δεν αναφέρεται για τον λόγο που παρατίθεται. (Γραμμή καθολικής μέγιστης τιμής δείκτη αναφοράς.)

— Τα δεδομένα δεν ισχύουν για αυτόν τον μορφοτροπέα/τρόπο λειτουργίας.

Πίνακας 40: Μοντέλο μορφοτροπέα: L25x (Οφθαλμική χρήση) Τρόπος λειτουργίας: PW Doppler

Ετικέτα δείκτη		MI	TIS		TIB		TIC
			Στην επιφάνεια	Κάτω από την επιφάνεια	Στην επιφάνεια	Κάτω από την επιφάνεια	Στην επιφάνεια
Μέγιστη τιμή δείκτη		0,18	0,12		0,21		(β)
Τιμή συνιστώσας δείκτη			0,12	0,08	0,12	0,21	
Ακουστικές παράμετροι	$p_{r,\alpha}$ σε z_{MI} (MPa)	0,44					
	P (mW)		4,0		4,0		#
	P_{Tx1} (mW)		4,0		4,0		
	z_s (cm)		0,9				
	z_b (cm)				0,80		
	z_{MI} (cm)	1,2					
	$z_{pii,\alpha}$ (cm)	1,2					
	f_{awf} (MHz)	6,03	6,03		6,03		#
Άλλες πληροφορίες	prr (Hz)	1953					
	srr (Hz)	—					
	n_{pps}	1					
	$I_{pa,\alpha}$ σε $z_{pii,\alpha}$ (W/cm^2)	7,4					
	$I_{spta,\alpha}$ σε $z_{pii,\alpha}$ ή $z_{sii,\alpha}$ (mW/cm^2)	18,4					
	I_{spta} σε z_{pii} ή z_{sii} (mW/cm^2)	44,9					
	p_r σε z_{pii} (MPa)	0,56					
Συνθήκες ελέγχου λειτουργίας	Τύπος εξέτασης	Oph	Oph		Oph		
	Μέγεθος όγκου δείγματος (mm)	1	1		1		
	Θέση όγκου δείγματος	Ζώνη 7	Ζώνη 7		Ζώνη 7		
	PRF (Hz)	1953	5208		5208		

(α) Αυτός ο δείκτης δεν απαιτείται για τον συγκεκριμένο τρόπο λειτουργίας. Η τιμή είναι <1.

(β) Αυτός ο μορφοτροπέας δεν προορίζεται για διακρανιακή ή κεφαλική χρήση σε νεογνά.

Δεν αναφέρονται δεδομένα για αυτήν τη συνθήκη λειτουργίας, καθώς η καθολική μέγιστη τιμή δείκτη δεν αναφέρεται για τον λόγο που παρατίθεται. (Γραμμή καθολικής μέγιστης τιμής δείκτη αναφοράς.)

— Τα δεδομένα δεν ισχύουν για αυτόν τον μορφοτροπέα/τρόπο λειτουργίας.

Πίνακας 41: Μοντέλο μορφοτροπεία: L25x Τρόπος λειτουργίας: 2D

Ετικέτα δείκτη	MI	TIS		TIB		TIC
		Στην επιφάνεια	Κάτω από την επιφάνεια	Στην επιφάνεια	Κάτω από την επιφάνεια	Στην επιφάνεια
Μέγιστη τιμή δείκτη	1,2	(α)		(α)		(β)
Τιμή συνιστώσας δείκτη		#	#	#	#	
Ακουστικές παράμετροι	$p_{r,\alpha}$ σε z_{MI} (MPa)	2,87				
	P (mW)		#	#	#	#
	P_{1x1} (mW)		#	#	#	
	z_s (cm)			—		
	z_b (cm)				—	
	z_{MI} (cm)	0,8				
	$z_{pii,\alpha}$ (cm)	0,8				
	f_{awf} (MHz)	6,11	#	#	#	#
Άλλες πληροφορίες	pr (Hz)	1061				
	srr (Hz)	13,0				
	η_{pps}	1				
	$I_{pa,\alpha}$ σε $z_{pii,\alpha}$ (W/cm^2)	478				
	$I_{spta,\alpha}$ σε $z_{pii,\alpha}$ ή $z_{sii,\alpha}$ (mW/cm^2)	12,2				
	I_{spta} σε z_{pii} ή z_{sii} (mW/cm^2)	16,4				
	p_r σε z_{pii} (MPa)	3,39				
Συνθήκες ελέγχου λειτουργίας	Τύπος εξέτασης	Nrv/Msk/ Ven/Art				
	Βελτιστοποίηση	Οποιαδήποτε				
	Βάθος (cm)	1,9 – 2,2				
	Mbe	Ενεργ.				

(α) Αυτός ο δείκτης δεν απαιτείται για τον συγκεκριμένο τρόπο λειτουργίας. Η τιμή είναι <1.

(β) Αυτός ο μορφοτροπέας δεν προορίζεται για διακρανιακή ή κεφαλική χρήση σε νεογνά.

Δεν αναφέρονται δεδομένα για αυτήν τη συνθήκη λειτουργίας, καθώς η καθολική μέγιστη τιμή δείκτη δεν αναφέρεται για τον λόγο που παρατίθεται. (Γραμμή καθολικής μέγιστης τιμής δείκτη αναφοράς.)

— Τα δεδομένα δεν ισχύουν για αυτόν τον μορφοτροπέα/τρόπο λειτουργίας.

Πίνακας 42: Μοντέλο μορφοτροπεία: L25x Τρόπος λειτουργίας: Color/CPD

Ετικέτα δείκτη		MI	TIS		TIB		TIC
			Στην επιφάνεια	Κάτω από την επιφάνεια	Στην επιφάνεια	Κάτω από την επιφάνεια	Στην επιφάνεια
Μέγιστη τιμή δείκτη		1,0	(α)		(α)		(β)
Τιμή συνιστώσας δείκτη			#	#	#	#	
Ακουστικές παράμετροι	$p_{r,\alpha}$ σε z_{MI} (MPa)	2,35					
	P (mW)		#		#		#
	P_{1x1} (mW)		#		#		
	z_s (cm)			—			
	z_b (cm)					—	
	z_{MI} (cm)	0,8					
	$z_{pii,\alpha}$ (cm)	0,8					
	f_{awf} (MHz)	6,11	#		#		#
Άλλες πληροφορίες	pr (Hz)	5261					
	srr (Hz)	13,7					
	n_{pps}	14					
	$I_{pa,\alpha}$ σε $z_{pii,\alpha}$ (W/cm^2)	276					
	$I_{spta,\alpha}$ σε $z_{pii,\alpha}$ ή $z_{sii,\alpha}$ (mW/cm^2)	81,5					
	I_{spta} σε z_{pii} ή z_{sii} (mW/cm^2)	109,5					
	p_r σε z_{pii} (MPa)	2,78					
Συνθήκες ελέγχου λειτουργίας	Τύπος εξέτασης	Ven					
	Τρόπος λειτουργίας	CVD					
	Βελτιστοποίηση 2D/Βάθος (cm)	Pen/3,1					
	Βελτιστοποίηση έγχρωμης απεικόνισης/PRF (Hz)	Χαμηλή/779					
	Θέση/Μέγεθος πλαισίου έγχρωμης απεικόνισης	Καθ./Καθ.					

(α) Αυτός ο δείκτης δεν απαιτείται για τον συγκεκριμένο τρόπο λειτουργίας. Η τιμή είναι <1.

(β) Αυτός ο μορφοτροπέας δεν προορίζεται για διακρανιακή ή κεφαλική χρήση σε νεογνά.

Δεν αναφέρονται δεδομένα για αυτήν τη συνθήκη λειτουργίας, καθώς η καθολική μέγιστη τιμή δείκτη δεν αναφέρεται για τον λόγο που παρατίθεται. (Γραμμή καθολικής μέγιστης τιμής δείκτη αναφοράς.)

— Τα δεδομένα δεν ισχύουν για αυτόν τον μορφοτροπέα/τρόπο λειτουργίας.

Πίνακας 43: Μοντέλο μορφοτροπέα: L25x Τρόπος λειτουργίας: PW Doppler

Ετικέτα δείκτη	MI	TIS		TIB		TIC
		Στην επιφάνεια	Κάτω από την επιφάνεια	Στην επιφάνεια	Κάτω από την επιφάνεια	Στην επιφάνεια
Μέγιστη τιμή δείκτη	(α)	(α)		1,7		(β)
Τιμή συνιστώσας δείκτη		#	#	0,9	1,7	
Ακουστικές παράμετροι	$p_{r,\alpha}$ σε z_{MI} (MPa)	#				
	P (mW)		#	32,1		#
	P_{Tx1} (mW)		#	32,1		
	z_s (cm)		#			
	z_b (cm)				0,75	
	z_{MI} (cm)	#				
	$z_{pii,\alpha}$ (cm)	#				
	f_{awf} (MHz)	#	#	#		#
Άλλες πληροφορίες	prf (Hz)	#				
	srr (Hz)	#				
	η_{pps}	#				
	$I_{pa,\alpha}$ σε $z_{pii,\alpha}$ (W/cm^2)	#				
	$I_{spta,\alpha}$ σε $z_{pii,\alpha}$ ή $z_{sii,\alpha}$ (mW/cm^2)	#				
	I_{spta} σε z_{pii} ή z_{sii} (mW/cm^2)	#				
	p_r σε z_{pii} (MPa)	#				
Συνθήκες ελέγχου λειτουργίας	Τύπος εξέτασης			Vas/Ven/Nrv		
	Μέγεθος όγκου δείγματος (mm)			8		
	Θέση όγκου δείγματος			Ζώνη 7		
	PRF (Hz)			1953		

(α) Αυτός ο δείκτης δεν απαιτείται για τον συγκεκριμένο τρόπο λειτουργίας. Η τιμή είναι <1.

(β) Αυτός ο μορφοτροπέας δεν προορίζεται για διακρανιακή ή κεφαλική χρήση σε νεογνά.

Δεν αναφέρονται δεδομένα για αυτήν τη συνθήκη λειτουργίας, καθώς η καθολική μέγιστη τιμή δείκτη δεν αναφέρεται για τον λόγο που παρατίθεται. (Γραμμή καθολικής μέγιστης τιμής δείκτη αναφοράς.)

— Τα δεδομένα δεν ισχύουν για αυτόν τον μορφοτροπέα/τρόπο λειτουργίας.

Πίνακας 44: Μοντέλο μορφοτροπία: L38xi Τρόπος λειτουργίας: 2D

Ετικέτα δείκτη		MI	TIS		TIB		TIC
			Στην επιφάνεια	Κάτω από την επιφάνεια	Στην επιφάνεια	Κάτω από την επιφάνεια	Στην επιφάνεια
Μέγιστη τιμή δείκτη		1,5	(α)		(α)		(β)
Τιμή συνιστώσας δείκτη			#	#	#	#	
Ακουστικές παράμετροι	$p_{r,\alpha}$ σε z_{MI} (MPa)	3,3					
	P (mW)		#		#		#
	P_{1x1} (mW)		#		#		
	z_s (cm)			—			
	z_b (cm)					—	
	z_{MI} (cm)	0,8					
	$z_{pii,\alpha}$ (cm)	0,8					
	f_{awf} (MHz)	4,82	#		#		#
Άλλες πληροφορίες	prr (Hz)	1312					
	srr (Hz)	10,3					
	η_{pps}	1					
	$I_{pa,\alpha}$ σε $z_{pii,\alpha}$ (W/cm^2)	605					
	$I_{spta,\alpha}$ σε $z_{pii,\alpha}$ ή $z_{sii,\alpha}$ (mW/cm^2)	10,2					
	I_{spta} σε z_{pii} ή z_{sii} (mW/cm^2)	13,5					
	p_r σε z_{pii} (MPa)	3,79					
Συνθήκες ελέγχου λειτουργίας	Τύπος εξέτασης	Nrv					
	Βελτιστοποίηση	Res					
	Βάθος (cm)	2,0					
	MB	Δ/I					
	Απεικόνιση βελόνας	Ενεργ.					

(α) Αυτός ο δείκτης δεν απαιτείται για τον συγκεκριμένο τρόπο λειτουργίας. Η τιμή είναι <1.

(β) Αυτός ο μορφοτροπέας δεν προορίζεται για διακρανιακή ή κεφαλική χρήση σε νεογνά.

Δεν αναφέρονται δεδομένα για αυτήν τη συνθήκη λειτουργίας, καθώς η καθολική μέγιστη τιμή δείκτη δεν αναφέρεται για τον λόγο που παρατίθεται. (Γραμμή καθολικής μέγιστης τιμής δείκτη αναφοράς.)

— Τα δεδομένα δεν ισχύουν για αυτόν τον μορφοτροπέα/τρόπο λειτουργίας.

Πίνακας 45: Μοντέλο μορφοτροπέα: L38χι Τρόπος λειτουργίας: M mode

Ετικέτα δείκτη	MI	TIS		TIB		TIC
		Στην επιφάνεια	Κάτω από την επιφάνεια	Στην επιφάνεια	Κάτω από την επιφάνεια	Στην επιφάνεια
Μέγιστη τιμή δείκτη	1,5	(α)		1,2		(β)
Τιμή συνιστώσας δείκτη		#	#	0,9	1,2	
Ακουστικές παράμετροι	$p_{r,\alpha}$ σε z_{MI} (MPa)	3,54				
	P (mW)		#	37,1		#
	P_{1x1} (mW)		#	37,1		
	z_s (cm)		#			
	z_b (cm)				0,9	
	z_{MI} (cm)	1,0				
	$z_{pii,\alpha}$ (cm)	1,0				
	f_{awf} (MHz)	5,76	#	5,20		#
Άλλες πληροφορίες	pr (Hz)	1600				
	srr (Hz)	—				
	n_{pps}	1				
	$I_{pa,\alpha}$ σε $z_{pii,\alpha}$ (W/cm^2)	776				
	$I_{spta,\alpha}$ σε $z_{pii,\alpha}$ ή $z_{sii,\alpha}$ (mW/cm^2)	181,8				
	I_{spta} σε z_{pii} ή z_{sii} (mW/cm^2)	280,5				
	p_r σε z_{pii} (MPa)	4,32				
Συνθήκες ελέγχου λειτουργίας	Τύπος εξέτασης	Art		Art		
	Βελτιστοποίηση	Gen		Pen		
	Βάθος (cm)	4,7		7,3		

(α) Αυτός ο δείκτης δεν απαιτείται για τον συγκεκριμένο τρόπο λειτουργίας. Η τιμή είναι <1.

(β) Αυτός ο μορφοτροπέας δεν προορίζεται για διακρανιακή ή κεφαλική χρήση σε νεογνά.

Δεν αναφέρονται δεδομένα για αυτήν τη συνθήκη λειτουργίας, καθώς η καθολική μέγιστη τιμή δείκτη δεν αναφέρεται για τον λόγο που παρατίθεται. (Γραμμή καθολικής μέγιστης τιμής δείκτη αναφοράς.)

— Τα δεδομένα δεν ισχύουν για αυτόν τον μορφοτροπέα/τρόπο λειτουργίας.

Πίνακας 46: Μοντέλο μορφοτροπεία: L38xi Τρόπος λειτουργίας: Color/CPD

Ετικέτα δείκτη		MI	TIS		TIB		TIC
			Στην επιφάνεια	Κάτω από την επιφάνεια	Στην επιφάνεια	Κάτω από την επιφάνεια	Στην επιφάνεια
Μέγιστη τιμή δείκτη		1,5	1,1		1,1		(β)
Τιμή συνιστώσας δείκτη			1,1	1,1	1,1	1,1	
Ακουστικές παράμετροι	$p_{r,\alpha}$ σε Z_{MI} (MPa)	3,3					
	P (mW)		64,7		64,7		#
	P_{1x1} (mW)		49,0		49,0		
	z_s (cm)		—				
	z_b (cm)					—	
	z_{MI} (cm)	0,8					
	$z_{pii,\alpha}$ (cm)	0,8					
	f_{awf} (MHz)	4,82	4,83		4,83		#
Άλλες πληροφορίες	p_{rr} (Hz)	2190					
	s_{rr} (Hz)	4,5					
	n_{pps}	16					
	$I_{pa,\alpha}$ σε $Z_{pii,\alpha}$ (W/cm^2)	605					
	$I_{spta,\alpha}$ σε $Z_{pii,\alpha}$ ή $Z_{sii,\alpha}$ (mW/cm^2)	35,6					
	I_{spta} σε Z_{pii} ή Z_{sii} (mW/cm^2)	47,4					
	p_r σε Z_{pii} (MPa)	3,79					
Συνθήκες ελέγχου λειτουργίας	Τύπος εξέτασης	Art	Ven		Ven		
	Τρόπος λειτουργίας	CVD	CVD		CVD		
	Βελτιστοποίηση 2D/Βάθος (cm)	Pen/2,0	Pen/3,1		Pen/3,1		
	Βελτιστοποίηση έγχρωμης απεικόνισης/PRF (Hz)	Χαμηλή/393	Χαμηλή/2315		Χαμηλή/2315		
	Θέση/Μέγεθος πλαισίου έγχρωμης απεικόνισης	Καθ./Καθ.	Κάτω/Κοντό-Στενό		Κάτω/Κοντό-Στενό		

(α) Αυτός ο δείκτης δεν απαιτείται για τον συγκεκριμένο τρόπο λειτουργίας. Η τιμή είναι <1.

(β) Αυτός ο μορφοτροπέας δεν προορίζεται για διακρανιακή ή κεφαλική χρήση σε νεογνά.

Δεν αναφέρονται δεδομένα για αυτήν τη συνθήκη λειτουργίας, καθώς η καθολική μέγιστη τιμή δείκτη δεν αναφέρεται για τον λόγο που παρατίθεται. (Γραμμή καθολικής μέγιστης τιμής δείκτη αναφοράς.)

— Τα δεδομένα δεν ισχύουν για αυτόν τον μορφοτροπέα/τρόπο λειτουργίας.

Πίνακας 47: Μοντέλο μορφοτροπέα: L38xi Τρόπος λειτουργίας: PW Doppler

Ετικέτα δείκτη		MI	TIS		TIB		TIC
			Στην επιφάνεια	Κάτω από την επιφάνεια	Στην επιφάνεια	Κάτω από την επιφάνεια	Στην επιφάνεια
Μέγιστη τιμή δείκτη		1,3	2,6		3,7		(β)
Τιμή συνιστώσας δείκτη			2,6	1,8	2,6	3,7	
Ακουστικές παράμετροι	$p_{r,\alpha}$ σε z_{MI} (MPa)	2,59					
	P (mW)		114,5		114,5		#
	P_{TxI} (mW)		114,5		114,5		
	z_s (cm)		1,2				
	z_b (cm)					1,2	
	z_{MI} (cm)	0,7					
	$z_{pii,\alpha}$ (cm)	0,7					
	f_{awf} (MHz)	4,06	4,78		4,78		#
Άλλες πληροφορίες	prf (Hz)	1008					
	srr (Hz)	—					
	n_{pps}	1					
	$I_{pa,\alpha}$ σε $z_{pii,\alpha}$ (W/cm^2)	32,3					
	$I_{spta,\alpha}$ σε $z_{pii,\alpha}$ ή $z_{sii,\alpha}$ (mW/cm^2)	399,8					
	I_{spta} σε z_{pii} ή z_{sii} (mW/cm^2)	495,1					
	p_r σε z_{pii} (MPa)	2,86					
Συνθήκες ελέγχου λειτουργίας	Τύπος εξέτασης	Art	Nrv		Nrv		
	Μέγεθος όγκου δείγματος (mm)	1	1		1		
	Θέση όγκου δείγματος	Ζώνη 0	Ζώνη 7		Ζώνη 7		
	PRF (Hz)	1008	10.417		10.417		

(α) Αυτός ο δείκτης δεν απαιτείται για τον συγκεκριμένο τρόπο λειτουργίας. Η τιμή είναι <1.

(β) Αυτός ο μορφοτροπέας δεν προορίζεται για διακρανιακή ή κεφαλική χρήση σε νεογνά.

Δεν αναφέρονται δεδομένα για αυτήν τη συνθήκη λειτουργίας, καθώς η καθολική μέγιστη τιμή δείκτη δεν αναφέρεται για τον λόγο που παρατίθεται. (Γραμμή καθολικής μέγιστης τιμής δείκτη αναφοράς.)

— Τα δεδομένα δεν ισχύουν για αυτόν τον μορφοτροπέα/τρόπο λειτουργίας.

Πίνακας 48: Μοντέλο μορφοτροπία: P10x Τρόπος λειτουργίας: Color απεικόνιση

Ετικέτα δείκτη		MI	TIS		TIB		TIC
			Στην επιφάνεια	Κάτω από την επιφάνεια	Στην επιφάνεια	Κάτω από την επιφάνεια	Στην επιφάνεια
Μέγιστη τιμή δείκτη		(α)	(α)		(α)		1,1
Τιμή συνιστώσας δείκτη			#	#	#	#	
Ακουστικές παράμετροι	$p_{r,\alpha}$ σε Z_{MI} (MPa)	#					
	P (mW)		#		#		42,2
	P_{1x1} (mW)		#		#		
	z_s (cm)			—			
	z_b (cm)					—	
	z_{MI} (cm)	#					
	$z_{pii,\alpha}$ (cm)	#					
	f_{awf} (MHz)	#	#		#		3,89
Άλλες πληροφορίες	p_{rr} (Hz)	#					
	s_{rr} (Hz)	#					
	η_{pps}	#					
	$I_{pa,\alpha}$ σε $z_{pii,\alpha}$ (W/cm^2)	#					
	$I_{spta,\alpha}$ σε $z_{pii,\alpha}$ ή $z_{sii,\alpha}$ (mW/cm^2)	#					
	I_{spta} σε z_{pii} ή z_{sii} (mW/cm^2)	#					
	p_r σε z_{pii} (MPa)	#					
Συνθήκες ελέγχου λειτουργίας	Τύπος εξέτασης						Crd
	Τρόπος λειτουργίας						CVD
	Βελτιστοποίηση 2D/Βάθος (cm)/Πλάτος τομέα						Pen/8,9/στενό
	Βελτιστοποίηση έγχρωμης απεικόνισης/PRF (Hz)						Χαμηλή/2033
	Θέση/Μέγεθος πλαισίου έγχρωμης απεικόνισης						Επάνω/Κοντό-ευρύ

(α) Αυτός ο δείκτης δεν απαιτείται για τον συγκεκριμένο τρόπο λειτουργίας. Η τιμή είναι <1.

(β) Αυτός ο μορφοτροπίας δεν προορίζεται για διακρανιακή ή κεφαλική χρήση σε νεογνά.

Δεν αναφέρονται δεδομένα για αυτήν τη συνθήκη λειτουργίας, καθώς η καθολική μέγιστη τιμή δείκτη δεν αναφέρεται για τον λόγο που παρατίθεται. (Γραμμή καθολικής μέγιστης τιμής δείκτη αναφοράς.)

— Τα δεδομένα δεν ισχύουν για αυτόν τον μορφοτροπία/τρόπο λειτουργίας.

Πίνακας 49: Μοντέλο μορφοτροπέα: P10x Τρόπος λειτουργίας: CW Doppler

Ετικέτα δείκτη	MI	TIS		TIB		TIC
		Στην επιφάνεια	Κάτω από την επιφάνεια	Στην επιφάνεια	Κάτω από την επιφάνεια	Στην επιφάνεια
Μέγιστη τιμή δείκτη	(α)	(α)		1,8		1,7
Τιμή συνιστώσας δείκτη		#	#	0,7	1,8	
Ακουστικές παράμετροι	$p_{r,\alpha}$ σε z_{MI} (MPa)	#				
	P (mW)		#	34,8		25,7
	P_{Tx1} (mW)		#	34,8		
	z_s (cm)		#			
	z_b (cm)				0,70	
	z_{MI} (cm)	#				
	$z_{pii,\alpha}$ (cm)	#				
	f_{awf} (MHz)	#	#	4,00		4,00
Άλλες πληροφορίες	prf (Hz)	#				
	srr (Hz)	#				
	n_{pps}	#				
	$I_{pa,\alpha}$ σε $z_{pii,\alpha}$ (W/cm^2)	#				
	$I_{spta,\alpha}$ σε $z_{pii,\alpha}$ ή $z_{sii,\alpha}$ (mW/cm^2)	#				
	I_{spta} σε z_{pii} ή z_{sii} (mW/cm^2)	#				
	p_r σε z_{pii} (MPa)	#				
Συνθήκες ελέγχου λειτουργίας	Τύπος εξέτασης			Crd		Crd
	Θέση όγκου δείγματος			Ζώνη 3		Ζώνη 0

(α) Αυτός ο δείκτης δεν απαιτείται για τον συγκεκριμένο τρόπο λειτουργίας. Η τιμή είναι <1.

(β) Αυτός ο μορφοτροπέας δεν προορίζεται για διακρανιακή ή κεφαλική χρήση σε νεογνά.

Δεν αναφέρονται δεδομένα για αυτήν τη συνθήκη λειτουργίας, καθώς η καθολική μέγιστη τιμή δείκτη δεν αναφέρεται για τον λόγο που παρατίθεται. (Γραμμή καθολικής μέγιστης τιμής δείκτη αναφοράς.)

— Τα δεδομένα δεν ισχύουν για αυτόν τον μορφοτροπέα/τρόπο λειτουργίας.

Πίνακας 50: Μοντέλο μορφοτροπείας: P10x Τρόπος λειτουργίας: PW Doppler

Ετικέτα δείκτη		MI	TIS		TIB		TIC
			Στην επιφάνεια	Κάτω από την επιφάνεια	Στην επιφάνεια	Κάτω από την επιφάνεια	Στην επιφάνεια
Μέγιστη τιμή δείκτη		1,0	1,1		1,9		1,5
Τιμή συνιστώσας δείκτη			1,1	0,6	0,6	1,9	
Ακουστικές παράμετροι	$p_{r,\alpha}$ σε z_{MI} (MPa)	1,92					
	P (mW)		34,4		31,9		26,9
	P_{Tx1} (mW)		34,4		31,9		
	z_s (cm)		1,4				
	z_b (cm)				0,90		
	z_{MI} (cm)	2,1					
	$z_{pii,\alpha}$ (cm)	2,1					
	f_{awf} (MHz)	3,87	6,86		3,84		3,86
Άλλες πληροφορίες	pr (Hz)	1562					
	srr (Hz)	—					
	n_{pps}	1					
	$I_{pa,\alpha}$ σε $z_{pii,\alpha}$ (W/cm^2)	200					
	$I_{spta,\alpha}$ σε $z_{pii,\alpha}$ ή $z_{sii,\alpha}$ (mW/cm^2)	400,0					
	I_{spta} σε z_{pii} ή z_{sii} (mW/cm^2)	729,9					
	p_r σε z_{pii} (MPa)	2,54					
Συνθήκες ελέγχου λειτουργίας	Τύπος εξέτασης	Crd	Crd		Abd		Crd
	Μέγεθος όγκου δείγματος (mm)	1	7		12		1
	Θέση όγκου δείγματος	Ζώνη 2	Ζώνη 6		Ζώνη 1		Ζώνη 0
	PRF (Hz)	1562	1008		1953		15.625
	TDI	Απενεργ.	Ενεργ.		Απενεργ.		Απενεργ.

(α) Αυτός ο δείκτης δεν απαιτείται για τον συγκεκριμένο τρόπο λειτουργίας. Η τιμή είναι <1.

(β) Αυτός ο μορφοτροπέας δεν προορίζεται για διακρανιακή ή κεφαλική χρήση σε νεογνά.

Δεν αναφέρονται δεδομένα για αυτήν τη συνθήκη λειτουργίας, καθώς η καθολική μέγιστη τιμή δείκτη δεν αναφέρεται για τον λόγο που παρατίθεται. (Γραμμή καθολικής μέγιστης τιμής δείκτη αναφοράς.)

— Τα δεδομένα δεν ισχύουν για αυτόν τον μορφοτροπέα/τρόπο λειτουργίας.

Πίνακας 51: Μοντέλο μορφοτροπεία: rC60χι Τρόπος λειτουργίας: 2D

Ετικέτα δείκτη	MI	TIS		TIB		TIC
		Στην επιφάνεια	Κάτω από την επιφάνεια	Στην επιφάνεια	Κάτω από την επιφάνεια	Στην επιφάνεια
Μέγιστη τιμή δείκτη	1,5	(α)		(α)		(β)
Τιμή συνιστώσας δείκτη		#	#	#	#	
Ακουστικές παράμετροι	$p_{r,\alpha}$ σε z_{MI} (MPa)	2,31				
	P (mW)		#	#	#	#
	P_{1x1} (mW)		#	#	#	
	z_s (cm)			—		
	z_b (cm)				—	
	z_{MI} (cm)	4,3				
	$z_{pii,\alpha}$ (cm)	4,3				
	f_{awf} (MHz)	2,36	#	#	#	#
Άλλες πληροφορίες	pr (Hz)	3584				
	srr (Hz)	28,0				
	η_{pps}	1				
	$I_{pa,\alpha}$ σε $z_{pii,\alpha}$ (W/cm^2)	356				
	$I_{spta,\alpha}$ σε $z_{pii,\alpha}$ ή $z_{sii,\alpha}$ (mW/cm^2)	24,1				
	I_{spta} σε z_{pii} ή z_{sii} (mW/cm^2)	44,9				
	p_r σε z_{pii} (MPa)	3,29				
Συνθήκες ελέγχου λειτουργίας	Τύπος εξέτασης	Abd				
	Βελτιστοποίηση	Res				
	Βάθος (cm)	11				
	MB (Πολλαπλή δέσμη)	Απενεργ.				
	THI	Ενεργ.				

(α) Αυτός ο δείκτης δεν απαιτείται για τον συγκεκριμένο τρόπο λειτουργίας. Η τιμή είναι <1.

(β) Αυτός ο μορφοτροπέας δεν προορίζεται για διακρανιακή ή κεφαλική χρήση σε νεογνά.

Δεν αναφέρονται δεδομένα για αυτήν τη συνθήκη λειτουργίας, καθώς η καθολική μέγιστη τιμή δείκτη δεν αναφέρεται για τον λόγο που παρατίθεται. (Γραμμή καθολικής μέγιστης τιμής δείκτη αναφοράς.)

— Τα δεδομένα δεν ισχύουν για αυτόν τον μορφοτροπέα/τρόπο λειτουργίας.

Πίνακας 52: Μοντέλο μορφοτροπεία: rC60χι Τρόπος λειτουργίας: M mode

Ετικέτα δείκτη		MI	TIS		TIB		TIC
			Στην επιφάνεια	Κάτω από την επιφάνεια	Στην επιφάνεια	Κάτω από την επιφάνεια	Στην επιφάνεια
Μέγιστη τιμή δείκτη		1,3	(α)		1,0		(β)
Τιμή συνιστώσας δείκτη			#	#	0,36	1,00	
Ακουστικές παράμετροι	$p_{r,\alpha}$ σε z_{MI} (MPa)	2,18					
	P (mW)		#		69,8		#
	P_{1x1} (mW)		#		25,9		
	z_s (cm)			#			
	z_b (cm)					4,2	
	z_{MI} (cm)	4,3					
	$z_{pii,\alpha}$ (cm)	4,3					
	f_{awf} (MHz)	2,66		#		2,89	#
Άλλες πληροφορίες	prr (Hz)	800					
	srr (Hz)	—					
	n_{pps}	1					
	$I_{pa,\alpha}$ σε $z_{pii,\alpha}$ (W/cm^2)	290					
	$I_{spta,\alpha}$ σε $z_{pii,\alpha}$ ή $z_{sii,\alpha}$ (mW/cm^2)	144,2					
	I_{spta} σε z_{pii} ή z_{sii} (mW/cm^2)	328,2					
	p_r σε z_{pii} (MPa)	3,25					
Συνθήκες ελέγχου λειτουργίας	Τύπος εξέτασης	Abd			Msk		
	Βελτιστοποίηση	Pen			Pen		
	Βάθος (cm)	6,6			9,2		
	THI	Απενεργ.			Απενεργ.		

(α) Αυτός ο δείκτης δεν απαιτείται για τον συγκεκριμένο τρόπο λειτουργίας. Η τιμή είναι <1.

(β) Αυτός ο μορφοτροπέας δεν προορίζεται για διακρανιακή ή κεφαλική χρήση σε νεογνά.

Δεν αναφέρονται δεδομένα για αυτήν τη συνθήκη λειτουργίας, καθώς η καθολική μέγιστη τιμή δείκτη δεν αναφέρεται για τον λόγο που παρατίθεται. (Γραμμή καθολικής μέγιστης τιμής δείκτη αναφοράς.)

— Τα δεδομένα δεν ισχύουν για αυτόν τον μορφοτροπέα/τρόπο λειτουργίας.

Πίνακας 53: Μοντέλο μορφοτροπία: rC60χι Τρόπος λειτουργίας: Color/CPD

Ετικέτα δείκτη	MI	TIS		TIB		TIC
		Στην επιφάνεια	Κάτω από την επιφάνεια	Στην επιφάνεια	Κάτω από την επιφάνεια	Στην επιφάνεια
Μέγιστη τιμή δείκτη	1,5	1,2		1,2		(β)
Τιμή συνιστώσας δείκτη		1,2	1,2	1,2	1,2	
Ακουστικές παράμετροι	$p_{r,\alpha}$ σε Z_{MI} (MPa)	2,21				
	P (mW)		185,8	185,8		#
	P_{1x1} (mW)		107,5	107,5		
	z_s (cm)		—			
	z_b (cm)				—	
	z_{MI} (cm)	4,3				
	$z_{pii,\alpha}$ (cm)	4,3				
	f_{awf} (MHz)	2,22	2,21		2,21	
Άλλες πληροφορίες	pr (Hz)	1265				
	srr (Hz)	9,89				
	n_{pps}	1				
	$I_{pa,\alpha}$ σε $Z_{pii,\alpha}$ (W/cm^2)	342				
	$I_{spta,\alpha}$ σε $Z_{pii,\alpha}$ ή $Z_{sii,\alpha}$ (mW/cm^2)	8,9				
	I_{spta} σε Z_{pii} ή Z_{sii} (mW/cm^2)	15,8				
	p_r σε Z_{pii} (MPa)	3,07				
Συνθήκες ελέγχου λειτουργίας	Τύπος εξέτασης	Abd	Abd		Abd	
	Τρόπος λειτουργίας	CVD	CVD		CVD	
	Βελτιστοποίηση 2D/Βάθος (cm)/THI	Gen/11/Ενεργ.	Gen/4,7/Απενεργ.		Gen/4,7/Απενεργ.	
	Βελτιστοποίηση έγχρωμης απεικόνισης/PRF (Hz)	Χαμηλή/342	Υψηλή/3125		Υψηλή/3125	
	Θέση/Μέγεθος πλαισίου έγχρωμης απεικόνισης	Κάτω/Ψηλό-Στενό	Κάτω/Ψηλό-Στενό		Κάτω/Ψηλό-Στενό	
(α) Αυτός ο δείκτης δεν απαιτείται για τον συγκεκριμένο τρόπο λειτουργίας. Η τιμή είναι <1.						
(β) Αυτός ο μορφοτροπίας δεν προορίζεται για διακρανιακή ή κεφαλική χρήση σε νεογνά.						
# Δεν αναφέρονται δεδομένα για αυτήν τη συνθήκη λειτουργίας, καθώς η καθολική μέγιστη τιμή δείκτη δεν αναφέρεται για τον λόγο που παρατίθεται. (Γραμμή καθολικής μέγιστης τιμής δείκτη αναφοράς.)						
— Τα δεδομένα δεν ισχύουν για αυτόν τον μορφοτροπία/τρόπο λειτουργίας.						

Πίνακας 54: Μοντέλο μορφοτροπεία: rC60χι Τρόπος λειτουργίας: PW Doppler

Ετικέτα δείκτη		MI	TIS		TIB		TIC
			Στην επιφάνεια	Κάτω από την επιφάνεια	Στην επιφάνεια	Κάτω από την επιφάνεια	Στην επιφάνεια
Μέγιστη τιμή δείκτη		1,2	2,0		4,0		(β)
Τιμή συνιστώσας δείκτη			0,7	2,0	0,8	4,0	
Ακουστικές παράμετροι	$p_{r,\alpha}$ σε z_{MI} (MPa)	1,73					
	P (mW)		386,5		291,8		#
	P_{Tx1} (mW)		67,5		74,2		
	z_s (cm)		4,0				
	z_b (cm)					3,6	
	z_{MI} (cm)	4,5					
	$z_{pii,\alpha}$ (cm)	4,5					
	f_{awf} (MHz)	2,2	2,23		2,23		#
Άλλες πληροφορίες	prr (Hz)	1302					
	srr (Hz)	—					
	n_{pps}	1					
	$I_{pa,\alpha}$ σε $z_{pii,\alpha}$ (W/cm^2)	267					
	$I_{spta,\alpha}$ σε $z_{pii,\alpha}$ ή $z_{sii,\alpha}$ (mW/cm^2)	399,7					
	I_{spta} σε z_{pii} ή z_{sii} (mW/cm^2)	793,3					
	p_r σε z_{pii} (MPa)	2,43					
Συνθήκες ελέγχου λειτουργίας	Τύπος εξέτασης	Abd	Abd		Abd		
	Μέγεθος όγκου δείγματος (mm)	3	7		7		
	Θέση όγκου δείγματος	Ζώνη 3	Ζώνη 6		Ζώνη 5		
	PRF (Hz)	1302	2604		2604		

(α) Αυτός ο δείκτης δεν απαιτείται για τον συγκεκριμένο τρόπο λειτουργίας. Η τιμή είναι <1.

(β) Αυτός ο μορφοτροπέας δεν προορίζεται για διακρανιακή ή κεφαλική χρήση σε νεογνά.

Δεν αναφέρονται δεδομένα για αυτήν τη συνθήκη λειτουργίας, καθώς η καθολική μέγιστη τιμή δείκτη δεν αναφέρεται για τον λόγο που παρατίθεται. (Γραμμή καθολικής μέγιστης τιμής δείκτη αναφοράς.)

— Τα δεδομένα δεν ισχύουν για αυτόν τον μορφοτροπέα/τρόπο λειτουργίας.

Πίνακας 55: Μοντέλο μορφοτροπέα: rP19x (Κογχική χρήση) Τρόπος λειτουργίας: 2D

Ετικέτα δείκτη	MI	TIS		TIB		TIC
		Στην επιφάνεια	Κάτω από την επιφάνεια	Στην επιφάνεια	Κάτω από την επιφάνεια	Στην επιφάνεια
Μέγιστη τιμή δείκτη	0,17	0,03		0,03		0,07
Τιμή συνιστώσας δείκτη		0,03	0,03	0,03	0,03	
Ακουστικές παράμετροι	$p_{r,\alpha}$ σε z_{MI} (MPa)	0,25				
	P (mW)		4,4		4,4	4,7
	P_{1x1} (mW)		2,9		2,9	
	z_s (cm)		—			
	z_b (cm)				—	
	z_{MI} (cm)	3,4				
	$z_{pii,\alpha}$ (cm)	3,4				
	f_{awf} (MHz)	2,06	2,06		2,06	1,90
Άλλες πληροφορίες	pr (Hz)	6413				
	srr (Hz)	15,6				
	n_{pps}	1				
	$I_{pa,\alpha}$ σε $z_{pii,\alpha}$ (W/cm^2)	4,1				
	$I_{spta,\alpha}$ σε $z_{pii,\alpha}$ ή $z_{sii,\alpha}$ (mW/cm^2)	0,4				
	I_{spta} σε z_{pii} ή z_{sii} (mW/cm^2)	0,6				
	p_r σε z_{pii} (MPa)	0,31				
Συνθήκες ελέγχου λειτουργίας	Τύπος εξέτασης	Orb	Orb	Orb	Orb	Orb
	Βελτιστοποίηση	Res	Res	Res	Res	Gen
	Βάθος (cm)	4,7	4,7	4,7	4,7	16
	MB	Απενεργ.	Απενεργ.	Απενεργ.	Απενεργ.	Απενεργ.

(α) Αυτός ο δείκτης δεν απαιτείται για τον συγκεκριμένο τρόπο λειτουργίας. Η τιμή είναι <1.

(β) Αυτός ο μορφοτροπέας δεν προορίζεται για διακρανιακή ή κεφαλική χρήση σε νεογνά.

Δεν αναφέρονται δεδομένα για αυτήν τη συνθήκη λειτουργίας, καθώς η καθολική μέγιστη τιμή δείκτη δεν αναφέρεται για τον λόγο που παρατίθεται. (Γραμμή καθολικής μέγιστης τιμής δείκτη αναφοράς.)

— Τα δεδομένα δεν ισχύουν για αυτόν τον μορφοτροπέα/τρόπο λειτουργίας.

Πίνακας 56: Μοντέλο μορφοτροπεία: rP19x (Κογχική χρήση) Τρόπος λειτουργίας: M mode

Ετικέτα δείκτη		MI	TIS		TIB		TIC
			Στην επιφάνεια	Κάτω από την επιφάνεια	Στην επιφάνεια	Κάτω από την επιφάνεια	Στην επιφάνεια
Μέγιστη τιμή δείκτη		0,17	0,009		0,020		0,021
Τιμή συνιστώσας δείκτη			0,006	0,009	0,006	0,020	
Ακουστικές παράμετροι	$p_{r,\alpha}$ σε z_{MI} (MPa)	0,25					
	P (mW)		1,34		1,34		1,34
	P_{1x1} (mW)		0,67		0,67		
	z_s (cm)		2,5				
	z_b (cm)				3,15		
	z_{MI} (cm)	3,4					
	$z_{pii,\alpha}$ (cm)	3,4					
	f_{awf} (MHz)	2,06	1,83		1,83		1,83
Άλλες πληροφορίες	pr (Hz)	800					
	srr (Hz)	—					
	n_{pps}	1					
	$I_{pa,\alpha}$ σε $z_{pii,\alpha}$ (W/cm^2)	4,05					
	$I_{spta,\alpha}$ σε $z_{pii,\alpha}$ ή $z_{sii,\alpha}$ (mW/cm^2)	1,7					
	I_{spta} σε z_{pii} ή z_{sii} (mW/cm^2)	2,7					
	p_r σε z_{pii} (MPa)	0,31					
Συνθήκες ελέγχου λειτουργίας	Τύπος εξέτασης	Orb	Orb		Orb		Orb
	Βελτιστοποίηση	Res	Gen		Gen		Gen
	Βάθος (cm)	4,7	35		35		35

(α) Αυτός ο δείκτης δεν απαιτείται για τον συγκεκριμένο τρόπο λειτουργίας. Η τιμή είναι <1.

(β) Αυτός ο μορφοτροπέας δεν προορίζεται για διακρανιακή ή κεφαλική χρήση σε νεογνά.

Δεν αναφέρονται δεδομένα για αυτήν τη συνθήκη λειτουργίας, καθώς η καθολική μέγιστη τιμή δείκτη δεν αναφέρεται για τον λόγο που παρατίθεται. (Γραμμή καθολικής μέγιστης τιμής δείκτη αναφοράς.)

— Τα δεδομένα δεν ισχύουν για αυτόν τον μορφοτροπέα/τρόπο λειτουργίας.

Πίνακας 57: Μοντέλο μορφοτροπεία: rP19x (Κοχχική χρήση) Τρόπος λειτουργίας: Color/CPD

Ετικέτα δείκτη	MI	TIS		TIB		TIC
		Στην επιφάνεια	Κάτω από την επιφάνεια	Στην επιφάνεια	Κάτω από την επιφάνεια	Στην επιφάνεια
Μέγιστη τιμή δείκτη	0,17	0,09		0,09		0,23
Τιμή συνιστώσας δείκτη		0,09	0,09	0,09	0,09	
Ακουστικές παράμετροι	$p_{r,\alpha}$ σε z_{MI} (MPa)	0,25				
	P (mW)		15,47	15,47		15,50
	P_{1x1} (mW)		9,50	9,50		
	z_s (cm)		—			
	z_b (cm)				—	
	z_{MI} (cm)	0,7				
	$z_{pii,\alpha}$ (cm)	0,7				
f_{awf} (MHz)	2,14	2,11	2,11	2,11	2,11	
Άλλες πληροφορίες	pr (Hz)	5443				
	srr (Hz)	15,9				
	n_{pps}	16				
	$I_{pa,\alpha}$ σε $z_{pii,\alpha}$ (W/cm ²)	1,82				
	$I_{spta,\alpha}$ σε $z_{pii,\alpha}$ ή $z_{sii,\alpha}$ (mW/cm ²)	3,2				
	I_{spta} σε z_{pii} ή z_{sii} (mW/cm ²)	3,5				
	p_r σε z_{pii} (MPa)	0,26				
Συνθήκες ελέγχου λειτουργίας	Τύπος εξέτασης	Orb	Orb	Orb	Orb	Orb
	Τρόπος λειτουργίας	CVD	CVD	CVD	CVD	CVD
	Βελτιστοποίηση 2D/Βάθος (cm)	Gen/4,7	Gen/24	Gen/24	Gen/24	Gen/24
	Βελτιστοποίηση έγχρωμης απεικόνισης/PRF (Hz)	Χαμηλή/1157	Χαμηλή/3125	Χαμηλή/3125	Χαμηλή/3125	Χαμηλή/3125
	Θέση/Μέγεθος πλαισίου έγχρωμης απεικόνισης	Καθ./Καθ.	Επάνω/Κοντό-ευρύ	Επάνω/Κοντό-ευρύ	Επάνω/Κοντό-ευρύ	Επάνω/Κοντό-ευρύ

(α) Αυτός ο δείκτης δεν απαιτείται για τον συγκεκριμένο τρόπο λειτουργίας. Η τιμή είναι <1.

(β) Αυτός ο μορφοτροπεία δεν προορίζεται για διακρανιακή ή κεφαλική χρήση σε νεογνά.

Δεν αναφέρονται δεδομένα για αυτήν τη συνθήκη λειτουργίας, καθώς η καθολική μέγιστη τιμή δείκτη δεν αναφέρεται για τον λόγο που παρατίθεται. (Γραμμή καθολικής μέγιστης τιμής δείκτη αναφοράς.)

— Τα δεδομένα δεν ισχύουν για αυτόν τον μορφοτροπεία/τρόπο λειτουργίας.

Πίνακας 58: Μοντέλο μορφοτροπέα: rP19x (Κογχική χρήση) Τρόπος λειτουργίας: PW Doppler

Ετικέτα δείκτη		MI	TIS		TIB		TIC
			Στην επιφάνεια	Κάτω από την επιφάνεια	Στην επιφάνεια	Κάτω από την επιφάνεια	Στην επιφάνεια
Μέγιστη τιμή δείκτη		0,18	0,27		0,59		0,57
Τιμή συνιστώσας δείκτη			0,19	0,27	0,18	0,59	
Ακουστικές παράμετροι	$p_{r,\alpha}$ σε z_{MI} (MPa)	0,27					
	P (mW)		37,4		35,3		37,4
	P_{Tx1} (mW)		17,5		17,0		
	z_s (cm)		2,5				
	z_b (cm)				3,35		
	z_{MI} (cm)	3,5					
	$z_{pii,\alpha}$ (cm)	3,5					
	f_{awf} (MHz)	2,23	2,23		2,23		2,23
Άλλες πληροφορίες	prr (Hz)	1953					
	srr (Hz)	—					
	n_{pps}	1					
	$I_{pa,\alpha}$ σε $z_{pii,\alpha}$ (W/cm^2)	2,49					
	$I_{spta,\alpha}$ σε $z_{pii,\alpha}$ ή $z_{sii,\alpha}$ (mW/cm^2)	28,9					
	I_{spta} σε z_{pii} ή z_{sii} (mW/cm^2)	69,3					
	p_r σε z_{pii} (MPa)	0,36					
Συνθήκες ελέγχου λειτουργίας	Τύπος εξέτασης	Orb	Orb		Orb		Orb
	Μέγεθος όγκου δείγματος (mm)	5	14		14		14
	Θέση όγκου δείγματος	Ζώνη 6	Ζώνη 7		Ζώνη 5		Ζώνη 7
	PRF (Hz)	1953	1953		1953		1953

(α) Αυτός ο δείκτης δεν απαιτείται για τον συγκεκριμένο τρόπο λειτουργίας. Η τιμή είναι <1.

(β) Αυτός ο μορφοτροπέας δεν προορίζεται για διακρανιακή ή κεφαλική χρήση σε νεογνά.

Δεν αναφέρονται δεδομένα για αυτήν τη συνθήκη λειτουργίας, καθώς η καθολική μέγιστη τιμή δείκτη δεν αναφέρεται για τον λόγο που παρατίθεται. (Γραμμή καθολικής μέγιστης τιμής δείκτη αναφοράς.)

— Τα δεδομένα δεν ισχύουν για αυτόν τον μορφοτροπέα/τρόπο λειτουργίας.

Πίνακας 59: Μοντέλο μορφοτροπία: rP19x Τρόπος λειτουργίας: 2D

Ετικέτα δείκτη	MI	TIS		TIB		TIC
		Στην επιφάνεια	Κάτω από την επιφάνεια	Στην επιφάνεια	Κάτω από την επιφάνεια	Στην επιφάνεια
Μέγιστη τιμή δείκτη	1,5	1,0		1,0		2,7
Τιμή συνιστώσας δείκτη		1,0	1,0	1,0	1,0	
Ακουστικές παράμετροι	$p_{r,\alpha}$ σε z_{MI} (MPa)	2,1				
	P (mW)		152,6	152,6		177,8
	P_{Tx1} (mW)		96,1	96,1		
	z_s (cm)		—			
	z_b (cm)				—	
	z_{MI} (cm)	4,8				
	$z_{pii,\alpha}$ (cm)	4,8				
	f_{awf} (MHz)	1,99	2,08	2,08		1,53
Άλλες πληροφορίες	pr (Hz)	6186				
	srr (Hz)	48,3				
	η_{pps}	1				
	$I_{pa,\alpha}$ σε $z_{pii,\alpha}$ (W/cm^2)	184				
	$I_{spta,\alpha}$ σε $z_{pii,\alpha}$ ή $z_{sii,\alpha}$ (mW/cm^2)	25,4				
	I_{spta} σε z_{pii} ή z_{sii} (mW/cm^2)	38,6				
	p_r σε z_{pii} (MPa)	2,92				
Συνθήκες ελέγχου λειτουργίας	Τύπος εξέτασης	Abd	Crd	Crd		Crd
	Βελτιστοποίηση	Gen	Res	Res		Pen
	Βάθος (cm)	10	10	10		4,7
	MB/THI	Απενεργ./Απενεργ.	Απενεργ./Ενεργ.	Απενεργ./Ενεργ.		Απενεργ./Ενεργ.
	Πλάτος τομέα	Δ/Ι	Στενό	Στενό		Δ/Ι

(α) Αυτός ο δείκτης δεν απαιτείται για τον συγκεκριμένο τρόπο λειτουργίας. Η τιμή είναι <1.

(β) Αυτός ο μορφοτροπίας δεν προορίζεται για διακρανιακή ή κεφαλική χρήση σε νεογνά.

Δεν αναφέρονται δεδομένα για αυτήν τη συνθήκη λειτουργίας, καθώς η καθολική μέγιστη τιμή δείκτη δεν αναφέρεται για τον λόγο που παρατίθεται. (Γραμμή καθολικής μέγιστης τιμής δείκτη αναφοράς.)

— Τα δεδομένα δεν ισχύουν για αυτόν τον μορφοτροπία/τρόπο λειτουργίας.

Πίνακας 60: Μοντέλο μορφοτροπεία: rP19x Τρόπος λειτουργίας: M mode

Ετικέτα δείκτη		MI	TIS		TIB		TIC
			Στην επιφάνεια	Κάτω από την επιφάνεια	Στην επιφάνεια	Κάτω από την επιφάνεια	Στην επιφάνεια
Μέγιστη τιμή δείκτη		1,5	(α)		1,7		1,0
Τιμή συνιστώσας δείκτη			#	#	0,2	1,7	
Ακουστικές παράμετροι	$p_{r,\alpha}$ σε z_{MI} (MPa)	2,1					
	P (mW)		#		55,0		62,1
	P_{1x1} (mW)		#		28,5		
	z_s (cm)			#			
	z_b (cm)					4,33	
	z_{MI} (cm)	4,8					
	$z_{pii,\alpha}$ (cm)	4,8					
	f_{awf} (MHz)	1,99		#		1,81	1,77
Άλλες πληροφορίες	prr (Hz)	800					
	srr (Hz)	—					
	n_{pps}	1					
	$I_{pa,\alpha}$ σε $z_{pii,\alpha}$ (W/cm ²)	184					
	$I_{spta,\alpha}$ σε $z_{pii,\alpha}$ ή $z_{sii,\alpha}$ (mW/cm ²)	73,5					
	I_{spta} σε z_{pii} ή z_{sii} (mW/cm ²)	140,8					
	p_r σε z_{pii} (MPa)	2,92					
Συνθήκες ελέγχου λειτουργίας	Τύπος εξέτασης	TCD			Abd		Abd
	Βελτιστοποίηση	Gen			Res		Res
	Βάθος (cm)	7,5			10		16
	THI	Απενεργ.			Ενεργ.		Ενεργ.

(α) Αυτός ο δείκτης δεν απαιτείται για τον συγκεκριμένο τρόπο λειτουργίας. Η τιμή είναι <1.

(β) Αυτός ο μορφοτροπέας δεν προορίζεται για διακρανιακή ή κεφαλική χρήση σε νεογνά.

Δεν αναφέρονται δεδομένα για αυτήν τη συνθήκη λειτουργίας, καθώς η καθολική μέγιστη τιμή δείκτη δεν αναφέρεται για τον λόγο που παρατίθεται. (Γραμμή καθολικής μέγιστης τιμής δείκτη αναφοράς.)

— Τα δεδομένα δεν ισχύουν για αυτόν τον μορφοτροπέα/τρόπο λειτουργίας.

Πίνακας 61: Μοντέλο μορφοτροπέα: rP19x Τρόπος λειτουργίας: Color/CPD

Ετικέτα δείκτη	MI	TIS		TIB		TIC
		Στην επιφάνεια	Κάτω από την επιφάνεια	Στην επιφάνεια	Κάτω από την επιφάνεια	Στην επιφάνεια
Μέγιστη τιμή δείκτη	1,5	1,2		1,2		2,5
Τιμή συνιστώσας δείκτη		1,2	1,2	1,2	1,2	
Ακουστικές παράμετροι	$p_{r,\alpha}$ σε Z_{MI} (MPa)	2,1				
	P (mW)		128,0	128,0		170,5
	$P_{1 \times 1}$ (mW)		115,6	115,6		
	z_s (cm)		—			
	z_b (cm)				—	
	z_{MI} (cm)	4,8				
	$z_{pii,\alpha}$ (cm)	4,8				
	f_{awf} (MHz)	1,99	2,14		2,14	
Άλλες πληροφορίες	p_{rr} (Hz)	505				
	s_{rr} (Hz)	7,9				
	η_{pps}	1				
	$I_{pa,\alpha}$ σε $z_{pii,\alpha}$ (W/cm^2)	184				
	$I_{spta,\alpha}$ σε $z_{pii,\alpha}$ ή $z_{sii,\alpha}$ (mW/cm^2)	2,1				
	I_{spta} σε z_{pii} ή z_{sii} (mW/cm^2)	3,2				
	p_r σε z_{pii} (MPa)	2,92				
Συνθήκες ελέγχου λειτουργίας	Τύπος εξέτασης	Abd	TCD		TCD	Crd
	Τρόπος λειτουργίας/THI	CVD/Απενεργ	CVD/Απενεργ.		CVD/Απενεργ.	CVD/Ενεργ.
	Βελτιστοποίηση 2D/Βάθος (cm)/Πλάτος τομέα	Gen/10/ Δ/Ι	Pen/7,5/ Δ/Ι		Pen/7,5/ Δ/Ι	Gen/16/ Στενό
	Βελτιστοποίηση έγχρωμης απεικόνισης/PRF (Hz)	Χαμηλή/300	Χαμηλή/3125		Χαμηλή/3125	Υψηλή/ 5208
	Θέση/Μέγεθος πλαισίου έγχρωμης απεικόνισης	Καθ./Καθ.	Καθ./Στενό		Καθ./Στενό	Καθ./Καθ.

(α) Αυτός ο δείκτης δεν απαιτείται για τον συγκεκριμένο τρόπο λειτουργίας. Η τιμή είναι <1.

(β) Αυτός ο μορφοτροπέας δεν προορίζεται για διακρανιακή ή κεφαλική χρήση σε νεογνά.

Δεν αναφέρονται δεδομένα για αυτήν τη συνθήκη λειτουργίας, καθώς η καθολική μέγιστη τιμή δείκτη δεν αναφέρεται για τον λόγο που παρατίθεται. (Γραμμή καθολικής μέγιστης τιμής δείκτη αναφοράς.)

— Τα δεδομένα δεν ισχύουν για αυτόν τον μορφοτροπέα/τρόπο λειτουργίας.

Πίνακας 62: Μοντέλο μορφοτροπεία: rP19x Τρόπος λειτουργίας: CW Doppler

Ετικέτα δείκτη		MI	TIS		TIB		TIC
			Στην επιφάνεια	Κάτω από την επιφάνεια	Στην επιφάνεια	Κάτω από την επιφάνεια	Στην επιφάνεια
Μέγιστη τιμή δείκτη		(α)	1,2		4,0		4,0
Τιμή συνιστώσας δείκτη			1,2	1,1	1,2	4,0	
Ακουστικές παράμετροι	$\rho_{r,\alpha}$ σε z_{MI} (MPa)	#					
	P (mW)		125,4		125,4		125,4
	P_{Tx1} (mW)		125,4		125,4		
	z_s (cm)		0,9				
	z_b (cm)					0,9	
	z_{MI} (cm)	#					
	$z_{pii,\alpha}$ (cm)	#					
	f_{awf} (MHz)	#	2,00		2,00		2,00
Άλλες πληροφορίες	pr (Hz)	#					
	srr (Hz)	#					
	η_{pps}	#					
	$I_{pa,\alpha}$ σε $z_{pii,\alpha}$ (W/cm^2)	#					
	$I_{spta,\alpha}$ σε $z_{pii,\alpha}$ ή $z_{sii,\alpha}$ (mW/cm^2)	#					
	I_{spta} σε z_{pii} ή z_{sii} (mW/cm^2)	#					
	ρ_r σε z_{pii} (MPa)	#					
Συνθήκες ελέγχου λειτουργίας	Τύπος εξέτασης		Crd		Crd		Crd
	Θέση όγκου δείγματος		Ζώνη 0		Ζώνη 0		Ζώνη 0

(α) Αυτός ο δείκτης δεν απαιτείται για τον συγκεκριμένο τρόπο λειτουργίας. Η τιμή είναι <1.

(β) Αυτός ο μορφοτροπέας δεν προορίζεται για διακρανιακή ή κεφαλική χρήση σε νεογνά.

Δεν αναφέρονται δεδομένα για αυτήν τη συνθήκη λειτουργίας, καθώς η καθολική μέγιστη τιμή δείκτη δεν αναφέρεται για τον λόγο που παρατίθεται. (Γραμμή καθολικής μέγιστης τιμής δείκτη αναφοράς.)

— Τα δεδομένα δεν ισχύουν για αυτόν τον μορφοτροπέα/τρόπο λειτουργίας.

Πίνακας 63: Μοντέλο μορφοτροπέα: rP19x Τρόπος λειτουργίας: PW Doppler

Ετικέτα δείκτη	MI	TIS		TIB		TIC
		Στην επιφάνεια	Κάτω από την επιφάνεια	Στην επιφάνεια	Κάτω από την επιφάνεια	Στην επιφάνεια
Μέγιστη τιμή δείκτη	1,3	1,8		4,0		3,9
Τιμή συνιστώσας δείκτη		1,3	1,8	1,2	4,0	
Ακουστικές παράμετροι	$p_{r,\alpha}$ σε z_{MI} (MPa)	1,94				
	P (mW)		253,7	240,2		251,1
	P_{IX1} (mW)		118,6	116,0		
	z_s (cm)		2,5			
	z_b (cm)				3,35	
	z_{MI} (cm)	3,0				
	$z_{pii,\alpha}$ (cm)	3,0				
f_{awf} (MHz)	2,14	2,23		2,23		2,10
Άλλες πληροφορίες	pr (Hz)	1562				
	srr (Hz)	—				
	n_{pps}	1				
	$I_{pa,\alpha}$ σε $z_{pii,\alpha}$ (W/cm^2)	180				
	$I_{spta,\alpha}$ σε $z_{pii,\alpha}$ ή $z_{sii,\alpha}$ (mW/cm^2)	374,9				
	I_{spta} σε z_{pii} ή z_{sii} (mW/cm^2)	594,7				
	p_r σε z_{pii} (MPa)	2,42				
Συνθήκες ελέγχου λειτουργίας	Τύπος εξέτασης	Crd	Crd	Crd	Crd	Crd
	Μέγεθος όγκου δείγματος (mm)	1	12	1	1	1
	Θέση όγκου δείγματος	Ζώνη 1	Ζώνη 7	Ζώνη 5	Ζώνη 5	Ζώνη 5
	PRF (Hz)	1562	1562	39.062	39.062	39.062
	TDI	Απενεργ.	Απενεργ.	Απενεργ.	Απενεργ.	Απενεργ.

(α) Αυτός ο δείκτης δεν απαιτείται για τον συγκεκριμένο τρόπο λειτουργίας. Η τιμή είναι <1.

(β) Αυτός ο μορφοτροπέας δεν προορίζεται για διακρανιακή ή κεφαλική χρήση σε νεογνά.

Δεν αναφέρονται δεδομένα για αυτήν τη συνθήκη λειτουργίας, καθώς η καθολική μέγιστη τιμή δείκτη δεν αναφέρεται για τον λόγο που παρατίθεται. (Γραμμή καθολικής μέγιστης τιμής δείκτη αναφοράς.)

— Τα δεδομένα δεν ισχύουν για αυτόν τον μορφοτροπέα/τρόπο λειτουργίας.

Πίνακας 64: Μοντέλο μορφοτροπεία: ΤΕΕχι Τρόπος λειτουργίας: CW Doppler

Ετικέτα δείκτη		MI	TIS		TIB		TIC
			Στην επιφάνεια	Κάτω από την επιφάνεια	Στην επιφάνεια	Κάτω από την επιφάνεια	Στην επιφάνεια
Μέγιστη τιμή δείκτη		(α)	(α)		1,7		(β)
Τιμή συνιστώσας δείκτη			#	#	0,7	1,7	
Ακουστικές παράμετροι	$p_{r,\alpha}$ σε z_{MI} (MPa)	#					
	P (mW)		#		34,4		#
	P_{Tx1} (mW)		#		34,4		
	z_s (cm)			#			
	z_b (cm)					1,10	
	z_{MI} (cm)	#					
	$z_{pii,\alpha}$ (cm)	#					
	f_{awf} (MHz)	#	#		4,00		#
Άλλες πληροφορίες	prr (Hz)	#					
	srr (Hz)	#					
	n_{pps}	#					
	$I_{pa,\alpha}$ σε $z_{pii,\alpha}$ (W/cm^2)	#					
	$I_{spta,\alpha}$ σε $z_{pii,\alpha}$ ή $z_{sii,\alpha}$ (mW/cm^2)	#					
	I_{spta} σε z_{pii} ή z_{sii} (mW/cm^2)	#					
	p_r σε z_{pii} (MPa)	#					
Συνθήκες ελέγχου λειτουργίας	Τύπος εξέτασης				Crd		
	Όγκος δείγματος				Ζώνη 2		

(α) Αυτός ο δείκτης δεν απαιτείται για τον συγκεκριμένο τρόπο λειτουργίας. Η τιμή είναι <1.

(β) Αυτός ο μορφοτροπέας δεν προορίζεται για διακρανιακή ή κεφαλική χρήση σε νεογνά.

Δεν αναφέρονται δεδομένα για αυτήν τη συνθήκη λειτουργίας, καθώς η καθολική μέγιστη τιμή δείκτη δεν αναφέρεται για τον λόγο που παρατίθεται. (Γραμμή καθολικής μέγιστης τιμής δείκτη αναφοράς.)

— Τα δεδομένα δεν ισχύουν για αυτόν τον μορφοτροπέα/τρόπο λειτουργίας.

Πίνακας 65: Μοντέλο μορφοτροπέα: TEExi Τρόπος λειτουργίας: PW Doppler

Ετικέτα δείκτη	MI	TIS		TIB		TIC
		Στην επιφάνεια	Κάτω από την επιφάνεια	Στην επιφάνεια	Κάτω από την επιφάνεια	Στην επιφάνεια
Μέγιστη τιμή δείκτη	(α)	(α)		1,4		(β)
Τιμή συνιστώσας δείκτη		#	#	0,7	1,4	
Ακουστικές παράμετροι	$p_{r,\alpha}$ σε z_{MI} (MPa)	#				
	P (mW)		#	35,8		#
	P_{Tx1} (mW)		#	35,8		
	z_s (cm)		#			
	z_b (cm)				2,57	
	z_{MI} (cm)	#				
	$z_{pii,\alpha}$ (cm)	#				
	f_{awf} (MHz)	#	#	3,81		#
Άλλες πληροφορίες	prf (Hz)	#				
	srr (Hz)	#				
	η_{pps}	#				
	$I_{pa,\alpha}$ σε $z_{pii,\alpha}$ (W/cm^2)	#				
	$I_{spta,\alpha}$ σε $z_{pii,\alpha}$ ή $z_{sii,\alpha}$ (mW/cm^2)	#				
	I_{spta} σε z_{pii} ή z_{sii} (mW/cm^2)	#				
	p_r σε z_{pii} (MPa)	#				
Συνθήκες ελέγχου λειτουργίας	Τύπος εξέτασης			Crd		
	Μέγεθος όγκου δείγματος (mm)			1		
	Θέση όγκου δείγματος			Ζώνη 3		
	PRF (Hz)			2604		

(α) Αυτός ο δείκτης δεν απαιτείται για τον συγκεκριμένο τρόπο λειτουργίας. Η τιμή είναι <1.

(β) Αυτός ο μορφοτροπέας δεν προορίζεται για διακρανιακή ή κεφαλική χρήση σε νεογνά.

Δεν αναφέρονται δεδομένα για αυτήν τη συνθήκη λειτουργίας, καθώς η καθολική μέγιστη τιμή δείκτη δεν αναφέρεται για τον λόγο που παρατίθεται. (Γραμμή καθολικής μέγιστης τιμής δείκτη αναφοράς.)

— Τα δεδομένα δεν ισχύουν για αυτόν τον μορφοτροπέα/τρόπο λειτουργίας.

Όροι που χρησιμοποιούνται στους πίνακες ακουστικής εξόδου

Πίνακας 66: Όροι που χρησιμοποιούνται στους πίνακες ακουστικής εξόδου

Όρος	Ορισμός
α	Συντελεστής εξασθένησης που χρησιμοποιείται για μείωση. Ισούται με 0,3 dB/cm/MHz ² .
f_{awf}	Ακουστική συχνότητα εργασίας.
$I_{pa,\alpha}$	Εξασθενημένη μεσοτιμημένη ένταση παλμού.
I_{spta}	Μέγιστη χωρική, μέση χρονική ένταση.
$I_{spta,\alpha}$	Εξασθενημένη μέγιστη χωρική, μέση χρονική ένταση.
MI	Μηχανικός δείκτης.
P	Ισχύς εξόδου.
P_{1x1}	Ισχύς εξόδου οριακού τετραγώνου.
$p_{r,\alpha}$	Εξασθενημένη ακουστική πίεση στη μέγιστη αραίωση.
p_r	Ακουστική πίεση στη μέγιστη αραίωση.
p_{ii}	Ολοκλήρωμα έντασης παλμού.
$p_{ii,\alpha}$	Ολοκλήρωμα εξασθενημένης έντασης παλμού.
n_{pps}	Αριθμός παλμών ανά γραμμή υπερηχογραφικής σάρωσης.
prr	Ρυθμός επανάληψης παλμού.
srr	Ρυθμός επανάληψης σάρωσης.
TI	Θερμικός δείκτης.
TIB	Οστικός θερμικός δείκτης.
TIC	Θερμικός δείκτης κρανιακού οστού.
TIS	Θερμικός δείκτης μαλακών ιστών.
z_b	Βάθος για τον TIB.
z_{MI}	Βάθος για τον μηχανικό δείκτη.
$z_{p_{ii}}$	Βάθος για το ολοκλήρωμα μέγιστης έντασης παλμού.
$z_{p_{ii,\alpha}}$	Βάθος για το ολοκλήρωμα μέγιστης εξασθενημένης έντασης παλμού.

Πίνακας 66: Όροι που χρησιμοποιούνται στους πίνακες ακουστικής εξόδου

Όρος	Ορισμός
Z_{sij}	Βάθος για το μέγιστο άθροισμα των ολοκληρωμάτων έντασης παλμού.
$Z_{sij,\alpha}$	Βάθος για το μέγιστο άθροισμα των ολοκληρωμάτων εξασθενημένης έντασης παλμού.
Z_s	Βάθος για τον TIS.

Γλωσσάρι (SonoSite Edge II)

Ο όρος IMT αφαιρέθηκε από τη λίστα συντμήσεων του εγχειριδίου χρήσης του SonoSite Edge II. Η αναθεώρηση θα γίνει στην επόμενη ενημέρωση.

Список опечаток в руководстве пользователя SonoSite Edge II и SonoSite SII

Введение	466
Условные обозначения в документе	466
Помощь	467
Помощь (SonoSite Edge II)	467
Подготовка системы к работе	467
Предусмотренное применение	468
Настройка системы	468
Настройки подключения (SonoSite SII)	468
Настройки подключения (SonoSite Edge II)	468
Настройки состояния сети	468
Визуализация	468
Доступные режимы визуализации и исследования для каждого датчика (SonoSite SII)	469
Измерения и расчеты (SonoSite SII)	469
Общие расчеты	469
Справочная информация по измерениям (SonoSite SII)	470
Точность измерений	471
Публикации по измерениям и терминология	471
Очистка и дезинфекция	472
Меры безопасности	472
Клиническая безопасность	472
Электромагнитная совместимость	473
Беспроводная передача	475
Беспроводной USB-адаптер (Panda)	475
Модуль беспроводной связи и безопасности (Laird)	476
Символы маркировки	490
Технические характеристики	501
Поддерживаемые датчики (SonoSite SII)	501
Стандарты	502
Стандарты электромеханической безопасности	502
Акустическая мощность	502
Принцип ALARA	502
Применение принципа ALARA	502
Элементы непосредственного управления	503
Отображение уровня выходного сигнала	504
Соответствующая руководящая документация	504
Измерение акустической мощности	504
Термины, используемые в таблицах акустической мощности	563
Глоссарий (SonoSite Edge II)	564

Введение

Условные обозначения в документе

В документе присутствуют следующие условные обозначения:

- ▶ Под заголовком **«ПРЕДУПРЕЖДЕНИЕ»** описаны меры предосторожности, необходимые для предотвращения травм или летального исхода.
- ▶ Под заголовком **«Предостережение»** изложено описание мер предосторожности, необходимых для защиты оборудования.
- ▶ Под заголовком **«Примечание»** приведена дополнительная информация.
- ▶ Пронумерованные или обозначенные буквами действия должны выполняться в определенном порядке.
- ▶ В маркированных списках информация представлена в виде списка без обязательной последовательности.
- ▶ Одноэтапные процедуры начинаются с символа ❖.

Описание символов маркировки на изделии см. в разделе «Символы маркировки» в руководстве пользователя.

Помощь

Информация для связи со службой технической поддержки FUJIFILM SonoSite:

Телефон (США или Канада)	+1-877-657-8118
Телефон (за пределами США и Канады)	+1-425-951-1330. Можно также позвонить в местное представительство.
Факс	+1-425-951-6700
Электронная почта	ffss-service@fujifilm.com
Веб-сайт	www.sonosite.com
Сервисный центр в Европе	Общая техническая поддержка: +31207512020 Техническая поддержка на английском языке: +441462341151 Техническая поддержка на французском языке: +33182880702 Техническая поддержка на немецком языке: +496980884030 Техническая поддержка на итальянском языке: +390294753655 Техническая поддержка на испанском языке: +34911238451
Сервисный центр в Азии	+6563805581

Напечатано в США.

Помощь (SonoSite Edge II)

В руководстве пользователя системы SonoSite Edge II была исправлена следующая информация; изменения будут внесены при следующем обновлении.

Электронная почта	ffss-service@fujifilm.com
--------------------------	---------------------------

Подготовка системы к работе

Следующая информация не вошла в руководство пользователя системы SonoSite Edge II и SonoSite SII или содержит ошибки; она будет добавлена при следующем обновлении.

Предусмотренное применение

Применение визуализации при исследованиях предстательной железы

Можно провести исследование предстательной железы и окружающих анатомических структур на предмет наличия или отсутствия патологии.

Применение для поверхностной визуализации

На предмет наличия или отсутствия патологии можно оценить молочные железы, щитовидную железу, яички, лимфоузлы, грыжи, скелетно-мышечные структуры, структуры мягких тканей, позвоночника, глаз и окружающие анатомические структуры пациента. Эту систему можно использовать для обеспечения ультразвуковой ориентации при процедурах биопсии и дренирования, сосудистой катетеризации, блокаде периферического нерва.

Настройка системы

Настройки подключения (SonoSite SII)

В руководстве пользователя системы SonoSite SII все ссылки на PDAS должны быть заменены ссылками на SiteLink; изменения будут внесены при следующем обновлении.

Настройки подключения (SonoSite Edge II)

В руководстве пользователя системы SonoSite Edge II была обновлена следующая ссылка; изменения будут внесены при следующем обновлении.

Установка беспроводного подключения

❖ См. раздел «*Настройка сетевого подключения*».

Настройки состояния сети

Если на экране Network Status (Состояние сети) отображается сообщение о неисправном беспроводном устройстве, значит, возможно, истек срок действия сетевого пароля. Для подключения беспроводного устройства потребуется обновленный сетевой пароль.

Визуализация

Датчик C8x совместим с направляющей для игл и в системе SonoSite Edge II, и в системе SonoSite SII.

Доступные режимы визуализации и исследования для каждого датчика (SonoSite SII)

Отсутствовали следующие сноски в **таблице 4-5 «Режимы визуализации и обследования, которые можно выполнять с помощью датчика»** в руководстве пользователя системы SonoSite SII; они будут добавлены при следующем обновлении.

^aАббревиатуры обозначают следующие типы исследований: Abd = брюшная полость, Art = артерии, Bre = молочная железа, Crd = кардиологические исследования, Gyn = гинекология, Msk = скелетно-мышечные ткани, Neo = новорожденные, Nrv = нервная система, OB = акушерство, Oph = офтальмология, Pro = предстательная железа, SmP = малые органы, Spn = позвоночник, Sur = поверхностные органы, Ven = вены.

^bЗначения параметров оптимизации для двухмерного режима — Res, Gen и Pen.

^cНастройки оптимизации для режима CPD и режима цветного картирования — низкая, средняя и высокая (чувствительность потока), при этом диапазон настроек PRF для режима цветного картирования зависит от выбранных настроек.

Измерения и расчеты (SonoSite SII)

Общие расчеты

Расчет объема

ПРЕДУПРЕЖДЕНИЯ


- ▶ Во избежание ошибок при расчетах проверяйте правильность информации о пациенте и точность даты и времени.
- ▶ Во избежание постановки ошибочного диагноза или нанесения вреда пациенту перед началом нового исследования пациента и выполнением расчетов создавайте новую форму информации о пациенте. При открытии новой формы информации о пациенте данные предыдущего пациента будут удалены. Если форму сначала не очистить, данные предыдущего пациента будут объединены с данными текущего пациента.

Для расчета объема необходимо измерить три расстояния в двухмерном режиме: D1, D2 и D3. После сохранения всех измерений результат отобразится на экране и в отчете пациента.

Расчеты объема доступны в следующих типах исследования: брюшная полость, артерии, молочная железа, гинекология, скелетно-мышечные ткани, нервная система, малые органы, вены и поверхностные органы.

Расчет объема

Выполните следующие действия на каждом изображении, которое необходимо измерить:

- 1 На стоп-кадре изображения в двухмерном режиме нажмите **Calcs** (Расчеты).
- 2 Выполните следующие действия для каждого из необходимых измерений:
 - a Выберите название измерения в пункте **Volume** (Объем) меню расчетов.
Если пункта **Volume** (Объем) при гинекологическом исследовании нет, выберите пункт **Gyn** (Гинекология), а затем **Volume** (Объем).
 - b С помощью сенсорного планшета или сенсорного экрана разместите измерители.
 - c Нажмите **Save Calc** (Сохранить расчет), чтобы сохранить расчет.
Каждое сохраненное измерение будет отмечено флажком.
- 3 Чтобы сохранить изображение завершенного расчета, нажмите .
- 4 Нажмите **Back** (Назад), чтобы выйти из расчета.

Справочная информация по измерениям (SonoSite SII)

Следующая информация не вошла в руководство пользователя системы SonoSite SII; изменения будут внесены при следующем обновлении.

Точность измерений

Таблица 1. Точность и диапазон измерений и расчетов в М-режиме

Точность и диапазон измерений в М-режиме	Допустимое отклонение в системе	Критерий точности	Метод тестирования	Диапазон
Расстояние	< ± 2% плюс 1% полной шкалы ^a	Получение изображения	Фантом ^b	0–26 см
Время	< ± 2% плюс 1% полной шкалы ^c	Получение изображения	Фантом ^d	0,01–10 с
Частота сердечных сокращений	< ± 2% плюс (полная шкала ^c * частота сердечных сокращений/100)%	Получение изображения	Фантом ^d	5–923 уд./мин

^aПолный масштаб расстояния означает максимальное значение глубины изображения.

^bИспользовался фантом модели RMI 413а с затуханием 0,7 дБ/см МГц.

^cПолный масштаб времени означает отображение всего периода времени на прокручиваемом графическом изображении.

^dИспользовалось специальное испытательное оборудование компании FUJIFILM SonoSite.

Публикации по измерениям и терминология

Справочная информация общего характера

Угол в тазобедренных суставах/соотношение d:D

Morin, C., Harcke, H., MacEwen, G. "The Infant Hip: Real-Time US Assessment of Acetabular Development." *Radiology* 177: p.673-677, December 1985.

Процентное уменьшение площади

Zwiebel W. J., J. A. Zagzebski, A. B. Crummy, et al. "Correlation of peak Doppler frequency with lumen narrowing in carotid stenosis." *Stroke*, 3: (1982), p.386–391.

$$\% \text{ уменьшения площади} = [1 - A2(\text{см}^2)/A1(\text{см}^2)] * 100$$

Здесь: A1 = первоначальная площадь поперечного сечения сосуда в кв. см

A2 = уменьшенная площадь поперечного сечения сосуда в кв. см

Процентное уменьшение диаметра

Handa, Nobuo et al., "Echo-Doppler Velocimeter in the Diagnosis of Hypertensive Patients: The Renal Artery Doppler Technique," *Ultrasound in Medicine and Biology*, 12:12 (1986), p.945–952.

$$\% \text{ уменьшения диаметра} = [1 - D2(\text{см})/D1(\text{см})] * 100$$

Здесь: D1 = первоначальный диаметр сосуда в см

D2 = уменьшенный диаметр сосуда в см

Очистка и дезинфекция

Информация о следующем веб-сайте была исправлена в руководстве пользователя SonoSite Edge II и SonoSite SII; изменения будут внесены при следующем обновлении.

www.sonosite.com/products/transducers

В таблицах «Очистка» и «Дезинфекция» была обновлена следующая сноска.

Полный список утвержденных чистящих и дезинфицирующих средств см. в документе по чистящим и дезинфицирующим средствам на сайте www.sonosite.com/support/cleaners-disinfectants.

Меры безопасности

Клиническая безопасность

Следующее предупреждение было обновлено в руководствах пользователя SonoSite Edge II и SonoSite SII; изменения будут внесены при следующем обновлении.

ПРЕДУПРЕЖДЕНИЕ

FUJIFILM SonoSite не рекомендует использовать высокочастотные (ВЧ) электромедицинские устройства вблизи своих систем. Оборудование FUJIFILM SonoSite не подвергалось проверке с целью подтверждения его использования с ВЧ электрохирургическими устройствами или процедурами. Использование ВЧ электрохирургических устройств вблизи систем производства компании может привести к неправильному поведению системы или отключению системы. Во избежание риска ожога не используйте датчик совместно с ВЧ хирургическим оборудованием. Указанная опасная ситуация может произойти в случае неисправности соединительного ниппеля нейтрального электрода ВЧ хирургического оборудования.

Электромагнитная совместимость

Ультразвуковая система протестирована; установлено, что ее показатели электромагнитной совместимости (ЭМС) находятся в пределах, установленных для устройств медицинского назначения стандартом IEC 60601-1-2:2007 и IEC 60601-1-2:2014. Ультразвуковая система пригодна для использования в условиях профессиональных медицинских учреждений. Активное ВЧ хирургическое оборудование создает интенсивные электромагнитные помехи, которые могут затруднять эксплуатацию ультразвуковой системы. Запрещается работать с ультразвуковой системой в экранированном от радиочастот помещении, в котором установлена аппаратура для проведения магнитно-резонансной томографии. Такая аппаратура при работе создает интенсивные электромагнитные помехи, которые могут затруднять эксплуатацию ультразвуковой системы. Эти пределы установлены для обеспечения необходимой защиты от вредных помех в типовом медицинском учреждении.

Предостережения

- ▶ Медицинское электрооборудование требует специальных мер предосторожности, связанных с ЭМС, и при его установке и эксплуатации необходимо следовать настоящим инструкциям. Запрещается использовать переносное радиочастотное коммуникационное оборудование (включая периферийное оборудование, например антенные кабели и внешние антенны) ближе, чем в 30 см от любой части ультразвуковой системы, включая кабели, указанные компанией FUJIFILM SonoSite. Портативное и мобильное радиочастотное (РЧ) оборудование связи может повлиять на ультразвуковую систему. Электромагнитные помехи (ЭМП) от другого оборудования или источников помех могут вызывать нарушение нормального функционирования ультразвуковой системы. Свидетельством такого нарушения может быть ухудшение качества или искажение изображения, нестабильность показаний, отказ в работе оборудования и иные проявления неправильного функционирования. При возникновении таких явлений осмотрите место проведения исследований, чтобы определить источник нарушений, и предпримите указанные ниже действия для его устранения.
 - ▶ Выключайте и снова включайте расположенное поблизости оборудование, чтобы выявить устройство, вызывающее нарушения.
 - ▶ Переместите вызывающее помехи оборудование в другое место или разверните его.
 - ▶ Увеличьте расстояние между вызывающим помехи оборудованием и ультразвуковой системой.
 - ▶ Упорядочите использование частот, близких к частотам, используемым при работе ультразвуковой системы.
 - ▶ Уберите устройства с высокой чувствительностью к ЭМП.
 - ▶ Понижьте уровень мощности, излучаемой внутренними источниками в учреждении (например, пейджинговыми системами).
 - ▶ Наглядно отметьте устройства, чувствительные к ЭМП.
 - ▶ Обучите клинический персонал распознавать неполадки, которые могут быть связаны с ЭМП.
 - ▶ Устраните или снизьте ЭМП с помощью технических решений (например, посредством экранирования).
 - ▶ Ограничьте использование личных средств связи (сотовых телефонов, компьютеров) в помещениях с устройствами, чувствительными к ЭМП.
 - ▶ Обменивайтесь информацией по вопросам ЭМП с другими сотрудниками, особенно при обсуждении предстоящего приобретения нового оборудования, которое может генерировать ЭМП.
 - ▶ Приобретайте только медицинское оборудование, соответствующее требованиям стандартов ЭМС IEC 60601-1-2.
- ▶ Запрещается ставить другое оборудование на ультразвуковую систему или работать на другом оборудовании в непосредственной близости от ультразвуковой системы. Если отсутствует возможность избежать установки другого оборудования на систему или эксплуатации его рядом с ней, тогда необходимо следить за корректностью функционирования системы.

Примечание

Характеристики излучения ультразвуковых систем SonoSite Edge II и SII позволяют использовать системы в промышленных районах и в больницах (CISPR 11, класс A). В случае эксплуатации ультразвуковой системы в жилом районе (для чего, как правило, необходимо соответствие требованиям CISPR 11, класс B) защита системы от воздействия радиочастотных приборов связи может оказаться недостаточной. Может потребоваться принять меры по снижению негативного воздействия, например, переместить или переориентировать систему.

Беспроводная передача

В ультразвуковых системах SonoSite Edge II и SII используются две системы беспроводной передачи данных.

- ▶ Беспроводной USB-адаптер (Panda) — это небольшой беспроводной адаптер, который подключается в USB-порт, расположенный:
 - ▶ на правой стороне ультразвуковой системы Edge II;
 - ▶ на верхней части задней панели ультразвуковой системы SII.
- ▶ Модуль беспроводной передачи данных и системы защиты (Laird) — это модуль, который устанавливается:
 - ▶ на крышке ультразвуковой системы Edge II и затем подключается к системе с помощью углового USB-кабеля;
 - ▶ на кронштейне для крепления датчика ультразвуковой системы SII и затем подключается к системе с помощью USB-кабеля длиной 30 см.

Информация о передаче данных для каждого варианта приведена ниже.

Беспроводной USB-адаптер (Panda)

Беспроводный USB-адаптер использует промышленные, научные и медицинские (ISM) диапазоны частот от 2,412 до 2,4835 ГГц в зависимости от нормативных требований страны. Адаптер может осуществлять передачу следующими способами:

- ▶ IEEE 802.11b с использованием широкополосной модуляции с прямым расширением спектра (DSSS) при 19 дБм: пиковая скорость: 54 Мбит/с.
Пиковая пропускная способность: 27 Мбит/с
- ▶ IEEE 802.11g с использованием мультиплексирования с ортогональным частотным разделением каналов (OFDM) при 16 дБм: пиковая скорость: 54 Мбит/с.
Пиковая пропускная способность: 27 Мбит/с

- ▶ IEEE 802.11n с использованием мультиплексирования с ортогональным частотным разделением каналов (OFDM) при 15 дБм:
 - ▶ 1T1R. Пиковая скорость: 150 Мбит/с, максимальная пропускная способность: 90 Мбит/с
 - ▶ 1T2R. Пиковая скорость: 300 Мбит/с, максимальная пропускная способность: Rx 160 Мбит/с
 - ▶ 2T2R. Пиковая скорость: 300 Мбит/с, максимальная пропускная способность: Rx 260 Мбит/с

Модуль беспроводной связи и безопасности (Laird)

Модуль беспроводной связи и безопасности использует промышленные, научные и медицинские (ISM) частотные диапазоны от 1,400 до 2,4835 ГГц и от 5,100 до 5,800 ГГц. Модуль может осуществлять передачу четырьмя различными способами:

- ▶ IEEE 802.11a с использованием мультиплексирования с ортогональным частотным разделением каналов (OFDM) при 11 дБм ± 2 дБм на 54 Мбит/с;
- ▶ IEEE 802.11b с использованием широкополосной модуляции с прямым расширением спектра (DSSS) при 16 дБм ± 2,0 дБм на 11 Мбит/с;
- ▶ IEEE 802.11g с использованием мультиплексирования с ортогональным частотным разделением каналов (OFDM) при 13 дБм ± 2,0 дБм на 54 Мбит/с;
- ▶ IEEE 802.11n с использованием мультиплексирования с ортогональным частотным разделением каналов (OFDM) при 12 дБм ± 2,0 дБм (802.11gn) на MCS7.

Совместимые принадлежности и периферийное оборудование (SonoSite Edge II)

FUJIFILM SonoSite проверила ультразвуковую систему SonoSite Edge II со следующими принадлежностями и периферийным оборудованием, подтвердив соответствие требованиям IEC 60601-1-2:2007 и IEC 60601-1-2:2014.

Эти принадлежности FUJIFILM SonoSite и стороннее периферийное оборудование разрешается использовать с ультразвуковой системой SonoSite Edge II.

ПРЕДУПРЕЖДЕНИЯ

- ▶ Применение принадлежностей с медицинскими системами, помимо ультразвуковой системы Edge, может привести к увеличению излучения или снижению устойчивости медицинской системы.
- ▶ Применение принадлежностей, помимо указанных, может привести к увеличению излучения или снижению устойчивости ультразвуковой системы.
- ▶ Эту ультразвуковую систему запрещается использовать в жилых помещениях или подключать к общественной электрической сети.

Таблица 2. Комплектующие и периферийное оборудование, совместимые с ультразвуковой системой Edge II

Описание	Максимальная длина кабеля
Датчик C8x	1,8 м
Датчик C11x	1,8 м
Датчик C35x	1,7 м
Датчик rC60xi, стандартный/защищенный	1,7 м
Датчик HFL38xi, стандартный/защищенный	1,7 м
Датчик HFL50x	1,7 м
Датчик HSL25x	2,3 м
Датчик ICTx	1,7 м
Датчик L25x, стандартный/защищенный	2,3 м
Датчик L38xi, стандартный/защищенный	1,7 м
Датчик L52x ^a	2,4 м
Датчик P10x	1,8 м
Датчик rP19x, стандартный/защищенный	1,8 м
Датчик TEExi	2,2 м
Сканер штрих-кодов	1,5 м
Аккумулятор для PowerPack	—
Аккумуляторный блок	—
Аккумуляторный PowerPack	—
Черно-белый принтер	—
Шнур питания черно-белого принтера	1 м
Цветной принтер	—
Кабель питания цветного принтера	1 м
Видеокабель цветного принтера	1,8 м
Провода отведений ЭКГ	0,6 м
Модуль ЭКГ	1,8 м

Таблица 2. Комплектующие и периферийное оборудование, совместимые с ультразвуковой системой Edge II (продолжение)

Описание	Максимальная длина кабеля
Вспомогательный кабель ЭКГ	2,4 м
Стыковочный модуль SonoSite Edge II	—
Стойка SonoSite Edge II	—
Педальный переключатель	3 м
Мышь Petite	1,8 м
Сетевой шнур (системный)	3 м
Блок питания с кабелем питания постоянного тока	2 м
Источник питания кабель AC	1 м
PowerPark	—
Модуль подключения трех датчиков	—
Беспроводной USB-адаптер	—

Для датчиков максимальная длина кабеля измеряется между эластичными муфтами у штекеров. В указанную длину не входит длина кабеля в следующих местах: под эластичными муфтами у штекеров, внутри корпуса датчика и внутри разъема датчика.

^aДатчик L52x предназначен только для использования в ветеринарии.

Совместимые принадлежности и периферийное оборудование (SonoSite SII)

Компания FUJIFILM SonoSite проверила ультразвуковую систему SonoSite SII со следующими принадлежностями и периферийным оборудованием, подтвердив соответствие требованиям IEC 60601-1-2:2007 и IEC 60601-1-2:2014.

Эти принадлежности FUJIFILM SonoSite и стороннее периферийное оборудование разрешается использовать с ультразвуковой системой SonoSite SII.

ПРЕДУПРЕЖДЕНИЯ

- ▶ Применение принадлежностей с медицинскими системами, помимо ультразвуковой системы SonoSite SII, может привести к увеличению излучения или снижению устойчивости медицинской системы.
- ▶ Применение принадлежностей, помимо указанных, может привести к увеличению излучения или снижению устойчивости ультразвуковой системы.

Таблица 3. Принадлежности и периферийное оборудование, совместимые с SonoSite SII ультразвуковой системой

Описание	Максимальная длина кабеля
Датчик C8x	1,8 м
Датчик C11x	1,8 м
Датчик C35x	1,7 м
Датчик rC60xi, стандартный/защищенный	1,7 м
Датчик HFL38xi, стандартный/защищенный	1,7 м
Датчик HFL50x	1,7 м
Датчик HSL25x	2,3 м
Датчик ICTx	1,7 м
Датчик L25x, стандартный/защищенный	2,3 м
Датчик L38xi, стандартный/защищенный	1,7 м
Датчик L52x	2,4 м
Датчик P10x	1,8 м
Датчик rP19x, стандартный/защищенный	1,8 м
Сканер штрих-кодов	1,5 м
Аккумулятор для PowerPack	—
Аккумуляторный блок	—
Аккумуляторный PowerPack	—
Черно-белый принтер	—

Таблица 3. Принадлежности и периферийное оборудование, совместимые с SonoSite SII ультразвуковой системой (продолжение)

Описание	Максимальная длина кабеля
Шнур питания черно-белого принтера	1 м
Управляющий кабель черно-белого принтера	1,8 м
Видеокабель черно-белого принтера	1,9 м
Педальный переключатель	3 м
USB-удлинитель для педального переключателя	2 м
Стойка SonoSite SII	—
Сетевой шнур (системный)	3 м
Блок питания с кабелем питания постоянного тока	2 м
Источник питания кабель AC	1 м
PowerPark	—
Беспроводной USB-адаптер	—
Накопитель USB	—

Для датчиков максимальная длина кабеля измеряется между эластичными муфтами у штекеров. В указанную длину не входит длина кабеля в следующих местах: под эластичными муфтами у штекеров, внутри корпуса датчика и внутри разъема датчика.

Заявление компании-производителя

Таблицы в данном разделе содержат информацию о предполагаемых условиях эксплуатации системы и соответствующих требованиям уровням ЭМС. Для достижения оптимального режима функционирования системы обеспечьте условия эксплуатации, описанные в этой таблице.

Система предназначена для работы в описанной ниже электромагнитной обстановке.

Таблица 4. Заявление компании-производителя — электромагнитное излучение (согласно IEC 60601-1-2:2007 и IEC 60601-1-2:2014)

Тестирование на наличие излучения	Соответствие	Электромагнитная обстановка
РЧ-излучение CISPR 11	Группа 1	РЧ-энергия в ультразвуковых системах Edge II и SII используется только для реализации ее внутренних функций. Поэтому РЧ-излучение этих систем очень мало и, наиболее вероятно, не вызовет помех в расположенном поблизости электронном оборудовании.
РЧ-излучение CISPR 11	Класс А	Ультразвуковые системы Edge II и SII предназначены для применения в любых помещениях, кроме жилых зданий и зданий, непосредственно подключенных к общественной низковольтной сети электропитания, обеспечивающей подачу электропитания в здания коммунального назначения.
Гармонические излучения IEC 61000-3-2	Класс А	
Колебания напряжения/фликкер-шумы IEC 61000-3-3	Соответствует	

Система предназначена для работы в описанной ниже электромагнитной обстановке.

Таблица 5. Заявление компании-производителя — электромагнитная устойчивость (согласно IEC 60601-1-2:2007)

Тестирование устойчивости	Контрольный уровень по стандарту IEC 60601	Уровень соответствия	Электромагнитная обстановка
Электростатический разряд (ЭСР), IEC 61000-4-2	$\pm 2,0$ кВ, $\pm 4,0$ кВ, $\pm 6,0$ кВ, контактный $\pm 2,0$ кВ, $\pm 4,0$ кВ, $\pm 8,0$ кВ, воздушный	$\pm 2,0$ кВ, $\pm 4,0$ кВ, $\pm 6,0$ кВ, контактный $\pm 2,0$ кВ, $\pm 4,0$ кВ, $\pm 8,0$ кВ, воздушный	Полы должны быть деревянными, бетонными или выложенными керамической плиткой. Если полы покрыты синтетическим материалом, уровень относительной влажности должен составлять не менее 30%.
Быстрые электрические переходные процессы/ всплески, IEC 61000-4-4	± 2 кВ в линиях питания ± 1 кВ в линиях сигнала	± 2 кВ в линиях питания ± 1 кВ в линиях сигнала	Качество электроэнергии в сети электропитания должно соответствовать стандартному для типовых промышленных или лечебных учреждений.
Скачок напряжения, IEC 61000-4-5	± 1 кВ между фазой и фазой ± 2 кВ между фазой и землей	± 1 кВ между фазой и фазой ± 2 кВ между фазой и землей	Качество электроэнергии в сети электропитания должно соответствовать стандартному для типовых промышленных или лечебных учреждений.
Падения напряжения, кратковременные перебои и колебания напряжения на входных линиях подачи питания, IEC 61000-4-11	$< 5\% U_T$ ($> 95\%$ падение U_T) в течение 0,5 цикла $40\% U_T$ (60% падение U_T) в течение 5 циклов $70\% U_T$ (30% падение U_T) в течение 25 циклов $< 5\% U_T$ ($> 95\%$ падение U_T) в течение 5 с	$< 5\% U_T$ ($> 95\%$ падение U_T) в течение 0,5 цикла $40\% U_T$ (60% падение U_T) в течение 5 циклов $70\% U_T$ (30% падение U_T) в течение 25 циклов $< 5\% U_T$ ($> 95\%$ падение U_T) в течение 5 с	Качество электроэнергии в сети электропитания должно соответствовать стандартному для типовых промышленных или лечебных учреждений. Если пользователю ультразвуковой системы FUJIFILM SonoSite требуется обеспечить непрерывность функционирования системы в периоды перерывов в подаче питания, рекомендуется подключить ультразвуковую систему FUJIFILM SonoSite к источнику бесперебойного питания или аккумулятору.

Таблица 5. Заявление компании-производителя — электромагнитная устойчивость (согласно IEC 60601-1-2:2007) (продолжение)

Тестирование устойчивости	Контрольный уровень по стандарту IEC 60601	Уровень соответствия	Электромагнитная обстановка
Магнитное поле промышленной частоты, IEC 61000-4-8	3 А/м	3 А/м	Если возникают искажения изображения, возможно, требуется переместить ультразвуковую систему компании FUJIFILM SonoSite на большее расстояние от источников магнитного поля промышленной частоты или обеспечить магнитное экранирование. Следует измерить уровень магнитного поля промышленной частоты в месте предполагаемой установки системы, чтобы убедиться в том, что он достаточно низкий.
Кондуктивные РЧ ЭМП, IEC 61000-4-6	3 В ср. кв. От 150 кГц до 80 МГц	3 В ср. кв.	Не допускается использовать портативное и мобильное радиочастотное (РЧ) оборудование связи на меньшем расстоянии от любой части ультразвуковой системы FUJIFILM SonoSite, включая кабели, чем рекомендованное разделительное расстояние, рассчитываемое по соответствующей частоте передатчика формуле. Рекомендованное разделительное расстояние $d = 1,2 \sqrt{P}$

Таблица 5. Заявление компании-производителя — электромагнитная устойчивость (согласно IEC 60601-1-2:2007) (продолжение)


Тестирование устойчивости	Контрольный уровень по стандарту IEC 60601	Уровень соответствия	Электромагнитная обстановка
<p>Излучаемые РЧ ЭМП IEC 61000-4-3</p>	<p>3 В/м От 80 МГц до 2,5 ГГц</p>	<p>3 В/м От 80 МГц до 2,5 ГГц</p>	<p>$d = 1,2 \sqrt{P}$ от 80 МГц до 800 МГц $d = 2,3 \sqrt{P}$ от 800 МГц до 2,5 ГГц Здесь P — максимальная номинальная выходная мощность радиопередатчика в ваттах (10) по данным производителя, а полученное значение — рекомендованное разделительное расстояние в метрах (м).</p> <p>Значения напряженности поля, генерируемого стационарными РЧ-передатчиками, определяемые при электромагнитной разведке места установки системы^a, должны быть меньше уровня соответствия в каждом частотном диапазоне^b. Помехи могут возникать вблизи оборудования, маркированного следующим знаком:</p>  <p>(IEC 60417 № 417-IEC-5140 «Источник неионизирующего излучения»)</p>
<p>Примечание</p>	<p>U_T — напряжение сети переменного тока перед подачей сигнала контрольного уровня. При частотах 80 МГц и 800 МГц применяется более высокий частотный диапазон. В некоторых ситуациях эти указания неприменимы. На распространение электромагнитных волн влияет поглощение и отражение от сооружений, предметов и людей.</p>		

Таблица 5. Заявление компании-производителя — электромагнитная устойчивость (согласно IEC 60601-1-2:2007) (продолжение)

Тестирование устойчивости	Контрольный уровень по стандарту IEC 60601	Уровень соответствия	Электромагнитная обстановка
<p>а. Значения напряженности поля, генерируемого стационарными радиопередатчиками, например, базовыми станциями для радиотелефонов (сотовых/беспроводных телефонов) и наземных подвижных радиостанций, любительскими радиостанциями, радиовещательными станциями в диапазонах АМ (амплитудная модуляция) и FM (частотная модуляция), а также телевещательными станциями, невозможно спрогнозировать теоретически с какой-либо определенной точностью. Для оценки электромагнитной обстановки в условиях влияния стационарных РЧ-передатчиков следует рассмотреть возможность проведения электромагнитной разведки места установки системы. Если значение напряженности поля, измеренной в месте установки ультразвуковой системы компании FUJIFILM SonoSite, превышает вышеуказанный разрешенный уровень РЧ, следует убедиться в нормальности режима работы ультразвуковой системы компании FUJIFILM SonoSite посредством наблюдения за ее функционированием. При обнаружении проявлений отклонения от нормального режима функционирования, возможно, потребуются принять дополнительные меры, например, развернуть ультразвуковую систему компании FUJIFILM SonoSite или переместить ее в другое место.</p> <p>б. При диапазоне частот от 150 кГц до 80 МГц напряженность поля должна быть равна 3 В/м.</p>			

Таблица 6. Заявление компании-производителя — электромагнитная устойчивость (согласно IEC 60601-1-2:2014)

Тестирование устойчивости	Контрольный уровень по стандарту IEC 60601	Уровень соответствия	Электромагнитная обстановка
Электростатический разряд (ЭСР), IEC 61000-4-2	± 8,0 кВ, контактный ± 2,0 кВ, ± 4,0 кВ, ± 8,0 кВ, воздушный, ± 15 кВ	± 8,0 кВ, ± 4,0 кВ, ± 8,0 кВ, воздушный, ± 15 кВ	Полы должны быть деревянными, бетонными или выложенными керамической плиткой. Если полы покрыты синтетическим материалом, уровень относительной влажности должен составлять не менее 30%.
Быстрые электрические переходные процессы/всплески, IEC 61000-4-4	± 2 кВ в линиях питания ± 1 кВ в линиях сигнала	± 2 кВ в линиях питания ± 1 кВ в линиях сигнала	Качество электроэнергии в сети электропитания должно соответствовать стандартному для типовых промышленных или лечебных учреждений.

Таблица 6. Заявление компании-производителя — электромагнитная устойчивость (согласно IEC 60601-1-2:2014) (продолжение)

Тестирование устойчивости	Контрольный уровень по стандарту IEC 60601	Уровень соответствия	Электромагнитная обстановка
Скачок напряжения, IEC 61000-4-5	± 1 кВ между фазой и фазой ± 2 кВ между фазой и землей	± 1 кВ между фазой и фазой ± 2 кВ между фазой и землей	Качество электроэнергии в сети электропитания должно соответствовать стандартному для типовых промышленных или лечебных учреждений.
Падения напряжения, кратковременные перебои и колебания напряжения на входных линиях подачи питания, IEC 61000-4-11	0% U_T в течение 0,5 цикла 0% U_T в течение 5 циклов 70% U_T (30% падение U_T) в течение 500 мс < 5% U_T (> 95% падение U_T) в течение 5 с	0% U_T в течение 0,5 цикла 0% U_T в течение 5 циклов 70% U_T (30% падение U_T) в течение 500 мс < 5% U_T (> 95% падение U_T) в течение 5 с	Качество электроэнергии в сети электропитания должно соответствовать стандартному для типовых промышленных или лечебных учреждений. Если пользователю ультразвуковой системы FUJIFILM SonoSite требуется обеспечить непрерывность функционирования системы в периоды перерывов в подаче питания, рекомендуется подключить ультразвуковую систему FUJIFILM SonoSite к источнику бесперебойного питания или аккумулятору.
Магнитное поле промышленной частоты, IEC 61000-4-8	30 А/м	30 А/м	Если возникают искажения изображения, возможно, требуется переместить ультразвуковую систему компании FUJIFILM SonoSite на большее расстояние от источников магнитного поля промышленной частоты или обеспечить магнитное экранирование. Следует измерить уровень магнитного поля промышленной частоты в месте предполагаемой установки системы, чтобы убедиться в том, что он достаточно низкий.

Таблица 6. Заявление компании-производителя — электромагнитная устойчивость (согласно IEC 60601-1-2:2014) (продолжение)

Тестирование устойчивости	Контрольный уровень по стандарту IEC 60601	Уровень соответствия	Электромагнитная обстановка
Кондуктивные РЧ ЭМП, IEC 61000-4-6	3 В ср. кв. От 150 кГц до 80 МГц 6 В ср. кв. в частотных диапазонах ISM	3 В ср. кв. 6 В ср. кв. в частотных диапазонах ISM	Не допускается использовать портативное и мобильное радиочастотное (РЧ) оборудование связи на меньшем расстоянии от любой части ультразвуковой системы FUJIFILM SonoSite, включая кабели, чем рекомендованное разделительное расстояние, рассчитываемое по соответствующей частоте передатчика формуле. Рекомендованное разделительное расстояние $d = 1,2 \sqrt{P}$

Таблица 6. Заявление компании-производителя — электромагнитная устойчивость (согласно IEC 60601-1-2:2014) (продолжение)


Тестирование устойчивости	Контрольный уровень по стандарту IEC 60601	Уровень соответствия	Электромагнитная обстановка
Излучаемые РЧ ЭМП IEC 61000-4-3	3 В/м От 80 МГц до 2,7 ГГц	3 В/м От 80 МГц до 2,7 ГГц	$d = 1,2 \sqrt{P}$ от 80 МГц до 800 МГц $d = 2,3\sqrt{P}$ от 800 МГц до 2,5 ГГц Здесь P — максимальная номинальная выходная мощность радиопередатчика в ваттах (10) по данным производителя, а полученное значение — рекомендованное разделительное расстояние в метрах (м). Значения напряженности поля, генерируемого стационарными РЧ-передатчиками, определяемые при электромагнитной разведке места установки системы ^a , должны быть меньше уровня соответствия в каждом частотном диапазоне ^b . Помехи могут возникать вблизи оборудования, маркированного следующим знаком:  (IEC 60417 № 417-IEC-5140 «Источник неионизирующего излучения»)
Ближние поля беспроводного коммуникационного оборудования	Согласно требованиям стандарта 60601-1-2:2014, таблица 9	Согласно требованиям стандарта 60601-1-2:2014 Таблица 9	
Примечание	U_T — напряжение сети переменного тока перед подачей сигнала контрольного уровня. При частотах 80 МГц и 800 МГц применяется более высокий частотный диапазон. В некоторых ситуациях эти указания неприменимы. На распространение электромагнитных волн влияет поглощение и отражение от сооружений, предметов и людей.		

Таблица 6. Заявление компании-производителя — электромагнитная устойчивость (согласно IEC 60601-1-2:2014) (продолжение)

Тестирование устойчивости	Контрольный уровень по стандарту IEC 60601	Уровень соответствия	Электромагнитная обстановка
<p>a. Значения напряженности поля, генерируемого стационарными радиопередатчиками, например, базовыми станциями для радиотелефонов (сотовых/беспроводных телефонов) и наземных подвижных радиостанций, любительскими радиостанциями, радиовещательными станциями в диапазонах AM (амплитудная модуляция) и FM (частотная модуляция), а также телевещательными станциями, невозможно спрогнозировать теоретически с какой-либо определенной точностью. Для оценки электромагнитной обстановки в условиях влияния стационарных РЧ-передатчиков следует рассмотреть возможность проведения электромагнитной разведки места установки системы. Если значение напряженности поля, измеренной в месте установки ультразвуковой системы компании FUJIFILM SonoSite, превышает вышеуказанный разрешенный уровень РЧ, следует убедиться в нормальности режима работы ультразвуковой системы компании FUJIFILM SonoSite посредством наблюдения за ее функционированием. При обнаружении проявлений отклонения от нормального режима функционирования, возможно, потребуются принять дополнительные меры, например, развернуть ультразвуковую систему компании FUJIFILM SonoSite или переместить ее в другое место.</p> <p>b. При диапазоне частот от 150 кГц до 80 МГц напряженность поля должна быть равна 3 В/м.</p>			

Предупреждение FCC: Данное оборудование прошло проверку и по ее результатам удовлетворяет требованиям и ограничениям, установленным для устройств класса А согласно части 15 правил FCC. Эти ограничения разработаны и введены с целью обеспечить достаточную защиту от вредных помех при эксплуатации оборудования в промышленных условиях. Данное оборудование генерирует, использует и может излучать энергию электромагнитного излучения. В случае установки и эксплуатации с нарушениями требований данного руководства оборудование может генерировать вредные помехи для радиосвязи. Эксплуатация данного оборудования в жилых районах может приводить к возникновению вредных помех. В таких случаях оператор оборудования будет обязан принять все необходимые меры для устранения помех.

Совместимые принадлежности и периферийное оборудование

Следующее предупреждение было добавлено в руководства пользователя SonoSite Edge II и SonoSite SII; изменения будут внесены при следующем обновлении.

ПРЕДУПРЕЖДЕНИЕ

При подключении к системе периферийного оборудования необходимо обеспечить подключение системы и периферийного оборудования к одной и той же параллельной цепи сети переменного тока.

Символы маркировки

Таблица 7. Установленные стандартами символы маркировки


Символ	Название	Организация — разработчик стандартов	Справочный номер	Описание
	Производитель	ISO 15223-1:2016 «Изделия медицинские. Символы, применяемые при маркировании на медицинских изделиях, этикетках и в сопроводительной документации. Часть 1. Основные требования»	5.1.1	Указывает изготовителя медицинского изделия, как это определено в директивах ЕС 90/385/ЕЕС, 93/42/ЕЕС и 98/79/ЕС
	Неионизирующее электромагнитное излучение	IEC 60601-1-2:2007 «Изделия медицинские электрические. Часть 1-2. Общие требования безопасности с учетом основных функциональных характеристик. Параллельный стандарт. Электромагнитная совместимость»	5.1.1	Указывает на в целом повышенные и потенциально опасные уровни неионизирующего излучения либо обозначает оборудование или системы (например, в зонах электрического медицинского оборудования), в которых имеются РЧ-передатчики или целенаправленно используется электромагнитная энергия для диагностики или лечения
	Уполномоченный представитель в Европейском сообществе	ISO 15223-1 «Изделия медицинские. Символы, применяемые при маркировании на медицинских изделиях, этикетках и в сопроводительной документации».	5.1.2	Указывает уполномоченного представителя в Европейском сообществе

Таблица 7. Установленные стандартами символы маркировки (продолжение)

Символ	Название	Организация — разработчик стандартов	Справочный номер	Описание
	Серийный номер	ISO 15223-1:2016 «Изделия медицинские. Символы, применяемые при маркировании на медицинских изделиях, этикетках и в сопроводительной документации. Часть 1. Основные требования»	5.1.7	Указывает серийный номер изделия, которым изготовитель идентифицировал конкретное изделие
	Номер по каталогу	ISO 15223-1:2016 «Изделия медицинские. Символы, применяемые при маркировании на медицинских изделиях, этикетках и в сопроводительной документации. Часть 1. Основные требования»	5.1.6	Указывает номер медицинского изделия по каталогу изготовителя
	Предостережение	ISO 15223-1:2016 «Изделия медицинские. Символы, применяемые при маркировании на медицинских изделиях, этикетках и в сопроводительной документации. Часть 1. Основные требования»	5.4.4	Указывает на необходимость для пользователя ознакомиться с важной информацией в инструкции по применению, такой как предупреждения и меры предосторожности, которые не могут быть, по разным причинам, размещены на медицинском изделии
	Хрупкое, обращаться осторожно	ISO 15223-1:2016 «Изделия медицинские. Символы, применяемые при маркировании на медицинских изделиях, этикетках и в сопроводительной документации. Часть 1. Основные требования»	5.3.1	Указывает, что медицинское изделие может быть сломано или повреждено, если с ним не обращаться осторожно

Таблица 7. Установленные стандартами символы маркировки (продолжение)


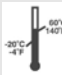


Символ	Название	Организация — разработчик стандартов	Справочный номер	Описание
	Беречь от влаги	ISO 15223-1:2016 «Изделия медицинские. Символы, применяемые при маркировании на медицинских изделиях, этикетках и в сопроводительной документации. Часть 1. Основные требования»	5.3.4	Указывает, что медицинское изделие необходимо защищать от влаги.
	Температурный диапазон	ISO 15223-1:2016 «Изделия медицинские. Символы, применяемые при маркировании на медицинских изделиях, этикетках и в сопроводительной документации. Часть 1. Основные требования»	5.3.7	Указывает температурный диапазон, в пределах которого медицинское изделие надежно сохраняется
	Ограничение атмосферного давления	ISO 15223-1:2016 «Изделия медицинские. Символы, применяемые при маркировании на медицинских изделиях, этикетках и в сопроводительной документации. Часть 1. Основные требования»	5.3.9	Указывает значения атмосферного давления, в пределах которых медицинское изделие надежно сохраняется
	Диапазон влажности	ISO 15223-1:2016 «Изделия медицинские. Символы, применяемые при маркировании на медицинских изделиях, этикетках и в сопроводительной документации. Часть 1. Основные требования»	5.3.8	Указывает диапазон влажности, в пределах которого медицинское изделие надежно сохраняется

Таблица 7. Установленные стандартами символы маркировки (продолжение)






Символ	Название	Организация — разработчик стандартов	Справочный номер	Описание
	Степень защиты, обеспечиваемая корпусом устройства	IEC 60601-1 «Изделия медицинские электрические. Часть 1. Общие требования безопасности с учетом основных функциональных характеристик»	D.3	Защищено от воздействия жидкости при временном погружении
	См. руководство по эксплуатации/ брошюру	IEC 60601-1 «Изделия медицинские электрические. Часть 1. Общие требования безопасности с учетом основных функциональных характеристик»	D.2-10	Следуйте инструкции по применению (используется в соответствии с IEC 60601-1)
	Обратитесь к инструкции по применению	ISO 15223-1:2016 «Изделия медицинские. Символы, применяемые при маркировании на медицинских изделиях, этикетках и в сопроводительной документации. Часть 1. Основные требования»	5.4.3	Указывает на необходимость для пользователя ознакомиться с инструкцией по применению
	Переменный ток	ISO 7000/IEC 60417 «Графические символы, наносимые на оборудование»	5032	Нанесенный на паспортную табличку, указывает на возможность подключения оборудования только к источнику переменного тока; также используется для обозначения соответствующих контактов
	Маркировка CE	Директива Совета 93/42/ЕЕС	Пункт 17 Приложение XII	Указывает на европейское техническое соответствие

Таблица 7. Установленные стандартами символы маркировки (продолжение)

Символ	Название	Организация — разработчик стандартов	Справочный номер	Описание
	Conformité Européene Справочный номер нотифицированного органа: 2797	Директива Совета 93/42/ЕЕС	Статья 17, Приложение XII	Указывает на европейское техническое соответствие и идентификационный номер нотифицированного органа, ответственного за осуществление процедур, установленных в Приложениях II, IV, V и VI.
	Опасное напряжение	ISO 7000/IEC 60417 «Графические символы, наносимые на оборудование»	5036	Указывает на риск воздействия опасного напряжения
	Предел штабелирования по количеству ярусов	ISO 7000/IEC 60417 «Графические символы, наносимые на оборудование»	2403	Указывает максимальное количество предметов, которые можно штабелировать один на другой
	Осторожно: горячо	ISO 7000/IEC 60417 «Графические символы, наносимые на оборудование»	5041	Указывает, что маркированный предмет может быть горячим и необходимо соблюдать осторожность при касании
	Осторожно: опасность воздействия статического магнитного поля	ISO 7000/IEC 60417 «Графические символы, наносимые на оборудование»	6204	Указывает области с потенциально опасным воздействием и уровнями напряженности статических магнитных полей в установке
	Компоненты типа ВF, функционирующие в непосредственном контакте с пациентом	IEC 60601-1 «Изделия медицинские электрические. Часть 1. Общие требования безопасности с учетом основных функциональных характеристик»	D.2-10	Указывает на рабочие части типа ВF, находящиеся в непосредственном контакте с пациентом, в соответствии с IEC 60601-1

Таблица 7. Установленные стандартами символы маркировки (продолжение)

Символ	Название	Организация — разработчик стандартов	Справочный номер	Описание
	Рабочая часть типа CF с защитой от разряда дефибриллятора	IEC 60601-1 «Изделия медицинские электрические. Часть 1. Общие требования безопасности с учетом основных функциональных характеристик»	D.1-27	Указывает на рабочие части типа CF с защитой от разряда дефибриллятора в соответствии с IEC 60601-1
	Устройство, чувствительное к электростатическому разряду	IEC 60417:2002 «Графические символы, наносимые на оборудование»	5134	Обозначает упаковки, которые содержат чувствительные к электростатическому разряду устройства, или указывает устройство или разъем, не прошедшие испытания на устойчивость к электростатическим разрядам
	Знак соответствия нормативным требованиям (RCM)	AS/NZS3820	—	Обозначает соответствие C-Tick — нормативным требованиям для Австралии и Новой Зеландии Устройство соответствует требованиям к электронным устройствам, которые закреплены в соответствующих нормативных документах, действующих в Австралии и Новой Зеландии.
	Контрольный номер в виде кода партии, кода даты или кода серии	ISO 15223-1 «Изделия медицинские — символы, применяемые при маркировании на медицинских изделиях, этикетках и в сопроводительной документации. Часть 1. Основные требования.»	5.1.5	Указывает код партии производителя для возможности идентификации партии либо серии продукта

Таблица 7. Установленные стандартами символы маркировки (продолжение)






Символ	Название	Организация — разработчик стандартов	Справочный номер	Описание
	Биологическая опасность	ISO 7010 «Графические символы — цветовая сигнальная маркировка и предупреждающие знаки»	W009	Предупреждение о биологической опасности
	Символы безопасности INMETRO	—	—	Указывает на сертификацию уполномоченным органом Бразилии — Национальным институтом стандартизации, метрологии и промышленного качества (INMETRO)
	Знак сертификации Канадской ассоциации стандартов	—	—	Знак сертификации Канадской ассоциации стандартов подтверждает, что изделие соответствует применимым требованиям КАС и/или ANSI/UL, и разрешено к использованию на территории Канады и США.
	Подлежит переработке: электронное оборудование	BS EN 50419:2016 Маркировка электрического и электронного оборудования в соответствии с Директивой 2012/19/EC (WEEE).	Приложение IX	Не выбрасывать с бытовым мусором
	Гофрокартон из вторсырья	—	—	Коробка для транспортировки изготовлена из гофрокартона и подлежит соответствующей переработке

Таблица 7. Установленные стандартами символы маркировки (продолжение)


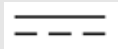


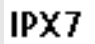
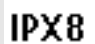

Символ	Название	Организация — разработчик стандартов	Справочный номер	Описание
	Дата изготовления	ISO 7000 «Графические символы, наносимые на оборудование»	5.1.3	Для указания даты изготовления изделия
	Постоянный ток (DC)	—	—	—
	21 часть 15	Декларация о соответствии Федеральной комиссии связи США (FCC)	Федеральная комиссия связи США	FCC — проверено на соответствие требованиям соответствующих нормативных документов FCC в отношении электронных устройств
GEL	Гель	—	—	—
	RESY — символ «Подлежит переработке»	—	—	Бумага из вторсырья
	Степень защиты, обеспечиваемая корпусом устройства	IEC 60601-1 «Изделия медицинские электрические. Часть 1. Общие требования безопасности с учетом основных функциональных характеристик»	D.3	Защищено от воздействия жидкости при временном погружении в воду. Погружаемое оборудование — защищено от воздействия жидкости при кратковременном погружении.
	Степень защиты, обеспечиваемая корпусом устройства	IEC 60601-1 «Изделия медицинские электрические. Часть 1. Общие требования безопасности с учетом основных функциональных характеристик»	D.3	Защищено от воздействия жидкости при временном погружении в воду. Водонепроницаемое оборудование — защищено от воздействия жидкости при продолжительном погружении.
	—	—	—	Указывает на необходимость обращаться с осторожностью






Таблица 7. Установленные стандартами символы маркировки (продолжение)

Символ	Название	Организация — разработчик стандартов	Справочный номер	Описание
	—	—	—	Указывает на необходимость следовать инструкциям производителя по длительности дезинфекции
	—	—	—	Указывает на необходимость дезинфекции датчика
	Максимальная весовая нагрузка	IEC 60601-1 «Изделия медицинские электрические. Часть 1. Общие требования к обеспечению безопасности».	7.2.21	Указывает общий вес оборудования, включая безопасную рабочую нагрузку
	Знак сертификации Underwriters Laboratories	—	—	Знак сертификации, необходимый только в случае наличия опасности поражения электрическим током, возгорания или получения травм
	Сертификация UL продукции.	—	—	Изделие или компания успешно прошли испытания на соответствие строгим стандартам безопасности продукции.

Таблица 7. Установленные стандартами символы маркировки (продолжение)

Символ	Название	Организация — разработчик стандартов	Справочный номер	Описание
	Китайская служба предотвращения загрязнения окружающей среды (10)	ISO 7000:2014 «Графические символы, наносимые на оборудование»	1135	Логотип службы предотвращения загрязнения окружающей среды (Применимо ко всем комплектующим/изделиям, которые внесены в китайскую национальную информационную таблицу о правилах ограничения содержания вредных веществ. Может отсутствовать на поверхностях некоторых комплектующих/изделий в связи с ограниченной площадью поверхности.)
	Отметка об обязательной сертификации КНР («Сертификат CCC») Отметка об обязательной сертификации соответствия Национальным стандартам безопасности КНР, применимым ко многим типам продукции, присутствующей на рынке Китайской Народной Республики.	—	—	—

Таблица 7. Установленные стандартами символы маркировки (продолжение)

Символ	Название	Организация — разработчик стандартов	Справочный номер	Описание
	Стерилизовано с помощью этиленоксида	ISO 15223-1 «Изделия медицинские — символы, применяемые при маркировании на медицинских изделиях, этикетках и в сопроводительной документации. Часть 1. Основные требования.»	5.2.3	Указывает, что данное медицинское изделие было стерилизовано с применением этиленоксида
	Стерилизовано излучением	ISO 15223-1 «Изделия медицинские — символы, применяемые при маркировании на медицинских изделиях, этикетках и в сопроводительной документации. Часть 1. Основные требования.»	5.2.4	Указывает, что данное медицинское изделие было стерилизовано излучением
	(только для SII) Номер по каталогу	ISO 15223-1:2016 «Изделия медицинские — символы, применяемые при маркировании на медицинских изделиях, этикетках и в сопроводительной документации. Часть 1. Основные требования.»	5.1.6	Указывает номер медицинского изделия по каталогу изготовителя для нужд идентификации изделия.
	(только для SII) Опасное напряжение	ISO 7000/IEC 60417 «Графические символы, наносимые на оборудование»	5036	Указывает на риск воздействия опасного напряжения
	(только для SII) Для использования исключительно в помещениях	ISO 7000/IEC 60417 «Графические символы, наносимые на оборудование»	5957	Указывает, что оборудование с такой маркировкой предназначено для использования только в помещениях

Технические характеристики

Поддерживаемые датчики (SonoSite SII)

Из руководства пользователя SonoSite SII был удален следующий лишний раздел. Аналогичная информация представлена в таблице 9-2 руководства пользователя; изменения будут внесены при следующем обновлении.

Таблица 8. Поддерживаемые датчики

Описание	Максимальная длина кабеля
Датчик C11x	1,8 м
Датчик rC60xi, стандартный/защищенный	1,7 м
Датчик HFL38xi, стандартный/защищенный	1,7 м
Датчик HFL50x	1,7 м
Датчик HSL25x	2,4 м
Датчик ICTx	1,7 м
Датчик L25x	2,3 м
Датчик L38xi, стандартный/защищенный	1,7 м
Датчик L52x	2,4 м
Датчик P10x	1,8 м
Датчик rP19x, стандартный/защищенный	1,8 м

Для датчиков максимальная длина кабеля измеряется между эластичными муфтами у штекеров. В указанную длину не входит длина кабеля в следующих местах: под эластичными муфтами у штекеров, внутри корпуса датчика и внутри разъема датчика.

Стандарты

Стандарты электромеханической безопасности

Таблица 9. Стандарты электромеханической безопасности

Стандарт	Описание
ANSI/AAMI ES60601-1:2005/(R) 2012 и A1:2012	«Изделия медицинские электрические. Часть 1. Общие требования безопасности с учетом основных функциональных характеристик» (сводное издание 3.1)
CAN/CSA C22.2 № 60601-1:2014 (издание 3.1)	«Изделия медицинские электрические. Часть 1. Общие требования безопасности с учетом основных функциональных характеристик»
IEC 60601-1:2012 (издание 3.1)	«Изделия медицинские электрические. Часть 1. Общие требования безопасности с учетом основных функциональных характеристик»
IEC 60601-2-37:2015	«Изделия медицинские электрические. Часть 2-37. Частные требования к безопасности и основным характеристикам ультразвуковой медицинской диагностической и контрольной аппаратуры»
IEC 60601-1-6:2013	«Изделия медицинские электрические. Часть 1-6. Общие требования безопасности с учетом основных функциональных характеристик. Дополнительный стандарт. Эксплуатационная пригодность»
JIS T0601-1:2012 (3-е издание)	Японский промышленный стандарт. «Изделия медицинские электрические. Часть 1. Общие требования безопасности с учетом основных функциональных характеристик»

Акустическая мощность

Принцип ALARA

Применение принципа ALARA

Режим визуализации в системе, выбираемый квалифицированным пользователем ультразвукового оборудования, определяется требуемой диагностической информацией. Визуализация в двухмерном режиме обеспечивает получение анатомических данных; визуализация в режиме CPD обеспечивает получение данных об интенсивности энергии или уровне амплитуды доплеровского сигнала во времени в заданной анатомической области и используется для обнаружения присутствия кровотока; визуализация в режиме цветного картирования обеспечивает получение данных об интенсивности энергии или уровне амплитуды доплеровского сигнала во времени в заданной анатомической области и используется для обнаружения присутствия, скорости и направления кровотока; в режиме визуализации тканевой гармоник более высокие принимаемые частоты используются для снижения

уровня помех и артефактов, а также для повышения разрешения изображения в двухмерном режиме. Понимание природы используемого режима визуализации позволяет квалифицированному пользователю ультразвукового оборудования применять принцип ALARA.

При осторожном использовании ультразвука облучение пациента должно быть ограничено минимальной мощностью ультразвукового луча в течение кратчайшего периода времени, необходимого для получения приемлемых диагностических результатов. Критериями для принятия решений, основанных на принципе осторожного использования ультразвука, служат тип пациента, тип исследования, анамнез пациента, уровень сложности получения диагностически значимой информации и потенциальный локальный нагрев участка тела пациента из-за повышения температуры поверхности датчика.

Конструкция системы предусматривает ограничение температуры лицевой поверхности датчика пределами, установленными в стандарте IEC 60601-2-37 «Частные требования к безопасности ультразвуковой медицинской диагностической и контрольной аппаратуры». См. раздел **«Повышение температуры поверхности датчика»** на странице 10-9. На случай нарушения работоспособности устройства оно оснащено резервными элементами управления, ограничивающими мощность датчика. Эта функция реализована в электрической схеме оборудования, обеспечивающей ограничение тока и напряжения в линии «блок питания — датчик».

Специалист по УЗИ использует элементы управления системой для настройки качества изображения и ограничения мощности ультразвукового луча. По отношению к мощности элементы управления системой делятся на три категории: элементы управления, непосредственно влияющие на выходную мощность, элементы управления, опосредованно влияющие на выходную мощность, и элементы управления приемом.

Элементы непосредственного управления

Максимальная интенсивность в пространстве и средняя интенсивность во времени (ISPTA) ограничена в системе значением 720 мВт/см^2 для всех режимов визуализации. (Для офтальмологического обследования или сканирования глазницы акустическая мощность ограничена следующими значениями: ISPTA не превышает 50 мВт/см^2 ; TI не превышает 1,0, а MI не превышает 0,23.) При использовании некоторых датчиков в некоторых режимах визуализации значения механического индекса (MI) и теплового индекса (TI) могут быть выше 1,0. Пользователь может отслеживать значения MI и TI и путем регулировки элементов управления снижать эти значения. См. раздел **«Указания по снижению значений MI и TI»** на странице 10-3. В дополнение одним из способов соблюдения принципа ALARA является установка для параметра MI или TI нижнего значения индекса и последующее изменение этого уровня до достижения удовлетворительного качества изображения или параметров режима Doppler. Более подробная информация о параметрах MI и TI содержится в документах «Безопасность ультразвука в медицине» от AIUM (копия входит в комплект каждой системы) и IEC 60601-2-37 «Руководство по расшифровке значений MI и TI, используемых для информирования оператора».

Отображение уровня выходного сигнала

Соответствующая руководящая документация

Информация для производителей, желающих получить разрешение на продажу диагностических ультразвуковых систем и датчиков, FDA, 2008 г.

Безопасность ультразвука в медицине. Американский институт ультразвука в медицине (AIUM), 2014 г. (Копия входит в комплект каждой системы.)

Стандарт измерения акустической мощности для диагностического ультразвукового оборудования, NEMA UD 2-2004.

IEC 60601-2-37: 2015 «Специальные требования по основам техники безопасности и эксплуатации ультразвукового медицинского диагностического и мониторингового оборудования».

Повышение температуры поверхности датчика

Таблицы 10-4 и 10-5 содержат измеренные значения повышения температуры поверхности датчиков, используемых с ультразвуковой системой, относительно температуры воздуха ($23\text{ °C} \pm 3\text{ °C}$). Эти значения были измерены в соответствии с требованиями стандарта IEC 60601-2-37; при этом элементы управления и настройки были установлены таким образом, чтобы обеспечить нагрев до максимальной температуры.

Измерение акустической мощности

Возможные биологические эффекты (биоэффекты), возникающие у человека при облучении ультразвуком, изучаются в различных научных и медицинских учреждениях с момента зарождения ультразвуковой диагностики. В октябре 1987 года Американский институт ультразвука в медицине (AIUM) ратифицировал доклад, подготовленный Комитетом по биоэффектам («Bioeffects Considerations for the Safety of Diagnostic Ultrasound» («Учет биоэффектов для обеспечения безопасности ультразвуковой диагностики»)), J Ultrasound Med., сент. 1988: том. 7, Приложение № 9). В этом документе, который иногда называют также *Stowe Report*, приведен обзор имеющихся данных о возможных последствиях воздействия ультразвука. Другой доклад, «*Bioeffects and Safety of Diagnostic Ultrasound*» («Биоэффекты и безопасность при диагностических ультразвуковых исследованиях») от 28 января 1993 года, содержит более свежие данные.

Акустическая мощность для этой ультразвуковой системы измерена и рассчитана в соответствии с требованиями документов «Acoustic Output Measurement Standard for Diagnostic Ultrasound Equipment» («Стандарт измерения акустической мощности для диагностического ультразвукового оборудования») (NEMA UD2-2004) и IEC 60601-2-37: 2015 «Специальные требования по основам техники безопасности и эксплуатации ультразвукового медицинского диагностического и мониторингового оборудования».

Таблицы акустической мощности

Обновлен формат таблиц акустической мощности.

Модель датчика: C8x Режим работы: 2D (Двухмерный режим)	507
Модель датчика: C8x Режим работы: M-режим	508
Модель датчика: C8x Режим работы: режим цветного картирования/CPD	509
Модель датчика: C8x Режим работы: импульсно-волновой доплеровский режим	510
Модель датчика: C11x Режим работы: импульсно-волновой доплеровский режим	511
Модель датчика: C35x Режим работы: 2D (Двухмерный режим)	512
Модель датчика: C35x Режим работы: импульсно-волновой доплеровский режим	513
Модель датчика: HFL38xi (офтальмология) Режим работы: 2D (Двухмерный режим)	514
Модель датчика: HFL38xi (офтальмология) Режим работы: M-режим	515
Модель датчика: HFL38xi (офтальмология) Режим работы: режим цветного картирования/CPD	516
Модель датчика: HFL38xi (офтальмология) Режим работы: импульсно-волновой доплеровский режим	517
Модель датчика: HFL38xi Режим работы: 2D (Двухмерный режим)	518
Модель датчика: HFL38xi Режим работы: M-режим	519
Модель датчика: HFL38xi Режим работы: режим цветного картирования/CPD	520
Модель датчика: HFL38xi Режим работы: импульсно-волновой доплеровский режим	521
Модель датчика: HFL50x Режим работы: 2D (Двухмерный режим)	522
Модель датчика: HFL50x Режим работы: M-режим	523
Модель датчика: HFL50x Режим работы: цветное картирование	524
Модель датчика: HFL50x Режим работы: импульсно-волновой доплеровский режим	525
Модель датчика: HSL25x (офтальмология) Режим работы: 2D (Двухмерный режим)	526
Модель датчика: HSL25x (офтальмология) Режим работы: M-режим	527
Модель датчика: HSL25x (офтальмология) Режим работы: режим цветного картирования/CPD	528
Модель датчика: HSL25x (офтальмология) Режим работы: импульсно-волновой доплеровский режим	529
Модель датчика: HSL25x Режим работы: 2D (Двухмерный режим)	530
Модель датчика: HSL25x Режим работы: режим цветного картирования/CPD	531
Модель датчика: HSL25x Режим работы: импульсно-волновой доплеровский режим	532
Модель датчика: ICTx Режим работы: импульсно-волновой доплеровский режим	533
Модель датчика: L25x (офтальмология) Режим работы: 2D (Двухмерный режим)	534
Модель датчика: L25x (офтальмология) Режим работы: M-режим	535
Модель датчика: L25x (офтальмология) Режим работы: режим цветного картирования/CPD	536
Модель датчика: L25x (офтальмология) Режим работы: импульсно-волновой доплеровский режим	537
Модель датчика: L25x Режим работы: 2D (Двухмерный режим)	538
Модель датчика: L25x Режим работы: режим цветного картирования/CPD	539
Модель датчика: L25x Режим работы: импульсно-волновой доплеровский режим	540
Модель датчика: L38xi Режим работы: 2D (Двухмерный режим)	541
Модель датчика: L38xi Режим работы: M-режим	542
Модель датчика: L38xi Режим работы: режим цветного картирования/CPD	543
Модель датчика: L38xi Режим работы: импульсно-волновой доплеровский режим	544
Модель датчика: P10x Режим работы: цветное картирование	545
Модель датчика: P10x Режим работы: непрерывно-волновой доплеровский режим	546
Модель датчика: P10x Режим работы: импульсно-волновой доплеровский режим	547
Модель датчика: rC60xi Режим работы: 2D (Двухмерный режим)	548
Модель датчика: rC60xi Режим работы: M-режим	549
Модель датчика: rC60xi Режим работы: режим цветного картирования/CPD	550
Модель датчика: rC60xi Режим работы: импульсно-волновой доплеровский режим	551
Модель датчика: rP19x (для орбитальных исследований) Режим работы: 2D (Двухмерный режим)	552

Модель датчика: rP19x (для орбитальных исследований) Режим работы: M-режим	553
Модель датчика: rP19x (для орбитальных исследований) Режим работы: режим цветного картирования/CPD	554
Модель датчика: rP19x (для орбитальных исследований) Режим работы: импульсно-волновой доплеровский режим	555
Модель датчика: rP19x Режим работы: 2D (Двухмерный режим)	556
Модель датчика: rP19x Режим работы: M-режим	557
Модель датчика: rP19x Режим работы: режим цветного картирования/CPD	558
Модель датчика: rP19x Режим работы: непрерывно-волновой доплеровский режим	559
Модель датчика: rP19x Режим работы: импульсно-волновой доплеровский режим	560
Модель датчика: TEExi Режим работы: непрерывно-волновой доплеровский режим	561
Модель датчика: TEExi Режим работы: импульсно-волновой доплеровский режим	562

Таблица 10. Модель датчика: C8x Режим работы: 2D (Двухмерный режим)

Метка индекса	MI	TIS		TIB		TIC
		На поверхности	Под поверхностью	На поверхности	Под поверхностью	На поверхности
Максимальное значение индекса	1,1	(a)		(a)		(b)
Значение компонента индекса		#	#	#	#	
Акустические параметры	$p_{r,\alpha}$ при z_{MI} (МПа)	2,48				
	P (мВт)		#	#	#	#
	P_{1x1} (мВт)		#	#	#	
	z_s (см)			—		
	z_b (см)				—	
	z_{MI} (см)	1,2				
	$z_{pii,\alpha}$ (см)	1,2				
	f_{awf} (МГц)	5,53	#	#	#	#
Другая информация	pr_r (Гц)	9524				
	srr (Гц)	18,6				
	n_{pps}	1				
	$I_{pa,\alpha}$ при $z_{pii,\alpha}$ (Вт/см ²)	264				
	$I_{spta,\alpha}$ при $z_{pii,\alpha}$ или $z_{sii,\alpha}$ (мВт/см ²)	18,3				
	I_{spta} при z_{pii} или z_{sii} (мВт/см ²)	25,6				
	p_r при z_{pii} (МПа)	3,11				
Элементы управления	Тип исследования	Pro				
	Оптимизация	Pen				
	Глубина (см)	2,5–3,2				
	MB	Выкл.				

(a) Этот индекс не требуется для этого рабочего режима; значение составляет < 1.

(b) Этот датчик не предназначен ни для транскраниального, ни для неонатального краниального применения.

Данных относительно этого режима работы нет, поскольку значение индекса глобального максимума отсутствует по указанной причине. (См. строку со значением индекса глобального максимума.)

— Данные неприменимы к этому датчику/режиму.

Таблица 11. Модель датчика: C8x Режим работы: M-режим

Метка индекса		MI	TIS		TIV		TIC
			На поверх-ности	Под поверх-ностью	На поверх-ности	Под поверх-ностью	На поверх-ности
Максимальное значение индекса		1,3	(a)		(a)		(b)
Значение компонента индекса			#	#	#	#	
Акустические параметры	$p_{r,\alpha}$ при z_{MI} (МПа)	2,91					
	P (мВт)		#		#		#
	P_{1x1} (мВт)		#		#		
	z_s (см)			#			
	z_b (см)					#	
	z_{MI} (см)	1,1					
	$z_{pii,\alpha}$ (см)	1,1					
	f_{awf} (МГц)	5,07	#		#		#
Другая информация	prr (Гц)	800					
	srr (Гц)	—					
	n_{pps}	1					
	$I_{pa,\alpha}$ при $z_{pii,\alpha}$ (Вт/см ²)	433					
	$I_{spta,\alpha}$ при $z_{pii,\alpha}$ или $z_{sji,\alpha}$ (мВт/см ²)	149					
	I_{spta} при z_{pii} или z_{sji} (мВт/см ²)	226					
	p_r при z_{pii} (МПа)	3,57					
Элементы управления	Тип исследования	Pro					
	Оптимизация	Pen					
	Глубина (см)	4,2					

(a) Этот индекс не требуется для этого рабочего режима; значение составляет < 1.

(b) Этот датчик не предназначен ни для транскраниального, ни для неонатального краниального применения.

Данных относительно этого режима работы нет, поскольку значение индекса глобального максимума отсутствует по указанной причине. (См. строку со значением индекса глобального максимума.)

— Данные неприменимы к этому датчику/режиму.

Таблица 12. Модель датчика: C8x Режим работы: режим цветного картирования/CPD

Метка индекса		MI	TIS		TIB		TIC
			На поверх-ности	Под поверх-ностью	На поверх-ности	Под поверх-ностью	На поверх-ности
Максимальное значение индекса		1,2	(a)		(a)		(b)
Значение компонента индекса			#	#	#	#	
Акустические параметры	$p_{r,\alpha}$ при z_{MI} (МПа)	2,68					
	P (мВт)		#		#		#
	P_{1x1} (мВт)		#		#		
	z_s (см)			—			
	z_b (см)					—	
	z_{MI} (см)	0,8					
	$z_{pii,\alpha}$ (см)	0,8					
	f_{awf} (МГц)	4,82	#		#		#
Другая информация	pr (Гц)	2548					
	srr (Гц)	26					
	n_{pps}	12					
	$I_{pa,\alpha}$ при $z_{pii,\alpha}$ (Вт/см ²)	381					
	$I_{spta,\alpha}$ при $z_{pii,\alpha}$ или $z_{sii,\alpha}$ (мВт/см ²)	132					
	I_{spta} при z_{pii} или z_{sii} (мВт/см ²)	176					
	p_r при z_{pii} (МПа)	3,1					
Элементы управления	Тип исследования	Pro					
	Режим	CVD					
	Двухмерная оптимизация/глубина (см)	Pen/1,5–1,9					
	Оптимизация цвета/PRF (Гц)	Выс./любая					
	Положение/размер цветового окна	Узк./любой					

(a) Этот индекс не требуется для этого рабочего режима; значение составляет < 1.
(b) Этот датчик не предназначен ни для транскраниального, ни для неонатального краниального применения.
Данные относительно этого режима работы нет, поскольку значение индекса глобального максимума отсутствует по указанной причине. (См. строку со значением индекса глобального максимума.)
— Данные неприменимы к этому датчику/режиму.

Таблица 13. Модель датчика: C8x Режим работы: импульсно-волновой доплеровский режим

Метка индекса		MI	TIS		TIV		TIC
			На поверхности	Под поверхностью	На поверхности	Под поверхностью	На поверхности
Максимальное значение индекса		1,0	(a)		1,4		(b)
Значение компонента индекса			#	#	0,5	1,4	
Акустические параметры	$p_{r,\alpha}$ при z_{MI} (МПа)	2,28					
	P (мВт)		#		23,1		#
	P_{Tx1} (мВт)		#		23,1		
	z_s (см)			#			
	z_b (см)					1,0	
	z_{MI} (см)	1,8					
	$z_{pii,\alpha}$ (см)	1,8					
	f_{awf} (МГц)	4,80		#	4,80		#
Другая информация	prr (Гц)	1008					
	srr (Гц)	—					
	n_{pps}	1					
	$I_{pa,\alpha}$ при $z_{pii,\alpha}$ (Вт/см ²)	263					
	$I_{spta,\alpha}$ при $z_{pii,\alpha}$ или $z_{sji,\alpha}$ (мВт/см ²)	334					
	I_{spta} при z_{pii} или z_{sji} (мВт/см ²)	616					
	p_r при z_{pii} (МПа)	3,1					
Элементы управления	Тип исследования	Pro			Pro		
	Величина контрольного объема (мм)	1			1		
	Позиция контрольного объема	Зона 4			Зона 4		
	PRF (Гц)	1008			1008		

(a) Этот индекс не требуется для этого рабочего режима; значение составляет < 1.

(b) Этот датчик не предназначен ни для транскраниального, ни для неонатального краниального применения.

Данных относительно этого режима работы нет, поскольку значение индекса глобального максимума отсутствует по указанной причине. (См. строку со значением индекса глобального максимума.)

— Данные неприменимы к этому датчику/режиму.

Таблица 14. Модель датчика: C11x Режим работы: импульсно-волновой доплеровский режим

Метка индекса	MI	TIS		TIV		TIC
		На поверхности	Под поверхностью	На поверхности	Под поверхностью	На поверхности
Максимальное значение индекса	(a)	(a)		1,5		1,1
Значение компонента индекса		#	#	0,5	1,5	
Акустические параметры	$p_{r,\alpha}$ при z_{MI} (МПа)	#				
	P (мВт)		#	24,6		21,7
	P_{1x1} (мВт)		#	24,6		
	z_s (см)		#			
	z_b (см)				1,7	
	z_{MI} (см)	#				
	$z_{pii,\alpha}$ (см)	#				
	f_{awf} (МГц)	#	#	4,37		4,36
Другая информация	pr_r (Гц)	#				
	srr (Гц)	#				
	n_{pps}	#				
	$I_{pa,\alpha}$ при $z_{pii,\alpha}$ (Вт/см ²)	#				
	$I_{spta,\alpha}$ при $z_{pii,\alpha}$ или $z_{sii,\alpha}$ (мВт/см ²)	#				
	I_{spta} при z_{pii} или z_{sii} (мВт/см ²)	#				
	p_r при z_{pii} (МПа)	#				
Элементы управления	Тип исследования			Nrv		Nrv
	Величина контрольного объема (мм)			1		7
	Позиция контрольного объема			Зона 1		Зона 0
	PRF (Гц)			10 417		6250

(a) Этот индекс не требуется для этого рабочего режима; значение составляет < 1.

(b) Этот датчик не предназначен ни для транскраниального, ни для неонатального краниального применения.

Данных относительно этого режима работы нет, поскольку значение индекса глобального максимума отсутствует по указанной причине. (См. строку со значением индекса глобального максимума.)

— Данные неприменимы к этому датчику/режиму.

Таблица 15. Модель датчика: C35x Режим работы: 2D (Двухмерный режим)

Метка индекса		MI	TIS		TIV		TIC
			На поверх-ности	Под поверх-ностью	На поверх-ности	Под поверх-ностью	На поверх-ности
Максимальное значение индекса		1,0	(a)		(a)		(b)
Значение компонента индекса			#	#	#	#	
Акустические параметры	$p_{r,\alpha}$ при z_{MI} (МПа)	1,8					
	P (мВт)		#		#		#
	P_{1x1} (мВт)		#		#		
	z_s (см)			—			
	z_b (см)					—	
	z_{MI} (см)	3,3					
	$z_{pii,\alpha}$ (см)	3,3					
	f_{awf} (МГц)	3,45	#		#		#
Другая информация	prr (Гц)	1021					
	srr (Гц)	7,98					
	n_{pps}	1					
	$I_{pa,\alpha}$ при $z_{pii,\alpha}$ (Вт/см ²)	250					
	$I_{spta,\alpha}$ при $z_{pii,\alpha}$ или $z_{sji,\alpha}$ (мВт/см ²)	8,6					
	I_{spta} при z_{pii} или z_{sji} (мВт/см ²)	16,5					
	p_r при z_{pii} (МПа)	2,61					
Элементы управления	Тип исследования	Msk					
	Оптимизация	Res					
	Глубина (см)	8,3					
	MB	Н/п					

(a) Этот индекс не требуется для этого рабочего режима; значение составляет < 1.

(b) Этот датчик не предназначен ни для транскраниального, ни для неонатального краниального применения.

Данных относительно этого режима работы нет, поскольку значение индекса глобального максимума отсутствует по указанной причине. (См. строку со значением индекса глобального максимума.)

— Данные неприменимы к этому датчику/режиму.

Таблица 16. Модель датчика: C35x Режим работы: импульсно-волновой доплеровский режим

Метка индекса		MI	TIS		TIB		TIC
			На поверхности	Под поверхностью	На поверхности	Под поверхностью	На поверхности
Максимальное значение индекса		(a)	1,5		2,6		(b)
Значение компонента индекса			1,5	1,0	1,0	2,6	
Акустические параметры	$p_{r,\alpha}$ при z_{MI} (МПа)	#					
	P (мВт)		72,8		47,1		#
	P_{1x1} (мВт)		71,1		47,1		
	z_s (см)		1,4				
	z_b (см)					0,50	
	z_{MI} (см)	#					
	$z_{pii,\alpha}$ (см)	#					
	f_{awf} (МГц)	#	4,35		4,37		#
Другая информация	pr_r (Гц)	#					
	srr (Гц)	#					
	n_{pps}	#					
	$I_{pa,\alpha}$ при $z_{pii,\alpha}$ (Вт/см ²)	#					
	$I_{spta,\alpha}$ при $z_{pii,\alpha}$ или $z_{sij,\alpha}$ (мВт/см ²)	#					
	I_{spta} при z_{pii} или z_{sij} (мВт/см ²)	#					
	p_r при z_{pii} (МПа)	#					
Элементы управления	Тип исследования		Позвоночник		Позвоночник		
	Величина контрольного объема (мм)		2		1		
	Позиция контрольного объема		Зона 5		Зона 0		
	PRF (Гц)		6250		15 625		

(a) Этот индекс не требуется для этого рабочего режима; значение составляет < 1.

(b) Этот датчик не предназначен ни для транскраниального, ни для неонатального краниального применения.

Данных относительно этого режима работы нет, поскольку значение индекса глобального максимума отсутствует по указанной причине. (См. строку со значением индекса глобального максимума.)

— Данные неприменимы к этому датчику/режиму.

Таблица 17. Модель датчика: HFL38xi (офтальмология) Режим работы: 2D (Двухмерный режим)

Метка индекса		MI	TIS		TIV		TIC
			На поверхности	Под поверхностью	На поверхности	Под поверхностью	На поверхности
Максимальное значение индекса		0,17	0,007		0,007		(b)
Значение компонента индекса			0,007	0,007	0,007	0,007	
Акустические параметры	$p_{r,\alpha}$ при z_{MI} (МПа)	0,43					
	P (мВт)		0,77		0,77		#
	P_{1x1} (мВт)		0,21		0,21		
	z_s (см)			—			
	z_b (см)					—	
	z_{MI} (см)	2,1					
	$z_{pii,\alpha}$ (см)	2,1					
	f_{awf} (МГц)	6,59	6,75		6,75		#
Другая информация	prr (Гц)	11 339					
	srr (Гц)	19,7					
	n_{pps}	3					
	$I_{pa,\alpha}$ при $z_{pii,\alpha}$ (Вт/см ²)	11,4					
	$I_{spta,\alpha}$ при $z_{pii,\alpha}$ или $z_{sji,\alpha}$ (мВт/см ²)	0,8					
	I_{spta} при z_{pii} или z_{sji} (мВт/см ²)	1,3					
	p_r при z_{pii} (МПа)	0,7					
Элементы управления	Тип исследования	Oph	Oph		Oph		
	Оптимизация	Pen	Res		Res		
	Глубина (см)	4,9	4,9		4,9		
	MB	Вкл.	Вкл.		Вкл.		

(a) Этот индекс не требуется для этого рабочего режима; значение составляет < 1.

(b) Этот датчик не предназначен ни для транскраниального, ни для неонатального краниального применения.

Данных относительно этого режима работы нет, поскольку значение индекса глобального максимума отсутствует по указанной причине. (См. строку со значением индекса глобального максимума.)

— Данные неприменимы к этому датчику/режиму.

Таблица 18. Модель датчика: HFL38xi (офтальмология) Режим работы: М-режим

Метка индекса		MI	TIS		TIB		TIC
			На поверхности	Под поверхностью	На поверхности	Под поверхностью	На поверхности
Максимальное значение индекса		0,17	0,003		0,004		(b)
Значение компонента индекса			0,003	0,002	0,002	0,004	
Акустические параметры	$p_{r,\alpha}$ при z_{MI} (МПа)	0,44					
	P (мВт)		0,087		0,064		#
	P_{1x1} (мВт)		0,087		0,064		
	z_s (см)		0,9				
	z_b (см)					1,10	
	z_{MI} (см)	1,0					
	$z_{pii,\alpha}$ (см)	1,0					
Другая информация	f_{awf} (МГц)	6,58	6,86		6,78		#
	pr_r (Гц)	800					
	srr (Гц)	—					
	n_{pps}	1					
	$I_{pa,\alpha}$ при $z_{pii,\alpha}$ (Вт/см ²)	10,3					
	$I_{spta,\alpha}$ при $z_{pii,\alpha}$ или $z_{sii,\alpha}$ (мВт/см ²)	1,0					
	I_{spta} при z_{pii} или z_{sii} (мВт/см ²)	1,7					
	p_r при z_{pii} (МПа)	0,55					
Элементы управления	Тип исследования	Oph	Oph		Oph		
	Оптимизация	Pen	Res		Res		
	Глубина (см)	1,5	6,0		4,0		

(a) Этот индекс не требуется для этого рабочего режима; значение составляет < 1.

(b) Этот датчик не предназначен ни для транскраниального, ни для неонатального краниального применения.

Данных относительно этого режима работы нет, поскольку значение индекса глобального максимума отсутствует по указанной причине. (См. строку со значением индекса глобального максимума.)

— Данные неприменимы к этому датчику/режиму.

Таблица 19. Модель датчика: HFL38xi (офтальмология) Режим работы: режим цветного картирования/CPD

Метка индекса		MI	TIS		TIB		TIC
			На поверхности	Под поверхностью	На поверхности	Под поверхностью	На поверхности
Максимальное значение индекса		0,17	0,02		0,02		(b)
Значение компонента индекса			0,02	0,02	0,02	0,02	
Акустические параметры	$p_{r,\alpha}$ при z_{MI} (МПа)	0,39					
	P (мВт)		1,11		1,11		#
	P_{1x1} (мВт)		0,75		0,75		
	z_s (см)			—			
	z_b (см)					—	
	z_{MI} (см)	0,9					
	$z_{pii,\alpha}$ (см)	0,9					
	f_{awf} (МГц)	5,34	5,37		5,37		#
Другая информация	prr (Гц)	4537					
	srr (Гц)	13,5					
	n_{pps}	13					
	$I_{pa,\alpha}$ при $z_{pii,\alpha}$ (Вт/см ²)	5,5					
	$I_{spta,\alpha}$ при $z_{pii,\alpha}$ или $z_{sij,\alpha}$ (мВт/см ²)	1,3					
	I_{spta} при z_{pii} или z_{sij} (мВт/см ²)	2,1					
	p_r при z_{pii} (МПа)	0,46					
Элементы управления	Тип исследования	Oph	Oph		Oph		
	Режим	CVD	CVD		CVD		
	Двухмерная оптимизация/глубина (см)	Pen/1,5	Pen/4,9		Pen/4,9		
	Оптимизация цвета/PRF (Гц)	Выс./7813	Выс./6944		Выс./6944		
	Положение/размер цветового окна	Нижн./мал.	Станд./узк.		Станд./узк.		

(a) Этот индекс не требуется для этого рабочего режима; значение составляет < 1.

(b) Этот датчик не предназначен ни для транскраниального, ни для неонатального краниального применения.

Данные относительно этого режима работы нет, поскольку значение индекса глобального максимума отсутствует по указанной причине. (См. строку со значением индекса глобального максимума.)

— Данные неприменимы к этому датчику/режиму.

Таблица 20. Модель датчика: HFL38xi (офтальмология) Режим работы: импульсно-волновой доплеровский режим

Метка индекса		MI	TIS		TIB		TIC
			На поверхности	Под поверхностью	На поверхности	Под поверхностью	На поверхности
Максимальное значение индекса		0,18	0,09		0,17		(b)
Значение компонента индекса			0,09	0,06	0,09	0,17	
Акустические параметры	$p_{r,\alpha}$ при z_{MI} (МПа)	0,41					
	P (мВт)		3,56		3,56		#
	P_{1x1} (мВт)		3,56		3,56		
	z_s (см)		1,1				
	z_b (см)				1,64		
	z_{MI} (см)	0,9					
	$z_{pii,\alpha}$ (см)	0,9					
	f_{awf} (МГц)	5,34	5,33		5,33		#
Другая информация	prr (Гц)	1302					
	srr (Гц)	—					
	n_{pps}	1					
	$I_{pa,\alpha}$ при $z_{pii,\alpha}$ (Вт/см ²)	6,6					
	$I_{spta,\alpha}$ при $z_{pii,\alpha}$ или $z_{sij,\alpha}$ (мВт/см ²)	10,9					
	I_{spta} при z_{pii} или z_{sij} (мВт/см ²)	15,0					
	p_r при z_{pii} (МПа)	0,48					
Элементы управления	Тип исследования	Oph	Oph		Oph		
	Величина контрольного объема (мм)	1	10		10		
	Позиция контрольного объема	Зона 1	Зона 7		Зона 7		
	PRF (Гц)	1302	10 417		10 417		

(a) Этот индекс не требуется для этого рабочего режима; значение составляет < 1.

(b) Этот датчик не предназначен ни для транскраниального, ни для неонатального краниального применения.

Данных относительно этого режима работы нет, поскольку значение индекса глобального максимума отсутствует по указанной причине. (См. строку со значением индекса глобального максимума.)

— Данные неприменимы к этому датчику/режиму.

Таблица 21. Модель датчика: HFL38xi Режим работы: 2D (Двухмерный режим)

Метка индекса		MI	TIS		TIV		TIC
			На поверх-ности	Под поверх-ностью	На поверх-ности	Под поверх-ностью	На поверх-ности
Максимальное значение индекса		1,3	(a)		(a)		(b)
Значение компонента индекса			#	#	#	#	
Акустические параметры	$p_{r,\alpha}$ при z_{MI} (МПа)	3,05					
	P (мВт)		#		#		#
	P_{1x1} (мВт)		#		#		
	z_s (см)			—			
	z_b (см)					—	
	z_{MI} (см)	1,2					
	$z_{pii,\alpha}$ (см)	1,2					
	f_{awf} (МГц)	5,36	#		#		#
Другая информация	prr (Гц)	2127					
	srr (Гц)	11,1					
	n_{pps}	1					
	$I_{pa,\alpha}$ при $z_{pii,\alpha}$ (Вт/см ²)	494					
	$I_{spta,\alpha}$ при $z_{pii,\alpha}$ или $z_{sii,\alpha}$ (мВт/см ²)	13,3					
	I_{spta} при z_{pii} или z_{sii} (мВт/см ²)	19,4					
	p_r при z_{pii} (МПа)	3,81					
Элементы управления	Тип исследования	Ven					
	Оптимизация	Res					
	Глубина (см)	3,3					
	MB	Н/п					
	Отображение иглы	Вкл.					

(a) Этот индекс не требуется для этого рабочего режима; значение составляет < 1.

(b) Этот датчик не предназначен ни для транскраниального, ни для неонатального краниального применения.

Данных относительно этого режима работы нет, поскольку значение индекса глобального максимума отсутствует по указанной причине. (См. строку со значением индекса глобального максимума.)

— Данные неприменимы к этому датчику/режиму.

Таблица 22. Модель датчика: HFL38xi Режим работы: М-режим

Метка индекса	MI	TIS		TIB		TIC
		На поверхности	Под поверхностью	На поверхности	Под поверхностью	На поверхности
Максимальное значение индекса	1,12	(a)		(a)		(b)
Значение компонента индекса		#	#	#	#	
Акустические параметры	$p_{r,\alpha}$ при z_{MI} (МПа)	3,14				
	P (мВт)		#	#	#	#
	P_{1x1} (мВт)		#	#	#	
	z_s (см)			#		
	z_b (см)				#	
	z_{MI} (см)	1,4				
	$z_{pii,\alpha}$ (см)	1,4				
Другая информация	f_{awf} (МГц)	6,75	#	#	#	#
	pr_r (Гц)	1600				
	srr (Гц)	—				
	n_{pps}	1				
	$I_{pa,\alpha}$ при $z_{pii,\alpha}$ (Вт/см ²)	388				
	$I_{spta,\alpha}$ при $z_{pii,\alpha}$ или $z_{sii,\alpha}$ (мВт/см ²)	163,2				
	I_{spta} при z_{pii} или z_{sii} (мВт/см ²)	333,3				
Элементы управления	p_r при z_{pii} (МПа)	4,35				
	Тип исследования	Nrv				
	Оптимизация	Pen				
	Глубина (см)	4,0				

(a) Этот индекс не требуется для этого рабочего режима; значение составляет < 1.

(b) Этот датчик не предназначен ни для транскраниального, ни для неонатального краниального применения.

Данных относительно этого режима работы нет, поскольку значение индекса глобального максимума отсутствует по указанной причине. (См. строку со значением индекса глобального максимума.)

— Данные неприменимы к этому датчику/режиму.

Таблица 23. Модель датчика: HFL38xi Режим работы: режим цветного картирования/CPD

Метка индекса		MI	TIS		TIV		TIC
			На поверхности	Под поверхностью	На поверхности	Под поверхностью	На поверхности
Максимальное значение индекса		1,3	(a)		(a)		(b)
Значение компонента индекса			#	#	#	#	
Акустические параметры	$p_{r,\alpha}$ при z_{MI} (МПа)	3,05					
	P (мВт)		#		#		#
	P_{1x1} (мВт)		#		#		
	z_s (см)			—			
	z_b (см)					—	
	z_{MI} (см)	1,2					
	$z_{pii,\alpha}$ (см)	1,2					
	f_{awf} (МГц)	5,36	#		#		#
Другая информация	pr (Гц)	2223					
	srr (Гц)	3,3					
	n_{pps}	14					
	$I_{pa,\alpha}$ при $z_{pii,\alpha}$ (Вт/см ²)	494					
	$I_{spta,\alpha}$ при $z_{pii,\alpha}$ или $z_{sij,\alpha}$ (мВт/см ²)	27,4					
	I_{spta} при z_{pii} или z_{sij} (мВт/см ²)	40,1					
p_r при z_{pii} (МПа)	3,81						
Элементы управления	Тип исследования	SmP					
	Режим	CVD					
	Двухмерная оптимизация/глубина (см)	Res/3,3					
	Оптимизация цвета/PRF (Гц)	Низк./401					
	Положение/размер цветового окна	Станд./станд.					

(a) Этот индекс не требуется для этого рабочего режима; значение составляет < 1.

(b) Этот датчик не предназначен ни для транскраниального, ни для неонатального краниального применения.

Данные относительно этого режима работы нет, поскольку значение индекса глобального максимума отсутствует по указанной причине. (См. строку со значением индекса глобального максимума.)

— Данные неприменимы к этому датчику/режиму.

Таблица 24. Модель датчика: HFL38xi Режим работы: импульсно-волновой доплеровский режим

Метка индекса		MI	TIS		TIV		TIC
			На поверхности	Под поверхностью	На поверхности	Под поверхностью	На поверхности
Максимальное значение индекса		1,2	1,1		2,2		(b)
Значение компонента индекса			1,1	0,8	1,1	2,2	
Акустические параметры	$p_{r,\alpha}$ при z_{MI} (МПа)	2,69					
	P (мВт)		47,7		47,7		#
	P_{1x1} (мВт)		47,7		47,7		
	z_s (см)		1,1				
	z_b (см)				1,10		
	z_{MI} (см)	1,0					
	$z_{pii,\alpha}$ (см)	1,0					
	f_{awf} (МГц)	5,34	4,86		4,86		#
Другая информация	prr (Гц)	1008					
	srr (Гц)	—					
	n_{pps}	1					
	$I_{pa,\alpha}$ при $z_{pii,\alpha}$ (Вт/см ²)	308					
	$I_{spta,\alpha}$ при $z_{pii,\alpha}$ или $z_{sii,\alpha}$ (мВт/см ²)	102,8					
	I_{spta} при z_{pii} или z_{sii} (мВт/см ²)	210,0					
	p_r при z_{pii} (МПа)	3,23					
Элементы управления	Тип исследования	Nrv	Art		Art		
	Величина контрольного объема (мм)	1	1		1		
	Позиция контрольного объема	Зона 3	Зона 7		Зона 7		
	PRF (Гц)	1008	3125		3125		

(a) Этот индекс не требуется для этого рабочего режима; значение составляет < 1.

(b) Этот датчик не предназначен ни для транскраниального, ни для неонатального краниального применения.

Данных относительно этого режима работы нет, поскольку значение индекса глобального максимума отсутствует по указанной причине. (См. строку со значением индекса глобального максимума.)

— Данные неприменимы к этому датчику/режиму.

Таблица 25. Модель датчика: HFL50x Режим работы: 2D (Двухмерный режим)

Метка индекса		MI	TIS		TIV		TIC
			На поверх-ности	Под поверх-ностью	На поверх-ности	Под поверх-ностью	На поверх-ности
Максимальное значение индекса		1,3	(a)		(a)		(b)
Значение компонента индекса			#	#	#	#	
Акустические параметры	$p_{r,\alpha}$ при z_{MI} (МПа)	3,051					
	P (мВт)		#		#		#
	P_{1x1} (мВт)		#		#		
	z_s (см)			—			
	z_b (см)					—	
	z_{MI} (см)	1,2					
	$z_{pii,\alpha}$ (см)	1,2					
	f_{awf} (МГц)	5,36	#		#		#
Другая информация	prr (Гц)	2733					
	srr (Гц)	7,2					
	n_{pps}	1					
	$I_{pa,\alpha}$ при $z_{pii,\alpha}$ (Вт/см ²)	493					
	$I_{spta,\alpha}$ при $z_{pii,\alpha}$ или $z_{sij,\alpha}$ (мВт/см ²)	8,6					
	I_{spta} при z_{pii} или z_{sij} (мВт/см ²)	12,6					
	p_r при z_{pii} (МПа)	3,81					
Элементы управления	Тип исследования	Любая					
	Оптимизация	Любая					
	Глубина (см)	3,3					
	MBe	Вкл.					

(a) Этот индекс не требуется для этого рабочего режима; значение составляет < 1.

(b) Этот датчик не предназначен ни для транскраниального, ни для неонатального краниального применения.

Данных относительно этого режима работы нет, поскольку значение индекса глобального максимума отсутствует по указанной причине. (См. строку со значением индекса глобального максимума.)

— Данные неприменимы к этому датчику/режиму.

Таблица 26. Модель датчика: HFL50x Режим работы: М-режим

Метка индекса		MI	TIS		TIB		TIC
			На поверх-ности	Под поверх-ностью	На поверх-ности	Под поверх-ностью	На поверх-ности
Максимальное значение индекса		1,2	(a)		(a)		(b)
Значение компонента индекса			#	#	#	#	
Акустические параметры	$p_{r,\alpha}$ при z_{MI} (МПа)	3,14					
	P (мВт)		#		#		#
	P_{1x1} (мВт)		#		#		
	z_s (см)			#			
	z_b (см)					#	
	z_{MI} (см)	1,4					
	$z_{pii,\alpha}$ (см)	1,4					
Другая информация	f_{awf} (МГц)	6,75	#		#		#
	pr_r (Гц)	1600					
	srr (Гц)	—					
	n_{pps}	1					
	$I_{pa,\alpha}$ при $z_{pii,\alpha}$ (Вт/см ²)	388					
	$I_{spta,\alpha}$ при $z_{pii,\alpha}$ или $z_{sii,\alpha}$ (мВт/см ²)	163,2					
	I_{spta} при z_{pii} или z_{sii} (мВт/см ²)	333,3					
Элементы управления	p_r при z_{pii} (МПа)	4,35					
	Тип исследования	Любая					
	Оптимизация	Pen					
	Глубина (см)	4					

(a) Этот индекс не требуется для этого рабочего режима; значение составляет < 1.

(b) Этот датчик не предназначен ни для транскраниального, ни для неонатального краниального применения.

Данных относительно этого режима работы нет, поскольку значение индекса глобального максимума отсутствует по указанной причине. (См. строку со значением индекса глобального максимума.)

— Данные неприменимы к этому датчику/режиму.

Таблица 27. Модель датчика: HFL50x Режим работы: цветное картирование

Метка индекса		MI	TIS		TIB		TIC
			На поверх-ности	Под поверх-ностью	На поверх-ности	Под поверх-ностью	На поверх-ности
Максимальное значение индекса		1,3	(a)		(a)		(b)
Значение компонента индекса			#	#	#	#	
Акустические параметры	$p_{r,\alpha}$ при z_{MI} (МПа)	3,05					
	P (мВт)		#		#		#
	P_{1x1} (мВт)		#		#		
	z_s (см)			—			
	z_b (см)					—	
	z_{MI} (см)	1,2					
	$z_{pii,\alpha}$ (см)	1,2					
	f_{awf} (МГц)	5,36	#		#		#
Другая информация	pr (Гц)	8233					
	srr (Гц)	3,2					
	n_{pps}	14					
	$I_{pa,\alpha}$ при $z_{pii,\alpha}$ (Вт/см ²)	494					
	$I_{spta,\alpha}$ при $z_{pii,\alpha}$ или $z_{sij,\alpha}$ (мВт/см ²)	26,8					
	I_{spta} при z_{pii} или z_{sij} (мВт/см ²)	39,2					
	p_r при z_{pii} (МПа)	3,81					
Элементы управления	Тип исследования	Любая					
	Режим	Любая					
	Оптимизация/глубина (см)	Низк./3,3					
	PRF (Гц)	Любая					

(a) Этот индекс не требуется для этого рабочего режима; значение составляет < 1.

(b) Этот датчик не предназначен ни для транскраниального, ни для неонатального краниального применения.

Данных относительно этого режима работы нет, поскольку значение индекса глобального максимума отсутствует по указанной причине. (См. строку со значением индекса глобального максимума.)

— Данные неприменимы к этому датчику/режиму.

Таблица 28. Модель датчика: HFL50x Режим работы: импульсно-волновой доплеровский режим

Метка индекса		MI	TIS		TIB		TIC
			На поверхности	Под поверхностью	На поверхности	Под поверхностью	На поверхности
Максимальное значение индекса		1,2	1,1		1,9		(b)
Значение компонента индекса			1,1	0,7	1,1	1,9	
Акустические параметры	$p_{r,\alpha}$ при z_{MI} (МПа)	2,69					
	P (мВт)		42,6		42,6		#
	P_{1x1} (мВт)		42,6		42,6		
	z_s (см)		1,1				
	z_b (см)				1,10		
	z_{MI} (см)	1,0					
	$z_{pii,\alpha}$ (см)	1,0					
	f_{awf} (МГц)	5,34	5,34		5,34		#
Другая информация	prf (Гц)	1008					
	srr (Гц)	—					
	n_{pps}	1					
	$I_{pa,\alpha}$ при $z_{pii,\alpha}$ (Вт/см ²)	308					
	$I_{spta,\alpha}$ при $z_{pii,\alpha}$ или $z_{sii,\alpha}$ (мВт/см ²)	399,6					
	I_{spta} при z_{pii} или z_{sii} (мВт/см ²)	599,8					
	p_r при z_{pii} (МПа)	3,23					
Элементы управления	Тип исследования	Любая	Любая		Любая		
	Величина контрольного объема (мм)	1	1		1		
	Позиция контрольного объема	Зона 3	Зона 7		Зона 7		
	PRF (Гц)	1008	1563-3125		1563-3125		

(a) Этот индекс не требуется для этого рабочего режима; значение составляет < 1.

(b) Этот датчик не предназначен ни для транскраниального, ни для неонатального краниального применения.

Данных относительно этого режима работы нет, поскольку значение индекса глобального максимума отсутствует по указанной причине. (См. строку со значением индекса глобального максимума.)

— Данные неприменимы к этому датчику/режиму.

Таблица 29. Модель датчика: HSL25x (офтальмология) Режим работы: 2D (Двухмерный режим)

Метка индекса		MI	TIS		TIV		TIC
			На поверхности	Под поверхностью	На поверхности	Под поверхностью	На поверхности
Максимальное значение индекса		0,17	0,02		0,02		(b)
Значение компонента индекса			0,02	0,02	0,02	0,02	
Акустические параметры	$p_{r,\alpha}$ при z_{MI} (МПа)	0,47					
	P (мВт)		1,62		1,62		#
	P_{1x1} (мВт)		0,70		0,70		
	z_s (см)			—			
	z_b (см)					—	
	z_{MI} (см)	0,8					
	$z_{pii,\alpha}$ (см)	0,8					
	f_{awf} (МГц)	7,65	6,97		6,97		#
Другая информация	prr (Гц)	12 580					
	srr (Гц)	12,3					
	n_{pps}	4					
	$I_{pa,\alpha}$ при $z_{pii,\alpha}$ (Вт/см ²)	13,4					
	$I_{spta,\alpha}$ при $z_{pii,\alpha}$ или $z_{sji,\alpha}$ (мВт/см ²)	0,6					
	I_{spta} при z_{pii} или z_{sji} (мВт/см ²)	1,0					
	p_r при z_{pii} (МПа)	0,58					
Элементы управления	Тип исследования	Oph	Oph		Oph		
	Оптимизация	Res	Pen		Pen		
	Глубина (см)	1,9	4,3		4,3		
	MB	Вкл.	Вкл.		Вкл.		

(a) Этот индекс не требуется для этого рабочего режима; значение составляет < 1.

(b) Этот датчик не предназначен ни для транскраниального, ни для неонатального краниального применения.

Данных относительно этого режима работы нет, поскольку значение индекса глобального максимума отсутствует по указанной причине. (См. строку со значением индекса глобального максимума.)

— Данные неприменимы к этому датчику/режиму.

Таблица 30. Модель датчика: HSL25x (офтальмология) Режим работы: М-режим

Метка индекса		MI	TIS		TIB		TIC
			На поверх-ности	Под поверх-ностью	На поверх-ности	Под поверх-ностью	На поверх-ности
Максимальное значение индекса		0,17	0,01		0,02		(b)
Значение компонента индекса			0,010	0,009	0,013	0,020	
Акустические параметры	$p_{r,\alpha}$ при z_{MI} (МПа)	0,47					
	P (мВт)		0,45		0,45		#
	P_{1x1} (мВт)		0,45		0,45		
	z_s (см)		0,9				
	z_b (см)				0,85		
	z_{MI} (см)	1,0					
	$z_{pii,\alpha}$ (см)	1,0					
	f_{awf} (МГц)	7,59	6,25		6,25		#
Другая информация	pr_r (Гц)	1600					
	srr (Гц)	—					
	n_{pps}	1					
	$I_{pa,\alpha}$ при $z_{pii,\alpha}$ (Вт/см ²)	14,9					
	$I_{spta,\alpha}$ при $z_{pii,\alpha}$ или $z_{sii,\alpha}$ (мВт/см ²)	2,3					
	I_{spta} при z_{pii} или z_{sii} (мВт/см ²)	4,0					
	p_r при z_{pii} (МПа)	0,61					
Элементы управления	Тип исследования	Oph	Oph		Oph		
	Оптимизация	Res	Pen		Pen		
	Глубина (см)	1,9	4,3		4,3		

(a) Этот индекс не требуется для этого рабочего режима; значение составляет < 1.

(b) Этот датчик не предназначен ни для транскраниального, ни для неонатального краниального применения.

Данных относительно этого режима работы нет, поскольку значение индекса глобального максимума отсутствует по указанной причине. (См. строку со значением индекса глобального максимума.)

— Данные неприменимы к этому датчику/режиму.

Таблица 31. Модель датчика: HSL25x (офтальмология) Режим работы: режим цветного картирования/CPD

Метка индекса		MI	TIS		TIB		TIC
			На поверхности	Под поверхностью	На поверхности	Под поверхностью	На поверхности
Максимальное значение индекса		0,17	0,06		0,06		(b)
Значение компонента индекса			0,06	0,06	0,06	0,06	
Акустические параметры	$p_{r,\alpha}$ при z_{MI} (МПа)	0,42					
	P (мВт)		2,9		2,9		#
	P_{1x1} (мВт)		1,9		1,9		
	z_s (см)			—			
	z_b (см)					—	
	z_{MI} (см)	0,7					
	$z_{pii,\alpha}$ (см)	0,7					
	f_{awf} (МГц)	6,11	6,10		6,10		#
Другая информация	prr (Гц)	3096					
	srr (Гц)	8,1					
	n_{pps}	14					
	$I_{pa,\alpha}$ при $z_{pii,\alpha}$ (Вт/см ²)	7,5					
	$I_{spta,\alpha}$ при $z_{pii,\alpha}$ или $z_{sij,\alpha}$ (мВт/см ²)	1,1					
	I_{spta} при z_{pii} или z_{sij} (мВт/см ²)	1,6					
	p_r при z_{pii} (МПа)	0,49					
Элементы управления	Тип исследования	Oph	Oph		Oph		
	Режим	CVD	CVD		CVD		
	Двухмерная оптимизация/глубина (см)	Pen/1,9	Pen/5,1		Pen/5,1		
	Оптимизация цвета/PRF (Гц)	Низк./401	Средн./4167		Средн./4167		
	Положение/размер цветового окна	Станд./станд.	Верх./кор. и шир.		Верх./кор. и шир.		

(а) Этот индекс не требуется для этого рабочего режима; значение составляет < 1.

(b) Этот датчик не предназначен ни для транскраниального, ни для неонатального краниального применения.

Данных относительно этого режима работы нет, поскольку значение индекса глобального максимума отсутствует по указанной причине. (См. строку со значением индекса глобального максимума.)

— Данные неприменимы к этому датчику/режиму.

Таблица 32. Модель датчика: HSL25x (офтальмология) Режим работы: импульсно-волновой доплеровский режим

Метка индекса		MI	TIS		TIB		TIC
			На поверхности	Под поверхностью	На поверхности	Под поверхностью	На поверхности
Максимальное значение индекса		0,18	0,12		0,21		(b)
Значение компонента индекса			0,12	0,08	0,12	0,21	
Акустические параметры	$p_{r,\alpha}$ при z_{MI} (МПа)	0,44					
	P (мВт)		4,0		4,0		#
	P_{1x1} (мВт)		4,0		4,0		
	z_s (см)		0,9				
	z_b (см)				0,80		
	z_{MI} (см)	1,2					
	$z_{pii,\alpha}$ (см)	1,2					
	f_{awf} (МГц)	6,03	6,03		6,03		#
Другая информация	prr (Гц)	1953					
	srr (Гц)	—					
	n_{pps}	1					
	$I_{pa,\alpha}$ при $z_{pii,\alpha}$ (Вт/см ²)	7,4					
	$I_{spta,\alpha}$ при $z_{pii,\alpha}$ или $z_{sij,\alpha}$ (мВт/см ²)	18,4					
	I_{spta} при z_{pii} или z_{sij} (мВт/см ²)	44,9					
	p_r при z_{pii} (МПа)	0,56					
Элементы управления	Тип исследования	Oph	Oph		Oph		
	Величина контрольного объема (мм)	1	1		1		
	Позиция контрольного объема	Зона 7	Зона 7		Зона 7		
	PRF (Гц)	1953	5208		5208		

(a) Этот индекс не требуется для этого рабочего режима; значение составляет < 1.

(b) Этот датчик не предназначен ни для транскраниального, ни для неонатального краниального применения.

Данных относительно этого режима работы нет, поскольку значение индекса глобального максимума отсутствует по указанной причине. (См. строку со значением индекса глобального максимума.)

— Данные неприменимы к этому датчику/режиму.

Таблица 33. Модель датчика: HSL25x Режим работы: 2D (Двухмерный режим)

Метка индекса		MI	TIS		TIB		TIC
			На поверхности	Под поверхностью	На поверхности	Под поверхностью	На поверхности
Максимальное значение индекса		1,2	(a)		(a)		(b)
Значение компонента индекса			#	#	#	#	
Акустические параметры	$p_{r,\alpha}$ при z_{MI} (МПа)	2,87					
	P (мВт)		#		#		#
	P_{Tx1} (мВт)		#		#		
	z_s (см)			—			
	z_b (см)					—	
	z_{MI} (см)	0,8					
	$z_{pii,\alpha}$ (см)	0,8					
	f_{awf} (МГц)	6,11	#		#		#
Другая информация	prf (Гц)	1061					
	srf (Гц)	13,0					
	n_{pps}	1					
	$I_{pa,\alpha}$ при $z_{pii,\alpha}$ (Вт/см ²)	478					
	$I_{spta,\alpha}$ при $z_{pii,\alpha}$ или $z_{sij,\alpha}$ (мВт/см ²)	12,2					
	I_{spta} при z_{pii} или z_{sij} (мВт/см ²)	16,4					
p_r при z_{pii} (МПа)	3,39						
Элементы управления	Тип исследования	Nrv/Msk/ Ven/Art					
	Оптимизация	Любая					
	Глубина (см)	1,9–2,2					
	MBe	Вкл.					

(a) Этот индекс не требуется для этого рабочего режима; значение составляет < 1.

(b) Этот датчик не предназначен ни для транскраниального, ни для неонатального краниального применения.

Данных относительно этого режима работы нет, поскольку значение индекса глобального максимума отсутствует по указанной причине. (См. строку со значением индекса глобального максимума.)

— Данные неприменимы к этому датчику/режиму.

Таблица 34. Модель датчика: HSL25x Режим работы: режим цветного картирования/CPD

Метка индекса	MI	TIS		TIB		TIC
		На поверх-ности	Под поверх-ностью	На поверх-ности	Под поверх-ностью	На поверх-ности
Максимальное значение индекса	1,0	(a)		(a)		(b)
Значение компонента индекса		#	#	#	#	
Акустические параметры	$p_{r,\alpha}$ при z_{MI} (МПа)	2,35				
	P (мВт)		#	#	#	#
	P_{1x1} (мВт)		#	#	#	
	z_s (см)			—		
	z_b (см)				—	
	z_{MI} (см)	0,8				
	$z_{pii,\alpha}$ (см)	0,8				
	f_{awf} (МГц)	6,11	#		#	#
Другая информация	pr_r (Гц)	3079				
	srr (Гц)	8,0				
	n_{pps}	14				
	$I_{pa,\alpha}$ при $z_{pii,\alpha}$ (Вт/см ²)	276				
	$I_{spta,\alpha}$ при $z_{pii,\alpha}$ или $z_{sij,\alpha}$ (мВт/см ²)	47,6				
	I_{spta} при z_{pii} или z_{sij} (мВт/см ²)	63,9				
	p_r при z_{pii} (МПа)	2,78				
Элементы управления	Тип исследования	Sup				
	Режим	CVD				
	Двухмерная оптимизация/глубина (см)	Pen/3,1				
	Оптимизация цвета/PRF (Гц)	Низк./401				
	Положение/размер цветового окна	Станд./станд.				

(a) Этот индекс не требуется для этого рабочего режима; значение составляет < 1.
(b) Этот датчик не предназначен ни для транскраниального, ни для неонатального краниального применения.
Данных относительно этого режима работы нет, поскольку значение индекса глобального максимума отсутствует по указанной причине. (См. строку со значением индекса глобального максимума.)
— Данные неприменимы к этому датчику/режиму.

Таблица 35. Модель датчика: HSL25x Режим работы: импульсно-волновой доплеровский режим

Метка индекса		MI	TIS		TIV		TIC
			На поверхности	Под поверхностью	На поверхности	Под поверхностью	На поверхности
Максимальное значение индекса		(a)	(a)		1,5		(b)
Значение компонента индекса			#	#	0,8	1,5	
Акустические параметры	$p_{r,\alpha}$ при z_{MI} (МПа)	#					
	P (мВт)		#		28,1		#
	$P_{I \times I}$ (мВт)		#		28,1		
	z_s (см)			#			
	z_b (см)					0,75	
	z_{MI} (см)	#					
	$z_{pii,\alpha}$ (см)	#					
	f_{awf} (МГц)	#	#		6,00		#
Другая информация	prr (Гц)	#					
	srr (Гц)	#					
	n_{pps}	#					
	$I_{pa,\alpha}$ при $z_{pii,\alpha}$ (Вт/см ²)	#					
	$I_{spta,\alpha}$ при $z_{pii,\alpha}$ или $z_{sij,\alpha}$ (мВт/см ²)	#					
	I_{spta} при z_{pii} или z_{sij} (мВт/см ²)	#					
	p_r при z_{pii} (МПа)	#					
Элементы управления	Тип исследования				Nrv		
	Величина контрольного объема (мм)				8		
	Позиция контрольного объема				Зона 7		
	PRF (Гц)				1953		

(a) Этот индекс не требуется для этого рабочего режима; значение составляет < 1.

(b) Этот датчик не предназначен ни для транскраниального, ни для неонатального краниального применения.

Данных относительно этого режима работы нет, поскольку значение индекса глобального максимума отсутствует по указанной причине. (См. строку со значением индекса глобального максимума.)

— Данные неприменимы к этому датчику/режиму.

Таблица 36. Модель датчика: ICTx Режим работы: импульсно-волновой доплеровский режим

Метка индекса	MI	TIS		TIV		TIC
		На поверхности	Под поверхностью	На поверхности	Под поверхностью	На поверхности
Максимальное значение индекса	(a)	(a)		1,2		(b)
Значение компонента индекса		#	#	0,3	1,2	
Акустические параметры	$p_{r,\alpha}$ при z_{MI} (МПа)	#				
	P (мВт)		#	16,3		#
	P_{1x1} (мВт)		#	16,3		
	z_s (см)		#			
	z_b (см)				1,60	
	z_{MI} (см)	#				
	$z_{pii,\alpha}$ (см)	#				
	f_{awf} (МГц)	#	#	4,36		#
Другая информация	pr_r (Гц)	#				
	srr (Гц)	#				
	n_{pps}	#				
	$I_{pa,\alpha}$ при $z_{pii,\alpha}$ (Вт/см ²)	#				
	$I_{spta,\alpha}$ при $z_{pii,\alpha}$ или $z_{sij,\alpha}$ (мВт/см ²)	#				
	I_{spta} при z_{pii} или z_{sij} (мВт/см ²)	#				
	p_r при z_{pii} (МПа)	#				
Элементы управления	Тип исследования			Любая		
	Величина контрольного объема (мм)			3		
	Позиция контрольного объема			Зона 1		
	PRF (Гц)			Любая		

(a) Этот индекс не требуется для этого рабочего режима; значение составляет < 1.

(b) Этот датчик не предназначен ни для транскраниального, ни для неонатального краниального применения.

Данных относительно этого режима работы нет, поскольку значение индекса глобального максимума отсутствует по указанной причине. (См. строку со значением индекса глобального максимума.)

— Данные неприменимы к этому датчику/режиму.

Таблица 37. Модель датчика: L25x (офтальмология) Режим работы: 2D (Двухмерный режим)

Метка индекса		MI	TIS		TIV		TIC
			На поверхности	Под поверхностью	На поверхности	Под поверхностью	На поверхности
Максимальное значение индекса		0,17	0,02		0,02		(b)
Значение компонента индекса			0,02	0,02	0,02	0,02	
Акустические параметры	$p_{r,\alpha}$ при z_{MI} (МПа)	0,47					
	P (мВт)		1,62		1,62		#
	P_{1x1} (мВт)		0,70		0,70		
	z_s (см)			—			
	z_b (см)					—	
	z_{MI} (см)	0,8					
	$z_{pii,\alpha}$ (см)	0,8					
	f_{awf} (МГц)	7,65	6,97		6,97		#
Другая информация	prr (Гц)	12 580					
	srr (Гц)	12,3					
	n_{pps}	4					
	$I_{pa,\alpha}$ при $z_{pii,\alpha}$ (Вт/см ²)	13,4					
	$I_{spta,\alpha}$ при $z_{pii,\alpha}$ или $z_{sji,\alpha}$ (мВт/см ²)	0,6					
	I_{spta} при z_{pii} или z_{sji} (мВт/см ²)	1,0					
	p_r при z_{pii} (МПа)	0,58					
Элементы управления	Тип исследования	Oph	Oph		Oph		
	Оптимизация	Res	Pen		Pen		
	Глубина (см)	1,9	4,3		4,3		
	MB	Вкл.	Вкл.		Вкл.		

(a) Этот индекс не требуется для этого рабочего режима; значение составляет < 1.

(b) Этот датчик не предназначен ни для транскраниального, ни для неонатального краниального применения.

Данных относительно этого режима работы нет, поскольку значение индекса глобального максимума отсутствует по указанной причине. (См. строку со значением индекса глобального максимума.)

— Данные неприменимы к этому датчику/режиму.

Таблица 38. Модель датчика: L25x (офтальмология) Режим работы: М-режим

Метка индекса		MI	TIS		TIB		TIC
			На поверхности	Под поверхностью	На поверхности	Под поверхностью	На поверхности
Максимальное значение индекса		0,17	0,010		0,020		(b)
Значение компонента индекса			0,010	0,009	0,013	0,020	
Акустические параметры	$p_{r,\alpha}$ при z_{MI} (МПа)	0,47					
	P (мВт)		0,45		0,45		#
	P_{1x1} (мВт)		0,45		0,45		
	z_s (см)		0,9				
	z_b (см)					0,85	
	z_{MI} (см)	1,0					
	$z_{pii,\alpha}$ (см)	1,0					
Другая информация	f_{awf} (МГц)	7,59	6,25		6,25		#
	pr_r (Гц)	1600					
	srr (Гц)	—					
	n_{pps}	1					
	$I_{pa,\alpha}$ при $z_{pii,\alpha}$ (Вт/см ²)	14,9					
	$I_{spta,\alpha}$ при $z_{pii,\alpha}$ или $z_{sii,\alpha}$ (мВт/см ²)	2,3					
	I_{spta} при z_{pii} или z_{sii} (мВт/см ²)	4,0					
Элементы управления	p_r при z_{pii} (МПа)	0,61					
	Тип исследования	Oph	Oph		Oph		
	Оптимизация	Res	Pen		Pen		
	Глубина (см)	1,9	4,3		4,3		

(a) Этот индекс не требуется для этого рабочего режима; значение составляет < 1.

(b) Этот датчик не предназначен ни для транскраниального, ни для неонатального краниального применения.

Данных относительно этого режима работы нет, поскольку значение индекса глобального максимума отсутствует по указанной причине. (См. строку со значением индекса глобального максимума.)

— Данные неприменимы к этому датчику/режиму.

Таблица 39. Модель датчика: L25x (офтальмология) Режим работы: режим цветного картирования/CPD

Метка индекса		MI	TIS		TIV		TIC
			На поверхности	Под поверхностью	На поверхности	Под поверхностью	На поверхности
Максимальное значение индекса		0,17	0,06		0,06		(b)
Значение компонента индекса			0,06	0,06	0,06	0,06	
Акустические параметры	$p_{r,\alpha}$ при z_{MI} (МПа)	0,42					
	P (мВт)		2,9		2,9		#
	$P_{I \times I}$ (мВт)		1,9		1,9		
	z_s (см)			—			
	z_b (см)					—	
	z_{MI} (см)	0,7					
	$z_{pii,\alpha}$ (см)	0,7					
	f_{awf} (МГц)	6,11	6,10		6,10		#
Другая информация	pr (Гц)	3096					
	srr (Гц)	8,1					
	n_{pps}	14					
	$I_{pa,\alpha}$ при $z_{pii,\alpha}$ (Вт/см ²)	7,5					
	$I_{spta,\alpha}$ при $z_{pii,\alpha}$ или $z_{sij,\alpha}$ (мВт/см ²)	1,1					
	I_{spta} при z_{pii} или z_{sij} (мВт/см ²)	1,6					
p_r при z_{pii} (МПа)	0,49						
Элементы управления	Тип исследования	Oph	Oph		Oph		
	Режим	CVD	CVD		CVD		
	Двухмерная оптимизация/глубина (см)	Pen/1,9	Pen/5,1		Pen/5,1		
	Оптимизация цвета/PRF (Гц)	Низк./401	Средн./4167		Средн./4167		
	Положение/размер цветового окна	Станд./станд.	Верх./кор. и шир.		Верх./кор. и шир.		

(а) Этот индекс не требуется для этого рабочего режима; значение составляет < 1.

(b) Этот датчик не предназначен ни для транскраниального, ни для неонатального краниального применения.

Данных относительно этого режима работы нет, поскольку значение индекса глобального максимума отсутствует по указанной причине. (См. строку со значением индекса глобального максимума.)

— Данные неприменимы к этому датчику/режиму.

Таблица 40. Модель датчика: L25x (офтальмология) Режим работы: импульсно-волновой доплеровский режим

Метка индекса		MI	TIS		TIB		TIC
			На поверхности	Под поверхностью	На поверхности	Под поверхностью	На поверхности
Максимальное значение индекса		0,18	0,12		0,21		(b)
Значение компонента индекса			0,12	0,08	0,12	0,21	
Акустические параметры	$p_{r,\alpha}$ при z_{MI} (МПа)	0,44					
	P (мВт)		4,0		4,0		#
	P_{TxI} (мВт)		4,0		4,0		
	z_s (см)		0,9				
	z_b (см)				0,80		
	z_{MI} (см)	1,2					
	$z_{pii,\alpha}$ (см)	1,2					
	f_{awf} (МГц)	6,03	6,03		6,03		#
Другая информация	prr (Гц)	1953					
	srr (Гц)	—					
	n_{pps}	1					
	$I_{pa,\alpha}$ при $z_{pii,\alpha}$ (Вт/см ²)	7,4					
	$I_{spta,\alpha}$ при $z_{pii,\alpha}$ или $z_{sii,\alpha}$ (мВт/см ²)	18,4					
	I_{spta} при z_{pii} или z_{sii} (мВт/см ²)	44,9					
	p_r при z_{pii} (МПа)	0,56					
Элементы управления	Тип исследования	Oph	Oph		Oph		
	Величина контрольного объема (мм)	1	1		1		
	Позиция контрольного объема	Зона 7	Зона 7		Зона 7		
	PRF (Гц)	1953	5208		5208		

(a) Этот индекс не требуется для этого рабочего режима; значение составляет < 1.

(b) Этот датчик не предназначен ни для транскраниального, ни для неонатального краниального применения.

Данных относительно этого режима работы нет, поскольку значение индекса глобального максимума отсутствует по указанной причине. (См. строку со значением индекса глобального максимума.)

— Данные неприменимы к этому датчику/режиму.

Таблица 41. Модель датчика: L25x Режим работы: 2D (Двухмерный режим)

Метка индекса		MI	TIS		TIV		TIC
			На поверх-ности	Под поверх-ностью	На поверх-ности	Под поверх-ностью	На поверх-ности
Максимальное значение индекса		1,2	(a)		(a)		(b)
Значение компонента индекса			#	#	#	#	
Акустические параметры	$p_{r,\alpha}$ при z_{MI} (МПа)	2,87					
	P (мВт)		#		#		#
	P_{1x1} (мВт)		#		#		
	z_s (см)			—			
	z_b (см)					—	
	z_{MI} (см)	0,8					
	$z_{pii,\alpha}$ (см)	0,8					
	f_{awf} (МГц)	6,11	#		#		#
Другая информация	pr_r (Гц)	1061					
	srr (Гц)	13,0					
	n_{pps}	1					
	$I_{pa,\alpha}$ при $z_{pii,\alpha}$ (Вт/см ²)	478					
	$I_{spta,\alpha}$ при $z_{pii,\alpha}$ или $z_{sii,\alpha}$ (мВт/см ²)	12,2					
	I_{spta} при z_{pii} или z_{sii} (мВт/см ²)	16,4					
	p_r при z_{pii} (МПа)	3,39					
Элементы управления	Тип исследования	Nrv/Msk/ Ven/Art					
	Оптимизация	Любая					
	Глубина (см)	1,9–2,2					
	MBe	Вкл.					

(a) Этот индекс не требуется для этого рабочего режима; значение составляет < 1.

(b) Этот датчик не предназначен ни для транскраниального, ни для неонатального краниального применения.

Данных относительно этого режима работы нет, поскольку значение индекса глобального максимума отсутствует по указанной причине. (См. строку со значением индекса глобального максимума.)

— Данные неприменимы к этому датчику/режиму.

Таблица 42. Модель датчика: L25x Режим работы: режим цветного картирования/CPD

Метка индекса	MI	TIS		TIB		TIC
		На поверх-ности	Под поверх-ностью	На поверх-ности	Под поверх-ностью	На поверх-ности
Максимальное значение индекса	1,0	(a)		(a)		(b)
Значение компонента индекса		#	#	#	#	
Акустические параметры	$p_{r,\alpha}$ при z_{MI} (МПа)	2,35				
	P (мВт)		#		#	#
	P_{1x1} (мВт)		#		#	
	z_s (см)			—		
	z_b (см)					—
	z_{MI} (см)	0,8				
	$z_{pii,\alpha}$ (см)	0,8				
	f_{awf} (МГц)	6,11	#		#	#
Другая информация	pr_r (Гц)	5261				
	srr (Гц)	13,7				
	n_{pps}	14				
	$I_{pa,\alpha}$ при $z_{pii,\alpha}$ (Вт/см ²)	276				
	$I_{spta,\alpha}$ при $z_{pii,\alpha}$ или $z_{sij,\alpha}$ (мВт/см ²)	81,5				
	I_{spta} при z_{pii} или z_{sij} (мВт/см ²)	109,5				
	p_r при z_{pii} (МПа)	2,78				
Элементы управления	Тип исследования	Ven				
	Режим	CVD				
	Двухмерная оптимизация/глубина (см)	Pen/3,1				
	Оптимизация цвета/PRF (Гц)	Низк./779				
	Положение/размер цветового окна	Станд./станд.				
(a) Этот индекс не требуется для этого рабочего режима; значение составляет < 1.						
(b) Этот датчик не предназначен ни для транскраниального, ни для неонатального краниального применения.						
# Данных относительно этого режима работы нет, поскольку значение индекса глобального максимума отсутствует по указанной причине. (См. строку со значением индекса глобального максимума.)						
— Данные неприменимы к этому датчику/режиму.						

Таблица 43. Модель датчика: L25x Режим работы: импульсно-волновой доплеровский режим

Метка индекса		MI	TIS		TIV		TIC
			На поверхности	Под поверхностью	На поверхности	Под поверхностью	На поверхности
Максимальное значение индекса		(a)	(a)		1,7		(b)
Значение компонента индекса			#	#	0,9	1,7	
Акустические параметры	$p_{r,\alpha}$ при z_{MI} (МПа)	#					
	P (мВт)		#		32,1		#
	$P_{I \times I}$ (мВт)		#		32,1		
	z_s (см)			#			
	z_b (см)					0,75	
	z_{MI} (см)	#					
	$z_{pii,\alpha}$ (см)	#					
	f_{awf} (МГц)	#	#		#		#
Другая информация	prr (Гц)	#					
	srr (Гц)	#					
	n_{pps}	#					
	$I_{pa,\alpha}$ при $z_{pii,\alpha}$ (Вт/см ²)	#					
	$I_{spta,\alpha}$ при $z_{pii,\alpha}$ или $z_{sii,\alpha}$ (мВт/см ²)	#					
	I_{spta} при z_{pii} или z_{sii} (мВт/см ²)	#					
	p_r при z_{pii} (МПа)	#					
Элементы управления	Тип исследования				Vas/Ven/Nrv		
	Величина контрольного объема (мм)				8		
	Позиция контрольного объема				Зона 7		
	PRF (Гц)				1953		

(a) Этот индекс не требуется для этого рабочего режима; значение составляет < 1.

(b) Этот датчик не предназначен ни для транскраниального, ни для неонатального краниального применения.

Данных относительно этого режима работы нет, поскольку значение индекса глобального максимума отсутствует по указанной причине. (См. строку со значением индекса глобального максимума.)

— Данные неприменимы к этому датчику/режиму.

Таблица 44. Модель датчика: L38xi Режим работы: 2D (Двухмерный режим)

Метка индекса		MI	TIS		TIB		TIC
			На поверх-ности	Под поверх-ностью	На поверх-ности	Под поверх-ностью	На поверх-ности
Максимальное значение индекса		1,5	(a)		(a)		(b)
Значение компонента индекса			#	#	#	#	
Акустические параметры	$p_{r,\alpha}$ при z_{MI} (МПа)	3,3					
	P (мВт)		#		#		#
	P_{1x1} (мВт)		#		#		
	z_s (см)			—			
	z_b (см)					—	
	z_{MI} (см)	0,8					
	$z_{pii,\alpha}$ (см)	0,8					
	f_{awf} (МГц)	4,82		#		#	
Другая информация	pr (Гц)	1312					
	srr (Гц)	10,3					
	n_{pps}	1					
	$I_{pa,\alpha}$ при $z_{pii,\alpha}$ (Вт/см ²)	605					
	$I_{spta,\alpha}$ при $z_{pii,\alpha}$ или $z_{sii,\alpha}$ (мВт/см ²)	10,2					
	I_{spta} при z_{pii} или z_{sii} (мВт/см ²)	13,5					
	p_r при z_{pii} (МПа)	3,79					
Элементы управления	Тип исследования	Nrv					
	Оптимизация	Res					
	Глубина (см)	2,0					
	MB	Н/п					
	Отображение иглы	Вкл.					

(a) Этот индекс не требуется для этого рабочего режима; значение составляет < 1.

(b) Этот датчик не предназначен ни для транскраниального, ни для неонатального краниального применения.

Данный относительно этого режима работы нет, поскольку значение индекса глобального максимума отсутствует по указанной причине. (См. строку со значением индекса глобального максимума.)

— Данные неприменимы к этому датчику/режиму.

Таблица 45. Модель датчика: L38xi Режим работы: М-режим

Метка индекса		MI	TIS		TIV		TIC
			На поверх-ности	Под поверх-ностью	На поверх-ности	Под поверх-ностью	На поверх-ности
Максимальное значение индекса		1,5	(a)		1,2		(b)
Значение компонента индекса			#	#	0,9	1,2	
Акустические параметры	$p_{r,\alpha}$ при z_{MI} (МПа)	3,54					
	P (мВт)		#		37,1		#
	P_{1x1} (мВт)		#		37,1		
	z_s (см)			#			
	z_b (см)					0,9	
	z_{MI} (см)	1,0					
	$z_{pii,\alpha}$ (см)	1,0					
	f_{awf} (МГц)	5,76	#		5,20		#
Другая информация	prr (Гц)	1600					
	srr (Гц)	—					
	n_{pps}	1					
	$I_{pa,\alpha}$ при $z_{pii,\alpha}$ (Вт/см ²)	776					
	$I_{spta,\alpha}$ при $z_{pii,\alpha}$ или $z_{sij,\alpha}$ (мВт/см ²)	181,8					
	I_{spta} при z_{pii} или z_{sij} (мВт/см ²)	280,5					
p_r при z_{pii} (МПа)	4,32						
Элементы управления	Тип исследования	Art			Art		
	Оптимизация	Gen			Pen		
	Глубина (см)	4,7			7,3		

(a) Этот индекс не требуется для этого рабочего режима; значение составляет < 1.

(b) Этот датчик не предназначен ни для транскраниального, ни для неонатального краниального применения.

Данных относительно этого режима работы нет, поскольку значение индекса глобального максимума отсутствует по указанной причине. (См. строку со значением индекса глобального максимума.)

— Данные неприменимы к этому датчику/режиму.

Таблица 46. Модель датчика: L38xi Режим работы: режим цветного картирования/CPD

Метка индекса	MI	TIS		TIB		TIC
		На поверхности	Под поверхностью	На поверхности	Под поверхностью	На поверхности
Максимальное значение индекса	1,5	1,1		1,1		(b)
Значение компонента индекса		1,1	1,1	1,1	1,1	
Акустические параметры	$p_{r,\alpha}$ при z_{MI} (МПа)	3,3				
	P (мВт)		64,7	64,7		#
	P_{1x1} (мВт)		49,0	49,0		
	z_s (см)			—		
	z_b (см)				—	
	z_{MI} (см)	0,8				
	$z_{pii,\alpha}$ (см)	0,8				
	f_{awf} (МГц)	4,82	4,83		4,83	
Другая информация	pr_r (Гц)	2190				
	srr (Гц)	4,5				
	n_{pps}	16				
	$I_{pa,\alpha}$ при $z_{pii,\alpha}$ (Вт/см ²)	605				
	$I_{spta,\alpha}$ при $z_{pii,\alpha}$ или $z_{sij,\alpha}$ (мВт/см ²)	35,6				
	I_{spta} при z_{pii} или z_{sij} (мВт/см ²)	47,4				
	p_r при z_{pii} (МПа)	3,79				
Элементы управления	Тип исследования	Art	Ven		Ven	
	Режим	CVD	CVD		CVD	
	Двухмерная оптимизация/глубина (см)	Pen/2,0	Pen/3,1		Pen/3,1	
	Оптимизация цвета/PRF (Гц)	Низк./393	Низк./2315		Низк./2315	
	Положение/размер цветового окна	Станд./станд.	Низк./кор. и узк.		Низк./кор. и узк.	
(a) Этот индекс не требуется для этого рабочего режима; значение составляет < 1.						
(b) Этот датчик не предназначен ни для транскраниального, ни для неонатального краниального применения.						
# Данных относительно этого режима работы нет, поскольку значение индекса глобального максимума отсутствует по указанной причине. (См. строку со значением индекса глобального максимума.)						
— Данные неприменимы к этому датчику/режиму.						

Таблица 47. Модель датчика: L38xi Режим работы: импульсно-волновой доплеровский режим

Метка индекса		MI	TIS		TIV		TIC
			На поверхности	Под поверхностью	На поверхности	Под поверхностью	На поверхности
Максимальное значение индекса		1,3	2,6		3,7		(b)
Значение компонента индекса			2,6	1,8	2,6	3,7	
Акустические параметры	$p_{r,\alpha}$ при z_{MI} (МПа)	2,59					
	P (мВт)		114,5		114,5		#
	P_{Tx1} (мВт)		114,5		114,5		
	z_s (см)			1,2			
	z_b (см)					1,2	
	z_{MI} (см)	0,7					
	$z_{pii,\alpha}$ (см)	0,7					
	f_{awf} (МГц)	4,06	4,78		4,78		#
Другая информация	prr (Гц)	1008					
	srr (Гц)	—					
	n_{pps}	1					
	$I_{pa,\alpha}$ при $z_{pii,\alpha}$ (Вт/см ²)	32,3					
	$I_{spta,\alpha}$ при $z_{pii,\alpha}$ или $z_{sii,\alpha}$ (мВт/см ²)	399,8					
	I_{spta} при z_{pii} или z_{sii} (мВт/см ²)	495,1					
p_r при z_{pii} (МПа)	2,86						
Элементы управления	Тип исследования	Art	Nrv		Nrv		
	Величина контрольного объема (мм)	1	1		1		
	Позиция контрольного объема	Зона 0	Зона 7		Зона 7		
	PRF (Гц)	1008	10 417		10 417		

(a) Этот индекс не требуется для этого рабочего режима; значение составляет < 1.

(b) Этот датчик не предназначен ни для транскраниального, ни для неонатального краниального применения.

Данных относительно этого режима работы нет, поскольку значение индекса глобального максимума отсутствует по указанной причине. (См. строку со значением индекса глобального максимума.)

— Данные неприменимы к этому датчику/режиму.

Таблица 48. Модель датчика: P10x Режим работы: цветное картирование

Метка индекса		MI	TIS		TIB		TIC
			На поверхности	Под поверхностью	На поверхности	Под поверхностью	На поверхности
Максимальное значение индекса		(a)	(a)		(a)		1,1
Значение компонента индекса			#	#	#	#	
Акустические параметры	$p_{r,\alpha}$ при z_{MI} (МПа)	#					
	P (мВт)		#		#		42,2
	P_{1x1} (мВт)		#		#		
	z_s (см)			—			
	z_b (см)					—	
	z_{MI} (см)	#					
	$z_{pii,\alpha}$ (см)	#					
	f_{awf} (МГц)	#	#		#		3,89
Другая информация	pr_r (Гц)	#					
	srr (Гц)	#					
	n_{pps}	#					
	$I_{pa,\alpha}$ при $z_{pii,\alpha}$ (Вт/см ²)	#					
	$I_{spta,\alpha}$ при $z_{pii,\alpha}$ или $z_{sij,\alpha}$ (мВт/см ²)	#					
	I_{spta} при z_{pii} или z_{sij} (мВт/см ²)	#					
	p_r при z_{pii} (МПа)	#					
Элементы управления	Тип исследования						Crd
	Режим						CVD
	Двухмерная оптимизация/глубина (см)/ширина сектора						Pen/8,9/узк.
	Оптимизация цвета/PRF (Гц)						Низк./2033
	Положение/размер цветового окна						Верх./кор. и шир.
(a) Этот индекс не требуется для этого рабочего режима; значение составляет < 1.							
(b) Этот датчик не предназначен ни для транскраниального, ни для неонатального краниального применения.							
# Данный относительно этого режима работы нет, поскольку значение индекса глобального максимума отсутствует по указанной причине. (См. строку со значением индекса глобального максимума.)							
— Данные неприменимы к этому датчику/режиму.							

Таблица 49. Модель датчика: P10x Режим работы: непрерывно-волновой доплеровский режим

Метка индекса		MI	TIS		TIV		TIC
			На поверхности	Под поверхностью	На поверхности	Под поверхностью	На поверхности
Максимальное значение индекса		(a)	(a)		1,8		1,7
Значение компонента индекса			#	#	0,7	1,8	
Акустические параметры	$p_{r,\alpha}$ при z_{MI} (МПа)	#					
	P (мВт)		#		34,8		25,7
	$P_{T \times I}$ (мВт)		#		34,8		
	z_s (см)			#			
	z_b (см)					0,70	
	z_{MI} (см)	#					
	$z_{pii,\alpha}$ (см)	#					
	f_{awf} (МГц)	#	#		4,00		4,00
Другая информация	prr (Гц)	#					
	srr (Гц)	#					
	n_{pps}	#					
	$I_{pa,\alpha}$ при $z_{pii,\alpha}$ (Вт/см ²)	#					
	$I_{spta,\alpha}$ при $z_{pii,\alpha}$ или $z_{sij,\alpha}$ (мВт/см ²)	#					
	I_{spta} при z_{pii} или z_{sij} (мВт/см ²)	#					
p_r при z_{pii} (МПа)	#						
Элементы управления	Тип исследования				Crd		Crd
	Позиция контрольного объема				Зона 3		Зона 0

(a) Этот индекс не требуется для этого рабочего режима; значение составляет < 1.

(b) Этот датчик не предназначен ни для транскраниального, ни для неонатального краниального применения.

Данных относительно этого режима работы нет, поскольку значение индекса глобального максимума отсутствует по указанной причине. (См. строку со значением индекса глобального максимума.)

— Данные неприменимы к этому датчику/режиму.

Таблица 50. Модель датчика: P10x Режим работы: импульсно-волновой доплеровский режим

Метка индекса		MI	TIS		TIB		TIC
			На поверх-ности	Под поверх-ностью	На поверх-ности	Под поверх-ностью	На поверх-ности
Максимальное значение индекса		1,0	1,1		1,9		1,5
Значение компонента индекса			1,1	0,6	0,6	1,9	
Акустические параметры	$p_{r,\alpha}$ при z_{MI} (МПа)	1,92					
	P (мВт)		34,4		31,9		26,9
	P_{1x1} (мВт)		34,4		31,9		
	z_s (см)		1,4				
	z_b (см)				0,90		
	z_{MI} (см)	2,1					
	$z_{pii,\alpha}$ (см)	2,1					
	f_{awf} (МГц)	3,87	6,86		3,84		3,86
Другая информация	pr (Гц)	1562					
	srr (Гц)	—					
	n_{pps}	1					
	$I_{pa,\alpha}$ при $z_{pii,\alpha}$ (Вт/см ²)	200					
	$I_{spta,\alpha}$ при $z_{pii,\alpha}$ или $z_{sii,\alpha}$ (мВт/см ²)	400,0					
	I_{spta} при z_{pii} или z_{sii} (мВт/см ²)	729,9					
	p_r при z_{pii} (МПа)	2,54					
Элементы управления	Тип исследования	Crd	Crd		Abd		Crd
	Величина контрольного объема (мм)	1	7		12		1
	Позиция контрольного объема	Зона 2	Зона 6		Зона 1		Зона 0
	PRF (Гц)	1562	1008		1953		15 625
	TDI (Режим тканевой визуализации Doppler)	Выкл.	Вкл.		Выкл.		Выкл.

(а) Этот индекс не требуется для этого рабочего режима; значение составляет < 1.

(б) Этот датчик не предназначен ни для транскраниального, ни для неонатального краниального применения.

Данных относительно этого режима работы нет, поскольку значение индекса глобального максимума отсутствует по указанной причине. (См. строку со значением индекса глобального максимума.)

— Данные неприменимы к этому датчику/режиму.

Таблица 51. Модель датчика: rC60xi Режим работы: 2D (Двухмерный режим)

Метка индекса		MI	TIS		TIV		TIC
			На поверхности	Под поверхностью	На поверхности	Под поверхностью	На поверхности
Максимальное значение индекса		1,5	(a)		(a)		(b)
Значение компонента индекса			#	#	#	#	
Акустические параметры	$p_{r,\alpha}$ при z_{MI} (МПа)	2,31					
	P (мВт)		#		#		#
	P_{1x1} (мВт)		#		#		
	z_s (см)			—			
	z_b (см)					—	
	z_{MI} (см)	4,3					
	$z_{pii,\alpha}$ (см)	4,3					
	f_{awf} (МГц)	2,36	#		#		#
Другая информация	prr (Гц)	3584					
	srr (Гц)	28,0					
	n_{pps}	1					
	$I_{pa,\alpha}$ при $z_{pii,\alpha}$ (Вт/см ²)	356					
	$I_{spta,\alpha}$ при $z_{pii,\alpha}$ или $z_{sii,\alpha}$ (мВт/см ²)	24,1					
	I_{spta} при z_{pii} или z_{sii} (мВт/см ²)	44,9					
	p_r при z_{pii} (МПа)	3,29					
Элементы управления	Тип исследования	Abd					
	Оптимизация	Res					
	Глубина (см)	11					
	МВ (несколько лучей)	Выкл.					
	ТНІ	Вкл.					

(a) Этот индекс не требуется для этого рабочего режима; значение составляет < 1.

(b) Этот датчик не предназначен ни для транскраниального, ни для неонатального краниального применения.

Данных относительно этого режима работы нет, поскольку значение индекса глобального максимума отсутствует по указанной причине. (См. строку со значением индекса глобального максимума.)

— Данные неприменимы к этому датчику/режиму.

Таблица 52. Модель датчика: rC60xi Режим работы: M-режим

Метка индекса		MI	TIS		TIV		TIC
			На поверхности	Под поверхностью	На поверхности	Под поверхностью	На поверхности
Максимальное значение индекса		1,3	(a)		1,0		(b)
Значение компонента индекса			#	#	0,36	1,00	
Акустические параметры	$p_{r,\alpha}$ при z_{MI} (МПа)	2,18					
	P (мВт)		#		69,8		#
	P_{1x1} (мВт)		#		25,9		
	z_s (см)			#			
	z_b (см)					4,2	
	z_{MI} (см)	4,3					
	$z_{pii,\alpha}$ (см)	4,3					
Другая информация	f_{awf} (МГц)	2,66	#		2,89		#
	pr_r (Гц)	800					
	srr (Гц)	—					
	n_{pps}	1					
	$I_{pa,\alpha}$ при $z_{pii,\alpha}$ (Вт/см ²)	290					
	$I_{spta,\alpha}$ при $z_{pii,\alpha}$ или $z_{sii,\alpha}$ (мВт/см ²)	144,2					
	I_{spta} при z_{pii} или z_{sii} (мВт/см ²)	328,2					
Элементы управления	p_r при z_{pii} (МПа)	3,25					
	Тип исследования	Abd			Msk		
	Оптимизация	Pen			Pen		
	Глубина (см)	6,6			9,2		
	ТН1	Выкл.			Выкл.		

(a) Этот индекс не требуется для этого рабочего режима; значение составляет < 1.

(b) Этот датчик не предназначен ни для транскраниального, ни для неонатального краниального применения.

Данных относительно этого режима работы нет, поскольку значение индекса глобального максимума отсутствует по указанной причине. (См. строку со значением индекса глобального максимума.)

— Данные неприменимы к этому датчику/режиму.

Таблица 53. Модель датчика: rC60xi Режим работы: режим цветного картирования/CPD

Метка индекса		MI	TIS		TIB		TIC
			На поверх-ности	Под поверх-ностью	На поверх-ности	Под поверх-ностью	На поверх-ности
Максимальное значение индекса		1,5	1,2		1,2		(b)
Значение компонента индекса			1,2	1,2	1,2	1,2	
Акустические параметры	$p_{r,\alpha}$ при z_{MI} (МПа)	2,21					
	P (мВт)		185,8		185,8		#
	P_{1x1} (мВт)		107,5		107,5		
	z_s (см)			—			
	z_b (см)					—	
	z_{MI} (см)	4,3					
	$z_{pii,\alpha}$ (см)	4,3					
	f_{awf} (МГц)	2,22	2,21		2,21		#
Другая информация	pr (Гц)	1265					
	srr (Гц)	9,89					
	n_{pps}	1					
	$I_{pa,\alpha}$ при $z_{pii,\alpha}$ (Вт/см ²)	342					
	$I_{spta,\alpha}$ при $z_{pii,\alpha}$ или $z_{sij,\alpha}$ (мВт/см ²)	8,9					
	I_{spta} при z_{pii} или z_{sij} (мВт/см ²)	15,8					
p_r при z_{pii} (МПа)	3,07						
Элементы управления	Тип исследования	Abd	Abd		Abd		
	Режим	CVD	CVD		CVD		
	Двухмерная оптимизация/глубина (см)/THI	Gen/11/вкл.	Gen/4,7/выкл.		Gen/4,7/выкл.		
	Оптимизация цвета/PRF (Гц)	Низк./342	Выс./3125		Выс./3125		
	Положение/размер цветового окна	Низк./выс. и узк.	Низк./выс. и узк.		Низк./выс. и узк.		

(a) Этот индекс не требуется для этого рабочего режима; значение составляет < 1.

(b) Этот датчик не предназначен ни для транскраниального, ни для неонатального краниального применения.

Данных относительно этого режима работы нет, поскольку значение индекса глобального максимума отсутствует по указанной причине. (См. строку со значением индекса глобального максимума.)

— Данные неприменимы к этому датчику/режиму.

Таблица 54. Модель датчика: rC60xi Режим работы: импульсно-волновой доплеровский режим

Метка индекса		MI	TIS		TIB		TIC
			На поверхности	Под поверхностью	На поверхности	Под поверхностью	На поверхности
Максимальное значение индекса		1,2	2,0		4,0		(b)
Значение компонента индекса			0,7	2,0	0,8	4,0	
Акустические параметры	$p_{r,\alpha}$ при z_{MI} (МПа)	1,73					
	P (мВт)		386,5		291,8		#
	P_{1x1} (мВт)		67,5		74,2		
	z_s (см)		4,0				
	z_b (см)					3,6	
	z_{MI} (см)	4,5					
	$z_{pii,\alpha}$ (см)	4,5					
	f_{awf} (МГц)	2,2	2,23		2,23		#
Другая информация	pr (Гц)	1302					
	srr (Гц)	—					
	n_{pps}	1					
	$I_{pa,\alpha}$ при $z_{pii,\alpha}$ (Вт/см ²)	267					
	$I_{spta,\alpha}$ при $z_{pii,\alpha}$ или $z_{sii,\alpha}$ (мВт/см ²)	399,7					
	I_{spta} при z_{pii} или z_{sii} (мВт/см ²)	793,3					
	p_r при z_{pii} (МПа)	2,43					
Элементы управления	Тип исследования	Abd	Abd		Abd		
	Величина контрольного объема (мм)	3	7		7		
	Позиция контрольного объема	Зона 3	Зона 6		Зона 5		
	PRF (Гц)	1302	2604		2604		

(a) Этот индекс не требуется для этого рабочего режима; значение составляет < 1.

(b) Этот датчик не предназначен ни для транскраниального, ни для неонатального краниального применения.

Данных относительно этого режима работы нет, поскольку значение индекса глобального максимума отсутствует по указанной причине. (См. строку со значением индекса глобального максимума.)

— Данные неприменимы к этому датчику/режиму.

Таблица 55. Модель датчика: rP19x (для орбитальных исследований) Режим работы: 2D (Двухмерный режим)

Метка индекса		MI	TIS		TIV		TIC
			На поверхности	Под поверхностью	На поверхности	Под поверхностью	На поверхности
Максимальное значение индекса		0,17	0,03		0,03		0,07
Значение компонента индекса			0,03	0,03	0,03	0,03	
Акустические параметры	$p_{r,\alpha}$ при z_{MI} (МПа)	0,25					
	P (мВт)		4,4		4,4		4,7
	P_{1x1} (мВт)		2,9		2,9		
	z_s (см)			—			
	z_b (см)					—	
	z_{MI} (см)	3,4					
	$z_{pii,\alpha}$ (см)	3,4					
	f_{awf} (МГц)	2,06	2,06		2,06		1,90
Другая информация	pr (Гц)	6413					
	srr (Гц)	15,6					
	n_{pps}	1					
	$I_{pa,\alpha}$ при $z_{pii,\alpha}$ (Вт/см ²)	4,1					
	$I_{spta,\alpha}$ при $z_{pii,\alpha}$ или $z_{sij,\alpha}$ (мВт/см ²)	0,4					
	I_{spta} при z_{pii} или z_{sij} (мВт/см ²)	0,6					
	p_r при z_{pii} (МПа)	0,31					
Элементы управления	Тип исследования	Orb	Orb		Orb		Orb
	Оптимизация	Res	Res		Res		Gen
	Глубина (см)	4,7	4,7		4,7		16
	MB	Выкл.	Выкл.		Выкл.		Выкл.

(а) Этот индекс не требуется для этого рабочего режима; значение составляет < 1.

(б) Этот датчик не предназначен ни для транскраниального, ни для неонатального краниального применения.

Данных относительно этого режима работы нет, поскольку значение индекса глобального максимума отсутствует по указанной причине. (См. строку со значением индекса глобального максимума.)

— Данные неприменимы к этому датчику/режиму.

Таблица 56. Модель датчика: rP19x (для орбитальных исследований) Режим работы: М-режим

Метка индекса		MI	TIS		TIB		TIC
			На поверхности	Под поверхностью	На поверхности	Под поверхностью	На поверхности
Максимальное значение индекса		0,17	0,009		0,020		0,021
Значение компонента индекса			0,006	0,009	0,006	0,020	
Акустические параметры	$p_{r,\alpha}$ при z_{MI} (МПа)	0,25					
	P (мВт)		1,34		1,34		1,34
	P_{1x1} (мВт)		0,67		0,67		
	z_s (см)		2,5				
	z_b (см)				3,15		
	z_{MI} (см)	3,4					
	$z_{pii,\alpha}$ (см)	3,4					
	f_{awf} (МГц)	2,06	1,83		1,83		1,83
Другая информация	pr_r (Гц)	800					
	srr (Гц)	—					
	n_{pps}	1					
	$I_{pa,\alpha}$ при $z_{pii,\alpha}$ (Вт/см ²)	4,05					
	$I_{spta,\alpha}$ при $z_{pii,\alpha}$ или $z_{sii,\alpha}$ (мВт/см ²)	1,7					
	I_{spta} при z_{pii} или z_{sii} (мВт/см ²)	2,7					
	p_r при z_{pii} (МПа)	0,31					
Элементы управления	Тип исследования	Orb	Orb		Orb		Orb
	Оптимизация	Res	Gen		Gen		Gen
	Глубина (см)	4,7	35		35		35

(a) Этот индекс не требуется для этого рабочего режима; значение составляет < 1.

(b) Этот датчик не предназначен ни для транскраниального, ни для неонатального краниального применения.

Данных относительно этого режима работы нет, поскольку значение индекса глобального максимума отсутствует по указанной причине. (См. строку со значением индекса глобального максимума.)

— Данные неприменимы к этому датчику/режиму.

Таблица 57. Модель датчика: rP19x (для орбитальных исследований) Режим работы: режим цветного картирования/CPD

Метка индекса		MI	TIS		TIB		TIC
			На поверхности	Под поверхностью	На поверхности	Под поверхностью	На поверхности
Максимальное значение индекса		0,17	0,09		0,09		0,23
Значение компонента индекса			0,09	0,09	0,09	0,09	
Акустические параметры	$p_{r,\alpha}$ при z_{MI} (МПа)	0,25					
	P (мВт)		15,47		15,47		15,50
	P_{1x1} (мВт)		9,50		9,50		
	z_s (см)			—			
	z_b (см)					—	
	z_{MI} (см)	0,7					
	$z_{pii,\alpha}$ (см)	0,7					
	f_{awf} (МГц)	2,14	2,11		2,11		2,11
Другая информация	prr (Гц)	5443					
	srr (Гц)	15,9					
	n_{pps}	16					
	$I_{pa,\alpha}$ при $z_{pii,\alpha}$ (Вт/см ²)	1,82					
	$I_{spta,\alpha}$ при $z_{pii,\alpha}$ или $z_{sij,\alpha}$ (мВт/см ²)	3,2					
	I_{spta} при z_{pii} или z_{sij} (мВт/см ²)	3,5					
	p_r при z_{pii} (МПа)	0,26					
Элементы управления	Тип исследования	Orb	Orb		Orb		Orb
	Режим	CVD	CVD		CVD		CVD
	Двухмерная оптимизация/глубина (см)	Gen/4,7	Gen/24		Gen/24		Gen/24
	Оптимизация цвета/PRF (Гц)	Низк./1157	Низк./3125		Низк./3125		Низк./3125
	Положение/размер цветового окна	Станд./станд.	Верх./кор. и шир.		Верх./кор. и шир.		Верх./кор. и шир.

(а) Этот индекс не требуется для этого рабочего режима; значение составляет < 1.

(б) Этот датчик не предназначен ни для транскраниального, ни для неонатального краниального применения.

Данных относительно этого режима работы нет, поскольку значение индекса глобального максимума отсутствует по указанной причине. (См. строку со значением индекса глобального максимума.)

— Данные неприменимы к этому датчику/режиму.

Таблица 58. Модель датчика: rP19x (для орбитальных исследований) Режим работы: импульсно-волновой доплеровский режим

Метка индекса		MI	TIS		TIB		TIC
			На поверхности	Под поверхностью	На поверхности	Под поверхностью	На поверхности
Максимальное значение индекса		0,18	0,27		0,59		0,57
Значение компонента индекса			0,19	0,27	0,18	0,59	
Акустические параметры	$p_{r,\alpha}$ при z_{MI} (МПа)	0,27					
	P (мВт)		37,4		35,3		37,4
	P_{1x1} (мВт)		17,5		17,0		
	z_s (см)			2,5			
	z_b (см)					3,35	
	z_{MI} (см)	3,5					
	$z_{pii,\alpha}$ (см)	3,5					
	f_{awf} (МГц)	2,23	2,23		2,23		2,23
Другая информация	prr (Гц)	1953					
	srr (Гц)	—					
	n_{pps}	1					
	$I_{pa,\alpha}$ при $z_{pii,\alpha}$ (Вт/см ²)	2,49					
	$I_{spta,\alpha}$ при $z_{pii,\alpha}$ или $z_{sij,\alpha}$ (мВт/см ²)	28,9					
	I_{spta} при z_{pii} или z_{sij} (мВт/см ²)	69,3					
	p_r при z_{pii} (МПа)	0,36					
Элементы управления	Тип исследования	Orb	Orb		Orb		Orb
	Величина контрольного объема (мм)	5	14		14		14
	Позиция контрольного объема	Зона 6	Зона 7		Зона 5		Зона 7
	PRF (Гц)	1953	1953		1953		1953

(a) Этот индекс не требуется для этого рабочего режима; значение составляет < 1.

(b) Этот датчик не предназначен ни для транскраниального, ни для неонатального краниального применения.

Данных относительно этого режима работы нет, поскольку значение индекса глобального максимума отсутствует по указанной причине. (См. строку со значением индекса глобального максимума.)

— Данные неприменимы к этому датчику/режиму.

Таблица 59. Модель датчика: rP19x Режим работы: 2D (Двухмерный режим)

Метка индекса		MI	TIS		TIV		TIC
			На поверх-ности	Под поверх-ностью	На поверх-ности	Под поверх-ностью	На поверх-ности
Максимальное значение индекса		1,5	1,0		1,0		2,7
Значение компонента индекса			1,0	1,0	1,0	1,0	
Акустические параметры	$p_{r,\alpha}$ при z_{MI} (МПа)	2,1					
	P (мВт)		152,6		152,6		177,8
	P_{1x1} (мВт)		96,1		96,1		
	z_s (см)			—			
	z_b (см)					—	
	z_{MI} (см)	4,8					
	$z_{pii,\alpha}$ (см)	4,8					
	f_{awf} (МГц)	1,99	2,08		2,08		1,53
Другая информация	prr (Гц)	6186					
	srr (Гц)	48,3					
	n_{pps}	1					
	$I_{pa,\alpha}$ при $z_{pii,\alpha}$ (Вт/см ²)	184					
	$I_{spta,\alpha}$ при $z_{pii,\alpha}$ или $z_{sii,\alpha}$ (мВт/см ²)	25,4					
	I_{spta} при z_{pii} или z_{sii} (мВт/см ²)	38,6					
	p_r при z_{pii} (МПа)	2,92					
Элементы управления	Тип исследования	Abd	Crd		Crd		Crd
	Оптимизация	Gen	Res		Res		Pen
	Глубина (см)	10	10		10		4,7
	МВ/ТНІ	Выкл./выкл.	Выкл./вкл.		Выкл./вкл.		Выкл./вкл.
	Ширина сектора	Н/п	Узк.		Узк.		Н/п

(а) Этот индекс не требуется для этого рабочего режима; значение составляет < 1.

(b) Этот датчик не предназначен ни для транскраниального, ни для неонатального краниального применения.

Данных относительно этого режима работы нет, поскольку значение индекса глобального максимума отсутствует по указанной причине. (См. строку со значением индекса глобального максимума.)

— Данные неприменимы к этому датчику/режиму.

Таблица 60. Модель датчика: rP19x Режим работы: M-режим

Метка индекса		MI	TIS		TIB		TIC
			На поверх-ности	Под поверх-ностью	На поверх-ности	Под поверх-ностью	На поверх-ности
Максимальное значение индекса		1,5	(a)		1,7		1,0
Значение компонента индекса			#	#	0,2	1,7	
Акустические параметры	$p_{r,\alpha}$ при z_{MI} (МПа)	2,1					
	P (мВт)		#		55,0		62,1
	P_{1x1} (мВт)		#		28,5		
	z_s (см)			#			
	z_b (см)					4,33	
	z_{MI} (см)	4,8					
	$z_{pii,\alpha}$ (см)	4,8					
Другая информация	f_{awf} (МГц)	1,99	#		1,81		1,77
	prf (Гц)	800					
	srf (Гц)	—					
	n_{pps}	1					
	$I_{pa,\alpha}$ при $z_{pii,\alpha}$ (Вт/см ²)	184					
	$I_{spta,\alpha}$ при $z_{pii,\alpha}$ или $z_{sij,\alpha}$ (мВт/см ²)	73,5					
	I_{spta} при z_{pii} или z_{sij} (мВт/см ²)	140,8					
Элементы управления	p_r при z_{pii} (МПа)	2,92					
	Тип исследования	TCD			Abd		Abd
	Оптимизация	Gen			Res		Res
	Глубина (см)	7,5			10		16
	THI	Выкл.			Вкл.		Вкл.

(a) Этот индекс не требуется для этого рабочего режима; значение составляет < 1.

(b) Этот датчик не предназначен ни для транскраниального, ни для неонатального краниального применения.

Данных относительно этого режима работы нет, поскольку значение индекса глобального максимума отсутствует по указанной причине. (См. строку со значением индекса глобального максимума.)

— Данные неприменимы к этому датчику/режиму.

Таблица 61. Модель датчика: rP19x Режим работы: режим цветного картирования/CPD

Метка индекса		MI	TIS		TIV		TIC
			На поверх-ности	Под поверх-ностью	На поверх-ности	Под поверх-ностью	На поверх-ности
Максимальное значение индекса		1,5	1,2		1,2		2,5
Значение компонента индекса			1,2	1,2	1,2	1,2	
Акустические параметры	$p_{r,\alpha}$ при z_{MI} (МПа)	2,1					
	P (мВт)		128,0		128,0		170,5
	P_{1x1} (мВт)		115,6		115,6		
	z_s (см)			—			
	z_b (см)					—	
	z_{MI} (см)	4,8					
	$z_{pii,\alpha}$ (см)	4,8					
	f_{awf} (МГц)	1,99	2,14		2,14		2,12
Другая информация	p_{rr} (Гц)	505					
	s_{rr} (Гц)	7,9					
	n_{pps}	1					
	$I_{pa,\alpha}$ при $z_{pii,\alpha}$ (Вт/см ²)	184					
	$I_{spta,\alpha}$ при $z_{pii,\alpha}$ или $z_{sij,\alpha}$ (мВт/см ²)	2,1					
	I_{spta} при z_{pii} или z_{sij} (мВт/см ²)	3,2					
	p_r при z_{pii} (МПа)	2,92					
Элементы управления	Тип исследования	Abd	TCD		TCD		CrD
	Режим/THI	CVD/выкл.	CVD/выкл.		CVD/выкл.		CVD/вкл.
	Двухмерная оптимизация/глубина (см)/ширина сектора	Gen/10/н/п	Pen/7,5/н/п		Pen/7,5/н/п		Gen/16/узк.
	Оптимизация цвета/PRF (Гц)	Низк./300	Низк./3125		Низк./3125		Выс./5208
	Положение/размер цветового окна	Станд./станд.	Станд./узк.		Станд./узк.		Станд./станд.

(а) Этот индекс не требуется для этого рабочего режима; значение составляет < 1.

(б) Этот датчик не предназначен ни для транскраниального, ни для неонатального краниального применения.

Данных относительно этого режима работы нет, поскольку значение индекса глобального максимума отсутствует по указанной причине. (См. строку со значением индекса глобального максимума.)

— Данные неприменимы к этому датчику/режиму.

Таблица 62. Модель датчика: rP19x Режим работы: непрерывно-волновой доплеровский режим

Метка индекса	MI	TIS		TIB		TIC
		На поверхности	Под поверхностью	На поверхности	Под поверхностью	На поверхности
Максимальное значение индекса	(a)	1,2		4,0		4,0
Значение компонента индекса		1,2	1,1	1,2	4,0	
Акустические параметры	$p_{r,\alpha}$ при z_{MI} (МПа)	#				
	P (мВт)		125,4	125,4	125,4	125,4
	P_{1x1} (мВт)		125,4	125,4	125,4	
	z_s (см)			0,9		
	z_b (см)				0,9	
	z_{MI} (см)	#				
	$z_{pii,\alpha}$ (см)	#				
	f_{awf} (МГц)	#	2,00	2,00	2,00	2,00
Другая информация	pr_r (Гц)	#				
	srr (Гц)	#				
	n_{pps}	#				
	$I_{pa,\alpha}$ при $z_{pii,\alpha}$ (Вт/см ²)	#				
	$I_{spta,\alpha}$ при $z_{pii,\alpha}$ или $z_{sii,\alpha}$ (мВт/см ²)	#				
	I_{spta} при z_{pii} или z_{sii} (мВт/см ²)	#				
	p_r при z_{pii} (МПа)	#				
Элементы управления	Тип исследования		Crd	Crd	Crd	Crd
	Позиция контрольного объема		Зона 0	Зона 0	Зона 0	Зона 0

(a) Этот индекс не требуется для этого рабочего режима; значение составляет < 1.

(b) Этот датчик не предназначен ни для транскраниального, ни для неонатального краниального применения.

Данных относительно этого режима работы нет, поскольку значение индекса глобального максимума отсутствует по указанной причине. (См. строку со значением индекса глобального максимума.)

— Данные неприменимы к этому датчику/режиму.

Таблица 63. Модель датчика: rP19x Режим работы: импульсно-волновой доплеровский режим

Метка индекса		MI	TIS		TIV		TIC
			На поверхности	Под поверхностью	На поверхности	Под поверхностью	На поверхности
Максимальное значение индекса		1,3	1,8		4,0		3,9
Значение компонента индекса			1,3	1,8	1,2	4,0	
Акустические параметры	$p_{r,\alpha}$ при z_{MI} (МПа)	1,94					
	P (мВт)		253,7		240,2		251,1
	$P_{I \times I}$ (мВт)		118,6		116,0		
	z_s (см)			2,5			
	z_b (см)					3,35	
	z_{MI} (см)	3,0					
	$z_{pii,\alpha}$ (см)	3,0					
	f_{awf} (МГц)	2,14	2,23		2,23		2,10
Другая информация	prr (Гц)	1562					
	srr (Гц)	—					
	n_{pps}	1					
	$I_{pa,\alpha}$ при $z_{pii,\alpha}$ (Вт/см ²)	180					
	$I_{spta,\alpha}$ при $z_{pii,\alpha}$ или $z_{sij,\alpha}$ (мВт/см ²)	374,9					
	I_{spta} при z_{pii} или z_{sij} (мВт/см ²)	594,7					
p_r при z_{pii} (МПа)	2,42						
Элементы управления	Тип исследования	Crd	Crd		Crd		Crd
	Величина контрольного объема (мм)	1	12		1		1
	Позиция контрольного объема	Зона 1	Зона 7		Зона 5		Зона 5
	PRF (Гц)	1562	1562		39 062		39 062
	TDI (Режим тканевой визуализации Doppler)	Выкл.	Выкл.		Выкл.		Выкл.

(а) Этот индекс не требуется для этого рабочего режима; значение составляет < 1.

(б) Этот датчик не предназначен ни для транскраниального, ни для неонатального краниального применения.

Данные относительно этого режима работы нет, поскольку значение индекса глобального максимума отсутствует по указанной причине. (См. строку со значением индекса глобального максимума.)

— Данные неприменимы к этому датчику/режиму.

Таблица 64. Модель датчика: TEExi Режим работы: непрерывно-волновой доплеровский режим

Метка индекса		MI	TIS		TIB		TIC
			На поверхности	Под поверхностью	На поверхности	Под поверхностью	На поверхности
Максимальное значение индекса		(a)	(a)		1,7		(b)
Значение компонента индекса			#	#	0,7	1,7	
Акустические параметры	$p_{r,\alpha}$ при z_{MI} (МПа)	#					
	P (мВт)		#		34,4		#
	P_{1x1} (мВт)		#		34,4		
	z_s (см)			#			
	z_b (см)					1,10	
	z_{MI} (см)	#					
	$z_{pii,\alpha}$ (см)	#					
	f_{awf} (МГц)	#	#		4,00		#
Другая информация	pr_r (Гц)	#					
	srr (Гц)	#					
	n_{pps}	#					
	$I_{pa,\alpha}$ при $z_{pii,\alpha}$ (Вт/см ²)	#					
	$I_{spta,\alpha}$ при $z_{pii,\alpha}$ или $z_{sij,\alpha}$ (мВт/см ²)	#					
	I_{spta} при z_{pii} или z_{sij} (мВт/см ²)	#					
	p_r при z_{pii} (МПа)	#					
Элементы управления	Тип исследования				Crd		
	Контрольный объем				Зона 2		

(a) Этот индекс не требуется для этого рабочего режима; значение составляет < 1.

(b) Этот датчик не предназначен ни для транскраниального, ни для неонатального краниального применения.

Данных относительно этого режима работы нет, поскольку значение индекса глобального максимума отсутствует по указанной причине. (См. строку со значением индекса глобального максимума.)

— Данные неприменимы к этому датчику/режиму.

Таблица 65. Модель датчика: TEExi Режим работы: импульсно-волновой доплеровский режим

Метка индекса		MI	TIS		TIV		TIC
			На поверхности	Под поверхностью	На поверхности	Под поверхностью	На поверхности
Максимальное значение индекса		(a)	(a)		1,4		(b)
Значение компонента индекса			#	#	0,7	1,4	
Акустические параметры	$p_{r,\alpha}$ при z_{MI} (МПа)	#					
	P (мВт)		#		35,8		#
	$P_{I \times I}$ (мВт)		#		35,8		
	z_s (см)			#			
	z_b (см)					2,57	
	z_{MI} (см)	#					
	$z_{pii,\alpha}$ (см)	#					
	f_{awf} (МГц)	#	#		3,81		#
Другая информация	prr (Гц)	#					
	srr (Гц)	#					
	n_{pps}	#					
	$I_{pa,\alpha}$ при $z_{pii,\alpha}$ (Вт/см ²)	#					
	$I_{spta,\alpha}$ при $z_{pii,\alpha}$ или $z_{sii,\alpha}$ (мВт/см ²)	#					
	I_{spta} при z_{pii} или z_{sii} (мВт/см ²)	#					
	p_r при z_{pii} (МПа)	#					
Элементы управления	Тип исследования				Crd		
	Величина контрольного объема (мм)				1		
	Позиция контрольного объема				Зона 3		
	PRF (Гц)				2604		

(a) Этот индекс не требуется для этого рабочего режима; значение составляет < 1.

(b) Этот датчик не предназначен ни для транскраниального, ни для неонатального краниального применения.

Данных относительно этого режима работы нет, поскольку значение индекса глобального максимума отсутствует по указанной причине. (См. строку со значением индекса глобального максимума.)

— Данные неприменимы к этому датчику/режиму.

Термины, используемые в таблицах акустической мощности

Таблица 66. Термины, используемые в таблицах акустической мощности

Термин	Определение
α	Коэффициент затухания, использованный для снижения номинальной мощности. Соответствует 0,3 дБ/см/МГц ² .
f_{awf}	Акустическая рабочая частота.
$I_{pa,\alpha}$	Средняя интенсивность затухающего импульса.
I_{spta}	Пик-пространственная усредненная по времени интенсивность.
$I_{spta,\alpha}$	Пик-пространственная усредненная по времени интенсивность затухающего импульса.
MI	Механический индекс.
P	Генерируемая мощность.
P_{1x1}	Генерируемая мощность на единицу площади.
$p_{r,\alpha}$	Пиковое акустическое давление разрежения для затухающего импульса.
p_r	Пиковое акустическое давление разрежения.
PII	Интегральная функция интенсивности импульса.
$p_{ii,\alpha}$	Интегральная функция интенсивности затухающего импульса.
n_{pps}	Количество импульсов на одну линию ультразвукового сканирования.
prf	Частота повторения импульсов.
srf	Частота повторения сканирований.
TI	Тепловой индекс.
TIB	Тепловой индекс для кости.
TIC	Тепловой индекс для костей черепа.
TIS	Тепловой индекс для мягких тканей.
z_b	Глубина для TIB.
z_{MI}	Глубина для механического индекса.
z_{pii}	Глубина для пиковых значений интегральной функции интенсивности импульса.

Таблица 66. Термины, используемые в таблицах акустической мощности

Термин	Определение
$Z_{pii,\alpha}$	Глубина для пиковых значений интегральной функции интенсивности затухающего импульса.
Z_{sii}	Глубина для суммы пиковых значений интегральной функции интенсивности импульса.
$Z_{sii,\alpha}$	Глубина для суммы пиковых значений интегральной функции интенсивности затухающего импульса.
Z_s	Глубина для TIS.

Глоссарий (SonoSite Edge II)

Из перечня аббревиатур руководства пользователя системы SonoSite Edge II был удален термин «ТИМ»; изменения будут внесены при следующем обновлении.

SonoSite Edge II ve SonoSite SII Kullanıcı Kılavuzu Düzeltmesi

Giriş	566
Belge kuralları	566
Yardım Alma	566
Yardım Alma (SonoSite Edge II)	567
Başlarken	567
Kullanım amaçları	567
Sistem Ayarları	567
Bağlanabilirlik ayarları (SonoSite SII)	567
Bağlanabilirlik ayarları (SonoSite Edge II)	567
Ağ Durumu ayarları	568
Görüntüleme	568
Dönüştürücüye göre kullanılabilen görüntüleme modları ve muayeneler (SonoSite SII)	568
Ölçümler ve Hesaplamalar (SonoSite SII)	568
Genel hesaplamalar	568
Ölçüm Referansları (SonoSite SII)	569
Ölçüm doğruluğu	570
Ölçüm yayınları ve terminoloji	570
Temizlik ve Dezenfeksiyon	571
Güvenlik	571
Klinik güvenlik	571
Elektromanyetik uyumluluk	572
Kablosuz iletim	574
Kablosuz USB Program Kilidi (Panda)	574
Kablosuz ve Güvenlik Modülü (Laird)	574
Etiketleme sembolleri	585
Teknik Özellikler	592
Desteklenen dönüştürücüler (SonoSite SII)	592
Standartlar	593
Elektromekanik güvenlik standartları	593
Akustik çıktı	594
ALARA prensibi	594
ALARA prensibine uygun	594
Doğrudan kontroller	594
Çıktı göstergesi	595
İlişkili kılavuz belgeleri	595
Akustik çıktı ölçümü	595
Akustik çıktı tablolarında kullanılan terimler	654
Sözlük (SonoSite Edge II)	655

Giriş

Belge kuralları

Bu belgede şu kurallar uygulanır:

- ▶ **UYARI**, yaralanmayı veya yaşam kaybını önlemek için gereken önlemleri açıklar.
- ▶ **Dikkat**, ürünleri korumak için alınması gereken önlemleri açıklar.
- ▶ **Not**, ek bilgiler sağlar.
- ▶ Numaralandırılmış ve harflendirilmiş adımlar, belirli bir sırayla gerçekleştirilmelidir.
- ▶ Madde imli listeler, bilgileri liste halinde sunar, ancak belirli bir sıra ifade etmez.
- ▶ Tek adımlı prosedürler ❖ ile başlar.

Ürün üzerinde görülen etiketleme sembollerinin açıklaması için bkz. kullanıcı kılavuzundaki "Etiketleme Sembolleri".

Yardım Alma

Teknik destek için lütfen aşağıdaki numaraları arayarak FUJIFILM SonoSite'a başvurun:

Telefon (ABD veya Kanada)	+1-877-657-8118
Telefon (ABD veya Kanada dışı)	+1-425-951-1330 veya yerel temsilcinizi arayın
Faks	+1-425-951-6700
E-posta	ffss-service@fujifilm.com
Web	www.sonosite.com
Avrupa Servis Merkezi	Ana: +31 20 751 2020 İngilizce destek: +44 14 6234 1151 Fransızca destek: +33 1 8288 0702 Almanca destek: +49 69 8088 4030 İtalyanca destek: +39 02 9475 3655 İspanyolca destek: +34 91 123 8451
Asya Servis Merkezi	+65 6380-5581

ABD'de basılmıştır

Yardım Alma (SonoSite Edge II)

SonoSite Edge II sistem kullanıcı kılavuzunda aşağıdaki düzeltilmiştir; revizyon bir sonraki güncellemede yapılacaktır.

E-posta

ffss-service@fujifilm.com

Başlarken

Aşağıdaki içerik SonoSite Edge II ve SonoSite SII sistem kullanıcı kılavuzlarına dahil edilmemiştir ya da sistem kullanıcı kılavuzlarında yanlış; revizyonlar bir sonraki güncellemede yapılacaktır.

Kullanım amaçları

Prostat görüntüleme uygulamaları

Prostat ve çevreleyen anatomik yapılarda herhangi bir patolojinin bulunup bulunmadığını tespit etmek üzere değerlendirmeler yapabilirsiniz.

Yüzeysel görüntüleme uygulamaları

Memeyi, tiroidi, testisleri, lenf nodlarını, fıtıkları, kas ve iskelet sistemi yapılarını, yumuşak doku yapılarını, omurgayı, oftalmik yapıları ve çevreleyen anatomik yapıları herhangi bir patolojinin bulunup bulunmadığını tespit etmek amacıyla değerlendirebilirsiniz. Bu sistemi, biyopsi ve boşaltım prosedürleri, vasküler hat yerleşimi ve çevresel sinir tikanıklıkları için ultrasona rehberlik etmesi amacıyla kullanabilirsiniz.

Sistem Ayarları

Bağlanabilirlik ayarları (SonoSite SII)

SonoSite SII sistem kullanıcı kılavuzunda PDAS'ye yönelik tüm referanslar SiteLink olarak değiştirilmelidir; revizyon bir sonraki güncellemede yapılacaktır.

Bağlanabilirlik ayarları (SonoSite Edge II)

SonoSite Edge II sistem kullanıcı kılavuzunda aşağıdaki referans güncellenmiştir; revizyon bir sonraki güncellemede yapılacaktır.

Kablosuz bağlantıyı etkinleştirmek için

❖ Bkz. *Ağ Bağlantısı Kurulumu*.

Ağ Durumu ayarları

Network Status (Ağ Durumu) ekranınızda hatalı kablosuz cihaz mesajı görüntüleniyorsa, ağ şifrenizin süresi dolmuş olabilir. Kablosuz cihazınızı bağlamadan önce ağ şifrenizin güncel olduğundan emin olun.

Görüntüleme

C8x dönüştürücü hem SonoSite Edge II hem SonoSite SII sistemlerinde çalışabilen bir iğne kılavuzudur.

Dönüştürücüye göre kullanılabilen görüntüleme modları ve muayeneler (SonoSite SII)

Aşağıdaki dipnotlar **Tablo 4-5**'te yer almamaktadır. SonoSite SII sistem kullanıcı kılavuzunda **Dönüştürücüye göre kullanılan görüntüleme modları ve muayeneler**; revizyon bir sonraki güncellemede yapılacaktır.

^aMuayene türü kısaltmaları aşağıdaki gibidir: Abd = Abdomen, Art = Arteriyel, Bre = Meme, Crd = Kardiyak, Gyn = Jinekoloji, Msk = Kas ve İskelet, Neo = Neonatal, Nrv = Sinir, OB = Obstetrik, Oph = Oftalmik, Pro = Prostat, SmP = Küçük Organ, Spn = Omurga, Sup = Yüzeysel, Ven = Venöz.

^b2B için optimizasyon ayarları Res, Gen ve Pen'dir.

^cCPD ve Renkli için optimizasyon ayarları, seçilen ayara bağlı olarak Renkli için bir PRF ayar aralığıyla düşük, orta ve yüksektir (akış hassasiyeti).

Ölçümler ve Hesaplamalar (SonoSite SII)

Genel hesaplamalar

Hacim hesaplaması

UYARILAR


- ▶ Yanlış hesaplamaları önlemek için hasta bilgilerinin, tarih ve saat ayarlarının hatasız olduğundan emin olun.
- ▶ Yanlış teşhisten veya hasta sonucuna zarar vermektan kaçınmak için, yeni bir hasta muayenesi başlatmadan ve hesaplama yapmadan önce yeni bir hasta formu başlatın. Yeni bir hasta formunun başlatılması önceki hasta verilerini temizler. İlk olarak form temizlenmezse önceki hasta verileri geçerli hastayla birleştirilir.

Hacim hesaplaması üç 2B mesafe ölçümünden oluşur: D1, D2 ve D3. Tüm ölçümler kaydedildikten sonra, sonuç ekran üzerinde ve hasta raporunda görüntülenir.

Hacim hesaplaması aşağıdaki muayene türlerinde mevcuttur: Abdomen, Arter, Meme, Jinekoloji, Kas-İskelet, Sinir, Küçük Organlar, Venöz ve Yüzeysel.

Hacmi hesaplamak için

Ölçmeniz gereken her resim için aşağıdakini yapın:

- 1 Dondurulmuş bir 2B resim üzerinde, **Calcs** (Hesaplamalar) ögesine dokunun.
- 2 Almanız gereken her ölçüm için aşağıdakini yapın:
 - a Hesaplamalar menüsünden, **Volume** (Hacim) altından ölçüm adını seçin.
Bir Jinekoloji muayenesinde **Volume** (Hacim) kullanılamıyorsa, **Gyn'i** (Jinekoloji) seçin ve ardından **Volume**'ü (Hacim) seçin.
 - b Dokunmatik yüzeyi veya dokunmatik ekranı kullanarak pergelleri konumlandırın.
 - c Hesaplamayı kaydetmek için, **Save Calc** (Hesaplamayı Kaydet) ögesine dokunun.
Kaydedilen ölçümün yanında bir onay işareti belirir.
- 3 Bitmiş hesaplamanın bir resmini kaydetmek için,  ögesine dokunun.
- 4 Hesaplama dan çıkmak için, **Back** (Geri) ögesine dokunun.

Ölçüm Referansları (SonoSite SII)

Aşağıdaki bilgi SonoSite SII sistem kullanıcı kılavuzuna dahil edilmemiştir; revizyon bir sonraki güncellemede yapılacaktır.

Ölçüm doğruluğu

Tablo 1: M Modu Ölçüm ve Hesaplama Doğruluğu ve Aralığı

M Modu Ölçüm Doğruluğu ve Aralığı	Sistem Toleransı	Doğruluk	Test Yöntemi	Aralık
Uzaklık	< +/- %2 artı tam ölçeğin %1'i ^a	Edinim	Fantom ^b	0–26 cm
Süre	< +/- %2 artı tam ölçeğin %1'i ^c	Edinim	Fantom ^d	0,01–10 saniye
Kalp Atım Hızı	< +/- %2 artı % (Tam Ölçek ^c * Kalp Atım Hızı/100)	Edinim	Fantom ^d	5–923 bpm

^aUzaklık için tam ölçek, resmin maksimum derinliğini ifade eder.

^b0,7 dB/cm MHz atenuasyon değerine sahip RMI 413a modeli fantom kullanılmıştır.

^cZaman için tam ölçek, kaydırılan grafik resmin üzerinde görüntülenen toplam süreyi ifade eder.

^dFUJIFILM SonoSite Özel test cihazı kullanılmıştır.

Ölçüm yayınları ve terminoloji

Genel referanslar

Kalça Açısı/d:D Oranı

Morin, C., Harcke, H., MacEwen, G. "The Infant Hip: Real-Time US Assessment of Acetabular Development." *Radiology* 177: p.673-677, December 1985.

Alan Küçültme Yüzdesi

Zwiebel W. J., J. A. Zagzebski, A. B. Crummy, et al. "Correlation of peak Doppler frequency with lumen narrowing in carotid stenosis." *Stroke*, 3: (1982), p.386-391.

$$\text{Alan Küçültme \%} = [1 - A2(\text{cm}^2)/A1(\text{cm}^2)] * 100$$

bu denklemde: A1 = damarın cm kare olarak orijinal alanı

A2 = damarın cm kare olarak küçültülmüş alanı

Çap Küçültme Yüzdesi

Handa, Nobuo et al., "Echo-Doppler Velocimeter in the Diagnosis of Hypertensive Patients: The Renal Artery Doppler Technique," *Ultrasound in Medicine and Biology*, 12:12 (1986), p.945-952.

$$\text{Çap Küçültme \%} = [1 - D2(\text{cm})/D1(\text{cm})] * 100$$

bu denklemdede: D1 = damarın cm olarak orijinal çapı

D2 = damarın cm olarak küçültülmüş çapı

Temizlik ve Dezenfeksiyon

Aşağıdaki web sitesi SonoSite Edge II ve SonoSite SII kullanıcı kılavuzlarında düzeltilmiştir; revizyon bir sonraki güncellemede yapılacaktır.

www.sonosite.com/products/transducers

Aşağıdaki dipnot temizlik ve dezenfeksiyon tablolarında güncellenmiştir.

Onaylı temizleyicilerin ve dezenfektanların tam listesi için www.sonosite.com/support/cleaners-disinfectants adresindeki temizleyiciler ve dezenfeksiyon aracına bakın.

Güvenlik

Klinik güvenlik

Aşağıdaki uyarı SonoSite Edge II ve SonoSite SII kullanıcı kılavuzlarında güncellenmiştir; revizyon bir sonraki güncellemede yapılacaktır.

UYARI

FUJIFILM SonoSite, kendi ürettiği sistemlerin yakınlarında yüksek frekanslı (HF) elektromedikal cihazların kullanılmasını önermemektedir. FUJIFILM SonoSite ekipmanları, HF elektrocerrahi cihazları veya prosedürleri ile birlikte kullanım için onaylanmamıştır. FUJIFILM SonoSite sistemlerinin yakınlarında HF elektrocerrahi cihazlarının kullanılması sistemin anormal şekilde çalışmasına veya kapanmasına yol açabilir.

Yanma tehlikesi riskinden kaçınmak için, dönüştürücüyü HF cerrahi cihazlarla birlikte kullanmayın. HF cerrahi nötr elektrot bağlantısında bir bozukluk olduğu durumlarda bu tür bir tehlike ortaya çıkabilir.

Elektromanyetik uyumluluk

Ultrason sistemi, test edilmiş ve IEC 60601-1-2:2007 ile IEC 60601-1-2:2014 uyarınca tıbbi cihazlar için elektromanyetik uyumlulukla (EMC) uyumlu olduğu saptanmıştır. Ultrason sistemi, profesyonel sağlık hizmeti tesisi ortamlarında kullanıma uygundur. Aktif HF cerrahi ekipmanın ürettiği yüksek elektromanyetik bozulmalar, ultrason sisteminin çalışmasıyla etkileşimde bulunabilir. Ultrason sistemi, manyetik rezonans görüntülemenin bulunduğu, RF korumalı odalarda kullanılmamalıdır çünkü bu sistemin ürettiği yüksek elektromanyetik bozulmalar, ultrason sisteminin çalışmasıyla girişimde bulunabilir. Bu limitler tipik bir tıbbi kurulumda zararlı parazitlere karşı makul ölçüde bir koruma sağlamak amacıyla tasarlanmıştır.

Dikkat edilmesi gerekenler

- ▶ Medikal elektrikli cihazlar EMC ile ilgili özel önlemler gerektirir ve bu cihazların bu talimatlara uygun şekilde kurulmaları ve çalıştırılmaları gerekir. Taşınabilir RF iletişim ekipmanları (anten kabloları ve harici antenler gibi çevre birimleri dahil), FUJIFILM SonoSite tarafından belirtilmiş kablolar da dahil olmak üzere ultrason sisteminin herhangi bir parçasına 30 cm'den yakın şekilde kullanılmamalıdır. Taşınabilir ve mobil RF iletişim cihazları ultrason sistemini etkileyebilir. Diğer cihaz veya parazit kaynaklarından yayılan elektromanyetik parazitlerin (EMI) ultrason sisteminin performansının kesilmesine neden olması olasıdır. Bu kesilmenin belirtileri resim bozulması veya distorsiyonu, hatalı okumalar, cihazın çalışmayı durdurması veya diğer hatalı işlevleri içerebilir. Bu durum oluşursa, kesilmenin kaynağını belirlemek için alanı gözden geçirin ve kaynakları bertaraf etmek için aşağıdaki önlemleri alın.
 - ▶ Bozucu etkiyi oluşturan cihazı izole etmek için ultrason sisteminin yakınında bulunan cihazı açıp kapatın.
 - ▶ Parazit oluşturan cihazı başka yere yerleştirin veya yönünü değiştirin.
 - ▶ Parazit oluşturan cihaz ve ultrason sisteminiz arasındaki mesafeyi arttırın.
 - ▶ Ultrason sistemi frekanslarına yakın frekansların kullanımını düzenleyin.
 - ▶ EMI için yüksek derecede hassasiyeti olan cihazları kaldırın.
 - ▶ Tesis denetim sistemi dahilindeki iç kaynakların (çağrı sistemleri gibi) gücünü azaltın.
 - ▶ EMI'ye duyarlı cihazları etiketleyin.
 - ▶ Klinik personeli, potansiyel EMI-ilişkili sorunları tanımak üzere eğitin.
 - ▶ Teknik çözümler (koruyucu oluşturma gibi) uygulayarak EMI'yi ortadan kaldırın veya azaltın.
 - ▶ EMI açısından hassas cihazların bulunduğu alanlarda kişisel iletişim araçlarının (cep telefonu, bilgisayarlar) kullanımını sınırlandırın.
 - ▶ Özellikle EMI üretebilecek yeni cihaz alımlarını değerlendirirken ilgili EMI bilgilerini diğer meslektaşlarınızla paylaşın.
 - ▶ IEC 60601-1-2 EMC Standartları ile uyumlu medikal cihazlar satın alın.
- ▶ Ultrason sistemindeki diğer ekipmanları istifleme veya diğer ekipmanları ultrason sisteminin yakınında veya bitişiğinde kullanmayın. İstifleme veya diğer ekipmanların yakınında kullanımı engellenemiyorsa, normal çalışıyor olduğunu doğrulamak için sistemi gözlemeniz gerekir.

Not

SonoSite Edge II ve SII ultrason sistemlerinin emisyon özellikleri, bu sistemlerin endüstriyel alanlarda ve hastanelerde kullanılabilmesini mümkün kılar (CISPR 11 sınıf A). Ultrason sistemi (normalde CISPR 11 sınıf B'nin gerekliliği olduğu) bir yaşam alanında kullanılırsa radyo-frekans haberleşme servislerine karşı yeterli koruma sağlayabilir. Ekipmanı yeniden konumlandırma veya yeniden yönlendirme gibi hafifletme önlemlerinin alınması gerekebilir.

Kablosuz iletim

SonoSite Edge II ve SII ultrason sistemleri, iki kablosuz çözüm sunar.

- ▶ Kablosuz USB Program Kilidi (Panda), aşağıda belirtilen yerlerde bulunan USB girişine takılan küçük ve kablosuz bir adaptördür:
 - ▶ Edge II ultrason sisteminin sağ tarafı.
 - ▶ SII ultrason sisteminin üst arka tarafı.
- ▶ Kablosuz ve Güvenlik Modülü (Laird):
 - ▶ Edge II ultrason sisteminin kapağına monte edilen ve dik açılı bir USB kablosuyla sisteme takılan bir modüldür
 - ▶ SII ultrason sisteminin dönüştürücü tutucusu koluna monte edilen ve 30 santimetrelik USB kablosuyla sisteme takılan bir modüldür

Her birinin iletim bilgileri için aşağıdaki bilgilere göz atın.

Kablosuz USB Program Kilidi (Panda)

Kablosuz USB Program Kilidi, ülkenizdeki düzenlemeye bağlı olarak 2,412 ila 2,4835 GHz Endüstriyel, Bilimsel ve Medikal (ISM) frekans bant aralığı kullanmaktadır. Program kilidi, aşağıdaki iletim yöntemlerini uygulamaktadır:

- ▶ 19 dBm'de Doğrudan Sıralı Yaygın Spektrumlu (DSSS) IEEE 802.11b: Pik hız 54 Mbps, Pik yayılma: 27 Mbps
- ▶ 16 dBm'de Dikey Frekans Bölmeli Çoklama (OFDM) özellikli IEEE 802.11g Pik hız 54 Mbps, Pik yayılma: 27 Mbps
- ▶ 15 dBm'de Dikey Frekans Bölmeli Çoklama (OFDM) özellikli IEEE 802.11n
 - ▶ 1T1R. Pik hız: 150 Mbps, Pik yayılma: 90 Mbps
 - ▶ 1T2R. Pik hız: 300 Mbps, Pik yayılma: Rx 160 Mbps
 - ▶ 2T2R. Pik hız: 300 Mbps, Pik yayılma: Rx 260 Mbps

Kablosuz ve Güvenlik Modülü (Laird)

Kablosuz ve Güvenlik Modülü, 1,400 ila 2,4835 GHz ve 5,100 ila 5,800 GHz Endüstriyel, Bilimsel ve Medikal (ISM) frekans bant aralığı kullanmaktadır. Modül, dört farklı iletim yöntemi uygulamaktadır:

- ▶ 54 Mbps'de 11 dBm \pm 2 dBm değerinde Dikey Frekans Bölmeli Çoklama (OFDM) özellikli IEEE 802.11a
- ▶ 11 Mbps'de 16 dBm \pm 2,0 dBm değerinde Doğrudan Sıralı Yaygın Spektrumlu (DSSS) IEEE 802.11b
- ▶ 54 Mbps'de 13 dBm \pm 2,0 dBm değerinde Dikey Frekans Bölmeli Çoklama (OFDM) özellikli IEEE 802.11g
- ▶ MCS7'de 12 dBm \pm 2,0 dBm değerinde Dikey Frekans Bölmeli Çoklama (OFDM) özellikli IEEE 802.11n (802.11gn)

Uyumlu aksesuarlar ve çevre birimleri (SonoSite Edge II)

FUJIFILM SonoSite, SonoSite Edge II ultrason sistemini aşağıdaki aksesuarlar ve çevre birimleriyle test etmiş ve sistemin IEC 60601-1-2:2007 ve IEC 60601-1-2:2014 gereksinimlerine uygunluğunu göstermiştir.

FUJIFILM SonoSite Aksesuarlarını ve üçüncü taraf yan birimleri SonoSite Edge II ile birlikte kullanabilirsiniz.

UYARILAR

- ▶ Aksesuarların Edge ultrason sistemi dışındaki medikal sistemlerle kullanılması, medikal sistemde salımın artmasına veya korumanın azalmasına sebep olabilir.
- ▶ Belirtilenlerin dışındaki aksesuarların kullanılması, ultrason sistemde salımın artmasına veya korumanın azalmasına sebep olabilir.
- ▶ Ultrason sistemi, yaşam alanlarında kullanılmamalı ve herkese açık ağlara bağlanmamalıdır.

Tablo 2: Edge II ultrason sistemiyle uyumlu aksesuar ve yan birimler

Açıklama	Maksimum Kablo Uzunluğu
C8x dönüştürücü	1,8 m
C11x dönüştürücü	1,8 m
C35x dönüştürücü	1,7 m
rC60xi dönüştürücü standart/korumalı	1,7 m
HFL38xi dönüştürücü standart/korumalı	1,7 m
HFL50x dönüştürücü	1,7 m
HSL25x dönüştürücü	2,3 m
ICTx dönüştürücü	1,7 m
L25x dönüştürücü standart/korumalı	2,3 m
L38xi dönüştürücü standart/korumalı	1,7 m
L52x dönüştürücü ^a	2,4 m

Tablo 2: Edge II ultrason sistemiyle (devam) uyumlu aksesuar ve yan birimler

Açıklama	Maksimum Kablo Uzunluğu
P10x dönüştürücü	1,8 m
rP19x dönüştürücü standart/korumalı	1,8 m
TEExi dönüştürücü	2,2 m
Barkod tarayıcı	1,5 m
PowerPack için pil	—
Pil Paketi	—
Pil PowerPack	—
Siyah-beyaz yazıcı	—
Siyah-beyaz yazıcı güç kablosu	1 m
Renkli yazıcı	—
Renkli yazıcı güç kablosu	1 m
Renkli yazıcı video kablosu	1,8 m
EKG ucu kabloları	0,6 m
EKG modülü	1,8 m
EKG bağımlı kablo	2,4 m
SonoSite Edge II Dok	—
SonoSite Edge II Stant	—
Ayak şalteri	3 m
Petite fare	1,8 m
Güç kablosu (sistem)	3 m
DC kablolu güç kaynağı	2 m
Güç kaynağı AC kablosu	1 m
PowerPark	—
Üçlü Dönüştürücü Bağlantısı	—

Tablo 2: Edge II ultrason sistemiyle (devam) uyumlu aksesuar ve yan birimler

Açıklama	Maksimum Kablo Uzunluğu
USB kablosuz adaptörü	—

Dönüştürücüler için maksimum kablo uzunluğu kablo rakorları arasında ölçülür. Belirtilen uzunluk, aşağıdaki konumlardaki kablo uzunluklarını kapsamaz: gerginlik giderme kısımları altında, dönüştürücü muhafazası içinde ve dönüştürücü bağlantısı içinde.

^aL52x dönüştürücü sadece veterinerlik amaçlı kullanım içindir.

Uyumlu aksesuarlar ve çevre birimleri (SonoSite SII)

FUJIFILM SonoSite, SonoSite SII Ultrason Sistemini aşağıdaki aksesuarlar ve çevre birimleriyle test etmiş ve sistemin IEC 60601-1-2:2007 ve IEC 60601-1-2:2014 gereksinimlerine uygunluğunu göstermiştir.

SonoSite SII ultrason sistemiyle FUJIFILM SonoSite aksesuarlarını ve üçüncü taraf yan birimleri kullanabilirsiniz.

UYARILAR

- ▶ Aksesuarların SonoSite SII ultrason sistemi dışındaki medikal sistemlerle kullanılması, medikal sistemde salımın artmasına veya korumanın azalmasına sebep olabilir.
- ▶ Belirtilenlerin dışındaki aksesuarların kullanılması, ultrason sistemde salımın artmasına veya korumanın azalmasına sebep olabilir.

Tablo 3: SonoSite SII ultrason sistemiyle uyumlu aksesuar ve yan birimler

Açıklama	Maksimum Kablo Uzunluğu
C8x dönüştürücü	1,8 m
C11x dönüştürücü	1,8 m
C35x dönüştürücü	1,7 m
rC60xi dönüştürücü standart/korumalı	1,7 m
HFL38xi dönüştürücü standart/korumalı	1,7 m
HFL50x dönüştürücü	1,7 m
HSL25x dönüştürücü	2,3 m
ICTx dönüştürücü	1,7 m
L25x dönüştürücü standart/korumalı	2,3 m

Tablo 3: SonoSite SII ultrason sistemiyle uyumlu aksesuar ve yan birimler (devam)

Açıklama	Maksimum Kablo Uzunluğu
L38xi dönüştürücü standart/korumalı	1,7 m
L52x dönüştürücü	2,4 m
P10x dönüştürücü	1,8 m
rP19x dönüştürücü standart/korumalı	1,8 m
Barkod tarayıcı	1,5 m
PowerPack için pil	—
Pil Paketi	—
Pil PowerPack	—
Siyah-beyaz yazıcı	—
Siyah-beyaz yazıcı güç kablosu	1 m
Siyah-beyaz yazıcı kontrol kablosu	1,8 m
Siyah-beyaz yazıcı video kablosu	1,9 m
Ayak şalteri	3 m
Ayak şalteri USB uzatma kablosu	2 m
SonoSite SII Stant	—
Güç kablosu (sistem)	3 m
DC kablolu güç kaynağı	2 m
Güç kaynağı AC kablosu	1 m
PowerPark	—
USB kablolu adaptörü	—
USB bellek sürücüsü	—

Dönüştürücüler için maksimum kablo uzunluğu kablo rakorları arasında ölçülür. Belirtilen uzunluk, aşağıdaki konumlardaki kablo uzunluklarını kapsamaz: gerginlik giderme kısımları altında, dönüştürücü muhafazası içinde ve dönüştürücü bağlantısı içinde.

Üreticinin bildirisi

Bu belgedeki tablolar, sistemin kullanılması amaçlanan ortamı ve EMC uygunluk seviyelerini belgelemektedir. Maksimum performans için, sistemin bu tabloda tanımlanan ortamlarda kullanıldığından emin olun.

Sistem, aşağıda belirlenen elektromanyetik ortamda kullanım için tasarlanmıştır.

Tablo 4: Üretici Beyanı - IEC 60601-1-2:2007 ve IEC 60601-1-2:2014 uyarınca Elektromanyetik Emisyonlar

Salımlar Testi	Uygunluk	Elektromanyetik Ortam
RF emisyonları CISPR 11	1. Grup	Edge II ve SII ultrason sistemleri, iç işlevleri için yalnızca RF enerjisi kullanır. Bu nedenle, RF emisyonları çok düşük olup yakındaki elektronik aletlerde parazit yaratma olasılığı yoktur.
RF emisyonları CISPR 11	A Sınıfı	Edge II ve SII ultrason sistemleri, yaşam konutları ve bu amaçla kullanılan binalara enerji sağlayan düşük voltajlı halk elektrik şebekesine doğrudan bağlı yapılar dışında, tüm kuruluşlarda kullanıma uygundur.
Harmonik emisyonlar IEC 61000-3-2	A Sınıfı	
Voltaj iniş çıkış/titreme emisyonları IEC 61000-3-3	Uyumludur	

Sistem, aşağıda belirlenen elektromanyetik ortamda kullanım için tasarlanmıştır.


Tablo 5: Üretici Beyanı - IEC 60601-1-2:2007 uyarınca Elektromanyetik Bağışıklık

Bağışıklık Testi	IEC 60601 Test Seviyesi	Uygunluk Seviyesi	Elektromanyetik Ortam
Elektrostatik Boşalım (ESD) IEC 61000-4-2	$\pm 2,0$ KV, $\pm 4,0$ KV, $\pm 6,0$ KV kontakt $\pm 2,0$ KV, $\pm 4,0$ KV, $\pm 8,0$ KV hava	$\pm 2,0$ KV, $\pm 4,0$ KV, $\pm 6,0$ KV kontakt $\pm 2,0$ KV, $\pm 4,0$ KV, $\pm 8,0$ KV hava	Zemin, tahta, beton ya da seramik döşeme olmalıdır. Zemin sentetik malzemeye kaplıysa, bağıl nem en az %30 olmalıdır.
Elektriksel hızlı geçici rejim patlama IEC 61000-4-4	± 2 KV ana elektrik şebekesi üzerinde ± 1 KV sinyal hatları üzerinde	± 2 KV ana elektrik şebekesi üzerinde ± 1 KV sinyal hatları üzerinde	Ana hat elektrik kalitesi, tipik bir ticari ortama ya da hastane ortamına uygun olmalıdır.

Tablo 5: Üretici Beyanı - IEC 60601-1-2:2007 uyarınca Elektromanyetik Bağışıklık

Bağışıklık Testi	IEC 60601 Test Seviyesi	Uygunluk Seviyesi	Elektromanyetik Ortam
Gerilim Dalgalanması IEC 61000-4-5	Hat(lar) arası ± 1 KV Hat(lar)-toprak arası ± 2 KV	Hat(lar) arası ± 1 KV Hat(lar)-toprak arası ± 2 KV	Ana hat elektrik kalitesi, tipik bir ticari ortama ya da hastane ortamına uygun olmalıdır.
Elektrik kaynağı giriş hatlarında voltaj düşüşleri, kısa kesintiler ve voltaj değişimleri IEC 61000-4-11	$< \%5 U_T$ (U_T 'da $> \%95$ düşüş) 0,5 devir için $\%40 U_T$ 5 devir için (U_T 'da $\%60$ düşüş) $\%70 U_T$ 25 devir için (U_T 'da $\%30$ düşüş) $< \%5 U_T$ 5 s için (U_T 'da $> \%95$ düşüş)	$< \%5 U_T$ (U_T 'da $> \%95$ düşüş) 0,5 devir için $\%40 U_T$ 5 devir için (U_T 'da $\%60$ düşüş) 25 devir için $\%70 U_T$ (U_T 'da $\%30$ düşüş) $< \%5 U_T$ 5 s için (U_T 'da $> \%95$ düşüş)	Ana hat elektrik kalitesi, tipik bir ticari ortama ya da hastane ortamına uygun olmalıdır. FUJIFILM SonoSite ultrason sisteminin kullanıcıya devam etmek isterse, FUJIFILM SonoSite ultrason sisteminin kesintisiz bir güç kaynağından ya da pilden güç alarak çalıştırılması önerilir.
Güç Frekansı Manyetik Alanı IEC 61000-4-8	3 A/m	3 A/m	Resimde bozulma oluşursa, FUJIFILM SonoSite ultrason sisteminin güç frekansı manyetik alanlarından daha uzağa yerleştirilmesi veya manyetik bir koruyucu kurulması gerekebilir. Güç frekansı manyetik alanının, yeterli derecede düşük olduğundan emin olmak için kullanımı amaçlanan ayarlar bölgelerinde ölçülmesi gerekmektedir.
İletilen RF IEC 61000-4-6	3 Vrms 150 kHz ila 80 MHz	3 Vrms	Taşınır ve gezer RF iletişim donanımı, kablolar dahil FUJIFILM SonoSite ultrason sisteminin hiçbir parçasının, vericinin frekansına uygun denkleme hesaplanmış, önerilen ayırma mesafesinden daha yakınında kullanılmamalıdır. Önerilen Ayırma Mesafesi $d = 1,2 \sqrt{P}$


Tablo 5: Üretici Beyanı - IEC 60601-1-2:2007 uyarınca Elektromanyetik Bağışıklık

Bağışıklık Testi	IEC 60601 Test Seviyesi	Uygunluk Seviyesi	Elektromanyetik Ortam
Yayılan RF IEC 61000-4-3	3 V/m 80 MHz ila 2,5 GHz	3 V/m 80 MHz ila 2,5 GHz	<p>$d = 1,2 \sqrt{P}$ 80 MHz ila 800 MHz $d = 2,3 \sqrt{P}$ 800 MHz ila 2,5 GHz</p> <p>Burada P, vericinin üreticisine göre, vericinin Vat (10) olarak maksimum çıkış derecesi ve metre (m) olarak önerilen ara uzaklıktır.</p> <p>Elektromanyetik alan ölçümüyle^a belirlendiği gibi, sabit RF vericilerinin alan güçleri, her frekans aralığındaki^b uyum düzeyinden daha az olmalıdır. Şu sembolle işaretli donanımın yakınında parazit oluşabilir:</p>  <p>(IEC 60417 No. 417-IEC-5140: "İyonlaşmayan radyasyon kaynağı")</p>
Not	<p>U_T Test seviyesinin uygulanmasından önceki AC elektrik şebekesi voltajıdır. 80 MHz ve 800 MHz'de daha yüksek frekans aralığı uygulanır. Bu ilkeler her durum için geçerli olmayabilir. Elektromanyetik yayılım, yapılar, eşyalar ve insanlar aracılığıyla oluşan yansıma ve emmeden etkilenir.</p> <p>a. Radyo telefonları (cep veya telsiz) ve gezer kara radyoları, amatör radyo, AM ve FM radyo yayın ve TV yayın istasyonları gibi sabit vericilerin alan güçleri teorik olarak doğru tahmin edilemez. Sabit RF vericileri kaynaklı elektromanyetik çevreyi ölçmek için, bir elektromanyetik alan ölçümü yapma seçeneği değerlendirilmelidir. FUJIFILM SonoSite ultrason sisteminin kullanıldığı yerde ölçülen alan gücü yukarıdaki geçerli RF uyum düzeylerini geçerse, FUJIFILM SonoSite ultrason sisteminin çalışmasının normal olduğu, gözlemlenerek kontrol edilmelidir. Anormal performans görülürse, FUJIFILM SonoSite ultrason sisteminin yönünün ya da yerinin değiştirilmesi gibi ek önlemler alınması gerekebilir.</p> <p>b. 150 kHz ila 80 MHz frekans aralığının üzerindeki alan güçleri, 3 V/m değerinden daha az olmalıdır.</p>		

Tablo 6: Üretici Beyanı - IEC 60601-1-2:2014 uyarınca Elektromanyetik Bağışıklık

Bağışıklık Testi	IEC 60601 Test Seviyesi	Uygunluk Seviyesi	Elektromanyetik Ortam
Elektrostatik Boşalım (ESD) IEC 61000-4-2	$\pm 8,0$ KV, temas $\pm 2,0$ KV, $\pm 4,0$ KV, $\pm 8,0$ KV hava, ± 15 KV	$\pm 8,0$ KV, $\pm 4,0$ KV, $\pm 8,0$ KV hava, ± 15 KV	Zemin, tahta, beton ya da seramik döşeme olmalıdır. Zemin sentetik malzemeyle kaplıysa, bağıl nem en az %30 olmalıdır.
Elektriksel hızlı geçici rejim patlama IEC 61000-4-4	± 2 KV ana elektrik şebekesi üzerinde ± 1 KV sinyal hatları üzerinde	± 2 KV ana elektrik şebekesi üzerinde ± 1 KV sinyal hatları üzerinde	Ana hat elektrik kalitesi, tipik bir ticari ortama ya da hastane ortamına uygun olmalıdır.
Gerilim Dalgalanması IEC 61000-4-5	Hat(lar) arası ± 1 KV Hat(lar)-toprak arası ± 2 KV	Hat(lar) arası ± 1 KV Hat(lar)-toprak arası ± 2 KV	Ana hat elektrik kalitesi, tipik bir ticari ortama ya da hastane ortamına uygun olmalıdır.
Elektrik kaynağı giriş hatlarında voltaj düşüşleri, kısa kesintiler ve voltaj değişimleri IEC 61000-4-11	0,5 devir için %0 U_T 5 devir için %0 U_T %70 U_T (500 msec için %30 batırılmış U_T) < %5 U_T 5 s için (U_T 'da > %95 düşüş)	0,5 devir için %0 U_T 5 devir için %0 U_T 500 msec için %70 U_T (%30 batırılmış U_T) < %5 U_T 5 s için (U_T 'da > %95 düşüş)	Ana hat elektrik kalitesi, tipik bir ticari ortama ya da hastane ortamına uygun olmalıdır. FUJIFILM SonoSite ultrason sisteminin kullanıcısı ana hat kesintisi sırasında çalışmaya devam etmek isterse, FUJIFILM SonoSite ultrason sisteminin kesintisiz bir güç kaynağından ya da pilden güç alarak çalıştırılması önerilir.
Güç Frekansı Manyetik Alanı IEC 61000-4-8	30 A/m	30 A/m	Resimde bozulma oluşursa, FUJIFILM SonoSite ultrason sisteminin güç frekansı manyetik alanlarından daha uzağa yerleştirilmesi veya manyetik bir koruyucu kurulması gerekebilir. Güç frekansı manyetik alanının, yeterli derecede düşük olduğundan emin olmak için kullanımı amaçlanan ayarlar bölgelerinde ölçülmesi gerekmektedir.

Tablo 6: Üretici Beyanı - IEC 60601-1-2:2014 uyarınca Elektromanyetik Bağışıklık

Bağışıklık Testi	IEC 60601 Test Seviyesi	Uygunluk Seviyesi	Elektromanyetik Ortam
İletilen RF IEC 61000-4-6	3 Vrms 150 kHz ila 80 MHz ISM bantlarında 6 Vrms	3 Vrms ISM bantlarında 6 Vrms	Taşınır ve gezer RF iletişim donanımı, kablolar dahil FUJIFILM SonoSite ultrason sisteminin hiçbir parçasının, vericinin frekansına uygun denklemlerle hesaplanmış, önerilen ayırma mesafesinden daha yakınında kullanılmamalıdır. Önerilen Ayırma Mesafesi $d = 1,2 \sqrt{P}$
Yayılan RF IEC 61000-4-3	3 V/m 80 MHz–2,7 GHz	3 V/m 80 MHz–2,7 GHz	$d = 1,2 \sqrt{P}$ 80 MHz ila 800 MHz $d = 2,3 \sqrt{P}$ 800 MHz ila 2,5 GHz Burada P , vericinin üreticisine göre, vericinin Vat (10) olarak maksimum çıkış derecesi ve metre (m) olarak önerilen ara uzaklıktır. Elektromanyetik alan ölçümüyle ^a belirlendiği gibi, sabit RF vericilerinin alan güçleri, her frekans aralığındaki ^b uyum düzeyinden daha az olmalıdır. Şu sembolle işaretli donanımın yakınında parazit oluşabilir:  (IEC 60417 No. 417-IEC-5140: "İyonlaşmayan radyasyon kaynağı")
Kablosuz iletişim ekipmanlarından yakınlık alanları	60601-1-2:2014, Tablo 9 uyarınca	60601-1-2:2014, Tablo 9 uyarınca	
Not	U ₇ Test seviyesinin uygulanmasından önceki AC elektrik şebekesi voltajıdır. 80 MHz ve 800 MHz'de daha yüksek frekans aralığı uygulanır. Bu ilkeler her durum için geçerli olmayabilir. Elektromanyetik yayılım, yapılar, eşyalar ve insanlar aracılığıyla oluşan yansıma ve emmeden etkilenir.		

Tablo 6: Üretici Beyanı - IEC 60601-1-2:2014 uyarınca Elektromanyetik Bağışıklık

Bağışıklık Testi	IEC 60601 Test Seviyesi	Uygunluk Seviyesi	Elektromanyetik Ortam
<p>a. Radyo telefonları (cep veya telsiz) ve gezer kara radyoları, amatör radyo, AM ve FM radyo yayın ve TV yayın istasyonları gibi sabit vericilerin alan güçleri teorik olarak doğru tahmin edilemez. Sabit RF vericileri kaynaklı elektromanyetik çevreyi ölçmek için, bir elektromanyetik alan ölçümü yapma seçeneği değerlendirilmelidir. FUJIFILM SonoSite ultrason sisteminin kullanıldığı yerde ölçülen alan gücü yukarıdaki geçerli RF uyum düzeylerini geçerse, FUJIFILM SonoSite ultrason sisteminin çalışmasının normal olduğu, gözlemlenerek kontrol edilmelidir. Anormal performans görülürse, FUJIFILM SonoSite ultrason sisteminin yönünün ya da yerinin değiştirilmesi gibi ek önlemler alınması gerekebilir.</p> <p>b. 150 kHz ila 80 MHz frekans aralığının üzerindeki alan güçleri, 3 V/m değerinden daha az olmalıdır.</p>			

FCC Uyarısı: Bu cihaz test edilmiş ve FCC kurallarının 15. bölümüne göre A sınıfı dijital cihaz limitlerine uygun bulunmuştur. Bu limitler, ekipman ticari bir ortamda çalıştırıldığında zararlı parazitlere karşı makul ölçüde bir koruma sağlamak amacıyla tasarlanmıştır. Bu cihaz radyo frekans enerjisi üretir, kullanır ve yayabilir. Talimatlar kılavuzuna uygun şekilde kurulum kullanılmadığı takdirde, radyo iletişimi açısından zararlı girişime yol açabilir. Bu ekipmanın yaşam alanında kullanılması zararlı parazitlere neden olabilir. Bu durumda, kullanıcının paraziti masrafları kendisine ait olmak üzere düzeltilmesi gerekir.

Uyumlu aksesuarlar ve çevre birimleri




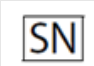
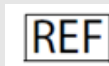
Aşağıdaki uyarı SonoSite Edge II ve SonoSite SII kullanıcı kılavuzlarına eklenmiştir; revizyon bir sonraki güncellemede yapılacaktır.

UYARI







Sisteme çevre birimleri bağlanmışsa, sistemin ve çevre birimlerinin aynı AC Şebeke branşman devresine bağlandığından emin olun.

Etiketleme sembolleri





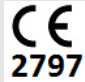

Tablo 7: Standart etiketleme sembolleri

Sembol	Başlık	Standart geliştirme kurumu	Referans numarası	Açıklama
	Üretici	ISO 15223-1:2016 Tıbbi cihazlar – tıbbi cihaz etiketlerinde kullanılacak semboller, etiketleme ve eklenecek bilgiler – Bölüm 1: Genel gereklilikler	5.1.1	AB direktifleri 90/385/EEC, 93/42/EEC ve 98/79/EC uyarınca tıbbi cihaz üreticisini belirtir
	İyonlaştırıcı olmayan elektromanyetik radyasyon	IEC 60601-1-2:2007 Tıbbi Elektrikli Cihaz Bölüm 1-2: Temel güvenlik ve temel performans için genel gereklilikler – tamamlayıcı standart: elektromanyetik uyumluluk	5.1.1	Genellikle yüksek, potansiyel olarak tehlikeli iyonlaştırıcı olmayan radyasyon seviyelerini gösterir ya da radyo frekansı vericileri içeren veya bilinçli olarak teşhis veya tedavi amaçlı radyo frekanslı elektromanyetik enerji uygulayan ekipman veya sistemleri örn. elektrikli tıbbi alanda göstermek için
	Avrupa topluluğu yetkili temsilcisi	ISO 15223-1 Tıbbi cihazlar - tıbbi cihaz etiketlerinde kullanılacak semboller, etiketleme ve sağlanacak bilgiler.	5.1.2	Avrupa Topluluğundaki Yetkili temsilciyi belirtir
	Seri numarası	ISO 15223-1:2016 Tıbbi cihazlar – tıbbi cihaz etiketlerinde kullanılacak semboller, etiketleme ve eklenecek bilgiler – Bölüm 1: Genel gereklilikler	5.1.7	Belirli bir tıbbi cihazın tanınabilmesini sağlamak üzere üreticinin seri numarasını belirtir
	Katalog numarası	ISO 15223-1:2016 Tıbbi cihazlar – tıbbi cihaz etiketlerinde kullanılacak semboller, etiketleme ve eklenecek bilgiler – Bölüm 1: Genel gereklilikler	5.1.6	Tıbbi cihazın tanınabilmesini sağlamak için üreticinin katalog numarasını belirtir








Tablo 7: Standart etiketleme sembolleri (devam)

Sembol	Başlık	Standart geliştirme kurumu	Referans numarası	Açıklama
	Dikkat	ISO 15223-1:2016 Tıbbi cihazlar – tıbbi cihaz etiketlerinde kullanılacak semboller, etiketleme ve eklenecek bilgiler – Bölüm 1: Genel gereklilikler	5.4.4	Kullanıcının, çeşitli sebeplerden dolayı tıbbi cihazın üzerinde yer alamayacak uyarılar ve önlemler gibi ikaz niteliğindeki önemli talimatlara başvurması gerektiğini belirtir
	Kolay kırılabilir dikkatli taşıyın	ISO 15223-1:2016 Tıbbi cihazlar – tıbbi cihaz etiketlerinde kullanılacak semboller, etiketleme ve eklenecek bilgiler – Bölüm 1: Genel gereklilikler	5.3.1	Cihazın dikkatli taşınmazsa kırılabileceğini veya zarar görebileceğini belirtir
	Kuru yerde saklayın	ISO 15223-1:2016 Tıbbi cihazlar – tıbbi cihaz etiketlerinde kullanılacak semboller, etiketleme ve eklenecek bilgiler – Bölüm 1: Genel gereklilikler	5.3.4	Tıbbi cihazın nemden korunması gerektiğini belirtir
	Sıcaklık limiti	ISO 15223-1:2016 Tıbbi cihazlar – tıbbi cihaz etiketlerinde kullanılacak semboller, etiketleme ve eklenecek bilgiler – Bölüm 1: Genel gereklilikler	5.3.7	Tıbbi cihazın güvenli olarak maruz bırakılabileceği sıcaklık limitlerini belirtir
	Atmosferik basınç sınırlamaları	ISO 15223-1:2016 Tıbbi cihazlar – tıbbi cihaz etiketlerinde kullanılacak semboller, etiketleme ve eklenecek bilgiler – Bölüm 1: Genel gereklilikler	5.3.9	Tıbbi cihazın güvenli olarak maruz bırakılabileceği atmosferik basıncı belirtir
	Nem sınırlaması	ISO 15223-1:2016 Tıbbi cihazlar – tıbbi cihaz etiketlerinde kullanılacak semboller, etiketleme ve eklenecek bilgiler – Bölüm 1: Genel gereklilikler	5.3.8	Tıbbi cihazın güvenli olarak maruz bırakılabileceği nem aralığını belirtir









Tablo 7: Standart etiketleme sembolleri (devam)

Sembol	Başlık	Standart geliştirme kurumu	Referans numarası	Açıklama
IPX7	Muhafazanın sağladığı giriş koruma derecesi	IEC 60601-1 Elektrikli tıbbi ekipman Bölüm 1: Temel güvenlik ve temel performans için genel gereklilikler	D.3	Geçici batırmanın etkilerine karşı korunmuştur
	Kullanım kılavuzuna/kitapçığına başvurun	IEC 60601-1 Tıbbi elektrikli cihaz Bölüm 1: Temel güvenlik ve temel performans için genel gereklilikler	D.2-10	Kullanım talimatlarını uygulayın (IEC 60601-1 uyarınca kullanılır)
	Kullanım talimatlarını uygulayın	ISO 15223-1:2016 Tıbbi cihazlar – tıbbi cihaz etiketlerinde kullanılacak semboller, etiketleme ve eklenecek bilgiler – Bölüm 1: Genel gereklilikler	5.4.3	Kullanıcının talimatlara başvurması gerektiğini belirtir.
	Alternatif akım	ISO 7000 / IEC 60417 Ekipman üzerinde kullanılan grafik semboller	5032	Uygun terminaleri belirlemek için, anma değerleri plakasında, ekipmanın yalnızca alternatif akıma uygun olduğunu gösterir
	CE işareti	Konsey Yönetmeliği 93/42/EEC	Madde 17 Ek XII	Avrupa Teknik Uyumluluğunu belirtir
	Conformité Européene Onaylanmış Kuruluş Referans No.: 2797	Konsey Yönetmeliği 93/42/EEC	Madde 17 Ek XII	Ek II, IV, V ve VI'da belirtilen prosedürlerin yürürlüğe geçirilmesinden sorumlu onaylanmış kuruluşun Avrupa teknik uyumluluğunu ve kimliğini belirtir.
	Tehlikeli voltaj	ISO 7000 / IEC 60417 Ekipman üzerinde kullanılan grafik semboller	5036	Tehlikeli voltajdan kaynaklanan riskleri belirtir

Tablo 7: Standart etiketleme sembolleri (devam)

Sembol	Başlık	Standart geliştirme kurumu	Referans numarası	Açıklama
	İstifleme Sayı Limiti	ISO 7000 / IEC 60417 Ekipman üzerinde kullanılan grafik semboller	2403	Belirten sayıda öğeden daha fazla öğenin dikey olarak istiflenemeyeceğini belirtir
	Dikkat sıcak	ISO 7000 / IEC 60417 Ekipman üzerinde kullanılan grafik semboller	5041	İşaretili öğenin sıcak olabileceğini ve bu öğeye dokunulurken dikkat edilmesi gerektiğini gösterir
	Dikkat, statik manyetik alan tehlikesi	ISO 7000 / IEC 60417 Ekipman üzerinde kullanılan grafik semboller	6204	Kurulumdaki tehlikeli olabilecek statik manyetik alanların ve güçlerin bulunduğu bölgeleri belirtir
	Tip BF uygulanmış parçalar	IEC 60601-1 Tıbbi elektrikli cihaz Bölüm 1: Temel güvenlik ve temel performans için genel gereklilikler	D.2-10	IEC 60601-1 ile uyumlu tip BF uygulamalı parçayı belirtir
	Defibrilasyona tip CF uygulanmış parça	IEC 60601-1 Elektrikli tıbbi ekipman Bölüm 1: Temel güvenlik ve temel performans için genel gereklilikler	D.1-27	IEC 60601-1 ile uyumlu defibrilasyona dayanıklı tip CF uygulanmış parçayı belirtir
	Elektrostatik duyarlı cihaz	IEC 60417:2002 Ekipman Üzerinde Kullanılan Grafik Semboller	5134	Elektrostatik duyarlı cihazları içeren paketleri gösterir veya elektrostatik boşalığa bağlılık testi yapılmamış bir cihazı veya konektörü belirtir
	Düzenleme Uygunluk İşareti (RCM)	AS/NZS3820	—	C-Tick—Avustralya ve Yeni Zelanda için Düzenlemelere Uygunluk İşaretini belirtir Bu cihaz, Avustralya ve Yeni Zelanda'daki elektronik cihazlarla ilgili yönetmeliklerle uyumludur






Tablo 7: Standart etiketleme sembolleri (devam)

Sembol	Başlık	Standart geliştirme kurumu	Referans numarası	Açıklama
	Seri kodu, tarih kodu veya parça kodu türünde kontrol numarası	ISO 15223-1 Tıbbi cihazlar – Tıbbi cihaz etiketlerinde kullanılacak semboller, etiketleme ve eklenecek bilgiler – Bölüm 1: Genel Gereklilikler	5.1.5	Serinin veya lotun tespit edilebilmesi için üreticinin seri numarasını belirtir
	Biyolojik risk	ISO 7010 - Grafik semboller -- Güvenlik renkleri ve güvenlik işaretleri	W009	Biyolojik tehlike uyarısı
	INMETRO Güvenlik Sembolleri	—	—	Ulusal Metroloji Standardizasyonu ve Endüstriyel Kalite Kuruluşu'na (INMETRO) göre Brezilya onaylı sertifika kurumunu belirtir
	Kanada Standartlar Birliği Sertifika İşareti.	—	—	Ürünün geçerli CSA ve ANSI/UL gerekliliklerine uygun olduğunu ve Kanada ve ABD'de kullanım izni olduğunu belirten CSA sertifika işareti.
	Geri dönüşüm: Elektronik Ekipman	BS EN 50419:2016 2012/19/EU (WEEE) sayılı Direktif uyarınca Elektrikli ve Elektronik Ekipmanların işaretlenmesi.	Ek IX	Çöpe Atmayın
	Oluklu geri dönüşüm	—	—	Nakliye kutusu oluklu kartondan mamuldür ve uygun şekilde geri dönüştürülmelidir
	Üretim tarihi	ISO 7000 - Ekipman Üzerinde Kullanılan Grafik Semboller	5.1.3	Ürünün üretildiği tarihi belirtir
	Doğru akım (DC)	—	—	—





Tablo 7: Standart etiketleme sembolleri (devam)

Sembol	Başlık	Standart geliştirme kurumu	Referans numarası	Açıklama
	21 Bölüm 15	Federal İletişim Komisyonu (FCC) Uygunluk Beyanı	Federal İletişim Komisyonu	FCC-Federal İletişim Komisyonu gerekliliklerine göre test edilmiştir Elektronik cihazlarla ilgili FCC yönetmelikleriyle uyumludur
GEL	Jel	—	—	—
	Resy – Geri Dönüşüm Simgesi	—	—	Kağıt dönüşümü
	Muhafazanın Sağladığı Giriş Koruma Derecesi	IEC 60601-1 Elektrikli Tıbbi Ekipman Bölüm 1: Temel güvenlik ve temel performans için genel gereklilikler	D.3	Suya geçici batırmanın etkilerine karşı korunmuştur. Su altında kalabilir Geçici batırmanın etkilerine karşı korunmuştur.
	Muhafazanın Sağladığı Giriş Koruma Derecesi	IEC 60601-1 Elektrikli Tıbbi Ekipman Bölüm 1: Temel güvenlik ve temel performans için genel gereklilikler	D.3	Suya geçici batırmanın etkilerine karşı korunmuştur. Su Geçirmez Donanım Uzun süreli batırmanın etkilerine karşı korunmuştur
	—	—	—	Dikkatli taşınması gerektiğini belirtir
	—	—	—	Dezenfeksiyon süresi için üreticinin talimatlarına uyulması gerektiğini belirtir
	—	—	—	Dönüştürücünün dezenfekte edilmesini belirtir
	Maksimum ağırlık yükü	IEC 60601-1 Tıbbi Elektrikli Cihaz - Bölüm 1: Temel güvenlik ve temel performans için genel gereklilikler	7.2.21	Güvenli çalışma yükü de dahil olmak üzere ekipmanın toplam ağırlığını belirtir

Tablo 7: Standart etiketleme sembolleri (devam)

Sembol	Başlık	Standart geliştirme kurumu	Referans numarası	Açıklama
	Underwriters Laboratories Sertifika İşareti	—	—	Yalnızca elektrik şoku, yangın ve mekanik tehlikeler için sertifika işareti
	UL Ürün Sertifikası.	—	—	Ürün veya firma, ürün güvenliğine dair kati standartları başarılı şekilde karşılamıştır.
	Çin Kirillik Kontrolü (10)	ISO 7000:2014 Ekipman üzerinde kullanılan grafik semboller	1135	Kirillik Kontrolü Logo. (Çin RoHS bildirim tablosundaki tüm parçalar/ürünler için geçerlidir. Alan kısıtlamalarından dolayı bazı parçaların/ürünlerin dış kısmında görünmeyebilir.)
	Çin Zorunlu Sertifika işareti ("CCC Mark"). Çin Halk Cumhuriyetinde satılan birçok ürünün Çin ulusal standartlarına uyumluluğu için zorunlu bir güvenlik işareti.	—	—	—
	Etilen oksit işlemi kullanılarak sterilize edilmiştir	ISO 15223-1 Tıbbi cihazlar – Tıbbi cihaz etiketlerinde kullanılacak semboller, etiketleme ve eklenecek bilgiler - Bölüm 1: Genel Gereklilikler	5.2.3	Etilen oksit işlemi kullanılarak sterilize edilmiş tıbbi cihazı belirtir

Tablo 7: Standart etiketleme sembolleri (devam)

Sembol	Başlık	Standart geliştirme kurumu	Referans numarası	Açıklama
	Işınlama kullanılarak sterilize edilmiş	ISO 15223-1 Tıbbi cihazlar – Tıbbi cihaz etiketlerinde kullanılacak semboller, etiketleme ve eklenecek bilgiler – Bölüm 1: Genel Gereklilikler	5.2.4	Işınlama kullanılarak sterilize edilmiş tıbbi cihazı belirtir
	(Yalnızca SII) Katalog numarası	ISO 15223-1:2016 Tıbbi Cihazlar – Tıbbi Cihaz Etiketlerinde Kullanılacak Semboller, Etiketleme ve Eklenecek Bilgiler – Bölüm 1: Genel Gereklilikler	5.1.6	Tıbbi cihazın tanınabilmesini sağlamak için üreticinin katalog numarasını belirtir
	(Yalnızca SII) Tehlikeli voltaj	ISO 7000 / IEC 60417 Ekipman üzerinde kullanılan grafik semboller	5036	Tehlikeli voltajdan kaynaklanan riskleri belirtir
	(Yalnızca SII) Yalnızca iç mekan kullanımı içindir	ISO 7000 / IEC 60417 Ekipman üzerinde kullanılan grafik semboller	5957	Esasen iç mekan kullanımı için tasarlanmış elektrikli ekipmanı belirtir

Teknik Özellikler

Desteklenen dönüştürücüler (SonoSite SII)

Aşağıdaki fazlalık bölüm SonoSite SII kullanıcı kılavuzundan çıkarılmıştır. Aynı bilgiler kullanıcı kılavuzundaki Tablo 9-2'de bulunmaktadır; revizyon bir sonraki güncellemede yapılacaktır.

Tablo 8: Desteklenen dönüştürücüler

Açıklama	Maksimum Kablo Uzunluğu
C11x dönüştürücü	1,8 m
rC60xi dönüştürücü standart/korumalı	1,7 m
HFL38xi dönüştürücü standart/korumalı	1,7 m
HFL50x dönüştürücü	1,7 m
HSL25x dönüştürücü	2,4 m
ICTx dönüştürücü	1,7 m

Açıklama	Maksimum Kablo Uzunluğu
L25x dönüştürücü	2,3 m
L38xi dönüştürücü standart/korumalı	1,7 m
L52x dönüştürücü	2,4 m
P10x dönüştürücü	1,8 m
rP19x dönüştürücü standart/korumalı	1,8 m

Dönüştürücüler için maksimum kablo uzunluğu kablo rakorları arasında ölçülür. Belirtilen uzunluk, aşağıdaki konulardaki kablo uzunluklarını kapsamaz: kablo rakorları altında, dönüştürücü muhafazası içinde ve dönüştürücü bağlantısı içinde.

Standartlar

Elektromekanik güvenlik standartları

Tablo 9: Elektromekanik güvenlik standartları

Standart	Açıklama
ANSI/AAMI ES60601-1:2005/(R) 2012 ve A1:2012	Tıbbi elektrikli cihaz, Bölüm 1: Temel güvenlik ve temel performans için genel gerekler (Konsolide Baskı 3.1)
CAN/CSA C22.2 No. 60601-1:2014 (Baskı 3.1)	Tıbbi elektrikli cihaz - Bölüm 1: Temel Güvenlik ve Temel Performans için Genel Gereklilikler
IEC 60601-1:2012 (Baskı 3.1)	Tıbbi elektrikli cihaz - Bölüm 1: Temel Güvenlik ve Temel Performans için Genel Gereklilikler
IEC 60601-2-37:2015	Tıbbi Elektrikli Cihaz - Bölüm 2-37: Ultrasonik medikal tanı ve izleme cihazlarının temel güvenliği ve temel performansı için belirli gereklilikler.
IEC 60601-1-6:2013	Tıbbi Elektrikli Cihaz - Bölüm 1-6: Temel güvenlik ve temel performans için genel gereklilikler - Tamamlayıcı Standart: Kullanılabilirlik
JIS T0601-1:2012 (3. Baskı)	Japonya Endüstri Standardı, Tıbbi elektrikli cihaz - Bölüm 1: Temel güvenlik ve temel performans için genel gereklilikler

Akustik çıktı

ALARA prensibi

ALARA prensibine uygun

Sistemin yetkili ultrason kullanıcısı tarafından seçilen görüntüleme modu, gerekli diyagnostik bilgi ile belirlenir. 2B görüntüleme anatomik bilgi sağlar; CPD görüntüleme belirli bir anatomik konumda zaman içinde Doppler sinyalinin büyüklük gücü veya enerjisi hakkında bilgi sağlar ve kan akışının bulunup bulunmadığını tespit etmek için kullanılır; Renkli görüntüleme belirli bir anatomik bölgede zaman içerisindeki Doppler sinyalinin büyüklük gücü veya enerjisi hakkında bilgi sağlar ve kan akışının varlığı, hızı ve yönünü tespit etmek için kullanılır; Doku Harmonik Görüntüleme (THI) gürültü ve paraziti azaltmak ve 2B resim üzerindeki çözünürlüğü geliştirmek için daha yüksek seviyede alınmış frekanslar kullanır. Görüntüleme modunun doğasının anlaşılması yetkili ultrason kullanıcısının ALARA prensibini uygulamasına olanak sağlar.

Ultrasonun tedbirli kullanımı, hastanın ultrasona maruz kalma düzeyinin kabul edilebilir diyagnostik sonuçlar elde etmek için gerekli en kısa süre için olabilecek en düşük ultrason çıktısıyla sınırlı olmasını gerektirir. Tedbirli kullanımı destekleyen kararlar hastanın türü, muayenenin türü, hasta geçmişi, diyagnostik anlamda kullanışlı bilgiler elde etmenin kolay veya zor olması ve dönüştürücünün yüzey ısısına bağlı olarak hastanın potansiyel olarak bölgesel ısınmasına dayalıdır.

Sistem, dönüştürücünün yüzündeki sıcaklığın IEC 60601-2-37'de belirlenen limitleri aşmamasını sağlamak üzere tasarlanmıştır: Ultrason medikal diyagnostik ve izleme cihazının güvenliği için özel gereksinimler. Bkz. **“Dönüştürücü yüzey sıcaklığı artışı”**, sayfa 10-9. Cihazın hatalı çalışması durumunda, dönüştürücü gücünü sınırlandıran çok fazla denetim vardır. Bu durum, dönüştürücüye gelen güç kaynağı akımını ve voltajı sınırlandıran bir elektrik tasarımıyla sağlanır.

Sonografi uzmanı, sistem denetimlerini resim kalitesini ayarlamak ve ultrason çıktısını sınırlandırmak için kullanır. Sistem kontrolleri, çıktıyla ilgili üç kategoriye ayrılmıştır: Çıktıyı doğrudan etkileyen kontroller, çıktıyı dolaylı etkileyen kontroller ve alıcı kontrolleri.

Doğrudan kontroller

Sistem tüm görüntüleme modları için 720 mW/cm^2 uzamsal zirve geçici ortalama yoğunluğunu (ISPTA) aşmaz. (Oftalmik veya Orbital muayenede, akustik çıkış şu değerlerle sınırlıdır: ISPTA 50 mW/cm^2 değerini aşmaz; TI 1,0, değerini ve MI 0,23 değerini aşmaz.) Mekanik indeks (MI) ve termal indeks (TI) bazı görüntüleme modlarında, bazı dönüştürücülerde 1,0'dan daha büyük değerleri aşabilir. Kişi MI ve TI değerlerini gözlemleyebilir ve bu değerleri azaltmak için kontrolleri ayarlayabilir. Bkz. **“MI ve TI değerini azaltma kılavuzu”**, sayfa 10-3. Buna ek olarak, ALARA prensibine uymak için kullanılacak bir yöntem de MI ve TI değerlerini düşük bir indeks değerine ayarlamak ve daha sonra bu seviyeyi tatmin edici bir resim veya Doppler modu elde edilene dek değiştirmektir. MI ve TI hakkında daha fazla bilgi için bkz. AIUM Medikal Ultrason Güvenliği (her sistemde bir kopyası bulunmaktadır) ve IEC 60601-2-37 Ek “Guidance on the interpretation of TI and MI to be used to inform the operator”.

Çıktı göstergesi

İlişkili kılavuz belgeleri

Diyagnostik Ultrason Sistemleri ve Dönüştürücüler için Pazarlama Ruhsatı Almak İsteyen Üreticiler için Bilgi, FDA, 2008.

Tıbbi Ultrason Güvenliliği, American Institute of Ultrasound in Medicine (AIUM), 2014. (Her sisteme bir kopyası eklenmiştir.)

Diyagnostik Ultrason Ekipmanları için Akustik Çıktı Ölçüm Standardı, NEMA UD2-2004.

IEC 60601-2-37: 2015, Ultrason diyagnostik ve izleme ekipmanının temel güvenlik ve temel performansı için özel gereklilikler.

Dönüştürücü yüzey sıcaklığı yükselişi

Tablo 10-4 ve Tablo 10-5, ultrason sistemi üzerinde kullanılan dönüştürücülerin ortam sıcaklığından ($23 \text{ }^{\circ}\text{C} \pm 3 \text{ }^{\circ}\text{C}$) yükselen ölçülmüş yüzey sıcaklığını listeler. Sıcaklıklar, denetimlerin ve ayarların maksimum sıcaklık değerlerini verecek şekilde konumlandırıldığı IEC 60601-2-37 ile uyumlu olarak ölçülmüştür.

Akustik çıktı ölçümü

Diyagnostik ultrasonun başlangıçtaki kullanımından bu yana, insan biyolojisi üzerinde ultrasona maruz kalmanın olası etkileri (biyoetkiler) çeşitli bilimsel ve medikal kurumlar tarafından incelenmiştir. Ekim 1987'de American Institute of Ultrasound in Medicine (AIUM), Biyoetki Komitesinin hazırladığı ve ultrasona maruziyetin olası etkileri üzerine mevcut verileri gözden geçiren, kimi zaman Stowe Raporu olarak da adlandırılan bir raporu onaylamıştır (Bioeffects Considerations for the Safety of Diagnostic Ultrasound, J Ultrasound Med., Sept. 1988: Vol. 7, No. 9 Supplement). Kimi zaman Stowe Raporu olarak da adlandırılan raporda ultrasona maruziyetin olası etkilerine ilişkin mevcut veriler incelenmektedir. 28 Ocak 1993 tarihli bir başka rapor *Bioeffects and Safety of Diagnostic Ultrasound* daha güncel bilgiler sağlamaktadır.

Bu ultrason sisteminin akustik çıktısı, "Diyagnostik Ultrason Ekipmanları için Akustik Çıktı Ölçüm Standardı" (NEMA UD2-2004) ve IEC 60601-2-37: 2015, Ultrason diyagnostik ve izleme ekipmanının temel güvenlik ve temel performansı için özel gereklilikler

Akustik çıktı tabloları

Akustik çıktı tablolarının biçimi güncellenmiştir.

Dönüştürücü modeli: C8x İşletim modu: 2B	598
Dönüştürücü modeli: C8x İşletim modu: M Modu	599
Dönüştürücü modeli: C8x İşletim modu: Color/CPD	600
Dönüştürücü modeli: C8x İşletim modu: PW Doppler	601

Dönüştürücü modeli: C 1 1x İşletim modu: PW Doppler	602
Dönüştürücü modeli: C35x İşletim modu: 2B	603
Dönüştürücü modeli: C35x İşletim modu: PW Doppler	604
Dönüştürücü modeli: HFL38xi (Oftalmik kullanım) İşletim modu: 2B	605
Dönüştürücü modeli: HFL38xi (Oftalmik kullanım) İşletim modu: M Modu	606
Dönüştürücü modeli: HFL38xi (Oftalmik kullanım) İşletim modu: Color/CPD	607
Dönüştürücü modeli: HFL38xi (Oftalmik kullanım) İşletim modu: PW Doppler	608
Dönüştürücü modeli: HFL38xi İşletim modu: 2B	609
Dönüştürücü modeli: HFL38xi İşletim modu: M Modu	610
Dönüştürücü modeli: HFL38xi İşletim modu: Color/CPD	611
Dönüştürücü modeli: HFL38xi İşletim modu: PW Doppler	612
Dönüştürücü modeli: HFL50x İşletim modu: 2B	613
Dönüştürücü modeli: HFL50x İşletim modu: M Modu	614
Dönüştürücü modeli: HFL50x İşletim modu: Renkli	615
Dönüştürücü modeli: HFL50x İşletim modu: PW Doppler	616
Dönüştürücü modeli: HSL25x (Oftalmik kullanım) İşletim modu: 2B	617
Dönüştürücü modeli: HSL25x (Oftalmik kullanım) İşletim modu: M Modu	618
Dönüştürücü modeli: HSL25x (Oftalmik kullanım) İşletim modu: Color/CPD	619
Dönüştürücü modeli: HSL25x (Oftalmik kullanım) İşletim modu: PW Doppler	620
Dönüştürücü modeli: HSL25x İşletim modu: 2B	621
Dönüştürücü modeli: HSL25x İşletim modu: Color/CPD	622
Dönüştürücü modeli: HSL25x İşletim modu: PW Doppler	623
Dönüştürücü modeli: ICTx İşletim modu: PW Doppler	624
Dönüştürücü modeli: L25x (Oftalmik kullanım) İşletim modu: 2B	625
Dönüştürücü modeli: L25x (Oftalmik kullanım) İşletim modu: M Modu	626
Dönüştürücü modeli: L25x (Oftalmik kullanım) İşletim modu: Color/CPD	627
Dönüştürücü modeli: L25x (Oftalmik kullanım) İşletim modu: PW Doppler	628
Dönüştürücü modeli: L25x İşletim modu: 2B	629
Dönüştürücü modeli: L25x İşletim modu: Color/CPD	630
Dönüştürücü modeli: L25x İşletim modu: PW Doppler	631
Dönüştürücü modeli: L38xi İşletim modu: 2B	632
Dönüştürücü modeli: L38xi İşletim modu: M Modu	633
Dönüştürücü modeli: L38xi İşletim modu: Color/CPD	634
Dönüştürücü modeli: L38xi İşletim modu: PW Doppler	635
Dönüştürücü modeli: P 10x İşletim modu: Renkli	636
Dönüştürücü modeli: P 10x İşletim modu: CW Doppler	637
Dönüştürücü modeli: P 10x İşletim modu: PW Doppler	638
Dönüştürücü modeli: rC60xi İşletim modu: 2B	639
Dönüştürücü modeli: rC60xi İşletim modu: M Modu	640
Dönüştürücü modeli: rC60xi İşletim modu: Color/CPD	641
Dönüştürücü modeli: rC60xi İşletim modu: PW Doppler	642
Dönüştürücü modeli: rP19x (Orbital kullanım) İşletim modu: 2B	643
Dönüştürücü modeli: rP19x (Orbital kullanım) İşletim modu: M Modu	644
Dönüştürücü modeli: rP19x (Orbital kullanım) İşletim modu: Color/CPD	645
Dönüştürücü modeli: rP19x (Orbital kullanım) İşletim modu: PW Doppler	646
Dönüştürücü Modeli: rP19x, İşletim modu: 2B	647
Dönüştürücü modeli: rP19x, İşletim modu: M Modu	648

Dönüştürücü modeli: rP19x, İşletim modu: Color/CPD	649
Dönüştürücü modeli: rP19x, İşletim modu: CW Doppler	650
Dönüştürücü modeli: rP19x, İşletim modu: PW Doppler	651
Dönüştürücü modeli: TEExi İşletim modu: CW Doppler	652
Dönüştürücü modeli: TEExi İşletim modu: PW Doppler	653

Tablo 10: Dönüştürücü modeli: C8x İşletim modu: 2B

İndeks etiketi		MI	TIS		TIB		TIC
			Yüzeyde	Yüzey altında	Yüzeyde	Yüzey altında	Yüzeyde
Maksimum indeks değeri		1,1	(a)		(a)		(b)
İndeks bileşen değeri			#	#	#	#	
Akustik parametreler	$z_{MI} \text{ da } p_{r,\alpha}$ (MPa)	2,48					
	P (mW)		#		#		#
	$P_{1 \times 1}$ (mW)		#		#		
	z_s (cm)			—			
	z_b (cm)					—	
	z_{MI} (cm)	1,2					
	$z_{pii,\alpha}$ (cm)	1,2					
	f_{awf} (MHz)	5,53	#		#		#
Diğer bilgiler	pr (Hz)	9524					
	srr (Hz)	18,6					
	η_{pps}	1					
	$z_{pii,\alpha} \text{ da } I_{pa,\alpha}$ (W/cm^2)	264					
	$z_{pii,\alpha}$ veya $z_{sii,\alpha} \text{ da } I_{spta,\alpha}$ (mW/cm^2)	18,3					
	z_{pii} veya $z_{sii} \text{ da } I_{spta}$ (mW/cm^2)	25,6					
	$z_{pii} \text{ de } p_r$ (MPa)	3,11					
Çalıştırma kontrolleri	Muayene türü	Pro					
	Optimizasyon	Pen					
	Derinlik (cm)	2,5–3,2					
	MB	Kapalı					

(a) Bu indeks bu işletim modu için gerekli değildir; değer < 1'dir.

(b) Bu dönüştürücü transkranyal veya neonatal sefalik kullanım amaçlı değildir.

Aşağıda belirtilen nedenle global maksimum indeks değeri raporlanmamış olduğundan bu çalışma koşulu için herhangi bir veri raporlanmamıştır. (Referans global maksimum indeks değeri çizgisi.)

— Veriler bu dönüştürücü/mod için uygulanabilir değildir.

Tablo 11: Dönüştürücü modeli: C8x İşletim modu: M Modu

İndeks etiketi	MI	TIS		TIB		TIC
		Yüzeyde	Yüzey altında	Yüzeyde	Yüzey altında	Yüzeyde
Maksimum indeks değeri	1,3	(a)		(a)		(b)
İndeks bileşen değeri		#	#	#	#	
Akustik parametreler	$z_{MI} \text{ da } p_{r,\alpha}$ (MPa)	2,91				
	P (mW)		#	#	#	#
	P_{1x1} (mW)		#	#	#	
	z_s (cm)			#		
	z_b (cm)				#	
	z_{MI} (cm)	1,1				
	$z_{pii,\alpha}$ (cm)	1,1				
	f_{awf} (MHz)	5,07	#		#	#
Diğer bilgiler	pr (Hz)	800				
	srr (Hz)	—				
	η_{pps}	1				
	$z_{pii,\alpha} \text{ da } I_{pa,\alpha}$ (W/cm ²)	433				
	$z_{pii,\alpha}$ veya $z_{sii,\alpha} \text{ da } I_{spta,\alpha}$ (mW/cm ²)	149				
	z_{pii} veya $z_{sii} \text{ da } I_{spta}$ (mW/cm ²)	226				
	$z_{pii} \text{ de } p_r$ (MPa)	3,57				
Çalıştırma kontrolleri	Muayene türü	Pro				
	Optimizasyon	Pen				
	Derinlik (cm)	4,2				

(a) Bu indeks bu işletim modu için gerekli değildir; değer < 1'dir.

(b) Bu dönüştürücü transkranyal veya neonatal sefalik kullanım amaçlı değildir.

Aşağıda belirtilen nedenle global maksimum indeks değeri raporlanmamış olduğundan bu çalışma koşulu için herhangi bir veri raporlanmamıştır. (Referans global maksimum indeks değeri çizgisi.)

— Veriler bu dönüştürücü/mod için uygulanabilir değildir.

Tablo 12: Dönüştürücü modeli: C8x İşletim modu: Color/CPD

İndeks etiketi		MI	TIS		TIB		TIC
			Yüzeyde	Yüzey altında	Yüzeyde	Yüzey altında	Yüzeyde
Maksimum indeks değeri		1,2	(a)		(a)		(b)
İndeks bileşen değeri			#	#	#	#	
Akustik parametreler	$z_{MI} \text{ da } p_{r,\alpha}$ (MPa)	2,68					
	P (mW)		#		#		#
	$P_{1 \times 1}$ (mW)		#		#		
	z_s (cm)			—			
	z_b (cm)					—	
	z_{MI} (cm)	0,8					
	$z_{pii,\alpha}$ (cm)	0,8					
	f_{awf} (MHz)	4,82	#		#		#
Diğer bilgiler	p_{rr} (Hz)	2548					
	s_{rr} (Hz)	26					
	n_{pps}	12					
	$z_{pii,\alpha} \text{ da } I_{pa,\alpha}$ (W/cm^2)	381					
	$z_{pii,\alpha}$ veya $z_{sii,\alpha} \text{ da } I_{spta,\alpha}$ (mW/cm^2)	132					
	z_{pii} veya $z_{sii} \text{ da } I_{spta}$ (mW/cm^2)	176					
	z_{pii} de p_r (MPa)	3,1					
Çalıştırma kontrolleri	Muayene türü	Pro					
	Mod	CVD					
	2D optimizasyon/derinlik (cm)	Pen/1,5–1,9					
	Renk optimizasyonu/PRF (Hz)	Yüksek/ herhangi biri					
	Renk kutu konumu/boyutu	Dar/ herhangi biri					

(a) Bu indeks bu işletim modu için gerekli değildir; değer < 1'dir.

(b) Bu dönüştürücü transkranyal veya neonatal sefalik kullanım amaçlı değildir.

Aşağıda belirtilen nedenle global maksimum indeks değeri raporlanmamış olduğundan bu çalışma koşulu için herhangi bir veri raporlanmamıştır. (Referans global maksimum indeks değeri çizgisi.)

— Veriler bu dönüştürücü/mod için uygulanabilir değildir.

Tablo 13: Dönüştürücü modeli: C8x İşletim modu: PW Doppler

İndeks etiketi	MI	TIS		TIB		TIC
		Yüzeyde	Yüzey altında	Yüzeyde	Yüzey altında	Yüzeyde
Maksimum indeks değeri	1,0	(a)		1,4		(b)
İndeks bileşen değeri		#	#	0,5	1,4	
Akustik parametreler	z_{MI} 'da $p_{r,\alpha}$ (MPa)	2,28				
	P (mW)		#	23,1		#
	$P_{1 \times 1}$ (mW)		#	23,1		
	z_s (cm)			#		
	z_b (cm)				1,0	
	z_{MI} (cm)	1,8				
	$z_{pii,\alpha}$ (cm)	1,8				
	f_{awf} (MHz)	4,80	#		4,80	
Diğer bilgiler	pr (Hz)	1008				
	srr (Hz)	—				
	η_{pps}	1				
	$z_{pii,\alpha}$ 'da $I_{pa,\alpha}$ (W/cm^2)	263				
	$z_{pii,\alpha}$ veya $z_{sii,\alpha}$ 'da $I_{spta,\alpha}$ (mW/cm^2)	334				
	z_{pii} veya z_{sii} 'da I_{spta} (mW/cm^2)	616				
	z_{pii} 'de p_r (MPa)	3,1				
Çalıştırma kontrolleri	Muayene türü	Pro		Pro		
	Örnek hacmi boyutu (mm)	1		1		
	Örnek hacmi konumu	Bölge 4		Bölge 4		
	PRF (Hz)	1008		1008		

(a) Bu indeks bu işletim modu için gerekli değildir; değer < 1'dir.

(b) Bu dönüştürücü transkranyal veya neonatal sefalik kullanım amaçlı değildir.

Aşağıda belirtilen nedenle global maksimum indeks değeri raporlanmamış olduğundan bu çalışma koşulu için herhangi bir veri raporlanmamıştır. (Referans global maksimum indeks değeri çizgisi.)

— Veriler bu dönüştürücü/mod için uygulanabilir değildir.

Tablo 14: Dönüştürücü modeli: C11x İşletim modu: PW Doppler

İndeks etiketi		MI	TIS		TIB		TIC
			Yüzeyde	Yüzey altında	Yüzeyde	Yüzey altında	Yüzeyde
Maksimum indeks değeri		(a)	(a)		1,5		1,1
İndeks bileşen değeri			#	#	0,5	1,5	
Akustik parametreler	z_{MI} 'da $p_{r,\alpha}$ (MPa)	#					
	P (mW)		#		24,6		21,7
	P_{1x1} (mW)		#		24,6		
	z_s (cm)			#			
	z_b (cm)					1,7	
	z_{MI} (cm)	#					
	$z_{pii,\alpha}$ (cm)	#					
	f_{awf} (MHz)	#	#		4,37		4,36
Diğer bilgiler	pr (Hz)	#					
	srr (Hz)	#					
	η_{pps}	#					
	$z_{pii,\alpha}$ 'da $I_{pa,\alpha}$ (W/cm^2)	#					
	$z_{pii,\alpha}$ veya $z_{sii,\alpha}$ 'da $I_{spta,\alpha}$ (mW/cm^2)	#					
	z_{pii} veya z_{sii} 'da I_{spta} (mW/cm^2)	#					
	z_{pii} 'de p_r (MPa)	#					
Çalıştırma kontrolleri	Muayene türü				Nrv		Nrv
	Örnek hacmi boyutu (mm)				1		7
	Örnek hacmi konumu				Bölge 1		Bölge 0
	PRF (Hz)				10.417		6250

(a) Bu indeks bu işletim modu için gerekli değildir; değer < 1'dir.

(b) Bu dönüştürücü transkranyal veya neonatal sefalik kullanım amaçlı değildir.

Aşağıda belirtilen nedenle global maksimum indeks değeri raporlanmamış olduğundan bu çalışma koşulu için herhangi bir veri raporlanmamıştır. (Referans global maksimum indeks değeri çizgisi.)

— Veriler bu dönüştürücü/mod için uygulanabilir değildir.

Tablo 15: Dönüştürücü modeli: C35x İşletim modu: 2B

İndeks etiketi	MI	TIS		TIB		TIC
		Yüzeyde	Yüzey altında	Yüzeyde	Yüzey altında	Yüzeyde
Maksimum indeks değeri	1,0	(a)		(a)		(b)
İndeks bileşen değeri		#	#	#	#	
Akustik parametreler	$z_{MI} \text{ da } p_{r,\alpha}$ (MPa)	1,8				
	P (mW)		#	#	#	#
	$P_{1 \times 1}$ (mW)		#	#	#	
	z_s (cm)			—		
	z_b (cm)				—	
	z_{MI} (cm)	3,3				
	$z_{pii,\alpha}$ (cm)	3,3				
	f_{awf} (MHz)	3,45	#		#	#
Diğer bilgiler	pr (Hz)	1021				
	srr (Hz)	7,98				
	η_{pps}	1				
	$z_{pii,\alpha} \text{ da } I_{pa,\alpha}$ (W/cm ²)	250				
	$z_{pii,\alpha}$ veya $z_{sii,\alpha} \text{ da } I_{spta,\alpha}$ (mW/cm ²)	8,6				
	z_{pii} veya $z_{sii} \text{ da } I_{spta}$ (mW/cm ²)	16,5				
	$z_{pii} \text{ de } p_r$ (MPa)	2,61				
Çalıştırma kontrolleri	Muayene türü	Msk				
	Optimizasyon	Res				
	Derinlik (cm)	8,3				
	MB	Yok				

(a) Bu indeks bu işletim modu için gerekli değildir; değer < 1'dir.

(b) Bu dönüştürücü transkranyal veya neonatal sefalik kullanım amaçlı değildir.

Aşağıda belirtilen nedenle global maksimum indeks değeri raporlanmamış olduğundan bu çalışma koşulu için herhangi bir veri raporlanmamıştır. (Referans global maksimum indeks değeri çizgisi.)

— Veriler bu dönüştürücü/mod için uygulanabilir değildir.

Tablo 16: Dönüştürücü modeli: C35x İşletim modu: PW Doppler

İndeks etiketi		MI	TIS		TIB		TIC
			Yüzeyde	Yüzey altında	Yüzeyde	Yüzey altında	Yüzeyde
Maksimum indeks değeri		(a)	1,5		2,6		(b)
İndeks bileşen değeri			1,5	1,0	1,0	2,6	
Akustik parametreler	z_{MI} 'da $p_{r,\alpha}$ (MPa)	#					
	P (mW)		72,8		47,1		#
	P_{1x1} (mW)		71,1		47,1		
	z_s (cm)			1,4			
	z_b (cm)					0,50	
	z_{MI} (cm)	#					
	$z_{pii,\alpha}$ (cm)	#					
	f_{awf} (MHz)	#	4,35		4,37		#
Diğer bilgiler	pr (Hz)	#					
	srr (Hz)	#					
	η_{pps}	#					
	$z_{pii,\alpha}$ 'da $I_{pa,\alpha}$ (W/cm^2)	#					
	$z_{pii,\alpha}$ veya $z_{sii,\alpha}$ 'da $I_{spta,\alpha}$ (mW/cm^2)	#					
	z_{pii} veya z_{sii} 'da I_{spta} (mW/cm^2)	#					
	z_{pii} 'de p_r (MPa)	#					
Çalıştırma kontrolleri	Muayene türü		Omurga		Omurga		
	Örnek hacmi boyutu (mm)		2		1		
	Örnek hacmi konumu		Bölge 5		Bölge 0		
	PRF (Hz)		6250		15.625		

(a) Bu indeks bu işletim modu için gerekli değildir; değer < 1'dir.

(b) Bu dönüştürücü transkranyal veya neonatal sefalik kullanım amaçlı değildir.

Aşağıda belirtilen nedenle global maksimum indeks değeri raporlanmamış olduğundan bu çalışma koşulu için herhangi bir veri raporlanmamıştır. (Referans global maksimum indeks değeri çizgisi.)

— Veriler bu dönüştürücü/mod için uygulanabilir değildir.

Tablo 17: Dönüştürücü modeli: HFL38xi (Oftalmik kullanım) İşletim modu: 2B

İndeks etiketi	MI	TIS		TIB		TIC
		Yüzeyde	Yüzey altında	Yüzeyde	Yüzey altında	Yüzeyde
Maksimum indeks değeri	0,17	0,007		0,007		(b)
İndeks bileşen değeri		0,007	0,007	0,007	0,007	
Akustik parametreler	$z_{MI} \text{ da } p_{r,\alpha}$ (MPa)	0,43				
	P (mW)		0,77	0,77		#
	$P_{1 \times 1}$ (mW)		0,21	0,21		
	z_s (cm)			—		
	z_b (cm)				—	
	z_{MI} (cm)	2,1				
	$z_{pii,\alpha}$ (cm)	2,1				
	f_{awf} (MHz)	6,59	6,75		6,75	
Diğer bilgiler	pr (Hz)	11.339				
	srr (Hz)	19,7				
	η_{pps}	3				
	$z_{pii,\alpha} \text{ da } I_{pa,\alpha}$ (W/cm ²)	11,4				
	$z_{pii,\alpha}$ veya $z_{sii,\alpha} \text{ da } I_{spta,\alpha}$ (mW/cm ²)	0,8				
	z_{pii} veya $z_{sii} \text{ da } I_{spta}$ (mW/cm ²)	1,3				
	$z_{pii} \text{ de } p_r$ (MPa)	0,7				
Çalıştırma kontrolleri	Muayene türü	Oph	Oph	Oph		
	Optimizasyon	Pen	Res	Res		
	Derinlik (cm)	4,9	4,9	4,9		
	MB	Açık	Açık	Açık		

(a) Bu indeks bu işletim modu için gerekli değildir; değer < 1'dir.

(b) Bu dönüştürücü transkranyal veya neonatal sefalik kullanım amaçlı değildir.

Aşağıda belirtilen nedenle global maksimum indeks değeri raporlanmamış olduğundan bu çalışma koşulu için herhangi bir veri raporlanmamıştır. (Referans global maksimum indeks değeri çizgisi.)

— Veriler bu dönüştürücü/mod için uygulanabilir değildir.

Tablo 18: Dönüştürücü modeli: HFL38xi (Oftalmik kullanım) İşletim modu: M Modu

İndeks etiketi		MI	TIS		TIB		TIC
			Yüzeyde	Yüzey altında	Yüzeyde	Yüzey altında	Yüzeyde
Maksimum indeks değeri		0,17	0,003		0,004		(b)
İndeks bileşen değeri			0,003	0,002	0,002	0,004	
Akustik parametreler	z_{MI} 'da $p_{r,\alpha}$ (MPa)	0,44					
	P (mW)		0,087		0,064		#
	P_{1x1} (mW)		0,087		0,064		
	z_s (cm)			0,9			
	z_b (cm)					1,10	
	z_{MI} (cm)	1,0					
	$z_{pii,\alpha}$ (cm)	1,0					
	f_{awf} (MHz)	6,58	6,86		6,78		#
Diğer bilgiler	pr (Hz)	800					
	srr (Hz)	—					
	η_{pps}	1					
	$z_{pii,\alpha}$ 'da $I_{pa,\alpha}$ (W/cm^2)	10,3					
	$z_{pii,\alpha}$ veya $z_{sii,\alpha}$ 'da $I_{spta,\alpha}$ (mW/cm^2)	1,0					
	z_{pii} veya z_{sii} 'da I_{spta} (mW/cm^2)	1,7					
	z_{pii} 'de p_r (MPa)	0,55					
Çalıştırma kontrolleri	Muayene türü	Oph	Oph		Oph		
	Optimizasyon	Pen	Res		Res		
	Derinlik (cm)	1,5	6,0		4,0		

(a) Bu indeks bu işletim modu için gerekli değildir; değer < 1'dir.

(b) Bu dönüştürücü transkranyal veya neonatal sefalik kullanım amaçlı değildir.

Aşağıda belirtilen nedenle global maksimum indeks değeri raporlanmamış olduğundan bu çalışma koşulu için herhangi bir veri raporlanmamıştır. (Referans global maksimum indeks değeri çizgisi.)

— Veriler bu dönüştürücü/mod için uygulanabilir değildir.

Tablo 19: Dönüştürücü modeli: HFL38xi (Oftalmik kullanım) İşletim modu: Color/CPD

İndeks etiketi	MI	TIS		TIB		TIC
		Yüzeyde	Yüzey altında	Yüzeyde	Yüzey altında	Yüzeyde
Maksimum indeks değeri	0,17	0,02		0,02		(b)
İndeks bileşen değeri		0,02	0,02	0,02	0,02	
Akustik parametreler	$z_{MI} \text{ da } p_{r,\alpha}$ (MPa)	0,39				
	P (mW)		1,11	1,11		#
	P_{1x1} (mW)		0,75	0,75		
	z_s (cm)			—		
	z_b (cm)				—	
	z_{MI} (cm)	0,9				
	$z_{pii,\alpha}$ (cm)	0,9				
	f_{awf} (MHz)	5,34	5,37		5,37	
Diğer bilgiler	pr (Hz)	4537				
	srr (Hz)	13,5				
	η_{pps}	13				
	$z_{pii,\alpha} \text{ da } I_{pa,\alpha}$ (W/cm ²)	5,5				
	$z_{pii,\alpha}$ veya $z_{sii,\alpha} \text{ da } I_{spta,\alpha}$ (mW/cm ²)	1,3				
	z_{pii} veya $z_{sii} \text{ da } I_{spta}$ (mW/cm ²)	2,1				
	$z_{pii} \text{ de } p_r$ (MPa)	0,46				
Çalıştırma kontrolleri	Muayene türü	Oph	Oph	Oph		
	Mod	CVD	CVD	CVD		
	2D optimizasyon/derinlik (cm)	Pen/1,5	Pen/4,9	Pen/4,9		
	Renk optimizasyonu/PRF (Hz)	Yüksek/7813	Yüksek/6944	Yüksek/6944		
	Renk kutu konumu/boyutu	Alt/küçük	Def/dar	Def/dar		

(a) Bu indeks bu işletim modu için gerekli değildir; değer < 1'dir.

(b) Bu dönüştürücü transkranyal veya neonatal sefalik kullanım amaçlı değildir.

Aşağıda belirtilen nedenle global maksimum indeks değeri raporlanmamış olduğundan bu çalışma koşulu için herhangi bir veri raporlanmamıştır. (Referans global maksimum indeks değeri çizgisi.)

— Veriler bu dönüştürücü/mod için uygulanabilir değildir.

Tablo 20: Dönüştürücü modeli: HFL38xi (Oftalmik kullanım) İşletim modu: PW Doppler

İndeks etiketi		MI	TIS		TIB		TIC
			Yüzeyde	Yüzey altında	Yüzeyde	Yüzey altında	Yüzeyde
Maksimum indeks değeri		0,18	0,09		0,17		(b)
İndeks bileşen değeri			0,09	0,06	0,09	0,17	
Akustik parametreler	z_{MI} 'da $p_{r,\alpha}$ (MPa)	0,41					
	P (mW)		3,56		3,56		#
	P_{1x1} (mW)		3,56		3,56		
	z_s (cm)			1,1			
	z_b (cm)					1,64	
	z_{MI} (cm)	0,9					
	$z_{pii,\alpha}$ (cm)	0,9					
	f_{awf} (MHz)	5,34	5,33		5,33		#
Diğer bilgiler	pr (Hz)	1302					
	srr (Hz)	—					
	η_{pps}	1					
	$z_{pii,\alpha}$ 'da $I_{pa,\alpha}$ (W/cm^2)	6,6					
	$z_{pii,\alpha}$ veya $z_{sii,\alpha}$ 'da $I_{spta,\alpha}$ (mW/cm^2)	10,9					
	z_{pii} veya z_{sii} 'da I_{spta} (mW/cm^2)	15,0					
Çalıştırma kontrolleri	z_{pii} 'de p_r (MPa)	0,48					
	Muayene türü	Oph	Oph		Oph		
	Örnek hacmi boyutu (mm)	1	10		10		
	Örnek hacmi konumu	Bölge 1	Bölge 7		Bölge 7		
	PRF (Hz)	1302	10.417		10.417		

(a) Bu indeks bu işletim modu için gerekli değildir; değer < 1'dir.

(b) Bu dönüştürücü transkranyal veya neonatal sefalik kullanım amaçlı değildir.

Aşağıda belirtilen nedenle global maksimum indeks değeri raporlanmamış olduğundan bu çalışma koşulu için herhangi bir veri raporlanmamıştır. (Referans global maksimum indeks değeri çizgisi.)

— Veriler bu dönüştürücü/mod için uygulanabilir değildir.

Tablo 21: Dönüştürücü modeli: HFL38xi İşletim modu: 2B

İndeks etiketi	MI	TIS		TIB		TIC
		Yüzeyde	Yüzey altında	Yüzeyde	Yüzey altında	Yüzeyde
Maksimum indeks değeri	1,3	(a)		(a)		(b)
İndeks bileşen değeri		#	#	#	#	
Akustik parametreler	$z_{MI} \text{ da } p_{r,\alpha}$ (MPa)	3,05				
	P (mW)		#	#	#	#
	P_{1x1} (mW)		#	#	#	
	z_s (cm)			—		
	z_b (cm)				—	
	z_{MI} (cm)	1,2				
	$z_{pii,\alpha}$ (cm)	1,2				
	f_{awf} (MHz)	5,36	#		#	#
Diğer bilgiler	pr (Hz)	2127				
	srr (Hz)	11,1				
	η_{pps}	1				
	$z_{pii,\alpha} \text{ da } I_{pa,\alpha}$ (W/cm ²)	494				
	$z_{pii,\alpha}$ veya $z_{sii,\alpha} \text{ da } I_{spta,\alpha}$ (mW/cm ²)	13,3				
	z_{pii} veya $z_{sii} \text{ da } I_{spta}$ (mW/cm ²)	19,4				
	$z_{pii} \text{ de } p_r$ (MPa)	3,81				
Çalıştırma kontrolleri	Muayene türü	Ven				
	Optimizasyon	Res				
	Derinlik (cm)	3,3				
	MB	Yok				
	İğne vizyonu	Açık				

(a) Bu indeks bu işletim modu için gerekli değildir; değer < 1'dir.

(b) Bu dönüştürücü transkranyal veya neonatal sefalik kullanım amaçlı değildir.

Aşağıda belirtilen nedenle global maksimum indeks değeri raporlanmamış olduğundan bu çalışma koşulu için herhangi bir veri raporlanmamıştır. (Referans global maksimum indeks değeri çizgisi.)

— Veriler bu dönüştürücü/mod için uygulanabilir değildir.

Tablo 22: Dönüştürücü modeli: HFL38xi İşletim modu: M Modu

İndeks etiketi		MI	TIS		TIB		TIC
			Yüzeyde	Yüzey altında	Yüzeyde	Yüzey altında	Yüzeyde
Maksimum indeks değeri		1,12	(a)		(a)		(b)
İndeks bileşen değeri			#	#	#	#	
Akustik parametreler	$z_{MI}'da p_{r,\alpha}$ (MPa)	3,14					
	P (mW)		#		#		#
	P_{1x1} (mW)		#		#		
	z_s (cm)			#			
	z_b (cm)					#	
	z_{MI} (cm)	1,4					
	$z_{pii,\alpha}$ (cm)	1,4					
	f_{awf} (MHz)	6,75	#		#		#
Diğer bilgiler	pr (Hz)	1600					
	srr (Hz)	—					
	η_{pps}	1					
	$z_{pii,\alpha}'da I_{pa,\alpha}$ (W/cm ²)	388					
	$z_{pii,\alpha}$ veya $z_{sii,\alpha}'da I_{spta,\alpha}$ (mW/cm ²)	163,2					
	z_{pii} veya $z_{sii}'da I_{spta}$ (mW/cm ²)	333,3					
	$z_{pii}'de p_r$ (MPa)	4,35					
Çalıştırma kontrolleri	Muayene türü	Nrv					
	Optimizasyon	Pen					
	Derinlik (cm)	4,0					

(a) Bu indeks bu işletim modu için gerekli değildir; değer < 1'dir.

(b) Bu dönüştürücü transkranyal veya neonatal sefalik kullanım amaçlı değildir.

Aşağıda belirtilen nedenle global maksimum indeks değeri raporlanmamış olduğundan bu çalışma koşulu için herhangi bir veri raporlanmamıştır. (Referans global maksimum indeks değeri çizgisi.)

— Veriler bu dönüştürücü/mod için uygulanabilir değildir.

Tablo 23: Dönüştürücü modeli: HFL38xi İşletim modu: Color/CPD

İndeks etiketi	MI	TIS		TIB		TIC
		Yüzeyde	Yüzey altında	Yüzeyde	Yüzey altında	Yüzeyde
Maksimum indeks değeri	1,3	(a)		(a)		(b)
İndeks bileşen değeri		#	#	#	#	
Akustik parametreler	$z_{MI}dap_{r,\alpha}$ (MPa)	3,05				
	P (mW)		#	#		#
	P_{1x1} (mW)		#	#		
	z_s (cm)			—		
	z_b (cm)				—	
	z_{MI} (cm)	1,2				
	$z_{pii,\alpha}$ (cm)	1,2				
Diğer bilgiler	f_{awf} (MHz)	5,36	#	#		#
	pr (Hz)	2223				
	srr (Hz)	3,3				
	η_{pps}	14				
	$z_{pii,\alpha}'da I_{pa,\alpha}$ (W/cm ²)	494				
	$z_{pii,\alpha}$ veya $z_{sii,\alpha}'da I_{spta,\alpha}$ (mW/cm ²)	27,4				
	z_{pii} veya $z_{sii}'da I_{spta}$ (mW/cm ²)	40,1				
Çalıştırma kontrolleri	$z_{pii}'de p_r$ (MPa)	3,81				
	Muayene türü	SmP				
	Mod	CVD				
	2D optimizasyon/derinlik (cm)	Res/3,3				
	Renk optimizasyonu/PRF (Hz)	Düşük/401				
Renk kutu konumu/boyutu	Def/def					

(a) Bu indeks bu işletim modu için gerekli değildir; değer < 1'dir.

(b) Bu dönüştürücü transkranyal veya neonatal sefalik kullanım amaçlı değildir.

Aşağıda belirtilen nedenle global maksimum indeks değeri raporlanmamış olduğundan bu çalışma koşulu için herhangi bir veri raporlanmamıştır. (Referans global maksimum indeks değeri çizgisi.)

— Veriler bu dönüştürücü/mod için uygulanabilir değildir.

Tablo 24: Dönüştürücü modeli: HFL38xi İşletim modu: PW Doppler

İndeks etiketi		MI	TIS		TIB		TIC
			Yüzeyde	Yüzey altında	Yüzeyde	Yüzey altında	Yüzeyde
Maksimum indeks değeri		1,2	1,1		2,2		(b)
İndeks bileşen değeri			1,1	0,8	1,1	2,2	
Akustik parametreler	z_{MI} 'da $p_{r,\alpha}$ (MPa)	2,69					
	P (mW)		47,7		47,7		#
	P_{1x1} (mW)		47,7		47,7		
	z_s (cm)			1,1			
	z_b (cm)					1,10	
	z_{MI} (cm)	1,0					
	$z_{pii,\alpha}$ (cm)	1,0					
	f_{awf} (MHz)	5,34	4,86		4,86		#
Diğer bilgiler	pr (Hz)	1008					
	srr (Hz)	—					
	η_{pps}	1					
	$z_{pii,\alpha}$ 'da $I_{pa,\alpha}$ (W/cm^2)	308					
	$z_{pii,\alpha}$ veya $z_{sii,\alpha}$ 'da $I_{spta,\alpha}$ (mW/cm^2)	102,8					
	z_{pii} veya z_{sii} 'da I_{spta} (mW/cm^2)	210,0					
	z_{pii} 'de p_r (MPa)	3,23					
Çalıştırma kontrolleri	Muayene türü	Nrv	Art		Art		
	Örnek hacmi boyutu (mm)	1	1		1		
	Örnek hacmi konumu	Bölge 3	Bölge 7		Bölge 7		
	PRF (Hz)	1008	3125		3125		

(a) Bu indeks bu işletim modu için gerekli değildir; değer < 1'dir.

(b) Bu dönüştürücü transkranyal veya neonatal sefalik kullanım amaçlı değildir.

Aşağıda belirtilen nedenle global maksimum indeks değeri raporlanmamış olduğundan bu çalışma koşulu için herhangi bir veri raporlanmamıştır. (Referans global maksimum indeks değeri çizgisi.)

— Veriler bu dönüştürücü/mod için uygulanabilir değildir.

Tablo 25: Dönüştürücü modeli: HFL50x İşletim modu: 2B

İndeks etiketi	MI	TIS		TIB		TIC
		Yüzeyde	Yüzey altında	Yüzeyde	Yüzey altında	Yüzeyde
Maksimum indeks değeri	1,3	(a)		(a)		(b)
İndeks bileşen değeri		#	#	#	#	
Akustik parametreler	$z_{MI} \text{ da } p_{r,\alpha}$ (MPa)	3,051				
	P (mW)		#	#	#	#
	P_{1x1} (mW)		#	#	#	
	z_s (cm)			—		
	z_b (cm)				—	
	z_{MI} (cm)	1,2				
	$z_{pii,\alpha}$ (cm)	1,2				
	f_{awf} (MHz)	5,36	#		#	#
Diğer bilgiler	pr (Hz)	2733				
	srr (Hz)	7,2				
	η_{pps}	1				
	$z_{pii,\alpha} \text{ da } I_{pa,\alpha}$ (W/cm ²)	493				
	$z_{pii,\alpha}$ veya $z_{sii,\alpha} \text{ da } I_{spta,\alpha}$ (mW/cm ²)	8,6				
	z_{pii} veya $z_{sii} \text{ da } I_{spta}$ (mW/cm ²)	12,6				
	z_{pii} de p_r (MPa)	3,81				
Çalıştırma kontrolleri	Muayene türü	Herhangi biri				
	Optimizasyon	Herhangi biri				
	Derinlik (cm)	3,3				
	Mbe	Açık				

(a) Bu indeks bu işletim modu için gerekli değildir; değer < 1'dir.

(b) Bu dönüştürücü transkranyal veya neonatal sefalik kullanım amaçlı değildir.

Aşağıda belirtilen nedenle global maksimum indeks değeri raporlanmamış olduğundan bu çalışma koşulu için herhangi bir veri raporlanmamıştır. (Referans global maksimum indeks değeri çizgisi.)

— Veriler bu dönüştürücü/mod için uygulanabilir değildir.

Tablo 26: Dönüştürücü modeli: HFL50x İşletim modu: M Modu

İndeks etiketi		MI	TIS		TIB		TIC
			Yüzeyde	Yüze altında	Yüzeyde	Yüze altında	Yüzeyde
Maksimum indeks değeri		1,2	(a)		(a)		(b)
İndeks bileşen değeri			#	#	#	#	
Akustik parametreler	$z_{MI} \text{ da } p_{r,\alpha}$ (MPa)	3,14					
	P (mW)		#		#		#
	P_{1x1} (mW)		#		#		
	z_s (cm)			#			
	z_b (cm)					#	
	z_{MI} (cm)	1,4					
	$z_{pii,\alpha}$ (cm)	1,4					
	f_{awf} (MHz)	6,75	#		#		#
Diğer bilgiler	pr (Hz)	1600					
	srr (Hz)	—					
	η_{pps}	1					
	$z_{pii,\alpha} \text{ da } I_{pa,\alpha}$ (W/cm^2)	388					
	$z_{pii,\alpha}$ veya $z_{sii,\alpha} \text{ da } I_{spta,\alpha}$ (mW/cm^2)	163,2					
	z_{pii} veya $z_{sii} \text{ da } I_{spta}$ (mW/cm^2)	333,3					
	z_{pii} de p_r (MPa)	4,35					
Çalıştırma kontrolleri	Muayene türü	Herhangi biri					
	Optimizasyon	Pen					
	Derinlik (cm)	4					

(a) Bu indeks bu işletim modu için gerekli değildir; değer < 1'dir.

(b) Bu dönüştürücü transkranyal veya neonatal sefalik kullanım amaçlı değildir.

Aşağıda belirtilen nedenle global maksimum indeks değeri raporlanmamış olduğundan bu çalışma koşulu için herhangi bir veri raporlanmamıştır. (Referans global maksimum indeks değeri çizgisi.)

— Veriler bu dönüştürücü/mod için uygulanabilir değildir.

Tablo 27: Dönüştürücü modeli: HFL50x İşletim modu: Renkli

İndeks etiketi	MI	TIS		TIB		TIC
		Yüzeyde	Yüzey altında	Yüzeyde	Yüzey altında	Yüzeyde
Maksimum indeks değeri	1,3	(a)		(a)		(b)
İndeks bileşen değeri		#	#	#	#	
Akustik parametreler	$z_{MI} da p_{r,\alpha}$ (MPa)	3,05				
	P (mW)		#	#		#
	$P_{1 \times 1}$ (mW)		#	#		
	z_s (cm)			—		
	z_b (cm)				—	
	z_{MI} (cm)	1,2				
	$z_{pii,\alpha}$ (cm)	1,2				
	f_{awf} (MHz)	5,36	#		#	
Diğer bilgiler	pr (Hz)	8233				
	srr (Hz)	3,2				
	n_{pps}	14				
	$z_{pii,\alpha} da I_{pa,\alpha}$ (W/cm ²)	494				
	$z_{pii,\alpha}$ veya $z_{sii,\alpha} da I_{spta,\alpha}$ (mW/cm ²)	26,8				
	z_{pii} veya $z_{sii} da I_{spta}$ (mW/cm ²)	39,2				
	Z_{pii} 'de p_r (MPa)	3,81				
Çalıştırma kontrolleri	Muayene türü	Herhangi biri				
	Mod	Herhangi biri				
	Optimizasyon/derinlik (cm)	Düşük/3.3				
	PRF (Hz)	Herhangi biri				

(a) Bu indeks bu işletim modu için gerekli değildir; değer < 1'dir.

(b) Bu dönüştürücü transkranyal veya neonatal sefalik kullanım amaçlı değildir.

Aşağıda belirtilen nedenle global maksimum indeks değeri raporlanmamış olduğundan bu çalışma koşulu için herhangi bir veri raporlanmamıştır. (Referans global maksimum indeks değeri çizgisi.)

— Veriler bu dönüştürücü/mod için uygulanabilir değildir.

Tablo 28: Dönüştürücü modeli: HFL50x İşletim modu: PW Doppler

İndeks etiketi		MI	TIS		TIB		TIC
			Yüzeyde	Yüzey altında	Yüzeyde	Yüzey altında	Yüzeyde
Maksimum indeks değeri		1,2	1,1		1,9		(b)
İndeks bileşen değeri			1,1	0,7	1,1	1,9	
Akustik parametreler	z_{MI} 'da $p_{r,\alpha}$ (MPa)	2,69					
	P (mW)		42,6		42,6		#
	P_{1x1} (mW)		42,6		42,6		
	z_s (cm)			1,1			
	z_b (cm)					1,10	
	z_{MI} (cm)	1,0					
	$z_{pii,\alpha}$ (cm)	1,0					
	f_{awf} (MHz)	5,34	5,34		5,34		#
Diğer bilgiler	pr (Hz)	1008					
	srr (Hz)	—					
	η_{pps}	1					
	$z_{pii,\alpha}$ 'da $I_{pa,\alpha}$ (W/cm^2)	308					
	$z_{pii,\alpha}$ veya $z_{sii,\alpha}$ 'da $I_{spta,\alpha}$ (mW/cm^2)	399,6					
	z_{pii} veya z_{sii} 'da I_{spta} (mW/cm^2)	599,8					
	z_{pii} 'de p_r (MPa)	3,23					
Çalıştırma kontrolleri	Muayene türü	Herhangi biri	Herhangi biri		Herhangi biri		
	Örnek hacmi boyutu (mm)	1	1		1		
	Örnek hacmi konumu	Bölge 3	Bölge 7		Bölge 7		
	PRF (Hz)	1008	1563–3125		1563–3125		

(a) Bu indeks bu işletim modu için gerekli değildir; değer < 1'dir.

(b) Bu dönüştürücü transkranyal veya neonatal sefalik kullanım amaçlı değildir.

Aşağıda belirtilen nedenle global maksimum indeks değeri raporlanmamış olduğundan bu çalışma koşulu için herhangi bir veri raporlanmamıştır. (Referans global maksimum indeks değeri çizgisi.)

— Veriler bu dönüştürücü/mod için uygulanabilir değildir.

Tablo 29: Dönüştürücü modeli: HSL25x (Oftalmik kullanım) İşletim modu: 2B

İndeks etiketi	MI	TIS		TIB		TIC
		Yüzeyde	Yüzey altında	Yüzeyde	Yüzey altında	Yüzeyde
Maksimum indeks değeri	0,17	0,02		0,02		(b)
İndeks bileşen değeri		0,02	0,02	0,02	0,02	
Akustik parametreler	$z_{MI} \text{ da } p_{r,\alpha}$ (MPa)	0,47				
	P (mW)		1,62	1,62		#
	$P_{1 \times 1}$ (mW)		0,70	0,70		
	z_s (cm)		—			
	z_b (cm)				—	
	z_{MI} (cm)	0,8				
	$z_{pii,\alpha}$ (cm)	0,8				
	f_{awf} (MHz)	7,65	6,97		6,97	
Diğer bilgiler	pr (Hz)	12.580				
	srr (Hz)	12,3				
	η_{pps}	4				
	$z_{pii,\alpha} \text{ da } I_{pa,\alpha}$ (W/cm ²)	13,4				
	$z_{pii,\alpha}$ veya $z_{sii,\alpha} \text{ da } I_{spta,\alpha}$ (mW/cm ²)	0,6				
	z_{pii} veya $z_{sii} \text{ da } I_{spta}$ (mW/cm ²)	1,0				
	$z_{pii} \text{ de } p_r$ (MPa)	0,58				
Çalıştırma kontrolleri	Muayene türü	Oph	Oph	Oph		
	Optimizasyon	Res	Pen	Pen		
	Derinlik (cm)	1,9	4,3	4,3		
	MB	Açık	Açık	Açık		

(a) Bu indeks bu işletim modu için gerekli değildir; değer < 1'dir.

(b) Bu dönüştürücü transkranyal veya neonatal sefalik kullanım amaçlı değildir.

Aşağıda belirtilen nedenle global maksimum indeks değeri raporlanmamış olduğundan bu çalışma koşulu için herhangi bir veri raporlanmamıştır. (Referans global maksimum indeks değeri çizgisi.)

— Veriler bu dönüştürücü/mod için uygulanabilir değildir.

Tablo 30: Dönüştürücü modeli: HSL25x (Oftalmik kullanım) İşletim modu: M Modu

İndeks etiketi		MI	TIS		TIB		TIC
			Yüzeyde	Yüzey altında	Yüzeyde	Yüzey altında	Yüzeyde
Maksimum indeks değeri		0,17	0,01		0,02		(b)
İndeks bileşen değeri			0,010	0,009	0,013	0,020	
Akustik parametreler	z_{MI} 'da $p_{r,\alpha}$ (MPa)	0,47					
	P (mW)		0,45		0,45		#
	P_{1x1} (mW)		0,45		0,45		
	z_s (cm)			0,9			
	z_b (cm)					0,85	
	z_{MI} (cm)	1,0					
	$z_{pii,\alpha}$ (cm)	1,0					
	f_{awf} (MHz)	7,59	6,25		6,25		#
Diğer bilgiler	pr (Hz)	1600					
	srr (Hz)	—					
	η_{pps}	1					
	$z_{pii,\alpha}$ 'da $I_{pa,\alpha}$ (W/cm^2)	14,9					
	$z_{pii,\alpha}$ veya $z_{sii,\alpha}$ 'da $I_{spta,\alpha}$ (mW/cm^2)	2,3					
	z_{pii} veya z_{sii} 'da I_{spta} (mW/cm^2)	4,0					
	z_{pii} 'de p_r (MPa)	0,61					
Çalıştırma kontrolleri	Muayene türü	Oph	Oph		Oph		
	Optimizasyon	Res	Pen		Pen		
	Derinlik (cm)	1,9	4,3		4,3		

(a) Bu indeks bu işletim modu için gerekli değildir; değer < 1'dir.

(b) Bu dönüştürücü transkranyal veya neonatal sefalik kullanım amaçlı değildir.

Aşağıda belirtilen nedenle global maksimum indeks değeri raporlanmamış olduğundan bu çalışma koşulu için herhangi bir veri raporlanmamıştır. (Referans global maksimum indeks değeri çizgisi.)

— Veriler bu dönüştürücü/mod için uygulanabilir değildir.

Tablo 31: Dönüştürücü modeli: HSL25x (Oftalmik kullanım) İşletim modu: Color/CPD

İndeks etiketi	MI	TIS		TIB		TIC
		Yüzeyde	Yüzey altında	Yüzeyde	Yüzey altında	Yüzeyde
Maksimum indeks değeri	0,17	0,06		0,06		(b)
İndeks bileşen değeri		0,06	0,06	0,06	0,06	
Akustik parametreler	$z_{MI} \text{ da } p_{r,\alpha}$ (MPa)	0,42				
	P (mW)		2,9	2,9		#
	$P_{1 \times 1}$ (mW)		1,9	1,9		
	z_s (cm)		—			
	z_b (cm)				—	
	z_{MI} (cm)	0,7				
	$z_{pii,\alpha}$ (cm)	0,7				
	f_{awf} (MHz)	6,11	6,10	6,10		#
Diğer bilgiler	p_{rr} (Hz)	3096				
	s_{rr} (Hz)	8,1				
	n_{pps}	14				
	$z_{pii,\alpha} \text{ da } I_{pa,\alpha}$ (W/cm ²)	7,5				
	$z_{pii,\alpha}$ veya $z_{sii,\alpha} \text{ da } I_{spta,\alpha}$ (mW/cm ²)	1,1				
	z_{pii} veya $z_{sii} \text{ da } I_{spta}$ (mW/cm ²)	1,6				
	$z_{pii} \text{ de } p_r$ (MPa)	0,49				
Çalıştırma kontrolleri	Muayene türü	Oph	Oph	Oph		
	Mod	CVD	CVD	CVD		
	2D optimizasyon/derinlik (cm)	Pen/1,9	Pen/5,1	Pen/5,1		
	Renk optimizasyonu/PRF (Hz)	Düşük/401	Med/4167	Med/4167		
	Renk kutu konumu/boyutu	Def/def	Üst/kısa-geniş	Üst/kısa-geniş		

(a) Bu indeks bu işletim modu için gerekli değildir; değer < 1'dir.

(b) Bu dönüştürücü transkranyal veya neonatal sefalik kullanım amaçlı değildir.

Aşağıda belirtilen nedenle global maksimum indeks değeri raporlanmamış olduğundan bu çalışma koşulu için herhangi bir veri raporlanmamıştır. (Referans global maksimum indeks değeri çizgisi.)

— Veriler bu dönüştürücü/mod için uygulanabilir değildir.

Tablo 32: Dönüştürücü modeli: HSL25x (Oftalmik kullanım) İşletim modu: PW Doppler

İndeks etiketi		MI	TIS		TIB		TIC
			Yüzeyde	Yüzey altında	Yüzeyde	Yüzey altında	Yüzeyde
Maksimum indeks değeri		0,18	0,12		0,21		(b)
İndeks bileşen değeri			0,12	0,08	0,12	0,21	
Akustik parametreler	z_{MI} 'da $p_{r,\alpha}$ (MPa)	0,44					
	P (mW)		4,0		4,0		#
	P_{1x1} (mW)		4,0		4,0		
	z_s (cm)			0,9			
	z_b (cm)					0,80	
	z_{MI} (cm)	1,2					
	$z_{pii,\alpha}$ (cm)	1,2					
	f_{awf} (MHz)	6,03	6,03		6,03		#
Diğer bilgiler	pr (Hz)	1953					
	srr (Hz)	—					
	η_{pps}	1					
	$z_{pii,\alpha}$ 'da $I_{pa,\alpha}$ (W/cm^2)	7,4					
	$z_{pii,\alpha}$ veya $z_{sii,\alpha}$ 'da $I_{spta,\alpha}$ (mW/cm^2)	18,4					
	z_{pii} veya z_{sii} 'da I_{spta} (mW/cm^2)	44,9					
	z_{pii} 'de p_r (MPa)	0,56					
Çalıştırma kontrolleri	Muayene türü	Oph	Oph		Oph		
	Örnek hacmi boyutu (mm)	1	1		1		
	Örnek hacmi konumu	Bölge 7	Bölge 7		Bölge 7		
	PRF (Hz)	1953	5208		5208		

(a) Bu indeks bu işletim modu için gerekli değildir; değer < 1'dir.

(b) Bu dönüştürücü transkranyal veya neonatal sefalik kullanım amaçlı değildir.

Aşağıda belirtilen nedenle global maksimum indeks değeri raporlanmamış olduğundan bu çalışma koşulu için herhangi bir veri raporlanmamıştır. (Referans global maksimum indeks değeri çizgisi.)

— Veriler bu dönüştürücü/mod için uygulanabilir değildir.

Tablo 33: Dönüştürücü modeli: HSL25x İşletim modu: 2B

İndeks etiketi	MI	TIS		TIB		TIC
		Yüzeyde	Yüzey altında	Yüzeyde	Yüzey altında	Yüzeyde
Maksimum indeks değeri	1,2	(a)		(a)		(b)
İndeks bileşen değeri		#	#	#	#	
Akustik parametreler	$z_{MI}dap_{r,\alpha}$ (MPa)	2,87				
	P (mW)		#	#		#
	P_{1x1} (mW)		#	#		
	z_s (cm)			—		
	z_b (cm)				—	
	z_{MI} (cm)	0,8				
	$z_{pii,\alpha}$ (cm)	0,8				
	f_{awf} (MHz)	6,11	#		#	
Diğer bilgiler	pr (Hz)	1061				
	srr (Hz)	13,0				
	η_{pps}	1				
	$z_{pii,\alpha}'da I_{pa,\alpha}$ (W/cm ²)	478				
	$z_{pii,\alpha}$ veya $z_{sii,\alpha}'da I_{spta,\alpha}$ (mW/cm ²)	12,2				
	z_{pii} veya $z_{sii}'da I_{spta}$ (mW/cm ²)	16,4				
	$Z_{pii}'de p_r$ (MPa)	3,39				
Çalıştırma kontrolleri	Muayene türü	Nrv/Msk/ Ven/Art				
	Optimizasyon	Herhangi biri				
	Derinlik (cm)	1,9–2,2				
	Mbe	Açık				

(a) Bu indeks bu işletim modu için gerekli değildir; değer < 1'dir.

(b) Bu dönüştürücü transkranyal veya neonatal sefalik kullanım amaçlı değildir.

Aşağıda belirtilen nedenle global maksimum indeks değeri raporlanmamış olduğundan bu çalışma koşulu için herhangi bir veri raporlanmamıştır. (Referans global maksimum indeks değeri çizgisi.)

— Veriler bu dönüştürücü/mod için uygulanabilir değildir.

Tablo 34: Dönüştürücü modeli: HSL25x İşletim modu: Color/CPD

İndeks etiketi		MI	TIS		TIB		TIC
			Yüzeyde	Yüzey altında	Yüzeyde	Yüzey altında	Yüzeyde
Maksimum indeks değeri		1,0	(a)		(a)		(b)
İndeks bileşen değeri			#	#	#	#	
Akustik parametreler	$z_{MI}dap_{r,\alpha}$ (MPa)	2,35					
	P (mW)		#		#		#
	P_{1x1} (mW)		#		#		
	z_s (cm)			—			
	z_b (cm)					—	
	z_{MI} (cm)	0,8					
	$z_{pii,\alpha}$ (cm)	0,8					
	f_{awf} (MHz)	6,11	#		#		#
Diğer bilgiler	pr (Hz)	3079					
	srr (Hz)	8,0					
	n_{pps}	14					
	$z_{pii,\alpha}$ 'da $I_{pa,\alpha}$ (W/cm ²)	276					
	$z_{pii,\alpha}$ veya $z_{sii,\alpha}$ 'da $I_{spta,\alpha}$ (mW/cm ²)	47,6					
	z_{pii} veya z_{sii} 'da I_{spta} (mW/cm ²)	63,9					
	z_{pii} 'de p_r (MPa)	2,78					
Çalıştırma kontrolleri	Muayene türü	Sup					
	Mod	CVD					
	2D optimizasyon/derinlik (cm)	Pen/3,1					
	Renk optimizasyonu/PRF (Hz)	Düşük/401					
	Renk kutu konumu/boyutu	Def/def					

(a) Bu indeks bu işletim modu için gerekli değildir; değer < 1'dir.

(b) Bu dönüştürücü transkranyal veya neonatal sefalik kullanım amaçlı değildir.

Aşağıda belirtilen nedenle global maksimum indeks değeri raporlanmamış olduğundan bu çalışma koşulu için herhangi bir veri raporlanmamıştır. (Referans global maksimum indeks değeri çizgisi.)

— Veriler bu dönüştürücü/mod için uygulanabilir değildir.

Tablo 35: Dönüştürücü modeli: HSL25x İşletim modu: PW Doppler

İndeks etiketi	MI	TIS		TIB		TIC
		Yüzeyde	Yüzey altında	Yüzeyde	Yüzey altında	Yüzeyde
Maksimum indeks değeri	(a)	(a)		1,5		(b)
İndeks bileşen değeri		#	#	0,8	1,5	
Akustik parametreler	z_{MI} 'da $p_{r,\alpha}$ (MPa)	#				
	P (mW)		#	28,1		#
	P_{1x1} (mW)		#	28,1		
	z_s (cm)		#			
	z_b (cm)				0,75	
	z_{MI} (cm)	#				
	$z_{pii,\alpha}$ (cm)	#				
	f_{awf} (MHz)	#	#	6,00		#
Diğer bilgiler	pr (Hz)	#				
	srr (Hz)	#				
	η_{pps}	#				
	$z_{pii,\alpha}$ 'da $I_{pa,\alpha}$ (W/cm ²)	#				
	$z_{pii,\alpha}$ veya $z_{sii,\alpha}$ 'da $I_{spta,\alpha}$ (mW/cm ²)	#				
	z_{pii} veya z_{sii} 'da I_{spta} (mW/cm ²)	#				
	z_{pii} 'de p_r (MPa)	#				
Çalıştırma kontrolleri	Muayene türü			Nrv		
	Örnek hacmi boyutu (mm)			8		
	Örnek hacmi konumu			Bölge 7		
	PRF (Hz)			1953		

(a) Bu indeks bu işletim modu için gerekli değildir; değer < 1'dir.

(b) Bu dönüştürücü transkranyal veya neonatal sefalik kullanım amaçlı değildir.

Aşağıda belirtilen nedenle global maksimum indeks değeri raporlanmamış olduğundan bu çalışma koşulu için herhangi bir veri raporlanmamıştır. (Referans global maksimum indeks değeri çizgisi.)

— Veriler bu dönüştürücü/mod için uygulanabilir değildir.

Tablo 36: Dönüştürücü modeli: ICTx İşletim modu: PW Doppler

İndeks etiketi		MI	TIS		TIB		TIC
			Yüzeyde	Yüzey altında	Yüzeyde	Yüzey altında	Yüzeyde
Maksimum indeks değeri		(a)	(a)		1,2		(b)
İndeks bileşen değeri			#	#	0,3	1,2	
Akustik parametreler	z_{MI} 'da $p_{r,\alpha}$ (MPa)	#					
	P (mW)		#		16,3		#
	P_{1x1} (mW)		#		16,3		
	z_s (cm)			#			
	z_b (cm)					1,60	
	z_{MI} (cm)	#					
	$z_{pii,\alpha}$ (cm)	#					
	f_{awf} (MHz)	#	#		4,36		#
Diğer bilgiler	pr (Hz)	#					
	srr (Hz)	#					
	η_{pps}	#					
	$z_{pii,\alpha}$ 'da $I_{pa,\alpha}$ (W/cm^2)	#					
	$z_{pii,\alpha}$ veya $z_{sii,\alpha}$ 'da $I_{spta,\alpha}$ (mW/cm^2)	#					
	z_{pii} veya z_{sii} 'da I_{spta} (mW/cm^2)	#					
Çalıştırma kontrolleri	z_{pii} 'de p_r (MPa)	#					
	Muayene türü				Herhangi biri		
	Örnek hacmi boyutu (mm)				3		
	Örnek hacmi konumu				Bölge 1		
	PRF (Hz)				Herhangi biri		

(a) Bu indeks bu işletim modu için gerekli değildir; değer < 1'dir.

(b) Bu dönüştürücü transkranyal veya neonatal sefalik kullanım amaçlı değildir.

Aşağıda belirtilen nedenle global maksimum indeks değeri raporlanmamış olduğundan bu çalışma koşulu için herhangi bir veri raporlanmamıştır. (Referans global maksimum indeks değeri çizgisi.)

— Veriler bu dönüştürücü/mod için uygulanabilir değildir.

Tablo 37: Dönüştürücü modeli: L25x (Oftalmik kullanım) İşletim modu: 2B

İndeks etiketi		MI	TIS		TIB		TIC
			Yüzeyde	Yüzey altında	Yüzeyde	Yüzey altında	Yüzeyde
Maksimum indeks değeri		0,17	0,02		0,02		(b)
İndeks bileşen değeri			0,02	0,02	0,02	0,02	
Akustik parametreler	$z_{MI} \text{ da } p_{r,\alpha}$ (MPa)	0,47					
	P (mW)		1,62		1,62		#
	$P_{1 \times 1}$ (mW)		0,70		0,70		
	z_s (cm)			—			
	z_b (cm)					—	
	z_{MI} (cm)	0,8					
	$z_{pii,\alpha}$ (cm)	0,8					
	f_{awf} (MHz)	7,65	6,97		6,97		#
Diğer bilgiler	pr (Hz)	12.580					
	srr (Hz)	12,3					
	η_{pps}	4					
	$z_{pii,\alpha} \text{ da } I_{pa,\alpha}$ (W/cm ²)	13,4					
	$z_{pii,\alpha}$ veya $z_{sii,\alpha} \text{ da } I_{spta,\alpha}$ (mW/cm ²)	0,6					
	z_{pii} veya $z_{sii} \text{ da } I_{spta}$ (mW/cm ²)	1,0					
	$z_{pii} \text{ de } p_r$ (MPa)	0,58					
Çalıştırma kontrolleri	Muayene türü	Oph	Oph		Oph		
	Optimizasyon	Res	Pen		Pen		
	Derinlik (cm)	1,9	4,3		4,3		
	MB	Açık	Açık		Açık		

(a) Bu indeks bu işletim modu için gerekli değildir; değer < 1'dir.

(b) Bu dönüştürücü transkranyal veya neonatal sefalik kullanım amaçlı değildir.

Aşağıda belirtilen nedenle global maksimum indeks değeri raporlanmamış olduğundan bu çalışma koşulu için herhangi bir veri raporlanmamıştır. (Referans global maksimum indeks değeri çizgisi.)

— Veriler bu dönüştürücü/mod için uygulanabilir değildir.

Tablo 38: Dönüştürücü modeli: L25x (Oftalmik kullanım) İşletim modu: M Modu

İndeks etiketi		MI	TIS		TIB		TIC
			Yüzeyde	Yüzey altında	Yüzeyde	Yüzey altında	Yüzeyde
Maksimum indeks değeri		0,17	0,010		0,020		(b)
İndeks bileşen değeri			0,010	0,009	0,013	0,020	
Akustik parametreler	z_{MI} 'da $p_{r,\alpha}$ (MPa)	0,47					
	P (mW)		0,45		0,45		#
	P_{1x1} (mW)		0,45		0,45		
	z_s (cm)			0,9			
	z_b (cm)					0,85	
	z_{MI} (cm)	1,0					
	$z_{pii,\alpha}$ (cm)	1,0					
	f_{awf} (MHz)	7,59	6,25		6,25		#
Diğer bilgiler	pr (Hz)	1600					
	srr (Hz)	—					
	η_{pps}	1					
	$z_{pii,\alpha}$ 'da $I_{pa,\alpha}$ (W/cm^2)	14,9					
	$z_{pii,\alpha}$ veya $z_{sii,\alpha}$ 'da $I_{spta,\alpha}$ (mW/cm^2)	2,3					
	z_{pii} veya z_{sii} 'da I_{spta} (mW/cm^2)	4,0					
	z_{pii} 'de p_r (MPa)	0,61					
Çalıştırma kontrolleri	Muayene türü	Oph	Oph		Oph		
	Optimizasyon	Res	Pen		Pen		
	Derinlik (cm)	1,9	4,3		4,3		

(a) Bu indeks bu işletim modu için gerekli değildir; değer < 1'dir.

(b) Bu dönüştürücü transkranyal veya neonatal sefalik kullanım amaçlı değildir.

Aşağıda belirtilen nedenle global maksimum indeks değeri raporlanmamış olduğundan bu çalışma koşulu için herhangi bir veri raporlanmamıştır. (Referans global maksimum indeks değeri çizgisi.)

— Veriler bu dönüştürücü/mod için uygulanabilir değildir.

Tablo 39: Dönüştürücü modeli: L25x (Oftalmik kullanım) İşletim modu: Color/CPD

İndeks etiketi	MI	TIS		TIB		TIC
		Yüzeyde	Yüzey altında	Yüzeyde	Yüzey altında	Yüzeyde
Maksimum indeks değeri	0,17	0,06		0,06		(b)
İndeks bileşen değeri		0,06	0,06	0,06	0,06	
Akustik parametreler	$z_{MI}dap_{r,\alpha}$ (MPa)	0,42				
	P (mW)		2,9	2,9		#
	P_{1x1} (mW)		1,9	1,9		
	z_s (cm)		—			
	z_b (cm)				—	
	z_{MI} (cm)	0,7				
	$z_{pii,\alpha}$ (cm)	0,7				
	f_{awf} (MHz)	6,11	6,10	6,10		#
Diğer bilgiler	pr (Hz)	3096				
	srr (Hz)	8,1				
	η_{pps}	14				
	$z_{pii,\alpha}'da I_{pa,\alpha}$ (W/cm ²)	7,5				
	$z_{pii,\alpha}$ veya $z_{sii,\alpha}'da I_{spta,\alpha}$ (mW/cm ²)	1,1				
	z_{pii} veya $z_{sii}'da I_{spta}$ (mW/cm ²)	1,6				
	$Z_{pii}'de p_r$ (MPa)	0,49				
Çalıştırma kontrolleri	Muayene türü	Oph	Oph	Oph		
	Mod	CVD	CVD	CVD		
	2D optimizasyon/derinlik (cm)	Pen/1,9	Pen/5,1	Pen/5,1		
	Renk optimizasyonu/PRF (Hz)	Düşük/401	Med/4167	Med/4167		
	Renk kutu konumu/boyutu	Def/def	Üst/kısa-geniş	Üst/kısa-geniş		

(a) Bu indeks bu işletim modu için gerekli değildir; değer < 1'dir.

(b) Bu dönüştürücü transkranyal veya neonatal sefalik kullanım amaçlı değildir.

Aşağıda belirtilen nedenle global maksimum indeks değeri raporlanmamış olduğundan bu çalışma koşulu için herhangi bir veri raporlanmamıştır. (Referans global maksimum indeks değeri çizgisi.)

— Veriler bu dönüştürücü/mod için uygulanabilir değildir.

Tablo 40: Dönüştürücü modeli: L25x (Oftalmik kullanım) İşletim modu: PW Doppler

İndeks etiketi		MI	TIS		TIB		TIC
			Yüzeyde	Yüzey altında	Yüzeyde	Yüzey altında	Yüzeyde
Maksimum indeks değeri		0,18	0,12		0,21		(b)
İndeks bileşen değeri			0,12	0,08	0,12	0,21	
Akustik parametreler	z_{MI} 'da $p_{r,\alpha}$ (MPa)	0,44					
	P (mW)		4,0		4,0		#
	P_{1x1} (mW)		4,0		4,0		
	z_s (cm)		0,9				
	z_b (cm)				0,80		
	z_{MI} (cm)	1,2					
	$z_{pii,\alpha}$ (cm)	1,2					
	f_{awf} (MHz)	6,03	6,03		6,03		#
Diğer bilgiler	pr (Hz)	1953					
	srr (Hz)	—					
	η_{pps}	1					
	$z_{pii,\alpha}$ 'da $I_{pa,\alpha}$ (W/cm^2)	7,4					
	$z_{pii,\alpha}$ veya $z_{sii,\alpha}$ 'da $I_{spta,\alpha}$ (mW/cm^2)	18,4					
	z_{pii} veya z_{sii} 'da I_{spta} (mW/cm^2)	44,9					
	z_{pii} 'de p_r (MPa)	0,56					
Çalıştırma kontrolleri	Muayene türü	Oph	Oph		Oph		
	Örnek hacmi boyutu (mm)	1	1		1		
	Örnek hacmi konumu	Bölge 7	Bölge 7		Bölge 7		
	PRF (Hz)	1953	5208		5208		

(a) Bu indeks bu işletim modu için gerekli değildir; değer < 1'dir.

(b) Bu dönüştürücü transkranyal veya neonatal sefalik kullanım amaçlı değildir.

Aşağıda belirtilen nedenle global maksimum indeks değeri raporlanmamış olduğundan bu çalışma koşulu için herhangi bir veri raporlanmamıştır. (Referans global maksimum indeks değeri çizgisi.)

— Veriler bu dönüştürücü/mod için uygulanabilir değildir.

Tablo 41: Dönüştürücü modeli: L25x İşletim modu: 2B

İndeks etiketi	MI	TIS		TIB		TIC
		Yüzeyde	Yüzey altında	Yüzeyde	Yüzey altında	Yüzeyde
Maksimum indeks değeri	1,2	(a)		(a)		(b)
İndeks bileşen değeri		#	#	#	#	
Akustik parametreler	$z_{MI} \text{ da } p_{r,\alpha}$ (MPa)	2,87				
	P (mW)		#	#	#	#
	$P_{1 \times 1}$ (mW)		#	#	#	
	z_s (cm)			—		
	z_b (cm)				—	
	z_{MI} (cm)	0,8				
	$z_{pii,\alpha}$ (cm)	0,8				
	f_{awf} (MHz)	6,11	#		#	#
Diğer bilgiler	p_{rr} (Hz)	1061				
	s_{rr} (Hz)	13,0				
	η_{pps}	1				
	$z_{pii,\alpha} \text{ da } I_{pa,\alpha}$ (W/cm^2)	478				
	$z_{pii,\alpha}$ veya $z_{sii,\alpha} \text{ da } I_{spta,\alpha}$ (mW/cm^2)	12,2				
	z_{pii} veya $z_{sii} \text{ da } I_{spta}$ (mW/cm^2)	16,4				
	z_{pii} de p_r (MPa)	3,39				
Çalıştırma kontrolleri	Muayene türü	Nrv/Msk/ Ven/Art				
	Optimizasyon	Herhangi biri				
	Derinlik (cm)	1,9–2,2				
	Mbe	Açık				

(a) Bu indeks bu işletim modu için gerekli değildir; değer < 1'dir.

(b) Bu dönüştürücü transkranyal veya neonatal sefalik kullanım amaçlı değildir.

Aşağıda belirtilen nedenle global maksimum indeks değeri raporlanmamış olduğundan bu çalışma koşulu için herhangi bir veri raporlanmamıştır. (Referans global maksimum indeks değeri çizgisi.)

— Veriler bu dönüştürücü/mod için uygulanabilir değildir.

Tablo 42: Dönüştürücü modeli: L25x İşletim modu: Color/CPD

İndeks etiketi		MI	TIS		TIB		TIC
			Yüzeyde	Yüzey altında	Yüzeyde	Yüzey altında	Yüzeyde
Maksimum indeks değeri		1,0	(a)		(a)		(b)
İndeks bileşen değeri			#	#	#	#	
Akustik parametreler	$z_{MI}dap_{r,\alpha}$ (MPa)	2,35					
	P (mW)		#		#		#
	P_{1x1} (mW)		#		#		
	z_s (cm)			—			
	z_b (cm)					—	
	z_{MI} (cm)	0,8					
	$z_{pii,\alpha}$ (cm)	0,8					
	f_{awf} (MHz)	6,11	#		#		#
Diğer bilgiler	pr (Hz)	5261					
	srr (Hz)	13,7					
	n_{pps}	14					
	$z_{pii,\alpha}$ 'da $I_{pa,\alpha}$ (W/cm ²)	276					
	$z_{pii,\alpha}$ veya $z_{sii,\alpha}$ 'da $I_{spta,\alpha}$ (mW/cm ²)	81,5					
	z_{pii} veya z_{sii} 'da I_{spta} (mW/cm ²)	109,5					
	z_{pii} 'de p_r (MPa)	2,78					
Çalıştırma kontrolleri	Muayene türü	Ven					
	Mod	CVD					
	2D optimizasyon/derinlik (cm)	Pen/3,1					
	Renk optimizasyonu/PRF (Hz)	Düşük/779					
	Renk kutu konumu/boyutu	Def/def					

(a) Bu indeks bu işletim modu için gerekli değildir; değer < 1'dir.

(b) Bu dönüştürücü transkranyal veya neonatal sefalik kullanım amaçlı değildir.

Aşağıda belirtilen nedenle global maksimum indeks değeri raporlanmamış olduğundan bu çalışma koşulu için herhangi bir veri raporlanmamıştır. (Referans global maksimum indeks değeri çizgisi.)

— Veriler bu dönüştürücü/mod için uygulanabilir değildir.

Tablo 43: Dönüştürücü modeli: L25x İşletim modu: PW Doppler

İndeks etiketi	MI	TIS		TIB		TIC
		Yüzeyde	Yüzey altında	Yüzeyde	Yüzey altında	Yüzeyde
Maksimum indeks değeri	(a)	(a)		1,7		(b)
İndeks bileşen değeri		#	#	0,9	1,7	
Akustik parametreler	$z_{MI} \text{ da } p_{r,\alpha}$ (MPa)	#				
	P (mW)		#	32,1		#
	P_{1x1} (mW)		#	32,1		
	z_s (cm)		#			
	z_b (cm)				0,75	
	z_{MI} (cm)	#				
	$z_{pii,\alpha}$ (cm)	#				
	f_{awf} (MHz)	#	#	#		#
Diğer bilgiler	pr (Hz)	#				
	srr (Hz)	#				
	η_{pps}	#				
	$z_{pii,\alpha} \text{ da } I_{pa,\alpha}$ (W/cm ²)	#				
	$z_{pii,\alpha}$ veya $z_{sii,\alpha} \text{ da } I_{spta,\alpha}$ (mW/cm ²)	#				
	z_{pii} veya $z_{sii} \text{ da } I_{spta}$ (mW/cm ²)	#				
	$z_{pii} \text{ de } p_r$ (MPa)	#				
Çalıştırma kontrolleri	Muayene türü			Vas/Ven/Nrv		
	Örnek hacmi boyutu (mm)			8		
	Örnek hacmi konumu			Bölge 7		
	PRF (Hz)			1953		

(a) Bu indeks bu işletim modu için gerekli değildir; değer < 1'dir.

(b) Bu dönüştürücü transkranyal veya neonatal sefalik kullanım amaçlı değildir.

Aşağıda belirtilen nedenle global maksimum indeks değeri raporlanmamış olduğundan bu çalışma koşulu için herhangi bir veri raporlanmamıştır. (Referans global maksimum indeks değeri çizgisi.)

— Veriler bu dönüştürücü/mod için uygulanabilir değildir.

Tablo 44: Dönüştürücü modeli: L38xi İşletim modu: 2B

İndeks etiketi		MI	TIS		TIB		TIC
			Yüzeyde	Yüzey altında	Yüzeyde	Yüzey altında	Yüzeyde
Maksimum indeks değeri		1,5	(a)		(a)		(b)
İndeks bileşen değeri			#	#	#	#	
Akustik parametreler	z_{MI} 'da $p_{r,\alpha}$ (MPa)	3,3					
	P (mW)		#		#		#
	P_{1x1} (mW)		#		#		
	z_s (cm)			—			
	z_b (cm)					—	
	z_{MI} (cm)	0,8					
	$z_{pii,\alpha}$ (cm)	0,8					
	f_{awf} (MHz)	4,82	#		#		#
Diğer bilgiler	pr (Hz)	1312					
	srr (Hz)	10,3					
	η_{pps}	1					
	$z_{pii,\alpha}$ 'da $l_{pa,\alpha}$ (W/cm ²)	605					
	$z_{pii,\alpha}$ veya $z_{sii,\alpha}$ 'da $l_{spta,\alpha}$ (mW/cm ²)	10,2					
	z_{pii} veya z_{sii} 'da l_{spta} (mW/cm ²)	13,5					
z_{pii} 'de p_r (MPa)	3,79						
Çalıştırma kontrolleri	Muayene türü	Nrv					
	Optimizasyon	Res					
	Derinlik (cm)	2,0					
	MB	Yok					
	İğne vizyonu	Açık					

(a) Bu indeks bu işletim modu için gerekli değildir; değer < 1'dir.

(b) Bu dönüştürücü transkranyal veya neonatal sefalik kullanım amaçlı değildir.

Aşağıda belirtilen nedenle global maksimum indeks değeri raporlanmamış olduğundan bu çalışma koşulu için herhangi bir veri raporlanmamıştır. (Referans global maksimum indeks değeri çizgisi.)

— Veriler bu dönüştürücü/mod için uygulanabilir değildir.

Tablo 45: Dönüştürücü modeli: L38xi İşletim modu: M Modu

İndeks etiketi	MI	TIS		TIB		TIC
		Yüzeyde	Yüzey altında	Yüzeyde	Yüzey altında	Yüzeyde
Maksimum indeks değeri	1,5	(a)		1,2		(b)
İndeks bileşen değeri		#	#	0,9	1,2	
Akustik parametreler	$z_{MI} \text{ da } p_{r,\alpha}$ (MPa)	3,54				
	P (mW)		#	37,1		#
	$P_{1 \times 1}$ (mW)		#	37,1		
	z_s (cm)			#		
	z_b (cm)				0,9	
	z_{MI} (cm)	1,0				
	$z_{pii,\alpha}$ (cm)	1,0				
	f_{awf} (MHz)	5,76	#		5,20	
Diğer bilgiler	p_{rr} (Hz)	1600				
	s_{rr} (Hz)	—				
	η_{pps}	1				
	$z_{pii,\alpha} \text{ da } I_{pa,\alpha}$ (W/cm ²)	776				
	$z_{pii,\alpha}$ veya $z_{sii,\alpha} \text{ da } I_{spta,\alpha}$ (mW/cm ²)	181,8				
	z_{pii} veya $z_{sii} \text{ da } I_{spta}$ (mW/cm ²)	280,5				
	$z_{pii} \text{ de } p_r$ (MPa)	4,32				
Çalıştırma kontrolleri	Muayene türü	Art		Art		
	Optimizasyon	Gen		Pen		
	Derinlik (cm)	4,7		7,3		

(a) Bu indeks bu işletim modu için gerekli değildir; değer < 1'dir.

(b) Bu dönüştürücü transkranyal veya neonatal sefalik kullanım amaçlı değildir.

Aşağıda belirtilen nedenle global maksimum indeks değeri raporlanmamış olduğundan bu çalışma koşulu için herhangi bir veri raporlanmamıştır. (Referans global maksimum indeks değeri çizgisi.)

— Veriler bu dönüştürücü/mod için uygulanabilir değildir.

Tablo 46: Dönüştürücü modeli: L38xi İşletim modu: Color/CPD

İndeks etiketi		MI	TIS		TIB		TIC
			Yüzeyde	Yüzey altında	Yüzeyde	Yüzey altında	Yüzeyde
Maksimum indeks değeri		1,5	1,1		1,1		(b)
İndeks bileşen değeri			1,1	1,1	1,1	1,1	
Akustik parametreler	$z_{MI}dap_{r,\alpha}$ (MPa)	3,3					
	P (mW)		64,7		64,7		#
	$P_{1 \times 1}$ (mW)		49,0		49,0		
	z_s (cm)			—			
	z_b (cm)					—	
	z_{MI} (cm)	0,8					
	$z_{pii,\alpha}$ (cm)	0,8					
	f_{awf} (MHz)	4,82	4,83		4,83		#
Diğer bilgiler	pr (Hz)	2190					
	srr (Hz)	4,5					
	n_{pps}	16					
	$z_{pii,\alpha}$ 'da $I_{pa,\alpha}$ (W/cm ²)	605					
	$z_{pii,\alpha}$ veya $z_{sii,\alpha}$ 'da $I_{spta,\alpha}$ (mW/cm ²)	35,6					
	z_{pii} veya z_{sii} 'da I_{spta} (mW/cm ²)	47,4					
	z_{pii} 'de p_r (MPa)	3,79					
Çalıştırma kontrolleri	Muayene türü	Art	Ven		Ven		
	Mod	CVD	CVD		CVD		
	2D optimizasyon/derinlik (cm)	Pen/2,0	Pen/3,1		Pen/3,1		
	Renk optimizasyonu/PRF (Hz)	Düşük/393	Düşük/2315		Düşük/2315		
	Renk kutu konumu/boyutu	Def/def	Alt/kısa-dar		Alt/kısa-dar		

(a) Bu indeks bu işletim modu için gerekli değildir; değer < 1'dir.

(b) Bu dönüştürücü transkranyal veya neonatal sefalik kullanım amaçlı değildir.

Aşağıda belirtilen nedenle global maksimum indeks değeri raporlanmamış olduğundan bu çalışma koşulu için herhangi bir veri raporlanmamıştır. (Referans global maksimum indeks değeri çizgisi.)

— Veriler bu dönüştürücü/mod için uygulanabilir değildir.

Tablo 47: Dönüştürücü modeli: L38xi İşletim modu: PW Doppler

İndeks etiketi	MI	TIS		TIB		TIC
		Yüzeyde	Yüzey altında	Yüzeyde	Yüzey altında	Yüzeyde
Maksimum indeks değeri	1,3	2,6		3,7		(b)
İndeks bileşen değeri		2,6	1,8	2,6	3,7	
Akustik parametreler	$z_{MI} \text{ da } p_{r,\alpha}$ (MPa)	2,59				
	P (mW)		114,5		114,5	#
	$P_{1 \times 1}$ (mW)		114,5		114,5	
	z_s (cm)		1,2			
	z_b (cm)				1,2	
	z_{MI} (cm)	0,7				
	$z_{pii,\alpha}$ (cm)	0,7				
	f_{awf} (MHz)	4,06	4,78		4,78	#
Diğer bilgiler	pr (Hz)	1008				
	srr (Hz)	—				
	η_{pps}	1				
	$z_{pii,\alpha} \text{ da } I_{pa,\alpha}$ (W/cm ²)	32,3				
	$z_{pii,\alpha}$ veya $z_{sii,\alpha} \text{ da } I_{spta,\alpha}$ (mW/cm ²)	399,8				
	z_{pii} veya $z_{sii} \text{ da } I_{spta}$ (mW/cm ²)	495,1				
	$z_{pii} \text{ de } p_r$ (MPa)	2,86				
Çalıştırma kontrolleri	Muayene türü	Art	Nrv		Nrv	
	Örnek hacmi boyutu (mm)	1	1		1	
	Örnek hacmi konumu	Bölge 0	Bölge 7		Bölge 7	
	PRF (Hz)	1008	10.417		10.417	

(a) Bu indeks bu işletim modu için gerekli değildir; değer < 1'dir.

(b) Bu dönüştürücü transkranyal veya neonatal sefalik kullanım amaçlı değildir.

Aşağıda belirtilen nedenle global maksimum indeks değeri raporlanmamış olduğundan bu çalışma koşulu için herhangi bir veri raporlanmamıştır. (Referans global maksimum indeks değeri çizgisi.)

— Veriler bu dönüştürücü/mod için uygulanabilir değildir.

Tablo 48: Dönüştürücü modeli: P10x İşletim modu: Renkli

İndeks etiketi		MI	TIS		TIB		TIC
			Yüzeyde	Yüzey altında	Yüzeyde	Yüzey altında	Yüzeyde
Maksimum indeks değeri		(a)	(a)		(a)		1,1
İndeks bileşen değeri			#	#	#	#	
Akustik parametreler	$z_{MI} da p_{r,\alpha}$ (MPa)	#					
	P (mW)		#		#		42,2
	P_{1x1} (mW)		#		#		
	z_s (cm)			—			
	z_b (cm)					—	
	z_{MI} (cm)	#					
	$z_{pii,\alpha}$ (cm)	#					
	f_{awf} (MHz)	#	#		#		3,89
Diğer bilgiler	pr (Hz)	#					
	sr (Hz)	#					
	n_{pps}	#					
	$z_{pii,\alpha} da p_{a,\alpha}$ (W/cm ²)	#					
	$z_{pii,\alpha}$ veya $z_{sii,\alpha} da I_{spta,\alpha}$ (mW/cm ²)	#					
	z_{pii} veya $z_{sii} da I_{spta}$ (mW/cm ²)	#					
	z_{pii} 'de p_r (MPa)	#					
Çalıştırma kontrolleri	Muayene türü						Crd
	Mod						CVD
	2D optimizasyon/derinlik (cm)/sektör genişliği						Pen/8,9/dar
	Renk optimizasyonu/PRF (Hz)						Düşük/2033
	Renk kutu konumu/boyutu						Üst/kısa-geniş

(a) Bu indeks bu işletim modu için gerekli değildir; değer < 1'dir.

(b) Bu dönüştürücü transkranyal veya neonatal sefalik kullanım amaçlı değildir.

Aşağıda belirtilen nedenle global maksimum indeks değeri raporlanmamış olduğundan bu çalışma koşulu için herhangi bir veri raporlanmamıştır. (Referans global maksimum indeks değeri çizgisi.)

— Veriler bu dönüştürücü/mod için uygulanabilir değildir.

Tablo 49: Dönüştürücü modeli: P10x İşletim modu: CW Doppler

İndeks etiketi	MI	TIS		TIB		TIC
		Yüzeyde	Yüzey altında	Yüzeyde	Yüzey altında	Yüzeyde
Maksimum indeks değeri	(a)	(a)		1,8		1,7
İndeks bileşen değeri		#	#	0,7	1,8	
Akustik parametreler	$z_{MI} \text{ da } p_{r,\alpha}$ (MPa)	#				
	P (mW)		#	34,8		25,7
	P_{1x1} (mW)		#	34,8		
	z_s (cm)		#			
	z_b (cm)				0,70	
	z_{MI} (cm)	#				
	$z_{pii,\alpha}$ (cm)	#				
	f_{awf} (MHz)	#	#	4,00		4,00
Diğer bilgiler	pr (Hz)	#				
	srr (Hz)	#				
	η_{pps}	#				
	$z_{pii,\alpha} \text{ da } I_{pa,\alpha}$ (W/cm ²)	#				
	$z_{pii,\alpha}$ veya $z_{sii,\alpha} \text{ da } I_{spta,\alpha}$ (mW/cm ²)	#				
	z_{pii} veya $z_{sii} \text{ da } I_{spta}$ (mW/cm ²)	#				
	$z_{pii} \text{ de } p_r$ (MPa)	#				
Çalıştırma kontrolleri	Muayene türü			Crd		Crd
	Örnek hacmi konumu			Bölge 3		Bölge 0

(a) Bu indeks bu işletim modu için gerekli değildir; değer < 1'dir.

(b) Bu dönüştürücü transkranyal veya neonatal sefalik kullanım amaçlı değildir.

Aşağıda belirtilen nedenle global maksimum indeks değeri raporlanmamış olduğundan bu çalışma koşulu için herhangi bir veri raporlanmamıştır. (Referans global maksimum indeks değeri çizgisi.)

— Veriler bu dönüştürücü/mod için uygulanabilir değildir.

Tablo 50: Dönüştürücü modeli: P10x İşletim modu: PW Doppler

İndeks etiketi		MI	TIS		TIB		TIC
			Yüzeyde	Yüzey altında	Yüzeyde	Yüzey altında	Yüzeyde
Maksimum indeks değeri		1,0	1,1		1,9		1,5
İndeks bileşen değeri			1,1	0,6	0,6	1,9	
Akustik parametreler	$z_{MI} \text{ da } p_{r,\alpha}$ (MPa)	1,92					
	P (mW)		34,4		31,9		26,9
	P_{1x1} (mW)		34,4		31,9		
	z_s (cm)			1,4			
	z_b (cm)					0,90	
	z_{MI} (cm)	2,1					
	$z_{pii,\alpha}$ (cm)	2,1					
	f_{awf} (MHz)	3,87	6,86		3,84		3,86
Diğer bilgiler	pr (Hz)	1562					
	srr (Hz)	—					
	η_{pps}	1					
	$z_{pii,\alpha} \text{ da } I_{pa,\alpha}$ (W/cm^2)	200					
	$z_{pii,\alpha}$ veya $z_{sii,\alpha}$ da $I_{spta,\alpha}$ (mW/cm^2)	400,0					
	z_{pii} veya z_{sii} da I_{spta} (mW/cm^2)	729,9					
Çalıştırma kontrolleri	z_{pii} de p_r (MPa)	2,54					
	Muayene türü	Crd	Crd		Abd		Crd
	Örnek hacmi boyutu (mm)	1	7		12		1
	Örnek hacmi konumu	Bölge 2	Bölge 6		Bölge 1		Bölge 0
	PRF (Hz)	1562	1008		1953		15.625
TDI	Kapalı	Açık		Kapalı		Kapalı	

(a) Bu indeks bu işletim modu için gerekli değildir; değer < 1'dir.

(b) Bu dönüştürücü transkranyal veya neonatal sefalik kullanım amaçlı değildir.

Aşağıda belirtilen nedenle global maksimum indeks değeri raporlanmamış olduğundan bu çalışma koşulu için herhangi bir veri raporlanmamıştır. (Referans global maksimum indeks değeri çizgisi.)

— Veriler bu dönüştürücü/mod için uygulanabilir değildir.

Tablo 51: Dönüştürücü modeli: rC60xi İşletim modu: 2B

İndeks etiketi	MI	TIS		TIB		TIC
		Yüzeyde	Yüzey altında	Yüzeyde	Yüzey altında	Yüzeyde
Maksimum indeks değeri	1,5	(a)		(a)		(b)
İndeks bileşen değeri		#	#	#	#	
Akustik parametreler	$z_{MI} \text{ da } p_{r,\alpha}$ (MPa)	2,31				
	P (mW)		#	#	#	#
	$P_{1 \times 1}$ (mW)		#	#	#	
	z_s (cm)			—		
	z_b (cm)				—	
	z_{MI} (cm)	4,3				
	$z_{pii,\alpha}$ (cm)	4,3				
	f_{awf} (MHz)	2,36	#		#	#
Diğer bilgiler	pr (Hz)	3584				
	srr (Hz)	28,0				
	η_{pps}	1				
	$z_{pii,\alpha} \text{ da } I_{pa,\alpha}$ (W/cm^2)	356				
	$z_{pii,\alpha}$ veya $z_{sii,\alpha} \text{ da } I_{spta,\alpha}$ (mW/cm^2)	24,1				
	z_{pii} veya $z_{sii} \text{ da } I_{spta}$ (mW/cm^2)	44,9				
	z_{pii} de p_r (MPa)	3,29				
Çalıştırma kontrolleri	Muayene türü	Abd				
	Optimizasyon	Res				
	Derinlik (cm)	11				
	MB (çoklu ışın)	Kapalı				
	THI	Açık				

(a) Bu indeks bu işletim modu için gerekli değildir; değer < 1'dir.

(b) Bu dönüştürücü transkranyal veya neonatal sefalik kullanım amaçlı değildir.

Aşağıda belirtilen nedenle global maksimum indeks değeri raporlanmamış olduğundan bu çalışma koşulu için herhangi bir veri raporlanmamıştır. (Referans global maksimum indeks değeri çizgisi.)

— Veriler bu dönüştürücü/mod için uygulanabilir değildir.

Tablo 52: Dönüştürücü modeli: rC60xi İşletim modu: M Modu

İndeks etiketi		MI	TIS		TIB		TIC
			Yüzeyde	Yüzey altında	Yüzeyde	Yüzey altında	Yüzeyde
Maksimum indeks değeri		1,3	(a)		1,0		(b)
İndeks bileşen değeri			#	#	0,36	1,00	
Akustik parametreler	$z_{MI} \text{ da } p_{r,\alpha}$ (MPa)	2,18					
	P (mW)		#		69,8		#
	$P_{1 \times 1}$ (mW)		#		25,9		
	z_s (cm)			#			
	z_b (cm)					4,2	
	z_{MI} (cm)	4,3					
	$z_{pii,\alpha}$ (cm)	4,3					
	f_{awf} (MHz)	2,66	#		2,89		#
Diğer bilgiler	pr (Hz)	800					
	srr (Hz)	—					
	η_{pps}	1					
	$z_{pii,\alpha} \text{ da } I_{pa,\alpha}$ (W/cm^2)	290					
	$z_{pii,\alpha}$ veya $z_{sii,\alpha} \text{ da } I_{spta,\alpha}$ (mW/cm^2)	144,2					
	z_{pii} veya $z_{sii} \text{ da } I_{spta}$ (mW/cm^2)	328,2					
	$z_{pii} \text{ de } p_r$ (MPa)	3,25					
Çalıştırma kontrolleri	Muayene türü	Abd			Msk		
	Optimizasyon	Pen			Pen		
	Derinlik (cm)	6,6			9,2		
	THI	Kapalı			Kapalı		

(a) Bu indeks bu işletim modu için gerekli değildir; değer < 1'dir.

(b) Bu dönüştürücü transkranyal veya neonatal sefalik kullanım amaçlı değildir.

Aşağıda belirtilen nedenle global maksimum indeks değeri raporlanmamış olduğundan bu çalışma koşulu için herhangi bir veri raporlanmamıştır. (Referans global maksimum indeks değeri çizgisi.)

— Veriler bu dönüştürücü/mod için uygulanabilir değildir.

Tablo 53: Dönüştürücü modeli: rC60xi İşletim modu: Color/CPD

İndeks etiketi	MI	TIS		TIB		TIC
		Yüzeyde	Yüzey altında	Yüzeyde	Yüzey altında	Yüzeyde
Maksimum indeks değeri	1,5	1,2		1,2		(b)
İndeks bileşen değeri		1,2	1,2	1,2	1,2	
Akustik parametreler	$z_{MI} \text{ da } p_{r,\alpha}$ (MPa)	2,21				
	P (mW)		185,8	185,8		#
	$P_{1 \times 1}$ (mW)		107,5	107,5		
	z_s (cm)			—		
	z_b (cm)				—	
	z_{MI} (cm)	4,3				
	$z_{pii,\alpha}$ (cm)	4,3				
	f_{awf} (MHz)	2,22	2,21		2,21	
Diğer bilgiler	p_{rr} (Hz)	1265				
	s_{rr} (Hz)	9,89				
	η_{pps}	1				
	$z_{pii,\alpha} \text{ da } I_{pa,\alpha}$ (W/cm ²)	342				
	$z_{pii,\alpha}$ veya $z_{sii,\alpha} \text{ da } I_{spta,\alpha}$ (mW/cm ²)	8,9				
	z_{pii} veya $z_{sii} \text{ da } I_{spta}$ (mW/cm ²)	15,8				
	$z_{pii} \text{ de } p_r$ (MPa)	3,07				
Çalıştırma kontrolleri	Muayene türü	Abd	Abd		Abd	
	Mod	CVD	CVD		CVD	
	2D optimizasyon/derinlik (cm)/THI	Gen/11/ Açık	Gen/4,7/Kapalı		Gen/4,7/Kapalı	
	Renk optimizasyonu/PRF (Hz)	Düşük/342	Yüksek/3125		Yüksek/3125	
	Renk kutu konumu/boyutu	Alt/uzun- dar	Alt/uzun-dar		Alt/uzun-dar	

(a) Bu indeks bu işletim modu için gerekli değildir; değer < 1'dir.

(b) Bu dönüştürücü transkranyal veya neonatal sefalik kullanım amaçlı değildir.

Aşağıda belirtilen nedenle global maksimum indeks değeri raporlanmamış olduğundan bu çalışma koşulu için herhangi bir veri raporlanmamıştır. (Referans global maksimum indeks değeri çizgisi.)

— Veriler bu dönüştürücü/mod için uygulanabilir değildir.

Tablo 54: Dönüştürücü modeli: rC60xi İşletim modu: PW Doppler

İndeks etiketi		MI	TIS		TIB		TIC
			Yüzeyde	Yüzey altında	Yüzeyde	Yüzey altında	Yüzeyde
Maksimum indeks değeri		1,2	2,0		4,0		(b)
İndeks bileşen değeri			0,7	2,0	0,8	4,0	
Akustik parametreler	z_{MI} 'da $p_{r,\alpha}$ (MPa)	1,73					
	P (mW)		386,5		291,8		#
	P_{1x1} (mW)		67,5		74,2		
	z_s (cm)			4,0			
	z_b (cm)					3,6	
	z_{MI} (cm)	4,5					
	$z_{pii,\alpha}$ (cm)	4,5					
	f_{awf} (MHz)	2,2	2,23		2,23		#
Diğer bilgiler	pr (Hz)	1302					
	srr (Hz)	—					
	η_{pps}	1					
	$z_{pii,\alpha}$ 'da $I_{pa,\alpha}$ (W/cm^2)	267					
	$z_{pii,\alpha}$ veya $z_{sii,\alpha}$ 'da $I_{spta,\alpha}$ (mW/cm^2)	399,7					
	z_{pii} veya z_{sii} 'da I_{spta} (mW/cm^2)	793,3					
	z_{pii} 'de p_r (MPa)	2,43					
Çalıştırma kontrolleri	Muayene türü	Abd	Abd		Abd		
	Örnek hacmi boyutu (mm)	3	7		7		
	Örnek hacmi konumu	Bölge 3	Bölge 6		Bölge 5		
	PRF (Hz)	1302	2604		2604		

(a) Bu indeks bu işletim modu için gerekli değildir; değer < 1'dir.

(b) Bu dönüştürücü transkranyal veya neonatal sefalik kullanım amaçlı değildir.

Aşağıda belirtilen nedenle global maksimum indeks değeri raporlanmamış olduğundan bu çalışma koşulu için herhangi bir veri raporlanmamıştır. (Referans global maksimum indeks değeri çizgisi.)

— Veriler bu dönüştürücü/mod için uygulanabilir değildir.

Tablo 55: Dönüştürücü modeli: rP19x (Orbital kullanım) İşletim modu: 2B

İndeks etiketi	MI	TIS		TIB		TIC
		Yüzeyde	Yüzey altında	Yüzeyde	Yüzey altında	Yüzeyde
Maksimum indeks değeri	0,17	0,03		0,03		0,07
İndeks bileşen değeri		0,03	0,03	0,03	0,03	
Akustik parametreler	$z_{MI} \text{ da } p_{r,\alpha}$ (MPa)	0,25				
	P (mW)		4,4	4,4		4,7
	$P_{1 \times 1}$ (mW)		2,9	2,9		
	z_s (cm)		—			
	z_b (cm)				—	
	z_{MI} (cm)	3,4				
	$z_{pii,\alpha}$ (cm)	3,4				
	f_{awf} (MHz)	2,06	2,06	2,06		1,90
Diğer bilgiler	pr (Hz)	6413				
	srr (Hz)	15,6				
	η_{pps}	1				
	$z_{pii,\alpha} \text{ da } I_{pa,\alpha}$ (W/cm ²)	4,1				
	$z_{pii,\alpha}$ veya $z_{sii,\alpha} \text{ da } I_{spta,\alpha}$ (mW/cm ²)	0,4				
	z_{pii} veya $z_{sii} \text{ da } I_{spta}$ (mW/cm ²)	0,6				
	$z_{pii} \text{ de } p_r$ (MPa)	0,31				
Çalıştırma kontrolleri	Muayene türü	Orb	Orb	Orb		Orb
	Optimizasyon	Res	Res	Res		Gen
	Derinlik (cm)	4,7	4,7	4,7		16
	MB	Kapalı	Kapalı	Kapalı		Kapalı

(a) Bu indeks bu işletim modu için gerekli değildir; değer < 1'dir.

(b) Bu dönüştürücü transkranyal veya neonatal sefalik kullanım amaçlı değildir.

Aşağıda belirtilen nedenle global maksimum indeks değeri raporlanmamış olduğundan bu çalışma koşulu için herhangi bir veri raporlanmamıştır. (Referans global maksimum indeks değeri çizgisi.)

— Veriler bu dönüştürücü/mod için uygulanabilir değildir.

Tablo 56: Dönüştürücü modeli: rP19x (Orbital kullanım) İşletim modu: M Modu

İndeks etiketi		MI	TIS		TIB		TIC
			Yüzeyde	Yüzey altında	Yüzeyde	Yüzey altında	Yüzeyde
Maksimum indeks değeri		0,17	0,009		0,020		0,021
İndeks bileşen değeri			0,006	0,009	0,006	0,020	
Akustik parametreler	z_{MI} 'da $p_{r,\alpha}$ (MPa)	0,25					
	P (mW)		1,34		1,34		1,34
	P_{1x1} (mW)		0,67		0,67		
	z_s (cm)			2,5			
	z_b (cm)					3,15	
	z_{MI} (cm)	3,4					
	$z_{pii,\alpha}$ (cm)	3,4					
	f_{awf} (MHz)	2,06	1,83		1,83		1,83
Diğer bilgiler	p_{rr} (Hz)	800					
	s_{rr} (Hz)	—					
	η_{pps}	1					
	$z_{pii,\alpha}$ 'da $I_{pa,\alpha}$ (W/cm ²)	4,05					
	$z_{pii,\alpha}$ veya $z_{sii,\alpha}$ 'da $I_{spta,\alpha}$ (mW/cm ²)	1,7					
	z_{pii} veya z_{sii} 'da I_{spta} (mW/cm ²)	2,7					
z_{pii} 'de p_r (MPa)	0,31						
Çalıştırma kontrolleri	Muayene türü	Orb	Orb		Orb		Orb
	Optimizasyon	Res	Gen		Gen		Gen
	Derinlik (cm)	4,7	35		35		35

(a) Bu indeks bu işletim modu için gerekli değildir; değer < 1'dir.

(b) Bu dönüştürücü transkranyal veya neonatal sefalik kullanım amaçlı değildir.

Aşağıda belirtilen nedenle global maksimum indeks değeri raporlanmamış olduğundan bu çalışma koşulu için herhangi bir veri raporlanmamıştır. (Referans global maksimum indeks değeri çizgisi.)

— Veriler bu dönüştürücü/mod için uygulanabilir değildir.

Tablo 57: Dönüştürücü modeli: rP19x (Orbital kullanım) İşletim modu: Color/CPD

İndeks etiketi		MI	TIS		TIB		TIC
			Yüzeyde	Yüzey altında	Yüzeyde	Yüzey altında	Yüzeyde
Maksimum indeks değeri		0,17	0,09		0,09		0,23
İndeks bileşen değeri			0,09	0,09	0,09	0,09	
Akustik parametreler	$z_{MI} \text{ da } p_{r,\alpha}$ (MPa)	0,25					
	P (mW)		15,47		15,47		15,50
	$P_{1 \times 1}$ (mW)		9,50		9,50		
	z_s (cm)			—			
	z_b (cm)					—	
	z_{MI} (cm)	0,7					
	$z_{pii,\alpha}$ (cm)	0,7					
	f_{awf} (MHz)	2,14	2,11		2,11		2,11
Diğer bilgiler	pr (Hz)	5443					
	srr (Hz)	15,9					
	η_{pps}	16					
	$z_{pii,\alpha} \text{ da } I_{pa,\alpha}$ (W/cm ²)	1,82					
	$z_{pii,\alpha}$ veya $z_{sii,\alpha} \text{ da } I_{spta,\alpha}$ (mW/cm ²)	3,2					
	z_{pii} veya $z_{sii} \text{ da } I_{spta}$ (mW/cm ²)	3,5					
	$z_{pii} \text{ de } p_r$ (MPa)	0,26					
Çalıştırma kontrolleri	Muayene türü	Orb	Orb		Orb		Orb
	Mod	CVD	CVD		CVD		CVD
	2D optimizasyon/derinlik (cm)	Gen/4,7	Gen/24		Gen/24		Gen/24
	Renk optimizasyonu/PRF (Hz)	Düşük/1157	Düşük/3125		Düşük/3125		Düşük/3125
	Renk kutu konumu/boyutu	Def/def	Üst/kısa-geniş		Üst/kısa-geniş		Üst/kısa- geniş

(a) Bu indeks bu işletim modu için gerekli değildir; değer < 1'dir.

(b) Bu dönüştürücü transkranyal veya neonatal sefalik kullanım amaçlı değildir.

Aşağıda belirtilen nedenle global maksimum indeks değeri raporlanmamış olduğundan bu çalışma koşulu için herhangi bir veri raporlanmamıştır. (Referans global maksimum indeks değeri çizgisi.)

— Veriler bu dönüştürücü/mod için uygulanabilir değildir.

Tablo 58: Dönüştürücü modeli: rP19x (Orbital kullanım) İşletim modu: PW Doppler

İndeks etiketi		MI	TIS		TIB		TIC
			Yüzeyde	Yüzey altında	Yüzeyde	Yüzey altında	Yüzeyde
Maksimum indeks değeri		0,18	0,27		0,59		0,57
İndeks bileşen değeri			0,19	0,27	0,18	0,59	
Akustik parametreler	z_{MI} 'da $p_{r,\alpha}$ (MPa)	0,27					
	P (mW)		37,4		35,3		37,4
	P_{1x1} (mW)		17,5		17,0		
	z_s (cm)			2,5			
	z_b (cm)					3,35	
	z_{MI} (cm)	3,5					
	$z_{pii,\alpha}$ (cm)	3,5					
	f_{awf} (MHz)	2,23	2,23		2,23		2,23
Diğer bilgiler	pr (Hz)	1953					
	srr (Hz)	—					
	η_{pps}	1					
	$z_{pii,\alpha}$ 'da $I_{pa,\alpha}$ (W/cm^2)	2,49					
	$z_{pii,\alpha}$ veya $z_{sii,\alpha}$ 'da $I_{spta,\alpha}$ (mW/cm^2)	28,9					
	z_{pii} veya z_{sii} 'da I_{spta} (mW/cm^2)	69,3					
	z_{pii} 'de p_r (MPa)	0,36					
Çalıştırma kontrolleri	Muayene türü	Orb	Orb		Orb		Orb
	Örnek hacmi boyutu (mm)	5	14		14		14
	Örnek hacmi konumu	Bölge 6	Bölge 7		Bölge 5		Bölge 7
	PRF (Hz)	1953	1953		1953		1953

(a) Bu indeks bu işletim modu için gerekli değildir; değer < 1'dir.

(b) Bu dönüştürücü transkranyal veya neonatal sefalik kullanım amaçlı değildir.

Aşağıda belirtilen nedenle global maksimum indeks değeri raporlanmamış olduğundan bu çalışma koşulu için herhangi bir veri raporlanmamıştır. (Referans global maksimum indeks değeri çizgisi.)

— Veriler bu dönüştürücü/mod için uygulanabilir değildir.

Tablo 59: Dönüştürücü Modeli: rP19x, İşletim modu: 2B

İndeks etiketi	MI	TIS		TIB		TIC
		Yüzeyde	Yüzey altında	Yüzeyde	Yüzey altında	Yüzeyde
Maksimum indeks değeri	1,5	1,0		1,0		2,7
İndeks bileşen değeri		1,0	1,0	1,0	1,0	
Akustik parametreler	$z_{MI} \text{ da } p_{r,\alpha}$ (MPa)	2,1				
	P (mW)		152,6	152,6		177,8
	$P_{1 \times 1}$ (mW)		96,1	96,1		
	z_s (cm)			—		
	z_b (cm)				—	
	z_{MI} (cm)	4,8				
	$z_{pii,\alpha}$ (cm)	4,8				
	f_{awf} (MHz)	1,99	2,08		2,08	
Diğer bilgiler	p_{rr} (Hz)	6186				
	s_{rr} (Hz)	48,3				
	η_{pps}	1				
	$z_{pii,\alpha} \text{ da } I_{pa,\alpha}$ (W/cm ²)	184				
	$z_{pii,\alpha}$ veya $z_{sii,\alpha} \text{ da } I_{spta,\alpha}$ (mW/cm ²)	25,4				
	z_{pii} veya $z_{sii} \text{ da } I_{spta}$ (mW/cm ²)	38,6				
	$z_{pii} \text{ de } p_r$ (MPa)	2,92				
Çalıştırma kontrolleri	Muayene türü	Abd	Crd		Crd	
	Optimizasyon	Gen	Res		Res	
	Derinlik (cm)	10	10		10	
	MB/THI	Kapalı/ Kapalı	Kapalı/Açık		Kapalı/Açık	
	Sektör genişliği	Yok	Dar		Dar	

(a) Bu indeks bu işletim modu için gerekli değildir; değer < 1'dir.

(b) Bu dönüştürücü transkranyal veya neonatal sefalik kullanım amaçlı değildir.

Aşağıda belirtilen nedenle global maksimum indeks değeri raporlanmamış olduğundan bu çalışma koşulu için herhangi bir veri raporlanmamıştır. (Referans global maksimum indeks değeri çizgisi.)

— Veriler bu dönüştürücü/mod için uygulanabilir değildir.

Tablo 60: Dönüştürücü modeli: rP19x, İşletim modu: M Modu

İndeks etiketi		MI	TIS		TIB		TIC
			Yüzeyde	Yüzey altında	Yüzeyde	Yüzey altında	Yüzeyde
Maksimum indeks değeri		1,5	(a)		1,7		1,0
İndeks bileşen değeri			#	#	0,2	1,7	
Akustik parametreler	$z_{MI} \text{ da } p_{r,\alpha}$ (MPa)	2,1					
	P (mW)		#		55,0		62,1
	P_{1x1} (mW)		#		28,5		
	z_s (cm)			#			
	z_b (cm)					4,33	
	z_{MI} (cm)	4,8					
	$z_{pii,\alpha}$ (cm)	4,8					
	f_{awf} (MHz)	1,99		#	1,81		1,77
Diğer bilgiler	pr (Hz)	800					
	srr (Hz)	—					
	η_{pps}	1					
	$z_{pii,\alpha} \text{ da } I_{pa,\alpha}$ (W/cm^2)	184					
	$z_{pii,\alpha}$ veya $z_{sii,\alpha} \text{ da } I_{spta,\alpha}$ (mW/cm^2)	73,5					
	z_{pii} veya $z_{sii} \text{ da } I_{spta}$ (mW/cm^2)	140,8					
	$z_{pii} \text{ de } p_r$ (MPa)	2,92					
Çalıştırma kontrolleri	Muayene türü	TCD			Abd		Abd
	Optimizasyon	Gen			Res		Res
	Derinlik (cm)	7,5			10		16
	THI	Kapalı			Açık		Açık

(a) Bu indeks bu işletim modu için gerekli değildir; değer < 1'dir.

(b) Bu dönüştürücü transkranyal veya neonatal sefalik kullanım amaçlı değildir.

Aşağıda belirtilen nedenle global maksimum indeks değeri raporlanmamış olduğundan bu çalışma koşulu için herhangi bir veri raporlanmamıştır. (Referans global maksimum indeks değeri çizgisi.)

— Veriler bu dönüştürücü/mod için uygulanabilir değildir.

Tablo 6 1: Dönüştürücü modeli: rP19x, İşletim modu: Color/CPD

İndeks etiketi		MI	TIS		TIB		TIC
			Yüzeyde	Yüzey altında	Yüzeyde	Yüzey altında	Yüzeyde
Maksimum indeks değeri		1,5	1,2		1,2		2,5
İndeks bileşen değeri			1,2	1,2	1,2	1,2	
Akustik parametreler	$z_{MI}'da p_{r,\alpha}$ (MPa)	2,1					
	P (mW)		128,0		128,0		170,5
	P_{1x1} (mW)		115,6		115,6		
	z_s (cm)			—			
	z_b (cm)					—	
	z_{MI} (cm)	4,8					
	$z_{pii,\alpha}$ (cm)	4,8					
	f_{awf} (MHz)	1,99	2,14		2,14		2,12
Diğer bilgiler	p_{rr} (Hz)	505					
	s_{rr} (Hz)	7,9					
	η_{pps}	1					
	$z_{pii,\alpha}'da I_{pa,\alpha}$ (W/cm ²)	184					
	$z_{pii,\alpha}$ veya $z_{sii,\alpha}'da I_{spta,\alpha}$ (mW/cm ²)	2,1					
	z_{pii} veya $z_{sii}'da I_{spta}$ (mW/cm ²)	3,2					
	$z_{pii}'de p_r$ (MPa)	2,92					
Çalıştırma kontrolleri	Muayene türü	Abd	TCD		TCD		Crd
	Mod/THI	CVD/Kapalı	CVD/Kapalı		CVD/Kapalı		CVD/Açık
	2D optimizasyon/derinlik (cm)/sektör genişliği	Gen/10/Yok	Pen/7,5/Yok		Pen/7,5/Yok		Gen/16/dar
	Renk optimizasyonu/PRF (Hz)	Düşük/300	Düşük/3125		Düşük/3125		Yüksek/5208
	Renk kutu konumu/boyutu	Def/def	Def/dar		Def/dar		Def/def

(a) Bu indeks bu işletim modu için gerekli değildir; değer < 1'dir.

(b) Bu dönüştürücü transkranyal veya neonatal sefalik kullanım amaçlı değildir.

Aşağıda belirtilen nedenle global maksimum indeks değeri raporlanmamış olduğundan bu çalışma koşulu için herhangi bir veri raporlanmamıştır. (Referans global maksimum indeks değeri çizgisi.)

— Veriler bu dönüştürücü/mod için uygulanabilir değildir.

Tablo 62: Dönüştürücü modeli: rP19x, İşletim modu: CW Doppler

İndeks etiketi		MI	TIS		TIB		TIC
			Yüzeyde	Yüzey altında	Yüzeyde	Yüzey altında	Yüzeyde
Maksimum indeks değeri		(a)	1,2		4,0		4,0
İndeks bileşen değeri			1,2	1,1	1,2	4,0	
Akustik parametreler	z_{MI} 'da $p_{r,\alpha}$ (MPa)	#					
	P (mW)		125,4		125,4		125,4
	P_{1x1} (mW)		125,4		125,4		
	z_s (cm)			0,9			
	z_b (cm)					0,9	
	z_{MI} (cm)	#					
	$z_{pii,\alpha}$ (cm)	#					
	f_{awf} (MHz)	#	2,00		2,00		2,00
Diğer bilgiler	pr (Hz)	#					
	srr (Hz)	#					
	η_{pps}	#					
	$z_{pii,\alpha}$ 'da $I_{pa,\alpha}$ (W/cm^2)	#					
	$z_{pii,\alpha}$ veya $z_{sii,\alpha}$ 'da $I_{spta,\alpha}$ (mW/cm^2)	#					
	z_{pii} veya z_{sii} 'da I_{spta} (mW/cm^2)	#					
	z_{pii} 'de p_r (MPa)	#					
Çalıştırma kontrolleri	Muayene türü		Crd		Crd		Crd
	Örnek hacmi konumu		Bölge 0		Bölge 0		Bölge 0

(a) Bu indeks bu işletim modu için gerekli değildir; değer < 1'dir.

(b) Bu dönüştürücü transkranyal veya neonatal sefalik kullanım amaçlı değildir.

Aşağıda belirtilen nedenle global maksimum indeks değeri raporlanmamış olduğundan bu çalışma koşulu için herhangi bir veri raporlanmamıştır. (Referans global maksimum indeks değeri çizgisi.)

— Veriler bu dönüştürücü/mod için uygulanabilir değildir.

Tablo 63: Dönüştürücü modeli: rP19x, İşletim modu: PW Doppler

İndeks etiketi	MI	TIS		TIB		TIC
		Yüzeyde	Yüzey altında	Yüzeyde	Yüzey altında	Yüzeyde
Maksimum indeks değeri	1,3	1,8		4,0		3,9
İndeks bileşen değeri		1,3	1,8	1,2	4,0	
Akustik parametreler	$z_{MI}dap_{r,\alpha}$ (MPa)	1,94				
	P (mW)		253,7	240,2		251,1
	P_{1x1} (mW)		118,6	116,0		
	z_s (cm)		2,5			
	z_b (cm)				3,35	
	z_{MI} (cm)	3,0				
	$z_{pii,\alpha}$ (cm)	3,0				
	f_{awf} (MHz)	2,14	2,23	2,23		2,10
Diğer bilgiler	pr (Hz)	1562				
	srr (Hz)	—				
	η_{pps}	1				
	$z_{pii,\alpha}'da I_{pa,\alpha}$ (W/cm ²)	180				
	$z_{pii,\alpha}$ veya $z_{sii,\alpha}'da I_{spta,\alpha}$ (mW/cm ²)	374,9				
	z_{pii} veya $z_{sii}'da I_{spta}$ (mW/cm ²)	594,7				
	$z_{pii}'de p_r$ (MPa)	2,42				
Çalıştırma kontrolleri	Muayene türü	Crd	Crd	Crd		Crd
	Örnek hacmi boyutu (mm)	1	12	1		1
	Örnek hacmi konumu	Bölge 1	Bölge 7	Bölge 5		Bölge 5
	PRF (Hz)	1562	1562	39.062		39.062
	TDI	Kapalı	Kapalı	Kapalı		Kapalı

(a) Bu indeks bu işletim modu için gerekli değildir; değer < 1'dir.

(b) Bu dönüştürücü transkranyal veya neonatal sefalik kullanım amaçlı değildir.

Aşağıda belirtilen nedenle global maksimum indeks değeri raporlanmamış olduğundan bu çalışma koşulu için herhangi bir veri raporlanmamıştır. (Referans global maksimum indeks değeri çizgisi.)

— Veriler bu dönüştürücü/mod için uygulanabilir değildir.

Tablo 64: Dönüştürücü modeli: TEExi İşletim modu: CW Doppler

İndeks etiketi		MI	TIS		TIB		TIC
			Yüzeyde	Yüzey altında	Yüzeyde	Yüzey altında	Yüzeyde
Maksimum indeks değeri		(a)	(a)		1,7		(b)
İndeks bileşen değeri			#	#	0,7	1,7	
Akustik parametreler	z_{MI} 'da $p_{r,\alpha}$ (MPa)	#					
	P (mW)		#		34,4		#
	P_{1x1} (mW)		#		34,4		
	z_s (cm)			#			
	z_b (cm)					1,10	
	z_{MI} (cm)	#					
	$z_{pii,\alpha}$ (cm)	#					
	f_{awf} (MHz)	#	#		4,00		#
Diğer bilgiler	pr (Hz)	#					
	srr (Hz)	#					
	η_{pps}	#					
	$z_{pii,\alpha}$ 'da $I_{pa,\alpha}$ (W/cm^2)	#					
	$z_{pii,\alpha}$ veya $z_{sii,\alpha}$ 'da $I_{spta,\alpha}$ (mW/cm^2)	#					
	z_{pii} veya z_{sii} 'da I_{spta} (mW/cm^2)	#					
	z_{pii} 'de p_r (MPa)	#					
Çalıştırma kontrolleri	Muayene türü				Crd		
	Örnekleme hacmi				Bölge 2		

(a) Bu indeks bu işletim modu için gerekli değildir; değer < 1'dir.

(b) Bu dönüştürücü transkranyal veya neonatal sefalik kullanım amaçlı değildir.

Aşağıda belirtilen nedenle global maksimum indeks değeri raporlanmamış olduğundan bu çalışma koşulu için herhangi bir veri raporlanmamıştır. (Referans global maksimum indeks değeri çizgisi.)

— Veriler bu dönüştürücü/mod için uygulanabilir değildir.

Tablo 65: Dönüştürücü modeli: TEExi İşletim modu: PW Doppler

İndeks etiketi	MI	TIS		TIB		TIC
		Yüzeyde	Yüzey altında	Yüzeyde	Yüzey altında	Yüzeyde
Maksimum indeks değeri	(a)	(a)		1,4		(b)
İndeks bileşen değeri		#	#	0,7	1,4	
Akustik parametreler	z_{MI} 'da $p_{r,\alpha}$ (MPa)	#				
	P (mW)		#	35,8		#
	P_{1x1} (mW)		#	35,8		
	z_s (cm)		#			
	z_b (cm)				2,57	
	z_{MI} (cm)	#				
	$z_{pii,\alpha}$ (cm)	#				
	f_{awf} (MHz)	#	#	3,81		#
Diğer bilgiler	pr (Hz)	#				
	srr (Hz)	#				
	η_{pps}	#				
	$z_{pii,\alpha}$ 'da $I_{pa,\alpha}$ (W/cm ²)	#				
	$z_{pii,\alpha}$ veya $z_{sii,\alpha}$ 'da $I_{spta,\alpha}$ (mW/cm ²)	#				
	z_{pii} veya z_{sii} 'da I_{spta} (mW/cm ²)	#				
	z_{pii} 'de p_r (MPa)	#				
Çalıştırma kontrolleri	Muayene türü			Crd		
	Örnek hacmi boyutu (mm)			1		
	Örnek hacmi konumu			Bölge 3		
	PRF (Hz)			2604		

(a) Bu indeks bu işletim modu için gerekli değildir; değer < 1'dir.

(b) Bu dönüştürücü transkranyal veya neonatal sefalik kullanım amaçlı değildir.

Aşağıda belirtilen nedenle global maksimum indeks değeri raporlanmamış olduğundan bu çalışma koşulu için herhangi bir veri raporlanmamıştır. (Referans global maksimum indeks değeri çizgisi.)

— Veriler bu dönüştürücü/mod için uygulanabilir değildir.

Akustik çıktı tablolarında kullanılan terimler

Tablo 66: Akustik çıktı tablolarında kullanılan terimler

Terim	Tanım
α	Azaltma için kullanılan zayıflama katsayısı. 0,3 dB/cm/MHz ² 'ye eşit.
f_{awf}	Akustik çalışma frekansı.
$I_{pa,\alpha}$	Zayıflamış darbe-ortalama yoğunluğu.
I_{spta}	Uzamsal-pik geçici-ortalama yoğunluk.
$I_{spta,\alpha}$	Zayıflamış uzamsal-pik geçici-ortalama yoğunluk.
MI	Mekanik indeks.
P	Çıkış gücü.
$P_{1 \times 1}$	Sınırlı-kare çıkış gücü.
$p_{r,\alpha}$	Zayıflamış pik-seyrekleştirme akustik basıncı.
p_r	Pik-seyrekleştirme akustik basıncı.
p_{ii}	Darbe-yoğunluk integrali.
$p_{ii,\alpha}$	Zayıflamış darbe-yoğunluk integrali.
n_{pps}	Ultrasonik tarama çizgisi başına düşen darbe sayısı.
pr	Darbe tekrarlama hızı.
srr	Tarama tekrarlama hızı.
TI	Termal indeks.
TIB	Kemik termal indeksi.
TIC	Kafatası-kemik termal indeksi.
TIS	Yumuşak doku termal indeksi.
z_b	TIB için derinlik.
z_{MI}	Mekanik indeks için derinlik.
$z_{p_{ii}}$	Pik darbe-yoğunluk integrali için derinlik.
$z_{p_{ii,\alpha}}$	Pik zayıflamış darbe-yoğunluk integrali için derinlik.

Tablo 66: Akustik çıktı tablolarında kullanılan terimler

Terim	Tanım
Z_{Sii}	Darbe-yoğunluk integrallerinin pik toplamı için derinlik.
$Z_{Sii,\alpha}$	Zayıflamış darbe-yoğunluk integrallerinin pik toplamı için derinlik.
Z_S	TIS için derinlik.

Sözlük (SonoSite Edge II)

IMT terimi SonoSite Edge II kullanıcı kılavuzu kısaltma listesinden çıkarılmıştır; revizyon bir sonraki güncellemede yapılacaktır.

SonoSite Edge II 與 SonoSite SII 使用者手冊勘誤表

簡介	658
文件慣例	658
取得協助	658
取得協助 (SonoSite Edge II)	659
入門	659
設計用途	659
儀器設定	659
連線設定 (SonoSite SII)	659
連線設定 (SonoSite Edge II)	659
網路狀態設定	659
成像	660
轉換器適用的成像模式和檢查 (SonoSite SII)	660
測量與計算 (SonoSite SII)	660
一般計算	660
測量的參考 (SonoSite SII)	661
測量準確度	661
測量相關出版品與術語	662
清潔和消毒	662
安全性	663
臨床安全性	663
電磁相容性	664
無線傳輸	665
無線 USB 網路收發器 (Panda)	665
無線和安全性模組 (Laird)	665
標籤符號	676
規格	681
支援的轉換器 (SonoSite SII)	681
標準	682
機電安全性標準	682
聲量輸出	683
ALARA 原則	683
應用 ALARA 原則	683
直接控制項	684
輸出顯示	684
相關準則文件	684
聲輸出測量	684
聲輸出表使用的術語	743
詞彙表 (SonoSite Edge II)	744

簡介

文件慣例

文件使用下列文字慣例：

- ▶ **警告**係指為避免傷害或危及生命而必須注意之事項。
- ▶ **注意**描述保護產品必需遵守的注意事項。
- ▶ **註**提供補充資訊。
- ▶ 操作時必須依特定順序執行帶數字與字母編號的步驟。
- ▶ 項目符號清單以清單格式顯示資訊，但是不表示按某一特定的順序。
- ▶ 單一步驟的程序則以 ❖ 開頭。

關於產品的標籤符號說明，請參閱使用者手冊中的「標籤符號」。

取得協助

若需技術支援，請依下列資訊聯絡 FUJIFILM SonoSite：

電話 (美國或加拿大)	+1-877-657-8118
電話 (美國或加拿大以外地區)	+1-425-951-1330，或致電您當地的業務代表
傳真	+1-425-951-6700
電子郵件	ffss-service@fujifilm.com
網站	www.sonosite.com
歐洲服務中心	總機：+31 20 751 2020 英文支援：+44 14 6234 1151 法文支援：+33 1 8288 0702 德文支援：+49 69 8088 4030 義大利文支援：+39 02 9475 3655 西班牙文支援：+34 91 123 8451
亞洲服務中心	+65 6380-5581

美國印製。

取得協助 (SonoSite Edge II)

SonoSite Edge II 系統使用者手冊中的下述內容發生了變更，將於下一更新版本更正。

電子郵件

ffss-service@fujifilm.com

入門

下列內容為 SonoSite Edge II 與 SonoSite SII 系統使用者手冊的遺漏與錯誤項目，將於下一更新版本更正。

設計用途

攝護腺成像應用

您可評估攝護腺和周圍解剖結構是否存在病理狀況。

表面成像應用

您可評估乳房、甲狀腺、睪丸、淋巴結、疝氣、肌肉骨骼構造、軟組織構造、脊柱、眼部構造及周圍生理結構是否出現病變。本儀器可用於引導切片檢查及引流術、血管放置及周邊神經阻斷。

儀器設定

連線設定 (SonoSite SII)

在 SonoSite SII 系統使用者手冊中，所有 PDAS 參考將變更為 SiteLink，將於下一更新版本更正。

連線設定 (SonoSite Edge II)

SonoSite Edge II 系統使用者手冊中更新了以下參考，將於下一更新版本更正。

啟用無線連線

❖ 請參照設定網路連線。

網路狀態設定

如果 Network Status（網路狀態）畫面顯示無線裝置故障訊息，您的網路密碼可能過期。請確認網路密碼已更新，再連接到無線裝置。

成像

C8x 轉換器在 SonoSite Edge II 和 SonoSite SII 系統上皆可使用針導架。

轉換器適用的成像模式和檢查 (SonoSite SII)

下述註腳係 SonoSite SII 使用者手冊中表 4-5. 轉換器適用的成像模式和檢查遺漏之內容，將於下一更新版本更正。

^a 檢查類型的縮寫意義如下：Abd = 腹部，Art = 動脈，Bre = 乳房，Crd = 心臟，Gyn = 婦科，Msk = 肌肉骨骼，Neo = 新生兒，Nrv = 神經，OB = 產科，Oph = 眼科，Pro = 攝護腺，SmP = 小部位，Spn = 脊柱，Sup = 淺表，Ven = 靜脈。

^b 2D 影像的最佳化設定為 Res、Gen 及 Pen。

^c 彩色能量都卜勒和彩色都卜勒的最佳化設定分為低、中和高（流速敏感度），而彩色都卜勒的 PRF 範圍設定取決於所選的設定。

測量與計算 (SonoSite SII)

一般計算

容積計算

警告

- ▶ 為避免計算錯誤，請確認患者資訊、日期和時間設定是否正確無誤。
- ▶ 為避免誤診或影響患者檢查結果，在開始新的患者檢查和計算前，應建立一份新的患者資訊表。建立新的患者資訊表將清除前一患者的資料。若未清除表中的資料，前一患者的資料會與目前的患者資料結合。

容積計算包含三次二維距離測量：D1、D2 與 D3。儲存所有測量結果後，結果會顯示於畫面中和患者報告中。

下列檢查類型可進行容積計算：腹部、動脈、乳房、婦科、肌肉骨骼、神經、小部位、靜脈、表面。

計算容積

針對要測量的每張影像，執行以下步驟：

- 1 在定格的二維影像上，點選 **Calcs**（計算）。

2 針對所需的各項測量，執行以下步驟：


a 在計算功能表中的 **Volume**（容積）下選擇測量名稱。

如果 Gyn 檢查中無法使用 **Volume**（容積），請選擇 **Gyn**（婦科），再選擇 **Volume**（容積）。

b 使用手觸板或觸控畫面，放置測徑器。

c 點選 **Save Calc**（儲存計算）來儲存計算結果。

每個儲存的測量值旁邊會有一個核取標記。

3 要儲存已完成計算的圖片，點選 。

4 點選 **Back**（返回）可結束計算。

測量的參考 (SonoSite SII)

下述資訊為 SonoSite SII 系統使用者手冊的遺漏項目，將於下一更新版本更正。

測量準確度

表 1：M 模式測量與計算的準確度和範圍

M 模式測量的準確度和範圍	超音波儀器容差	準確度取得方式	檢測方法	範圍
距離	< +/- 2% + 全刻度的 1% ^a	採集	假體 ^b	0–26 cm
時間	< +/- 2% + 全刻度的 1% ^c	採集	假體 ^d	0.01–10 秒
心率	< +/- 2% + (全刻度 ^c * 心率/100) %	採集	假體 ^d	5–923 bpm

^a 距離的全刻度表示影像的最大深度。

^b 使用 0.7 dB/cm MHz 衰減的 RMI 413a 型假體。

^c 時間的全刻度表示捲動影像中顯示的總時間。

^d 使用 FUJIFILM SonoSite 特製檢測裝置。

測量相關出版品與術語

一般參考文獻

髖骨角度 /d:D 比率

Morin, C., Harcke, H., MacEwen, G. "The Infant Hip: Real-Time US Assessment of Acetabular Development." *Radiology* 177: p.673-677, December 1985.

面積縮減率

Zwiebel W.J., J.A.Zagzebski, A.B.Crummy, et al."Correlation of peak Doppler frequency with lumen narrowing in carotid stenosis." *Stroke*, 3: (1982), p.386-391.

$$\text{面積縮減率} = [1 - A2(\text{cm}^2)/A1(\text{cm}^2)] * 100$$

其中： A1 = 血管原始面積，單位 cm^2

A2 = 血管縮減面積，單位 cm^2

直徑縮減率

Handa, Nobuo et al., "Echo-Doppler Velocimeter in the Diagnosis of Hypertensive Patients: The Renal Artery Doppler Technique," *Ultrasound in Medicine and Biology*, 12:12 (1986), p.945-952.

$$\text{直徑縮減率} = [1 - D2(\text{cm})/D1(\text{cm})] * 100$$

其中： D1 = 血管原始直徑，單位 cm

D2 = 血管縮減直徑，單位 cm

清潔和消毒

SonoSite Edge II 與 SonoSite SII 使用者手冊中的下述網站發生了變更，將於下一更新版本更正。

www.sonosite.com/products/transducers

清潔和消毒表中已更新下列註解。

如需已核准清潔劑及消毒劑的更多完整清單，請造訪

www.sonosite.com/support/cleaners-disinfectants，參閱清潔劑及消毒工具。

安全性

臨床安全性

SonoSite Edge II 與 SonoSite SII 使用者手冊中更新了下述警告，將於下一更新版本更正。

警告

FUJIFILM SonoSite 不建議在該系統附近使用高頻 (HF) 電子醫療裝置。尚未確認 FUJIFILM SonoSite 設備搭配高頻電子裝置或手術的使用。在該系統附近使用高頻電子手術裝置可能導致系統異常行為或系統停機。

為避免灼傷危險，請勿搭配高頻手術設備使用轉換器。在高頻手術的中性電極連接出現故障時，可能發生危險。

電磁相容性

本超音波儀器已完成測試，並證明符合 IEC 60601-1-2:2007 以及 IEC 60601-1-2:2014 標準對醫用裝置電磁相容性 (EMC) 的限制性規定。超音波儀器適合在專業醫療設施環境中使用。有源高頻手術設備會產生高電磁干擾，這可能會妨礙超音波儀器操作。不應在存在磁共振成像的 RF 隔離室中操作超音波儀器，因為它會產生高電磁干擾，這可能會妨礙超音波儀器操作。這些限制性規定旨在提供合理的保護措施，避免對一般醫療設施造成有害干擾。

注意事項

- ▶ 醫療電氣裝置需採取特定的 EMC 防範措施，並且必須按照這些指示進行安裝和操作。可攜式 RF 通訊設備（包括周邊設備，例如天線纜線和外部天線）應在超音波儀器任何部件（包括 FUJIFILM SonoSite 指定的纜線）30 cm 範圍以外使用。攜帶型和移動式 RF 通訊裝置會影響超音波儀器。其他設備或干擾源的電磁干擾 (EMI)，都可能干擾對超音波儀器的正常效能。干擾的明顯特徵可能包括影像品質變差或失真、讀取錯誤、裝置停止工作或其他不正常功能。如果發生此類情況，請檢查現場以確定干擾源，並且採取下列措施以消除干擾源。
 - ▶ 關閉附近的裝置然後再開啟，以排除法找出產生干擾的裝置。
 - ▶ 重新放置干擾裝置或重新調整其方向。
 - ▶ 拉長干擾裝置與超音波儀器間的距離。
 - ▶ 管理與超音波儀器頻率接近的頻率使用。
 - ▶ 移開易受 EMI 影響的裝置。
 - ▶ 調低設施控制內干擾源的功率（例如呼叫器系統）。
 - ▶ 為易受 EMI 影響的裝置貼上標籤。
 - ▶ 訓練臨床人員識別可能出現的 EMI 相關問題。
 - ▶ 藉由技術解決方案（例如遮罩）消除或減小 EMI。
 - ▶ 在易受 EMI 影響的裝置區域，限制使用個人通訊裝置（例如行動電話、電腦等）。
 - ▶ 特別是在評估購買可能產生 EMI 的新設備時，與其他人員分享相關的 EMI 資訊。
 - ▶ 購買符合 IEC 60601-1-2 EMC 標準的醫療裝置。
- ▶ 請勿將其他裝置疊放於超音波儀器，也不要將其他裝置放在超音波儀器附近及旁邊使用其他裝置。如果一定要堆疊或勢必得在附近使用他裝置，那麼請務必觀察超音波儀器，確認操作正常無誤。

註

SonoSite Edge II 與 SII 超音波儀器的輻射特性使其適合在工業領域及醫院（CISPR 11 A 類）中使用。如果在住宅環境（通常要求 CISPR 11 B 類）中使用，則超音波儀器可能無法為射頻通訊服務提供足夠的保護。可能需要採取遷移措施，例如重新放置儀器或重新調整方向。

無線傳輸

SonoSite Edge II 與 SII 超音波儀器採用兩種無線解決方案。

- ▶ 無線 USB 網路收發器 (Panda) 是一種小型無線配接器，它插在位於下述位置的 USB 連接埠中：
 - ▶ Edge II 超音波儀器右側。
 - ▶ SII 超音波儀器上背部。
- ▶ 無線和安全性模組 (Laird) 是一個模組，它安裝於：
 - ▶ Edge II 超音波儀器蓋子上，然後使用直角 USB 線插入到儀器中。
 - ▶ SII 超音波儀器的轉換器支架臂上，然後使用 30 cm 的 USB 線插入到儀器中。

參閱以下資訊，獲取各個傳輸資訊。

無線 USB 網路收發器 (Panda)

無線 USB 網路收發器使用工業、科學和醫療 (ISM) 頻帶，範圍從 2.412 至 2.4835 GHz，視您所在國家 / 地區的規定而定。網路收發器採用以下傳輸方法：

- ▶ IEEE 802.11b，使用直接序列展頻技術 (DSSS)，19 dBm：峰值速率為 54 Mbps，峰值吞吐量：27 Mbps
- ▶ IEEE 802.11g，使用正交分頻多工技術 (OFDM)，16 dBm：峰值速率為 54 Mbps，峰值吞吐量：27 Mbps
- ▶ IEEE 802.11n，使用正交分頻多工技術 (OFDM)，15 dBm：
 - ▶ 1T1R.峰值速率：150 Mbps，峰值吞吐量：90 Mbps
 - ▶ 1T2R.峰值速率：300 Mbps，峰值吞吐量：Rx 160 Mbps
 - ▶ 2T2R.峰值速率：300 Mbps，峰值吞吐量：Rx 260 Mbps

無線和安全性模組 (Laird)

無線和安全性模組使用工業、科學和醫療 (ISM) 頻帶，範圍從 1.400 至 2.4835 GHz，5.100 至 5.800 GHz。該模組採用四種不同的傳輸方法：

- ▶ IEEE 802.11a，使用正交分頻多工技術 (OFDM)，54 Mbps 下為 11 dBm \pm 2 dBm
- ▶ IEEE 802.11b，使用直接序列展頻技術 (DSSS)，11 Mbps 下為 16 dBm \pm 2.0 dBm
- ▶ IEEE 802.11g，使用正交分頻多工技術 (OFDM)，54 Mbps 下為 13 dBm \pm 2.0 dBm
- ▶ IEEE 802.11n，使用正交分頻多工技術 (OFDM)，MCS7 下為 12 dBm \pm 2.0 dBm (802.11gn)

相容配件與周邊設備 (SonoSite Edge II)

FUJIFILM SonoSite 已測試以下配件與周邊設備與 SonoSite Edge II 超音波儀器的相容性，顯示符合 IEC 60601-1-2:2007 與 IEC 60601-1-2:2014 的要求。

您可以將這些 FUJIFILM SonoSite 配件和協力廠商的周邊設備與 SonoSite Edge II 超音波儀器一同使用。

警告

- ▶ 將這些配件與 Edge 超音波儀器以外的醫療儀器一同使用，可能會導致該醫療儀器的輻射增加或抗干擾性降低。
- ▶ 使用非指定配件，可能導致超音波儀器的輻射升高或抗擾性降低。
- ▶ 超音波儀器不應在家用設施中使用或連接至共用電網。

表 2：與 Edge II 超音波儀器相容的配件和周邊設備

說明	最大纜線長度
C8x 轉換器	1.8 m
C11x 轉換器	1.8 m
C35x 轉換器	1.7 m
rC60xi 轉換器標準/裝甲型	1.7 m
HFL38xi 轉換器標準/裝甲型	1.7 m
HFL50x 轉換器	1.7 m
HSL25x 轉換器	2.3 m
ICTx 轉換器	1.7 m
L25x 轉換器標準/裝甲型	2.3 m
L38xi 轉換器標準/裝甲型	1.7 m
L52x 轉換器 ^a	2.4 m
P10x 轉換器	1.8 m
rP19x 轉換器標準/裝甲型	1.8 m
TEExi 轉換器	2.2 m
條碼掃描器	1.5 m

表 2：與 Edge II 超音波儀器相容的配件和周邊設備（續）

說明	最大纜線長度
PowerPack 電池	—
電池組	—
PowerPack 電池	—
黑白印表機	—
黑白印表機電源線	1 m
彩色印表機	—
彩色印表機電源線	1 m
彩色印表機視訊連接線	1.8 m
ECG 導聯線	0.6 m
ECG 模組	1.8 m
ECG 從屬纜線	2.4 m
SonoSite Edge II 安裝底座	—
SonoSite Edge II 台座	—
腳踏開關	3 m
Petite 滑鼠	1.8 m
電源線（儀器）	3 m
帶直流電源線的電源供應器	2 m
電源供應器交流電源線	1 m
PowerPark	—
三聯轉換器連接	—
USB 無線變壓器	—

對於轉換器，最大纜線長度是指應力消除部件之間的長度。所述長度不包括以下位置的纜線長度：應力消除部件下方、轉換器外殼之內、或轉換器連接器之內。

^aL52x 轉換器僅供獸醫使用。

相容配件與周邊設備 (SonoSite SII)

FUJIFILM SonoSite 已測試以下配件和周邊設備與 SonoSite SII 超音波儀器的相容性，顯示符合 IEC 60601-1-2:2007 與 IEC 60601-1-2:2014 的要求。

您可以將這些 FUJIFILM SonoSite 配件和協力廠商的周邊設備與 SonoSite SII 超音波儀器一同使用。

警告

- ▶ 將這些配件與 SonoSite SII 超音波儀器以外的醫療儀器一同使用，可能會導致該醫療儀器的輻射增加或抗干擾性降低。
- ▶ 使用非指定配件，可能導致超音波儀器的輻射升高或抗擾性降低。

表 3：與 SonoSite SII 超音波儀器相容的配件和周邊設備

說明	最大纜線長度
C8x 轉換器	1.8 m
C11x 轉換器	1.8 m
C35x 轉換器	1.7 m
rC60xi 轉換器標準/裝甲型	1.7 m
HFL38xi 轉換器標準/裝甲型	1.7 m
HFL50x 轉換器	1.7 m
HSL25x 轉換器	2.3 m
ICTx 轉換器	1.7 m
L25x 轉換器標準/裝甲型	2.3 m
L38xi 轉換器標準/裝甲型	1.7 m
L52x 轉換器	2.4 m
P10x 轉換器	1.8 m
rP19x 轉換器標準/裝甲型	1.8 m
條碼掃描器	1.5 m
PowerPack 電池	—
電池組	—

表 3：與 SonoSite SII 超音波儀器相容的配件和周邊設備（續）

說明	最大纜線長度
PowerPack 電池	—
黑白印表機	—
黑白印表機電源線	1 m
黑白印表機控制纜線	1.8 m
黑白印表機視訊纜線	1.9 m
腳踏開關	3 m
腳踏開關 USB 延長線	2 m
SonoSite SII 台座	—
電源線（儀器）	3 m
電源供應器及直流電源線	2 m
電源供應器交流電源線	1 m
PowerPark	—
USB 無線變壓器	—
USB 記憶體硬碟	—

對於轉換器，最大纜線長度是指應力消除部件之間的長度。所述長度不包括以下位置的纜線長度：應力消除部件下方、轉換器外殼之內、或轉換器連接器之內。

製造商聲明

本節表格列出了本超音波儀器設計的使用環境和 EMC 符合等級。為獲得最佳效能，請確保在表中描述的環境下使用超音波儀器。

本超音波儀器設計用於下文指定的電磁環境。

表 4：製造商聲明 - 電磁輻射符合 IEC 60601-1-2:2007 與 IEC 60601-1-2:2014

輻射測試	符合	電磁環境
射頻輻射 CISPR 11	第 1 組	Edge II 與 SII 超音波儀器僅為其內部功能使用 RF 電能。因此，其射頻輻射量非常低，不太可能對鄰近的電子裝置產生干擾。
射頻輻射 CISPR 11	A 類	Edge II 與 SII 超音波儀器適合在所有電路設施中使用，除了居家電路設施和直接連接到公用低電壓供電網路（為居家建築物民用戶途供電）的電路設施外。
諧波輻射 IEC 61000-3-2	A 類	
電壓波動/閃變輻射 IEC 61000-3-3	符合	

本超音波儀器設計用於下文指定的電磁環境。

表 5：製造商聲明 - 電磁抗擾性符合 IEC 60601-1-2:2007

抗擾性測試	IEC 60601 測試級別	符合等級	電磁環境
靜電放電 (ESD) IEC 61000-4-2	± 2.0 KV、 ± 4.0 KV、± 6.0 KV 接觸 ± 2.0 KV、 ± 4.0 KV、± 8.0 KV 空氣傳導	± 2.0 KV、 ± 4.0 KV、± 6.0 KV 接觸 ± 2.0 KV、 ± 4.0 KV、± 8.0 KV 空氣傳導	地板應為木材、混凝土或瓷磚鋪設。如果以合成材料覆蓋地板，相對濕度應達 30% 以上。
電子快速瞬態脈衝 IEC 61000-4-4	主電源線上 ± 2 KV 訊號線上 ± 1 KV	主電源線上 ± 2 KV 訊號線上 ± 1 KV	主電源的供電品質應達到一般商用或醫院環境等級。
突波 IEC 61000-4-5	±1 KV 線對線 ± 2 KV 線對地	±1 KV 線對線 ± 2 KV 線對地	主電源的供電品質應達到一般商用或醫院環境等級。

表 5：製造商聲明 - 電磁抗擾性符合 IEC 60601-1-2:2007

抗擾性測試	IEC 60601 測試級別	符合等級	電磁環境
電源輸入線路的電壓驟降、短暫中斷與電壓變化 IEC 61000-4-11	<5% U_T ($U_T > 95\%$ 的驟降幅度) 0.5 個循環 40% U_T ($U_T 60\%$ 的驟降幅度)，5 個循環 70% U_T ($U_T 30\%$ 的驟降幅度)，25 個循環 <5% U_T ($U_T > 95\%$ 的驟降幅度)，5 秒	<5% U_T ($U_T > 95\%$ 的驟降幅度) 0.5 個循環 40% U_T ($U_T 60\%$ 的驟降幅度)，5 個循環 70% U_T ($U_T 30\%$ 的驟降幅度)，25 個循環 <5% U_T ($U_T > 95\%$ 的驟降幅度)，5 秒	主電源的供電品質應達到一般商用或醫院環境等級。如果 FUJIFILM SonoSite 超音波儀器的使用者需要在電源中斷期間繼續工作，建議配備一隻不間斷電源或電池為 FUJIFILM SonoSite 超音波儀器連續供電。
工頻磁場 IEC 61000-4-8	3 A/m	3 A/m	如果影像失真，則可能需要將 FUJIFILM SonoSite 超音波儀器放置在遠離工頻磁場源的位置或安裝磁遮罩。擬安裝位置應進行測量，以確保工頻磁場足夠低。
傳導 RF IEC 61000-4-6	3 Vrms 150 kHz 至 80 MHz	3 Vrms	勿在接近 FUJIFILM SonoSite 超音波儀器的任何部分（包括纜線）使用可攜型和移動式 RF 通訊裝置，而應在根據適用於發射機頻率的等式計算出的建議分離距離使用。 建議間距 $d = 1.2 \sqrt{P}$

表 5：製造商聲明 - 電磁抗擾性符合 IEC 60601-1-2:2007



抗擾性測試	IEC 60601 測試級別	符合等級	電磁環境
發射射頻 IEC 61000-4-3	3 V/m 80 MHz 至 2.5 GHz	3 V/m 80 MHz 至 2.5 GHz	$d = 1.2 \sqrt{P}$ 80 MHz 至 800 MHz $d = 2.3 \sqrt{P}$ 800 MHz 至 2.5 GHz 其中 P 為發射器製造廠商所提供之發射器額定最大輸出功率，以瓦 (10) 為單位， d 為建議間距，以公尺 (m) 為單位。 固定式射頻發射器的磁場強度（以現場電磁測量結果為準 ^a ），應低於各頻率範圍的符合等級 ^b 。 標有以下符號的裝置附近可能出現干擾：  （IEC 60417 No. 417-IEC-5140：「非游離輻射源」）
註	U_T 是應用測試等級條件前的交流電源電壓。 在 80 MHz 至 800 MHz 頻段下，適用於更高頻段範圍的間距。 這些指導原則可能並非適用於所有情況。電磁傳播受結構、物體及人員的吸收與反射等特性所影響。		
<p>a. 固定式發射器，例如無線電話（行動電話/無線電話）及陸地行動無線電系統、業餘無線電、調幅及調頻無線電廣播及電視廣播等基地台，其磁場強度理論上無法精確預測。為評估固定式射頻發射器所形成之電磁環境，應考慮採取現場電磁測量的方式。如果 FUJIFILM SonoSite 超音波儀器使用地點測得的磁場強度，超過前述適用之射頻符合等級，應觀察 FUJIFILM SonoSite 超音波儀器以確認是否正常運作。如果觀察到異常，可能需要採取其他措施，例如調整 FUJIFILM SonoSite 超音波儀器的方向或位置。</p> <p>b. 頻率介於 150 kHz 至 80 MHz 的範圍時，磁場強度應低於 3 V/m。</p>			

表 6：製造商聲明 - 電磁抗擾性符合 IEC 60601-1-2:2014

抗擾性測試	IEC 60601 測試級別	符合等級	電磁環境
靜電放電 (ESD) IEC 61000-4-2	± 8.0 KV，接觸 ± 2.0 KV、 ± 4.0 KV、± 8.0 KV 空氣傳導，± 15KV	± 8.0 KV、 ± 4.0 KV、± 8.0 KV 空氣傳導， ± 15 KV	地板應為木材、混凝土或瓷磚鋪設。如果以合成材料覆蓋地板，相對濕度應達 30% 以上。
電子快速瞬態脈衝 IEC 61000-4-4	主電源線上 ± 2 KV 訊號線上 ± 1 KV	主電源線上 ± 2 KV 訊號線上 ± 1 KV	主電源的供電品質應達到一般商用或醫院環境等級。
突波 IEC 61000-4-5	±1 KV 線對線 ± 2 KV 線對地	±1 KV 線對線 ± 2 KV 線對地	主電源的供電品質應達到一般商用或醫院環境等級。
電源輸入線路的電壓驟降、短暫中斷與電壓變化 IEC 61000-4-11	0% U_T ，0.5 個循環 0% U_T ，5 個循環 70% U_T (U_T 30% 的驟降幅度)，500 毫秒 <5% U_T (U_T >95% 的驟降幅度)，5 秒	0% U_T ，0.5 個循環 0% U_T ，5 個循環 70% U_T (U_T 30% 的驟降幅度)，500 毫秒 <5% U_T (U_T >95% 的驟降幅度)，5 秒	主電源的供電品質應達到一般商用或醫院環境等級。如果 FUJIFILM SonoSite 超音波儀器的使用者需要在電源中斷期間繼續工作，建議配備一隻不間斷電源或電池為 FUJIFILM SonoSite 超音波儀器連續供電。
工頻磁場 IEC 61000-4-8	30 A/m	30 A/m	如果影像失真，則可能需要將 FUJIFILM SonoSite 超音波儀器放置在遠離工頻磁場源的位置或安裝磁遮罩。擬安裝位置應進行測量，以確保工頻磁場足夠低。
傳導 RF IEC 61000-4-6	3 Vrms 150 kHz 至 80 MHz 6 Vrms，在 ISM 頻帶中	3 Vrms 6 Vrms，在 ISM 頻帶中	勿在接近 FUJIFILM SonoSite 超音波儀器的任何部分（包括纜線）使用可攜型和移動式 RF 通訊裝置，而應在根據適用於發射機頻率的等式計算出的建議分離距離使用。 建議間距 $d = 1.2 \sqrt{P}$

表 6：製造商聲明 - 電磁抗擾性符合 IEC 60601-1-2:2014

抗擾性測試	IEC 60601 測試級別	符合等級	電磁環境
發射射頻 IEC 61000-4-3	3 V/m 80 MHz 至 2.7 GHz	3 V/m 80 MHz 至 2.7 GHz	$d = 1.2 \sqrt{P}$ 80 MHz 至 800 MHz $d = 2.3 \sqrt{P}$ 800 MHz 至 2.5 GHz 其中 P 為發射器製造廠商所提供之發射器額定最大輸出功率，以瓦 (10) 為單位， d 為建議間距，以公尺 (m) 為單位。 固定式射頻發射器的磁場強度（以現場電磁測量結果為準 ^a ），應低於各頻率範圍的符合等級 ^b 。 標有以下符號的裝置附近可能出現干擾：  （IEC 60417 No. 417-IEC-5140：「非游離輻射源」）
來自無線通訊設備的鄰近場	依據 60601-1-2:2014，表 9	依據 60601-1-2:2014 表 9	

註

U_T 是應用測試等級條件前的交流電源電壓。
 在 80 MHz 至 800 MHz 頻段下，適用於更高頻段範圍的間距。
 這些指導原則可能並非適用於所有情況。電磁傳播受結構、物體及人員的吸收與反射等特性所影響。

- a. 固定式發射器，例如無線電話（行動電話/無線電話）及陸地行動無線電系統、業餘無線電、調幅及調頻無線電廣播及電視廣播等基地台，其磁場強度理論上無法精確預測。為評估固定式射頻發射器所形成之電磁環境，應考慮採取現場電磁測量的方式。如果 FUJIFILM SonoSite 超音波儀器使用地點測得的磁場強度，超過前述適用之射頻符合等級，應觀察 FUJIFILM SonoSite 超音波儀器以確認是否正常運作。如果觀察到異常，可能需要採取其他措施，例如調整 FUJIFILM SonoSite 超音波儀器的方向或位置。
- b. 頻率介於 150 kHz 至 80 MHz 的範圍時，磁場強度應低於 3 V/m。

美國聯邦通訊委員會警告：本設備已通過測試，符合 FCC 規定第 15 節對 A 類數位裝置之限制。這些限制旨在提供合理的保護措施，避免在商業環境中使用時產生有害干擾。本設備產生、使用並放射無線頻率能量，若未依據指示手冊進行安裝及使用，可能對無線通訊造成有害干擾。在住宅區域使用本設備可能產生有害干擾，使用者需自費解決干擾。

相容配件與周邊設備

下述警告為 SonoSite Edge II 與 SonoSite SII 使用者手冊中的增補內容，將於下一更新版本更正。

警告

如果系統連線有週邊設備，確保系統和週邊設備連線至同一交流電源支路。

標籤符號

表 7：標準標籤符號

符號	標題	標準發展組織	參考編號	說明
	製造商	ISO 15223-1:2016 醫療器材 - 與醫療器材標籤、標示和要提供的訊息一起使用的符號 - 第 1 部分：一般要求	5.1.1	指示醫療設備製造商應遵守歐姆指令 90/385/EEC、93/42/EEC 及 98/79/EC
	非電離電磁輻射	IEC 60601-1-2:2007 醫療電氣設備，第 1-2 部分：有關基本安全性和基本效能的一般要求 - 輔助標準：電磁相容性	5.1.1	表示普遍升高的、具有潛在危險的非電離輻射之水平，或者表示含有射頻發射器的或者在診斷或治療中有意運用射頻電磁能的裝置或儀器，例如在醫療電氣領域。
	歐盟授權代表	ISO 15223-1 醫療器材 - 與醫療器材標籤、標示和要提供的訊息一起使用的符號。	5.1.2	指示歐盟授權代表
	序號	ISO 15223-1:2016 醫療器材 - 與醫療器材標籤、標示和要提供的訊息一起使用的符號 - 第 1 部分：一般要求	5.1.7	指示製造商的序號，以便識別特定的醫療器材
	產品目錄號碼	ISO 15223-1:2016 醫療器材 - 與醫療器材標籤、標示和要提供的訊息一起使用的符號 - 第 1 部分：一般要求	5.1.6	指示製造商的产品目錄號碼，以便識別特定的醫療器材
	注意	ISO 15223-1:2016 醫療器材 - 與醫療器材標籤、標示和要提供的訊息一起使用的符號 - 第 1 部分：一般要求	5.4.4	指示使用者需要查閱使用說明，以獲得重要的警示資訊，例如出於各種原因，不能在醫療器材上顯示的警告和預防措施。
	易碎物品，小心輕放	ISO 15223-1:2016 醫療器材 - 與醫療器材標籤、標示和要提供的訊息一起使用的符號 - 第 1 部分：一般要求	5.3.1	表示如果處理不當，可能會損壞或損壞的醫療器材

表 7：標準標籤符號（續）

符號	標題	標準發展組織	參考編號	說明
	保持乾燥	ISO 15223-1:2016 醫療器材 - 與醫療器材標籤、標示和要提供的訊息一起使用的符號 - 第 1 部分：一般要求	5.3.4	表示需要防潮的醫療器材
	溫度限制	ISO 15223-1:2016 醫療器材 - 與醫療器材標籤、標示和要提供的訊息一起使用的符號 - 第 1 部分：一般要求	5.3.7	指示醫療器材可以安全暴露的溫度限制
	氣壓限制	ISO 15223-1:2016 醫療器材 - 與醫療器材標籤、標示和要提供的訊息一起使用的符號 - 第 1 部分：一般要求	5.3.9	指示醫療設備可以安全暴露的氣壓範圍
	濕度限制	ISO 15223-1:2016 醫療器材 - 與醫療器材標籤、標示和要提供的訊息一起使用的符號 - 第 1 部分：一般要求	5.3.8	指示醫療設備可安全暴露的濕度範圍
IPX7	外殼提供的防水防塵等級	IEC 60601-1 醫療電氣設備，第 1 部分：有關基本安全和基本效能的一般要求	D.3	保護使之免受暫時浸入的影響。
	請參閱說明手冊/小冊	IEC 60601-1 醫療電氣設備，第 1 部分：有關基本安全和基本效能的一般要求	D.2-10	遵循使用說明（根據 IEC 60601-1 使用）
	請參照使用說明操作	ISO 15223-1:2016 醫療器材 - 與醫療器材標籤、標示和要提供的訊息一起使用的符號 - 第 1 部分：一般要求	5.4.3	表示使用者需要查閱使用說明
	交流電	ISO 7000 / IEC 60417 設備上使用的圖形符號	5032	銘牌上的指示，表明該設備僅適用於交流電，以便確定適合的接線端
	CE 標誌	理事會指令 93/42/EEC	第 17 條 附件 12	表示歐洲技術合格性

表 7：標準標籤符號（續）

符號	標題	標準發展組織	參考編號	說明
	Conformité Européene 認證機構參考編號：2797	理事會指令 93/42/EEC	第 17 條， 附件 12	表示負責實施附件 2、4、5、6 之認證機構的歐洲技術合格性和識別。
	危險電壓	ISO 7000 / IEC 60417 設備上使用的圖形符號	5036	指示危險電壓導致的危險
	堆疊限制（按數量）	ISO 7000 / IEC 60417 設備上使用的圖形符號	2403	指示垂直堆放的物品數量不能超過指定物品數
	小心燙傷	ISO 7000 / IEC 60417 設備上使用的圖形符號	5041	指示標記物品很燙，沒有防護措施不能觸碰
	小心，存在靜態磁場危險	ISO 7000 / IEC 60417 設備上使用的圖形符號	6204	確定安裝過程中存在潛在危險的靜態磁場及磁力的區域
	BF 型觸身部分	IEC 60601-1 醫療電氣設備，第 1 部分： 有關基本安全和基本效能的一般要求	D.2-10	確定 BF 型觸身部分符合 IEC 60601-1 標準
	防除顫 CF 型觸身部分	IEC 60601-1 醫療電氣設備，第 1 部分：有關基本安全和基本效能的一般要求	D.1-27	確定防除顫 CF 型觸身部分符合 IEC 60601-1 標準
	靜電敏感裝置	IEC 60417:2002 設備上使用的圖形符號	5134	指示包含靜電敏感裝置的包裝，或者 確定尚未進行靜電放電抗干擾測試的裝置或連接器。
	合規標誌 (RCM)	AS/NZS3820	—	指示澳洲和紐西蘭的 C-Tick 合規標誌。 裝置符合澳洲與紐西蘭關於電氣裝置的相關規章。
	批號、日期代碼或批號代碼類型控制號碼	ISO 15223-1 醫療器材 - 與醫療器材標籤、標示和要提供的訊息一起使用的符號 - 第 1 部分：一般要求	5.1.5	指示製造商的批號，以便識別批次或批量

表 7：標準標籤符號（續）

符號	標題	標準發展組織	參考編號	說明
	生物危險	ISO 7010 - 圖形符號 -- 安全顏色與安全符號	W009	生物危害警告
	INMETRO 安全符號	—	—	表示通過巴西認證機構國家計量、標準化及工業質量研究所 (INMETRO) 的認可
	加拿大標準協會認證標誌	—	—	CSA 認證標誌，表示該產品符合適用的 CSA 與 ANSI/UL 要求，並獲得授權可用於加拿大及美國。
	回收： 電子設備	BS EN 50419:2016 按照 2012/19/EC 指令 (WEEE) 對電氣和電子設備進行標記。	附件 9	不要扔在 垃圾桶裡
	可再利用瓦楞紙板箱	—	—	運輸箱由 瓦楞紙板製成，應相應回收。
	製造日期	ISO 7000 - 設備上使用的圖形符號	5.1.3	指示製造產品的日期
	直流電 (DC)	—	—	—
	21，第 15 部分	聯邦通訊委員會 (FCC) 合規聲明	聯邦通訊委員會	根據聯邦通訊委員會要求，經過 FCC 的測試，本裝置符合電氣裝置的相關 FCC 規章。
GEL	凝膠	—	—	—
	Resy - 回收符號	—	—	可再循環利用紙張
	外殼提供的防水防塵等級	IEC 60601-1 醫療電氣設備，第 1 部分：有關基本安全和基本效能的一般要求	D.3	保護使之免受暫時浸入水中的影響。 可潛入水中，保護使之免受暫時浸入的影響。

表 7：標準標籤符號（續）

符號	標題	標準發展組織	參考編號	說明
	外殼提供的防水防塵等級	IEC 60601-1 醫療電氣設備，第 1 部分：有關基本安全和基本效能的一般要求	D.3	保護使之免受暫時浸入水中的影響。 防水裝置，不受長時間浸入影響。
	—	—	—	指示小心輕放
	—	—	—	指示遵照製造廠商關於消毒時間的說明
	—	—	—	表示對轉換器消毒
	最大重量負載	IEC 60601-1 醫療電氣設備，第 1 部分：有關基本安全和基本效能的一般要求	7.2.21	指示裝置的總質量，包括安全工作負荷
	Underwriters Laboratories 認證標誌	—	—	認證標誌僅適用於電擊、火災和機械危險
	UL 產品認證。	—	—	產品或公司已成功滿足嚴格的產品安全標準。
	中國污染防治 (10)	ISO 7000:2014 設備上使用的圖形符號	1135	污染防治標誌。（適用於中國 RoHS 公告表中列出的所有部件/產品。一些部件/產品的外觀上可能不會顯示，因為空間有限。）

表 7：標準標籤符號（續）

符號	標題	標準發展組織	參考編號	說明
	中國 強制性 認證標誌 （「CCC 標 誌」）。一種 強制性安全標 誌，以便符合 在中華 人民共和國 銷售的 許多產品的 國家標準。	—	—	—
	使用氧化乙烯滅菌	ISO 15223-1 醫療器材 - 與醫療器材標 籤、標示和要提供的訊息一 起使用的符號 - 第 1 部分： 一般要求	5.2.3	指示已使用氧化乙烯滅菌的 醫療器材
	使用輻射滅菌	ISO 15223-1 醫療器材 - 與醫療器材標 籤、標示和要提供的訊息一 起使用的符號 - 第 1 部分： 一般要求	5.2.4	指示已使用輻射滅菌的醫療 器材
	（僅 SII） 產品目錄號碼	ISO 15223-1:2016 醫療器材 - 與醫療器材標 籤、標示和要提供的訊息一 起使用的符號 - 第 1 部分： 一般要求	5.1.6	指示製造商的 產品目錄號碼，以便識別特 定的醫療器材。
	（僅 SII） 危險電壓	ISO 7000 / IEC 60417 設備上 使用的圖形符號	5036	指示危險電壓導致的危險
	（僅 SII） 僅供室內使用	ISO 7000 / IEC 60417 設備上 使用的圖形符號	5957	識別主要設計用於室內使用的 電氣設備

規格

支援的轉換器 (SonoSite SII)

下述冗餘章節已於 SonoSite SII 使用者手冊中刪除。該使用者手冊的表 9-2 中包含完全相同的資訊，將於下一更新版本更正。

表 8：支援的轉換器

說明	最大纜線長度
C11x 轉換器	1.8 m
rC60xi 轉換器標準 / 裝甲型	1.7 m
HFL38xi 轉換器標準/裝甲型	1.7 m
HFL50x 轉換器	1.7 m
HSL25x 轉換器	2.4 m
ICTx 轉換器	1.7 m
L25x 轉換器	2.3 m
L38xi 轉換器標準/裝甲型	1.7 m
L52x 轉換器	2.4 m
P10x 轉換器	1.8 m
rP19x 轉換器標準/裝甲型	1.8 m

對於轉換器，最大纜線長度是指應力消除部件之間的長度。所述長度不包括以下位置的纜線長度：應力消除部件下方、轉換器外殼之內、或轉換器連接器之內。

標準

機電安全性標準

表 9：機電安全性標準

標準	說明
ANSI/AAMI ES60601-1:2005/(R) 2012 及 A1:2012	醫療電氣設備，第 1 部分：有關基本安全性和基本性能的一般要求，統一版 3.1
CAN/CSA C22.2 No. 60601-1:2014 (3.1 版)	醫療電氣設備 - 第 1 部分：有關基本安全和基本效能的一般要求
IEC 60601-1:2012 (3.1 版)	醫療電氣設備 - 第 1 部分：有關基本安全和基本效能的一般要求

表 9：機電安全性標準

標準	說明
IEC 60601-2-37:2015	醫療電氣設備 - 第 2-37 部分：對超音波醫療診斷和監測設備基本安全和基本性能的特殊要求
IEC 60601-1-6:2013	醫療電氣設備，第 1-6 部分：有關基本安全性和基本性能的一般要求 - 輔助標準：可用性
JIS T0601-1:2012 (第三版)	日本工業標準，醫療電氣設備 - 第 1 部分：有關基本安全和基本效能的一般要求

聲量輸出

ALARA 原則

應用 ALARA 原則

合格的超音波使用者根據所需的診斷資訊選擇超音波儀器成像模式。2D（二維）成像提供解剖資訊；CPD（彩色能量都卜勒）成像提供關於特定解剖部位在一段時間內都卜勒訊號之能量或振幅強度的資訊，用於偵測血流；Color（彩色都卜勒）成像提供特定解剖部位在一段時間內都卜勒訊號的能量或振幅強度資訊，用於偵測血流、流速和方向；組織諧波成像 (THI) 使用較高的接受頻率來減少雜亂訊號和假影，並且提高二維影像的解析度。理解所使用成像模式的特性可以協助合格的超音波使用者應用 ALARA 原則。

謹慎使用超音波，要求在能夠獲得可接受診斷結果的前提下，將超音波輸出調節到最低有效限度，並且將患者的超音波輻照時間控制在最短。謹慎使用超音波的決策因素包括患者類型、檢查類型、患者病史、獲取有用診斷資訊的難易度及因轉換器表面溫度而引起患者可能的局部發熱。

本超音波儀器經過設計，可以確保轉換器表面溫度不超過 IEC 60601-2-37 標準：「超音波醫療診斷和監護裝置安全的特殊要求」規定的限制。參見第 10-9 中的「[轉換器表面溫度升高](#)」。裝置故障的情況下，冗餘控制器可以限制轉換器功率。這種電氣設計會限制供應到轉換器的電源電流和電壓。

超音波專家使用各種超音波儀器控制來調整影像品質並且限制超音波輸出。就輸出而言，超音波儀器控制分為 3 類：直接影響輸出的控制、間接影響輸出的控制和接收器控制。

直接控制項

對於所有成像模式，超音波儀器都不會超過下列空間峰值暫態平均強度 (ISPTA)：720 mW/cm²。（若用於眼科或眼眶檢查，聲輸出不得超出以下數值：ISPTA 不超過 50 mW/cm²；TI 不超過 1.0，且 MI 不超過 0.23。）在某些成像模式下，有些轉換器上的機械指數 (MI) 和熱指數 (TI) 可能超過大於 1.0 的值。您可以監測 MI 和 TI 值，並且調節相應控制以減小這些值。參見第 10-3 中的「[降低機械指數 \(MI\) 和熱指數 \(TI\) 的準則](#)」。此外，符合 ALARA 原則的另一種方式是將 MI 或 TI 值設定為較低的指數值，然後修改該級別直到獲得滿意的影像或都卜勒模式。若需 MI 與 TI 的更多資訊，請參見「醫療超音波安全」、AIUM（每套超音波儀器均附一份）以及 IEC 60601-2-37 附件「用於告知操作者的 TI 與 MI 說明指南」。

輸出顯示

相關準則文件

《製造廠商申請診斷用超音波系統及轉換器上市許可的資訊》(*Information for Manufacturers Seeking Marketing Clearance of Diagnostic Ultrasound Systems and Transducers*)，美國食品暨藥物管理局，2008。

《醫療超音波安全》(*Medical Ultrasound Safety*)，美國超音波醫學會 (AIUM)，2014。（每套超音波儀器均附一份）。

《診斷用超音波設備聲輸出測量標準》(*Acoustic Output Measurement Standard for Diagnostic Ultrasound Equipment*)，NEMA UD2-2004。

IEC 60601-2-37:2015，對超音波診斷和檢測設備基礎安全性及基本性能的特殊要求 (IEC 60601-2-37:2015, Particular requirements for the basic safety and essential performance of ultrasonic diagnostic and monitoring equipment)。

轉換器表面溫度升高

表 10-4 與表 10-5 列出了超音波儀器上使用之轉換器的測得表面溫度相對於環境溫度 (23°C ± 3°C) 的升高值。溫度值根據 IEC 60601-2-37 標準進行測量，其中控制器和設定設於給定的最大溫度。

聲輸出測量

自從最初使用超音波診斷開始，許多科學研究與醫療機構已經進行關於超音波輻照可能產生之人類生物效應的多項研究。1987 年 10 月，美國超音波醫學會 (AIUM) 批准了其生物效應委員會的一份報告 (*Bioeffects Considerations for the Safety of Diagnostic Ultrasound*, *J Ultrasound Med.*, Sept. 1988: Vol. 7, No. 9 Supplement)。該報告有時稱為《*Stowe 報告*》(*Stowe Report*)，審查關於超音波輻照可能效應的可用資料。1993 年 1 月 28 日公佈的另一份報告《*超音波診斷的生物效應和安全性*》(*Bioeffects and Safety of Diagnostic Ultrasound*)，提供了更多最新資訊。

本超音波儀器聲輸出的測量和計算依據 "Acoustic Output Measurement Standard for Diagnostic Ultrasound Equipment" (超音波診斷裝置聲輸出測量標準) (NEMA UD2-2004) 及 IEC 60601-2-37 : 2015，對超音波診斷和監測設備基本安全和基本性能的特殊要求。

聲輸出表

聲輸出表格式已更新。

轉換器型號：C8x 操作模式：2D	687
轉換器型號：C8x 操作模式：M 模式	688
轉換器型號：C8x 操作模式：彩色都卜勒 (Color)/ 彩色能量都卜勒 (CPD)	689
轉換器型號：C8x 操作模式：脈衝波式都卜勒	690
轉換器型號：C11x 操作模式：脈衝波式都卜勒	691
轉換器型號：C35x 操作模式：2D	692
轉換器型號：C35x 操作模式：脈衝波式都卜勒	693
轉換器型號：HFL38xi (眼科用) 操作模式：2D	694
轉換器型號：HFL38xi (眼科用) 操作模式：M 模式	695
轉換器型號：HFL38xi (眼科用) 操作模式：彩色都卜勒 (Color)/ 彩色能量都卜勒 (CPD)	696
轉換器型號：HFL38xi (眼科用) 操作模式：脈衝波式都卜勒	697
轉換器型號：HFL38xi 操作模式：2D	698
轉換器型號：HFL38xi 操作模式：M 模式	699
轉換器型號：HFL38xi 操作模式：彩色都卜勒 (Color)/ 彩色能量都卜勒 (CPD)	700
轉換器型號：HFL38xi 操作模式：脈衝波式都卜勒	701
轉換器型號：HFL50x 操作模式：2D	702
轉換器型號：HFL50x 操作模式：M 模式	703
轉換器型號：HFL50x 操作模式：彩色都卜勒 (Color)	704
轉換器型號：HFL50x 操作模式：脈衝波式都卜勒	705
轉換器型號：HSL25x (眼科用) 操作模式：2D	706
轉換器型號：HSL25x (眼科用) 操作模式：M 模式	707
轉換器型號：HSL25x (眼科用) 操作模式：彩色都卜勒 (Color)/ 彩色能量都卜勒 (CPD)	708
轉換器型號：HSL25x (眼科用) 操作模式：脈衝波式都卜勒	709
轉換器型號：HSL25x 操作模式：2D	710
轉換器型號：HSL25x 操作模式：彩色都卜勒 (Color)/ 彩色能量都卜勒 (CPD)	711
轉換器型號：HSL25x 操作模式：脈衝波式都卜勒	712
轉換器型號：ICTx 操作模式：脈衝波式都卜勒	713
轉換器型號：L25x (眼科用) 操作模式：2D	714
轉換器型號：L25x (眼科用) 操作模式：M 模式	715
轉換器型號：L25x (眼科用) 操作模式：彩色都卜勒 (Color)/ 彩色能量都卜勒 (CPD)	716
轉換器型號：L25x (眼科用) 操作模式：脈衝波式都卜勒	717
轉換器型號：L25x 操作模式：2D	718
轉換器型號：L25x 操作模式：彩色都卜勒 (Color)/ 彩色能量都卜勒 (CPD)	719
轉換器型號：L25x 操作模式：脈衝波式都卜勒	720
轉換器型號：L38xi 操作模式：2D	721

轉換器型號：L38xi 操作模式：M 模式	722
轉換器型號：L38xi 操作模式：彩色都卜勒 (Color)/ 彩色能量都卜勒 (CPD)	723
轉換器型號：L38xi 操作模式：脈衝波式都卜勒	724
轉換器型號：P10x 操作模式：彩色都卜勒 (Color)	725
轉換器型號：P10x 操作模式：連續波式都卜勒	726
轉換器型號：P10x 操作模式：脈衝波式都卜勒	727
轉換器型號：rC60xi，操作模式：2D	728
轉換器型號：rC60xi，操作模式：M 模式	729
轉換器型號：rC60xi，操作模式：彩色都卜勒 (Color)/ 彩色能量都卜勒 (CPD)	730
轉換器型號：rC60xi，操作模式：脈衝波式都卜勒	731
轉換器型號：rP19x (眼眶用) 操作模式：2D	732
轉換器型號：rP19x (眼眶用) 操作模式：M 模式	733
轉換器型號：rP19x (眼眶用) 操作模式：彩色都卜勒 (Color)/ 彩色能量都卜勒 (CPD)	734
轉換器型號：rP19x (眼眶用) 操作模式：脈衝波式都卜勒	735
轉換器型號：rP19x，操作模式：2D	736
轉換器型號：rP19x，操作模式：M 模式	737
轉換器型號：rP19x，操作模式：彩色都卜勒 (Color)/ 彩色能量都卜勒 (CPD)	738
轉換器型號：rP19x，操作模式：連續波式都卜勒	739
轉換器型號：rP19x，操作模式：脈衝波式都卜勒	740
轉換器型號：TEExi 操作模式：連續波式都卜勒	741
轉換器型號：TEExi 操作模式：脈衝波式都卜勒	742

表 10：轉換器型號：C8x 操作模式：2D

指數標籤		MI	TIS		TIB		TIC
			體表處	體表下	體表處	體表下	體表處
最大指數值		1.1	(a)		(a)		(b)
指數成份值			#	#	#	#	
聲學參數	$Pr,a_{r,a}@z_{MI}$ (MPa)	2.48					
	P (mW)		#		#		#
	P_{1x1} (mW)		#		#		
	z_s (cm)			—			
	z_b (cm)					—	
	z_{MI} (cm)	1.2					
	$z_{pii,a}$ (cm)	1.2					
	f_{awf} (MHz)	5.53		#		#	#
其他資訊	pr (Hz)	9524					
	srr (Hz)	18.6					
	n_{pps}	1					
	$I_{pa,a}@z_{pii,a}$ (W/cm ²)	264					
	$I_{spta,a}@z_{pii,a}$ 或 $z_{sii,a}$ (mW/cm ²)	18.3					
	$I_{spta}@z_{pii}$ 或 z_{sii} (mW/cm ²)	25.6					
	$p_r@z_{pii}$ (MPa)	3.11					
操作控制項	檢查種類	Pro					
	最佳化	Pen					
	深度 (cm)	2.5–3.2					
	MB	關					

(a) 本操作模式不須使用此項指數；數值為 <1。

(b) 本轉換器不適用於經顱檢查或新生兒頭部檢查。

基於所列原因未報告全域最大指數值，因此無本操作條件的相關資料。（參考「全域最大指數值」行。）

— 資料不適用於此轉換器 / 模式。

表 11：轉換器型號：C8x 操作模式：M 模式

指數標籤		MI	TIS		TIB		TIC
			體表處	體表下	體表處	體表下	體表處
最大指數值		1.3	(a)		(a)		(b)
指數成份值			#	#	#	#	
聲學參數	$Pr,a,r,a@z_{MI}$ (MPa)	2.91					
	P (mW)		#		#		#
	P_{1x1} (mW)		#		#		
	z_s (cm)			#			
	z_b (cm)					#	
	z_{MI} (cm)	1.1					
	$z_{pii,a}$ (cm)	1.1					
	f_{awf} (MHz)	5.07	#		#		#
	其他資訊	pr (Hz)	800				
srr (Hz)		—					
η_{pps}		1					
$I_{pa,a}@z_{pii,a}$ (W/cm ²)		433					
$I_{spta,a}@z_{pii,a}$ 或 $z_{sii,a}$ (mW/cm ²)		149					
$I_{spta}@z_{pii}$ 或 z_{sii} (mW/cm ²)		226					
$p_r@z_{pii}$ (MPa)		3.57					
操作控制項	檢查種類	Pro					
	最佳化	Pen					
	深度 (cm)	4.2					

(a) 本操作模式不須使用此項指數；數值為 <1。

(b) 本轉換器不適用於經顱檢查或新生兒頭部檢查。

基於所列原因未報告全域最大指數值，因此無本操作條件的相關資料。（參考「全域最大指數值」行。）

— 資料不適用於此轉換器 / 模式。

表 12：轉換器型號：C8x 操作模式：彩色都卜勒 (Color)/ 彩色能量都卜勒 (CPD)

指數標籤		MI	TIS		TIB		TIC
			體表處	體表下	體表處	體表下	體表處
最大指數值		1.2	(a)		(a)		(b)
指數成份值			#	#	#	#	
聲學參數	$P_{r,a,r,a}@z_{MI}$ (MPa)	2.68					
	P (mW)		#		#		#
	P_{1x1} (mW)		#		#		
	z_s (cm)			—			
	z_b (cm)					—	
	z_{MI} (cm)	0.8					
	$z_{pii,a}$ (cm)	0.8					
	f_{awf} (MHz)	4.82	#		#		#
其他資訊	p_{rr} (Hz)	2548					
	s_{rr} (Hz)	26					
	n_{pps}	12					
	$I_{pa,a}@z_{pii,a}$ (W/cm^2)	381					
	$I_{spta,a}@z_{pii,a}$ 或 $z_{sii,a}$ (mW/cm^2)	132					
	$I_{spta}@z_{pii}$ 或 z_{sii} (mW/cm^2)	176					
	$p_r@z_{pii}$ (MPa)	3.1					
操作控制項	檢查種類	Pro					
	模式	CVD					
	2D 最佳化/深度 (cm)	Pen/1.5–1.9					
	色彩最佳化/PRF (Hz)	高/任何					
	顏色方塊位置/大小	窄/任何					

(a) 本操作模式不須使用此項指數；數值為 <1。

(b) 本轉換器不適用於經顱檢查或新生兒頭部檢查。

基於所列原因未報告全域最大指數值，因此無本操作條件的相關資料。（參考「全域最大指數值」行。）

— 資料不適用於此轉換器 / 模式。

表 13：轉換器型號：C8x 操作模式：脈衝波式都卜勒

指數標籤		MI	TIS		TIB		TIC
			體表處	體表下	體表處	體表下	體表處
最大指數值		1.0	(a)		1.4		(b)
指數成份值			#	#	0.5	1.4	
聲學參數	$P_{r,a,r,a}@z_{MI}$ (MPa)	2.28					
	P (mW)		#		23.1		#
	P_{1x1} (mW)		#		23.1		
	z_s (cm)			#			
	z_b (cm)					1.0	
	z_{MI} (cm)	1.8					
	$z_{pii,a}$ (cm)	1.8					
	f_{awf} (MHz)	4.80	#		4.80		#
	其他資訊	pr (Hz)	1008				
srr (Hz)		—					
n_{pps}		1					
$I_{pa,a}@z_{pii,a}$ (W/cm ²)		263					
$I_{spta,a}@z_{pii,a}$ 或 $z_{sii,a}$ (mW/cm ²)		334					
$I_{spta}@z_{pii}$ 或 z_{sii} (mW/cm ²)		616					
$p_r@z_{pii}$ (MPa)		3.1					
操作控制項	檢查種類	Pro			Pro		
	樣本容積大小 (mm)	1			1		
	樣本容積位置	區域 4			區域 4		
	PRF (Hz)	1008			1008		

(a) 本操作模式不須使用此項指數；數值為 <1。

(b) 本轉換器不適用於經顱檢查或新生兒頭部檢查。

基於所列原因未報告全域最大指數值，因此無本操作條件的相關資料。（參考「全域最大指數值」行。）

— 資料不適用於此轉換器 / 模式。

表 14：轉換器型號：C11x 操作模式：脈衝波式都卜勒

指數標籤		MI	TIS		TIB		TIC
			體表處	體表下	體表處	體表下	體表處
最大指數值		(a)	(a)		1.5		1.1
指數成份值			#	#	0.5	1.5	
聲學參數	$Pr,a_{r,a}@z_{MI}$ (MPa)	#					
	P (mW)		#		24.6		21.7
	P_{1x1} (mW)		#		24.6		
	z_s (cm)			#			
	z_b (cm)					1.7	
	z_{MI} (cm)	#					
	$z_{pii,a}$ (cm)	#					
	f_{awf} (MHz)	#	#		4.37		4.36
其他資訊	pr (Hz)	#					
	srr (Hz)	#					
	η_{pps}	#					
	$I_{pa,a}@z_{pii,a}$ (W/cm ²)	#					
	$I_{spta,a}@z_{pii,a}$ 或 $z_{sii,a}$ (mW/cm ²)	#					
	$I_{spta}@z_{pii}$ 或 z_{sii} (mW/cm ²)	#					
	$p_r@z_{pii}$ (MPa)	#					
操作控制項	檢查種類				Nrv		Nrv
	樣本容積大小 (mm)				1		7
	樣本容積位置				區域 1		區域 0
	PRF (Hz)				10,417		6250

(a) 本操作模式不須使用此項指數；數值為 <1。

(b) 本轉換器不適用於經顱檢查或新生兒頭部檢查。

基於所列原因未報告全域最大指數值，因此無本操作條件的相關資料。（參考「全域最大指數值」行。）

— 資料不適用於此轉換器 / 模式。

表 15：轉換器型號：C35x 操作模式：2D

指數標籤		MI	TIS		TIB		TIC
			體表處	體表下	體表處	體表下	體表處
最大指數值		1.0	(a)		(a)		(b)
指數成份值			#	#	#	#	
聲學參數	$P_{r,a}@z_{MI}$ (MPa)	1.8					
	P (mW)		#		#		#
	P_{1x1} (mW)		#		#		
	z_s (cm)			—			
	z_b (cm)					—	
	z_{MI} (cm)	3.3					
	$z_{pii,a}$ (cm)	3.3					
	f_{awf} (MHz)	3.45	#		#		#
其他資訊	pr (Hz)	1021					
	srr (Hz)	7.98					
	n_{pps}	1					
	$I_{pa,a}@z_{pii,a}$ (W/cm ²)	250					
	$I_{spta,a}@z_{pii,a}$ 或 $z_{sii,a}$ (mW/cm ²)	8.6					
	$I_{spta}@z_{pii}$ 或 z_{sii} (mW/cm ²)	16.5					
	$p_r@z_{pii}$ (MPa)	2.61					
操作控制項	檢查種類	Msk					
	最佳化	Res					
	深度 (cm)	8.3					
	MB	N/A					

(a) 本操作模式不須使用此項指數；數值為 <1。

(b) 本轉換器不適用於經顱檢查或新生兒頭部檢查。

基於所列原因未報告全域最大指數值，因此無本操作條件的相關資料。（參考「全域最大指數值」行。）

— 資料不適用於此轉換器 / 模式。

表 16：轉換器型號：C35x 操作模式：脈衝波式都卜勒

指數標籤		MI	TIS		TIB		TIC
			體表處	體表下	體表處	體表下	體表處
最大指數值		(a)	1.5		2.6		(b)
指數成份值			1.5	1.0	1.0	2.6	
聲學參數	$P_{r,a,r,a}@z_{MI}$ (MPa)	#					
	P (mW)		72.8		47.1		#
	P_{1x1} (mW)		71.1		47.1		
	z_s (cm)		1.4				
	z_b (cm)				0.50		
	z_{MI} (cm)	#					
	$z_{pii,a}$ (cm)	#					
	f_{awf} (MHz)	#	4.35		4.37		#
其他資訊	pr (Hz)	#					
	srr (Hz)	#					
	η_{pps}	#					
	$I_{pa,a}@z_{pii,a}$ (W/cm ²)	#					
	$I_{spta,a}@z_{pii,a}$ 或 $z_{sii,a}$ (mW/cm ²)	#					
	$I_{spta}@z_{pii}$ 或 z_{sii} (mW/cm ²)	#					
	$p_r@z_{pii}$ (MPa)	#					
操作控制項	檢查種類		脊柱		脊柱		
	樣本容積大小 (mm)		2		1		
	樣本容積位置		區域 5		區域 0		
	PRF (Hz)		6250		15625		

(a) 本操作模式不須使用此項指數；數值為 <1。

(b) 本轉換器不適用於經顱檢查或新生兒頭部檢查。

基於所列原因未報告全域最大指數值，因此無本操作條件的相關資料。（參考「全域最大指數值」行。）

— 資料不適用於此轉換器 / 模式。

表 17：轉換器型號：HFL38xi（眼科用）操作模式：2D

指數標籤		MI	TIS		TIB		TIC
			體表處	體表下	體表處	體表下	體表處
最大指數值		0.17	0.007		0.007		(b)
指數成份值			0.007	0.007	0.007	0.007	
聲學參數	$P_{r,a,r,a}@z_{MI}$ (MPa)	0.43					
	P (mW)		0.77		0.77		#
	P_{1x1} (mW)		0.21		0.21		
	z_s (cm)			—			
	z_b (cm)					—	
	z_{MI} (cm)	2.1					
	$z_{pii,a}$ (cm)	2.1					
	f_{awf} (MHz)	6.59	6.75		6.75		#
	其他資訊	pr (Hz)	11,339				
srr (Hz)		19.7					
n_{pps}		3					
$I_{pa,a}@z_{pii,a}$ (W/cm ²)		11.4					
$I_{spta,a}@z_{pii,a}$ 或 $z_{sii,a}$ (mW/cm ²)		0.8					
$I_{spta}@z_{pii}$ 或 z_{sii} (mW/cm ²)		1.3					
$p_r@z_{pii}$ (MPa)		0.7					
操作控制項	檢查種類	Oph	Oph		Oph		
	最佳化	Pen	Res		Res		
	深度 (cm)	4.9	4.9		4.9		
	MB	開	開		開		

(a) 本操作模式不須使用此項指數；數值為 <1。

(b) 本轉換器不適用於經顱檢查或新生兒頭部檢查。

基於所列原因未報告全域最大指數值，因此無本操作條件的相關資料。（參考「全域最大指數值」行。）

— 資料不適用於此轉換器 / 模式。

表 18：轉換器型號：HFL38xi（眼科用）操作模式：M 模式

指數標籤		MI	TIS		TIB		TIC
			體表處	體表下	體表處	體表下	體表處
最大指數值		0.17	0.003		0.004		(b)
指數成份值			0.003	0.002	0.002	0.004	
聲學參數	$Pr,a_{r,a}@z_{MI}$ (MPa)	0.44					
	P (mW)		0.087		0.064		#
	P_{1x1} (mW)		0.087		0.064		
	z_s (cm)			0.9			
	z_b (cm)					1.10	
	z_{MI} (cm)	1.0					
	$z_{pii,a}$ (cm)	1.0					
	f_{awf} (MHz)	6.58	6.86		6.78		#
其他資訊	pr (Hz)	800					
	srr (Hz)	—					
	n_{pps}	1					
	$I_{pa,a}@z_{pii,a}$ (W/cm ²)	10.3					
	$I_{spta,a}@z_{pii,a}$ 或 $z_{sii,a}$ (mW/cm ²)	1.0					
	$I_{spta}@z_{pii}$ 或 z_{sii} (mW/cm ²)	1.7					
	$p_r@z_{pii}$ (MPa)	0.55					
操作控制項	檢查種類	Oph	Oph		Oph		
	最佳化	Pen	Res		Res		
	深度 (cm)	1.5	6.0		4.0		

(a) 本操作模式不須使用此項指數；數值為 <1。

(b) 本轉換器不適用於經顱檢查或新生兒頭部檢查。

基於所列原因未報告全域最大指數值，因此無本操作條件的相關資料。（參考「全域最大指數值」行。）

— 資料不適用於此轉換器 / 模式。

表 19：轉換器型號：HFL38xi（眼科用）操作模式：彩色都卜勒 (Color)/ 彩色能量都卜勒 (CPD)

指數標籤		MI	TIS		TIB		TIC
			體表處	體表下	體表處	體表下	體表處
最大指數值		0.17	0.02		0.02		(b)
指數成份值			0.02	0.02	0.02	0.02	
聲學參數	$P_{r,a}@z_{MI}$ (MPa)	0.39					
	P (mW)		1.11		1.11		#
	P_{1x1} (mW)		0.75		0.75		
	z_s (cm)			—			
	z_b (cm)					—	
	z_{MI} (cm)	0.9					
	$z_{pii,a}$ (cm)	0.9					
	f_{awf} (MHz)	5.34	5.37		5.37		#
	其他資訊	pr (Hz)	4537				
srr (Hz)		13.5					
η_{pps}		13					
$I_{pa,a}@z_{pii,a}$ (W/cm ²)		5.5					
$I_{spta,a}@z_{pii,a}$ 或 $z_{sii,a}$ (mW/cm ²)		1.3					
$I_{spta}@z_{pii}$ 或 z_{sii} (mW/cm ²)		2.1					
$p_r@z_{pii}$ (MPa)		0.46					
操作控制項	檢查種類	Oph	Oph		Oph		
	模式	CVD	CVD		CVD		
	2D 最佳化/深度 (cm)	Pen/1.5	Pen/4.9		Pen/4.9		
	色彩最佳化/PRF (Hz)	高/7813	高/6944		高/6944		
	顏色方塊位置/大小	底部/小	預設/窄		預設/窄		

(a) 本操作模式不須使用此項指數；數值為 <1。

(b) 本轉換器不適用於經顱檢查或新生兒頭部檢查。

基於所列原因未報告全域最大指數值，因此無本操作條件的相關資料。（參考「全域最大指數值」行。）

— 資料不適用於此轉換器 / 模式。

表 20：轉換器型號：HFL38xi（眼科用）操作模式：脈衝波式都卜勒

指數標籤		MI	TIS		TIB		TIC
			體表處	體表下	體表處	體表下	體表處
最大指數值		0.18	0.09		0.17		(b)
指數成份值			0.09	0.06	0.09	0.17	
聲學參數	$Pr,a_{r,a}@z_{MI}$ (MPa)	0.41					
	P (mW)		3.56		3.56		#
	P_{1x1} (mW)		3.56		3.56		
	z_s (cm)			1.1			
	z_b (cm)					1.64	
	z_{MI} (cm)	0.9					
	$z_{pii,a}$ (cm)	0.9					
	f_{awf} (MHz)	5.34	5.33		5.33		#
其他資訊	pr (Hz)	1302					
	srr (Hz)	—					
	n_{pps}	1					
	$I_{pa,a}@z_{pii,a}$ (W/cm ²)	6.6					
	$I_{spta,a}@z_{pii,a}$ 或 $z_{sii,a}$ (mW/cm ²)	10.9					
	$I_{spta}@z_{pii}$ 或 z_{sii} (mW/cm ²)	15.0					
	$p_r@z_{pii}$ (MPa)	0.48					
操作控制項	檢查種類	Oph	Oph		Oph		
	樣本容積大小 (mm)	1	10		10		
	樣本容積位置	區域 1	區域 7		區域 7		
	PRF (Hz)	1302	10417		10417		

(a) 本操作模式不須使用此項指數；數值為 <1。

(b) 本轉換器不適用於經顱檢查或新生兒頭部檢查。

基於所列原因未報告全域最大指數值，因此無本操作條件的相關資料。（參考「全域最大指數值」行。）

— 資料不適用於此轉換器 / 模式。

表 21：轉換器型號：HFL38xi 操作模式：2D

指數標籤		MI	TIS		TIB		TIC
			體表處	體表下	體表處	體表下	體表處
最大指數值		1.3	(a)		(a)		(b)
指數成份值			#	#	#	#	
聲學參數	$P_{r,a}@z_{MI}$ (MPa)	3.05					
	P (mW)		#		#		#
	P_{1x1} (mW)		#		#		
	z_s (cm)			—			
	z_b (cm)					—	
	z_{MI} (cm)	1.2					
	$z_{pii,a}$ (cm)	1.2					
	f_{awf} (MHz)	5.36	#		#		#
其他資訊	pr (Hz)	2127					
	srr (Hz)	11.1					
	n_{pps}	1					
	$I_{pa,a}@z_{pii,a}$ (W/cm ²)	494					
	$I_{spta,a}@z_{pii,a}$ 或 $z_{sii,a}$ (mW/cm ²)	13.3					
	$I_{spta}@z_{pii}$ 或 z_{sii} (mW/cm ²)	19.4					
	$p_r@z_{pii}$ (MPa)	3.81					
操作控制項	檢查種類	Ven					
	最佳化	Res					
	深度 (cm)	3.3					
	MB	N/A					
	針頭影像	開					

(a) 本操作模式不須使用此項指數；數值為 <1。

(b) 本轉換器不適用於經顱檢查或新生兒頭部檢查。

基於所列原因未報告全域最大指數值，因此無本操作條件的相關資料。（參考「全域最大指數值」行。）

— 資料不適用於此轉換器 / 模式。

表 22：轉換器型號：HFL38xi 操作模式：M 模式

指數標籤		MI	TIS		TIB		TIC
			體表處	體表下	體表處	體表下	體表處
最大指數值		1.12	(a)		(a)		(b)
指數成份值			#	#	#	#	
聲學參數	$P_{r,a}@z_{MI}$ (MPa)	3.14					
	P (mW)		#		#		#
	P_{1x1} (mW)		#		#		
	z_s (cm)			#			
	z_b (cm)					#	
	z_{MI} (cm)	1.4					
	$z_{pii,a}$ (cm)	1.4					
	f_{awf} (MHz)	6.75	#		#		#
其他資訊	pr (Hz)	1600					
	srr (Hz)	—					
	η_{pps}	1					
	$I_{pa,a}@z_{pii,a}$ (W/cm ²)	388					
	$I_{spta,a}@z_{pii,a}$ 或 $z_{sii,a}$ (mW/cm ²)	163.2					
	$I_{spta}@z_{pii}$ 或 z_{sii} (mW/cm ²)	333.3					
	$p_r@z_{pii}$ (MPa)	4.35					
操作控制項	檢查種類	Nrv					
	最佳化	Pen					
	深度 (cm)	4.0					

(a) 本操作模式不須使用此項指數；數值為 <1。

(b) 本轉換器不適用於經顱檢查或新生兒頭部檢查。

基於所列原因未報告全域最大指數值，因此無本操作條件的相關資料。（參考「全域最大指數值」行。）

— 資料不適用於此轉換器 / 模式。

表 23：轉換器型號：HFL38xi 操作模式：彩色都卜勒 (Color)/ 彩色能量都卜勒 (CPD)

指數標籤		MI	TIS		TIB		TIC
			體表處	體表下	體表處	體表下	體表處
最大指數值		1.3	(a)		(a)		(b)
指數成份值			#	#	#	#	
聲學參數	$Pr,a,r,a@z_{MI}$ (MPa)	3.05					
	P (mW)		#		#		#
	P_{1x1} (mW)		#		#		
	z_s (cm)			—			
	z_b (cm)					—	
	z_{MI} (cm)	1.2					
	$z_{pii,a}$ (cm)	1.2					
	f_{awf} (MHz)	5.36	#		#		#
其他資訊	pr (Hz)	2223					
	srr (Hz)	3.3					
	n_{pps}	14					
	$I_{pa,a}@z_{pii,a}$ (W/cm ²)	494					
	$I_{spta,a}@z_{pii,a}$ 或 $z_{sii,a}$ (mW/cm ²)	27.4					
	$I_{spta}@z_{pii}$ 或 z_{sii} (mW/cm ²)	40.1					
	$p_r@z_{pii}$ (MPa)	3.81					
操作控制項	檢查種類	SmP					
	模式	CVD					
	2D 最佳化/深度 (cm)	Res/3.3					
	色彩最佳化/PRF (Hz)	低/401					
	顏色方塊位置/大小	預設/預設					

(a) 本操作模式不須使用此項指數；數值為 <1。

(b) 本轉換器不適用於經顱檢查或新生兒頭部檢查。

基於所列原因未報告全域最大指數值，因此無本操作條件的相關資料。（參考「全域最大指數值」行。）

— 資料不適用於此轉換器 / 模式。

表 24：轉換器型號：HFL38xi 操作模式：脈衝波式都卜勒

指數標籤		MI	TIS		TIB		TIC
			體表處	體表下	體表處	體表下	體表處
最大指數值		1.2	1.1		2.2		(b)
指數成份值			1.1	0.8	1.1	2.2	
聲學參數	$Pr,a_{r,a}@z_{MI}$ (MPa)	2.69					
	P (mW)		47.7		47.7		#
	P_{1x1} (mW)		47.7		47.7		
	z_s (cm)		1.1				
	z_b (cm)				1.10		
	z_{MI} (cm)	1.0					
	$z_{pii,a}$ (cm)	1.0					
	f_{awf} (MHz)	5.34	4.86		4.86		#
其他資訊	pr (Hz)	1008					
	srr (Hz)	—					
	n_{pps}	1					
	$I_{pa,a}@z_{pii,a}$ (W/cm ²)	308					
	$I_{spta,a}@z_{pii,a}$ 或 $z_{sii,a}$ (mW/cm ²)	102.8					
	$I_{spta}@z_{pii}$ 或 z_{sii} (mW/cm ²)	210.0					
	$p_r@z_{pii}$ (MPa)	3.23					
操作控制項	檢查種類	Nrv	Art		Art		
	樣本容積大小 (mm)	1	1		1		
	樣本容積位置	區域 3	區域 7		區域 7		
	PRF (Hz)	1008	3125		3125		

(a) 本操作模式不須使用此項指數；數值為 <1。

(b) 本轉換器不適用於經顱檢查或新生兒頭部檢查。

基於所列原因未報告全域最大指數值，因此無本操作條件的相關資料。（參考「全域最大指數值」行。）

— 資料不適用於此轉換器 / 模式。

表 25：轉換器型號：HFL50x 操作模式：2D

指數標籤		MI	TIS		TIB		TIC
			體表處	體表下	體表處	體表下	體表處
最大指數值		1.3	(a)		(a)		(b)
指數成份值			#	#	#	#	
聲學參數	$P_{r,a}@z_{MI}$ (MPa)	3.051					
	P (mW)		#		#		#
	P_{1x1} (mW)		#		#		
	z_s (cm)			—			
	z_b (cm)					—	
	z_{MI} (cm)	1.2					
	$z_{pii,a}$ (cm)	1.2					
	f_{awf} (MHz)	5.36	#		#		#
其他資訊	pr (Hz)	2733					
	srr (Hz)	7.2					
	n_{pps}	1					
	$I_{pa,a}@z_{pii,a}$ (W/cm ²)	493					
	$I_{spta,a}@z_{pii,a}$ 或 $z_{sii,a}$ (mW/cm ²)	8.6					
	$I_{spta}@z_{pii}$ 或 z_{sii} (mW/cm ²)	12.6					
	$p_r@z_{pii}$ (MPa)	3.81					
操作控制項	檢查種類	任何					
	最佳化	任何					
	深度 (cm)	3.3					
	Mbe	開					

(a) 本操作模式不須使用此項指數；數值為 <1。

(b) 本轉換器不適用於經顱檢查或新生兒頭部檢查。

基於所列原因未報告全域最大指數值，因此無本操作條件的相關資料。（參考「全域最大指數值」行。）

— 資料不適用於此轉換器 / 模式。

表 26：轉換器型號：HFL50x 操作模式：M 模式

指數標籤		MI	TIS		TIB		TIC
			體表處	體表下	體表處	體表下	體表處
最大指數值		1.2	(a)		(a)		(b)
指數成份值			#	#	#	#	
聲學參數	$P_{r,a}@z_{MI}$ (MPa)	3.14					
	P (mW)		#		#		#
	P_{1x1} (mW)		#		#		
	z_s (cm)			#			
	z_b (cm)					#	
	z_{MI} (cm)	1.4					
	$z_{pii,a}$ (cm)	1.4					
	f_{awf} (MHz)	6.75	#		#		#
其他資訊	pr (Hz)	1600					
	srr (Hz)	—					
	n_{pps}	1					
	$I_{pa,a}@z_{pii,a}$ (W/cm ²)	388					
	$I_{spta,a}@z_{pii,a}$ 或 $z_{sii,a}$ (mW/cm ²)	163.2					
	$I_{spta}@z_{pii}$ 或 z_{sii} (mW/cm ²)	333.3					
	$p_r@z_{pii}$ (MPa)	4.35					
操作控制項	檢查種類	任何					
	最佳化	Pen					
	深度 (cm)	4					

(a) 本操作模式不須使用此項指數；數值為 <1。

(b) 本轉換器不適用於經顱檢查或新生兒頭部檢查。

基於所列原因未報告全域最大指數值，因此無本操作條件的相關資料。（參考「全域最大指數值」行。）

— 資料不適用於此轉換器 / 模式。

表 27：轉換器型號：HFL50x 操作模式：彩色都卜勒 (Color)

指數標籤		MI	TIS		TIB		TIC
			體表處	體表下	體表處	體表下	體表處
最大指數值		1.3	(a)		(a)		(b)
指數成份值			#	#	#	#	
聲學參數	$P_{r,a,r,a}@z_{MI}$ (MPa)	3.05					
	P (mW)		#		#		#
	$P_{1 \times 1}$ (mW)		#		#		
	z_s (cm)			—			
	z_b (cm)					—	
	z_{MI} (cm)	1.2					
	$z_{pii,a}$ (cm)	1.2					
	f_{awf} (MHz)	5.36	#		#		#
其他資訊	pr (Hz)	8233					
	srr (Hz)	3.2					
	η_{pps}	14					
	$I_{pa,a}@z_{pii,a}$ (W/cm ²)	494					
	$I_{spta,a}@z_{pii,a}$ 或 $z_{sii,a}$ (mW/cm ²)	26.8					
	$I_{spta}@z_{pii}$ 或 z_{sii} (mW/cm ²)	39.2					
	$p_r@z_{pii}$ (MPa)	3.81					
操作控制項	檢查種類	任何					
	模式	任何					
	最佳化/深度 (cm)	低/3.3					
	PRF (Hz)	任何					

(a) 本操作模式不須使用此項指數；數值為 <1。

(b) 本轉換器不適用於經顱檢查或新生兒頭部檢查。

基於所列原因未報告全域最大指數值，因此無本操作條件的相關資料。（參考「全域最大指數值」行。）

— 資料不適用於此轉換器 / 模式。

表 28：轉換器型號：HFL50x 操作模式：脈衝波式都卜勒

指數標籤		MI	TIS		TIB		TIC
			體表處	體表下	體表處	體表下	體表處
最大指數值		1.2	1.1		1.9		(b)
指數成份值			1.1	0.7	1.1	1.9	
聲學參數	$P_{r,a,r,a}@z_{MI}$ (MPa)	2.69					
	P (mW)		42.6		42.6		#
	P_{1x1} (mW)		42.6		42.6		
	z_s (cm)		1.1				
	z_b (cm)				1.10		
	z_{MI} (cm)	1.0					
	$z_{pii,a}$ (cm)	1.0					
	f_{awf} (MHz)	5.34	5.34		5.34		#
其他資訊	pr (Hz)	1008					
	srr (Hz)	—					
	n_{pps}	1					
	$I_{pa,a}@z_{pii,a}$ (W/cm ²)	308					
	$I_{spta,a}@z_{pii,a}$ 或 $z_{sii,a}$ (mW/cm ²)	399.6					
	$I_{spta}@z_{pii}$ 或 z_{sii} (mW/cm ²)	599.8					
	$p_r@z_{pii}$ (MPa)	3.23					
操作控制項	檢查種類	任何	任何		任何		
	樣本容積大小 (mm)	1	1		1		
	樣本容積位置	區域 3	區域 7		區域 7		
	PRF (Hz)	1008	1563–3125		1563–3125		

(a) 本操作模式不須使用此項指數；數值為 <1。

(b) 本轉換器不適用於經顱檢查或新生兒頭部檢查。

基於所列原因未報告全域最大指數值，因此無本操作條件的相關資料。（參考「全域最大指數值」行。）

— 資料不適用於此轉換器 / 模式。

表 29：轉換器型號：HSL25x（眼科用）操作模式：2D

指數標籤		MI	TIS		TIB		TIC
			體表處	體表下	體表處	體表下	體表處
最大指數值		0.17	0.02		0.02		(b)
指數成份值			0.02	0.02	0.02	0.02	
聲學參數	$P_{r,a,r,a}@z_{MI}$ (MPa)	0.47					
	P (mW)		1.62		1.62		#
	P_{1x1} (mW)		0.70		0.70		
	z_s (cm)			—			
	z_b (cm)					—	
	z_{MI} (cm)	0.8					
	$z_{pii,a}$ (cm)	0.8					
	f_{awf} (MHz)	7.65	6.97		6.97		#
	其他資訊	pr (Hz)	12,580				
srr (Hz)		12.3					
n_{pps}		4					
$I_{pa,a}@z_{pii,a}$ (W/cm ²)		13.4					
$I_{spta,a}@z_{pii,a}$ 或 $z_{sii,a}$ (mW/cm ²)		0.6					
$I_{spta}@z_{pii}$ 或 z_{sii} (mW/cm ²)		1.0					
$p_r@z_{pii}$ (MPa)		0.58					
操作控制項	檢查種類	Oph	Oph		Oph		
	最佳化	Res	Pen		Pen		
	深度 (cm)	1.9	4.3		4.3		
	MB	開	開		開		

(a) 本操作模式不須使用此項指數；數值為 <1。

(b) 本轉換器不適用於經顱檢查或新生兒頭部檢查。

基於所列原因未報告全域最大指數值，因此無本操作條件的相關資料。（參考「全域最大指數值」行。）

— 資料不適用於此轉換器 / 模式。

表 30：轉換器型號：HSL25x（眼科用）操作模式：M 模式

指數標籤		MI	TIS		TIB		TIC
			體表處	體表下	體表處	體表下	體表處
最大指數值		0.17	0.01		0.02		(b)
指數成份值			0.010	0.009	0.013	0.020	
聲學參數	$Pr,a_{r,a}@z_{MI}$ (MPa)	0.47					
	P (mW)		0.45		0.45		#
	P_{1x1} (mW)		0.45		0.45		
	z_s (cm)		0.9				
	z_b (cm)				0.85		
	z_{MI} (cm)	1.0					
	$z_{pii,a}$ (cm)	1.0					
	f_{awf} (MHz)	7.59	6.25		6.25		#
其他資訊	pr (Hz)	1600					
	srr (Hz)	—					
	η_{pps}	1					
	$I_{pa,a}@z_{pii,a}$ (W/cm ²)	14.9					
	$I_{spta,a}@z_{pii,a}$ 或 $z_{sii,a}$ (mW/cm ²)	2.3					
	$I_{spta}@z_{pii}$ 或 z_{sii} (mW/cm ²)	4.0					
	$p_r@z_{pii}$ (MPa)	0.61					
操作控制項	檢查種類	Oph	Oph		Oph		
	最佳化	Res	Pen		Pen		
	深度 (cm)	1.9	4.3		4.3		

(a) 本操作模式不須使用此項指數；數值為 <1。

(b) 本轉換器不適用於經顱檢查或新生兒頭部檢查。

基於所列原因未報告全域最大指數值，因此無本操作條件的相關資料。（參考「全域最大指數值」行。）

— 資料不適用於此轉換器 / 模式。

表 31：轉換器型號：HSL25x（眼科用）操作模式：彩色都卜勒 (Color)/ 彩色能量都卜勒 (CPD)

指數標籤		MI	TIS		TIB		TIC
			體表處	體表下	體表處	體表下	體表處
最大指數值		0.17	0.06		0.06		(b)
指數成份值			0.06	0.06	0.06	0.06	
聲學參數	$P_{r,a,r,a}@z_{MI}$ (MPa)	0.42					
	P (mW)		2.9		2.9		#
	$P_{1 \times 1}$ (mW)		1.9		1.9		
	z_s (cm)			—			
	z_b (cm)					—	
	z_{MI} (cm)	0.7					
	$z_{pii,a}$ (cm)	0.7					
	f_{awf} (MHz)	6.11	6.10		6.10		#
其他資訊	pr (Hz)	3096					
	srr (Hz)	8.1					
	η_{pps}	14					
	$I_{pa,a}@z_{pii,a}$ (W/cm ²)	7.5					
	$I_{spta,a}@z_{pii,a}$ 或 $z_{sii,a}$ (mW/cm ²)	1.1					
	$I_{spta}@z_{pii}$ 或 z_{sii} (mW/cm ²)	1.6					
	$p_r@z_{pii}$ (MPa)	0.49					
操作控制項	檢查種類	Oph	Oph		Oph		
	模式	CVD	CVD		CVD		
	2D 最佳化/深度 (cm)	Pen/1.9	Pen/5.1		Pen/5.1		
	色彩最佳化/PRF (Hz)	低/401	中/4167		中/4167		
	顏色方塊位置/大小	預設/預設	頂端/短-寬		頂端/短-寬		

(a) 本操作模式不須使用此項指數；數值為 <1。

(b) 本轉換器不適用於經顱檢查或新生兒頭部檢查。

基於所列原因未報告全域最大指數值，因此無本操作條件的相關資料。（參考「全域最大指數值」行。）

— 資料不適用於此轉換器 / 模式。

表 32：轉換器型號：HSL25x（眼科用）操作模式：脈衝波式都卜勒

指數標籤		MI	TIS		TIB		TIC
			體表處	體表下	體表處	體表下	體表處
最大指數值		0.18	0.12		0.21		(b)
指數成份值			0.12	0.08	0.12	0.21	
聲學參數	$P_{r,a,r,a}@z_{MI}$ (MPa)	0.44					
	P (mW)		4.0		4.0		#
	P_{1x1} (mW)		4.0		4.0		
	z_s (cm)			0.9			
	z_b (cm)					0.80	
	z_{MI} (cm)	1.2					
	$z_{pii,a}$ (cm)	1.2					
	f_{awf} (MHz)	6.03	6.03		6.03		#
其他資訊	pr (Hz)	1953					
	srr (Hz)	—					
	n_{pps}	1					
	$I_{pa,a}@z_{pii,a}$ (W/cm ²)	7.4					
	$I_{spta,a}@z_{pii,a}$ 或 $z_{sii,a}$ (mW/cm ²)	18.4					
	$I_{spta}@z_{pii}$ 或 z_{sii} (mW/cm ²)	44.9					
	$p_r@z_{pii}$ (MPa)	0.56					
操作控制項	檢查種類	Oph	Oph		Oph		
	樣本容積大小 (mm)	1	1		1		
	樣本容積位置	區域 7	區域 7		區域 7		
	PRF (Hz)	1953	5208		5208		

(a) 本操作模式不須使用此項指數；數值為 <1。

(b) 本轉換器不適用於經顱檢查或新生兒頭部檢查。

基於所列原因未報告全域最大指數值，因此無本操作條件的相關資料。（參考「全域最大指數值」行。）

— 資料不適用於此轉換器 / 模式。

表 33：轉換器型號：HSL25x 操作模式：2D

指數標籤		MI	TIS		TIB		TIC
			體表處	體表下	體表處	體表下	體表處
最大指數值		1.2	(a)		(a)		(b)
指數成份值			#	#	#	#	
聲學參數	$Pr,a,r,a@z_{MI}$ (MPa)	2.87					
	P (mW)		#		#		#
	P_{1x1} (mW)		#		#		
	z_s (cm)			—			
	z_b (cm)					—	
	z_{MI} (cm)	0.8					
	$z_{pii,a}$ (cm)	0.8					
	f_{awf} (MHz)	6.11	#		#		#
其他資訊	pr (Hz)	1061					
	srr (Hz)	13.0					
	η_{pps}	1					
	$I_{pa,a}@z_{pii,a}$ (W/cm ²)	478					
	$I_{spta,a}@z_{pii,a}$ 或 $z_{sii,a}$ (mW/cm ²)	12.2					
	$I_{spta}@z_{pii}$ 或 z_{sii} (mW/cm ²)	16.4					
	$p_r@z_{pii}$ (MPa)	3.39					
操作控制項	檢查種類	Nrv/Msk/ Ven/Art					
	最佳化	任何					
	深度 (cm)	1.9–2.2					
	Mbe	開					

(a) 本操作模式不須使用此項指數；數值為 <1。

(b) 本轉換器不適用於經顛檢查或新生兒頭部檢查。

基於所列原因未報告全域最大指數值，因此無本操作條件的相關資料。（參考「全域最大指數值」行。）

— 資料不適用於此轉換器 / 模式。

表 34：轉換器型號：HSL25x 操作模式：彩色都卜勒 (Color)/ 彩色能量都卜勒 (CPD)

指數標籤		MI	TIS		TIB		TIC
			體表處	體表下	體表處	體表下	體表處
最大指數值		1.0	(a)		(a)		(b)
指數成份值			#	#	#	#	
聲學參數	$P_{r,a,r,a}@z_{MI}$ (MPa)	2.35					
	P (mW)		#		#		#
	$P_{1 \times 1}$ (mW)		#		#		
	z_s (cm)			—			
	z_b (cm)					—	
	z_{MI} (cm)	0.8					
	$z_{pii,a}$ (cm)	0.8					
	f_{awf} (MHz)	6.11	#		#		#
其他資訊	p_{rr} (Hz)	3079					
	s_{rr} (Hz)	8.0					
	η_{pps}	14					
	$I_{pa,a}@z_{pii,a}$ (W/cm ²)	276					
	$I_{spta,a}@z_{pii,a}$ 或 $z_{sii,a}$ (mW/cm ²)	47.6					
	$I_{spta}@z_{pii}$ 或 z_{sii} (mW/cm ²)	63.9					
	$p_r@z_{pii}$ (MPa)	2.78					
操作控制項	檢查種類	Sup					
	模式	CVD					
	2D 最佳化/深度 (cm)	Pen/3.1					
	色彩最佳化/PRF (Hz)	低/401					
	顏色方塊位置/大小	預設/預設					

(a) 本操作模式不須使用此項指數；數值為 <1。

(b) 本轉換器不適用於經顱檢查或新生兒頭部檢查。

基於所列原因未報告全域最大指數值，因此無本操作條件的相關資料。（參考「全域最大指數值」行。）

— 資料不適用於此轉換器 / 模式。

表 35：轉換器型號：HSL25x 操作模式：脈衝波式都卜勒

指數標籤		MI	TIS		TIB		TIC
			體表處	體表下	體表處	體表下	體表處
最大指數值		(a)	(a)		1.5		(b)
指數成份值			#	#	0.8	1.5	
聲學參數	$P_{r,a}@z_{MI}$ (MPa)	#					
	P (mW)		#		28.1		#
	P_{1x1} (mW)		#		28.1		
	z_s (cm)			#			
	z_b (cm)					0.75	
	z_{MI} (cm)	#					
	$z_{pii,a}$ (cm)	#					
	f_{awf} (MHz)	#	#		6.00		#
	其他資訊	pr (Hz)	#				
srr (Hz)		#					
n_{pps}		#					
$I_{pa,a}@z_{pii,a}$ (W/cm ²)		#					
$I_{spta,a}@z_{pii,a}$ 或 $z_{sii,a}$ (mW/cm ²)		#					
$I_{spta}@z_{pii}$ 或 z_{sii} (mW/cm ²)		#					
$p_r@z_{pii}$ (MPa)		#					
操作控制項	檢查種類				Nrv		
	樣本容積大小 (mm)				8		
	樣本容積位置				區域 7		
	PRF (Hz)				1953		

(a) 本操作模式不須使用此項指數；數值為 <1。

(b) 本轉換器不適用於經顱檢查或新生兒頭部檢查。

基於所列原因未報告全域最大指數值，因此無本操作條件的相關資料。（參考「全域最大指數值」行。）

— 資料不適用於此轉換器 / 模式。

表 36：轉換器型號：ICTx 操作模式：脈衝波式都卜勒

指數標籤		MI	TIS		TIB		TIC
			體表處	體表下	體表處	體表下	體表處
最大指數值		(a)	(a)		1.2		(b)
指數成份值			#	#	0.3	1.2	
聲學參數	$Pr,a_{r,a}@z_{MI}$ (MPa)	#					
	P (mW)		#		16.3		#
	P_{1x1} (mW)		#		16.3		
	z_s (cm)			#			
	z_b (cm)					1.60	
	z_{MI} (cm)	#					
	$z_{pii,a}$ (cm)	#					
	f_{awf} (MHz)	#	#		4.36		#
其他資訊	pr (Hz)	#					
	srr (Hz)	#					
	η_{pps}	#					
	$I_{pa,a}@z_{pii,a}$ (W/cm ²)	#					
	$I_{spta,a}@z_{pii,a}$ 或 $z_{sii,a}$ (mW/cm ²)	#					
	$I_{spta}@z_{pii}$ 或 z_{sii} (mW/cm ²)	#					
	$p_r@z_{pii}$ (MPa)	#					
操作控制項	檢查種類				任何		
	樣本容積大小 (mm)				3		
	樣本容積位置				區域 1		
	PRF (Hz)				任何		

(a) 本操作模式不須使用此項指數；數值為 <1。

(b) 本轉換器不適用於經顱檢查或新生兒頭部檢查。

基於所列原因未報告全域最大指數值，因此無本操作條件的相關資料。（參考「全域最大指數值」行。）

— 資料不適用於此轉換器 / 模式。

表 37：轉換器型號：L25x（眼科用）操作模式：2D

指數標籤		MI	TIS		TIB		TIC
			體表處	體表下	體表處	體表下	體表處
最大指數值		0.17	0.02		0.02		(b)
指數成份值			0.02	0.02	0.02	0.02	
聲學參數	$P_{r,a,r,a}@z_{MI}$ (MPa)	0.47					
	P (mW)		1.62		1.62		#
	P_{1x1} (mW)		0.70		0.70		
	z_s (cm)			—			
	z_b (cm)					—	
	z_{MI} (cm)	0.8					
	$z_{pii,a}$ (cm)	0.8					
	f_{awf} (MHz)	7.65	6.97		6.97		#
	其他資訊	pr (Hz)	12,580				
srr (Hz)		12.3					
n_{pps}		4					
$I_{pa,a}@z_{pii,a}$ (W/cm ²)		13.4					
$I_{spta,a}@z_{pii,a}$ 或 $z_{sii,a}$ (mW/cm ²)		0.6					
$I_{spta}@z_{pii}$ 或 z_{sii} (mW/cm ²)		1.0					
$p_r@z_{pii}$ (MPa)		0.58					
操作控制項	檢查種類	Oph	Oph		Oph		
	最佳化	Res	Pen		Pen		
	深度 (cm)	1.9	4.3		4.3		
	MB	開	開		開		

(a) 本操作模式不須使用此項指數；數值為 <1。

(b) 本轉換器不適用於經顱檢查或新生兒頭部檢查。

基於所列原因未報告全域最大指數值，因此無本操作條件的相關資料。（參考「全域最大指數值」行。）

— 資料不適用於此轉換器 / 模式。

表 38：轉換器型號：L25x（眼科用）操作模式：M 模式

指數標籤		MI	TIS		TIB		TIC
			體表處	體表下	體表處	體表下	體表處
最大指數值		0.17	0.010		0.020		(b)
指數成份值			0.010	0.009	0.013	0.020	
聲學參數	$Pr,a_{r,a}@z_{MI}$ (MPa)	0.47					
	P (mW)		0.45		0.45		#
	P_{1x1} (mW)		0.45		0.45		
	z_s (cm)		0.9				
	z_b (cm)				0.85		
	z_{MI} (cm)	1.0					
	$z_{pii,a}$ (cm)	1.0					
	f_{awf} (MHz)	7.59	6.25		6.25		#
其他資訊	pr (Hz)	1600					
	srr (Hz)	—					
	η_{pps}	1					
	$I_{pa,a}@z_{pii,a}$ (W/cm ²)	14.9					
	$I_{spta,a}@z_{pii,a}$ 或 $z_{sii,a}$ (mW/cm ²)	2.3					
	$I_{spta}@z_{pii}$ 或 z_{sii} (mW/cm ²)	4.0					
	$p_r@z_{pii}$ (MPa)	0.61					
操作控制項	檢查種類	Oph	Oph		Oph		
	最佳化	Res	Pen		Pen		
	深度 (cm)	1.9	4.3		4.3		

(a) 本操作模式不須使用此項指數；數值為 <1。

(b) 本轉換器不適用於經顱檢查或新生兒頭部檢查。

基於所列原因未報告全域最大指數值，因此無本操作條件的相關資料。（參考「全域最大指數值」行。）

— 資料不適用於此轉換器 / 模式。

表 39：轉換器型號：L25x（眼科用）操作模式：彩色都卜勒 (Color)/ 彩色能量都卜勒 (CPD)

指數標籤		MI	TIS		TIB		TIC
			體表處	體表下	體表處	體表下	體表處
最大指數值		0.17	0.06		0.06		(b)
指數成份值			0.06	0.06	0.06	0.06	
聲學參數	$Pr,a_r,a@z_{MI}$ (MPa)	0.42					
	P (mW)		2.9		2.9		#
	P_{1x1} (mW)		1.9		1.9		
	z_s (cm)			—			
	z_b (cm)					—	
	z_{MI} (cm)	0.7					
	$z_{pii,a}$ (cm)	0.7					
	f_{awf} (MHz)	6.11	6.10		6.10		#
	其他資訊	pr (Hz)	3096				
srr (Hz)		8.1					
η_{pps}		14					
$I_{pa,a}@z_{pii,a}$ (W/cm ²)		7.5					
$I_{spta,a}@z_{pii,a}$ 或 $z_{sii,a}$ (mW/cm ²)		1.1					
$I_{spta}@z_{pii}$ 或 z_{sii} (mW/cm ²)		1.6					
$p_r@z_{pii}$ (MPa)		0.49					
操作控制項	檢查種類	Oph	Oph		Oph		
	模式	CVD	CVD		CVD		
	2D 最佳化/深度 (cm)	Pen/1.9	Pen/5.1		Pen/5.1		
	色彩最佳化/PRF (Hz)	低/401	中/4167		中/4167		
	顏色方塊位置/大小	預設/預設	頂端/短-寬		頂端/短-寬		

(a) 本操作模式不須使用此項指數；數值為 <1。

(b) 本轉換器不適用於經顱檢查或新生兒頭部檢查。

基於所列原因未報告全域最大指數值，因此無本操作條件的相關資料。（參考「全域最大指數值」行。）

— 資料不適用於此轉換器 / 模式。

表 40：轉換器型號：L25x（眼科用）操作模式：脈衝波式都卜勒

指數標籤		MI	TIS		TIB		TIC
			體表處	體表下	體表處	體表下	體表處
最大指數值		0.18	0.12		0.21		(b)
指數成份值			0.12	0.08	0.12	0.21	
聲學參數	$Pr,a_{r,a}@z_{MI}$ (MPa)	0.44					
	P (mW)		4.0		4.0		#
	P_{1x1} (mW)		4.0		4.0		
	z_s (cm)			0.9			
	z_b (cm)					0.80	
	z_{MI} (cm)	1.2					
	$z_{pii,a}$ (cm)	1.2					
	f_{awf} (MHz)	6.03	6.03		6.03		#
其他資訊	pr (Hz)	1953					
	srr (Hz)	—					
	n_{pps}	1					
	$I_{pa,a}@z_{pii,a}$ (W/cm ²)	7.4					
	$I_{spta,a}@z_{pii,a}$ 或 $z_{sii,a}$ (mW/cm ²)	18.4					
	$I_{spta}@z_{pii}$ 或 z_{sii} (mW/cm ²)	44.9					
	$p_r@z_{pii}$ (MPa)	0.56					
操作控制項	檢查種類	Oph	Oph		Oph		
	樣本容積大小 (mm)	1	1		1		
	樣本容積位置	區域 7	區域 7		區域 7		
	PRF (Hz)	1953	5208		5208		

(a) 本操作模式不須使用此項指數；數值為 <1。

(b) 本轉換器不適用於經顱檢查或新生兒頭部檢查。

基於所列原因未報告全域最大指數值，因此無本操作條件的相關資料。（參考「全域最大指數值」行。）

— 資料不適用於此轉換器 / 模式。

表 41：轉換器型號：L25x 操作模式：2D

指數標籤		MI	TIS		TIB		TIC
			體表處	體表下	體表處	體表下	體表處
最大指數值		1.2	(a)		(a)		(b)
指數成份值			#	#	#	#	
聲學參數	$P_{r,a}@z_{MI}$ (MPa)	2.87					
	P (mW)		#		#		#
	P_{1x1} (mW)		#		#		
	z_s (cm)			—			
	z_b (cm)					—	
	z_{MI} (cm)	0.8					
	$z_{pii,a}$ (cm)	0.8					
	f_{awf} (MHz)	6.11	#		#		#
其他資訊	pr (Hz)	1061					
	srr (Hz)	13.0					
	n_{pps}	1					
	$I_{pa,a}@z_{pii,a}$ (W/cm ²)	478					
	$I_{spta,a}@z_{pii,a}$ 或 $z_{sii,a}$ (mW/cm ²)	12.2					
	$I_{spta}@z_{pii}$ 或 z_{sii} (mW/cm ²)	16.4					
	$p_r@z_{pii}$ (MPa)	3.39					
操作控制項	檢查種類	Nrv/Msk/ Ven/Art					
	最佳化	任何					
	深度 (cm)	1.9–2.2					
	Mbe	開					

(a) 本操作模式不須使用此項指數；數值為 <1。

(b) 本轉換器不適用於經顱檢查或新生兒頭部檢查。

基於所列原因未報告全域最大指數值，因此無本操作條件的相關資料。（參考「全域最大指數值」行。）

— 資料不適用於此轉換器 / 模式。

表 42：轉換器型號：L25x 操作模式：彩色都卜勒 (Color)/ 彩色能量都卜勒 (CPD)

指數標籤		MI	TIS		TIB		TIC
			體表處	體表下	體表處	體表下	體表處
最大指數值		1.0	(a)		(a)		(b)
指數成份值			#	#	#	#	
聲學參數	$P_{r,a,r,a}@z_{MI}$ (MPa)	2.35					
	P (mW)		#		#		#
	$P_{1 \times 1}$ (mW)		#		#		
	z_s (cm)			—			
	z_b (cm)					—	
	z_{MI} (cm)	0.8					
	$z_{pii,a}$ (cm)	0.8					
	f_{awf} (MHz)	6.11	#		#		#
其他資訊	p_{rr} (Hz)	5261					
	s_{rr} (Hz)	13.7					
	η_{pps}	14					
	$I_{pa,a}@z_{pii,a}$ (W/cm ²)	276					
	$I_{spta,a}@z_{pii,a}$ 或 $z_{sii,a}$ (mW/cm ²)	81.5					
	$I_{spta}@z_{pii}$ 或 z_{sii} (mW/cm ²)	109.5					
	$p_r@z_{pii}$ (MPa)	2.78					
操作控制項	檢查種類	Ven					
	模式	CVD					
	2D 最佳化/深度 (cm)	Pen/3.1					
	色彩最佳化/PRF (Hz)	低/779					
	顏色方塊位置/大小	預設/預設					

(a) 本操作模式不須使用此項指數；數值為 <1。

(b) 本轉換器不適用於經顱檢查或新生兒頭部檢查。

基於所列原因未報告全域最大指數值，因此無本操作條件的相關資料。（參考「全域最大指數值」行。）

— 資料不適用於此轉換器 / 模式。

表 43：轉換器型號：L25x 操作模式：脈衝波式都卜勒

指數標籤		MI	TIS		TIB		TIC
			體表處	體表下	體表處	體表下	體表處
最大指數值		(a)	(a)		1.7		(b)
指數成份值			#	#	0.9	1.7	
聲學參數	$Pr,a_{r,a}@z_{MI}$ (MPa)	#					
	P (mW)		#		32.1		#
	P_{1x1} (mW)		#		32.1		
	z_s (cm)			#			
	z_b (cm)					0.75	
	z_{MI} (cm)	#					
	$z_{pii,a}$ (cm)	#					
	f_{awf} (MHz)	#	#		#		#
	pr (Hz)	#					
其他資訊	srr (Hz)	#					
	n_{pps}	#					
	$I_{pa,a}@z_{pii,a}$ (W/cm ²)	#					
	$I_{spta,a}@z_{pii,a}$ 或 $z_{sii,a}$ (mW/cm ²)	#					
	$I_{spta}@z_{pii}$ 或 z_{sii} (mW/cm ²)	#					
	$p_r@z_{pii}$ (MPa)	#					
操作控制項	檢查種類				Vas/Ven/Nrv		
	樣本容積大小 (mm)				8		
	樣本容積位置				區域 7		
	PRF (Hz)				1953		

(a) 本操作模式不須使用此項指數；數值為 <1。

(b) 本轉換器不適用於經顱檢查或新生兒頭部檢查。

基於所列原因未報告全域最大指數值，因此無本操作條件的相關資料。（參考「全域最大指數值」行。）

— 資料不適用於此轉換器 / 模式。

表 44：轉換器型號：L38xi 操作模式：2D

指數標籤		MI	TIS		TIB		TIC
			體表處	體表下	體表處	體表下	體表處
最大指數值		1.5	(a)		(a)		(b)
指數成份值			#	#	#	#	
聲學參數	$Pr,a_{r,a}@z_{MI}$ (MPa)	3.3					
	P (mW)		#		#		#
	P_{1x1} (mW)		#		#		
	z_s (cm)			—			
	z_b (cm)					—	
	z_{MI} (cm)	0.8					
	$z_{pii,a}$ (cm)	0.8					
	f_{awf} (MHz)	4.82	#		#		#
其他資訊	pr_r (Hz)	1312					
	srr (Hz)	10.3					
	η_{pps}	1					
	$I_{pa,a}@z_{pii,a}$ (W/cm ²)	605					
	$I_{spta,a}@z_{pii,a}$ 或 $z_{sii,a}$ (mW/cm ²)	10.2					
	$I_{spta}@z_{pii}$ 或 z_{sii} (mW/cm ²)	13.5					
	$p_r@z_{pii}$ (MPa)	3.79					
操作控制項	檢查種類	Nrv					
	最佳化	Res					
	深度 (cm)	2.0					
	MB	N/A					
	針頭影像	開					

(a) 本操作模式不須使用此項指數；數值為 <1。

(b) 本轉換器不適用於經顱檢查或新生兒頭部檢查。

基於所列原因未報告全域最大指數值，因此無本操作條件的相關資料。（參考「全域最大指數值」行。）

— 資料不適用於此轉換器 / 模式。

表 45：轉換器型號：L38xi 操作模式：M 模式

指數標籤		MI	TIS		TIB		TIC
			體表處	體表下	體表處	體表下	體表處
最大指數值		1.5	(a)		1.2		(b)
指數成份值			#	#	0.9	1.2	
聲學參數	$Pr,a_{r,a}@z_{MI}$ (MPa)	3.54					
	P (mW)		#		37.1		#
	P_{1x1} (mW)		#		37.1		
	z_s (cm)			#			
	z_b (cm)					0.9	
	z_{MI} (cm)	1.0					
	$z_{pii,a}$ (cm)	1.0					
	f_{awf} (MHz)	5.76	#		5.20		#
	其他資訊	pr (Hz)	1600				
srr (Hz)		—					
η_{pps}		1					
$I_{pa,a}@z_{pii,a}$ (W/cm ²)		776					
$I_{spta,a}@z_{pii,a}$ 或 $z_{sii,a}$ (mW/cm ²)		181.8					
$I_{spta}@z_{pii}$ 或 z_{sii} (mW/cm ²)		280.5					
$p_r@z_{pii}$ (MPa)		4.32					
操作控制項	檢查種類	Art			Art		
	最佳化	Gen			Pen		
	深度 (cm)	4.7			7.3		

(a) 本操作模式不須使用此項指數；數值為 <1。

(b) 本轉換器不適用於經顱檢查或新生兒頭部檢查。

基於所列原因未報告全域最大指數值，因此無本操作條件的相關資料。（參考「全域最大指數值」行。）

— 資料不適用於此轉換器 / 模式。

表 46：轉換器型號：L38xi 操作模式：彩色都卜勒 (Color)/ 彩色能量都卜勒 (CPD)

指數標籤		MI	TIS		TIB		TIC
			體表處	體表下	體表處	體表下	體表處
最大指數值		1.5	1.1		1.1		(b)
指數成份值			1.1	1.1	1.1	1.1	
聲學參數	$P_{r,a,r,a}@z_{MI}$ (MPa)	3.3					
	P (mW)		64.7		64.7		#
	$P_{1 \times 1}$ (mW)		49.0		49.0		
	z_s (cm)			—			
	z_b (cm)					—	
	z_{MI} (cm)	0.8					
	$z_{pii,a}$ (cm)	0.8					
	f_{awf} (MHz)	4.82	4.83		4.83		#
其他資訊	p_{rr} (Hz)	2190					
	s_{rr} (Hz)	4.5					
	n_{pps}	16					
	$I_{pa,a}@z_{pii,a}$ (W/cm ²)	605					
	$I_{spta,a}@z_{pii,a}$ 或 $z_{sii,a}$ (mW/cm ²)	35.6					
	$I_{spta}@z_{pii}$ 或 z_{sji} (mW/cm ²)	47.4					
	$p_r@z_{pii}$ (MPa)	3.79					
操作控制項	檢查種類	Art	Ven		Ven		
	模式	CVD	CVD		CVD		
	2D 最佳化/深度 (cm)	Pen/2.0	Pen/3.1		Pen/3.1		
	色彩最佳化/PRF (Hz)	低/393	低/2315		低/2315		
	顏色方塊位置/大小	預設/預設	底部/短-狹窄		底部/短-狹窄		

(a) 本操作模式不須使用此項指數；數值為 <1。

(b) 本轉換器不適用於經顱檢查或新生兒頭部檢查。

基於所列原因未報告全域最大指數值，因此無本操作條件的相關資料。（參考「全域最大指數值」行。）

— 資料不適用於此轉換器 / 模式。

表 47：轉換器型號：L38xi 操作模式：脈衝波式都卜勒

指數標籤		MI	TIS		TIB		TIC
			體表處	體表下	體表處	體表下	體表處
最大指數值		1.3	2.6		3.7		(b)
指數成份值			2.6	1.8	2.6	3.7	
聲學參數	$Pr,a_{r,a}@z_{MI}$ (MPa)	2.59					
	P (mW)		114.5		114.5		#
	P_{1x1} (mW)		114.5		114.5		
	z_s (cm)			1.2			
	z_b (cm)					1.2	
	z_{MI} (cm)	0.7					
	$z_{pii,a}$ (cm)	0.7					
	f_{awf} (MHz)	4.06	4.78		4.78		#
	其他資訊	pr (Hz)	1008				
srr (Hz)		—					
n_{pps}		1					
$I_{pa,a}@z_{pii,a}$ (W/cm ²)		32.3					
$I_{spta,a}@z_{pii,a}$ 或 $z_{sii,a}$ (mW/cm ²)		399.8					
$I_{spta}@z_{pii}$ 或 z_{sii} (mW/cm ²)		495.1					
$p_r@z_{pii}$ (MPa)		2.86					
操作控制項	檢查種類	Art	Nrv		Nrv		
	樣本容積大小 (mm)	1	1		1		
	樣本容積位置	區域 0	區域 7		區域 7		
	PRF (Hz)	1008	10417		10417		

(a) 本操作模式不須使用此項指數；數值為 <1。

(b) 本轉換器不適用於經顱檢查或新生兒頭部檢查。

基於所列原因未報告全域最大指數值，因此無本操作條件的相關資料。（參考「全域最大指數值」行。）

— 資料不適用於此轉換器 / 模式。

表 48：轉換器型號：P10x 操作模式：彩色都卜勒 (Color)

指數標籤		MI	TIS		TIB		TIC
			體表處	體表下	體表處	體表下	體表處
最大指數值		(a)	(a)		(a)		1.1
指數成份值			#	#	#	#	
聲學參數	$P_{r,a,r,a}@z_{MI}$ (MPa)	#					
	P (mW)		#		#		42.2
	P_{1x1} (mW)		#		#		
	z_s (cm)			—			
	z_b (cm)					—	
	z_{MI} (cm)	#					
	$z_{pii,a}$ (cm)	#					
	f_{awf} (MHz)	#	#		#		3.89
其他資訊	p_{rr} (Hz)	#					
	s_{rr} (Hz)	#					
	η_{pps}	#					
	$I_{pa,a}@z_{pii,a}$ (W/cm ²)	#					
	$I_{spta,a}@z_{pii,a}$ 或 $z_{sii,a}$ (mW/cm ²)	#					
	$I_{spta}@z_{pii}$ 或 z_{sii} (mW/cm ²)	#					
	$p_r@z_{pii}$ (MPa)	#					
操作控制項	檢查種類						Crd
	模式						CVD
	2D 最佳化/深度 (cm)/區段寬度						Pen/8.9/狹窄
	色彩最佳化/PRF (Hz)						低/2033
	顏色方塊位置/大小						頂端/短-寬

(a) 本操作模式不須使用此項指數；數值為 <1。

(b) 本轉換器不適用於經顱檢查或新生兒頭部檢查。

基於所列原因未報告全域最大指數值，因此無本操作條件的相關資料。（參考「全域最大指數值」行。）

— 資料不適用於此轉換器 / 模式。

表 49：轉換器型號：P10x 操作模式：連續波式都卜勒

指數標籤		MI	TIS		TIB		TIC
			體表處	體表下	體表處	體表下	體表處
最大指數值		(a)	(a)		1.8		1.7
指數成份值			#	#	0.7	1.8	
聲學參數	$P_{r,a,r,a}@z_{MI}$ (MPa)	#					
	P (mW)		#		34.8		25.7
	P_{1x1} (mW)		#		34.8		
	z_s (cm)			#			
	z_b (cm)					0.70	
	z_{MI} (cm)	#					
	$z_{pii,a}$ (cm)	#					
	f_{awf} (MHz)	#	#		4.00		4.00
	pr (Hz)	#					
其他資訊	srr (Hz)	#					
	η_{pps}	#					
	$I_{pa,a}@z_{pii,a}$ (W/cm ²)	#					
	$I_{spta,a}@z_{pii,a}$ 或 $z_{sii,a}$ (mW/cm ²)	#					
	$I_{spta}@z_{pii}$ 或 z_{sii} (mW/cm ²)	#					
	$p_r@z_{pii}$ (MPa)	#					
操作控制項	檢查種類				Crd		Crd
	樣本容積位置				區域 3		區域 0

(a) 本操作模式不須使用此項指數；數值為 <1。

(b) 本轉換器不適用於經顱檢查或新生兒頭部檢查。

基於所列原因未報告全域最大指數值，因此無本操作條件的相關資料。（參考「全域最大指數值」行。）

— 資料不適用於此轉換器 / 模式。

表 50：轉換器型號：P10x 操作模式：脈衝波式都卜勒

指數標籤		MI	TIS		TIB		TIC
			體表處	體表下	體表處	體表下	體表處
最大指數值		1.0	1.1		1.9		1.5
指數成份值			1.1	0.6	0.6	1.9	
聲學參數	$P_{r,a}@z_{MI}$ (MPa)	1.92					
	P (mW)		34.4		31.9		26.9
	P_{1x1} (mW)		34.4		31.9		
	z_s (cm)		1.4				
	z_b (cm)				0.90		
	z_{MI} (cm)	2.1					
	$z_{pii,a}$ (cm)	2.1					
	f_{awf} (MHz)	3.87	6.86		3.84		3.86
其他資訊	pr (Hz)	1562					
	srr (Hz)	—					
	n_{pps}	1					
	$I_{pa,a}@z_{pii,a}$ (W/cm ²)	200					
	$I_{spta,a}@z_{pii,a}$ 或 $z_{sii,a}$ (mW/cm ²)	400.0					
	$I_{spta}@z_{pii}$ 或 z_{sii} (mW/cm ²)	729.9					
	$p_r@z_{pii}$ (MPa)	2.54					
操作控制項	檢查種類	Crd	Crd		Abd		Crd
	樣本容積大小 (mm)	1	7		12		1
	樣本容積位置	區域 2	區域 6		區域 1		區域 0
	PRF (Hz)	1562	1008		1953		15,625
	TDI	關	開		關		關

(a) 本操作模式不須使用此項指數；數值為 <1。

(b) 本轉換器不適用於經顱檢查或新生兒頭部檢查。

基於所列原因未報告全域最大指數值，因此無本操作條件的相關資料。（參考「全域最大指數值」行。）

— 資料不適用於此轉換器 / 模式。

表 51：轉換器型號：rC60xi，操作模式：2D

指數標籤		MI	TIS		TIB		TIC
			體表處	體表下	體表處	體表下	體表處
最大指數值		1.5	(a)		(a)		(b)
指數成份值			#	#	#	#	
聲學參數	$P_{r,a}@z_{MI}$ (MPa)	2.31					
	P (mW)		#		#		#
	P_{1x1} (mW)		#		#		
	z_s (cm)			—			
	z_b (cm)					—	
	z_{MI} (cm)	4.3					
	$z_{pii,a}$ (cm)	4.3					
	f_{awf} (MHz)	2.36	#		#		#
其他資訊	pr (Hz)	3584					
	srr (Hz)	28.0					
	n_{pps}	1					
	$I_{pa,a}@z_{pii,a}$ (W/cm ²)	356					
	$I_{spta,a}@z_{pii,a}$ 或 $z_{sii,a}$ (mW/cm ²)	24.1					
	$I_{spta}@z_{pii}$ 或 z_{sii} (mW/cm ²)	44.9					
	$p_r@z_{pii}$ (MPa)	3.29					
操作控制項	檢查種類	Abd					
	最佳化	Res					
	深度 (cm)	11					
	MB (多束)	關					
	THI	開					

(a) 本操作模式不須使用此項指數；數值為 <1。

(b) 本轉換器不適用於經顱檢查或新生兒頭部檢查。

基於所列原因未報告全域最大指數值，因此無本操作條件的相關資料。(參考「全域最大指數值」行。)

— 資料不適用於此轉換器 / 模式。

表 52：轉換器型號：rC60xi，操作模式：M 模式

指數標籤		MI	TIS		TIB		TIC
			體表處	體表下	體表處	體表下	體表處
最大指數值		1.3	(a)		1.0		(b)
指數成份值			#	#	0.36	1.00	
聲學參數	$Pr,a_{r,a}@z_{MI}$ (MPa)	2.18					
	P (mW)		#		69.8		#
	P_{1x1} (mW)		#		25.9		
	z_s (cm)			#			
	z_b (cm)					4.2	
	z_{MI} (cm)	4.3					
	$z_{pii,a}$ (cm)	4.3					
	f_{awf} (MHz)	2.66		#	2.89		#
其他資訊	pr (Hz)	800					
	srr (Hz)	—					
	n_{pps}	1					
	$I_{pa,a}@z_{pii,a}$ (W/cm ²)	290					
	$I_{spta,a}@z_{pii,a}$ 或 $z_{sii,a}$ (mW/cm ²)	144.2					
	$I_{spta}@z_{pii}$ 或 z_{sii} (mW/cm ²)	328.2					
	$p_r@z_{pii}$ (MPa)	3.25					
操作控制項	檢查種類	Abd			Msk		
	最佳化	Pen			Pen		
	深度 (cm)	6.6			9.2		
	THI	關			關		

(a) 本操作模式不須使用此項指數；數值為 <1。

(b) 本轉換器不適用於經顱檢查或新生兒頭部檢查。

基於所列原因未報告全域最大指數值，因此無本操作條件的相關資料。（參考「全域最大指數值」行。）

— 資料不適用於此轉換器 / 模式。

表 53：轉換器型號：rC60xi，操作模式：彩色都卜勒 (Color)/ 彩色能量都卜勒 (CPD)

指數標籤		MI	TIS		TIB		TIC
			體表處	體表下	體表處	體表下	體表處
最大指數值		1.5	1.2		1.2		(b)
指數成份值			1.2	1.2	1.2	1.2	
聲學參數	$P_{r,a,r,a}@z_{MI}$ (MPa)	2.21					
	P (mW)		185.8		185.8		#
	$P_{1 \times 1}$ (mW)		107.5		107.5		
	z_s (cm)			—			
	z_b (cm)					—	
	z_{MI} (cm)	4.3					
	$z_{pii,a}$ (cm)	4.3					
	f_{awf} (MHz)	2.22	2.21		2.21		#
其他資訊	pr (Hz)	1265					
	srr (Hz)	9.89					
	n_{pps}	1					
	$I_{pa,a}@z_{pii,a}$ (W/cm ²)	342					
	$I_{spta,a}@z_{pii,a}$ 或 $z_{sii,a}$ (mW/cm ²)	8.9					
	$I_{spta}@z_{pii}$ 或 z_{sii} (mW/cm ²)	15.8					
	$p_r@z_{pii}$ (MPa)	3.07					
操作控制項	檢查種類	Abd	Abd		Abd		
	模式	CVD	CVD		CVD		
	2D 最佳化/深度 (cm)/THI	Gen/11 /開	Gen/4.7 /關		Gen/4.7 /關		
	色彩最佳化/PRF (Hz)	低/342	高/3125		高/3125		
	顏色方塊位置/大小	底部/高-狹窄	底部/高-狹窄		底部/高-狹窄		

(a) 本操作模式不須使用此項指數；數值為 <1。

(b) 本轉換器不適用於經顱檢查或新生兒頭部檢查。

基於所列原因未報告全域最大指數值，因此無本操作條件的相關資料。（參考「全域最大指數值」行。）

— 資料不適用於此轉換器 / 模式。

表 54：轉換器型號：rC60xi，操作模式：脈衝波式都卜勒

指數標籤		MI	TIS		TIB		TIC
			體表處	體表下	體表處	體表下	體表處
最大指數值		1.2	2.0		4.0		(b)
指數成份值			0.7	2.0	0.8	4.0	
聲學參數	$Pr,a_{r,a}@z_{MI}$ (MPa)	1.73					
	P (mW)		386.5		291.8		#
	P_{1x1} (mW)		67.5		74.2		
	z_s (cm)		4.0				
	z_b (cm)					3.6	
	z_{MI} (cm)	4.5					
	$z_{pii,a}$ (cm)	4.5					
	f_{awf} (MHz)	2.2	2.23		2.23		#
其他資訊	pr (Hz)	1302					
	srr (Hz)	—					
	n_{pps}	1					
	$I_{pa,a}@z_{pii,a}$ (W/cm ²)	267					
	$I_{spta,a}@z_{pii,a}$ 或 $z_{sii,a}$ (mW/cm ²)	399.7					
	$I_{spta}@z_{pii}$ 或 z_{sii} (mW/cm ²)	793.3					
	$p_r@z_{pii}$ (MPa)	2.43					
操作控制項	檢查種類	Abd	Abd		Abd		
	樣本容積大小 (mm)	3	7		7		
	樣本容積位置	區域 3	區域 6		區域 5		
	PRF (Hz)	1302	2604		2604		

(a) 本操作模式不須使用此項指數；數值為 <1。

(b) 本轉換器不適用於經顱檢查或新生兒頭部檢查。

基於所列原因未報告全域最大指數值，因此無本操作條件的相關資料。（參考「全域最大指數值」行。）

— 資料不適用於此轉換器 / 模式。

表 55：轉換器型號：rP19x（眼眶用）操作模式：2D

指數標籤		MI	TIS		TIB		TIC
			體表處	體表下	體表處	體表下	體表處
最大指數值		0.17	0.03		0.03		0.07
指數成份值			0.03	0.03	0.03	0.03	
聲學參數	$P_{r,a,r,a}@z_{MI}$ (MPa)	0.25					
	P (mW)		4.4		4.4		4.7
	P_{1x1} (mW)		2.9		2.9		
	z_s (cm)			—			
	z_b (cm)					—	
	z_{MI} (cm)	3.4					
	$z_{pii,a}$ (cm)	3.4					
	f_{awf} (MHz)	2.06	2.06		2.06		1.90
	prr (Hz)	6413					
其他資訊	srr (Hz)	15.6					
	n_{pps}	1					
	$I_{pa,a}@z_{pii,a}$ (W/cm ²)	4.1					
	$I_{spta,a}@z_{pii,a}$ 或 $z_{sii,a}$ (mW/cm ²)	0.4					
	$I_{spta}@z_{pii}$ 或 z_{sii} (mW/cm ²)	0.6					
	$p_r@z_{pii}$ (MPa)	0.31					
操作控制項	檢查種類	Orb	Orb		Orb		Orb
	最佳化	Res	Res		Res		Gen
	深度 (cm)	4.7	4.7		4.7		16
	MB	關	關		關		關

(a) 本操作模式不須使用此項指數；數值為 <1。

(b) 本轉換器不適用於經顱檢查或新生兒頭部檢查。

基於所列原因未報告全域最大指數值，因此無本操作條件的相關資料。（參考「全域最大指數值」行。）

— 資料不適用於此轉換器 / 模式。

表 56：轉換器型號：rP19x（眼眶用）操作模式：M 模式

指數標籤		MI	TIS		TIB		TIC
			體表處	體表下	體表處	體表下	體表處
最大指數值		0.17	0.009		0.020		0.021
指數成份值			0.006	0.009	0.006	0.020	
聲學參數	$Pr,a_{r,a}@z_{MI}$ (MPa)	0.25					
	P (mW)		1.34		1.34		1.34
	P_{1x1} (mW)		0.67		0.67		
	z_s (cm)			2.5			
	z_b (cm)					3.15	
	z_{MI} (cm)	3.4					
	$z_{pii,a}$ (cm)	3.4					
	f_{awf} (MHz)	2.06	1.83		1.83		1.83
其他資訊	pr (Hz)	800					
	srr (Hz)	—					
	n_{pps}	1					
	$I_{pa,a}@z_{pii,a}$ (W/cm ²)	4.05					
	$I_{spta,a}@z_{pii,a}$ 或 $z_{sii,a}$ (mW/cm ²)	1.7					
	$I_{spta}@z_{pii}$ 或 z_{sii} (mW/cm ²)	2.7					
	$p_r@z_{pii}$ (MPa)	0.31					
操作控制項	檢查種類	Orb	Orb		Orb		Orb
	最佳化	Res	Gen		Gen		Gen
	深度 (cm)	4.7	35		35		35

(a) 本操作模式不須使用此項指數；數值為 <1。

(b) 本轉換器不適用於經顱檢查或新生兒頭部檢查。

基於所列原因未報告全域最大指數值，因此無本操作條件的相關資料。（參考「全域最大指數值」行。）

— 資料不適用於此轉換器 / 模式。

表 57：轉換器型號：rP19x（眼眶用）操作模式：彩色都卜勒 (Color)/ 彩色能量都卜勒 (CPD)

指數標籤		MI	TIS		TIB		TIC
			體表處	體表下	體表處	體表下	體表處
最大指數值		0.17	0.09		0.09		0.23
指數成份值			0.09	0.09	0.09	0.09	
聲學參數	$Pr,a_{r,a}@z_{MI}$ (MPa)	0.25					
	P (mW)		15.47		15.47		15.50
	P_{1x1} (mW)		9.50		9.50		
	z_s (cm)			—			
	z_b (cm)					—	
	z_{MI} (cm)	0.7					
	$z_{pii,a}$ (cm)	0.7					
	f_{awf} (MHz)	2.14	2.11		2.11		2.11
	其他資訊	pr (Hz)	5443				
srr (Hz)		15.9					
η_{pps}		16					
$I_{pa,a}@z_{pii,a}$ (W/cm ²)		1.82					
$I_{spta,a}@z_{pii,a}$ 或 $z_{sii,a}$ (mW/cm ²)		3.2					
$I_{spta}@z_{pii}$ 或 z_{sii} (mW/cm ²)		3.5					
$p_r@z_{pii}$ (MPa)		0.26					
操作控制項	檢查種類	Orb	Orb		Orb		Orb
	模式	CVD	CVD		CVD		CVD
	2D 最佳化/深度 (cm)	Gen/4.7	Gen/24		Gen/24		Gen/24
	色彩最佳化/PRF (Hz)	低/1157	低/3125		低/3125		低/3125
	顏色方塊位置/大小	預設/預設	頂端/短-寬		頂端/短-寬		頂端/短-寬

(a) 本操作模式不須使用此項指數；數值為 <1。

(b) 本轉換器不適用於經顱檢查或新生兒頭部檢查。

基於所列原因未報告全域最大指數值，因此無本操作條件的相關資料。（參考「全域最大指數值」行。）

— 資料不適用於此轉換器 / 模式。

表 58：轉換器型號：rP19x（眼眶用）操作模式：脈衝波式都卜勒

指數標籤		MI	TIS		TIB		TIC
			體表處	體表下	體表處	體表下	體表處
最大指數值		0.18	0.27		0.59		0.57
指數成份值			0.19	0.27	0.18	0.59	
聲學參數	$Pr,a_{r,a}@z_{MI}$ (MPa)	0.27					
	P (mW)		37.4		35.3		37.4
	P_{1x1} (mW)		17.5		17.0		
	z_s (cm)			2.5			
	z_b (cm)					3.35	
	z_{MI} (cm)	3.5					
	$z_{pii,a}$ (cm)	3.5					
	f_{awf} (MHz)	2.23	2.23		2.23		2.23
其他資訊	pr (Hz)	1953					
	srr (Hz)	—					
	η_{pps}	1					
	$I_{pa,a}@z_{pii,a}$ (W/cm ²)	2.49					
	$I_{spta,a}@z_{pii,a}$ 或 $z_{sii,a}$ (mW/cm ²)	28.9					
	$I_{spta}@z_{pii}$ 或 z_{sii} (mW/cm ²)	69.3					
	$p_r@z_{pii}$ (MPa)	0.36					
操作控制項	檢查種類	Orb	Orb		Orb		Orb
	樣本容積大小 (mm)	5	14		14		14
	樣本容積位置	區域 6	區域 7		區域 5		區域 7
	PRF (Hz)	1953	1953		1953		1953

(a) 本操作模式不須使用此項指數；數值為 <1。

(b) 本轉換器不適用於經顱檢查或新生兒頭部檢查。

基於所列原因未報告全域最大指數值，因此無本操作條件的相關資料。（參考「全域最大指數值」行。）

— 資料不適用於此轉換器 / 模式。

表 59：轉換器型號：rP19x，操作模式：2D

指數標籤		MI	TIS		TIB		TIC
			體表處	體表下	體表處	體表下	體表處
最大指數值		1.5	1.0		1.0		2.7
指數成份值			1.0	1.0	1.0	1.0	
聲學參數	$P_{r,a}@z_{MI}$ (MPa)	2.1					
	P (mW)		152.6		152.6		177.8
	P_{1x1} (mW)		96.1		96.1		
	z_s (cm)			—			
	z_b (cm)					—	
	z_{MI} (cm)	4.8					
	$z_{pii,a}$ (cm)	4.8					
	f_{awf} (MHz)	1.99	2.08		2.08		1.53
	其他資訊	pr (Hz)	6186				
srr (Hz)		48.3					
n_{pps}		1					
$I_{pa,a}@z_{pii,a}$ (W/cm ²)		184					
$I_{spta,a}@z_{pii,a}$ 或 $z_{sii,a}$ (mW/cm ²)		25.4					
$I_{spta}@z_{pii}$ 或 z_{sii} (mW/cm ²)		38.6					
$p_r@z_{pii}$ (MPa)		2.92					
操作控制項	檢查種類	Abd	Crd		Crd		Crd
	最佳化	Gen	Res		Res		Pen
	深度 (cm)	10	10		10		4.7
	MB/THI	關/關	關/開		關/開		關/開
	扇面寬度	N/A	窄		窄		N/A

(a) 本操作模式不須使用此項指數；數值為 <1。

(b) 本轉換器不適用於經顱檢查或新生兒頭部檢查。

基於所列原因未報告全域最大指數值，因此無本操作條件的相關資料。（參考「全域最大指數值」行。）

— 資料不適用於此轉換器 / 模式。

表 60：轉換器型號：rP19x，操作模式：M 模式

指數標籤		MI	TIS		TIB		TIC
			體表處	體表下	體表處	體表下	體表處
最大指數值		1.5	(a)		1.7		1.0
指數成份值			#	#	0.2	1.7	
聲學參數	$Pr,a_{r,a}@z_{MI}$ (MPa)	2.1					
	P (mW)		#		55.0		62.1
	P_{1x1} (mW)		#		28.5		
	z_s (cm)			#			
	z_b (cm)					4.33	
	z_{MI} (cm)	4.8					
	$z_{pii,a}$ (cm)	4.8					
	f_{awf} (MHz)	1.99		#	1.81		1.77
其他資訊	pr (Hz)	800					
	srr (Hz)	—					
	n_{pps}	1					
	$I_{pa,a}@z_{pii,a}$ (W/cm ²)	184					
	$I_{spta,a}@z_{pii,a}$ 或 $z_{sii,a}$ (mW/cm ²)	73.5					
	$I_{spta}@z_{pii}$ 或 z_{sii} (mW/cm ²)	140.8					
	$p_r@z_{pii}$ (MPa)	2.92					
操作控制項	檢查種類	TCD			Abd		Abd
	最佳化	Gen			Res		Res
	深度 (cm)	7.5			10		16
	THI	關			開		開

(a) 本操作模式不須使用此項指數；數值為 <1。

(b) 本轉換器不適用於經顱檢查或新生兒頭部檢查。

基於所列原因未報告全域最大指數值，因此無本操作條件的相關資料。（參考「全域最大指數值」行。）

— 資料不適用於此轉換器 / 模式。

表 61：轉換器型號：rP19x，操作模式：彩色都卜勒 (Color)/ 彩色能量都卜勒 (CPD)

指數標籤		MI	TIS		TIB		TIC
			體表處	體表下	體表處	體表下	體表處
最大指數值		1.5	1.2		1.2		2.5
指數成份值			1.2	1.2	1.2	1.2	
聲學參數	$P_{r,a,r,a}@z_{MI}$ (MPa)	2.1					
	P (mW)		128.0		128.0		170.5
	$P_{1 \times 1}$ (mW)		115.6		115.6		
	z_s (cm)			—			
	z_b (cm)					—	
	z_{MI} (cm)	4.8					
	$z_{pii,a}$ (cm)	4.8					
	f_{awf} (MHz)	1.99	2.14		2.14		2.12
其他資訊	pr_r (Hz)	505					
	srr (Hz)	7.9					
	n_{pps}	1					
	$I_{pa,a}@z_{pii,a}$ (W/cm ²)	184					
	$I_{spta,a}@z_{pii,a}$ 或 $z_{sii,a}$ (mW/cm ²)	2.1					
	$I_{spta}@z_{pii}$ 或 z_{sji} (mW/cm ²)	3.2					
	$p_r@z_{pii}$ (MPa)	2.92					
操作控制項	檢查種類	Abd	TCD		TCD		Crđ
	模式/THI	CVD/關閉	CVD/關閉		CVD/關閉		CVD/打開
	2D 最佳化/深度 (cm)/區段寬度	Gen/10/N/A	Pen/7.5 /N/A		Pen/7.5 /N/A		Gen/16 /狹窄
	色彩最佳化/PRF (Hz)	低/300	低/3125		低/3125		高/5208
	顏色方塊位置/大小	預設/預設	預設/窄		預設/窄		預設/預設

(a) 本操作模式不須使用此項指數；數值為 <1。

(b) 本轉換器不適用於經顱檢查或新生兒頭部檢查。

基於所列原因未報告全域最大指數值，因此無本操作條件的相關資料。（參考「全域最大指數值」行。）

— 資料不適用於此轉換器 / 模式。

表 62：轉換器型號：rP19x，操作模式：連續波式都卜勒

指數標籤		MI	TIS		TIB		TIC
			體表處	體表下	體表處	體表下	體表處
最大指數值		(a)	1.2		4.0		4.0
指數成份值			1.2	1.1	1.2	4.0	
聲學參數	$Pr,a_{r,a}@z_{MI}$ (MPa)	#					
	P (mW)		125.4		125.4		125.4
	P_{1x1} (mW)		125.4		125.4		
	z_s (cm)			0.9			
	z_b (cm)					0.9	
	z_{MI} (cm)	#					
	$z_{pii,a}$ (cm)	#					
	f_{awf} (MHz)	#	2.00		2.00		2.00
其他資訊	pr (Hz)	#					
	srr (Hz)	#					
	η_{pps}	#					
	$I_{pa,a}@z_{pii,a}$ (W/cm ²)	#					
	$I_{spta,a}@z_{pii,a}$ 或 $z_{sii,a}$ (mW/cm ²)	#					
	$I_{spta}@z_{pii}$ 或 z_{sii} (mW/cm ²)	#					
	$p_r@z_{pii}$ (MPa)	#					
操作控制項	檢查種類		Crd		Crd		Crd
	樣本容積位置		區域 0		區域 0		區域 0

(a) 本操作模式不須使用此項指數；數值為 <1。

(b) 本轉換器不適用於經顱檢查或新生兒頭部檢查。

基於所列原因未報告全域最大指數值，因此無本操作條件的相關資料。（參考「全域最大指數值」行。）

— 資料不適用於此轉換器 / 模式。

表 63：轉換器型號：rP19x，操作模式：脈衝波式都卜勒

指數標籤		MI	TIS		TIB		TIC
			體表處	體表下	體表處	體表下	體表處
最大指數值		1.3	1.8		4.0		3.9
指數成份值			1.3	1.8	1.2	4.0	
聲學參數	$Pr,a,r,a@z_{MI}$ (MPa)	1.94					
	P (mW)		253.7		240.2		251.1
	P_{1x1} (mW)		118.6		116.0		
	z_s (cm)		2.5				
	z_b (cm)					3.35	
	z_{MI} (cm)	3.0					
	$z_{pii,a}$ (cm)	3.0					
	f_{awf} (MHz)	2.14	2.23		2.23		2.10
	prr (Hz)	1562					
其他資訊	srr (Hz)	—					
	η_{pps}	1					
	$I_{pa,a}@z_{pii,a}$ (W/cm ²)	180					
	$I_{spta,a}@z_{pii,a}$ 或 $z_{sii,a}$ (mW/cm ²)	374.9					
	$I_{spta}@z_{pii}$ 或 z_{sii} (mW/cm ²)	594.7					
	$p_r@z_{pii}$ (MPa)	2.42					
操作控制項	檢查種類	Crd	Crd		Crd		Crd
	樣本容積大小 (mm)	1	12		1		1
	樣本容積位置	區域 1	區域 7		區域 5		區域 5
	PRF (Hz)	1562	1562		39,062		39,062
	TDI	關	關		關		關

(a) 本操作模式不須使用此項指數；數值為 <1。

(b) 本轉換器不適用於經顱檢查或新生兒頭部檢查。

基於所列原因未報告全域最大指數值，因此無本操作條件的相關資料。（參考「全域最大指數值」行。）

— 資料不適用於此轉換器 / 模式。

表 64：轉換器型號：TEExi 操作模式：連續波式都卜勒

指數標籤		MI	TIS		TIB		TIC
			體表處	體表下	體表處	體表下	體表處
最大指數值		(a)	(a)		1.7		(b)
指數成份值			#	#	0.7	1.7	
聲學參數	$P_{r,a,r,a}@z_{MI}$ (MPa)	#					
	P (mW)		#		34.4		#
	P_{1x1} (mW)		#		34.4		
	z_s (cm)			#			
	z_b (cm)					1.10	
	z_{MI} (cm)	#					
	$z_{pii,a}$ (cm)	#					
	f_{awf} (MHz)	#	#		4.00		#
其他資訊	pr (Hz)	#					
	srr (Hz)	#					
	η_{pps}	#					
	$I_{pa,a}@z_{pii,a}$ (W/cm ²)	#					
	$I_{spta,a}@z_{pii,a}$ 或 $z_{sii,a}$ (mW/cm ²)	#					
	$I_{spta}@z_{pii}$ 或 z_{sii} (mW/cm ²)	#					
	$p_r@z_{pii}$ (MPa)	#					
操作控制項	檢查種類				Crd		
	樣本容積				區域 2		

(a) 本操作模式不須使用此項指數；數值為 <1。

(b) 本轉換器不適用於經顱檢查或新生兒頭部檢查。

基於所列原因未報告全域最大指數值，因此無本操作條件的相關資料。（參考「全域最大指數值」行。）

— 資料不適用於此轉換器 / 模式。

表 65：轉換器型號：TEExi 操作模式：脈衝波式都卜勒

指數標籤		MI	TIS		TIB		TIC
			體表處	體表下	體表處	體表下	體表處
最大指數值		(a)	(a)		1.4		(b)
指數成份值			#	#	0.7	1.4	
聲學參數	$Pr,a_{r,a}@z_{MI}$ (MPa)	#					
	P (mW)		#		35.8		#
	P_{1x1} (mW)		#		35.8		
	z_s (cm)			#			
	z_b (cm)					2.57	
	z_{MI} (cm)	#					
	$z_{pii,a}$ (cm)	#					
	f_{awf} (MHz)	#	#		3.81		#
	pr (Hz)	#					
其他資訊	srr (Hz)	#					
	n_{pps}	#					
	$I_{pa,a}@z_{pii,a}$ (W/cm ²)	#					
	$I_{spta,a}@z_{pii,a}$ 或 $z_{sii,a}$ (mW/cm ²)	#					
	$I_{spta}@z_{pii}$ 或 z_{sii} (mW/cm ²)	#					
	$p_r@z_{pii}$ (MPa)	#					
操作控制項	檢查種類				Crd		
	樣本容積大小 (mm)				1		
	樣本容積位置				區域 3		
	PRF (Hz)				2604		

(a) 本操作模式不須使用此項指數；數值為 <1。

(b) 本轉換器不適用於經顱檢查或新生兒頭部檢查。

基於所列原因未報告全域最大指數值，因此無本操作條件的相關資料。（參考「全域最大指數值」行。）

— 資料不適用於此轉換器 / 模式。

聲輸出表使用的術語

表 66：聲輸出表使用的術語

術語	定義
α	降額使用的衰減係數。等於 0.3 dB/cm/MHz^2 。
f_{awf}	聲學工作頻率。
$I_{pa,a}$	衰減脈衝平均強度。
I_{spta}	空間峰值時間性平均強度。
$I_{spta,a}$	衰減空間峰值時間性平均強度。
MI	機械指數。
P	輸出功率。
P_{1x1}	有界平方輸出功率。
$p_{r,a}$	衰減峰值稀疏聲壓。
p_r	峰值稀疏聲壓。
p_{ii}	脈衝強度積分。
$p_{ii,a}$	衰減脈衝強度積分。
n_{pps}	每超音掃描線的脈衝數。
pr_r	脈衝重複率。
srr	掃描重複率。
TI	熱指數。
TIB	骨熱指數。
TIC	顱骨熱指數。
TIS	軟組織熱指數。
z_b	TIB 深度。
z_{MI}	機械指數深度。
$z_{p_{ii}}$	峰值脈衝強度積分深度。
$z_{p_{ii,a}}$	峰值衰減脈衝強度積分深度。

表 66：聲輸出表使用的術語

術語	定義
Z_{sij}	脈衝強度積分峰值總和深度。
$Z_{sij,a}$	衰減脈衝強度積分峰值總和深度。
Z_s	TIS 深度。

詞彙表 (SonoSite Edge II)

術語 IMT 已於 SonoSite Edge II 使用者手冊的縮寫表中刪除，將於下一更新版本更正。

FUJIFILM
Value from Innovation

SonoSite

P27224-02

